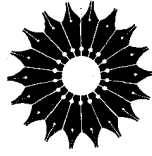


بارت اونیل



هندسہ دیفرانسیل مقدماتی

ترجمہ بیژن شمس، محمدرضا سلطانیور



هندسهٔ دیفرانسیل مقدماتی

بارت اونیل

ترجمهٔ بیژن شمس، محمدرضا سلطانبور

*Elementary Differential Geometry*

Barrett O'Neill

Academic Press, 1966

هندسه دیفرانسیل مقدماتی

تالیف بارت اونیل

ترجمه دکتر محمدرضا سلطانیور، بیژن شمس

ویراسته دکتر محمد هادی شفیعیها

مرکز نشر دانشگاهی، تهران

چاپ اول ۱۳۶۸

چاپ دوم ۱۳۸۴

تعداد ۲۰۰۰

حروفچینی: عبدی

لیتوگرافی: بهزاد

چاپ: دایره سفید

حق چاپ برای مرکز نشر دانشگاهی محفوظ است

فهرست نویسی پیش از انتشار کتابخانه ملی جمهوری اسلامی ایران

O'Neill, Barrett

اونیل، بارت

هندسه دیفرانسیل مقدماتی / بارت اونیل؛ ترجمه محمدرضا سلطانیور، بیژن

شمس - تهران؛ مرکز نشر دانشگاهی، ۱۳۶۸.

شش، ۴۶۶ ص. - (مرکز نشر دانشگاهی؛ ۴۴۷، ریاضی، آمار، و کامپیوتر؛ ۴۹).

فهرست نویسی بر اساس اطلاعات فیبا.

Elementary Differential Geometry

عنوان اصلی:

ISBN: 964-01-0447-7

کتابنامه: ص.

واژه نامه: ص.

چاپ دوم، ۱۳۸۴.

۱. هندسه دیفرانسیل. الف. سلطانیور، محمدرضا، مترجم. ب. شمس، بیژن،

مترجم. ج. مرکز نشر دانشگاهی. د. عنوان.

۵۱۶/۳۶ A۶۴۱

کتابخانه ملی ایران

بسم الله الرحمن الرحيم

فهرست

| صفحه | عنوان |
|------|---|
| ۱ | پیشگفتار مؤلف |
| ۳ | مقدمه |
| | فصل ۱ حساب دیفرانسیل در فضای اقلیدسی |
| ۷ | ۱. فضای اقلیدسی |
| ۱۰ | ۲. بردارهای مماس |
| ۱۵ | ۳. مشتقهای امتدادی |
| ۲۰ | ۴. خم در E^3 |
| ۲۷ | ۵. ۱- فرمها |
| ۳۳ | ۶. فرمهای دیفرانسیلی |
| ۲۰ | ۷. نگاشتها |
| ۲۹ | ۸. خلاصه |
| | فصل ۲ میدانهای سهوجهی |
| ۵۱ | ۱. حاصل ضرب نقطه‌ای |
| ۶۰ | ۲. خمها |
| ۶۷ | ۳. فرمولهای فرنه |
| ۷۷ | ۴. خمهای با تندی دلخواه |
| ۹۰ | ۵. مشتقهای کوواریان |
| ۹۵ | ۶. میدانهای سهوجهی |

| | |
|-----|--------------------|
| ۹۹ | ۷. فرمهای همبندی |
| ۱۰۶ | ۸. معادلات ساختاری |
| ۱۱۱ | ۹. خلاصه |

فصل ۳ هندسه اقلیدسی

| | |
|-----|---------------------------|
| ۱۱۳ | ۱. ایزومتریهای E^3 |
| ۱۱۹ | ۲. نگاشت مشتق يك ایزومتری |
| ۱۲۳ | ۳. جهتدهی |
| ۱۲۸ | ۴. هندسه اقلیدسی |
| ۱۳۳ | ۵. انطباق خمها |
| ۱۴۰ | ۶. خلاصه |

فصل ۴ حساب دیفرانسیل روی رویه‌ها

| | |
|-----|---|
| ۱۴۱ | ۱. رویه‌ها در E^3 |
| ۱۵۱ | ۲. محاسبه‌های قطعه مختصاتی |
| ۱۶۲ | ۳. توابع دیفرانسیلیپذیر و بردارهای مماس |
| ۱۷۱ | ۴. فرمهای دیفرانسیلی روی يك رویه |
| ۱۷۹ | ۵. نگاشت رویه‌ها |
| ۱۸۸ | ۶. انتگرالگیری فرمها |
| ۱۹۹ | ۷. خواص توپولوژیایی رویه‌ها |
| ۲۰۶ | ۸. خمینه‌ها |
| ۲۱۲ | ۹. خلاصه |

فصل ۵ عملگرهای شکلی

| | |
|-----|-------------------------------|
| ۲۱۲ | ۱. عملگر شکلی $M \subset E^3$ |
| ۲۲۱ | ۲. خمیدگی قائم |
| ۲۲۹ | ۳. خمیدگی گاوسی |
| ۲۳۶ | ۴. روشهای محاسباتی |
| ۲۵۱ | ۵. خمهای مهم يك رویه |
| ۲۶۲ | ۶. رویه‌های دورانی |
| ۲۷۳ | ۷. خلاصه |

فصل ۶ هندسه رویه‌ها در E^3

| | |
|-----|------------------|
| ۲۷۵ | ۱. معادلات اساسی |
|-----|------------------|

| | |
|-----|--------------------------------|
| ۲۸۱ | ۲. محاسبات فرمی |
| ۲۸۸ | ۳. چند قضیه کلی |
| ۲۹۵ | ۴. ایزومتري و ایزومتري موضعی |
| ۳۰۴ | ۵. هندسه ذاتی رویه‌ها در E^3 |
| ۳۰۹ | ۶. مختصات متعامد |
| ۳۱۴ | ۷. انتگرالگیری و جهتهی |
| ۳۳۳ | ۸. انطباق رویه‌ها |
| ۳۴۰ | ۹. خلاصه |

فصل ۷ هندسه ریمانی

| | |
|-----|---|
| ۳۴۲ | ۱. رویه‌های هندسی |
| ۳۵۰ | ۲. خمیدگی گاوسی |
| ۳۵۸ | ۳. مشتق کوواریانی |
| ۳۶۷ | ۴. خمهای ژئودزیک |
| ۳۸۲ | ۵. خواص ژئودزیکها به عنوان کوتاهترین مسیر |
| ۳۹۶ | ۶. خمیدگی و نقاط مزدوج |
| ۴۰۷ | ۷. نگاشتهایی که حاصل ضرب داخلی را حفظ می کنند |
| ۴۱۸ | ۸. قضیه گاوس-بونه |
| ۴۳۶ | ۹. خلاصه |

| | |
|-----|---------------------------|
| ۴۳۸ | مراجع و مآخذ |
| ۴۳۹ | جوابهای تمرینات شماره فرد |
| ۴۵۶ | واژه نامه |
| ۴۶۲ | فهرست راهنما |

پیشگفتار مؤلف

این کتاب شرحی است مقدماتی بر هندسهٔ خمها و رویه‌ها، و برای دانشجویانی نوشته شده است که درسهای نخستین معمول حساب دیفرانسیل و انتگرال و جبر خطی را گذرانده‌اند، و هدف آن، معرفی برخی از مفاهیم اصلی هندسهٔ دیفرانسیل است.

درس سنتی هندسهٔ دیفرانسیل دورهٔ لیسانس در دهه‌های اخیر چندان تغییری نکرده است. اما برعکس در سطح پژوهش، هندسه دارای پیشرفتهای بسیار سریعی بوده است، و توافق عمومی بر این است که درس مزبور باید به صورت مناسب روز درآید. من کوشیده‌ام که مطالب کلاسیک را مورد مذاقه قرار داده، آنها را پیراسته و آراسته سازم، و نتایج را به شیوه‌ای کاملاً معقول و با سبک ریاضیات جدید به نگارش در آورم. اما در هر صورت فقط هنگامی مفهوم تازه‌ای را به کار برده‌ام، که در ساده کردن و روشن ساختن نتایج مفید بوده است.

در فصل ۱ زبان کتاب پی‌ریزی می‌شود، زبانی که از اجزای آشنای حساب دیفرانسیل و انتگرال و جبر خطی ترکیب یافته است. در فصل ۲ روش «سه وجهیهای متحرک» شرح داده می‌شود، که مانند حساب دیفرانسیل و انتگرال مقدماتی برای بررسی خمهای فضایی معرفی شده‌اند. در فصل ۳ تغییر مکانها در فضا مورد پژوهش قرار گرفته است، و بر حسب آن قابلیت انطباق خمها (و رویه‌ها) در فضا، درست به همان طرز قابلیت انطباق مثلثها در صفحه، تعریف شده است.

فصل ۴ احتیاج به توضیح خاصی دارد. ضعف اصلی هندسهٔ دیفرانسیل کلاسیک در آن بود که فاقد تعریف مناسب برای دویه بود. در این فصل مشخص می‌کنیم که یک رویه چیست، و نشان می‌دهیم که هر رویه دارای یک حساب دیفرانسیل و انتگرال مخصوص به خود است، که دقیقاً با حساب دیفرانسیل و انتگرال آشنای مربوط به صفحه قابل مقایسه است. این تحلیل مقدمه‌ای را بر مفهوم خمینهٔ دیفرانسیلپذیر فراهم می‌سازد، این مفهوم در شاخه‌هایی از ریاضیات و کاربرد آن، که مبتنی بر حساب دیفرانسیل و انتگرال‌اند، ضروری و لازم است.

دو فصل بعد به هندسه رویه‌ها در فضای ۳ بعدی اختصاص یافته است. در فصل ۵ جنبه‌های شهودی و محاسباتی مورد تأکید قرار گرفته‌اند، تا برای نظریه‌ای که در فصل ۶ آمده است معنی هندسی فراهم گردد. در فصل آخر گرچه روش‌ها تغییر نیافته است، اما دیدگاه به کلی عوض شده است. به بیان اجمالی آنکه هندسه رویه را به صورتی که ساکنانش می‌بینند مورد بررسی قرار می‌دهیم و به هیچ وجه فرضی دربارهٔ اینکه رویه در فضای سه بعدی معمولی واقع باشد نخواهیم داشت.

در هیچ شاخه‌ای از ریاضیات به اندازه هندسه صریحاً به قوه تجسم نیاز نیست. یا در نظر گرفتن اهمیت این موضوع شکل‌های بسیار زیادی آورده‌ایم که برای متن درس بخش مکملی را تشکیل می‌دهند. در پایان هر بند دسته‌ای از تمرینات آمده است؛ دامنهٔ این مسائل از آزمونهای معمولی درک مطلب تا مسائل غامضتر گسترده است.

در تدریس نوشته‌های اولیهٔ این کتاب معمولاً من مطالب بنیادی فصل ۱ را سریعاً به پایان برده‌ام، و از وقت کلاس چیزی را به فصل ۳ (و همچنین بند ۸ فصل ۶) اختصاص نداده‌ام. یک دورهٔ هندسهٔ خمها و رویه‌ها در فضا را می‌توان از فصل ۲، فصل ۴ (با حذف بندهای ۶ و ۸)، فصل ۵، و فصل ۶ (با حذف بندهای ۶ و ۷) تشکیل داد. ایسن، اساساً همان محتوای درس هندسهٔ دیفرانسیل در برنامهٔ سنتی دورهٔ لیسانس است که بر آن توضیحاتی از مفاهیم رویه و نگاشت رویه‌ها افزوده شده است.

بندهای محدود در فهرست بالا تنها در فصل ۷ به کار می‌روند. این فصل پایانی، شرح مفصل هندسهٔ ریمانی دو بعدی، به گونه‌ای هدف کتاب را تشکیل می‌دهد. به جای آنکه به گفتار در ابعاد بالاتر پردازم، ترجیح داده‌ام که بعد ۲ را حفظ کنم، به طوری که این دیدگاه مجرد هندسه مستقیماً از حالت خاص رویه‌ها در فضای ۳ بعدی ظاهر گردد. فصل ۷ طولانی است، و در دور اول می‌توان قضیهٔ ۹.۵ و بندهای ۶ و ۷ را حذف کرد. در فصول نخستین از کاربرد جدی نظریهٔ معادلات دیفرانسیل قویاً اجتناب شده است؛ اما آشنایی با مبانی این موضوع، برای فصل ۷ سودبخش است.

ب. اونیل

لوس آنجلس، کالیفرنیا

مقدمه

برای مطالعه این کتاب داشتن اطلاعات مناسبی از حساب دیفرانسیل و انتگرال مقدماتی و جبر خطی ضروری است. البته آنچه واقعاً مورد نیاز می باشد آگاهی به طرز استفاده عملی از این مبادی است. به عنوان مثال، اغلب از خواننده خواسته می شود که قاعده زنجیری مشتق گیری را به کار گیرد، اما به اثبات آن حاجت نیست.

در حساب دیفرانسیل و انتگرال عمدتاً از توابع $y = f(x)$ یا چند متغیری با مقدار حقیقی و در جبر خطی از توابعی (تبدیلات خطی) از یک فضای برداری به فضای برداری دیگر بحث می شود. چون ما به توابعی از هر دو نوع نیاز خواهیم داشت، در اینجا چند تعریف کلی را که شامل هر دو نوع است می آوریم.

یک مجموعه S عبارت است از گردهای از اشیاء که آنها را عناصر S می نامند. مجموعه A را هنگامی زیرمجموعه S نامند که هر عنصر A عنصری از S نیز باشد.

یک تابع f از مجموعه D به مجموعه R قانونی است که به هر عنصر x از D به طور یکتا عنصر $f(x)$ از R را متناظر قرار دهد. عنصر $f(x)$ مقدار f در x نامیده می شود. مجموعه D را حوزه f ، و مجموعه R را اغلب دامنه f می نامند. هر گاه بخواهیم حوزه و دامنه تابع f را تصریح کنیم، از نماد $f: D \rightarrow R$ استفاده می نماییم. توجه شود که تابع را تنها با یک حرف، مانند f ، نشان می دهیم و $f(x)$ تنها نمایشگر یک مقدار f است.

برای توابع اصطلاحات گوناگونی به کار می رود. نگاهت، تبدیل، تناظر، عملگر، و غیره. یک تابع را می توان به طرق مختلفی بیان کرد. ساده ترین حالت، فرمول صریحی از قبیل

$$f(x) = 3x^2 + 1$$

است، که می توان آن را به صورت $x \rightarrow 3x^2 + 1$ نیز نوشت.

اگر f_1 و f_2 هر دو توابعی از D به R باشند، آنگاه تساوی $f_1 = f_2$ به معنای آن است که به ازای هر x از D داریم $f_1(x) = f_2(x)$. این نکته يك تعريف نيست، بلکه يك نتیجه منطقی از تعريف تابع است.

توابع $f : D \rightarrow R$ و $g : E \rightarrow S$ را در نظر می گیریم. به طور کلی، نگاره f عبارت است از زیرمجموعه ای از R که شامل همه عناصری باشد که به صورت $f(x)$ نوشته می شوند؛ و آن را معمولاً با $f(D)$ نشان می دهند. اما تصادفاً اگر این نگاره زیرمجموعه ای از E حوزه g باشد، می توان این دو تابع را ترکیب کرد، و تابع مرکب $g(f) : D \rightarrow S$ را به دست آورد. بنابراین تعريف، $g(f)$ عبارت است از تابعی که مقدار آن به ازای هر عنصر x از D ، عنصر $g(f(x))$ از S است.

اگر $f : D \rightarrow R$ يك تابع، و A زیرمجموعه ای از D باشد، آنگاه تخصیص f به A عبارت خواهد بود از تابع $f|_A : A \rightarrow R$ که با همان قانون f تعريف می شود، اما تنها به عناصر A اعمال می گردد. این عمل گرچه يك تغییر جزئی به نظر می آید، اما امکان دارد که توابع $f|_A$ و f دارای خواص کاملاً متفاوتی باشند.

در اینجا به ذکر دو ویژگی اساسی، که ممکن است يك تابع دارا باشد، می پردازیم. تابع $f : D \rightarrow R$ هنگامی يك به يك است که به ازای هر دو عنصر x و y از D با $x \neq y$ داشته باشیم $f(x) \neq f(y)$. تابع $f : D \rightarrow R$ هنگامی پوشاست (یا D را پروری می برد) که به ازای هر عنصر y از R حداقل يك عنصر x از D وجود داشته باشد به طوری که $f(x) = y$. به اختصار، نگاره f همه مجموعه R است. به عنوان مثال توابع زیر را که حوزه و دامنه آنها اعداد حقیقی هستند در نظر می گیریم:

- (۱) تابع $x \rightarrow x^3$ هم يك به يك و هم پوشاست.
- (۲) تابع نمایی $x \rightarrow e^x$ يك به يك است، اما پوشا نیست.
- (۳) تابع $x \rightarrow x^2 + x^3$ پوشاست، اما يك به يك نیست.
- (۴) تابع سینوسی $x \rightarrow \sin x$ نه يك به يك است و نه پوشا.

اگر تابع $f : D \rightarrow R$ يك به يك و پوشا باشد، آنگاه به ازای هر عنصر y از R يك، و فقط يك، عنصر x وجود دارد به طوری که $f(x) = y$. این بستگی بین y و x را به صورت $x = f^{-1}(y)$ تعريف می کنیم، و بدینسان يك تابع $f^{-1} : R \rightarrow D$ به دست می آید، که معکوس f نامیده می شود. توجه شود که تابع f^{-1} نیز يك به يك و پوشاست، و تابع معکوس آن همان تابع اصلی f است.

در اینجا فهرست کوتاهی از نمادهایی را که در سراسر کتاب به کار رفته اند به ترتیبی که در فصل ۱ به آنها برمی خوریم می آوریم:

| | | |
|---------|--------------------------------|--------|
| (بند ۱) | نقاط | q, p |
| (بند ۱) | توابع با مقدار حقیقی | g, f |
| (بند ۲) | بردارهای مماس | w, v |

| | | |
|---------|-------------------|-----------------|
| (بند ۲) | میدانهای برداری | W, V |
| (بند ۴) | خمها | β, α |
| (بند ۵) | فرمهای دیفرانسیلی | ψ, ϕ |
| (بند ۷) | نگاشتها | G, F |

در فصل ۱ این مفاهیم را برای فضای اقلیدسی ۳ بعدی تعریف می‌کنیم. (تعمیم آن به فضاهایی با ابعاد دلخواه واقعاً بدیهی است). در فصل ۴ نشان می‌دهیم که چگونه می‌توان این مفاهیم را برای رویه‌ها تطبیق داد.

چند باری به فهرست مختصر مآخذ و منابع که در پایان کتاب آمده است ارجاع می‌شود، این موارد با شماره‌هایی در کروشه تعیین شده‌اند.

حساب دیفرانسیل در فضای اقلیدسی

این فصل به معرفی مباحثی از ریاضی که در سرتاسر این کتاب به کار می‌رود می‌پردازد، و قسمت اعظم آن از حساب دیفرانسیل و انتگرال توابع سه متغیره و خمهای فضایی تشکیل می‌گردد. تعاریف طوری بیان شده‌اند که به آسانی در بررسی رویه‌ها نیز به کار خواهند رفت.

۱. فضای اقلیدسی

فضای سه بعدی اغلب بدون آنکه دقیقاً تعریف شود، در ریاضیات مسورد استفاده قرار می‌گیرد، و فضای تجربی معمولی نامیده می‌شود. اگر به گوشه اتاق نگاه کنیم، اساس روش معمول انتخاب محورهای مختصات متعامد و استفاده از سه عدد برای مشخص کردن موضع يك نقطه معلوم می‌گردد. هر گاه به جای آنکه سه عدد مزبور را مشخص‌کننده موضع يك نقطه در نظر بگیریم، آن را به عنوان خود نقطه تصور کنیم، تعریف دقیقتری که با مشاهدات سازگار است به دست می‌آید.

۱-۱. تعریف. فضای ۳ بعدی اقلیدسی E^3 عبارت است از مجموعه همه سه تاییهای مرتب اعداد حقیقی. هر يك از این سه تاییها مانند $p = (p_1, p_2, p_3)$ را يك نقطه از E^3 می‌نامند.

در جبر خطی، نشان می‌دهند که E^3 به‌طور طبیعی يك فضای برداری روی اعداد حقیقی می‌باشد. زیرا اگر $\mathbf{p} = (p_1, p_2, p_3)$ و $\mathbf{q} = (q_1, q_2, q_3)$ نقاطی از E^3 باشند، مجموع آنها عبارت است از نقطه:

$$\mathbf{p} + \mathbf{q} = (p_1 + q_1, p_2 + q_2, p_3 + q_3)$$

حاصل ضرب اسکالر نقطه $\mathbf{p} = (p_1, p_2, p_3)$ در عدد a برابر است با نقطه:

$$a\mathbf{p} = (ap_1, ap_2, ap_3)$$

و به آسانی می‌توان تحقیق کرد که این اعمال در اصول فضای برداری صدق می‌کنند. نقطه $\mathbf{0} = (0, 0, 0)$ را مبدأ E^3 می‌نامند.

حساب دیفرانسیل با جنبه دیگری از E^3 سروکار دارد، که با مفهوم توابع دیفرانسیلیپذیر با مقدار حقیقی روی E^3 آغاز می‌گردد. در اینجا به یادآوری کلیات آن می‌پردازیم.

۳.۱. تعریف. توابع با مقدار حقیقی x, y و z روی E^3 که به ازای هر نقطه $\mathbf{p} = (p_1, p_2, p_3)$ به صورت

$$x(\mathbf{p}) = p_1, \quad y(\mathbf{p}) = p_2, \quad z(\mathbf{p}) = p_3$$

معین می‌گردند توابع مختصاتی طبیعی E^3 نام دارند. اغلب برای این توابع از نمادگذاری اندیسی استفاده می‌کنیم و می‌نویسیم:

$$x_1 = x, \quad x_2 = y, \quad x_3 = z$$

بدین ترتیب مقدار تابع x_i به ازای نقطه \mathbf{p} عدد p_i است، و اتحاد

$$\mathbf{p} = (p_1, p_2, p_3) = (x_1(\mathbf{p}), x_2(\mathbf{p}), x_3(\mathbf{p}))$$

به ازای هر نقطه \mathbf{p} از E^3 برقرار است. در حساب دیفرانسیل و انتگرال مقدماتی بین اعداد p_1, p_2, p_3 و توابع x_1, x_2, x_3 تمایز بارزی قائل نیستند. البته روی محور اعداد حقیقی این نکته زیاد مهم نیست، اما در مورد فضاهای با ابعاد بالاتر مانند E^3 عدم توجه به آن شدیداً موجب ابهام می‌گردد. (اساساً همین تمایز موجب می‌شود که يك تابع روی E^3 را با يك حرف f ، و مقدار آن در نقطه \mathbf{p} را با $f(\mathbf{p})$ نشان دهیم.)

البته خواننده با مشتقات جزئی و خواص اساسی آن و به‌ویژه قاعده زنجیری در مشتق توابع مرکب آشنایی دارد. سروکار ما بیشتر با مشتقات جزئی مرتبه اول و گاه نیز با مشتقات مرتبه‌های بالاتر خواهد بود. برای آنکه ابهامی درباره تعداد مشتقات لازم در هر بحث پیش نیاید تعریف زیر را بیان می‌کنیم.

۳.۱. تعریف. تابع با مقدار حقیقی f روی E^3 را دیفرانسیلپذیر (با بینهایت بساد دیفرانسیلپذیر، یا از طبقه C^∞) نامند هرگاه همه مشتقهای جزئی f از همه مرتبهها وجود داشته و پیوسته باشند.

توابع دیفرانسیلپذیر f و g با مقدار حقیقی را می توان باهم جمع و در یکدیگر ضرب نمود، توابع حاصل نیز دیفرانسیلپذیر و با مقدار حقیقی خواهند بود. برای این کار فقط مقادیر آنها را در هر نقطه باهم جمع و یا درهم ضرب می کنیم:

$$(f+g)(p) = f(p) + g(p), \quad (fg)(p) = f(p)g(p)$$

به علت آنکه عبارت «تابع دیفرانسیلپذیر با مقدار حقیقی» به طور ناخوشایندی طویل است، بنابراین قرار می گذاریم که در این کتاب جز تصریح خلاف آن کلمه «تابع» به معنی «تابع دیفرانسیلپذیر با مقدار حقیقی» به کار رود. البته گاه نیز از لحاظ تأکید کلمه های «دیفرانسیلپذیر» و «با مقدار حقیقی» را می آوریم.

دیفرانسیلپذیری همواره یک عمل موضعی است: برای تعیین $\partial f / \partial x$ در نقطه p از E^3 کافی است مقادیر f در همه نقاط q که به قدر کافی به p نزدیک اند معلوم باشد. از این لحاظ تعریف ۳.۱ بیش از اندازه محدود کننده است؛ لزومی ندارد که حوزه f تمام E^3 باشد بلکه کافی است یک مجموعه باز از E^3 باشد. مقصود از مجموعه باز θ از E^3 زیر مجموعه ای است که اگر نقطه p به آن متعلق باشد، همه نقاط E^3 که به قدر کافی به p نزدیک اند نیز به آن متعلق باشند. (تعریف دقیقتری در فصل ۲ بیان خواهد شد.) مثلاً مجموعه همه نقاط $p = (p_1, p_2, p_3)$ در E^3 به طوری که $p_1 > 0$ ، یک مجموعه باز است، و تابع $yz \log x$ که روی این مجموعه معین است دیفرانسیلپذیر می باشد، با آنکه حوزه آن همه E^3 نیست. به طور کلی نتایج این فصل با جایگذاری یک مجموعه باز دلخواه θ به جای E^3 همچنان برقرارند.

در اینجا فضای اقلیدسی سه بعدی را در نظر می گیریم، زیرا در فصول بعد بیشتر با آن سروکار داریم، البته می توان به آسانی به فضای n بعدی اقلیدسی E^n را که نقاط آن n تاییهای $p = (p_1, \dots, p_n)$ می باشند و دارای n تابع مختصاتی طبیعی x_1, \dots, x_n است بررسی کرد. گرچه همه نتایج این فصل را می توان درباره فضاهای اقلیدسی با ابعاد دلخواه تعمیم داد، اما به ندرت از آن استفاده خواهیم کرد، جز در حالت های خاص صفحه اقلیدسی E^2 و خط حقیقی $E^1 = \mathbb{R}$.

تمرینات

۱. توابع $f = x^2 y$ و $g = y \sin z$ را روی E^3 در نظر می گیریم. توابع زیر را بر حسب x, y, z بیان کنید:

$$(الف) \quad fg^2 \quad (ب) \quad \frac{\partial f}{\partial x} g + \frac{\partial g}{\partial y} f$$

$$\frac{\partial}{\partial y}(\sin f) \quad (د) \quad \frac{\partial^2(fg)}{\partial y \partial z} \quad (ج)$$

۲. مقدار تابع $f = x^2y - y^2z$ را در هر يك از نقاط زیر بیابید:

$$\left(3, -1, \frac{1}{4}\right) \quad (ب) \quad (1, 1, 1) \quad (الف)$$

$$(t, t^2, t^3) \quad (د) \quad (a, 1, 1-a) \quad (ج)$$

۳. $\partial f / \partial x$ را بر حسب x, y, z بیان کنید اگر:

$$f = x \sin(xy) + y \cos(xz) \quad (الف)$$

$$f = \sin g, \quad g = e^h, \quad h = x^2 + y^2 + z^2 \quad (ب)$$

۴. اگر g_1, g_2, g_3 و h توابع با مقدار حقیقی روی E^3 باشند، در این صورت:

$$f = h(g_1, g_2, g_3)$$

تابعی است که به ازای هر p :

$$f(p) = h(g_1(p), g_2(p), g_3(p))$$

$\partial f / \partial x$ را بر حسب x, y, z بیان کنید اگر $h = x^2 - yz$ و

$$f = h(x+y, y^2, x+z) \quad (الف)$$

$$f = h(e^x, e^{x+y}, e^z) \quad (ب)$$

$$f = h(x, -x, x) \quad (ج)$$

۲. بردارهای مماس

می‌توان هر بردار E^3 را به صورت يك قطعه خط جهتدار یا پیکان «دار» در نظر گرفت. در فیزیک و مکانیک از بردارها برای نمایش نیرو، سرعت، گشتاور زاویه‌ای و مفاهیم بسیار دیگر استفاده می‌کنند. برای به دست دادن تعریفی که هم دقیق و هم عملی باشد هر بردار E^3 را با p ، نقطه آغاز آن، و v تغییر لازم برای رسیدن به پایان آن، $p+v$ ، مشخص می‌کنیم. v دقیقاً يك نقطه از E^3 می‌باشد.

۱۰۲. تعریف ۲. v_p بردار مماس بر E^3 از دو نقطه E^3 تشکیل می‌گردد: یکی p نقطه اثر آن و دیگری v قسمت برداری آن.

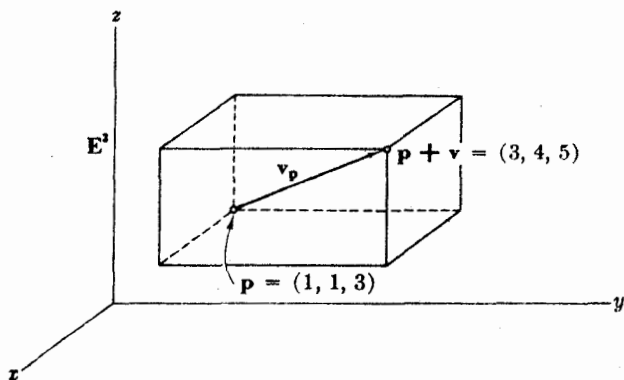
۱. يك نتیجه آن اتحاد $f = f(x, y, z)$ است.

۲. تعبیر هندسی مستقیمتر اصطلاح «مماس» که در این تعریف به کار رفته است در فصل ۴ روشن می‌گردد.

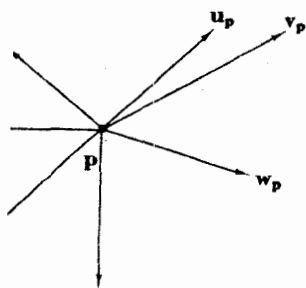
v_p را همواره به صورت پیکانی از نقطه p به نقطه $p+v$ در نظر می‌گیریم، مثلاً اگر $p=(1, 1, 3)$ و $v=(2, 3, 2)$ باشد، در این صورت v_p چنان که در شکل ۱.۱ دیده می‌شود از $(1, 1, 3)$ به $(3, 4, 5)$ می‌رود.

تأکید می‌کنیم که شرط لازم و کافی برای آنکه دو بردار مماس باهم برابر باشند، $v_p = w_q$ ، آن است که نقطه اثر آنها یکی باشد، $p=q$ ، و قسمت برداری آنها نیز برابر باشد $v=w$. بردارهای مماس v_p و v_q را که قسمت برداری آنها یکی است، و نقاط اثر آنها متمایز است متوازی نامند (شکل ۲.۱). باید توجه داشت که به ازای $p \neq q$ بردارهای مماس v_p و v_q باهم فرق دارند. در فیزیک، مفهوم گشتاور نیرو این نکته را به خوبی توضیح می‌دهد: اگر یک نیروی v را بر نقاط مختلف p و q از جسم صلبی اعمال کنیم تأثیرات دورانی مختلفی خواهد داشت.

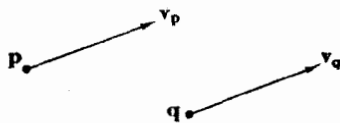
۲.۲. تعریف. نقطه p از E^3 را در نظر می‌گیریم. مجموعه $T_p(E^3)$ متشکل از همه بردارهای مماس که نقطه اثر آنها p است، فضای مماس بر E^3 در p نام دارد (شکل ۳.۱).



شکل ۱.۱



شکل ۳.۱



شکل ۲.۱

باید توجه داشت که E^3 در هر يك از نقاط خود، دارای فضای مماس متمایزی می باشد. چون همه بردارهای مماس متعلق به يك فضای مماس دارای نقطه اثر مشترکی می باشند، می توان از جمع برداری و ضرب اسکالری در E^3 استفاده کرد و $T_p(E^3)$ را به صورت يك فضای برداری در آورد. توضیح آنکه $v_p + w_p$ را با $(v+w)_p$ تعریف می کنیم، و به ازای عدد c مقدار $c(v_p)$ را با $(cv)_p$ مشخص می کنیم. این درست همان «قانون متوازی الاضلاع» برای جمع بردارهاست. ضرب در عدد c بردار مماس را متناسب با c تغییر می دهد. اگر $c < 0$ ، جهت بردار عوض می شود (شکل ۴.۱).

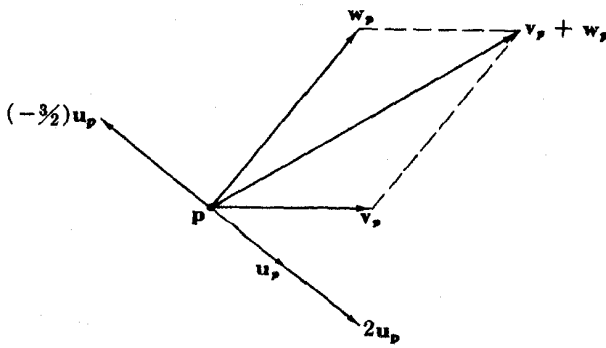
این اعمال هر فضای مماس $T_p(E^3)$ را به يك فضای برداری ایزومرف (یکریخت) با E^3 بدل می کند. زیرا به آسانی از تعاریفی که گذشت می توان نتیجه گرفت که به ازای نقطه ثابت p تابع $v_p \rightarrow v$ يك ایزومرفیسم (یکریختی) بین E^3 و $T_p(E^3)$ برقرار می کند. یعنی، يك تبدیل خطی يك به يك و پوشا.

یکی از مفاهیم متداول فیزیک و مکانیک مفهوم میدان نیرو است. مثلاً میدان نیروی جاذبه زمین به هر نقطه از فضا نیرویی (بردار) متوجه به مرکز زمین وابسته می کند.

۴.۴. تعریف. میدان برداری V روی E^3 تابعی است که به هر نقطه p از E^3 يك بردار $V(p)$ مماس بر E^3 در p متناظر قرار می دهد.

به بیان اجمالی، هر میدان برداری از يك گردایه بزرگ پیکان تشکیل می شود، به طوری که در هر نقطه E^3 يك پیکان موجود باشد.

به طور طبیعی می توان از میدانهای برداری يك جبر ساخت. برای این منظور نخست به یادآوری جمع توابع با مقدار حقیقی f و g می پردازیم (توابع f و g را می توان با هم جمع کرد، زیرا جمع کردن مقادیر آنها به ازای هر نقطه امکان دارد. همین نکته درباره میدانهای برداری V و W نیز صادق است. به ازای هر نقطه p ، مقادیر $V(p)$ و $W(p)$ به يك فضای برداری، $T_p(E^3)$ ، متعلق اند. بنا بر این می توان $V(p)$ و $W(p)$ را با هم



شکل ۴.۱

جمع و از آنجا جمع بین V و W را به صورت زیر تعریف کرد:

$$(V+W)(p) = V(p) + W(p)$$

این طرح که مکرر با آن سروکار خواهیم داشت به اصل نقطه‌ای موسوم است؛ اگر بتوان عملی را روی مقادیر دو تابع در هر نقطه انجام داد؛ می‌توان آن را درباره خود توابع تعمیم داد.

مثلاً با استفاده از اصل نقطه‌ای عمل ضرب در اسکالر (روی فضاهاى مماس E^3) را تعمیم می‌دهیم. اگر f تابعی با مقدار حقیقی روی E^3 و V یک میدان برداری روی E^3 باشد، در این صورت fV ، بنا بر تعریف، عبارت است از میدان برداری روی E^3 به طوری که به ازای هر p :

$$(fV)(p) = f(p)V(p)$$

اکنون روشی عملی برای شناسایی میدانهای برداری به دست می‌دهیم، و بدین منظور سه میدان برداری خاص را، که به عنوان «پایه» برای همه میدانهای برداری به کار می‌روند، معرفی می‌کنیم.

۴.۲. تعریف. میدانهای برداری U_1, U_2, U_3 را روی E^3 به صورت

$$U_1(p) = (1, 0, 0)_p$$

$$U_2(p) = (0, 1, 0)_p$$

$$U_3(p) = (0, 0, 1)_p$$

به ازای هر نقطه p از E^3 در نظر می‌گیریم (شکل ۵.۱). U_1, U_2, U_3 را توأم میدان سه‌وجهی طبیعی روی E^3 می‌نامیم.

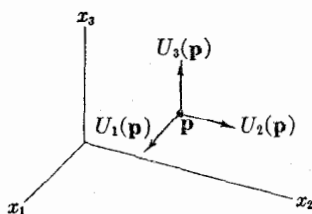
بدین ترتیب U_i ($i = 1, 2, 3$) میدان برداری یکه درجه مثبت x_i می‌باشد.

۵.۲. لم. اگر V یک میدان برداری روی E^3 باشد، سه تابع با مقادیر حقیقی v_1, v_2, v_3 و v_3 به طور یکتا روی E^3 وجود دارد به طوری که:

$$V = v_1 U_1 + v_2 U_2 + v_3 U_3$$

توابع v_1, v_2, v_3 را توابع مختصاتی اقلیدسی V می‌نامند.

برهان. بنا بر تعریف، میدان برداری V به هر نقطه p یک بردار مماس $V(p)$ در p متناظر قرار می‌دهد. از این رو قسمت برداری $V(p)$ به p بستگی دارد، و می‌توان آن را به صورت $(v_1(p), v_2(p), v_3(p))$



شکل ۵.۱

نوشت. (با این عمل v_1, v_2 و v_3 به عنوان توابعی با مقدار حقیقی روی E^3 تعریف می‌گردند). بنابراین به‌ازای هر نقطه \mathbf{p} داریم:

$$\begin{aligned} V(\mathbf{p}) &= (v_1(\mathbf{p}), v_2(\mathbf{p}), v_3(\mathbf{p}))_{\mathbf{p}} \\ &= v_1(\mathbf{p})(1, 0, 0)_{\mathbf{p}} + v_2(\mathbf{p})(0, 1, 0)_{\mathbf{p}} + v_3(\mathbf{p})(0, 0, 1)_{\mathbf{p}} \\ &= v_1(\mathbf{p})U_1(\mathbf{p}) + v_2(\mathbf{p})U_2(\mathbf{p}) + v_3(\mathbf{p})U_3(\mathbf{p}) \end{aligned}$$

و بنا بر تعریف (اصل نقطه‌ای)، میدانهای برداری V و $\sum v_i U_i$ در هر نقطه دارای یک مقدار (بردار مماس) می‌باشند. بنا بر این:

$$V = \sum v_i U_i$$

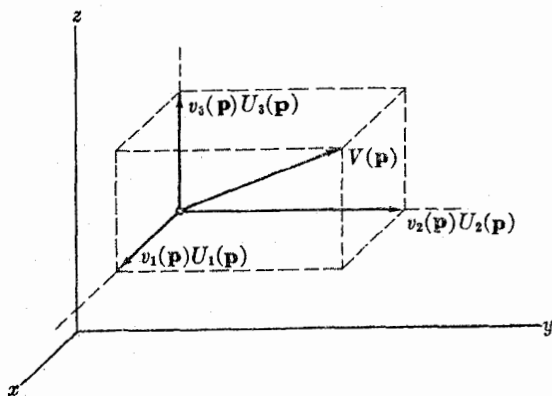
در جمله اخیر از دو قرارداد متداول استفاده شده است: $\sum v_i U_i$ مجموع به‌ازای $i = 1, 2, 3$ را نشان می‌دهد، و نماد هالموس (■) مبین پایان برهان است. اتحاد بردار مماسی $(a_1, a_2, a_3)_{\mathbf{p}} = \sum a_i U_i(\mathbf{p})$ که در این برهان ظاهر شده، بسیار زیاد به‌کار خواهد رفت.

محاسبات متضمن میدانهای برداری را همواره می‌توان برحسب توابع مختصاتی اقلیدسی آنها انجام داد. مثلاً، جمع و ضرب در یک تابع برحسب مختصات به‌صورت زیر بیان می‌شود:

$$\sum v_i U_i + \sum w_i U_i = \sum (v_i + w_i) U_i$$

$$f(\sum v_i U_i) = \sum (f v_i) U_i$$

چون موضوع بحث حساب دیفرانسیل است، طبعاً باید اشیاء مختلفی را که با آنها سروکار



شکل ۶.۱

داریم، دیفرانسیلپذیر فرض کنیم. میدان برداری V را دیفرانسیلپذیر نسامند اگر توابع مختصاتی اقلیدسی آن دیفرانسیلپذیر (به مفهوم تعریف ۳.۱) باشند. از اینجا به بعد، مراد از «میدان برداری» همان «میدان برداری دیفرانسیلپذیر» است.

تمرینات

۱. گیریم $\mathbf{v} = (-2, 1, -1)$ و $\mathbf{w} = (0, 1, 2)$.

(الف) در نقطه دلخواه \mathbf{p} ، بردار مماس $2\mathbf{w}_p - 3\mathbf{v}_p$ را به صورت ترکیب خطی از $U_1(\mathbf{p})$ ، $U_2(\mathbf{p})$ و $U_3(\mathbf{p})$ بنویسید.

(ب) به ازای $\mathbf{p} = (1, 1, 0)$ ، چهار بردار زیر را دقیقاً نمایش دهید:

$$\mathbf{v}_p, \mathbf{w}_p, -2\mathbf{v}_p, \mathbf{v}_p + \mathbf{w}_p$$

۲. گیریم $V = xU_1 + yU_2$ و $W = 2x^2U_2 - U_3$. میدان برداری $W - xV$ را محاسبه کنید، و مقدار آن را در نقطه $\mathbf{p} = (-1, 0, 2)$ بیابید.

۳. هر یک از میدانهای برداری زیر را به صورت متعارف $\sum v_i U_i$ بنویسید:

(الف) $2z^2U_1 = 7V + xyU_2$

(ب) به ازای هر \mathbf{p} $V(\mathbf{p}) = (p_1, p_2 - p_1, 0)_p$

(ج) $V = 2(xU_1 + yU_2) - x(U_1 - y^2U_2)$

(د) در هر نقطه \mathbf{p} برداری از نقطه (p_1, p_2, p_3) به نقطه $(1 + p_1, p_2 p_3, p_3)$ است.

(ه) در هر نقطه \mathbf{p} برداری از \mathbf{p} به مبدأ است.

۴. اگر $V = y^2U_1 - x^2U_2$ و $W = x^2U_1 - zU_2$ ، توابع f و g را طوری بیابید که میدان برداری $fV + gW$ را بتوان فقط بر حسب U_2 و U_3 بیان کرد.

۵. گیریم $V_1 = U_1 - xU_2$ ، $V_2 = U_2$ و $V_3 = xU_1 + U_3$.

(الف) ثابت کنید که بردارهای $V_1(\mathbf{p})$ ، $V_2(\mathbf{p})$ و $V_3(\mathbf{p})$ در هر نقطه از \mathbf{E}^3 دارای استقلال خطی اند.

(ب) میدان برداری $xU_1 + yU_2 + zU_3$ را به صورت یک ترکیب خطی از V_1 ، V_2 و V_3 بیان کنید.

۳. مشتقهای امتدادی

به هر بردار مماس \mathbf{v}_p بر \mathbf{E}^3 ، خط راست $\mathbf{p} + t\mathbf{v}$ متناظر قرار می‌گیرد (به مثال ۲.۴ رجوع شود). اگر f یک تابع دیفرانسیلپذیر روی \mathbf{E}^3 باشد، آنگاه $f(\mathbf{p} + t\mathbf{v}) \rightarrow f$

يك تابع دیفرانسیالپذیر معمولی روی خط حقیقی می باشد. روشن است که مشتق این تابع در $t = 0$ میزان تغییر آغازی f را به ازای حرکت \mathbf{p} در امتداد \mathbf{v} نشان می دهد.

۱.۳. تعریف. اگر f تابع دیفرانسیالپذیر با مقدار حقیقی روی \mathbf{E}^3 و \mathbf{v}_p يك بردار مماس بر \mathbf{E}^3 باشد، آنگاه عدد:

$$\mathbf{v}_p[f] = \frac{d}{dt}(f(\mathbf{p} + t\mathbf{v}))|_{t=0}$$

را مشتق f نسبت به \mathbf{v}_p می نامند.

در حساب دیفرانسیل مقدماتی این تعریف همراه با قید یکه بودن \mathbf{v}_p مطرح می گردد. با آنکه ما این قید را در نظر نمی گیریم، با وجود این $\mathbf{v}_p[f]$ را مشتق امتدادی می نامیم. به عنوان مثال به محاسبه $\mathbf{v}_p[f]$ که در آن $f = x^2z$ ، $\mathbf{p} = (1, 1, 0)$ و $\mathbf{v} = (1, 0, -3)$ ، می پردازیم. پس

$$\mathbf{p} + t\mathbf{v} = (1, 1, 0) + t(1, 0, -3) = (1+t, 1, -3t)$$

خط مار از \mathbf{p} در امتداد \mathbf{v} را نشان می دهد. از محاسبه f در طول این خط به دست می آید:

$$f(\mathbf{p} + t\mathbf{v}) = (1+t)^2 \cdot 1 \cdot (-3t) = -3t - 6t^2 - 3t^3$$

از آنجا:

$$\frac{d}{dt}(f(\mathbf{p} + t\mathbf{v})) = -3 - 12t - 9t^2$$

بنابراین در $t = 0$ داریم $\mathbf{v}_p[f] = -3$. بدین ترتیب، تابع f در آغاز با حرکت \mathbf{p} در امتداد \mathbf{v} نزول می کند.

لم زیر محاسبه $\mathbf{v}_p[f]$ را به طور کلی بر حسب مشتقهای جزئی f در نقطه \mathbf{p} نشان می دهد.

۲.۳. لم. اگر $\mathbf{v}_p = (v_1, v_2, v_3)_p$ يك بردار مماس بر \mathbf{E}^3 باشد، آنگاه:

$$\mathbf{v}_p[f] = \sum v_i \frac{\partial f}{\partial x_i}(\mathbf{p})$$

برهان. گیریم $\mathbf{p} = (p_1, p_2, p_3)$ ، در این صورت:

$$\mathbf{p} + t\mathbf{v} = (p_1 + tv_1, p_2 + tv_2, p_3 + tv_3)$$

با استفاده از مشتق توابع مرکب به محاسبه مشتق تابع:

$$f(\mathbf{p} + t\mathbf{v}) = f(p_1 + tv_1, p_2 + tv_2, p_3 + tv_3)$$

در نقطه $t = 0$ می پردازیم. چون:

$$\frac{d}{dt}(p_i + tv_i) = v_i$$

خواهیم داشت:

$$\mathbf{v}_p[f] = \frac{d}{dt}(f(\mathbf{p} + t\mathbf{v}))|_{t=0} = \sum \frac{\partial f}{\partial x_i}(\mathbf{p})v_i$$

با استفاده از این لم $\mathbf{v}_p[f]$ را در مورد مثال بالا مجدداً محاسبه می کنیم. چون $f = x^2yz$ ، داریم:

$$\frac{\partial f}{\partial x} = 2xyz, \quad \frac{\partial f}{\partial y} = x^2z, \quad \frac{\partial f}{\partial z} = x^2y$$

بنابراین در نقطه $\mathbf{p} = (1, 1, 0)$ داریم:

$$\frac{\partial f}{\partial x}(\mathbf{p}) = 0, \quad \frac{\partial f}{\partial y}(\mathbf{p}) = 0, \quad \frac{\partial f}{\partial z}(\mathbf{p}) = 1$$

و بنا بر همین لم داریم:

$$\mathbf{v}_p[f] = 0 + 0 + (-3)1 = -3$$

که همان مقداری است که در بالا به دست آمده بود. خواص اساسی این مفهوم مشتق در قضیه ۳.۳ بیان می شود.

۳.۳. قضیه. توابع f و g روی E^3 و بردارهای مماس \mathbf{v}_p و \mathbf{w}_p و اعداد a و b را در نظر می گیریم. در این صورت:

$$(a\mathbf{v}_p + b\mathbf{w}_p)[f] = a\mathbf{v}_p[f] + b\mathbf{w}_p[f] \quad (1)$$

$$\mathbf{v}_p[af + bg] = a\mathbf{v}_p[f] + b\mathbf{v}_p[g] \quad (2)$$

$$\mathbf{v}_p[fg] = \mathbf{v}_p[f] \cdot g(\mathbf{p}) + f(\mathbf{p}) \cdot \mathbf{v}_p[g] \quad (3)$$

برهان. این هر سه ویژگی را می توان به آسانی از لم بالا نتیجه گرفت. به عنوان مثال به اثبات (۳) می پردازیم. بنا بر همین لم، اگر $\mathbf{v} = (v_1, v_2, v_3)$ ، آنگاه:

$$\mathbf{v}_p[fg] = \sum v_i \frac{\partial (fg)}{\partial x_i}(\mathbf{p})$$

اما:

$$\frac{\partial(fg)}{\partial x_i} = \frac{\partial f}{\partial x_i} \cdot g + f \cdot \frac{\partial g}{\partial x_i}$$

بنابراین:

$$\begin{aligned} \mathbf{v}_p[fg] &= \sum v_i \left(\frac{\partial f}{\partial x_i}(\mathbf{p}) \cdot g(\mathbf{p}) + f(\mathbf{p}) \cdot \frac{\partial g}{\partial x_i}(\mathbf{p}) \right) \\ &= \left(\sum v_i \frac{\partial f}{\partial x_i}(\mathbf{p}) \right) g(\mathbf{p}) + f(\mathbf{p}) \left(\sum v_i \frac{\partial g}{\partial x_i}(\mathbf{p}) \right) \\ &= \mathbf{v}_p[f] \cdot g(\mathbf{p}) + f(\mathbf{p}) \cdot \mathbf{v}_p[g] \end{aligned}$$

دو ویژگی اول قضیه را می‌توان به اختصار با خطی بودن $\mathbf{v}_p[f]$ بر حسب \mathbf{v}_p و f بیان کرد. ویژگی سوم چنان‌که از برهان برمی‌آید اساساً همان فرمول لاینیتزی درباره مشتق حاصل ضرب می‌باشد. به‌طورکلی هر مشتق‌گیری باید خواص خطی ولاینیتزی را دارا باشد. اکنون با استفاده از اصل نقطه‌ای به تعریف عمل یک میدان برداری V روی تابع f می‌پردازیم. نتیجه این عمل، یک تابع با مقدار حقیقی $V[f]$ خواهد بود، که به‌ازای هر نقطه \mathbf{p} مقدار آن عدد $V(\mathbf{p})[f]$ یعنی مشتق f بر حسب بردار مماس $V(\mathbf{p})$ در \mathbf{p} است. این عمل درست مشابه تعریف تابع مشتق روی خط حقیقی است، دراین مورد نخست مشتق f در یک نقطه تعریف می‌گردد و سپس تابع مشتق df/dx به‌عنوان تابعی که در هر نقطه مقدار آن با مشتق مزبور در این نقطه برابر است معرفی می‌شود. به‌ویژه اگر U_1, U_2, U_3 و U_p میدان سه‌وجهی معمولی روی \mathbf{E}^3 باشد، در این صورت بنا بر لم ۲.۳ داریم:

$$U_i[f] = \partial f / \partial x_i \quad \text{مثلاً به‌ازای } U_1(\mathbf{p}) = (1, 0, 0)_p$$

$$U_1(\mathbf{p})[f] = \frac{d}{dt}(f(p_1 + t, p_2, p_3))|_{t=0}$$

که درست همان تعریف $(\partial f / \partial x_1)(\mathbf{p})$ می‌باشد. چون این تساوی به‌ازای همه نقاط $\mathbf{p} = (p_1, p_2, p_3)$ برقرار است، نتیجه می‌گیریم که $U_1[f] = \partial f / \partial x_1$ مشتق امتدادی بیشتر در بررسی میدانهای برداری - تا درباره یک بردار مماس تنها - به‌کار می‌رود.

۴.۳. فوع. اگر V و W میدانهای برداری روی \mathbf{E}^3 ، و f, g, h توابع با مقادیر حقیقی باشند، آنگاه:

$$(fV + gW)[h] = fV[h] + gW[h] \quad (1)$$

$$V[af + bg] = aV[f] + bV[g] \quad \text{به‌ازای همه اعداد حقیقی } a \text{ و } b \quad (2)$$

$$V[fg] = V[f] \cdot g + fV[g] \quad (۳)$$

برهان. با استفاده از اصل نقطه‌ای این خواص از قضیه ۳.۳ نتیجه می‌شوند، و تنها باید نسبت به‌وضع پراترها دقت شود. به‌عنوان مثال به‌اثبات فرمول سوم می‌پردازیم. بنابراین تعریف، مقدار $V[fg]$ در نقطه \mathbf{p} برابر با $V(\mathbf{p})[fg]$ است. با توجه به‌قضیه ۳.۳ داریم:

$$\begin{aligned} V(\mathbf{p})[f] \cdot g(\mathbf{p}) + f(\mathbf{p})V(\mathbf{p})[g] &= V[f](\mathbf{p}) \cdot g(\mathbf{p}) + f(\mathbf{p})V[g](\mathbf{p}) \\ &= (V[f] \cdot g + f \cdot V[g])(\mathbf{p}) \end{aligned}$$

اگر چنین به‌نظر می‌آید که در اینجا در به‌کار بردن پراترها زیاده‌روی شده است، یادآوری می‌کنیم که هر برهان دقیق برای فرمول لاینیتز:

$$\frac{d}{dx}(fg) = \frac{df}{dx} \cdot g + f \cdot \frac{dg}{dx}$$

باید دقیقاً شامل همین تغییر جای پراترها باشد.

باید توجه داشت که در خطی بودن $V[f]$ بر حسب V و f در فرمول اول نتیجه ۴.۳ توابع به‌عنوان «اسکالرها» در نظر گرفته می‌شوند، و در فرمول دوم فقط اعداد «اسکالرها» می‌باشند. این مطلب ناشی از آن است که fV ضرب معمولی است در صورتی که $V[f]$ مشتگیری می‌باشد.

محاسبات با استفاده از اتحاد $U_i[f] = \partial f / \partial x_i$ به‌سادگی انجام می‌گیرند، مثلاً اگر $V = xU_1 - y^2U_2$ و $f = x^2y + z^2$ ، آنگاه:

$$\begin{aligned} V[f] &= xU_1[x^2y] + xU_1[z^2] - y^2U_2[x^2y] - y^2U_2[z^2] \\ &= x(2xy) + 0 - 0 - y^2(2z^2) = 2x^2y - 2y^2z^2 \end{aligned}$$

۵.۳. تبصره. برای سادگی از اینجا به‌بعد برای نمایش بردار مماس \mathbf{v}_p از اندیس آن \mathbf{p} صرف‌نظر می‌کنیم، و چون نقاط \mathbf{E}^3 را با \mathbf{p} و \mathbf{q} و بردارهای مماس را با \mathbf{v} و \mathbf{w} نمایش می‌دهیم ابهامی پیش نمی‌آید. در مواردی (همانند تعریف ۱.۳) که توجه به نقطه اثر ضروری است، مجدداً از علامت \mathbf{v}_p یا جمله «بردار مماس \mathbf{v} بر \mathbf{E}^3 در نقطه \mathbf{p} » استفاده می‌کنیم.

تمرینات

۱. گیریم \mathbf{v}_p بردار مماس بر \mathbf{E}^3 باشد به‌طوری‌که:

$$\mathbf{v} = (2, -1, 3), \quad \mathbf{p} = (2, 0, -1)$$

مستقیماً با استفاده از تعریف، مشتق امتدادی $\mathbf{v}_p[f]$ را در حالت‌های زیر بیابید:

(الف) $f = y^2 z$ (ب) $f = x^y$ (ج) $f = e^x \cos y$

۲. مشتقهای امتدادی تمرین ۱ را با استفاده از لم ۲.۳ محاسبه کنید.

۳. گیریم $V = y^2 U_1 - x U_3$ و $f = xy$ و $g = z^2$. توابع زیر را حساب کنید:

(الف) $V[f]$ (ج) $V[fg]$ (ب) $V[g]$
 (د) $fV[g] - gV[f]$ (ا) $V[f^2 + g^2]$ (و) $V[V[f]]$

۴. اتحاد $V = \sum V[x_i]U_i$ را که در آن x_1, x_2, x_3 توابع مختصاتی طبیعی اند ثابت کنید. (داهنمای: $V = \sum v_i U_i$ را در x_i ارزیابی کنید.)

۵. اگر $V[f] = W[f]$ به ازای هر تابع f روی E^3 برقرار باشد، ثابت کنید که $V = W$.

۴. خم در E^3

گیریم I فاصله بازی برخط حقیقی R باشد. مقصود از فاصله در اینجا نه تنها فواصل باز معمولی $a < t < b$ و a و b اعداد حقیقی) است، بلکه شامل انواع $t < a$ (نیمخطی تا $+\infty$)، $t < b$ (نیمخطی تا $-\infty$) و نیز همه خط حقیقی می باشد. يك خم در E^3 رامی توان به صورت مسیر نقطه متحرك α تجسم کرد. در هر «لحظه» t واقع در يك فاصله باز، α در نقطه:

$$\alpha(t) = (\alpha_1(t), \alpha_2(t), \alpha_3(t))$$

در E^3 قرار دارد. به عبارت دقیقتر، α تابعی است از I به E^3 ، و توابع یا مقدار حقیقی $\alpha_1, \alpha_2, \alpha_3$ توابع مختصاتی اقلیدسی آن می باشند. از این رو می نویسیم $\alpha = (\alpha_1, \alpha_2, \alpha_3)$ و این بدان معنی است که به ازای هر t از فاصله I داریم:

$$\alpha(t) = (\alpha_1(t), \alpha_2(t), \alpha_3(t))$$

تابع α را هنگامی دیفرانسیل پذیر نامند که توابع مختصاتی آن به مفهوم معمولی دیفرانسیل پذیر باشند.

۹.۴. تعریف. هر خم در E^3 عبارت است از يك تابع دیفرانسیل پذیر $\alpha : I \rightarrow E^3$ از فاصله باز I در E^3 .

در اینجا چندمخ به عنوان مثال می آوریم، که در فصل دوم برای بررسی نتایج هندسه خمها به کار خواهند رفت.

۲.۴. مثال

(۱) خط راست. خط راست ساده ترین خم در فضای اقلیدسی است، توابع مختصاتی

آن توابعی خطی انسد (به معنی: $t \rightarrow at + b$ ، نه به معنی همگن آن $t \rightarrow at$). به عبارت روشنتر خم:

$$\alpha: \mathbf{R} \rightarrow E^3$$

که در آن:

$$\alpha(t) = \mathbf{p} + t\mathbf{q} = (p_1 + tq_1, p_2 + tq_2, p_3 + tq_3) \quad (\mathbf{q} \neq \mathbf{0})$$

خط راستی است که از نقطه $\mathbf{p} = \alpha(0)$ در راستای \mathbf{q} می‌گذرد.

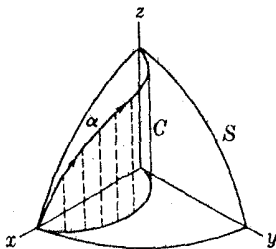
(۲) مارپیچ. خم $(a \cos t, a \sin t, c)$ در صفحه xy از E^3 یک دایره به شعاع $a > 0$ را می‌پیماید. اگر این خم با شیب ثابتی به بالا (یا به پایین) برود مارپیچ $\alpha: \mathbf{R} \rightarrow E^3$ به معادله:

$$\alpha(t) = (a \cos t, a \sin t, bt)$$

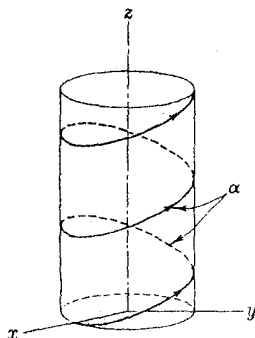
به دست می‌آید که در آن $a > 0$ ، $b \neq 0$. (ما همواره اصطلاح مارپیچ را به معنی مارپیچ مستدیر قائم به کار می‌بریم) (شکل ۷.۱).
(۳) گیریم:

$$\alpha(t) = (2 \cos^2 t, \sin 2t, 2 \sin t) \quad \left(0 < t < \frac{\pi}{2}\right)$$

این خم دارای ویژگی جالبی است: گیریم C استوانه‌ای در E^3 باشد که روی دایره به مرکز $(1, 0, 0)$ و به شعاع ۱ ساخته شده است. در این صورت خم α مسیری را می‌پیماید که از تقاطع کره S به مرکز مبدأ و شعاع ۲ با C ایجاد شده است (شکل ۸.۱).



شکل ۸.۱



شکل ۷.۱

(۲) خم $\alpha: \mathbb{R} \rightarrow \mathbb{E}^3$ به طوری که:

$$\alpha(t) = (e^t, e^{-t}, \sqrt{2}t)$$

همان ویژگی مارپیچ مثال (۲) را دارد یعنی با یک نسبت ثابت بالا می‌رود. اما در بالای
 جدولی $xy = 1$ (در صفحه xy) واقع است.

(۵) خم $\alpha: \mathbb{R} \rightarrow \mathbb{E}^3$ که در آن:

$$\alpha(t) = (3t - t^3, 3t^2, 3t + t^3)$$

اگر توابع مختصاتی خمی نسبتاً ساده باشند می‌توان تجسمی از شکل آن را در \mathbb{E}^3 حداقل
 به‌طور تقریبی، مثلاً به‌روش نقطه‌یابی، به‌دست آورد. از این خم می‌توان تصویر مناسبی
 به‌ازای $0 \leq t \leq 1$ با محاسبه $\alpha(t)$ به‌ازای $1, 9/10, 1/2, 1/10, 0$ به‌دست
 آورد.

اگر خم α در \mathbb{E}^3 را به‌صورت مسیر یک نقطه متحرک تجسم کنیم در این صورت
 در هر لحظه یک بردار مماس در نقطه $\alpha(t)$ موجود است که سرعت لحظه‌ای متحرک را
 در نقطه α و در لحظه t مشخص می‌کند.

۳.۴. تعریف. گیریم $\alpha: I \rightarrow \mathbb{E}^3$ خمی در \mathbb{E}^3 با $\alpha = (\alpha_1, \alpha_2, \alpha_3)$ باشد. به‌ازای
 هر عدد t در I بردار سرعت α در لحظه t همان بردار مماس:

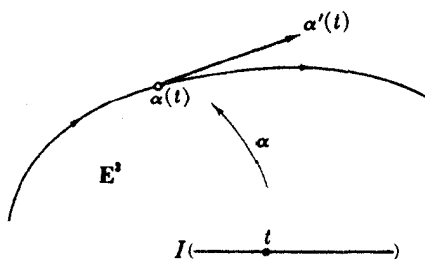
$$\alpha'(t) = \left(\frac{d\alpha_1}{dt}(t), \frac{d\alpha_2}{dt}(t), \frac{d\alpha_3}{dt}(t) \right)_{\alpha(t)}$$

در نقطه $\alpha(t)$ می‌باشد (شکل ۹.۱).

تعبیر هندسی این تعریف به‌قرار زیر است. مشتق یک تابع با مقدار حقیقی f روی
 \mathbb{R} نسبت به t چنین است

$$\frac{df}{dt}(t) = \lim_{\Delta t \rightarrow 0} \frac{f(t + \Delta t) - f(t)}{\Delta t}$$

هر گاه به‌جای تابع f خم $\alpha = (\alpha_1, \alpha_2, \alpha_3)$ گذاشته شود باز هم این فرمول به‌قوت خود



شکل ۹.۱

باقی می ماند. زیرا:

$$\frac{1}{\Delta t}(\alpha(t+\Delta t) - \alpha(t)) =$$

$$\left(\frac{\alpha_1(t+\Delta t) - \alpha_1(t)}{\Delta t}, \frac{\alpha_2(t+\Delta t) - \alpha_2(t)}{\Delta t}, \frac{\alpha_3(t+\Delta t) - \alpha_3(t)}{\Delta t} \right)$$

که برداری از $\alpha(t)$ به $\alpha(t+\Delta t)$ با ضریب اسکالر $1/\Delta t$ می باشد (شکل ۱۰.۱). اما هنگامی که Δt بسیار کوچک شود $\alpha(t+\Delta t)$ به $\alpha(t)$ نزدیک می شود و در حد

همین کسه $\Delta t \rightarrow 0$ ، بردار هماس بر خم α در نقطه $\alpha(t)$ به صورت

$$(d\alpha_1/dt(t), d\alpha_2/dt(t), d\alpha_3/dt(t))$$

به دست می آید، و همان طور که در شکل دیده می شود نقطه اثر این بردار نقطه $\alpha(t)$ می باشد.

از این رو عمل حدی مشتقگیری معمولی به تعریف سرعت يك خم منجر می شود.

اگر از اتحاد

$$(v_1, v_2, v_3)_p = \sum v_i U_i(p)$$

برای سرعت $\alpha'(t)$ در لحظه t استفاده کنیم، فرمول دیگر

$$\alpha'(t) = \sum \frac{d\alpha_i}{dt}(t) U_i(\alpha(t))$$

به دست می آید.

مثلاً بردار سرعت خط راست $\alpha(t) = p + tq$ برابر است با:

$$\alpha'(t) = (q_1, q_2, q_3)_{\alpha(t)} = \mathbf{q}_{\alpha(t)}$$

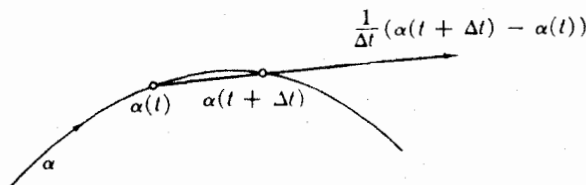
مستقیم بودن خط از توازی بردارهای مماس آن معلوم می شود. با تغییر t ، تنها نقطه اثر آن تغییر می کند.

در باره مارپیچ:

$$\alpha(t) = (a \cos t, a \sin t, bt)$$

بردار سرعت عبارت است از:

$$\alpha'(t) = (-a \sin t, a \cos t, b)_{\alpha(t)}$$



شکل ۱۰.۱

ثابت بودن مختص z بردار $\alpha'(t)$ نمایشگر آن است که مارپیچ به میزان ثابتی بالا می‌رود. از خم مفروض α می‌توان خمهای دیگری، که همان مسیر α را می‌پیمایند و فقط سرعت آنها متفاوت است، به دست آورد.

۴.۴. تعریف. گیریم I و J فاصله‌های بازی بر خط حقیقی \mathbf{R} باشند و $\alpha: I \rightarrow \mathbf{E}^3$ يك خم و $h: J \rightarrow I$ تابع (حقیقی) دیفرانسیلپذیر باشد. در این صورت تابع مرکب:

$$\beta = \alpha(h): J \rightarrow \mathbf{E}^3$$

خمی است که از تعویض پارامتر α به وسیله h به دست آمده است.

در هر لحظه s متعلق به فاصله J خم β در نقطه $\beta(s) = \alpha(h(s))$ است، که همان نقطه خم α در لحظه $h(s)$ متعلق به فاصله I می‌باشد (شکل ۱۱.۱). عملاً مختصات β به سادگی با قرارداد $t = h(s)$ در مختصات $\alpha_1(t)$ ، $\alpha_2(t)$ و $\alpha_3(t)$ از خم α به دست می‌آید. مثلاً گیریم به ازای t ، $I: 0 < t < 4$ ، $\alpha(t) = (\sqrt{t}, t\sqrt{t}, 1-t)$. اگر قرار دهیم $h(s) = s^2$ به ازای $J: 0 < s < 2$ ، در این صورت:

$$\beta(s) = \alpha(h(s)) = \alpha(s^2) = (s, s^2, 1-s^2)$$

بنابراین خم $\beta: J \rightarrow \mathbf{E}^3$ به وسیله تعویض پارامتر h از خم $\alpha: I \rightarrow \mathbf{E}^3$ به دست آمده است.

لم زیر رابطه سرعت و تعویض پارامتر را بیان می‌کند:

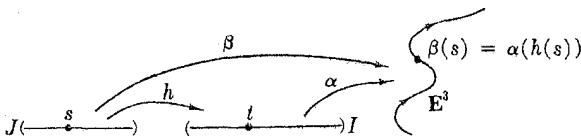
۵.۴. لم. اگر β از تعویض پارامتر خم α به وسیله h به دست آمده باشد، در این صورت داریم:

$$\beta'(s) = \left(\frac{dh}{ds}\right)(s) \alpha'(h(s))$$

برهان. اگر $\alpha = (\alpha_1, \alpha_2, \alpha_3)$ ، آنگاه:

$$\beta(s) = \alpha(h(s)) = (\alpha_1(h(s)), \alpha_2(h(s)), \alpha_3(h(s)))$$

با استفاده از قانون مشتق توابع مرکب برای توابع f و g داریم: $(g(f))' = g'(f) \cdot f'$



که برای مسأله مورد نظر ما خواهیم داشت:

$$\alpha_i(h)'(s) = \alpha'_i(h(s)) \cdot h'(s)$$

و بنابراین تعریف سرعت خواهیم داشت:

$$\begin{aligned} \beta'(s) &= \alpha(h)'(s) \\ &= (\alpha'_1(h(s)) \cdot h'(s), \alpha'_2(h(s)) \cdot h'(s), \alpha'_3(h(s)) \cdot h'(s)) \\ &= h'(s) \alpha'(h(s)) \end{aligned}$$

بنابراین لم، برای تعیین سرعت خمی که از تعویض پارامتر خم α به وسیله h به دست آمده است باید نخست در α' به وسیله h تعویض پارامتر نمود و سپس آن را در مشتق h ضرب کرد.

از آنجا که سرعت، يك بردار مماس است می توان مشتق توابع را بر حسب سرعت محاسبه کرد.

۶۰۴. لم. گیریم α خمی در E^3 و f تابع ديفرانسیبل پذیری روی E^3 باشد. در این صورت:

$$\alpha'(t)[f] = \frac{d(f(\alpha))}{dt}(t)$$

برهان. چون:

$$\alpha'(t) = \left(\frac{d\alpha_1}{dt}, \frac{d\alpha_2}{dt}, \frac{d\alpha_3}{dt} \right)_\alpha$$

با استفاده از لم ۲۰۳ داریم:

$$\alpha'(t)[f] = \sum \frac{\partial f}{\partial x_i}(\alpha(t)) \frac{d\alpha_i}{dt}(t)$$

از طرف دیگر تابع مرکب $f(\alpha)$ را می توان به صورت $f(\alpha_1, \alpha_2, \alpha_3)$ نوشت، و با توجه به قانون مشتق توابع مرکب لم اثبات می شود.

بنابر تعریف، $\alpha'(t)[f]$ میزان تغییر f در طول خطی است که از $\alpha(t)$ با راستای $\alpha'(t)$ می گذرد (شکل ۱۲۰۱). اگر $\alpha'(t) \neq 0$ ، این خط بر خم α در $\alpha(t)$ مماس است، به تمرین ۹ رجوع شود. این لم نشان می دهد که این میزان تغییر با میزان تغییر f در امتداد خم α یکی است.

چون خم $\alpha: I \rightarrow E^3$ يك تابع است، می توان يك به يك بودن α را بررسی کرد، یعنی $\alpha(t) = \alpha(t_1)$ ، فقط اگر $t = t_1$. ویژگی دیگر خمها متناوب بودن است: خم

$\alpha: \mathbf{R} \rightarrow \mathbf{E}^2$ را متناوب گویند اگر عدد $p > 0$ را بتوان طوری تعیین کرد که به ازای همه مقادیر t داشته باشیم $\alpha(t+p) = \alpha(t)$ و کوچکترین مقدار p را دوده تناوب α می نامند.

از دیدگاه آنالیز مهمترین شرط برای خم α آن است که منظم باشد، یعنی همه بردارهای سرعت آن مخالف صفر باشند. چنین خمی دارای نقاط زاویه ای و بازگشت نیست. نکات زیر درباره خمها (که بدون اثبات ذکر می شوند) در این نظریه دارای نقش اساسی نیستند، اما در فصل چهارم به کار خواهند رفت. در صفحه \mathbf{E}^2 برای نمایش «خمها» روش دیگری نیز متداول است. اگر f تابعی مشتقپذیر با مقدار حقیقی روی \mathbf{E}^2 باشد، در این صورت:

$$C: f = a$$

یعنی مجموعه همه نقاط p از \mathbf{E}^2 را که در رابطه $f(p) = a$ صدق می کند در نظر می گیریم. اگر مشتقهای جزئی $\partial f / \partial x$ و $\partial f / \partial y$ به ازای هیچ یک از نقاط C توأماً صفر نباشند، در این صورت C از یک یا چند مؤلفه جدا تشکیل می گردد که آنها را خم می نامند. مثلاً $C: x^2 + y^2 = r^2$ دایره ای به مرکز مبدأ \mathbf{E}^2 و شعاع r می باشد، و هذلولی $C: x^2 - y^2 = r^2$ به دو خم (شاخه) C_1 و C_2 تجزیه می شود، چنان که در شکل ۱۳.۱ نشان داده شده است.

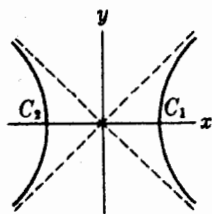
هر خم C مسیر بسیاری از خمهای منظم α می باشد، که آنها را نمایشهای پادامتری C می نامند؛ اگر C خم بسته ای باشد، در این صورت دارای نمایش پارامتری متناوب $\alpha: \mathbf{R} \rightarrow C$ است. مثلاً خم:

$$\alpha(t) = (r \cos t, r \sin t)$$

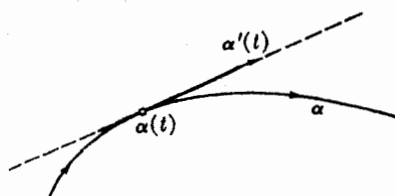
نمایش پارامتری متناوب دایره متناوب بالا می باشد. اگر خم C بسته نباشد (که گاهی آن را کمان نیز می نامند) در این صورت هر نمایش پارامتری $\beta: I \rightarrow C$ یک بیژکسیون است، مثلاً:

$$\beta(t) = (r \cosh t, r \sinh t)$$

نمایش پارامتری شاخه $x > 0$ هذلولی بالا می باشد.



شکل ۱۳.۱



شکل ۱۲.۱

تمرینات

۱. بردار سرعت خم (۳) مثال ۲.۴ را به ازای مقدار دلخواه t و $t = \pi/4$ بیابید.
۲. خم (۵) در مثال ۲.۴ را با روشی که در همان جا ذکر شد رسم کنید. در روی شکل بردارهای سرعت در نقاط $1, 1/2, 0$ را نشان دهید.
۳. مطلوب است تعیین توابع مختصاتی خم $\beta = \alpha(h)$ که در آن $h(s) = \arcsin s$ به ازای $0 < s < 1$ و $J: \alpha$ خم (۳) مثال ۲.۴ است.
۴. خم α را طوری تعیین کنید که $\alpha(0) = (1, 0, -5)$ و $\alpha'(t) = (t^2, t, e^t)$.
۵. معادله خط راستی را که از نقاط $(1, -3, -1)$ و $(6, 2, 1)$ می گذرد بیابید. آیا این خط، با خطی که از نقاط $(-1, 1, 0)$ و $(-5, -1, -1)$ می گذرد متقاطع است؟
۶. با استفاده از لم ۶.۴ نشان دهید که می توان در تعریف مشتق امتدادی (تعریف ۱.۳) به جای خط راست $t \rightarrow p + tv$ هر خم دیگر α را با $\alpha(0) = p$ و سرعت اولیه $\alpha'(0) = v_p$ در نظر گرفت.
۷. (ادامه) نشان دهید که v_p سرعت اولیه خمهای $(t, 1+t^2, t)$ ، $(\sin t, \cos t, t)$ و $(\sinh t, \cosh t, t)$ با هم برابرند، و اگر $f = x^2 - y^2 + z^2$ و اگر $v_p[f]$ را با محاسبه f روی هر یک از خمها بیابید.
۸. در خم (۴) مثال ۲.۴ تعویض پارامتر $h(s) = \log s$ به ازای $s > 0$ را انجام دهید، و تساوی لم ۵.۴ را با محاسبه هر طرف جداگانه تحقیق کنید.
۹. به ازای مقدار ثابت t ، خط مماس بر خم منظم α در $\alpha(t)$ عبارت است از خط راست $u \rightarrow \alpha(t) + u\alpha'(t)$ که از آن نقطه آغازی $\alpha'(t)$ حذف شده است. مطلوب است تعیین خط مماس بر مارپیچ $\alpha(t) = (2\cos t, 2\sin t, t)$ در نقاط $\alpha(0)$ و $\alpha(\pi/4)$.
۱۰. هر یک از خمهای زیر در E^3 را رسم کنید و معادلات پارامتری آنها را بیابید:
- (الف) $C: 2x^2 + y^2 = 1$ (ب) $C: 3x + 4y = 1$
- (ج) $C: y = e^x$ (د) $C: x^{2/3} + y^{2/3} = 1, x > 0, y > 0$

۵-۱- فرمها

هرگاه f تابعی با مقدار حقیقی روی E^3 باشد، $f: E^3 \rightarrow \mathbf{R}$ ، در آنالیز مقدماتی دیفرانسیل f با:

$$df = \frac{\partial f}{\partial x} dx + \frac{\partial f}{\partial y} dy + \frac{\partial f}{\partial z} dz$$

تعریف می‌گردد. البته همواره معنی دقیق این عبارت را روشن نمی‌کنند. در این بند با استفاده از مفهوم ۱-فرمها بیان دقیق آن را که در بررسیهای بعدی دارای نقش اساسی است به دست می‌دهیم.

۱۰۵. تعریف. ۱-فرمی ϕ روی E^3 عبارت است از تابعی با مقدار حقیقی روی مجموعه بردارهای مماس بر E^3 به طوری که ϕ در هر نقطه خطی باشد، یعنی تساوی:

$$\phi(av + bw) = a\phi(v) + b\phi(w)$$

به ازای هر عدد a و b و بردارهای مماس v و w در یک نقطه E^3 برقرار باشد.

باید توجه داشت که به ازای هر بردار v مماس بر E^3 ، یک ۱-فرمی ϕ یک عدد حقیقی $\phi(v)$ را معین می‌کند و به ازای هر نقطه p از E^3 تابع حاصل $\phi_p: T_p(E^3) \rightarrow \mathbf{R}$ است خطی [بدین ترتیب در هر نقطه p ، ϕ_p عنصری از فضای دگمان $T_p(E^3)$ می‌باشد. با این تعبیر مفهوم ۱-فرمی، دوگان مفهوم میدان برداری است].
مجموع ۱-فرمهای ϕ و ψ مطابق معمول بطور نقطه‌ای تعریف می‌شود:

$$(\phi + \psi)(v) = \phi(v) + \psi(v)$$

به ازای همه بردارهای مماس v .

همچنین اگر f تابعی حقیقی روی E^3 و ϕ یک ۱-فرمی باشد، در این صورت $f\phi$ عبارت است از ۱-فرمی زیر:

$$(f\phi)(v_p) = f(p)\phi(v_p)$$

به ازای همه بردارهای مماس v_p .

همچنین می‌توان یک ۱-فرمی ϕ را روی یک میدان برداری V تأثیر داد و یک تابع $\phi(V)$ با مقدار حقیقی به دست آورد: در هر نقطه p مقدار $\phi(V)$ برابر عدد $\phi(V(p))$ است. بدینسان یک ۱-فرمی را می‌توان به صورت ماشینی در نظر گرفت که میدانهای برداری را به توابع با مقدار حقیقی بدل می‌کند. اگر هنگامی که V دیفرانسیلپذیر است، $\phi(V)$ نیز دیفرانسیلپذیر باشد، ϕ را دیفرانسیلپذیر گوئیم. در اینجا مانند میدانهای برداری همواره با ۱-فرمهای دیفرانسیلپذیر سروکار داریم.

به سادگی می‌توان تحقیق کرد که $\phi(V)$ ، هم بر حسب ϕ و هم بر حسب V خطی است، یعنی:

$$\phi(fV + gW) = f\phi(V) + g\phi(W)$$

و

$$(f\phi + g\psi)(V) = f\phi(V) + g\psi(V)$$

که در آن f و g دو تابع اند.

با استفاده از مفهوم مشتق امتدادی مهمترین روش تبدیل توابع را به ۱- فرمیها بیان می‌کنیم.

۲.۵. تعریف. اگر f تابع دیفرانسیلپذیری با مقدار حقیقی روی E^3 باشد df ، دیفرانسیل f ، یک ۱- فرمی است به طوری که به ازای همه بردارهای مماس v_p در $v_p[f] = df(v_p)$ صدق کند.

از این تعریف دیده می‌شود که df دقیقاً یک ۱- فرمی است، زیرا اولاً یک تابع با مقدار حقیقی روی بردارهای مماس است، و ثانیاً بنا بر قسمت اول قضیه ۳.۳ در هر نقطه p خطی است. روشن است که df می‌تواند میزان تغییر f را در همه راستاهای E^3 به دست دهد، و تقسّ اساسی حساب دیفرانسیل روی E^3 بر همین نکته استوار است. اکنون نشان می‌دهیم که تعریف نسبتاً مجرد فوق وقتی بر حسب مختصات بیان شوند، نتایج کاملاً آشنایی را به دست می‌دهند.

۳.۵. مثال. ۱- فرمیها روی E^3 . (۱) دیفرانسیلهای توابع مختصاتی طبیعی dx_1, dx_2, dx_3 و dx_p با استفاده از لم ۲.۳ می‌یابیم:

$$dx_i(v_p) = v_p[x_i] = \sum_j v_j \frac{\partial x_i}{\partial x_j}(p) = \sum_j v_j \delta_{ij} = v_i$$

که در آن δ_{ij} دلتای کرونکر است (به ازای $j \neq i$ برابر ۰ است و به ازای $i = j$ برابر ۱). بدینسان مقدار dx_i به ازای هر بردار مماس دلخواه v_p برابر v_i ، i امین مختص بردار مزبور است، و اصلاً بستگی به نقطه اثر p ندارد.

(۲) ۱- فرمی $\psi = f_1 dx_1 + f_2 dx_2 + f_3 dx_3$ چون dx_i ها ۱- فرمی اند، ψ نیز به ازای توابع دلخواه f_1, f_2, f_3 و نیز یک ۱- فرمی است. مقدار ψ به ازای هر بردار مماس دلخواه v_p عبارت است از:

$$\psi(v_p) = (\sum f_i dx_i)(v_p) = \sum f_i(p) dx_i(v) = \sum f_i(p) v_i$$

مثال اول نشان می‌دهد که ۱- فرمیهای dx_1, dx_2, dx_3 با بردارهای مماس توابع مختصاتی x_1, x_2, x_3 متناظرند. همچنین می‌توان dx_1, dx_2, dx_3 را دوگانهای میدانهای برداری یکه طبیعی U_1, U_2, U_3 دانست. زیرا از (۱) نتیجه می‌شود که تابع $dx_i(U_j)$ دارای مقدار ثابت δ_{ij} است.

اکنون نشان می‌دهیم که هر ۱- فرمی را می‌توان به صورت (۲) بالا نوشت.

۴.۵. لم. اگر ϕ یک ۱- فرمی روی E^3 باشد، در این صورت $\phi = \sum f_i dx_i$ ، که در آن $f_i = \phi(U_i)$. توابع f_1, f_2, f_3 را توابع مختصاتی اقلیدسی ϕ می‌نامند.

برهان. بنا بر تعریف، یک ۱- فرمی تابعی است روی بردارهای مماس، بنابراین $\phi = \sum f_i dx_i$

هنگامی برابرند که مقدار آنها به ازای هر بردار مماس $\mathbf{v}_p = \sum v_i U_i(\mathbf{p})$ یکی باشد. دیدیم که (مثال (۲)، (۳.۵):

$$(\sum f_i dx_i)(\mathbf{v}_p) = \sum f_i(\mathbf{p})v_i$$

از طرف دیگر:

$$\phi(\mathbf{v}_p) = \phi(\sum v_i U_i(\mathbf{p})) = \sum v_i \phi(U_i(\mathbf{p})) = \sum v_i f_i(\mathbf{p})$$

و چون $f_i = \phi(U_i)$ ، بدینسان ϕ و $\sum f_i dx_i$ یک مقدار روی هر بردار مماس دارند و بنابراین باهم برابرند.

این لم نشان می‌دهد که هر ۱-فرمی روی \mathbb{E}^3 به صورت $f dx + g dy + h dz$ می‌باشد، و این عبارتها دقیقاً به صورت توابعی روی بردارهای مماس هستند. اکنون نشان می‌دهیم که تعریف دیفرانسیل توابع (تعریف ۲.۵) با تعریفی که در اینجا بیان شد مطابقت دارد.

۵.۵. فرع. اگر f تابع دیفرانسیلپذیر روی \mathbb{E}^3 باشد، آنگاه:

$$df = \sum \frac{\partial f}{\partial x_i} dx_i$$

پروهان. مقدار $\sum (\partial f / \partial x_i) dx_i$ به ازای هر بردار مماس \mathbf{v}_p عبارت است از $\sum (\partial f / \partial x_i)(\mathbf{p})v_i$. بنا بر نم ۲.۳، همان $\mathbf{v}_p[f]$ است. بنابراین ۱-فرمیهای df و $\sum (\partial f / \partial x_i) dx_i$ برابرند.

با استفاده از این فرع یا از تعریف d خواهیم داشت:

$$d(f+g) = df + dg$$

بالاخره با بررسی تأثیر d روی حاصل ضرب توابع و توابع مرکب این بحث را پایان می‌دهیم.

۶.۵. لم. اگر f, g حاصل ضرب دو تابع دیفرانسیلپذیر f و g روی \mathbb{E}^3 باشد، آنگاه:

$$d(fg) = g df + f dg$$

پروهان. با توجه به فرع ۵.۵، خواهیم داشت:

$$\begin{aligned} d(fg) &= \sum \frac{\partial(fg)}{\partial x_i} dx_i = \sum \left(\frac{\partial f}{\partial x_i} g + f \frac{\partial g}{\partial x_i} \right) dx_i \\ &= g \left(\sum \frac{\partial f}{\partial x_i} dx_i \right) + f \left(\sum \frac{\partial g}{\partial x_i} dx_i \right) \\ &= g df + f dg \end{aligned}$$

۷.۵. لم. اگر $f: \mathbb{E}^r \rightarrow \mathbb{R}$ و $h: \mathbb{R} \rightarrow \mathbb{R}$ دو تابع دیفرانسیلپذیر باشند، تابع مرکب $h(f): \mathbb{E}^r \rightarrow \mathbb{R}$ نیز دیفرانسیلپذیر است و در این صورت داریم:

$$d(h(f)) = h'(f) df$$

برهان. (علامت پریم در اینجا معرف مشتق است، لذا $h'(f)$ باز تابعی است مرکب از \mathbb{R}^r به \mathbb{R}). با استفاده از قانون مشتق توابع مرکب مانند $h(f)$ ، داریم:

$$\frac{\partial (h(f))}{\partial x_i} = h'(f) \frac{\partial f}{\partial x_i}$$

از آنجا:

$$\blacksquare \quad d(h(f)) = \sum \frac{\partial (h(f))}{\partial x_i} dx_i = \sum h'(f) \frac{\partial f}{\partial x_i} dx_i = h'(f) df$$

در محاسبه df برای یک تابع مفروض f تقریباً همیشه استفاده از این خواص ساده‌تر از قراردادن آن در فرمول فرع ۵.۵ است. بنابراین مشتقهای جزئی f و به‌طور کلی همه مشتقهای امتدادی آن مستقیماً از df به‌دست می‌آیند. مثلاً بگیریم:

$$f = (x^2 - 1)y + (y^2 + 2)z$$

بنابر لمهای ۶.۵ و ۷.۵ خواهیم داشت:

$$\begin{aligned} df &= (2x dx)y + (x^2 - 1)dy + (2y dy)z + (y^2 + 2)dz \\ &= \underbrace{2xy dx}_{df/\partial x} + \underbrace{(x^2 + 2yz - 1) dy}_{df/\partial y} + \underbrace{(y^2 + 2) dz}_{df/\partial z} \end{aligned}$$

و با استفاده از دستور بالا مقدار این عبارت را به ازای بردار مماس \mathbf{v} به دست می‌آوریم. نتیجه چنین است:

$$\mathbf{v}_p[f] = df(\mathbf{v}_p) = 2p_1 p_2 v_1 + (p_1^2 + 2p_2 p_3 - 1)v_2 + (p_2^2 + 1)v_3$$

تمرینات

۱. بگیریم $\mathbf{v} = (1, 2, -3)$ و $\mathbf{p} = (0, -2, 1)$. فرمهای زیر را روی بردار مماس \mathbf{v}_p محاسبه کنید.

(الف) $y^2 dx$ (ب) $z dy - y dz$ (ج) $(z^2 - 1)dx - dy + x^2 dz$

۲. اگر $\phi = \sum f_i dx_i$ و $V = \sum v_i U_i$ ، نشان دهید که مقدار ۱- فرمی ϕ روی میدان V با تابع $\phi(V) = \sum f_i v_i$ برابر است.

۳. مقدار ۱-فرمی $\phi = x^2 dx - y^2 dz$ را روی میدانهای برداری زیر به دست آورید:

$$V = xU_1 + yU_2 + zU_3$$

$$W = xy(U_1 - U_2) + yz(U_1 - U_2)$$

$$\left(\frac{1}{x}\right)V + \left(\frac{1}{y}\right)W$$

۴. دیفرانسیلهای زیر را بر حسب df بیان کنید:

(الف) $d(f^5)$ (ب) $d(\sqrt{f})$ که در آن $f > 0$

(ج) $d(\log(1+f^2))$

۵. دیفرانسیل توابع زیر را به صورت معمول $\sum f_i dx_i$ بیان کنید:

(الف) $(x^2 + y^2 + z^2)^{1/2}$ (ب) $\arctg\left(\frac{y}{x}\right)$

۶. در هر يك از حالت‌های زیر دیفرانسیل f و مشتق امتدادی $\mathbf{v}_p[f]$ را به ازای \mathbf{v}_p که در

تمرین ۱ معین شد، بیابید:

(الف) $f = xy^2 - yz^2$ (ب) $f = xe^{yz}$

(ج) $f = \sin(xy) \cos(xz)$

۷. کدام يك از عبارتهای زیر ۱-فرمی‌اند؟ در هر حالت ϕ تابعی از بردارهای مماس است

که مقدار آن به ازای $(v_1, v_2, v_3)_p$ برابر است با:

(الف) $v_1 - v_2$ (ب) $v_1 - v_3$ (ج) $v_1 p_2 + v_2 p_1$ (د) $v_1 p_2 + v_2 p_1$ (ه) 0

(الف) $p_1 - p_2$ (ب) $v_p[x^2 + y^2]$ (ج) $(p_1)^2$ (د) $v_p[x^2 + y^2]$ (ه) $(p_1)^2$

در حالتی که ϕ يك ۱-فرمی باشد آن را به صورت $\sum f_i dx_i$ بنویسید.

۸. لم ۶.۵ را مستقیماً با استفاده از تعریف d و بدون استفاده از فرع ۵.۵ اثبات کنید.

۹. ۱-فرمی ϕ هنگامی در نقطه \mathbf{p} صفر است که به ازای همه بردارهای مماس در \mathbf{p} داشته

باشیم $\phi(\mathbf{v}_p) = 0$. نقطه‌ای که به ازای آن df صفر باشد نقطه بحرانی تابع f نام

دارد. نشان دهید که شرط لازم و کافی برای آنکه \mathbf{p} نقطه بحرانی باشد آن است که:

$$\frac{\partial f}{\partial x}(\mathbf{p}) = \frac{\partial f}{\partial y}(\mathbf{p}) = \frac{\partial f}{\partial z}(\mathbf{p}) = 0$$

نقاط بحرانی تابع $f = (1-x^2)y + (1-y^2)z$ را بیابید.

(داهنمایی: مشتقات جزئی f را از راه محاسبه df به دست آورید.)

۱۰. (ادامه) نشان دهید که ماکسیمم و مینیممهای موضعی، نقاط بحرانی f می باشند. (نقطه p ماکسیمم موضعی f است هر گاه به ازای هر q در مجاورت p داشته باشیم $f(q) \leq f(p)$.)

۱۱. اغلب df را به عنوان تقریب خطی Δf در نظر می گیرند.

(الف) توضیح دهید که چگونه $(df)(v_p)$ تقریب خطی $f(p+v) - f(p)$ می باشد.

(ب) مقادیر تقریبی و تحقیقی $f(1, 1.05, 1) - f(1, 1.06, 1.02)$ را به ازای $f = x^2y/z$ بیابید.

۶. فرمهای دیفرانسیلی

۱- فرمها روی E^3 بخشی از دستگاه بزرگتری موسوم به فرمهای دیفرانسیلی روی E^3 می باشند. در اینجا فرمهای دیفرانسیلی را به اختصار بررسی می کنیم، زیرا از آنها فقط در بند ۸ فصل دوم استفاده خواهیم کرد. می توان فرمهای دیفرانسیلی روی E^3 را به صورت عبارتهای حاصل از جمع و ضرب توابع بسا مقادیر حقیقی و دیفرانسیلهای dx_1, dx_2, dx_3 از توابع مختصاتی طبیعی E^3 در نظر گرفت. این دو عمل دارای خواص معمولی شرکتپذیری و توزیعپذیری می باشند، اما عمل ضرب تعویضپذیر نیست، و به جای آن قاعده تناوبی زیر برقرار است:

$$dx_i dx_j = -dx_j dx_i \quad (1 \leq i, j \leq 3).$$

در آنالیز مقدماتی نیز تلویحاً به این قاعده برمی خوریم (به تمرین ۹ رجوع شود). یکی از نتایج قاعده تناوبی آن است که «حاصل ضربهای با عوامل مکرر صفرند»؛ یعنی $dx_i dx_i = 0$ ، زیرا به ازای $i = j$ از قاعده تناوبی نتیجه می شود:

$$dx_i dx_i = -dx_i dx_i$$

اگر هر يك از عوامل حاصل جمع فرمهای دیفرانسیلی شامل p عامل dx_i ($p = 0, 1, 2, 3$) باشد آن را يك p -فرم می نامند، و p درجه آن است. بدین ترتیب چون عبارتها را بر حسب dx, dy, dz در نظر بگیریم داریم:

يك ۰-فرمی درست يك تابع دیفرانسیلپذیر f می باشد.
 يك ۱-فرمی عبارتی به صورت $f dx + g dy + h dz$ است.

يك ۲- فرمی عبارتی به صورت $f dx dy + g dx dz + h dy dz$ می باشد.
 يك ۳- فرمی عبارتی به صورت $f dx dy dz$ است.

همان طور که جمع ۱- فرمیها را با جمع توابع ضرب متناظر بیان کردیم:

$$\sum f_i dx_i + \sum g_i dx_i = \sum (f_i + g_i) dx_i$$

برای ۲- فرمی و ۳- فرمیها نیز به همان ترتیب جمع تعریف می گردد.
 در فضای اقلیدسی سه بعدی همه p -فرمیها به ازای $p > 3$ صفرند. زیرا برای حاصل ضرب بیش از سه dx_i باید یکی از dx_i ها تکرار شود و بنابراین در هر يك از آنها عوامل مکرر موجود است، مثلاً داریم:

$$dx dy dx dz = -dx dx dy dz = 0$$

زیرا $dx dx = 0$. در باقیمانده این بند برای ضرب فرمها علامت گوذه، \wedge ، را به کار می بریم. (اما هنگامی که حاصل ضرب فقط شامل dx ، dy و dz باشد برای سادگی علامت \wedge را حذف می کنیم.)

۱۰۶- مثال. محاسبه حاصل ضرب فرمها. (۱) گیریم:

$$\phi = x dx - y dy \quad \text{و} \quad \psi = z dx + x dz$$

داریم:

$$\begin{aligned} \phi \wedge \psi &= (x dx - y dy) \wedge (z dx + x dz) \\ &= xz dx dx + x^2 dx dz - yz dy dx - yx dy dz \end{aligned}$$

اما

$$dx dx = 0 \quad \text{و} \quad dy dx = -dx dy$$

پس:

$$\phi \wedge \psi = yz dx dy + x^2 dx dz - xy dy dz$$

به طور کلی حاصل ضرب دو ۱- فرمی يك ۲- فرمی است.
 (۲) ϕ و ψ ، ۱- فرمیهای بالا را در نظر می گیریم و قرار می دهیم:

$$\theta = z dy$$

پس:

$$\theta \wedge \phi \wedge \psi = yz^2 dy dx dy + x^2 z dy dx dz - xyz dy dy dz$$

و چون $dydydz$ و $dydx dy$ حاوی عوامل مکررند برابر صفر می باشند. بدینسان:

$$\theta \wedge \phi \wedge \psi = -x^2 z dx dy dz$$

(۳) ۲- فرمی $\eta = y dx dz + x dy dz$ و ۱- فرمی ϕ بالا را در نظر می گیریم.

داریم:

$$\phi \wedge \eta = x^2 dx dy dz - y^2 dy dx dz = (x^2 + y^2) dx dy dz$$

روشن است که حاصل ضرب یک p -فرمی در یک q -فرمی یک $(p+q)$ -فرمی خواهد بود. در نتیجه هنگامی که $p+q > 3$ برقرار باشد، حاصل صفر می شود.

۰۲۰۶. لم. اگر ϕ و ψ ، ۱-فرمی باشند، در این صورت:

$$\phi \wedge \psi = -\psi \wedge \phi$$

برهان. می نویسیم:

$$\phi = \sum f_i dx_i \quad \text{و} \quad \psi = \sum g_i dx_i$$

بنابر قاعده تناوبی:

$$\phi \wedge \psi = \sum f_i g_j dx_i dx_j = -\sum g_j f_i dx_j dx_i = -\psi \wedge \phi$$

عملگر d که در ۲.۵ تعریف شد، ۰-فرمی f را به ۱-فرمی df تبدیل می کند. می توان آن را به آسانی تعمیم داد، و عملگری (که آن را نیز با d نشان می دهیم) تعریف کرد که هر p -فرمی η را به $(p+1)$ -فرمی $d\eta$ بدل کند. برای این کار کافی است d (تعریف ۲.۵) را روی توابع ضریب η اثر داد. مثلاً، در این مورد $p=1$.

۳.۶. تعریف. اگر $\phi = \sum f_i dx_i$ یک ۱-فرمی روی E^3 باشد، مشتق خارجی ϕ عبارت است از ۲-فرمی $d\phi = \sum df_i \wedge dx_i$.

از تعمیم تعریف بالا و استفاده از فرع ۵.۵ فرمول جالب زیر برای مشتق خارجی

$$\phi = f_1 dx_1 + f_2 dx_2 + f_3 dx_3$$

به دست می آید:

$$d\phi = \left(\frac{\partial f_2}{\partial x_1} - \frac{\partial f_1}{\partial x_2} \right) dx_1 dx_2 + \left(\frac{\partial f_3}{\partial x_1} - \frac{\partial f_1}{\partial x_3} \right) dx_1 dx_3 + \left(\frac{\partial f_3}{\partial x_2} - \frac{\partial f_2}{\partial x_3} \right) dx_2 dx_3$$

لزومی ندارد که این فرمول به خاطر سپرده شود؛ بهتر است همواره تعریف مورد استفاده قرار گیرد. مثلاً، گیریم:

$$\phi = xy dx + x^2 dz$$

از آنجا:

$$\begin{aligned} d\phi &= d(xy) \wedge dx + d(x^2) dz \\ &= (y dx + x dy) \wedge dx + 2x dx dz \\ &= -x dx dy + 2x dx dz \end{aligned}$$

به آسانی می توان تحقیق کرد که مشتق خارجی دارای همان خصوصیت خطی بودن مذکور در ۲.۵ است، یعنی:

$$d(a\phi + b\psi) = a d\phi + b d\psi$$

که در آن ϕ و ψ دو فرم دلخواه و a و b مقادیر ثابت می باشند. مشتق خارجی و ضرب \wedge با هم عمل می کنند.

۴.۶. قضیه. توابع f و g و ۱- فرمیهای ϕ و ψ را در نظر می گیریم. داریم:

$$d(fg) = df g + f dg \quad (۱)$$

$$d(f\phi) = df \wedge \phi + f d\phi \quad (۲)$$

$$d(\phi \wedge \psi) = d\phi \wedge \psi - \phi \wedge d\psi^{(۱)} \quad (۳)$$

برهان. فرمول اول همان لم ۶.۵ است، و ما آن را در اینجا فقط برای نشان دادن شباهت این سه فرمول آورده ایم. برهان فرمول دوم به عنوان حالت خاص فرمول سوم به دست می آید، از این رو به اثبات فرمول آخر می پردازیم.

حالت ۱. $\phi = f dx$ و $\psi = g dx$. چون:

$$\phi \wedge \psi = fg dx dx = 0$$

باید نشان دهیم که طرف دوم معادله نیز صفر است. اما:

$$d\phi = df \wedge dx = \frac{\partial f}{\partial y} dy dx + \frac{\partial f}{\partial z} dz dx$$

و در نتیجه هر جمله $d\phi \wedge \psi$ دارای عامل مکرر dx می باشد، بنابراین $d\phi \wedge \psi = 0$ و $\phi \wedge d\psi = 0$.

۱. مطابق معمول، عمل ضرب بر اعمال جمع و تفریق تقدم دارد، لذا این عبارت باید چنین خوانده شود: $(d\phi \wedge \psi) - (\phi \wedge d\psi)$.

حالت ۲. گیریم $\phi = f dx$ و $\psi = g dy$. از محاسبه $d\phi \wedge \psi$ مطابق فرمول بالا به دست می آید:

$$\begin{aligned} d\phi \wedge \psi &= \left(\frac{\partial f}{\partial y} dy dx + \frac{\partial f}{\partial z} dz dx \right) \wedge g dy \\ &= 0 + \frac{\partial f}{\partial z} g dz dx dy = g \frac{\partial f}{\partial z} dx dy dz \end{aligned}$$

به طریق مشابه:

$$\begin{aligned} \phi \wedge d\psi &= f dx \wedge \left(\frac{\partial g}{\partial x} dx dy + \frac{\partial g}{\partial z} dz dy \right) \\ &= f \frac{\partial g}{\partial z} dx dz dy = -f \frac{\partial g}{\partial z} dx dy dz \end{aligned}$$

بدین ترتیب:

$$d\phi \wedge \psi - \phi \wedge d\psi = \left(g \frac{\partial f}{\partial z} + \frac{\partial g}{\partial z} f \right) dx dy dz$$

اما از طرف دیگر:

$$\phi \wedge \psi = fg dx dy$$

و از آنجا:

$$\begin{aligned} d(\phi \wedge \psi) &= d(fg) dx dy = \frac{\partial(fg)}{\partial z} dz dx dy \\ &= \left(\frac{\partial f}{\partial z} g + f \frac{\partial g}{\partial z} \right) dx dy dz \end{aligned}$$

و فرمول در این حالت اثبات شد.

حالت ۳. حالت کلی. از حالت‌های ۱ و ۲ دریافتیم که هر وقت ϕ و ψ «ساده»، یعنی به فرم $f du$ ، u همان x یا y یا z است - باشند، فرمول درست است. چون هر ۱- فرمی مجموعی از ۱- فرمیهای ساده است، پس حالت کلی با استفاده از خاصیت خطی بودن d و توزیپذیری آن نسبت به \wedge نتیجه می‌شود.

برای به خاطر سپردن علامت منها که در فرمول (۳) قضیه ۲.۶ وجود دارد، می‌توان d را به صورت يك ۱- فرمی در نظر گرفت، و برای آنکه بتواند به ψ برسد، باید جای آن با ϕ عوض شود، و بدین ترتیب علامت، از لم ۲.۶ به دست می‌آید.

با استفاده از فرمهای دیفرانسیلی، و ضرب \wedge و مشتق خارجی می توان روابط نسبتاً پیچیده‌ای را به صورت ساده تر بیان کرد. مثلاً، فرمول

$$d(\phi \wedge \psi) = d\phi \wedge \psi - \phi \wedge d\psi$$

همان طور که در اثبات آن دیده شد متضمن روابط پیچیده‌ای بین مشتقهای جزئی است. قبل از پیدایش فرمها لازم بود که این روابط را با دشواری در مسائل جداگانه بررسی کنند، در صورتی که اکنون کافی است فرمول کلی را به کار برند. از فرمهای دیفرانسیلی برای بیان معادلات اساسی هندسه استفاده خواهیم کرد.

تمرینات

۱۰۱. اگر:

$$\phi = yz dx + dz, \psi = \sin z dx + \cos z dy, \xi = dy + z dz$$

باشد، عبارتهای زیر را (بر حسب $dx dy$ و ...) محاسبه کنید:

$$d\phi, d\psi, d\xi \quad (\text{ب}) \quad \phi \wedge \psi, \psi \wedge \xi, \xi \wedge \phi \quad (\text{الف})$$

۲. گیریم $\phi = dx/y$ و $\psi = z dy$. فرمول (۳)، لاینیتز (قضیه ۴.۶) را در این حالت با محاسبه جداگانه هر یک از جمله‌ها تحقیق کنید.

۳. نشان دهید که به ازای هر تابع f داریم $d(df) = 0$ و از آنجا نتیجه بگیرید $d(f dg) = df \wedge dg$.

۴. فرمهای زیر را ساده کنید:

$$d(f dg \wedge g df) \quad (\text{ج}) \quad d(f dg + g df) \quad (\text{الف})$$

$$d(gf df) + d(f dg) \quad (\text{د}) \quad d\{(f-g)(df+dg)\} \quad (\text{ب})$$

۵. به ازای هر سه ۱- فرمی $\phi_i = \sum_{j=1}^3 f_{ij} dx_j$ ($1 \leq i \leq 3$) ثابت کنید:

$$\phi_1 \wedge \phi_2 \wedge \phi_3 = \begin{vmatrix} f_{11} & f_{12} & f_{13} \\ f_{21} & f_{22} & f_{23} \\ f_{31} & f_{32} & f_{33} \end{vmatrix} dx_1 dx_2 dx_3$$

۶. اگر r, θ, z توابع مختصاتی استوانه‌ای روی \mathbb{E}^3 باشند، در این صورت $z = z$ ، $x = r \cos \theta$ ، $y = r \sin \theta$ عنصر حجم $dx dy dz$ را در دستگاه استوانه‌ای محاسبه کنید (یعنی $dx dy dz$ را بر حسب توابع r, θ, z و دیفرانسیلهاشان بیان کنید).

۷. به ازای هر ۲- فرمی $\eta = f dx dy + g dx dz + h dy dz$ ، مشتق خارجی آن

$d\eta$ ، بنا بر تعریف، يك ۳- فرمی است که از گذاردن دیفرانسیلهای f ، g و h به جای خود آنها، به دست می آید. ثابت کنید که به ازای هر ۱- فرمی ϕ داریم، $d(d\phi) = 0$.
 تمرینات ۳ و ۷ نشان می دهند که $d^2 = 0$ ، یعنی به ازای هر فرم ξ ، $d(d\xi) = 0$.
 (اگر ξ يك ۲- فرمی باشد، آنگاه $d(d\xi) = 0$ ، زیرا درجه آن از ۳ بیشتر است.)

۸. در آنالیز برداری کلاسیک برای اجتناب از فرمهای دیفرانسیلی روی E^3 ، ۱- فرمی ۲- فرمیها را با تناظر زیر به میدانهای برداری تبدیل می کنند:

$$\sum f_i dx_i \xrightarrow{(\ast)} \sum f_i U_i \xrightarrow{(\ast\ast)} f_1 dx_2 dx_3 - f_2 dx_1 dx_3 + f_3 dx_1 dx_2$$

و از سه عمل اصلی زیر روی مشتقهای جزئی استفاده می کنند:
 گرادبان تابع f :

$$\text{grad } f = \sum \frac{\partial f}{\partial x_i} U_i$$

کول (تاو). میدان برداری $V = \sum f_i U_i$ چنین است:

$$\text{curl } V = \left(\frac{\partial f_3}{\partial x_2} - \frac{\partial f_2}{\partial x_3} \right) U_1 + \left(\frac{\partial f_1}{\partial x_3} - \frac{\partial f_3}{\partial x_1} \right) U_2 + \left(\frac{\partial f_2}{\partial x_1} - \frac{\partial f_1}{\partial x_2} \right) U_3$$

دیوژانس میدان برداری $V = \sum f_i U_i$ به صورت زیر است:

$$\text{div } V = \sum \frac{\partial f_i}{\partial x_i}$$

ثابت کنید که این سه عمل را می توان به صورت زیر با مشتق خارجی بیان کرد:

(الف) $df \xrightarrow{(\ast)} \text{grad } f$

(ب) اگر $V \xrightarrow{(\ast)} \phi$ باشد، آنگاه $\text{curl } V \xrightarrow{(\ast\ast)} \phi$

(ج) اگر $V \xrightarrow{(\ast\ast)} \eta$ باشد، آنگاه $d\eta = (\text{div } V) dx dy dz$

۹. گیریم f و g توابع با مقادیر حقیقی روی E^3 باشند. ثابت کنید که:

$$df \wedge dg = \begin{vmatrix} \frac{\partial f}{\partial x} & \frac{\partial f}{\partial y} \\ \frac{\partial g}{\partial x} & \frac{\partial g}{\partial y} \end{vmatrix} dx dy$$

این فرمول در آنالیز مقدماتی پیدا می شود؛ نشان دهید که این فرمول قاعده تناوبی را ایجاب می کند.

۷. نگاشتها

در این بند به بررسی توابعی از E^n به E^m می پردازیم. اگر $n=3$ و $m=1$ ، این توابع همان توابع با مقدار حقیقی روی E^3 می باشند. اگر $n=1$ و $m=3$ ؛ هر یک از این توابع یک خم در E^3 را نشان می دهد. با آنکه نتایج الزاماً برای مقادیر دلخواه n و m بیان می شوند، ما اساساً به سه حالت زیر توجه داریم:

$$E^2 \rightarrow E^2, \quad E^2 \rightarrow E^3, \quad E^3 \rightarrow E^3$$

نکته اصلی درباره هر تابع $F: E^n \rightarrow E^m$ آن است که می توان آن را کاملاً به وسیله m تابع با مقدار حقیقی روی E^n مشخص کرد. (این را قبلاً در بند ۴، برای $n=3$ و $m=1$ دیده ایم.)

۱۰۷. تعریف. تابع $F: E^n \rightarrow E^m$ ، و توابع f_1, f_2, \dots, f_m با مقادیر حقیقی روی E^n را که برای آنها به ازای هر نقطه p از E^n تساوی:

$$F(p) = (f_1(p), f_2(p), \dots, f_m(p))$$

برقرار است، در نظر می گیریم. این توابع را توابع مختصاتی اقلیدسی F می نامند، و می نویسند $F = (f_1, f_2, \dots, f_m)$.

تابع F را هنگامی دیفرانسیل پذیر گویند که توابع مختصاتی آن به مفهوم عادی دیفرانسیل پذیر باشند. تابع دیفرانسیل پذیر $F: E^n \rightarrow E^m$ را یک نگاشت از E^n در E^m می نامند.

توجه شود که توابع مختصاتی F توابعی مرکب اند $f_i = x_i(F)$ ، که در آن x_1, \dots, x_m توابع مختصاتی E^m می باشند.

نگاشتها را می توان به طرق گوناگونی مشخص کرد. مثلاً گیریم $F: E^2 \rightarrow E^3$ نگاشت $F = (x^2, yz, xy)$ باشد. بدین ترتیب به ازای هر p داریم:

$$F(p) = (x(p)^2, y(p)z(p), x(p)y(p))$$

اما $p = (p_1, p_2, p_3)$ ، و بنابر تعریف توابع مختصاتی داریم:

$$x(p) = p_1, \quad y(p) = p_2, \quad z(p) = p_3$$

و بدین ترتیب فرمول نقطه ای زیر، به ازای هر مقدار p_1, p_2, p_3 ، برای F به دست می آید:

$$F(p_1, p_2, p_3) = (p_1^2, p_2 p_3, p_1 p_2)$$

در حالت خاص:

$$F(1, -2, 0) = (1, 0, -2), \quad F(-3, 1, 3) = (9, 3, -3)$$

و غیره.

با آنکه، می توان نظریهٔ خمها را از نظریهٔ عمومی نگاشتها نتیجه گرفت، اما نگاشتها حتی در حالت $E^2 \rightarrow E^2$ ممکن است بسیار پیچیده باشند، در صورتی که خمها بسیار ساده اند. این است که ما برعکس برای درک نگاشتها از خمها استفاده می کنیم.

۲.۰۷. تعریف. اگر $\alpha: I \rightarrow E^n$ یک خم در E^n و $F: E^n \rightarrow E^m$ یک نگاشت باشد، آنگاه تابع مرکب $\beta = F(\alpha): I \rightarrow E^m$ یک خم در E^m است که نگارهٔ α به وسیلهٔ F نامیده می شود (شکل ۱۴.۱).

۳.۰۷. مثال. نگاشتها. (۱) نگاشت $F: E^2 \rightarrow E^2$ به صورت:

$$F = (x - y, x + y, 2z)$$

را در نظر می گیریم. این نگاشت به صورت نقطه ای به ازای هر p_1, p_2, p_3 چنین است:

$$F(p_1, p_2, p_3) = (p_1 - p_2, p_1 + p_2, 2p_3)$$

فقط هنگامی که نگاشت کاملاً ساده است می توان با محاسبهٔ مقادیر آن به ازای چند نقطهٔ محدود و معین وضع تغییرات آن را مشخص کرد. نگاشت بالا نیز کاملاً ساده است، و چنان که دیده می شود یک تبدیل خطی از E^2 به E^2 می باشد. بنا بر قضیه ای از جبر خطی، F به وسیلهٔ مقادیر متناظر با سه نقطه (نقاطی با استقلال خطی)، مثلاً سه نقطهٔ یکجه کاملاً معین می گردد:

$$u_1 = (1, 0, 0), \quad u_2 = (0, 1, 0), \quad u_3 = (0, 0, 1)$$

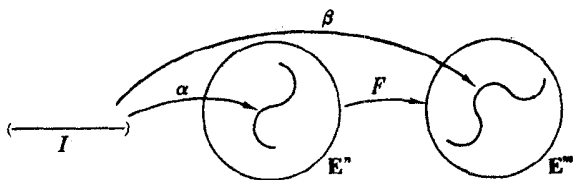
(۲) نگاشت $F: E^2 \rightarrow E^2$ را به طوری که $F(u, v) = (u^2 - v^2, 2uv)$ ، در نظر می گیریم (u و v توابع مختصات E^2 اند). برای بررسی این نگاشت اثر آن را بر خم:

$$\alpha(t) = (r \cos t, r \sin t), \quad 0 \leq t \leq 2\pi$$

مطالعه می کنیم. این خم در جهت مثلثاتی یک دور دایره ای به شعاع r (به مرکز مبدأ) را می پیماید، نگارهٔ این خم عبارت است از:

$$\beta(t) = F(\alpha(t)) = F(r \cos t, r \sin t) = (r^2 \cos^2 t - r^2 \sin^2 t, 2r^2 \cos t \sin t)$$

$0 \leq t \leq 2\pi$. از آنجا برای $\beta = F(\alpha)$ فرمول زیر به دست می آید:



$$\beta(t) = (r^2 \cos 2t, r^2 \sin 2t), \quad 0 \leq t \leq 2\pi$$

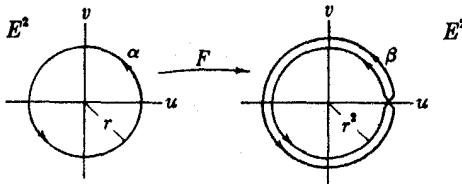
این خم دایره‌ای به شعاع r^2 (به مرکز مبدأ) را دوبار در جهت مثلثاتی می‌پیماید (شکل ۱۵.۱). بدین ترتیب برای F ، صفحه E^2 به طور هموار دوبار به دور خود می‌پیچد، و مبدأ ثابت می‌ماند، زیرا $F(0, 0) = (0, 0)$. در این عمل، هر دایره به شعاع r دوبار به دور دایره به شعاع r^2 می‌پیچد.

در این فصل هر جا مفهوم تازه‌ای را معرفی کرده‌ایم، برای آن مشتق مناسبی نیز به دست داده‌ایم. مثلاً «مشتق» خم α با سرعت α' تعریف شد. با استفاده از مفهوم سرعت یک خم در اینجا به تعریف مشتق F_* از نگاشت $F: E^n \rightarrow E^m$ می‌پردازیم. F_* چنان که خواهیم دید، تابعی است که به هر بردار مماس v در نقطه p بر E^n ، بردار مماس $F_*(v)$ در نقطه $F(p)$ بر E^m را متناظر قرار می‌دهد. $F_*(v)$ به روش زیر معین می‌گردد: بردار مماس v سرعت اولیه خم $\alpha(t) = p + tv$ است، که بنا بر تبصره ۵.۳ برای اختصار v_p را با v نشان داده‌ایم. نگاره α به وسیله نگاشت F ، خم β است که به صورت زیر است:

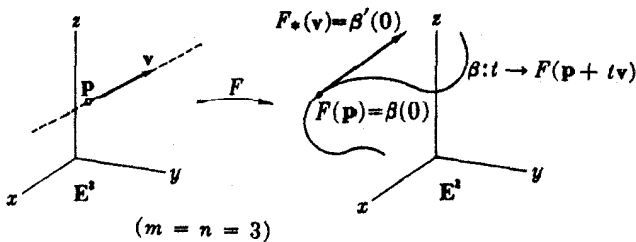
$$\beta(t) = F(\alpha(t)) = F(p + tv)$$

$F_*(v)$ را با بردار سرعت اولیه $\beta'(0)$ از خم β تعریف می‌کنیم (شکل ۱۶.۱). از اینجا تعریف زیر حاصل می‌شود:

۴.۷. تعریف. نگاشت $F: E^n \rightarrow E^m$ و بردار v مماس بر E^n در p را در نظر می‌گیریم، سرعت آغازی خم $t \rightarrow F(p + tv)$ در E^m را با $F_*(v)$ نشان می‌دهیم. F_* تابع



شکل ۱۵.۱



شکل ۱۶.۱

به دست آمده را نگاشت مشتق F می نامند (این نگاشت از بردارهای مماس \mathbf{E}^n به بردارهای مماس \mathbf{E}^m است).

باید توجه داشت که $F(\mathbf{p})$ موضع آغازی خم $F(\mathbf{p} + t\mathbf{v})$ به ازای $t = 0$ است. بنا بر این (تعریف ۳.۴) نقطه اثر سرعت آغازی آن $F(\mathbf{p})$ است، در نتیجه $F_*(\mathbf{v})$ بردار مماس بر \mathbf{E}^m در \mathbf{p} را به بردار مماس بر \mathbf{E}^m در $F(\mathbf{p})$ بدل می کند. به عنوان مثال به محاسبه نگاشت مشتق:

$$F(u, v) = (u^2 - v^2, 2uv)$$

می پردازیم (مثال ۲، ۳.۷). به ازای بردار مماس \mathbf{v} در \mathbf{p} داریم:

$$\mathbf{p} + t\mathbf{v} = (p_1 + tv_1, p_2 + tv_2)$$

بنابراین:

$$F(\mathbf{p} + t\mathbf{v}) = ((p_1 + tv_1)^2 - (p_2 + tv_2)^2, 2(p_1 + tv_1)(p_2 + tv_2))$$

این فرمول خمی در \mathbf{E}^2 را نشان می دهد که بنا بر تعریف، سرعت آغازی آن $F_*(\mathbf{v})$ است. چون بر حسب t از مختصات بالا مشتق بگیریم (تعریف ۳.۴)، در $F(\mathbf{p})$ داریم:

$$F_*(\mathbf{v}) = F(\mathbf{p} + t\mathbf{v})'(0) = 2(p_1v_1 - p_2v_2, v_1p_2 + p_1v_2)$$

۵.۷. قضیه. اگر $F = (f_1, f_2, \dots, f_m)$ نگاشتی از \mathbf{E}^n به \mathbf{E}^m و \mathbf{v} بردار مماس بر \mathbf{E}^n در \mathbf{p} باشد، در این صورت در $F(\mathbf{p})$ خواهیم داشت:

$$F_*(\mathbf{v}) = (v[f_1], \dots, v[f_m])$$

بنابراین $F_*(\mathbf{v})$ به وسیله $v[f_i]$ مشتقهای توابع مختصاتی F نسبت به \mathbf{v} معین می گردد.

برهان. برای سادگی $m = 3$ اختیار می کنیم. بردار \mathbf{v} در نقطه \mathbf{p} ، با توجه به تعریف F_* در تعریف (۴.۷)، و خم β به صورت زیر را در نظر می گیریم:

$$\beta(t) = F(\mathbf{p} + t\mathbf{v}) = (f_1(\mathbf{p} + t\mathbf{v}), f_2(\mathbf{p} + t\mathbf{v}), f_3(\mathbf{p} + t\mathbf{v}))$$

بنا بر تعریف، $\beta'(0) = F_*(\mathbf{v})$. به موجب تعریف (۳.۴) برای محاسبه بردار سرعت $\beta'(0)$ مشتق توابع مختصاتی $f_i(\mathbf{p} + t\mathbf{v})$ خم β را در $t = 0$ گرفت. اما $(d/dt)(f_i(\mathbf{p} + t\mathbf{v}))|_{t=0}$ دقیقاً همان $v[f_i]$ است که در آن مطابق معمول نقطه اثر \mathbf{p} از نماد گذاری حذف شده است. بنا بر این

$$F_*(\mathbf{v}) = (v[f_1], v[f_2], v[f_3])_{\beta(0)}$$

اما بنا بر تعریف β :

$$\beta(\circ) = F(\mathbf{p})$$

یک نقطه مانند \mathbf{p} در \mathbf{E}^n را ثابت می‌گیریم. چنان‌که در بالا گفته شد، هر بردار مماس \mathbf{v} بر \mathbf{E}^n در \mathbf{p} ، به وسیله $F_*(\mathbf{v})$ به یک بردار مماس $F_*(\mathbf{v})$ بر \mathbf{E}^m در $F(\mathbf{p})$ تبدیل می‌شود. و بدین ترتیب به ازای هر نقطه \mathbf{p} در \mathbf{E}^n نگاشت مشتق F_* معرف تابعی است:

$$F_{*,\mathbf{p}}: T_{\mathbf{p}}(\mathbf{E}^n) \rightarrow T_{F(\mathbf{p})}(\mathbf{E}^m)$$

که آن را نگاشت مشتق F در \mathbf{p} می‌نامند. به همان طریق که در آنالیز مقدماتی هر تابع دیفرانسیلپذیر $f: \mathbf{R} \rightarrow \mathbf{R}$ دارای تابع مشتق $f': \mathbf{R} \rightarrow \mathbf{R}$ است که در هر نقطه t از \mathbf{R} مشتق f در t یعنی $f'(t)$ را به دست می‌دهد. ارتباط آنالیز و جبر خطی بیش از آن است که در آنالیز مقدماتی بتوان حدس زد. اهمیت این ارتباط در فرغ زیر روشن می‌شود.

۶.۷. فرغ. اگر F نگاشتی از \mathbf{E}^n به \mathbf{E}^m باشد، در این صورت در هر نقطه \mathbf{p} از \mathbf{E}^n ، نگاشت مشتق:

$$F_{*,\mathbf{p}}: T_{\mathbf{p}}(\mathbf{E}^n) \rightarrow T_{F(\mathbf{p})}(\mathbf{E}^m)$$

یک تبدیل خطی است.

برهان. اگر \mathbf{v} و \mathbf{w} دو بردار مماس در \mathbf{p} و a و b دو عدد حقیقی باشند، باید نشان دهیم که:

$$F_*(a\mathbf{v} + b\mathbf{w}) = aF_*(\mathbf{v}) + bF_*(\mathbf{w})$$

این مطلب با توجه به حکم اول قضیه ۳.۳ و قضیه بالا به آسانی اثبات می‌شود.

خطی بودن $F_{*,\mathbf{p}}$ تعمیم همان نکته است که $f'(t)$ یعنی مشتق تابع $f: \mathbf{R} \rightarrow \mathbf{R}$ شیب خط مماس بر نمودار تابع f در t را نشان می‌دهد. در اینجا به ازای هر نقطه \mathbf{p} ، $F_{*,\mathbf{p}}$ تبدیلی خطی است که بهترین تقریب تغییرات F در مجاددت \mathbf{p} می‌باشد. این مطلب در آنالیز پیشرفته بسط کامل یافته و در اثبات قضیه ۱۰.۷ به کار می‌رود.

چون $F_{*,\mathbf{p}}: T_{\mathbf{p}}(\mathbf{E}^n) \rightarrow T_{F(\mathbf{p})}(\mathbf{E}^m)$ یک تبدیل خطی است، منطقی است که ماتریس آن را نسبت به پایه‌های طبیعی $T_{\mathbf{p}}(\mathbf{E}^n)$ و $T_{F(\mathbf{p})}(\mathbf{E}^m)$ که به ترتیب عبارت‌اند از:

$$U_1(\mathbf{p}), \dots, U_n(\mathbf{p}) \quad (T_{\mathbf{p}}(\mathbf{E}^n) \text{ برای})$$

و

$$U_1(F(\mathbf{p})), \dots, U_m(F(\mathbf{p})) \quad (T_{F(\mathbf{p})}(\mathbf{E}^m) \text{ برای})$$

محاسبه کنیم. این ماتریس را ماتریس ژاکوبی F در \mathbf{p} می‌نامند.

۷.۷. فرغ. اگر $F = (f_1, \dots, f_m)$ نگاشتی از \mathbf{E}^n به \mathbf{E}^m باشد، آنگاه:

$$F_*(U_j(\mathbf{p})) = \sum_{i=1}^m \frac{\partial f_i}{\partial x_j}(\mathbf{p}) U_i(F(\mathbf{p})) \quad (1 \leq j \leq n)$$

بنابراین ماتریس ژاکوبی F در \mathbf{p} عبارت است از:

$$\left(\left(\frac{\partial f_i}{\partial x_j} \right) (\mathbf{p}) \right)_{1 \leq i \leq m, 1 \leq j \leq n}$$

برهان. در فرع ۶.۷ قرار می‌دهیم $\mathbf{v} = U_j(\mathbf{p})$. چون حاصل تأثیر بردار یکه $U_j(\mathbf{p})$ بر f_i درست برابر است با $(\partial f_i / \partial x_j)(\mathbf{p})$ ، از آنجا:

$$\mathbf{I} \quad F_*(U_j(\mathbf{p})) = \left(\frac{\partial f_1}{\partial x_j}(\mathbf{p}), \dots, \frac{\partial f_m}{\partial x_j}(\mathbf{p}) \right) = \sum_{i=1}^m \frac{\partial f_i}{\partial x_j}(\mathbf{p}) U_i(F(\mathbf{p}))$$

که آن را به اختصار چنین می‌نویسند:

$$F_*(U_j) = \sum_i \frac{\partial f_i}{\partial x_j} \bar{U}_i$$

که در آن U_j و $\partial f_i / \partial x_j$ در \mathbf{p} محاسبه می‌شوند، و \bar{U}_j در $F(\mathbf{p})$. از اینجا معلوم می‌شود که نگاشت مشتق F کاملاً به وسیله مشتقات جزئی توابع مختصاتی آن معین می‌گردد. مثلاً نگاشت مثال ۲، ۳.۷ را در نظر می‌گیریم. توابع مختصاتی آن عبارت‌اند از $f = u^2 - v^2$ و $g = 2uv$ بنابراین:

$$\begin{pmatrix} \frac{\partial f}{\partial u} & \frac{\partial f}{\partial v} \\ \frac{\partial g}{\partial u} & \frac{\partial g}{\partial v} \end{pmatrix} = \begin{pmatrix} 2u & -2v \\ 2v & 2u \end{pmatrix}$$

بدین ترتیب ماتریس ژاکوبی آن در نقطه $\mathbf{p} = (p_1, p_2)$ چنین است:

$$\begin{pmatrix} 2p_1 & -2p_2 \\ 2p_2 & 2p_1 \end{pmatrix}$$

۸.۷. قضیه. α در \mathbf{E}^n و نگاشت $F: \mathbf{E}^n \rightarrow \mathbf{E}^m$ و نگاره خم $\beta = F(\alpha)$ در \mathbf{E}^m را در نظر می‌گیریم، در این صورت $\beta' = F_*(\alpha')$.

این قضیه مبین آن است که F_* سرعتهای خمها را حفظ می‌کند، چون به ازای هر t ، $\beta'(t)$ یعنی سرعت خم نگاره با نگاره سرعت $\alpha'(t)$ به وسیله F_* برابر است.

برهان. برای سادگی تجسم قرار می‌دهیم $m = 3$. اگر $F = (f_1, f_2, f_3)$ ، آنگاه:

$$\beta = F(\alpha) = (f_1(\alpha), f_2(\alpha), f_3(\alpha))$$

و بنا بر این توابع مختصاتی β عبارت اند از $\beta_i = f_i(\alpha)$. بنا بر قضیه ۵.۷ داریم:

$$F_*(\alpha'(t)) = (\alpha'(t)[f_1], \alpha'(t)[f_2], \alpha'(t)[f_3])$$

اما با استفاده از لم ۶.۴ به دست می آید:

$$\alpha'(t)[f_i] = \frac{d(f_i(\alpha))}{dt}(t) = \frac{d\beta_i}{dt}(t)$$

از آنجا:

$$F_*(\alpha'(t)) = \left(\frac{d\beta_1}{dt}(t), \frac{d\beta_2}{dt}(t), \frac{d\beta_3}{dt}(t) \right)$$

علاوه بر این نقطه اثر بردار مماس، نقطه $F(\alpha(t)) = \beta(t)$ می باشد. بنا بر این $F_*(\alpha'(t))$ دقیقاً همان $\beta'(t)$ است.

بهمان طریق که از مشتق يك تابع $f: \mathbf{R} \rightarrow \mathbf{R}$ می توان اطلاعاتی درباره f به دست آورد، از F_* نگاهت مشتق نیز می توان برای بررسی نگاهت F استفاده کرد. بررسی دقیق این مطلب در آنالیز انجام می گیرد، ما در اینجا به یکی دو تعریف اساسی که در فصول بعد به کار می آیند اکتفا می کنیم.

۹.۷. تعریف. نگاهت $F: \mathbf{E}^n \rightarrow \mathbf{E}^m$ را منظم نامند، اگر در هر نقطه p از \mathbf{E}^n نگاهت مشتق F_{*p} يك به يك باشد.

چون هر F_{*p} يك تبدیل خطی است، با استفاده از نتایج جبر خطی می توان نشان داد که سه شرط زیر هم ارزند:

$$(1) F_{*p} \text{ يك به يك است.}$$

$$(2) \text{ اگر } F_*(v_p) = 0, \text{ آنگاه } v_p = 0.$$

$$(3) \text{ مرتبه ماتریس ژاکوبی } F \text{ در } p \text{ برابر } n \text{ (بعد حوزه } \mathbf{E}^n \text{ از } F \text{) است.}$$

مثلاً دومین نگاهت مثال ۳.۷ منظم نیست. اما شرط يك به يك بودن فقط در يك نقطه، مبدأ، برقرار نمی گردد. زیرا محاسبه ای که درست بلافاصله قبل از قضیه ۸.۷ صورت گرفته نشان می دهد که این ماتریس ژاکوبی در $p \neq 0$ از مرتبه ۲ و در $p = 0$ از مرتبه صفر است.

نگاشتی که دارای نگاهت عکس باشد، دیفئومورفیسم نام دارد. لزوماً هر دیفئومورفیسم يك به يك و پوشاست، اما هر نگاشتی که يك به يك و پوشا باشد معلوم نیست که بتواند دیفئومورفیسم باشد (تمرین ۱۱). نتایج این بند درباره نگاشتهایی که فقط روی مجموعه های باز \mathbf{E}^n تعریف شده اند نیز صادق اند. به خصوص اغلب بحث درباره دیفئومورفیسمهای يك

مجموعه باز از E^n به مجموعه باز دیگری مطرح می گردد.

در اینجا بدون اثبات، یکی از نتایج اساسی آنالیز را بیان می کنیم.

۱۰.۷. قضیه. گیریم $F: E^n \rightarrow E^n$ نگاشتی باشد که $F_{,p}$ در نقطه p ، يك به يك باشد. در این صورت يك مجموعه باز \mathcal{U} حاوی p وجود دارد به طوری که تخصیص F به \mathcal{U} يك ديفئومرفیسم $\mathcal{V} \rightarrow \mathcal{U}$ بريك مجموعه باز \mathcal{V} باشد.

این قضیه را قضیه تابع معکوس می نامند. زیرا مبین آن است که نگاشت تخصیص یافته $\mathcal{U} \rightarrow \mathcal{V}$ دارای نگاشت عکس $\mathcal{V} \rightarrow \mathcal{U}$ می باشد. اثبات این قضیه بر اساس این نکته است که در نقاط $p + \Delta p$ در مجاورت p ، $F(p + \Delta p)$ تقریباً برابر است با $F(p) + F_{,p}(\Delta p)$. چون فضاهای مماس در p و $F(p)$ دارای ابعاد متساوی می باشند، نگاشت خطی $F_{,p}$ دارای عکس است، و F نیز در نزدیکی p دارای عکس خواهد بود.

تمرینات

۱. اگر F نگاشت $F = (u^2 - v^2, 2uv)$ مثال ۳.۷ باشد، مطلوب است تعیین همه نقاط p به طوری که:

$$F(p) = p \quad (\text{الف}) \quad F(p) = (0, 0) \quad (\text{ب}) \quad F(p) = (\lambda, -\epsilon) \quad (\text{ج})$$

۲. نگاشت F در تمرین ۱، خط افقی $v = 1$ را به سهمی $u \rightarrow F(u, 1) = (u^2 - 1, 2u)$ بدل می کند. خطوط $u = 1$ و $v = 1$ و نگاره آنها به وسیله F را بیابید.

۳. $F(S)$ نگاره مجموعه S به وسیله نگاشت F عبارت است از همه نقاط $F(p)$ به طوری که p در S باشد. نگاره هر يك از مجموعه های زیر را به وسیله نگاشت F از تمرین ۱ بیابید:

$$\text{(الف) نوار افقی } S: 1 \leq v \leq 2$$

$$\text{(ب) نیمقرص } S: u^2 + v^2 \leq 1, v \geq 0$$

$$\text{(ج) زاویه } S: -u \leq v \leq u, u \geq 0$$

در هر مورد، مجموعه S و نگاره اش، $F(S)$ ، را بروی يك نقشه نشان دهید.
(داهنمایی: نخست نگاره خمهای مرزی S را بیابید.)

۴. (الف) مستقیماً با استفاده از تعریف نگاشت مشتق، نشان دهید که نگاشت مشتق مثال ۱: ۳.۷ عبارت است از:

$$F_{,p}(v_p) = (v_1 - v_2, v_1 + v_2, 2v_2)_{F(p)}$$

(داهنمایی: مستقیماً از تعریف نگاشت مشتق امتدادی شروع کنید.)

(ب) به طور کلی اگر $F: E^n \rightarrow E^n$ يك تبدیل خطی باشد، ثابت کنید که:

$$F_*(\mathbf{v}_p) = F(\mathbf{v})_{F(p)}$$

۵. اگر $F = (f_1, \dots, f_m)$ نگاشتی از \mathbf{E}^n به \mathbf{E}^m باشد، می نویسیم:

$$F_* = (df_1, \dots, df_m)$$

زیرا بنا بر قضیه ۵.۷ داریم:

$$F_*(\mathbf{v}_p) = (df_1(\mathbf{v}_p), \dots, df_m(\mathbf{v}_p))_{F(p)}$$

۶. F_* را برای نگاشت $F = (x \cos y, x \sin y, z)$ از \mathbf{E}^3 به \mathbf{E}^3 بیابید، و در هر يك از حالت‌های زیر $F_*(\mathbf{v}_p)$ را محاسبه کنید:

(الف) $\mathbf{v} = (2, -1, 3), \mathbf{p} = (0, 0, 0)$

(ب) $\mathbf{v} = (2, -1, 3), \mathbf{p} = (2, \pi/2, \pi)$

۷. آیا نگاشت تمرین بالا منظم است؟

۸. نگاشتهای $F = (f_1, f_2)$ و $G = (g_1, g_2)$ از \mathbf{E}^2 به \mathbf{E}^2 را در نظر می گیریم. توابع مختصاتی اقلیدسی تابع مرکب $GF: \mathbf{E}^2 \rightarrow \mathbf{E}^2$ را محاسبه کنید، و نشان دهید که GF يك نگاشت است.

۹. نشان دهید که در تعریف $F_*(\mathbf{v}_p)$ در (۲.۷) می توان به جای خط راست هر خم α با سرعت اولیه \mathbf{v}_p را قرار داد.

۱۰. ثابت کنید که نگاشت $F: \mathbf{E}^n \rightarrow \mathbf{E}^m$ مشتقهای امتدادی را حفظ می کند بدین معنی: اگر \mathbf{v}_p بردار مماس بر \mathbf{E}^n و g تابع دیفرانسیل پذیری روی \mathbf{E}^m باشد، در این صورت:

$$F_*(\mathbf{v}_p)[g] = \mathbf{v}_p[g(F)]$$

۱۱. نگاشت $F = (f_1, f_2)$ از \mathbf{E}^2 به \mathbf{E}^2 را در نظر می گیریم. اگر به ازای هر نقطه \mathbf{q} از \mathbf{E}^2 معادلات:

$$\begin{cases} q_1 = f_1(p_1, p_2) \\ q_2 = f_2(p_1, p_2) \end{cases}$$

دارای جواب یکتای:

$$\begin{cases} p_1 = g_1(q_1, q_2) \\ p_2 = g_2(q_1, q_2) \end{cases}$$

باشد، ثابت کنید که F يك به يك و پوشاست، و $F^{-1} = (g_1, g_2)$.

۱۱ (ادامه) در هر يك از حالت‌های زیر نشان دهید که F يك به يك و پوشاست، F^{-1} تابع

معکوس، را محاسبه و تعیین کنید که F يك ديفئومرفيسم است يا نيست (يعنى، F^{-1} ديفرانسيلپذير است يا نيست).

$$F = (ve^u, u) \quad (\text{الف})$$

$$F = (u^3, v - u) \quad (\text{ب})$$

$$F = (1 + 2u - 2v, 4 - 2u + v) \quad (\text{ج})$$

۱۲. نگاهشهای $F: \mathbf{E}^n \rightarrow \mathbf{E}^m$ و $G: \mathbf{E}^m \rightarrow \mathbf{E}^p$ را در نظر می گیریم:

(الف) نتایج تمرین ۷ را در این حالت تعمیم دهید.

(ب) اگر α خمی در \mathbf{E}^n باشد، نشان دهید که:

$$(GF)_*(\alpha') = G_*(F_*(\alpha'))$$

[داهنمایی: $((GF)(\alpha)) = G(F(\alpha))$]

(ج) نتیجه بگیرید که $(GF)_* = G_*F_*$: نگاهش مشتق يك نگاهش مرکب برابر است

با ترکیب نگاهشهای مشتق.

۱۳. اگر $f: \mathbf{R} \rightarrow \mathbf{R}$ يك تابع حقیقی ديفرانسيلپذير روی خط حقیقی \mathbf{R} باشد، ثابت

کنید که $f_*(v_p)$ بردار مماس $v_{f(p)}$ در نقطه $f(p)$ است.

۸. خلاصه

با مفهوم آشنای توابع حقیقی بحث را آغاز کردیم و با استفاده از جبر خطی در هر مرحله يك دسته از اشیاء ریاضی را ساختیم. مفهوم بنیادی بردار مماس به میدانهای برداری انجامید و دوگان آن ۱- فرمها به نوبه خود رهنمون فرمهای ديفرانسیلی گردید. مفاهیم خم و توابع ديفرانسیلیپذير به نگاهشهای $F: \mathbf{E}^n \rightarrow \mathbf{E}^m$ تعمیم یافت.

سپس با استفاده از مفهوم معمولی مشتق توابع حقیقی، به تعریف اعمال ديفرانسیلیگیری از این اشیاء پرداختیم: مشتق امتدادی يك تابع، مشتق خارجی فرمها، سرعت خمها، نگاهش مشتق يك نگاهش. این اعمال به صورت مشتقهای معمولی (یسا جزئی) توابع مختصاتی با مقدار حقیقی ساده شدند، اما باید توجه داشت که در بیشتر حالتها تعادلی این اعمال مستقل از مختصات بودند (این مطلب را می توان در تمام موارد عملی ساخت). به طور کلی اعمال ديفرانسیلیگیری به نحوی دارای خصوصیات خطی و لاینیتزی مشتقهای معمولی می باشند.

محمتمل است خواننده قبلاً با بعضی از این مفاهیم حداقل در حالتهاى خاص، آشنا شده باشد. اما در اینجا ما تعاریفی دقیق و فهرستی از خواص بنیادی در اختیار داریم که با استفاده از آنها می توانیم کاوش خود را در هندسه ديفرانسیل آغاز کنیم.

میدانهای سه وجهی

به بیان اجمالی می‌توان گفت که هندسه با اندازه‌گیری مسافتها و زوایا آغاز می‌گردد. چنانچه خواهیم دید هندسه فضای اقلیدسی را می‌توان از حاصل ضرب نقطه‌ای، یعنی حاصل ضرب داخلی طبیعی فضای اقلیدسی نتیجه گرفت.

قسمت اعظم این فصل به بررسی هندسه خمها در E^3 اختصاص دارد. تأکید بر این مبحث نه تنها به خاطر اهمیت ذاتی آن است بلکه از آن جهت نیز که روش اساسی بررسی خمها در سراسر هندسه دیفرانسیل مفید واقع می‌گردد حائز اهمیت است. در E^3 برای بررسی یک خم به هر نقطه آن یک سه‌وجهی متشکل از سه بردار یک‌دیگر متعامد وابسته می‌کنند. میزان تغییر این بردارها در طول خم به وسیله فرمولهای مشهور فرنه (قضیه ۲.۳)، برحسب خود بردارها بیان می‌شود و در واقع نظریه خمها در E^3 نتیجه ساده این فرمولهای بنیادی است.

بعلاوه از این «روش سه‌وجهیهای متحرک» برای مطالعه دویچه‌ها در E^3 استفاده می‌کنیم. فکر کلی آن است که رویه را نوعی خم دوبعدی تصور کرده و روش فرنه را تا آنجا که ممکن است تعقیب کنیم. برای اجرای این طرح به تسمیمی از فرمولهای فرنه نیازمندیم (قضیه ۲.۷) که به وسیله‌الی کارتان انجام گرفته است. کارتان در آغاز این قرن نخستین کسی بود که اهمیت این روش را نه تنها در هندسه دیفرانسیل بلکه در بسیاری زمینه‌های دیگر نیز کشف کرد.

۱. حاصل ضرب نقطه‌ای

بحث را با یادآوری خواص حاصل ضرب داخلی طبیعی در فضای برداری E^3 آغاز می‌کنیم.

۱.۱. تعریف. حاصل ضرب نقطه‌ای نقاط $\mathbf{p} = (p_1, p_2, p_3)$ و $\mathbf{q} = (q_1, q_2, q_3)$ در E^3 عبارت است از عدد

$$\mathbf{p} \cdot \mathbf{q} = p_1 q_1 + p_2 q_2 + p_3 q_3$$

حاصل ضرب نقطه‌ای يك حاصل ضرب داخلی است، یعنی دارای سه خصوصیت زیر می‌باشد.

(۱) دوخطی است:

$$(\mathbf{ap} + \mathbf{bq}) \cdot \mathbf{r} = \mathbf{ap} \cdot \mathbf{r} + \mathbf{bq} \cdot \mathbf{r}$$

$$\mathbf{r} \cdot (\mathbf{ap} + \mathbf{bq}) = \mathbf{ar} \cdot \mathbf{p} + \mathbf{br} \cdot \mathbf{q}$$

(۲) متقارن است: $\mathbf{p} \cdot \mathbf{q} = \mathbf{q} \cdot \mathbf{p}$

(۳) مثبت معین است: $\mathbf{p} \cdot \mathbf{p} \geq 0$ و $\mathbf{p} \cdot \mathbf{p} = 0$ اگر، و فقط اگر، $\mathbf{p} = \mathbf{0}$ (در اینجا $\mathbf{p}, \mathbf{q}, \mathbf{r}$ سه نقطه دلخواه از E^3 و a و b اعدادند).

نرم نقطه $\mathbf{p} = (p_1, p_2, p_3)$ عبارت است از عدد

$$\|\mathbf{p}\| = (\mathbf{p} \cdot \mathbf{p})^{1/2} = (p_1^2 + p_2^2 + p_3^2)^{1/2}$$

بنابراین نرم تابعی است با مقدار حقیقی روی E^3 و دارای خواص اساسی زیر:

$$\|\mathbf{p} + \mathbf{q}\| \leq \|\mathbf{p}\| + \|\mathbf{q}\|$$

$$\|\mathbf{ap}\| = |a| \|\mathbf{p}\|$$

که در فرمول اخیر، $|a|$ قدرمطلق عدد a است.

با استفاده از نرم می‌توان مسافت معمولی در E^3 را به صورتی ساده و کوتاه بیان کرد.

۲.۱. تعریف. اگر \mathbf{p} و \mathbf{q} نقاطی از E^3 باشند، مسافت اقلیدسی از \mathbf{p} تا \mathbf{q} عبارت است از عدد

$$d(\mathbf{p}, \mathbf{q}) = \|\mathbf{p} - \mathbf{q}\|$$

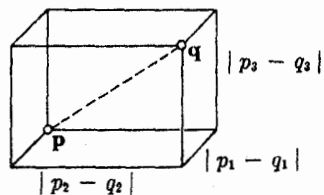
زیرا چون

$$\mathbf{p} - \mathbf{q} = (p_1 - q_1, p_2 - q_2, p_3 - q_3)$$

از بسط عبارت نرم فرمول معروف زیر به دست می‌آید (شکل ۱.۲)

$$d(\mathbf{p}, \mathbf{q}) = ((p_1 - q_1)^2 + (p_2 - q_2)^2 + (p_3 - q_3)^2)^{1/2}$$

از مسافت اقلیدسی می‌توان برای تعریف دقیقتر مجموعه‌های باز (فصل ۱، بند ۱) استفاده کرد. اولاً اگر نقطه p از E^3 و عدد $\epsilon > 0$ را در نظر بگیریم ϵ -همسایگی نقطه p در E^3 که با \mathcal{N}_ϵ نشان داده می‌شود عبارت است از مجموعه همه نقاط q از E^3 به طوری که $d(p, q) < \epsilon$. ثانیاً زیرمجموعه \emptyset از E^3 باز خواهد بود اگر هر نقطه آن دارای یک



شکل ۱.۲

ϵ -همسایگی باشد که تماماً در \emptyset واقع باشد. به عبارت دیگر همه نقاطی که به اندازه کافی به یک نقطه از مجموعه باز نزدیک اند به آن مجموعه تعلق دارند. این تعریف را به آسانی می‌توان در E^n نیز تعمیم داد.

در فصل اول دیدیم که به ازای هر نقطه p از E^3 می‌توان یک ایزومرفیسم متعارف $v_p \rightarrow v$ از E^3 به $T_p(E^3)$ فضای مماس در p برقرار کرد. این ایزومرفیسمها در هندسه اقلیدسی دارای اهمیت بنیادی می‌باشند و با استفاده از آنها حاصل ضرب نقطه‌ای در E^3 را می‌توان به هر یک از فضاهای مماس منتقل کرد.

۳.۱. تعریف. حاصل ضرب نقطه‌ای* بردارهای مماس v_p و w_p در یک نقطه E^3 برابر است با عدد $v \cdot w = v_p \cdot w_p$.

به عنوان مثال

$$(1, 0, -1)_p \cdot (3, -3, 7)_p = 1(3) + 0(-3) + (-1)7 = -4$$

بدیهی است که با این تعریف در هر فضای مماس $T_p(E^3)$ یک حاصل ضرب نقطه‌ای معین می‌گردد که دارای همان خواص حاصل ضرب نقطه‌ای اصلی E^3 می‌باشد، و به خصوص هر بردار مماس v_p دارای نرم (یا طول) $\|v_p\| = \|v\|$ است. با استفاده از نامسای شوارتس:

$$|v \cdot w| \leq \|v\| \|w\|$$

که قضیه‌ای اساسی در جبر خطی است، می‌توان کسینوس زاویه بین v و w را با معادله زیر تعریف کرد (شکل ۲.۲):

$$v \cdot w = \|v\| \|w\| \cos \theta$$

از این رو حاصل ضرب نقطه‌ای دو بردار برابر است با حاصل ضرب طولهای آنها در کسینوس زاویه بین آنها. (زاویه θ به گونه منحصری معین نمی‌شود مگر اینکه مثلاً قیود دیگری مانند $0 \leq \theta \leq \pi$ نیز گذاشته شود.)

به خصوص اگر $v \cdot w = 0$ ، آنگاه $\theta = \pi/2$ خواهد بود، یعنی دو بردار را هنگامی

* که در برخی از موارد «ضرب نقطه‌ای» را به جای «حاصل ضرب نقطه‌ای» گفته‌ایم.

همتعاملند گوییم که حاصل ضرب نقطه‌ای آنها برابر صفر باشد. بردار به طول ۱ را بردار دیکه می‌نامند.

۴.۱. تعریف. مجموعه‌ای از سه بردار یکه دو به دو متعامد e_1, e_2, e_3 ، مماس بر E^3 در p را یک سه‌وجهی در نقطه p می‌نامند.

بدین ترتیب e_1, e_2, e_3 فقط هنگامی یک سه‌وجهی است که:

$$e_1 \cdot e_1 = e_2 \cdot e_2 = e_3 \cdot e_3 = 1$$

$$e_1 \cdot e_2 = e_1 \cdot e_3 = e_2 \cdot e_3 = 0$$

از تقارن حاصل ضرب نقطه‌ای نتیجه می‌شود که دومین دسته معادلات به صورت زیر نیز نوشته می‌شوند:

$$e_2 \cdot e_1 = e_3 \cdot e_1 = e_3 \cdot e_2 = 0$$

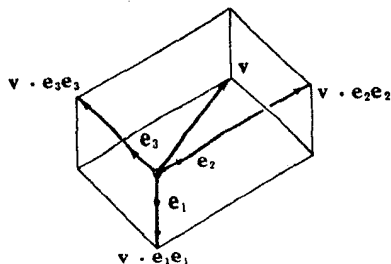
با استفاده از طرز نمایش اندیسی، این ۹ معادله را می‌توان به اختصار به صورت $e_i \cdot e_j = \delta_{ij}$ ، به ازای $1 \leq i, j \leq 3$ نوشت، که در آن δ_{ij} دلتای کرونیگر است (به ازای $i \neq j$ مقدار آن صفر و به ازای $i = j$ برابر ۱ است). مثلاً در هر نقطه p از E^3 ، بردارهای $U_1(p), U_2(p), U_3(p)$ که در تعریف ۴.۲ فصل اول بیان شد یک سه‌وجهی در نقطه p تشکیل می‌دهند.

۵.۱. قضیه. اگر e_1, e_2, e_3 یک سه‌وجهی در نقطه p از E^3 ، و v یک بردار مماس دلخواه بر E^3 در p باشد، آنگاه (شکل ۳.۲)

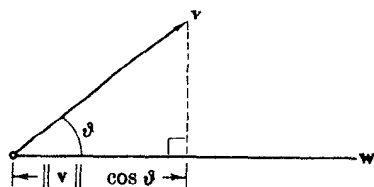
$$v = (v \cdot e_1)e_1 + (v \cdot e_2)e_2 + (v \cdot e_3)e_3$$

برهان. نخست نشان می‌دهیم که بردارهای e_1, e_2, e_3 دارای استقلال خطی اند. گیریم:

$$\sum a_i e_i = 0$$



شکل ۳.۲



شکل ۲.۲

در این صورت:

$$0 = (\sum a_i e_i) \cdot e_j = \sum a_i e_i \cdot e_j = \sum a_i \delta_{ij} = a_j$$

که در آن عمل مجموع یابی به ازای $i = 1, 2, 3$ انجام می‌گیرد. بنا بر این:

$$a_1 = a_2 = a_3 = 0$$

و این همان نتیجه مطلوب است. چون فضای مماسی $T_p(E^3)$ با E^3 ایزومرف است، بنا بر این ۳ بعدی است، و سه بردار مستقل e_1, e_2, e_3 ، e_1, e_2, e_3 یک پایه آن می‌باشند، و متناظر به هر بردار v سه عدد (یکتا) c_1, c_2, c_3 وجود دارند به طوری که:

$$v = \sum c_i e_i$$

اما

$$v \cdot e_j = (\sum c_i e_i) \cdot e_j = \sum c_i \delta_{ij} = c_j$$

و از آنجا

$$v = \sum (v \cdot e_i) e_i$$

این نتیجه (که در هر فضای برداری با حاصل ضرب داخلی صادق است) یکی از وسایل تسهیل کار در ریاضی است. زیرا برای تعیین مختصات یک بردار در یک پایه دلخواه در حالت کلی باید یک دستگاه معادلات خطی ناهمگن را حل کرد، کاری که حتی در E^3 نیز آسان نیست. اما این قضیه طرز تعیین مختصات بردار v را نسبت به یک سه‌وجهی (یعنی یک پایه متعامد یکانی) فقط با محاسبه سه حاصل ضرب نقطه‌ای $v \cdot e_1, v \cdot e_2, v \cdot e_3$ نشان می‌دهد. این روش را بسط متعامد یکانی v بر حسب سه‌وجهی e_1, e_2, e_3 می‌نامیم. در حالت خاص برای سه‌وجهی طبیعی $U_1(p), U_2(p), U_3(p)$ اتحاد

$$v = (v_1, v_2, v_3) = \sum v_i U_i(p)$$

یک بسط متعامد یکانی را نشان می‌دهد، و حاصل ضرب نقطه‌ای بر حسب مؤلفه‌های اقلیدسی به صورت $v \cdot w = \sum v_i w_i$ معین می‌گردد. اگر یک سه‌وجهی دلخواه e_1, e_2, e_3 را در نظر بگیریم، در این صورت هر بردار v نسبت به این سه‌وجهی دارای مؤلفه‌های جدید می‌باشد، اما حاصل ضرب نقطه‌ای همچنان با فرمول ساده زیر بیان می‌شود:

$$v \cdot w = \sum a_i b_i$$

زیرا:

$$\begin{aligned} v \cdot w &= (\sum a_i e_i) \cdot (\sum b_j e_j) = \sum_{i,j} a_i b_j e_i \cdot e_j \\ &= \sum_{i,j} a_i b_j \delta_{ij} = \sum a_i b_i \end{aligned}$$

در کاربردهای پیچیده تر هندسی، فایده استفاده از سه‌وجهی روشنتر می‌گردد. مفهوم سه‌وجهی به مفهوم ماتریس متعامد بسیار نزدیک است.

۶.۱. تعریف. سه‌وجهی e_1, e_2, e_3 در نقطه p از E^3 را در نظر می‌گیریم. ماتریس 3×3 که سطرهای آن مؤلفه‌های اقلیدسی این سه بردار است، ماتریس ایستادی سه‌وجهی نامیده می‌شود.

یعنی اگر:

$$e_1 = (a_{11}, a_{12}, a_{13})_p$$

$$e_2 = (a_{21}, a_{22}, a_{23})_p$$

$$e_3 = (a_{31}, a_{32}, a_{33})_p$$

در این صورت:

$$A = \begin{pmatrix} a_{11} & a_{12} & a_{13} \\ a_{21} & a_{22} & a_{23} \\ a_{31} & a_{32} & a_{33} \end{pmatrix}$$

بدین ترتیب A «ایستار» سه‌وجهی را در E^3 مشخص می‌کند، اما نقطه اثر آن را نشان نمی‌دهد.

واضح است که سطرهای A متعامد یکانی‌اند، زیرا

$$\sum_k a_{ik} a_{jk} = e_i \cdot e_j = \delta_{ij} \quad 1 \leq i, j \leq 3$$

بنابر تعریف، این روابط مبین آن است که A یک ماتریس متعامد می‌باشد.

با استفاده از ضرب ماتریسی این معادلات را می‌توان به صورت $A^t A = I$ نوشت که در آن I ماتریس یکه 3×3 و A^t ترانپوخته A است، یعنی:

$$A^t = \begin{pmatrix} a_{11} & a_{21} & a_{31} \\ a_{12} & a_{22} & a_{32} \\ a_{13} & a_{23} & a_{33} \end{pmatrix}$$

و چون $AA^t = I$ ، بنابراین $A^t = A^{-1}$ ، عکس ماتریس A است.

در E^3 حاصل ضرب دیگری وجود دارد که به حاصل ضرب خارجی ۱-فرمیها نزدیک است، و از لحاظ اهمیت بعد از ضرب نقطه‌ای قرار می‌گیرد. این ضرب را می‌توان فوراً به فرضای مماس E^3 منتقل کرد.

۷.۱. تعریف. اگر \mathbf{v} و \mathbf{w} دو بردار مماس بر \mathbf{E}^3 در یک نقطه \mathbf{p} باشند، حاصل ضرب خارجی \mathbf{v} و \mathbf{w} بردار مماسی است که با

$$\mathbf{v} \times \mathbf{w} = \begin{vmatrix} U_1(\mathbf{p}) & U_2(\mathbf{p}) & U_3(\mathbf{p}) \\ v_1 & v_2 & v_3 \\ w_1 & w_2 & w_3 \end{vmatrix}$$

تعریف می‌گردد.

این دترمینان را باید بر حسب سطر اول بسط داد، مثلاً اگر $\mathbf{v} = (1, 0, -1)_p$ و $\mathbf{w} = (2, 2, -7)_p$ باشد، داریم:

$$\begin{aligned} \mathbf{v} \times \mathbf{w} &= \begin{vmatrix} U_1(\mathbf{p}) & U_2(\mathbf{p}) & U_3(\mathbf{p}) \\ 1 & 0 & -1 \\ 2 & 2 & -7 \end{vmatrix} \\ &= 2U_1(\mathbf{p}) + 5U_2(\mathbf{p}) + 2U_3(\mathbf{p}) = (2, 5, 2)_p \end{aligned}$$

با توجه به خواص دترمینانها ثابت می‌شود که این حاصل ضرب بر حسب \mathbf{v} و \mathbf{w} خطی و در قاعدهٔ قنادبی زیر صادق است

$$\mathbf{v} \times \mathbf{w} = -\mathbf{w} \times \mathbf{v}$$

(و بنابراین در حالت خاص $\mathbf{v} \times \mathbf{v} = 0$). استفادهٔ هندسی از حاصل ضرب خارجی بر لم زیر استوار است.

۸.۱. لم. حاصل ضرب خارجی $\mathbf{v} \times \mathbf{w}$ برداری است که بر هر دو بردار \mathbf{v} و \mathbf{w} عمود، و طول آن چنین است

$$\|\mathbf{v} \times \mathbf{w}\|^2 = \mathbf{v} \cdot \mathbf{v} \mathbf{w} \cdot \mathbf{w} - (\mathbf{v} \cdot \mathbf{w})^2$$

برهان. گیریم $\mathbf{v} \times \mathbf{w} = \sum c_i U_i(\mathbf{p})$. بنابراین حاصل ضرب نقطه‌ای $\mathbf{v} \cdot (\mathbf{v} \times \mathbf{w})$ برابر است با $\sum v_i c_i$. از طرف دیگر بنا بر تعریف حاصل ضرب خارجی، c_1, c_2, c_3 مؤلفه‌های اقلیدسی $\mathbf{v} \times \mathbf{w}$ ، چنان هستند که

$$\mathbf{v} \cdot (\mathbf{v} \times \mathbf{w}) = \begin{vmatrix} v_1 & v_2 & v_3 \\ v_1 & v_2 & v_3 \\ w_1 & w_2 & w_3 \end{vmatrix}$$

و این دترمینان صفر است، زیرا دو سطر آن برابرند، بنابراین $\mathbf{v} \times \mathbf{w}$ بر \mathbf{v} عمود است،

به همین ترتیب بر \mathbf{w} .

برای اثبات فرمول طول مستقیماً به محاسبه می‌پردازیم.

$$\begin{aligned} \mathbf{v} \cdot \mathbf{v} \mathbf{w} \cdot \mathbf{w} - (\mathbf{v} \cdot \mathbf{w})^2 &= (\sum v_i^2) (\sum w_j^2) - (\sum v_i w_i)^2 \\ &= (\sum_{i,j} v_i^2 w_j^2 - \{ \sum v_i^2 w_i^2 + 2 \sum_{i < j} v_i w_i v_j w_j \}) \\ &= \sum_{i \neq j} v_i^2 w_j^2 - 2 \sum_{i < j} v_i w_i v_j w_j \end{aligned}$$

از طرف دیگر

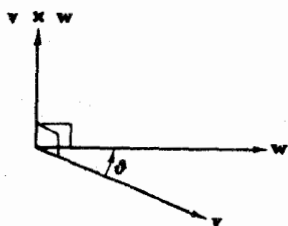
$$\begin{aligned} \|\mathbf{v} \times \mathbf{w}\|^2 &= (\mathbf{v} \times \mathbf{w}) \cdot (\mathbf{v} \times \mathbf{w}) = \sum c_i^2 \\ &= (v_2 w_3 - v_3 w_2)^2 + (v_3 w_1 - v_1 w_3)^2 + (v_1 w_2 - v_2 w_1)^2 \end{aligned}$$

و از بسط این عبارتها همان نتیجه بالا به دست می‌آید.

تعبیر روشنتری برای طول حاصل ضرب خارجی از فرمول زیر به دست می‌آید:

$$\|\mathbf{v} \times \mathbf{w}\| = \|\mathbf{v}\| \|\mathbf{w}\| \sin \theta$$

که در آن $0 \leq \theta \leq \pi$ کوچکترین زاویه بین \mathbf{v} و \mathbf{w} است. راستای آن عملاً با «قاعده دست راست» مشخص می‌گردد: اگر انگشتان دست راست در جهت کوتاهترین دوران از \mathbf{v} به \mathbf{w} باشند، شست راستای $\mathbf{v} \times \mathbf{w}$ را نشان می‌دهد (شکل ۴.۲).



شکل ۴.۲

از ترکیب حاصل ضرب‌های نقطه‌ای و خارجی، حاصل ضرب اسکالر سه‌تایی به دست می‌آید که به هر سه بردار \mathbf{u} ، \mathbf{v} و \mathbf{w} عدد $\mathbf{u} \cdot \mathbf{v} \times \mathbf{w}$ را متناظر قرار می‌دهد (تمرین ۴). گذاشتن پرانتز ضرورتی ندارد. زیرا تنها معنی ممکن آن $\mathbf{u} \cdot (\mathbf{v} \times \mathbf{w})$ است.

تمرینات

۱. گیریم $\mathbf{v} = (1, 2, -1)$ و $\mathbf{w} = (-1, 0, 3)$ دو بردار مماس در یک نقطه \mathbf{E}^3 باشند مطلوب است محاسبه:

(الف) $\mathbf{v} \cdot \mathbf{w}$ (ب) $\mathbf{v} \times \mathbf{w}$

(ج) $\frac{\mathbf{v}}{\|\mathbf{v}\|}$ ، $\frac{\mathbf{w}}{\|\mathbf{w}\|}$ (د) $\|\mathbf{v} \times \mathbf{w}\|$

(۸) کسینوس زاویه بین v و w .

۲. ثابت کنید که مسافت اقلیدسی دارای خواص زیر است:

$$d(p, q) \geq 0, \quad d(p, q) = 0 \text{ اگر، و فقط اگر، } p = q \quad (\text{الف})$$

$$d(p, q) = d(q, p) \quad (\text{ب})$$

$$d(p, q) + d(q, r) \geq d(p, r) \quad (\text{ج})$$

به‌ازای همهٔ نقاط p, q, r در E^3 .

۳. ثابت کنید که بردارهای مماس

$$e_1 = \frac{(1, 2, 1)}{\sqrt{6}}, \quad e_2 = \frac{(-2, 0, 2)}{\sqrt{8}}, \quad e_3 = \frac{(1, -1, 1)}{\sqrt{3}}$$

یک سه‌وجهی تشکیل می‌دهند. بردار $v = (6, 1, -1)$ را به‌صورت ترکیب خطی از آنها بیان کنید. (نتیجه را با محاسبهٔ مستقیم بررسی کنید.)

۴. گیریم $u = (u_1, u_2, u_3)$ ، $v = (v_1, v_2, v_3)$ ، $w = (w_1, w_2, w_3)$. ثابت کنید که:

$$u \cdot (v \times w) = \begin{vmatrix} u_1 & u_2 & u_3 \\ v_1 & v_2 & v_3 \\ w_1 & w_2 & w_3 \end{vmatrix} \quad (\text{الف})$$

(ب) $u \cdot (v \times w) \neq 0$ اگر، و فقط اگر، u, v, w دارای استقلال خطی باشند.

(ج) اگر در $u \cdot (v \times w)$ جای دو بردار باهم عوض شود حاصل ضرب تغییر علامت

می‌دهد. یعنی

$$u \cdot (v \times w) = v \cdot (w \times u) = w \cdot (u \times v)$$

$$= -w \cdot (v \times u) = -v \cdot (u \times w) = -u \cdot (w \times v)$$

$$u \cdot (v \times w) = u \times v \cdot w \quad (\text{د})$$

۵. ثابت کنید که $v \times w \neq 0$ اگر، و فقط اگر، v و w استقلال خطی داشته باشند، و نشان

دهید که $\|v \times w\|$ مساحت متوازی‌الاضلاع است که اضلاع آن بردارهای v و w هستند.

۶. اگر e_1, e_2, e_3 یک سه‌وجهی باشد، نشان دهید که

$$e_1 \cdot e_2 \times e_3 = \pm 1$$

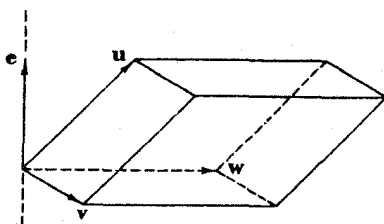
و از آنجا نتیجه بگیرید که دترمینان هر ماتریس متعامد 3×3 برابر ± 1 است.

۷. اگر \mathbf{u} يك بردار يکه باشد، مؤلفهٔ \mathbf{v} در راستای \mathbf{u} برابر است با

$$\mathbf{v} \cdot \mathbf{u} = \|\mathbf{v}\| \cos \theta$$

و نشان دهید که \mathbf{v} را می‌توان به‌طور یکتا به‌صورت $\mathbf{v} = v_1 \mathbf{u} + \mathbf{v}_\perp$ نوشت، که در آن $\mathbf{v}_\perp \cdot \mathbf{u} = 0$ و \mathbf{v}_1 مؤلفهٔ \mathbf{v} در راستای \mathbf{u} است.

۸. نشان دهید که حجم متوازی‌السطوح با یال‌های $\mathbf{u}, \mathbf{v}, \mathbf{w}$ برابر است با $\pm \mathbf{u} \cdot \mathbf{v} \times \mathbf{w}$ (شکل ۵.۲). (دانه‌مایی: از بردار یکهٔ $\mathbf{e} = \mathbf{v} \times \mathbf{w} / \|\mathbf{v} \times \mathbf{w}\|$ استفاده کنید.)



شکل ۵.۲

۹. با استفاده از ϵ -همسایگی، دقیقاً اثبات کنید که هر يك از این زیر مجموعه‌های \mathbf{E}^3 باز است:

(الف) همهٔ نقاط \mathbf{p} به‌طوری که $\|\mathbf{p}\| < 1$.

(ب) همهٔ نقاط \mathbf{p} به‌طوری که $p_3 > 0$ (دانه‌مایی: $d(\mathbf{p}, \mathbf{q}) = |\mathbf{p}_i - \mathbf{q}_i|$)

۱۰. در هر يك از حالت‌های زیر، S مجموعهٔ همهٔ نقاط \mathbf{p} را نشان می‌دهد که در شرط داده شده صدق می‌کنند. S را مشخص و معلوم کنید که آیا باز است یا نیست.

$$p_1 = p_2 \neq p_3 \quad (\text{ج}) \quad p_1^2 + p_2^2 + p_3^2 = 1 \quad (\text{الف})$$

$$p_1^2 + p_2^2 < 9 \quad (\text{د}) \quad p_3 \neq 0 \quad (\text{ب})$$

۱۱. اگر f يك تابع دیفرانسیل‌پذیر روی \mathbf{E}^3 باشد، نشان دهید که گرادیان آن

$$\nabla f = \sum \frac{\partial f}{\partial x_i} \mathbf{u}_i$$

(تمرین ۸ بند ۶.۱) دارای خواص زیر است:

(الف) به‌ازای هر بردار مماس در \mathbf{p} :

$$\mathbf{v}[f] = (df)(\mathbf{v}) = \mathbf{v} \cdot (\nabla f)(\mathbf{p})$$

(ب) نرم $(\nabla f)(\mathbf{p})$ یعنی

$$\|(\nabla f)(\mathbf{p})\| = \left[\sum \left(\frac{\partial f}{\partial x_i} \right)^2(\mathbf{p}) \right]^{1/2}$$

برابر ما کسیمی مشتق امتدادی $u[f]$ به ازای همه بردارهای یکه در \mathbf{p} می‌باشد. به علاوه اگر $(\nabla f)(\mathbf{p}) \neq 0$ ، بردار یکه‌ای که این ما کسیم به ازای آن به دست می‌آید عبارت است از:

$$\frac{(\nabla f)(\mathbf{p})}{\|(\nabla f)(\mathbf{p})\|}$$

اغلب به‌جای نمادهای $\text{grad } f$ ، $\text{curl } V$ و $\text{div } V$ به‌ترتیب از ∇f ، $\nabla \times V$ و $\nabla \cdot V$ استفاده می‌شود.

۱۲. توابع زادی‌های f و g دو تابع حقیقی دیرانسیلپذیر روی یک فاصله I باشند، به‌طوری که $f^2 + g^2 = 1$ و ϑ_0 عددی باشد که

$$f(0) = \cos \vartheta_0 \quad \text{و} \quad g(0) = \sin \vartheta_0$$

اگر تابع ϑ را به‌صورت زیر تعریف کنیم

$$\vartheta(t) = \vartheta_0 + \int_0^t (fg' - gf') dt$$

ثابت کنید که

$$f = \cos \vartheta, \quad g = \sin \vartheta$$

(راهنمایی: باید نشان داد که $(f - \cos \vartheta)^2 + (g - \sin \vartheta)^2 = 0$ ؛ برای این منظور ثابت کنید که $((f \cos \vartheta + g \sin \vartheta))' = 0$)

نکته مهم در این تمرین آن است که ϑ روی تمام فاصله I بدون ابهام معین و دیرانسیلپذیر است.

۲. خمها

بررسی هندسی خمها را با یادآوری چند تعریف آشنا آغاز می‌کنیم. گیریم $\alpha: I \rightarrow \mathbb{E}^3$ یک خم باشد، درفصل اول، بند ۴، $\alpha'(t)$ بردار سرعت α در t تعریف شد. اکنون فندی α را در t با $v(t) = \|\alpha'(t)\|$ طول بردار سرعت، تعریف می‌کنیم. بدیشان تندى تابعی است با مقدار حقیقی روی فاصله I . برحسب مختصات اقلیدسی $\alpha = (\alpha_1, \alpha_2, \alpha_3)$ داریم

$$\alpha'(t) = \left(\frac{d\alpha_x}{dt}(t), \frac{d\alpha_y}{dt}(t), \frac{d\alpha_z}{dt}(t) \right)$$

بنابراین، v به صورت تابعی از α به وسیله فرمول زیر معین می گردد

$$v = \|\alpha'\| = \left(\left(\frac{d\alpha_x}{dt} \right)^2 + \left(\frac{d\alpha_y}{dt} \right)^2 + \left(\frac{d\alpha_z}{dt} \right)^2 \right)^{1/2}$$

در فیزیک مسافتی را که نقطه متحرك می پیماید به وسیله انتگرال تندی بر حسب زمان محاسبه می کنند. بدین ترتیب طول قوس α از $t=a$ تا $t=b$ را با عدد

$$\int_a^b \|\alpha'(t)\| dt$$

تعریف می کنیم.

چون به جای $\|\alpha'\|$ مقدار آن را از فرمول بالا قرار دهیم، فرمول معمولی طول قوس به دست می آید.

اغلب مسیر يك خم مورد توجه است نه تندی خاصی که با آن مسیر را می پیماید. برای این منظور مناسبتر است که خم α را طوری پارامتری کنیم که تندی آن برابر ۱ باشد، یعنی اگر خم به صورت β در آید $\|\beta'\| = 1$. در این حال β را «پیمایش استاندارد» خم α می نامند.

۱.۴. قضیه. اگر α خم منظمی در E^3 باشد، می توان برای آن نمایش دیگر β را طوری تعیین کرد که تندی β برابر ۱ باشد.

برهان. در حوزه I ، $\alpha: I \rightarrow E^3$ ، عدد a را اختیار می کنیم و تابع طول قوس

$$s(t) = \int_a^t \|\alpha'(u)\| du$$

را در نظر می گیریم (نقطه $t=a$ را مبنای این نمایش پارامتری می نامند). بدین ترتیب ds/dt مشتق تابع $s=s(t)$ تابع تندی $v=\|\alpha'\|$ خم α است. چون α منظم است، α' هیچ گاه صفر نیست؛ بنابراین $ds/dt > 0$ ، و بنا بر قضیه ای در آنالیز، تابع s دارای يك تابع معکوس $t=t(s)$ است که مشتق آن در $s=s(t)$ عکس ds/dt در $t=t(s)$ است. به ویژه $dt/ds > 0$.

اکنون برای α تعویض پارامتر $\beta(s) = \alpha(t(s))$ را در نظر می گیریم و ثابت می کنیم که تندی β برابر يك است. بنا بر لم ۵.۴ فصل اول داریم

$$\beta'(s) = \left(\frac{dt}{ds} \right) (s) \alpha'(t(s))$$

و از آنجا:

$$\|\beta'(s)\| = \frac{dt}{ds}(s) \|\alpha'(t(s))\| = \frac{dt}{ds}(s) \frac{ds}{dt}(t(s)) = 1$$

این نمایش را اغلب نمایش پارامتری بر حسب طول قوس می‌نامند. زیرا طول قوس β از $s=a$ تا $s=b$ ($a < b$) درست برابر است با $b-a$.
برای مثال ماریچ α را که در فصل اول، مثال ۲.۴ بیان شد در نظر می‌گیریم. چون $\alpha(t) = (a \cos t, a \sin t, bt)$ پس α' سرعت آن با فرمول زیر بیان می‌شود

$$\alpha'(t) = (-a \sin t, a \cos t, b)$$

بنابراین:

$$\|\alpha'(t)\|^2 = \alpha'(t) \cdot \alpha'(t) = a^2 \sin^2 t + a^2 \cos^2 t + b^2 = a^2 + b^2$$

بدین ترتیب α دارای تندی ثابت $c = \|\alpha'\| = (a^2 + b^2)^{1/2}$ می‌باشد. اگر طول قوس را از $t=0$ اندازه‌گیری کنیم، در این صورت:

$$s(t) = \int_0^t c \, dt = ct$$

و از آنجا $t(s) = s/c$. با جایگذاری آن در α نمایش خم با تندی واحد به دست می‌آید:

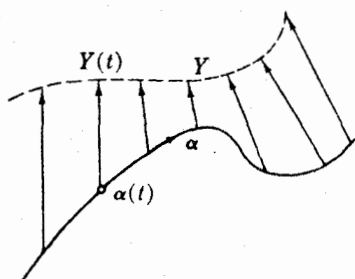
$$\beta(s) = \alpha\left(\frac{s}{c}\right) = \left(a \cos \frac{s}{c}, a \sin \frac{s}{c}, \frac{bs}{c}\right)$$

به آسانی می‌توان مستقیماً نیز تحقیق کرد که به ازای هر s داریم $\|\beta'(s)\| = 1$.
در نمایش پارامتری خم α به صورت $\alpha(h)$ اگر داشته باشیم $h' \geq 0$ ، گوییم $\alpha(h)$ سونگهداد است و اگر $h' \leq 0$ ، گوییم $\alpha(h)$ سوگرگردان است. در حالت اخیر α و $\alpha(h)$ مسیر مشترک را در جهت‌های متقابل می‌پیمایند. نمایش با تندی واحد جهت را حفظ می‌کند، زیرا برای یک خم منظم α ، $ds/dt > 0$.

اکنون برای مفهوم کلی میدان برداری (تعریف ۳.۲، فصل اول) تعریف دیگری می‌آوریم که برای بررسی خفها مناسبتر است. به بیان اجمالی یک میدان برداری روی یک خم با مشخص کردن یک بردار در هر نقطه از خم معین می‌گردد.

۳.۲. تعریف. میدان برداری Y روی خم $\alpha: I \rightarrow \mathbf{E}^3$ عبارت است از تابعی که به هر عدد t از I یک بردار $Y(t)$ مماس بر \mathbf{E}^3 در نقطه $\alpha(t)$ را متناظر قرار می‌دهد.

تا کنون از این قبیل میدانهای برداری داشته‌ایم، مثلاً برای هر خم α سرعت آن α' در این تعریف صدق می‌کند. باید توجه داشت که یک میدان برداری دلخواه روی α'



شکل ۶.۲

لزومی ندارد که مانند α' بر α مماس باشد، و می‌تواند در هر راستایی باشد (شکل ۶.۲).
 خواص میدانهای برداری روی خمها مشابه خواص میدانهای برداری روی E^3 است. مثلاً اگر Y یک میدان برداری روی $\alpha: I \rightarrow E^3$ باشد، در این صورت به‌ازای هر t در I می‌توان نوشت:

$$Y(t) = (y_1(t), y_2(t), y_3(t))_{\alpha(t)} = \sum y_i(t) U_i(\alpha(t))$$

و بدین ترتیب توابع y_1, y_2, y_3 روی I با مقدار حقیقی معین می‌گردند که توابع مختصاتی اقلیدسی Y نام دارند. همواره فرض می‌کنیم که این توابع دیفرانسیلپذیرند تابع مرکب $U_i(\alpha(t)) \rightarrow t$ نیز یک میدان برداری روی α است اغلب از لحاظ اختصار به‌جای $U_i(\alpha(t))$ فقط U_i می‌نویسیم.

اعمال جمع، ضرب در اسکالر، حاصل ضرب نقطه‌ای و حاصل ضرب خارجی میدانهای برداری روی یک خم مطابق معمول به‌روش نقطه‌ای تعیین می‌گردند. مثلاً اگر داشته باشیم

$$Y(t) = t^2 U_1 - t U_2, \quad Z(t) = (1 - t^2) U_2 + t U_3$$

$$f(t) = \frac{t+1}{t}$$

میدانهای برداری

$$(Y+Z)(t) = t^2 U_1 + (1-t^2) U_2$$

$$(fY)(t) = t(t+1) U_1 - (t+1) U_2$$

$$(Y \times Z)(t) = \begin{vmatrix} U_1 & U_2 & U_3 \\ t^2 & 0 & -t \\ 0 & 1-t^2 & t \end{vmatrix}$$

$$= t(1-t^2) U_1 - t^2 U_2 + t^2(1-t^2) U_3$$

و تابع با مقدار حقیقی

$$(Y \cdot Z)(t) = -t^2$$

به‌دست می‌آید.

برای محاسبه مشتق يك میدان برداری روی خم α می‌توان از توابع مختصاتی اقلیدسی آن مشتق گرفت، و بدین ترتیب يك میدان برداری جدید روی α به دست آورده توضیح آنکه اگر $Y = \sum y_i U_i$ ، آنگاه $Y' = \sum (dy_i/dt) U_i$. بدین ترتیب برای Y که در بالا بیان شد داریم

$$Y' = 2tU_1 - U_2, \quad Y'' = 2U_1, \quad Y''' = 0$$

به‌ویژه α'' ، مشتق α' سرعت α ، را شتاب α می‌نامند، و اگر $\alpha = (\alpha_1, \alpha_2, \alpha_3)$ ، آنگاه شتاب

$$\alpha'' = \left(\frac{d^2\alpha_1}{dt^2}, \frac{d^2\alpha_2}{dt^2}, \frac{d^2\alpha_3}{dt^2} \right)_\alpha$$

يك میدان برداری روی α است، و برخلاف سرعت، شتاب در حالت کلی بر خم مماس نیست. چنان که در پیش گفته شد مشتق همواره دارای خواص خطی و لاینیتزی می‌باشد. در حالت میدانهای برداری روی يك خم به آسانی می‌توان خواص زیر را اثبات کرد

$$(aY + bZ)' = aY' + bZ'$$

(a و b دو عددند)

$$(fY)' = \frac{df}{dt}Y + fY' \quad \text{و} \quad (Y \cdot Z)' = Y' \cdot Z + Y \cdot Z'$$

اگر تابع $Y \cdot Z$ ثابت باشد، فرمول اخیر نشان می‌دهد که

$$Y' \cdot Z + Y \cdot Z' = 0$$

این نکته در بررسیهای آینده‌کراراً به‌کار خواهد رفت. به خصوص اگر Y دارای طول ثابت $\|Y\|$ باشد، در این صورت Y و Y' در هر نقطهٔ خم متعامند. زیرا از ثابت بودن $\|Y\|^2 = Y \cdot Y$ نتیجه می‌شود که $2YY' = 0$.

چنان که گفتیم دو بردار مماس هنگامی موازی‌اند که قسمت برداری آنها یکی باشد، و به‌همین ترتیب يك میدان برداری Y روی يك خم متوازی است اگر همهٔ مقادیر آن (بردارهای مماس) یکی باشند. در این حالت، اگر قسمت برداری مشترك آن (c_1, c_2, c_3) باشد، آنگاه:

$$Y(t) = (c_1, c_2, c_3)_\alpha(t) = \sum c_i U_i \quad \text{به‌ازای همهٔ مقادیر } t$$

بدین ترتیب توازی دربارهٔ میدان برداری با ثابت بودن توابع مختصاتی اقلیدسی آن هم‌ارز است.

صفرشدن مشتقها در آنالیز همواره دارای اهمیت است، در اینجا سه حالت ساده را در نظر می‌گیریم.

۳.۴. لم. (۱) شرط لازم و کافی برای آنکه خم α ثابت باشد آن است که سرعت آن صفر باشد، $\alpha' = 0$.

(۲) شرط لازم و کافی برای آنکه خم غیر ثابت α خط راست باشد آن است که شتاب آن صفر باشد، $\alpha'' = 0$.

(۳) شرط لازم و کافی برای آنکه میدان برداری Y روی يك خم متوازی باشد، آن است که مشتق آن صفر باشد، $Y' = 0$.

پروهان. در هر يك از حالتها کافی است توابع مختصاتی اقلیدسی را در نظر بگیریم. به عنوان مثال ما (۲) را اثبات می کنیم. اگر $\alpha = (\alpha_1, \alpha_2, \alpha_3)$ ، در این صورت داریم

$$\alpha'' = \left(\frac{d^2 \alpha_1}{dt^2}, \frac{d^2 \alpha_2}{dt^2}, \frac{d^2 \alpha_3}{dt^2} \right)$$

و شرط $\alpha'' = 0$ هنگامی برقرار است که هر يك از $d^2 \alpha_i / dt^2$ ها صفر باشد. این مطلب با وجود مقادیر ثابت p_i و q_i به طوری که

$$\alpha_i(t) = p_i + tq_i \quad i = 1, 2, 3$$

هم ارز است. بنابراین $\alpha(t) = p + tq$ ، و α طبق تعریفی که در مثال ۲.۴ فصل اول بیان شد يك خط راست است (توجه شود که از شرط غیر ثابت بودن α نتیجه می شود $q \neq 0$).

تمرینات

۲۱. برای خم $\alpha(t) = (2t, t^2, t^3/3)$

(الف) سرعت، تندى و شتاب را به ازای t دلخواه $t = 1$ بیابید.

(ب) تابع طول قوس $s = s(t)$ (به مبنای $t = 0$) را بیابید و طول قوس α از $t = -1$ تا $t = +1$ را محاسبه کنید.

۲۲. نشان دهید که خم $\alpha(t) = (t \cos t, t \sin t, t)$ روی يك مخروط در E^3 واقع است. سرعت، تندى و شتاب α را در رأس مخروط بیابید.

۲۳. نشان دهید که تابع طول قوس خم $\alpha(t) = (\cosh t, \sinh t, t)$ به صورت $s(t) = \sqrt{2} \sinh t$ است، و تعویض پارامتری به تندى واحد برای α بیابید.

۲۴. خم $\alpha(t) = (2t, t^2, \log t)$ را روی $I: t > 0$ در نظر می گیریم. نشان دهید که این خم از نقاط $p = (2, 1, 0)$ و $q = (2, 2, \log 2)$ می گذرد، و طول قوس بین این نقاط را بیابید.

۲۵. اگر β_1 و β_2 دو تعویض پارامتر با تندى واحد از خم α باشند، نشان دهید که عدد s_0 را می توان طوری تعیین کرد که به ازای هر s داشته باشیم $\beta_2(s) = \beta_1(s + s_0)$.

تعبیر هندسی S چیست؟۶. گیریم Y يك میدان برداری روی مارپیچ $\alpha(t) = (\cos t, \sin t, t)$ باشد. در هر يكاز حالت‌های زیر آن را به صورت $\sum y_i U_i$ بنویسید:(الف) $Y(t)$ برداری است از $\alpha(t)$ به مبدأ E^3 .(ب) $Y(t) = \alpha'(t) - \alpha''(t)$.(ج) $Y(t)$ به طول واحد و عمود بر $\alpha'(t)$ و $\alpha''(t)$ است.(د) $Y(t)$ برداری است از $\alpha(t)$ به $\alpha(t+\pi)$.۷. گیریم Y يك میدان برداری روی خم α است. اگر $\alpha(h)$ يك تعویض پارامتر α باشد،نشان دهید که $Y(h)$ يك میدان برداری روی $\alpha(h)$ است، و ثابت کنید که

$$Y(h)' = h' Y'(h)$$

۸. گیریم $\alpha, \beta: I \rightarrow E^3$ دو خم باشند به طوری که به ازای هر t ، $\alpha'(t)$ و $\beta'(t)$ موازی(مختصات اقلیدسی آنها یکی) باشند. ثابت کنید که α و β موازی اند بدین معنی کهمی‌توان در E^3 نقطه‌ای مانند p یافت به طوری که به ازای هر t داشته باشیم

$$\beta(t) = \alpha(t) + p$$

۹. اگر α خم منظمی باشد نشان دهید که(الف) شرط لازم و کافی برای آنکه α دارای تندی ثابت باشد آن است که شتاب α'' همواره بر α (یعنی بر α') عمود باشد.(ب) برای آنکه α يك تعویض پارامتر خط راست $p + tq \rightarrow t$ باشد لازم و کافیاست که α'' همواره بر α مماس باشد (یعنی α'' و α' همخط باشند).۱۰. قسمتی از خم که روی فاصله بسته $a \leq t \leq b$: $[a, b]$ معین است قطعه خم نام دارد.تعویض پارامتر $\alpha(h): [a, b] \rightarrow E^3$ از قطعه خم $\alpha: [c, d] \rightarrow E^3$ را یکنوا

می‌نامند هر گاه یکنوا از دو شرط زیر برقرار باشد

(الف) $h' \geq 0$ ، $h(a) = c$ ، $h(b) = d$ یا (ب) $h' \leq 0$ ، $h(a) = d$ ، $h(b) = c$

ثابت کنید که تعویض پارامتر یکنوا طول قوس را تغییر نمی‌دهد.

۱۱. ثابت کنید که خط راست کوتاهترین مسافت بین دو نقطه در E^3 می‌باشد. برای اینمنظور از طرح زیر استفاده کنید: خم دلخواه $\alpha: [a, b] \rightarrow E^3$ و قطعه خم از $p = \alpha(a)$ تا $q = \alpha(b)$ را در نظر می‌گیریم، و قرار می‌دهیم $u = (q - p) / \|q - p\|$.(الف) اگر σ قطعه خط راستی از p به q باشد، مثلاً

$$\sigma(t) = (1-t)p + tq \quad (0 \leq t \leq 1)$$

نشان دهید که $L(\sigma) = d(p, q)$.(ب) از u . $\| \alpha' \| \geq \alpha'$ نتیجه بگیرید که $L(\alpha) \geq d(p, q)$ که در آن $L(\alpha)$ طول α

و d مسافت اقلیدسی است.

(ج) علاوه بر این نشان دهید که اگر $L(\alpha) = d(p, q)$ ، آنگاه α يك قطعه خط راست است. (داهنمایی: بنویسید $\alpha' = (\alpha' \cdot u)u + Y$ که در آن $Y \cdot u = 0$.)

۳. فرمولهای فرنه

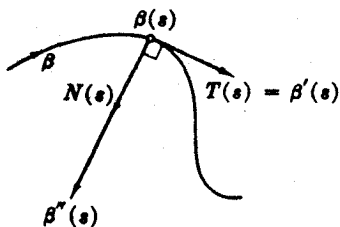
اکنون به بیان اندازه گیریهای ریاضی برای چرخش و تاب يك خم در E^3 می پردازیم. در این بند فقط خمهای با تندى واحد را در نظر می گیریم و در بند دیگر نتایج را به خمهای منظم با تندى دلخواه تعمیم می دهیم.

گیریم $\beta: I \rightarrow E^3$ خمی با تندى واحد باشد، یعنی به ازای هر s در I داریم $\|\beta'(s)\| = 1$. در این صورت $T = \beta'$ را میدان برداری هماس یکانی روی β می نامند، و چون طول T همواره برابر ۱ است مشتق آن $T' = \beta''$ چرخش خم را در E^3 نشان می دهد. T' را میدان برداری خمیدگی β می نامند، اگر از $T \cdot T' = 0$ مشتق بگیریم به دست می آید $T' \cdot T = 0$ یعنی T' همواره بر T عمود است، به عبارت دیگر T' بر خم β قائم است.

طول میدان برداری خمیدگی T' يك اندازه حدی برای چرخش β به دست می دهد. تابع با مقدار حقیقی κ به طوری که به ازای هر s در I ،

$$\kappa(s) = \|T'(s)\|$$

تابع خمیدگی β نام دارد. بنا بر این $\kappa \geq 0$ ، و هر چه κ بزرگتر باشد، چرخش β تندتر است. برای بررسیهای بیشتر، فرض می کنیم κ هیچ گاه صفر نباشد، یعنی $\kappa > 0$ (۱). در این صورت میدان برداری یکانی $N = T'/\kappa$ (استای چرخش β را در هر نقطه معین می کند. N را میدان برداری قائم اصلی β می نامند (شکل ۷.۲). میدان برداری $B = T \times N$ روی β را میدان برداری بی نرمال می نامند.



شکل ۷.۲

۱۰.۳. لم. گیریم β خمی با تندى واحد در E^3 باشد، و $\kappa > 0$. در این صورت سه میدان برداری T ، N و B روی β میدانهای برداری یکانی اند که در هر نقطه بر یکدیگر عمودند. T ، N ، B را میدان سه وجهی فرنه روی β می نامند.

برهان. بنا بر تعریف $\|T\| = 1$ ، و چون

$$\kappa = \|T'\| > 0$$

۱. این بدان معنی است که برای هر خم دلخواه با سرعت واحد باید هر قطعه متناظر با $\kappa > 0$ را جداگانه بررسی کرد، تمرین ۱۹ بند ۴ را ببینید.

$$\|N\| = \frac{1}{\kappa} \|T'\| = 1$$

در بالا دیدیم که T و N متعامدند، یعنی $T \cdot N = 0$. با استفاده از لم ۸.۱ نتیجه می گیریم که در هر نقطه $\|B\| = 1$ ، و نیز بر T و N عمود است. به طور خلاصه داریم:

$$T = \beta', \quad N = \frac{T'}{\kappa}, \quad B = T \times N$$

که در $T \cdot T = B \cdot B = N \cdot N = 1$ صدق می کنند و همه حاصل ضربهای نقطه‌ای دیگر برابر صفرند.

کلید بررسی موفقیت آمیز هندسهٔ یک خم β استفاده از میدان سه وجهی فرنه T, N ، B به جای میدان سه وجهی طبیعی U_1, U_2, U_3 می باشد. زیرا میدان سه وجهی فرنه پراز اطلاع دربارهٔ β است، در صورتی که میدان سه وجهی طبیعی حاوی هیچ گونه اطلاعی نمی باشد.

نخستین و مهمترین استفاده از این اندیشه آن است که مشتقهای T', N', B' را برحسب T, N, B بیان کنیم. چون $T = \beta'$ ، داریم $T' = \beta'' = \kappa N$ اکنون B' را مورد توجه قرار می دهیم، و ادعا می کنیم که B' در هر نقطه مضرب اسکالری از N است. برای اثبات این مطلب کافی است نشان دهیم که $B' \cdot B = 0$ و $B' \cdot T = 0$. فرمول اول به علت آنکه B بردار یکانی است برقرار می باشد. برای اثبات صحت فرمول دوم از $B \cdot T = 0$ مشتق می گیریم، داریم $B' \cdot T + B \cdot T' = 0$ از آنجا:

$$B' \cdot T = -B \cdot T' = -B \cdot \kappa N = 0$$

بدین ترتیب می توان تابع پیچش یا تاب τ را برای خم β به صورت تابع با مقدار حقیقی روی فاصله I با $B' = -\tau N$ تعریف کرد (علامت منها قراردادی است). برخلاف خمیدگی، دربارهٔ مقادیر τ هیچ گونه قیدی وجود ندارد، می تواند مثبت یا منفی و یا صفر باشد (علامت τ دارای تعبیر هندسی جالبی می باشد). اکنون نشان می دهیم که τ مقیاسی برای اندازهٔ پیچش یا تاب خم β است.

۴.۳. قضیه. (فرمولهای فرنه). اگر $I \rightarrow \mathbb{E}^3$: β خمی با تندی واحد و خمیدگی $\kappa > 0$ و تاب τ باشد، در این صورت:

$$\begin{aligned} T' &= \kappa N \\ N' &= -\kappa T \quad + \tau B \\ B' &= -\tau N \end{aligned}$$

برهان. چنان که در بالا دیدیم فرمولهای اول و سوم، همان فرمولهای تعریف خمیدگی و تاب می باشند. برای اثبات فرمول دوم، N' را بر حسب T, N, B بیان می کنیم:

$$N' = N' \cdot T T + N' \cdot N N + N' \cdot B B$$

این ضرایب به آسانی محاسبه می شوند. از $N \cdot T = 0$ مشتق می گیریم، داریم
 $N' \cdot T + N \cdot T' = 0$ ، بنابراین:

$$N' \cdot T = -N \cdot T' = -N \cdot \kappa N = -\kappa$$

و نیز $N' \cdot N = 0$ ، زیرا N میدان برداری یکانی است. بالاخره،

$$N' \cdot B = -N \cdot B' = -N \cdot (-\tau N) = \tau$$

۳.۳. مثال. سه وجهی فرنه T, N, B و توابع خمیدگی و تاب را در مورد مارپیچ بسا
 تندی واحد زیر محاسبه می کنیم

$$\beta(s) = \left(a \cos \frac{s}{c}, a \sin \frac{s}{c}, \frac{bs}{c} \right)$$

که در آن $a > 0$ و $c = (a^2 + b^2)^{1/2}$ داریم.

$$T(s) = \beta'(s) = \left(-\frac{a}{c} \sin \frac{s}{c}, \frac{a}{c} \cos \frac{s}{c}, \frac{b}{c} \right)$$

از آنجا

$$T'(s) = \left(-\frac{a}{c^2} \cos \frac{s}{c}, -\frac{a}{c^2} \sin \frac{s}{c}, 0 \right)$$

بنابراین

$$\kappa(s) = \|T'(s)\| = \frac{a}{c^2} = \frac{a}{a^2 + b^2} > 0$$

چون $T' = \kappa N$ خواهیم داشت

$$N(s) = \left(-\cos \frac{s}{c}, -\sin \frac{s}{c}, 0 \right)$$

دیده می شود که a و b هر چه باشند، N همواره به جهت محور استوانه ای که خم بر آن
 قرار دارد متوجه است (شکل ۸.۲).

با استفاده از تعریف حاصل ضرب خارجی برای $B = T \times N$ خواهیم داشت

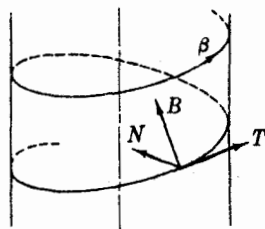
$$B(s) = \left(\frac{b}{c} \sin \frac{s}{c}, -\frac{b}{c} \cos \frac{s}{c}, \frac{a}{c} \right)$$

برای محاسبه تاب از بردار $B(s)$ مشتق می‌گیریم

$$B'(s) = \left(\frac{b}{c^2} \cos \frac{s}{c}, \frac{b}{c^2} \sin \frac{s}{c}, 0 \right)$$

و بنا بر تعریف $B' = -\tau N$ از دقتایسه B' و N ، به دست می‌آید:

$$\tau(s) = \frac{b}{c^2} = \frac{b}{a^2 + b^2}$$



شکل ۸۰۲

بنا بر این تاب مارپیچ نیز ثابت است. دیده می‌شود که اگر b صفر باشد، مارپیچ به دایره‌ای به شعاع a بدل می‌شود. خمیدگی این دایره برابر $\kappa = 1/a$ است (هرچه شعاع کوچکتر باشد خمیدگی بزرگتر می‌شود) و تاب آن صفر است.

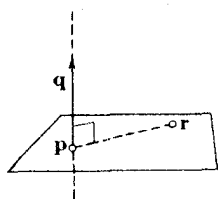
این مثال حالت بسیار خاصی است، در حالت کلی لزومی ندارد که توابع خمیدگی و تاب یک خم ثابت باشند.

۴۰۳. تبصرو. تا اینجا همواره بر تمایز بین یک بردار مماس و یک نقطه از E^3 تأکید کرده‌ایم. اما چنان‌که دیدیم فضای اقلیدسی دارای این خصوصیت جالب توجه است که به ازای نقطه p می‌توان یک تناظر یک به یک طبیعی بین نقاط (v_1, v_2, v_3) و بردارهای مماس p در (v_1, v_2, v_3) برقرار کرد. بدین ترتیب می‌توان با این ایزومرفیسم نقاط را به بردارهای مماس (و برعکس) تبدیل کرد. در دو بند آینده اغلب از یک نمایش به نمایش دیگر می‌رویم بدون آنکه علایم را تغییر دهیم. چگون اشیاء متناظر دادای یک مختصات اقلیدسی‌اند، این عمل بر ضرب داخلی، جمع، حاصل ضرب نقطه‌ای، و مشتقگیری و هر عمل دیگری که بر حسب مختصات اقلیدسی بیان شده باشد تأثیر نمی‌گذارد.

بدین ترتیب میدان برداری $Y = (y_1, y_2, y_3)$ روی خم β نیز خود در E^3 به‌خام (y_1, y_2, y_3) بدل می‌شود. در حالت خاص اگر Y متوازی باشد توابع مختصاتی اقلیدسی آن ثابت‌اند و Y به‌صورت یک نقطه از E^3 درمی‌آید.

در هندسه فضایی یک صفحه از E^3 را به صورت همه قائم‌مهایی که از نقطه مفروضی واقع بر یک خط اخراج می‌شوند در نظر می‌گیرند. به بیان برداری صفحه‌ای که از p می‌گذرد در $q \neq 0$ عمود است از نقطاتی مانند r در E^3 تشکیل می‌شود که در رابطه زیر صدق می‌کنند

$$(r - p) \cdot q = 0$$



شکل ۹.۲

بنا بر تبصره بالا q را می توان به صورت بردار مماس در p ، چنان که در شکل ۹.۲ دیده می شود، در نظر گرفت.

اکنون می توان از خم مفروضی در مجاورت یک نقطه دلخواه آن به تقریب اطلاعاتی به دست آورد، یعنی تأثیر خمیدگی و تاب را بر شکل خم بررسی کرد. برای این منظور از تقریب تیلر برای خم استفاده می کنیم و آن را بر حسب سه وجهی فرنه در نقطه انتخابی بیان می کنیم.

برای سادگی، خم $\beta = (\beta_1, \beta_2, \beta_3)$ را با تندی واحد در مجاورت نقطه $\beta(0)$ در نظر می گیریم. هنگامی که s کوچک باشد، هر یک از مختصات $\beta_i(s)$ به جمله های اول سری تیلر نزدیک است:

$$\beta_i(s) \sim \beta_i(0) + \frac{d\beta_i}{ds}(0)s + \frac{d^2\beta_i}{ds^2}(0)\frac{s^2}{2} + \frac{d^3\beta_i}{ds^3}(0)\frac{s^3}{6}$$

بنابراین

$$\beta(s) \sim \beta(0) + s\beta'(0) + \frac{s^2}{2}\beta''(0) + \frac{s^3}{6}\beta'''(0)$$

اما $\beta'(0) = T_0$ و $\beta''(0) = \kappa_0 N_0$ که در آن اندیس صفر مبین آن است که مقادیر را بدازای $s = 0$ در نظر گرفته ایم. فرض می کنیم $\kappa_0 \neq 0$ ، و نیز داریم

$$\beta''' = (\kappa N)' = \frac{d\kappa}{ds}N + \kappa N'$$

با استفاده از فرمول فرنه برای N' بدست می آید

$$\beta'''(0) = -\kappa_0^2 T_0 + \frac{d\kappa}{ds}(0)N_0 + \kappa_0 \tau_0 B_0$$

بالاخره با قرار دادن این مقادیر در تقریب $\beta(s)$ که در بالا آمد، و در نظر گرفتن جمله های کمترین درجه در هر مؤلفه خواهیم داشت:

$$\beta(s) \sim \beta(0) + sT_0 + \kappa_0 \frac{s^2}{2}N_0 + \kappa_0 \tau_0 \frac{s^3}{6}B_0$$

اگر طرف دوم را با $\hat{\beta}(s)$ نشان دهیم، خم $\hat{\beta}$ موسوم به تقریب فرنه β در مجاورت $s = 0$ بدست می آید. باید توجه داشت که β در مجاورت هر یک از نقاط خود تقریب فرنه متفاوتی دارد، اگر به جای 0 عدد دلخواه s را در نظر بگیریم، باید به جای s مانند بسط معمولی

تیلر $s - s_0$ قرار دهیم.

اکنون تقریب فرنه در بالا را بررسی می‌کنیم. جمله اول در بسط $\hat{\beta}$ همان نقطه $\beta(0)$ است. دو جمله اول با هم خط مماس $\beta(0) + sT_0$ در $s \rightarrow 0$ بر خم β در نقطه $\beta(0)$ را به دست می‌دهد، که بهترین تقریب خطی β در مجاورت $\beta(0)$ می‌باشد، سه جمله اول با هم معرف سهمی

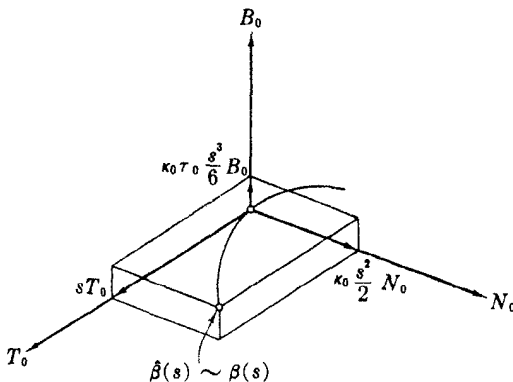
$$s \rightarrow \beta(0) + sT_0 + \kappa_0 \left(\frac{s^2}{2} \right) N_0$$

است، که بهترین تقریب درجه دوم β در مجاورت $\beta(0)$ می‌باشد. دیده می‌شود که این سهمی در صفحه مار بر $\beta(0)$ وعمود بر B_0 واقع است، که صفحه بوسان β در نقطه $\beta(0)$ است. این سهمی با سهمی $y = \kappa_0 x^2 / 2$ در صفحه xy به یک شکل است، و با κ_0 خمیدگی β در $s = 0$ کاملاً معین می‌گردد.

بالاخره تاب τ_0 در آخرین و کوچکترین جمله $\hat{\beta}$ ظاهر می‌شود، و حرکت β را در امتداد قائم بر صفحه بوسان این نقطه نشان می‌دهد (شکل ۱۰۰۲).

بر اساس این بحث می‌توان حدس زد که اگر خمیدگی خمی با تندى واحد همواره صفر باشد، در این صورت خطی است. در واقع این مطلب از رابطه (۲) لم ۳۰۲ نتیجه می‌گردد، زیرا $\|T'\| = \|\beta''\|$ و لذا $\kappa = 0$ اگر، و فقط اگر، $\beta'' = 0$ بنا بر این خمیدگی، مقیاس انحراف خم از خط مستقیم است.

خم مسطح در E^3 خمی است که کلاً در یک صفحه از E^3 واقع باشد. بدیهی است که خم مسطح حتی مانند مارپیچ مثال ۳۰۳ دارای پیچش نیست. از بحث بالا نتیجه می‌شود که به ازای s کوچک خم β در صفحه بوسان نقطه $\beta(0)$ قرار می‌گیرد. اگر $\tau_0 \neq 0$ β دارای پیچش خواهد بود و از صفحه بوسان خارج می‌گردد. بنا بر این می‌توان حدس زد که اگر تاب خم β متحد با صفر باشد هیچ‌گاه از این صفحه خارج نمی‌شود.



شکل ۱۰۰۲

۵.۳. فرجه. شرط لازم و کافی برای آنکه خم β با تندی واحد در E^3 با $\kappa > 0$ مسطح باشد آن است که $\tau = 0$.

برهان. اگر β خم مسطحی باشد، بنا بر تبصره بالا می توان نقاط p و q را طوری تعیین کرد که تساوی $0 = q \cdot (\beta(s) - p)$ به ازای همه مقادیر s برقرار باشد. چون مشتق بگیریم خواهیم داشت:

$$\beta'(s) \cdot q = \beta''(s) \cdot q = 0 \quad \text{به ازای همه مقادیر } s$$

بنا بر این q همواره بر $T = \beta'$ و $N = \beta''/\kappa$ عمود است. اما B نیز بر این دو بردار عمود است و چون طول آن واحد است پس $B = \pm q/\|q\|$. در نتیجه $\beta' = 0$ و از آنجا بنا بر تعریف $\tau = 0$ (شکل ۱۱.۲).

برعکس اگر $\tau = 0$ ، خواهیم داشت $\beta' = 0$ ، یعنی B متوازی است و می توان آن را با يك نقطه از E^3 نشان داد (تبصره ۴.۳). اکنون نشان می دهیم که β در صفحه ای که از $\beta(0)$ می گذرد و بر B عمود است قرار دارد. برای این منظور تابع با مقدار حقیقی

$$f(s) = (\beta(s) - \beta(0)) \cdot B \quad \text{به ازای همه مقادیر } s$$

را در نظر می گیریم. داریم

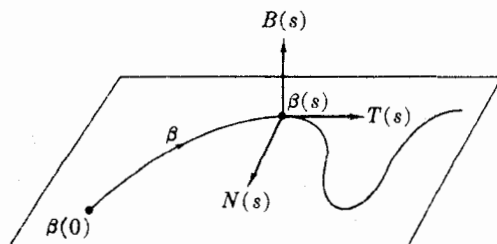
$$\frac{df}{ds} = \beta' \cdot B = T \cdot B = 0$$

و چون $f(0) = 0$ ، پس f متحد با صفر است. بنا بر این

$$(\beta(s) - \beta(0)) \cdot B = 0 \quad \text{به ازای همه مقادیر } s$$

که نشان می دهد β کاملاً در این صفحه قرار دارد.

در پایان مثال ۳.۳ دیدیم که خمیدگی دایره ای به شعاع a برابر $1/a$ و تاب آن صفر است، و نیز فرمول قائم اصلی که در آنجا بیان شد نشان می دهد که N همواره متوجه



شکل ۱۱.۲

مرکز دایره است. اکنون عکس این مطلب را اثبات می‌کنیم.

۶.۳. لم. اگر β خمی با تندی واحد و خمیدگی ثابت $\kappa > 0$ و تاب صفر باشد، آنگاه β قوسی از دایره به شعاع $1/\kappa$ است.

برهان. چون $\tau = 0$ ، لذا β يك خم مسطح است. اکنون بسايد نشان دهيم که هر نقطه آن به فاصله $1/\kappa$ از نقطه ثابتی قرار دارد، این نقطه مرکز دایره خواهد بود. برای این منظور خم $\gamma = \beta + (1/\kappa)N$ را در نظر می‌گیریم. با استفاده از فرمول فرنه خواهیم داشت

$$\gamma' = \beta' + \frac{1}{\kappa} N' = T + \frac{1}{\kappa} (-\kappa T) = 0$$

بنابراین خم γ ثابت است، یعنی $\beta(s) + (1/\kappa)N(s)$ همواره مقداری است ثابت، مثلاً c (شکل ۱۲.۲). اما فاصله از c تا $\beta(s)$ عبارت است از

$$d(c, \beta(s)) = \|c - \beta(s)\| = \left\| \frac{1}{\kappa} N(s) \right\| = \frac{1}{\kappa}$$

اساساً هر مسأله هندسی دربارهٔ خمها را می‌توان به وسیلهٔ فرمولهای فرنه حل کرد. در حالت‌های ساده کافی است مفروضات مسأله را به صورتی مناسب نوشت، مشتقها را محاسبه کرد و فرمولهای فرنه را به کار برد. مثلاً گیریم β خمی با تندی واحد باشد، که تماماً روی کرهٔ Σ به شعاع a و به مرکز مبدأ E^3 قرار دارد. می‌توان حدس زد که خمیدگی β هنگامی مینیمم است که β بريك دایرهٔ عظیم Σ قرار گیرد. شعاع این دایره برابر a است، و از آنجا می‌توان پیشبینی کرد که خمیدگی خم کردی β ، $\kappa \geq 1/a$ خواهد بود که a شعاع کرهٔ آن است.

برای اثبات، ملاحظه می‌شود که فاصلهٔ هر نقطه β از مبدأ برابر a است و در نتیجه $\beta \cdot \beta = a^2$. با مشتق‌گیری داریم $0 = \beta' \cdot \beta$ ، یعنی $0 = \beta \cdot T$. بار دیگر مشتق می‌گیریم $0 = T \cdot T + \beta' \cdot N$ ، و با استفاده از فرمول فرنه نتیجه می‌شود $0 = \beta \cdot N$ از آنجا:

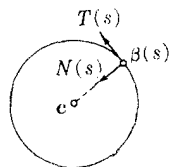
$$\kappa \beta \cdot N = -1$$

با توجه به نامساوی شوارتس خواهیم داشت:

$$|\beta \cdot N| \leq \|\beta\| \|N\| = a$$

و چون $\kappa \geq 0$ ، نتیجهٔ مطلوب حاصل می‌گردد:

$$\kappa = |\kappa| = \frac{1}{|\beta \cdot N|} \geq \frac{1}{a}$$



چون این روش را ادامه دهیم، شرط لازم و کافی

(برحسب خمیدگی و تاب) برای آنکه خمی کروی باشد، یعنی، بر روی يك كره در E^3 واقع باشد به دست می آید (تمرین ۱۰).

تمرینات

۱. مطلوب است محاسبه اجزای دستگاه فرنه κ, τ, T, N, B برای خم با تندى واحد

$$\beta(s) = \left(\frac{4}{5} \cos s, 1 - \sin s, -\frac{3}{5} \cos s \right)$$

نشان دهید که این خم يك دایره است، مرکز و شعاع آن را بیابید.

۲. خم زیر را که در فاصله $1 < s < -1$: I تعریف شده است در نظر می گیریم:

$$\beta(s) = \left(\frac{(1+s)^{3/2}}{3}, \frac{(1-s)^{3/2}}{3}, \frac{s}{\sqrt{2}} \right)$$

نشان دهید که β خمی با تندى واحد است، و اجزای دستگاه فرنه آن را محاسبه کنید.

۳. صحت فرمولهای فرنه را دربارهٔ ماریچ مثال ۳.۳ با محاسبهٔ مستقیم κ, τ, T, N, B تحقیق کنید.

۴. ثابت کنید که:

$$T = N \times B = -B \times N$$

$$N = B \times T = -T \times B$$

$$B = T \times N = -N \times T$$

(در يك برهان صوری از خواص حاصل ضرب خارجی که در تمرینهای بند ۱ ثابت کردیم استفاده می شود، ولی می توان این فرمولها را با استفاده از قاعدهٔ دست راست، که در صفحهٔ ۴۸ آمده است نیز به دست آورد.)

۵. اگر A میدان برداری $\kappa B + \tau T$ روی خم β با تندى واحد باشد، نشان دهید که فرمولهای فرنه به صورت زیر درمی آیند:

$$T' = A \times T$$

$$N' = A \times N$$

$$B' = A \times B$$

۶. برای هر دایره می توان نمایش پارامتری با تندى واحد زیر را در نظر گرفت:

$$\gamma(s) = c + r \cos \frac{s}{r} e_1 + r \sin \frac{s}{r} e_2$$

که در آن $e_i \cdot e_j = \delta_{ij}$

اگر β خمی با تندی واحد باشد و $\kappa(0) > 0$ ثابت کنید که فقط و فقط یک دایره γ وجود دارد که در مجاورت $\beta(0)$ تقریب β باشد، بدین معنی که:

$$\gamma(0) = \beta(0), \quad \gamma'(0) = \beta'(0), \quad \text{و} \quad \gamma''(0) = \beta''(0)$$

نشان دهید که γ در صفحه بوسان خم β در نقطه $\beta(0)$ واقع است و c و r مرکز و شعاع آن را بیابید (دایره γ را دایره بوسان و c را مرکز خمیدگی β در نقطه $\beta(0)$ می نامند. همین نتایج هنگامی که به جای 0 عدد s را در نظر بگیریم برقرار است.) (شکل ۱۳.۲)

۷. اگر خم α و خم $\bar{\alpha} = \alpha(h)$ که از تعویض پارامتر آن به دست آمده است هر دو با تندی واحد باشند، نشان دهید که

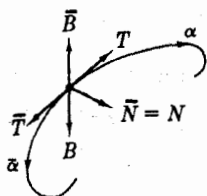
(الف) s_0 را می توان طوری تعیین کرد که $h(s) = \pm s + s_0$ (ب) $\bar{T} = T(h)$ ، $\bar{N} = N(h)$ ، $\bar{B} = \pm B(h)$ ، $\bar{\kappa} = \kappa(h)$ ، با علامت موجود در (الف) مطابقت دارد، و فرض می کنیم $\kappa > 0$ (شکل ۱۴.۲). بنا بر این حتی در حالتی که تعویض پارامتر موجب تغییر جهت می شود. قائمهای اصلی N و \bar{N} همسو می باشند.

۸. خمهای مسطح. برای خم با تندی واحد $\beta(s) = (x(s), y(s))$ در E^2 بردار یکه هماس عبارت است از $T = \beta' = (x', y')$ ، اما بردار یکه قائم N با دوران T به اندازه $+90^\circ$ به دست می آید، در نتیجه $N = (-y', x')$. بدین ترتیب N و T' همخط اند، و خمیدگی β با معادله فرنة $T' = \kappa N$ تعریف می شود. ثابت کنید که:

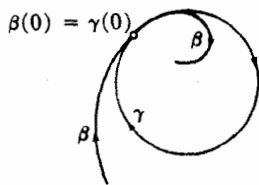
$$N' = -\kappa T \quad (\text{الف})$$

(ب) اگر φ زاویه شیب β باشد، در این صورت $\kappa = \varphi'$.

این روش با آنچه درباره E^3 بیان شد تفاوت دارد، زیرا لازم نیست که κ را مثبت



شکل ۱۴.۲



شکل ۱۳.۲

۱. وجود φ به عنوان يك تابع دیفرانسیلپذیر با $T = \cos \varphi U_1 + \sin \varphi U_2$ از تمرین ۱۲ بدست می آید.

فرض کنیم و اصولاً علامت آن جهت گردش β را مشخص می‌کند. علاوه بر این بدون این فرض N نیز کاملاً معین می‌شود.

۹. گیریم $\hat{\beta}$ تقریب فرنه خم دلخواه β با تندی واحد در مجاورت $s=0$ باشد. اگر مثلاً مؤلفه B_0 خم $\hat{\beta}$ را حذف کنیم، خم حاصل تصویر قائم $\hat{\beta}$ بر صفحه $T_0 N_0$ خواهد بود. وقتی مستقیماً در طول بردار β_0 به سمت $\beta(0) = \hat{\beta}(0)$ نگاه کنیم، منظره $\hat{\beta} \sim \beta$ را بدست می‌آوریم. شکل کلی تصویرهای قائم $\hat{\beta}$ را روی صفحه‌های $T_0 B_0$ ، $T_0 N_0$ ، $N_0 B_0$ با فرض $\tau > 0$ رسم کنید. (این مناظر β را می‌توان از راه تجربه با استفاده از یک تکه سیم خمیده تأیید کرد.)

۱۰. خمهای کردی. جسم α با تندی واحد و $\kappa > 0$ و $\tau \neq 0$ را در نظر می‌گیریم. (الف) نشان دهید که اگر α روی کره‌ای به مرکز c و شعاع r واقع باشد، داریم

$$\alpha - c = -\rho N - \rho' \sigma B$$

که در آن $\rho = 1/\kappa$ و $\sigma = 1/\tau$. بدین ترتیب $r^2 = \rho^2 + (\rho'\sigma)^2$.

(ب) برعکس، اگر $\rho^2 + (\rho'\sigma)^2$ همواره برابر مقدار ثابت r^2 باشد و $\rho' \neq 0$ ، نشان دهید که α روی کره به شعاع r واقع است.

(دانهمایی: برای (ب) نشان دهید که «مرکز خم» یعنی $\gamma = \alpha + \rho N + \rho'\sigma B$ که به وسیله (الف) مشخص شده، ثابت است.)

۱۱. گیریم $\bar{\beta}: I \rightarrow E^3$ و β خمهای با تندی واحد باشند، که خمیدگی و تاب آنها همواره مخالف صفر است. نشان دهید که اگر $T = \bar{T}$ آنگاه $\bar{\beta}$ و β موازی‌اند، (مثال ۸، II.۲). و اگر $B = \bar{B}$ ، آنگاه $\bar{\beta}$ یا β یا $\beta(s) \rightarrow -\beta(s)$ موازی است.

۴. خمهای با تندی دلخواه

به آسانی می‌توان نتایج بند قبل را دربارهٔ خمهای منظم $\alpha: I \rightarrow E^3$ که لزوماً با تندی واحد نیستند تعمیم داد. برای این منظور کافی است اجزای دستگاه فرنه را در مورد تعویض پارامتر $\bar{\alpha}$ برای خم α که با تندی واحد باشد بیان کنیم. توضیح آنکه اگر s تابع طول قوس خم α باشد، بنا بر قضیه ۱۰.۲ داریم

$$\alpha(t) = \bar{\alpha}(s(t)) \quad \text{به ازای همهٔ مقادیر } t$$

که با نمایش تابعی به صورت $\alpha = \bar{\alpha}(s)$ نوشته می‌شود. حال اگر $\kappa > 0$ و $\bar{\kappa}$ ، \bar{T} ، $\bar{\tau}$ و \bar{N} را مانند بند ۳ برای $\bar{\alpha}$ تعریف کنیم، در این صورت برای α قرار می‌دهیم

$$\kappa = \bar{\kappa}(s): \text{ تابع خمیدگی}$$

$$\tau = \bar{\tau}(s): \text{ تابع تاب}$$

میدان برداری هماسی یکه : $T = \bar{T}(s)$

میدان برداری قائم اصلی : $N = \bar{N}(s)$

میدان برداری بی‌نرمال : $B = \bar{B}(s)$

به طور کلی κ و $\bar{\kappa}$ توابع مختلفی هستند، و روی فواصل مختلفی تعریف شده‌اند. اما دقیقاً خمیدگی مسیر مشترک α و $\bar{\alpha}$ را به یک طریق بیان می‌کنند. زیرا در هر نقطه $\alpha(t) = \bar{\alpha}(s(t))$ و بنا بر این اعداد $\kappa(t)$ و $\bar{\kappa}(s(t))$ بنا بر تعریف برابرند. سایر اجزای دستگاه فرنه نیز به همین گونه‌اند. و به خصوص T ، N و B یک سه‌وجهی برداری روی α می‌باشد، که شکل خم α را همان‌طور که در تقریبات فرنه بیان کردیم نشان می‌دهد (شکل ۱۵.۲).

اغلب در بررسیهای نظری تنها به این تبدیل نیاز داریم، و به کمک آن نتایج مربوط به α را درباره $\bar{\alpha}$ می‌توانیم بیان کنیم. مثلاً اگر α خم منظمی با $\tau = 0$ باشد، آنگاه به موجب تعریف بالا $\bar{\alpha}$ نیز دارای $\bar{\tau} = 0$ است؛ بنا بر فرع α خمی است مسطح. بدینسان به وضوح دیده می‌شود که α نیز مسطح است.

اما برای محاسبات عددی و گاه از لحاظ نظری نیز این تبدیل عملی نیست، زیرا به ندرت می‌توان فرمهای صریح $\bar{\alpha}$ را یافت. (به عنوان مثال نمایش پارامتری باتندی واحد متناظر به خم $\alpha(t) = (t, t^2, t^3)$ را بررسی کنید.)

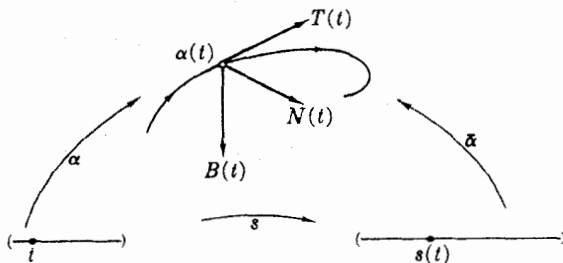
فرمولهای فرنه فقط در مورد خمهای باتندی واحد صادق‌اند، و میزان تغییر میدان سه‌وجهی T ، N و B را بر حسب طول قوس بیان می‌کنند. تندی ν متناظر به خم در حالت کلی عامل تصحیح مناسبی می‌باشد.

۱.۴. لم. اگر α خم منظمی در E^3 با $\kappa > 0$ باشد، در این صورت

$$T' = \kappa \nu N$$

$$N' = -\kappa \nu T + \tau \nu B$$

$$B' = -\tau \nu N$$



شکل ۱۵.۲

برهان. گیریم $\bar{\alpha}$ تعویض پارامتری باتندی واحد برای خم α باشد. بنا بر تعریف خواهیم داشت $T = \bar{T}(s)$ ، که در آن s تابع طول قوس α است. با استفاده از مشتق توابع مرکب دربارهٔ میدانهای برداری (تمرین ۷، بند ۲) به دست می‌آید

$$T' = \bar{T}'(s) \frac{ds}{dt}$$

و بنا بر معادلات معمولی فرنه $\bar{T}' = \bar{\kappa} \bar{N}$. با گذاردن تابع s در این معادله خواهیم داشت

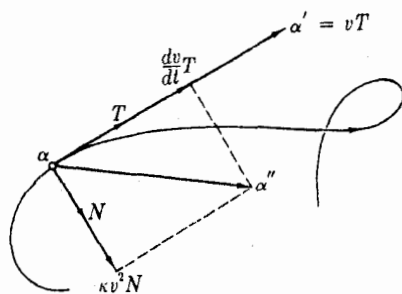
$$\bar{T}'(s) = \bar{\kappa}(s) \bar{N}(s) = \kappa N$$

بنا بر تعریف κ و N برای خم باتندی دلخواه. چون ds/dt تابع تنیدی v خم α است، از ترکیب این دو معادله خواهیم داشت $T' = \kappa v N$. فرمولهای N' و B' نیز به همین طریق به دست می‌آیند.

در حساب دیفرانسیل و انتگرال، اغلب از نمادهایی استفاده می‌شود که در آنها اصلاً به تعویض پارامتر توجهی نیست. مثلاً خم α و نمایش پارامتری باتندی واحد آن، $\bar{\alpha}$ ، را با یک حرف نشان می‌دهند، و به همین طریق از یک حرف برای نمایش اجزای دستگاههای فرنه متناظر با این دو خم استفاده می‌شود. در مشتقگیری به جای T' از dT/dt و به جای T' و $\bar{T}'(s)$ (حاصل از تعویض پارامتر) از dT/ds استفاده می‌کنند. با این قراردادها برای اثبات، قاعدهٔ زنجیری $dT/dt = (dT/ds)(ds/dt)$ را با فرمول فرنه $dT/ds = \kappa N$ ترکیب می‌کنند و $dT/dt = \kappa v N$ را به دست می‌آورند.

تنها برای خمهای باتندی ثابت، شتاب بر سرعت عمود است، زیرا از $\beta' \cdot \beta' = \text{ثابت}$ نتیجه می‌شود که $(\beta' \cdot \beta')' = 2\beta' \cdot \beta'' = 0$. در حالت کلی برای بررسی سرعت و شتاب آنها را بر حسب میدان سه وجهی فرنه بیان می‌کنیم.

۲.۴. لم. اگر α خم منظمی با تابع تنیدی v باشد، در این صورت سرعت و شتاب α (شکل ۱۶.۲) با فرمولهای زیر بیان می‌شود



شکل ۱۶.۲

$$\alpha' = vT \qquad \alpha'' = \frac{dv}{dt}T + \kappa v^2 N$$

برهان. چون $\alpha = \bar{\alpha}(s)$ ، که در آن s تابع طول قوس α است، با استفاده از لم ۵.۴ فصل اول داریم

$$\alpha' = \bar{\alpha}'(s) \frac{ds}{dt} = v\bar{T}(s) = vT$$

بار دیگر مشتق می‌گیریم و خواهیم داشت:

$$\alpha'' = \frac{dv}{dt}T + vT' = \frac{dv}{dt}T + \kappa v^2 N$$

که در آن لم ۱.۴ را به‌کار برده‌ایم.

فرمول $\alpha' = vT$ را می‌توانستیم از پیش حدس بزنیم، زیرا α' و T هر دو برخم مماس‌اند و T برداری است یک‌جهت زیرا $\|\alpha'\| = v$. فرمول شتاب جالبتر است. بنا بر تعریف، α'' میزان تغییر سرعت α' است و در حالت کلی طول و راستای α' متغیر است. $(dv/dt)T$ مؤلفهٔ مماسی α'' میزان تغییر طول α' (یعنی تندی α) است. $\kappa v^2 N$ مؤلفهٔ قائم آن میزان تغییر راستای α' می‌باشد. قوانین حرکت نیوتن مبین آن است که می‌توان این مؤلفه‌ها را به‌عنوان نیرو و در نظر گرفت. به‌عنوان مثال هنگامی که اتومبیلی در جاده‌ای مستقیم سرعت خود را تغییر می‌دهد تنها نیرویی که احساس می‌شود معلول $(dv/dt)T$ است. اما هنگامی که با تندی v می‌پیچد نیروی جانبی که احساس می‌شود معلول $\kappa v^2 N$ است. در اینجا κ مبین کم و بیش پیچ جاده است، و اثر تندی با v^2 ظاهر می‌شود. لذا تشویش حاصل از پیچیدن با سرعت ۱۰۰ کیلومتر، ۴ برابر تشویش حاصل از پیچیدن با سرعت ۵۰ کیلومتر است. بدین ترتیب عبارتهایی قابل محاسبه برای اجزای دستگاه فرنه به‌دست می‌آیند.

۳.۴. قضیه. اگر α خم منظمی در E^3 باشد، آنگاه

$$T = \frac{\alpha'}{\|\alpha'\|}$$

$$N = B \times T$$

$$\kappa = \frac{\|\alpha' \times \alpha''\|}{\|\alpha'\|^3}$$

$$B = \frac{\alpha' \times \alpha''}{\|\alpha' \times \alpha''\|}$$

$$\tau = \frac{(\alpha' \times \alpha'') \cdot \alpha''}{\|\alpha' \times \alpha''\|^2}$$

برهان. چون $\|\alpha'\| > 0$ ، $v = \|\alpha'\|$ ، فرمول $T = \alpha' / \|\alpha'\|$ با $\alpha' = vT$ هم‌ارز است. از لم پیش به‌دست می‌آید

$$\alpha' \times \alpha'' = (vT) \times \left(\frac{dv}{dt} T + \kappa v^2 N \right)$$

$$= v \frac{dv}{dt} T \times T + \kappa v^3 T \times N = \kappa v^3 B$$

چون $T \times T = 0$ با در نظر گرفتن نرم خواهیم داشت

$$\|\alpha' \times \alpha''\| = \|\kappa v^3 B\| = \kappa v^3$$

زیرا $\|B\| = 1$ ، $\kappa \geq 0$ و $v > 0$. این معادله مبین آن است که برای خمهای منظم، $\|\alpha' \times \alpha''\| > 0$ با شرط معمولی $\kappa > 0$ هم‌اذاست. (بدین ترتیب برای $\kappa > 0$ ، α' و α'' دارای استقلال خطی اند و مانند T و N در هر نقطه صفحه بوسان رامشخص می‌کنند). از آنجا

$$B = \frac{\alpha' \times \alpha''}{\kappa v^3} = \frac{\alpha' \times \alpha''}{\|\alpha' \times \alpha''\|}$$

رابطه $N = B \times T$ برای هر میدان سه‌وجهی فرجه برقرار است (تمرین ۴ بند ۳)؛ فقط باقی می‌ماند که فرمول تاب را اثبات کنیم. برای محاسبه حاصل ضرب $(\alpha' \times \alpha'') \cdot \alpha'''$ عوامل آن را بر حسب T ، N و B بیان می‌کنیم. هم‌اکنون دیدیم که $\alpha' \times \alpha'' = \kappa v^3 B$ چون $T \cdot B = N$ ، $B \cdot B = 0$ فقط باید مؤلفه α''' را در B پیدا کنیم

$$\begin{aligned} \alpha''' &= \left(\frac{dv}{dt} T + \kappa v^2 N \right)' = \kappa v^2 N' + \dots \\ &= \kappa v^2 \tau B + \dots \end{aligned}$$

که در آن از لم ۱.۴ استفاده می‌کنیم. در نتیجه $(\alpha' \times \alpha'') \cdot \alpha''' = \kappa^2 v^6 \tau$ ، و چون $\|\alpha' \times \alpha''\| = \kappa v^3$ ، فرمول مطلوب برای τ بدست می‌آید.

به‌جای حاصل ضرب $(\alpha' \times \alpha'') \cdot \alpha'''$ در فرمول τ می‌توان از $\alpha' \cdot \alpha'' \times \alpha'''$ استفاده کرد (بنابر تمرین ۴ بند ۱). اما چون در هر صورت $\alpha' \times \alpha''$ مورد نیاز است، معمولاً ساده‌تر است که $(\alpha' \times \alpha'') \cdot \alpha'''$ را به‌دست آوریم.

۴.۴. مثال. اکنون بدمحاسبه اجزای دستگاه فرجه خم

$$\alpha(t) = (3t - t^3, 3t^2, 3t + t^3)$$

می‌پردازیم. مشتقهای آن به ترتیب عبارت‌اند از

$$\alpha'(t) = (3(1 - t^2), 6t, 3 + 3t^2)$$

$$\alpha''(t) = (-6t, 6, 6t)$$

$$\alpha'''(t) = \epsilon(-1, 0, 1)$$

اما

$$\alpha'(t) \cdot \alpha'(t) = 18(1 + 2t^2 + t^4)$$

از آنجا

$$v(t) = \|\alpha'(t)\| = \sqrt{18(1 + t^2)}$$

با استفاده از تعریف حاصل ضرب خارجی خواهیم داشت

$$\alpha'(t) \times \alpha''(t) = 18 \begin{vmatrix} U_1 & U_2 & U_3 \\ 1-t^2 & 2t & 1+t^2 \\ -t & 1 & t \end{vmatrix} = 18(-1+t^2, -2t, 1+t^2)$$

از ضرب داخلی این بردار در خودش داریم

$$(18)^2 \{(-1+t^2)^2 + 4t^2 + (1+t^2)^2\} = 2(18)^2(1+t^2)^2$$

از آنجا

$$\|\alpha'(t) \times \alpha''(t)\| = 18\sqrt{2}(1+t^2)$$

و نیز

$$(\alpha' \times \alpha'') \cdot \alpha''' = 6 \cdot 18 \cdot 2$$

با قرار دادن این مقادیر در فرمولهای قضیه ۳.۴ و بدست آوردن N بدوسیله يك ضرب خارجی دیگر، نتیجه می‌شود

$$T = \frac{(1-t^2, 2t, 1+t^2)}{\sqrt{2}(1+t^2)}$$

$$N = \frac{(-2t, 1-t^2, 0)}{1+t^2}$$

$$B = \frac{(-1+t^2, -2t, 1+t^2)}{\sqrt{2}(1+t^2)}$$

$$\kappa = \tau = \frac{1}{2(1+t^2)^2}$$

البته می‌توان با استفاده از اتحاد لم ۸.۱ بدمحاسبه $\|\alpha' \times \alpha''\|$ پرداخت و عبارت

$$(\alpha' \times \alpha'') \cdot \alpha''' = \alpha' \cdot (\alpha'' \times \alpha''')$$

را طبق تعریف ۴ بند ۱ به صورت دترمینان بیان کرد.

خلاصه آنکه در اینجا اجزای دستگاه فرنه برای خم α با تندی دلخواه معین گردید. این اجزا در تعمیم فرمولهای فرنه (با سازه v) صدق می کنند و می توان آنها را با استفاده از قضیه ۳.۴ محاسبه کرد. اگر $v=1$ ، یعنی، اگر α خمی با تندی واحد باشد، فرمولهای فرنه در لم ۱.۴ کمی ساده می شوند (به صورت قضیه ۲.۳)، اما به جای قضیه ۳.۴ می توان تعاریف بسیار ساده تر بند ۳ را قرار داد.

اکنون بعضی از کاربردهای این نتایج را مطرح می کنیم. طرق گوناگون جالبی

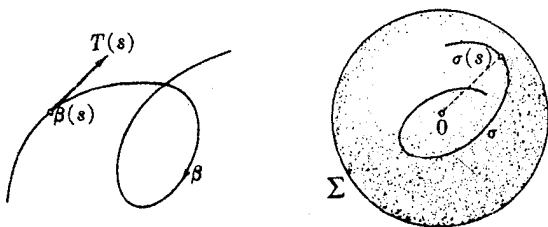
وجود دارند که بد وسیله آنها می توانیم بدخم مفروض β خم جدید $\tilde{\beta}$ را متناظر قرار دهیم به طوری که خواص هندسی آن بعضی از تغییرات β را به خوبی روشن کند. مثلاً اگر β خمی با تندی واحد باشد، خم $\sigma = T$ نگاره کروی β است و بنا بر تبصره ۴.۳، σ خمی است که هر نقطه $\sigma(s)$ از آن دارای همان مختصات اقلیدسی بردار مماس یکک $T(s)$ می باشد (شکل ۱۷.۲). بد عبارت ساده تر $\sigma(s)$ از انتقال $T(s)$ به مبدأ بدست می آید و این نگاره کروی تماماً روی کره یکک Σ از E^3 واقع است، زیرا $\|\sigma\| = \|T\| = 1$ و حرکت σ مبین خمیدگی β است.

مثلاً اگر β مارپیچ مثال ۳.۳ باشد، از فرمول T خواهیم داشت

$$\sigma(s) = \left(-\frac{a}{c} \sin \frac{s}{c}, \frac{a}{c} \cos \frac{s}{c}, \frac{b}{c} \right)$$

بدین ترتیب نگاره کروی مارپیچ، روی دایره مقطع صفحه $z = b/c$ با کره به شعاع واحد واقع است.

البته فرض آنکه خم اصلی β با تندی واحد باشد، از عمومیت مسئله نمی کاهد، اما نمی توان علاوه بر این متوقع بود که خم σ نیز با تندی واحد باشد. در واقع از $\sigma = T$ نتیجه می شود $\sigma' = T' = \kappa N$. بنابراین σ همواره در راستای قائم اصلی β حرکت می کند و تندی آن $\|\sigma'\|$ برابر با κ خمیدگی β است.



شکل ۱۷.۲

اکنون فرض می‌کنیم $\kappa > 0$ ، و با استفاده از فرمولهای فرسنة خم β به محاسبه خمیدگی σ می‌پردازیم. داریم

$$\sigma'' = (\kappa N)' = \frac{d\kappa}{ds} N + \kappa N' = -\kappa^2 T + \frac{d\kappa}{ds} N + \kappa \tau B$$

از آنجا

$$\sigma' \times \sigma'' = -\kappa^2 N \times T + \kappa^2 \tau N \times B = \kappa^2 (\kappa B + \tau T)$$

بنابر قضیه ۳.۴، خمیدگی نگارهٔ کروی σ چنین است

$$\kappa_\sigma = \frac{\|\sigma' \times \sigma''\|}{v^3} = \frac{\sqrt{\kappa^2 + \tau^2}}{\kappa} = \left(1 + \left(\frac{\tau}{\kappa}\right)^2\right)^{1/2} > 1$$

ولذ این خمیدگی فقط به نسبت تاب به خمیدگی خم اصلی β بستگی دارد. کاربرد دیگری که به این مطلب نزدیک است و در آن نسبت τ/κ نقش اساسی دارد ذیلاً بیان می‌شود.

۵.۴. تعریف. خم منظم α در E^3 هنگامی يك مارپیچ استوانه‌ای است که T بردار مماس یکهٔ آن بایک بردار ثابت \mathbf{u} زاویهٔ ثابت (ϑ) بسازد، یعنی به‌ازای هر t ، $T(t) \cdot \mathbf{u} = \cos \vartheta$.

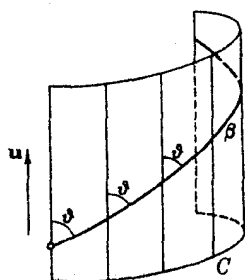
این شرط با تعویض پارامتر تغییر نمی‌کند، بنا بر این می‌توان مارپیچ استوانه‌ای β را باتندی واحد در نظر گرفت. فرض کنیم β خمی باتندی واحد است که در شرط $T \cdot \mathbf{u} = \cos \vartheta$ صدق می‌کند. اگر مثلاً $\beta(0)$ را روی β به‌عنوان نقطهٔ مبدأ اختیار کنیم تابع با مقدار حقیقی

$$h(s) = (\beta(s) - \beta(0)) \cdot \mathbf{u}$$

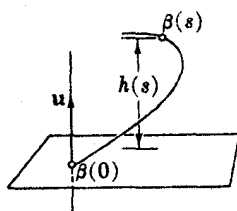
مبین مقداری است که $\beta(s)$ پس از حرکت از $\beta(0)$ در راستای \mathbf{u} «بالا رفته» است (شکل ۱۸.۲). اما

$$\frac{dh}{ds} = \beta' \cdot \mathbf{u} = T \cdot \mathbf{u} = \cos \vartheta$$

یعنی میزان تغییر β بحسب طول قوسی ثابت است و $h(s) = s \cos \vartheta$. (با تعویض پارامتر، این فرمول به‌صورت $h(t) = s(t) \cos \vartheta$ درمی‌آید که در آن s تابع طول قوس است.) اگر از هر نقطهٔ β خطی در راستای \mathbf{u} رسم کنیم استوانهٔ C تشکیل می‌گردد که β روی آن واقع است و هر مولد را به زاویهٔ ثابت ϑ قطع می‌کند (شکل ۱۹.۲). در حالت خاص، هنگامی که این استوانه مستدیر باشد، بدیهی است مارپیچ از نوعی است که در مثال ۳.۳ تعریف شد.



شکل ۱۹.۲



شکل ۱۸.۲

بدینسان به آسانی می‌توان مار پیچهای استوانه‌ای را مشخص کرد.

۶.۴. قضیه. شرط لازم و کافی برای اینکه خم منظم α با $\kappa > 0$ ، يك مار پیچ استوانه‌ای باشد آن است که نسبت τ/κ ثابت باشد.

برهان. کافی است این قضیه را فقط در حالتی که α با تندی واحد است اثبات کنیم. اگر α مار پیچ استوانه‌ای باشد بنا بر تعریف $T \cdot u = \cos \vartheta$ ، و از آنجا

$$0 = (T \cdot u)' = T' \cdot u + \kappa N \cdot u$$

و چون $\kappa > 0$ ، در نتیجه $N \cdot u = 0$ یعنی به ازای هر s ، u در صفحه حاصل از $T(s)$ و $B(s)$ واقع است. از بسط متعامد یکانی داریم

$$u = \cos \vartheta T + \sin \vartheta B$$

از مشتگیری و با استفاده از فرمولهای فرنه خواهیم داشت

$$0 = (\kappa \cos \vartheta - \tau \sin \vartheta) N$$

بنابراین

$$\tau \sin \vartheta = \kappa \cos \vartheta$$

یعنی τ/κ دارای مقدار ثابت $\cotg \vartheta$ است.

برعکس، گیریم τ/κ ثابت باشد. زاویه ϑ را طوری انتخاب می‌کنیم که $\cotg \vartheta = \tau/\kappa$ ، و قرار می‌دهیم

$$U = \cos \vartheta T + \sin \vartheta B$$

و از آنجا

$$U' = (\kappa \cos \vartheta - \tau \sin \vartheta) N = 0$$

این میدان برداری متوازی U ، چنان‌که در تبصره ۴.۳ دیدیم، یک بردار یکگه \mathbf{u} به‌دست می‌دهد، به‌طوری‌که $T \cdot \mathbf{u} = \cos \vartheta$ و بنابراین α یک مارپیچ استوانه‌ای است. █

این برهان همچنین طرز محاسبه بردار یکگه \mathbf{u} و زاویه ϑ را نیز نشان می‌دهد. مثلاً، خم α مثال ۴.۴ یک مارپیچ استوانه‌ای است، زیرا $\kappa = \tau$ ، و زاویه ϑ در معادله $\cotg \vartheta = \tau / \kappa = 1$ صدق می‌کند. اگر قرار دهیم $\vartheta = \pi/4$ در این صورت $\cos \vartheta = \sin \vartheta = 1/\sqrt{2}$ و بنا بر برهان بالا داریم $\mathbf{u} = (1/\sqrt{2})(T+B)$. از مفروضات مثال ۴.۴ به‌دست می‌آید $\mathbf{u} = (0, 0, 1)$. (چون تعویض پارامتر α فقط موجب تعویض پارامتر κ ، τ ، T و B می‌گردد و تأثیری بر ϑ و \mathbf{u} ندارد، لزومی نداشت که α را به‌خمی با تبدی واحد بدل کنیم.)

در تمرین ۱۰ از این خاصیت مارپیچهای استوانه‌ای استفاده شده است تا نشان داده شود مارپیچهای مسندید بر اساس ثابت بودن خمیدگی و تاب آنها مشخص می‌گردند (فرع ۵.۵ فصل ۳ نیز دیده شود).

فرضهای ساده دربارهٔ خمهای منظم در \mathbb{E}^3 نتایج زیر را به‌دست می‌دهد (نماد \Leftrightarrow به‌معنی «اگر و فقط اگر» است)

$$\Leftrightarrow \text{خط راست} \quad \kappa = 0$$

$$\Leftrightarrow \text{خم مسطح} \quad \tau = 0$$

$$\Leftrightarrow \text{دایره} \quad \kappa \text{ ثابت و مثبت و } \tau = 0$$

$$\Leftrightarrow \text{مارپیچ مستدیر} \quad \tau \text{ ثابت و مخالف صفر، } \kappa \text{ ثابت و مثبت}$$

$$\Leftrightarrow \text{مارپیچ استوانه‌ای} \quad \tau / \kappa \text{ ثابت}$$

تمرینات

۰۱. خم $\alpha: \mathbf{R} \rightarrow \mathbb{E}^3$ را که در آن $\alpha(t) = (2t, t^2, t^3/3)$ ، در نظر می‌گیریم.

(الف) اجزای دستگاه فرنه α : κ ، τ ، T ، N ، B را محاسبه کنید.

(ب) به ازای $4 \leq t \leq 4$ — طرح دقیقی آن را ترسیم کنید، و T ، N و B را در $t = 0, 2, 4$ نمایش دهید. (داده‌نمایی: از تصویر $(2t, t^2, 0)$ در صفحه xy شروع کنید.)

(ج) وضع حدی سه وجهی فرنه T ، N ، B خم α را به ازای $t \rightarrow +\infty$ و $t \rightarrow -\infty$ بیابید.

۰۲. اجزای دستگاه فرنه مربوط به خم $\alpha(t) = (\cosh t, \sinh t, t)$ را محاسبه کنید و خمیدگی و تاب α را به صورت توابع $\kappa(s)$ و $\tau(s)$ بیان کنید. s را از $t = 0$ اندازه می‌گیریم.

۳. اجزای دستگاه فرسسه مربوط به خم $\alpha(t) = (t \cos t, t \sin t, t)$ را در نقطه $t = 0$ محاسبه کنید α' ، α'' ، α''' را در $t = 0$ پیش از استفاده از قضیه ۳.۴ به دست آورید. و بد ازای $-\pi \leq t \leq \pi$ طرح آن را ترسیم کنید و T ، N و B را در $t = 0$ نمایش دهید. (داهنمایی: تمرین ۲ فصل ۲، بند ۰.۲)

۴. برای خم α مثال ۴.۴، مستقیماً از راه محاسبه، لم ۲.۴ را تحقیق، و طرح آن را ترسیم کنید. بردارهای $T(0)$ ، $N(0)$ ، $\alpha'(0)$ و $\alpha''(0)$ را نمایش دهید.

۵. ثابت کنید که خمیدگی خم منظم α در E^3 چنین است:

$$\kappa^2 v^2 = \|\alpha''\|^2 - \left(\frac{dv}{dt}\right)^2$$

۶. اگر α خمی با تندی ثابت $c > 0$ باشد، نشان دهید که:

$$\kappa = \frac{\|\alpha''\|}{c^2} \qquad T = \frac{\alpha'}{c}$$

$$\tau = \frac{\alpha' \times \alpha'' \cdot \alpha'''}{c^2 \|\alpha''\|^2} \qquad N = \frac{\alpha''}{\|\alpha''\|}$$

$$B = \frac{\alpha' \times \alpha''}{c \|\alpha''\|}$$

با فرض $\alpha'' \neq 0$ یعنی $\kappa > 0$ برای N ، B و τ .

۷. با استفاده از فرمولهای تمرین قبل، اجزای دستگاه فرسسه مارپیچ α ، مثال ۲.۴ فصل اول را محاسبه کنید.

۸. گیریم α مارپیچ استوانه‌ای با بردار یکجه u و زاویه ϑ و تابع طول قوس s (نقطه مبدأ $t = 0$) باشد. خم یکنای γ :

$$\alpha(t) = \gamma(t) + s(t) \cos \vartheta u$$

را خم مقطع عرضی استوانه، که روی آن واقع است می‌نامند. ثابت کنید که
 (الف) γ در صفحه‌ای که از $\alpha(0)$ می‌گذرد و بر u عمود است واقع می‌باشد.
 (ب) خمیدگی γ برابر است با $\kappa / \sin^2 \vartheta$ ، که در آن κ خمیدگی α است.
 (داهنمایی: برای (ب) کافی است α را با تندی واحد فرض کنید.)

۹. (ادامه). خمهای زیر مارپیچهای استوانه‌ای‌اند. برای هر کدام بردار u ، زاویه ϑ و خم مقطع عرضی γ را بیابید و شرط (الف) تمرین بالا را تحقیق کنید.
 (الف) خم تمرین ۱.

(ب) خم مثال ۴.۴.

(ج) خم تمرین ۰.۲

۱۰. اگر β خمی با تندی واحد و $\kappa > 0$ و $\tau \neq 0$ و هر دو ثابت باشند، ثابت کنید که β یک مارپیچ «مستدیر» است.

۱۱. گیریم σ نگارهٔ کروی (بند ۴) خم با تندی واحد β باشد. ثابت کنید که خمیدگی و تاب σ عبارت‌اند از:

$$\kappa_{\sigma} = \sqrt{1 + \left(\frac{\tau}{\kappa}\right)^2} \quad \tau_{\sigma} = \frac{\frac{d}{ds}\left(\frac{\tau}{\kappa}\right)}{\kappa \left[1 + \left(\frac{\tau}{\kappa}\right)^2\right]}$$

که در آن κ و τ خمیدگی و تاب خم β هستند.

۱۲. (الف) ثابت کنید که شرط لازم و کافی برای آنکه خمی یک مارپیچ استوانه‌ای باشد، آن است که نگارهٔ کروی آن قسمتی از یک دایره باشد (به محاسبه نیازی نیست).

(ب) طرح نگارهٔ کروی مارپیچ استوانه‌ای تمرین ۱ را ترسیم کنید. آیا این نگاره یک دایرهٔ کامل است؟ مرکز آن را بیابید.

۱۳. اگر α خمی با $\kappa > 0$ باشد، در این صورت بنا بر تعریف خم مرکزی

$\alpha^* = \alpha + (1/\kappa)N$ خمی است که از همهٔ مرکزهای خمیدگی α تشکیل شده است (مثال ۶، فصل ۲، بند ۳). به‌ازای هر دو عدد مخالف صفر a و b مارپیچ مثال ۳.۳ را با β_{ab} نشان می‌دهیم. ثابت کنید که خم مرکزی β_{ab} عبارت است از β_{ab} که در آن $\bar{a} = -b^2/a$ ، نشان دهید که خم مرکزی β_{ab} همان مارپیچ اصلی β_{ab} است.

۱۴. اگر $\alpha(t) = (x(t), y(t))$ خم منظمی در E^2 باشد، نشان دهید که خمیدگی آن (مثال ۸، فصل ۲، بند ۳) عبارت است از

$$\kappa = \frac{\alpha'' \cdot J(\alpha')}{v^3} = \frac{x'y'' - x''y'}{(x'^2 + y'^2)^{3/2}}$$

در اینجا J عملگر $J(t_1, t_2) = (-t_2, t_1)$ است.

۱۵. اگر α خم منظمی در E^2 باشد، خم مرکزی $\alpha^* = \alpha + (1/\kappa)N$ را گستردهٔ α می‌نامند. (بدیهی است در نقاطی که $\kappa = 0$ ، معین نیست).

(الف) نشان دهید که α^* بدطور یکتا از شرط آنکه مماس در هر نقطهٔ آن قائم بر α باشد، معین می‌گردد.

(ب) ثابت کنید که

$$\alpha^* = \alpha + \frac{\alpha' \cdot \alpha'}{\alpha'' \cdot J(\alpha')} J(\alpha')$$

(J عملگرى است که در تمرین ۱۴ بیان شد.)
(ج) گستردهٔ چرخزاد زیر را بیابید و هر دو خم را ترسیم کنید

$$\alpha(t) = (t + \sin t, 1 + \cos t), \quad -\pi < t < \pi$$

۱۶. خمیدگى کلی خم با تندى واحد α که روی I تعریف شده است عبارت است از

$$\int_I \kappa(s) ds$$

درمی آید، و در نتیجه از انتخاب پارامتر مستقل است. خمیدگى کلی خمهای زیر را پیدا کنید.

(الف) خم مثال ۴.۴.

(ب) مارپیچ مثال ۳.۳.

(ج) خم تمرین ۲.

این سه خم روی تمام خط حقیقى معین اند.

(د) بیضی $\alpha(t) = (a \cos t, b \sin t)$. چون این خم بسته است، فقط يك دورهٔ آن $0 \leq t \leq 2\pi$ را در نظر بگیرید.

۱۷. توابع با مقدار حقیقى ديفرانسیبلپذیر $f > 0$ و g دلخواه را روی فاصله‌ای از \mathbf{R} در نظر می گیریم. نشان دهید که خمیدگى و تاب خم

$$\alpha(t) = \left(\int f(t) \sin t dt, \int f(t) \cos t dt, \int f(t) g(t) dt \right)$$

که در آن f معرف تابی است که مشتق آن h است عبارت اند از:

$$\kappa = \frac{1}{f} \sqrt{\frac{1+g^2+g'^2}{(1+g^2)^3}}, \quad \tau = -\frac{1}{f} \frac{g+g''}{(1+g^2+g'^2)}$$

۱۸. خم درجهٔ سوم $\gamma(t) = (at, bt^2, ct^2)$ را که در آن $abc \neq 0$ ، در نظر می گیریم.
(الف) نشان دهید که

$$\frac{\tau}{\kappa} = \frac{3ac}{2b^2} \left[\frac{9c^2t^4 + 4b^2t^2 + a^2}{9c^2t^4 + 9\left(\frac{a^2c^2}{b^2}\right)t^2 + a^2} \right]^{3/2}$$

و ثابت کنید که شرط لازم و کافی برای آنکه γ يك مارپیچ استوانه‌ای باشد آن است که $3ac = \pm 2b^2$

(ب) در حالتی که $3ac = 2b^2$ ، برداریکه u و زاویه θ را بیابید.

۱۹. یکی از ترندهای استانده آنالیز پیشرفته آن است که تابع f را طوری می سازند که بی نهایت بار روی خط حقیقی مشتق پذیر باشد، و به ازای $0 \leq t$ ، $f(t) = 0$ و به ازای $0 < t$ ، $f(t) > 0$ (و نیز به ازای $0 < t$ ، $f''(t) > 0$). اگر قرار دهیم $g(t) = f(-t)$ و خم

$$\alpha(t) = (t, f(t), g(t))$$

را در نظر بگیریم.

(الف) ثابت کنید که خمیدگی α فقط به ازای $t = 0$ صفر است.

(ب) طرح این خم را به ازای مقادیر کوچک $|t|$ رسم کنید و چند قائم اصلی آن را به ازای $0 < t < \infty$ نمایش دهید.

این مثال نشان می دهد که در بررسی دقیق هندسه خمهای E^3 ، نمی توان از شرط $\kappa > 0$ صرف نظر کرد. زیرا اگر κ حتی در یک نقطه صفر باشد، مشخصات هندسی خم در آن نقطه اساساً تغییر می کند. (باید توجه داشت که درباره خمهای E^3 این اشکال پیش نمی آید؛ تمرین ۸ فصل ۲ بند ۳ را ببینید.)

۵. مشتقهای کوواریان

در فصل اول هر بار که شیء جدیدی (خم، فرم دیفرانسیلی، نگاشت، ...) را تعریف کردیم مفهوم مناسبی نیز به عنوان مشتق آن بیان کردیم. اما تعریف مشتق میدانهای برداری را استثنائاً به تأخیر انداختیم، زیرا این مفهوم به هندسه فضای اقلیدسی تعلق دارد.

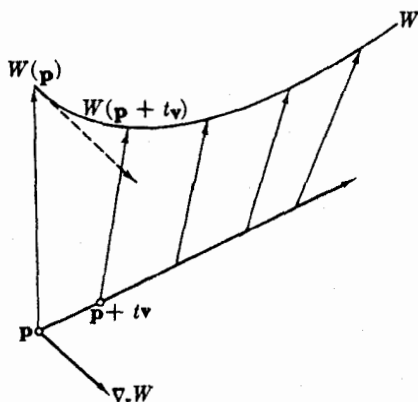
مشتق میدان برداری، تعمیم مفهوم $\nabla[f]$ مشتق تابع f نسبت به بردار مماس v در نقطه p (تعریف ۱.۳ فصل اول) می باشد. زیرا اگر به جای f یک میدان برداری W در نظر بگیریم، مشاهده می شود که تابع $t \rightarrow W(p + tv)$ یک میدان برداری روی خم $p + tv \rightarrow t$ می باشد (مشتق این میدان برداری در بند ۲ تعریف شد). در اینجا مشتق W نسبت به v همان مشتق $t \rightarrow W(p + tv)$ در $t = 0$ خواهد بود.

۱.۵. تعریف. بگیریم W یک میدان برداری روی E^3 و v یک بردار مماس بر E^3 در نقطه p باشد. در این صورت مشتق کوواریان W نسبت به v عبارت است از بردار مماس

$$\nabla_p W = W(p + tv)'(0)$$

در نقطه p .

بدیهی است که $\nabla_p W$ میزان تغییر $W(p)$ را هنگام حرکت p در راستای v نشان می دهد (شکل ۲۰.۲). (اصطلاح «کوواریان» مأخوذ از مفهوم عامتری است که در فصل ۲ بیان شده است.)



شکل ۲۰۰۲

به عنوان مثال، گیریم $W = x^2U_1 + yzU_2$ و $v = (-1, 0, 2)$ در $p = (2, 1, 0)$ از آنجا

$$p + tv = (2 - t, 1, 2t)$$

و بنابراین

$$W(p + tv) = (2 - t)^2U_1 + 2tU_2$$

که در آن U_1 و U_2 نیز دقیقاً در $p + tv$ محاسبه شده اند. بدین ترتیب:

$$\nabla_v W = W(p + tv)'(0) = -4U_1(p) + 2U_2(p)$$

۲۰۵.۴. اگر $W = \sum w_i U_i$ یک میدان برداری روی E^3 و v یک بردار مماس در p باشد، در این صورت داریم:

$$\nabla_v W = \sum v[w_i]U_i(p)$$

برهان. چون تخصیص W را به $p + tv$ در $t \rightarrow 0$ در نظر بگیریم، خواهیم داشت:

$$W(p + tv) = \sum w_i(p + tv)U_i(p + tv)$$

برای تعیین مشتق این میدان برداری (در $t = 0$) کافی است به محاسبه مشتق مختصات اقلیدسی آن (در $t = 0$) پردازیم. اما چنان که دیدیم (تعریف ۱۰۳ فصل اول) مشتق $w_i(p + tv)$ در $t = 0$ دقیقاً برابر است با $v[w_i]$ از این رو

$$\nabla_p W = W(\mathbf{p} + t\mathbf{v})'(c) = \sum \mathbf{v} [w_i] U_i(\mathbf{p})$$

به‌طور خلاصه برای اثر دادن ∇_p بویک میدان برداری کافی است \mathbf{v} را بر مختصات اقلیدسی آن تأثیر دهیم، و از اینجا خواص خطی و لاینیتزی مشتق کوواریان، که در زیر آمده‌اند، به‌آسانی از خواص مشتقهای امتدادی (قضیه ۳.۳ فصل اول) نتیجه می‌شوند.

۳.۵. قضیه. گیریم \mathbf{v} و \mathbf{w} بردارهای مماس بر \mathbf{E}^3 در \mathbf{p} و Y و Z دو میدان برداری روی \mathbf{E}^3 باشند. در این صورت داریم

$$(۱) \quad \nabla_{a\mathbf{v} + b\mathbf{w}} Y = a\nabla_{\mathbf{v}} Y + b\nabla_{\mathbf{w}} Y, \quad b \text{ و } a \text{ اعداد همهٔ}$$

$$(۲) \quad \nabla_{\mathbf{v}}(aY + bZ) = a\nabla_{\mathbf{v}} Y + b\nabla_{\mathbf{v}} Z, \quad b \text{ و } a \text{ اعداد همهٔ}$$

$$(۳) \quad \nabla_{\mathbf{v}}(fY) = \mathbf{v}[f]Y(\mathbf{p}) + f(\mathbf{p})\nabla_{\mathbf{v}} Y, \quad f, \text{ دیرانسیلپذیر}$$

$$(۴) \quad \mathbf{v}[Y \cdot Z] = \nabla_{\mathbf{v}} Y \cdot Z(\mathbf{p}) + Y(\mathbf{p}) \cdot \nabla_{\mathbf{v}} Z$$

برهان. به‌عنوان مثال به اثبات (۴) می‌پردازیم. اگر

$$Y = \sum y_i U_i \quad \text{و} \quad Z = \sum z_i U_i$$

در این صورت

$$Y \cdot Z = \sum y_i z_i$$

و بنا بر قضیه ۳.۳ فصل اول خواهیم داشت:

$$\mathbf{v}[Y \cdot Z] = \mathbf{v}[\sum y_i z_i] = \sum \mathbf{v}[y_i] z_i(\mathbf{p}) + \sum y_i(\mathbf{p}) \mathbf{v}[z_i]$$

با توجه به‌لم بالا داریم

$$\nabla_{\mathbf{v}} Y = \sum \mathbf{v}[y_i] U_i(\mathbf{p}) \quad \text{و} \quad \nabla_{\mathbf{v}} Z = \sum \mathbf{v}[z_i] U_i(\mathbf{p})$$

و دیده می‌شود که دو مجموع مطلوب به ترتیب با $Y(\mathbf{p}) \cdot \nabla_{\mathbf{v}} Z$ و $\nabla_{\mathbf{v}} Y \cdot Z(\mathbf{p})$ برابرند. ■

با استفاده مجدد از اصل نقطه‌ای (فصل اول بند ۲) می‌توان مشتق کوواریان یک میدان برداری W را نسبت به یک میدان برداری V معین کرد. این مشتق خود نیز یک میدان برداری $\nabla_V W$ خواهد بود، که مقدار آن در هر نقطه \mathbf{p} برابر است با $\nabla_{V(\mathbf{p})} W$. از لم بالا نتیجه می‌شود که اگر $W = \sum w_i U_i$ ، خواهیم داشت

$$\nabla_V W = \sum V[w_i] U_i$$

محاسبات مختصاتی با استفاده از اتحاد اساسی $U_i[f] = \partial f / \partial x_i$ به‌آسانی انجام می‌گیرد. مثلاً اگر $V = (y-x)U_1 + xyU_2$ و $W = x^2U_1 + yzU_2$ ، داریم

$$V[x^2] = (y-x)U_1[x^2] = 2x(y-x)$$

$$V[yz] = xyU_1[yz] = xy^2$$

از آنجا

$$\nabla_r W = 2x(y-x)U_1 + xy^2U_2$$

در اینجا میدان برداری V را با توجه بدمثال پیش انتخاب کرده‌ایم. در واقع مقدار V در نقطه $\mathbf{p}(2, 1, 0)$ عبارت است از:

$$V(\mathbf{p}) = (1-2)U_1(\mathbf{p}) + 2U_2(\mathbf{p}) = (-1, 0, 2)_p = \mathbf{v}_p$$

که همان بردار \mathbf{v} در مثال پیش است. بدینسان مقدار میدان برداری $\nabla_r W$ در این نقطه باید با محاسبه قبلی $\nabla_r W$ سازگار باشد و در واقع به ازای $\mathbf{p} = (2, 1, 0)$ داریم

$$\nabla_r(W)(\mathbf{p}) = 2 \cdot 2(1-2)U_1(\mathbf{p}) + 2U_2(\mathbf{p}) = -4U_1(\mathbf{p}) + 2U_2(\mathbf{p})$$

هنگامی که مشتق کوواریان $\nabla_r W$ تماماً بر حسب میدانهای برداری بیان شود، خواصی که در قضیه بالا دیدیم، به صورت زیر درمی آیند.

۴.۵. فرع. گیریم V, W, Y, Z میدانهای برداری روی E^3 باشند. در این صورت

$$(1) \quad \nabla_r(aY + bZ) = a\nabla_r Y + b\nabla_r Z, \quad a \text{ و } b \text{ اعداد همهء}$$

$$(2) \quad \nabla_{fV+gW} Y = f\nabla_V Y + g\nabla_W Y, \quad f \text{ و } g \text{ توابع همهء}$$

$$(3) \quad \nabla_r(fY) = V[f]Y + f\nabla_r Y, \quad f \text{ توابع همهء}$$

$$(4) \quad V[Y \cdot Z] = \nabla_r Y \cdot Z + Y \cdot \nabla_r Z$$

از اثبات این فرع که تمزینی است برای کاربرد پراانتزها بر اساس (اصل نقطه‌ای) تعریف $(\nabla_r Y)(\mathbf{p}) = \nabla_{V(\mathbf{p})} Y$ ، صرف نظر می کنیم.

باید توجه داشت که $\nabla_r Y$ بر حسب V و Y متقارن نیست، و این نکته به آسانی قابل توجیه است. زیرا از Y باید مشتق گرفت در صورتی که V فقط دارای يك نقش جبری است. به ویژه داریم $\nabla_{fV} Y = f\nabla_r Y$ اما $\nabla_r(fY)$ با $f\nabla_r Y$ برابر نیست، زیرا در اولی جمله اضافی، حاصل از مشتق f نسبت به \mathbf{v} موجود است.

تمرینات

۱. بردار مماس $\mathbf{v} = (1, -1, 2)$ را در نقطه $\mathbf{p} = (1, 3, -1)$ در نظمی گیریم. مستقیماً با استفاده از تعریف، $\nabla_r W$ را در حالتیهای زیر محاسبه کنید:

$$(الف) \quad W = x^2U_1 + yU_2 \quad (ب) \quad W = xU_1 + x^2U_2 - z^2U_3$$

۲. گیریم $V = -yU_1 + xU_2$ و $W = \cos xU_1 + \sin xU_2$. مشتقهای کوواریانی

زیر را برحسب U_1, U_2, U_3 بیان کنید:

$$\nabla_T(\nabla_T W) \quad (\text{الف}) \quad \Delta_T(z^2 W) \quad (\text{ج}) \quad \nabla_T W$$

$$\nabla_T(xV - zW) \quad (\text{و}) \quad \nabla_W(V) \quad (\text{د}) \quad \nabla_T V \quad (\text{ب})$$

۳. اگر W یک میدان برداری با طول ثابت $\|W\|$ باشد، ثابت کنید که مشتق کوواریان $\nabla_T W$ به‌ازای هر میدان برداری V همواره بر W عمود است.

۴. گیریم X میدان برداری خاص $\sum x_i U_i$ باشد که در آن x_1, x_2, x_3 توابع مختصاتی طبیعی \mathbb{E}^3 اند. ثابت کنید که به‌ازای هر میدان برداری V داریم $\nabla_T X = V$.

۵. اگر $W = \sum w_i U_i$ یک میدان برداری روی \mathbb{E}^3 باشد، دیفرانسیل کوواریان W با $\nabla W = \sum dw_i U_i$ تعریف می‌شود. ∇W تا به‌ای است روی همه بردارهای مماس که مقدار آن به‌ازای v به‌صورت زیر است

$$\sum dw_i(v) U_i(p) = \nabla_v W$$

دیفرانسیل کوواریان $W = x^2 U_1 - x^2 z U_2$ را محاسبه کنید و با استفاده از آن $\nabla_v W$ را در حالت‌های زیر بیابید

$$\text{(الف)} \quad v = (1, 0, -3) \quad \text{در} \quad p = (-1, 2, -1)$$

$$\text{(ب)} \quad v = (-1, 2, -1) \quad \text{در} \quad p = (1, 3, 2)$$

۶. گیریم W یک میدان برداری روی ناحیه‌ای شامل خم α باشد. در این صورت $t \rightarrow W(\alpha(t))$ یک میدان برداری روی α خواهد بود که تخصیص W به α نام دارد و آن را با W_α نشان می‌دهند.

$$\text{(الف)} \quad \nabla_{\alpha'(t)} W = (W_\alpha)'(t) \quad \text{که ثابت کنید}$$

(ب) از آنجا نتیجه بگیرید که در تعریف ۱.۵ می‌توان به‌جای خط راست هر خم α سرعت اولیه v را قرارداد. بدین ترتیب Y' مشتق یک میدان برداری Y روی یک خم α (تقریباً) همان $\nabla_{\alpha'} Y$ است.

۷. گروه دو میدان برداری عبارت است از میدان برداری

$$[V, W] = \nabla_V W - \nabla_W V$$

نشان دهید که گروه دارای خواص زیر است:

$$\text{(الف)} \quad [V, W][f] = VW[f] - WV[f]$$

که در آن $VW[f]$ نمایشگر «مشتق دوم» یعنی $V[W[f]]$ است.

$$\text{(ب)} \quad [W, V] = -[V, W]$$

$$\text{(ج)} \quad [U, [V, W]] + [V, [W, U]] + [W, [U, V]] = 0$$

$$[fV, gW] = fV[gW] - gW[fV] + fg[V, W] \quad (د)$$

(دانهمایی: اگر تساوی $Z[f] = 0$ بد ازای همه f ها برقرار باشد، آنگاه داریم $Z = 0$.)

۶. میدانهای سه‌وجهی

هنگامی که فرمولهای فرنه (به‌وسیله فرنه در ۱۸۴۷، و مستقلاً به‌وسیله سره در ۱۸۵۱) کشف شد، نظریهٔ رویه‌ها در E^3 بخش توسعه یافته‌ای از هندسه به‌شمار می‌رفت. موفقیت روش فرنه در بارهٔ خمها موجب شد که داربو (در حوالی ۱۸۸۰) این «روش سه‌وجهی‌های متحرک» را نیز برای بررسی رویه‌ها مورد استفاده قرار دهد، و چنان که در پیش‌گفتیم کارتان توانست این روش را به‌صورت عام آن بیان کند. اندیشهٔ اصلی وی بسیار ساده بود: به‌هر نقطه از شیء مورد بررسی (خم، رویه، خود فضای اقلیدسی، ...) یک سه‌وجهی متناظر قرار می‌دهیم، سپس با استفاده از بسط متعامد، میزان تغییر این سه‌وجهی را بر حسب خود سه‌وجهی بیان می‌کنیم. این درست همان مطلبی است که در بارهٔ خمها به‌وسیلهٔ فرمول فرنه تحقق یافت.

در سه بند آینده جزئیات این طرح را در فضای اقلیدسی E^3 توضیح می‌دهیم. خواهیم دید که هندسهٔ خمها و رویه‌ها در E^3 نه فقط مشابه یکدیگرند بلکه ذری از این نتایج بنیادی می‌باشند. چون کاربرد عمدهٔ آن (در نظریهٔ رویه‌ها) فقط در فصل ششم مطرح می‌شود، بررسی این بندها را می‌توان به‌تعمیق انداخت و به‌عنوان مقدمهٔ فصل مزبور مطالعه کرد.

با استفاده از اصل نقطه‌ای (فصل اول بند ۲) می‌توان عملیات روی بردارهای مماس را مستقیماً به عملیات روی میدانهای برداری تعمیم داد. مثلاً اگر V و W دو میدان برداری روی E^3 باشند، در این صورت حاصل ضرب داخلی $V \cdot W$ عبارات است از تابعی دیفرانسیلپذیر با مقدار حقیقی روی E که مقدار آن در هر نقطه p عبارات است از $V(p) \cdot W(p)$. نرم $\|V\|$ تابعی است با مقدار حقیقی روی E^3 که مقدار آن در p برابر است با $\|V(p)\|$. بدین ترتیب داریم $\|V\| = (V \cdot V)^{1/2}$. برخلاف $V \cdot W$ ، تابع نرم $\|V\|$ لزومی ندارد که در نقاط $V(p) = 0$ دیفرانسیلپذیر باشد، زیرا تابع جذر در ۰ تغییرات مناسبی ندارد.

در هر نقطه p از E^3 سه بردار مماس $U_1(p)$ ، $U_2(p)$ ، $U_3(p)$ یک سه‌وجهی در این نقطه تشکیل می‌دهند. این مطلب را با استفاده از ضرب داخلی میدانهای برداری می‌توان به‌صورت زیر خلاصه کرد و نوشت

$$U_i \cdot U_j = \delta_{ij} \quad (1 \leq i, j \leq 3)$$

در سراسر فصل اول U_1 ، U_2 ، U_3 را مورد استفاده قرار دادیم. اکنون با در اختیار داشتن حاصل ضرب داخلی می‌توانیم تعمیمی ساده را که دارای اهمیت بنیادی است بیان کنیم.

۰۱.۶. تعریف. هنگامی میدانهای برداری E_1 ، E_2 ، E_3 روی E^3 یک میدان سه‌وجهی

تشکیل می‌دهند که داشته باشیم

$$E_i \cdot E_j = \delta_{ij} \quad (1 \leq i, j \leq 3)$$

که در آن δ_{ij} دلتای کرونگر است.

توجیه اصطلاح میدان سه‌وجهی آن است که در هر نقطه p سه بردار $E_1(p)$ ، $E_2(p)$ ، $E_3(p)$ تشکیل یک سه‌وجهی می‌دهند، و با توجه به این نکته بوده است که در فصل اول U_1 ، U_2 ، U_3 را میدان سه‌وجهی طبیعی روی E^3 نامیدیم.

۴.۶. مثال. (۱) میدان سه‌وجهی استوانه‌ای (شکل ۲۱.۲). گیریم r ، ϑ و z توابع مختصاتی استوانه‌ای معمولی روی E^3 باشند: اکنون برای هر یک از راستاها یک میدان برداری یک‌در راستای افزایش مختص (وقتی دوتای دیگر ثابت اختیار شوند) انتخاب می‌کنیم. برای z بدیهی است که داریم:

$$E_1 = \cos \vartheta U_1 + \sin \vartheta U_2$$

که جهت آن در جهت افزایش z می‌باشد. بدین ترتیب، جهت

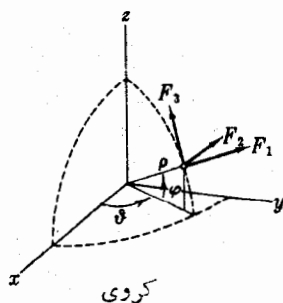
$$E_2 = -\sin \vartheta U_1 + \cos \vartheta U_2$$

چنان که در شکل ۲۱.۲ دیده می‌شود، به جهت افزایش ϑ متوجه است. بالاخره جهت افزایش z مستقیماً به طرف بالاست، لذا

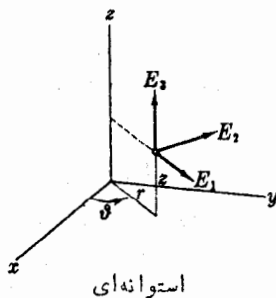
$$E_3 = U_3$$

به آسانی می‌توان تحقیق کرد که $E_i \cdot E_j = \delta_{ij}$ ، و بدین ترتیب یک میدان سه‌وجهی تشکیل می‌دهند (که روی همه E^3 به جز محور z ها معین است). ما آن را میدان سه‌وجهی استوانه‌ای روی E^3 می‌نامیم.

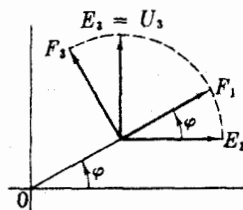
(۲) میدان سه‌وجهی کروی (شکل ۲۲.۲). به همین طریق می‌توان یک میدان



شکل ۲۲.۲



شکل ۲۱.۲



سه‌وجهی F_3, F_2, F_1 از توابع مختصاتی کروی ρ, ϑ, φ روی E^3 فراهم کرد. همان‌طور که در شکل دیده می‌شود، در اینجا زاویه φ را از صفحه xy به جهت بالا اندازه می‌گیریم.

گیریم E_1, E_2, E_3 میدان سه‌وجهی استوانه‌ای باشد. برای مختصات استوانه‌ای، میدان برداری یکجهت F_2 در جهت افزایش ϑ در هر دو میدان یکی است، لذا $F_2 = E_2$. میدان برداری یکجهت F_1 در جهت افزایش ρ از مبدأ به جهت بیرون متوجه و بنابراین به صورت زیر است

شکل ۲۳.۲

$$F_1 = \cos \varphi E_1 + \sin \varphi E_2$$

(شکل ۲۳.۲). به همین طریق میدان برداری F_3 در جهت افزایش φ چنین است:

$$F_3 = -\sin \varphi E_1 + \cos \varphi E_2$$

بدین ترتیب از فرمولهای E_1, E_2, E_3 در مثال (۱) خواهیم داشت

$$F_1 = \cos \varphi (\cos \vartheta U_1 + \sin \vartheta U_2) + \sin \varphi U_3$$

$$F_2 = -\sin \vartheta U_1 + \cos \vartheta U_2$$

$$F_3 = -\sin \varphi (\cos \vartheta U_1 + \sin \vartheta U_2) + \cos \varphi U_3$$

با استفاده مکرر از اتحاد $\sin^2 + \cos^2 = 1$ ، می‌توان تحقیق کرد که F_1, F_2, F_3 یک میدان سه‌وجهی است که میدان سه‌وجهی کروی روی E^3 نامیده می‌شود (حوزه تعریف آن، مانند حالت استوانه‌ای، همه E^3 با حذف محور z ها می‌باشد). نتیجه مفید زیر مستقیماً از بسط متعامد به دست می‌آید.

۳.۶. لم. بگیریم E_1, E_2, E_3 یک میدان سه‌وجهی روی E^3 باشد.

(۱) اگر V یک میدان برداری روی E^3 باشد، در این صورت $V = \sum f_i E_i$ که در آن توابع مختصاتی $f_i = V \cdot E_i$ بر حسب E_1, E_2, E_3 نامیده می‌شوند.

(۲) اگر $W = \sum g_i E_i$ و $V = \sum f_i E_i$ در این صورت داریم

$$V \cdot W = \sum f_i g_i, \quad \|V\| = (\sum f_i^2)^{1/2}$$

بدین ترتیب هر میدان برداری V دارای توابع مختصاتی مختلفی بر حسب انتخاب میدان سه‌وجهی E_1, E_2, E_3 خواهد بود. توابع مختصاتی اقلیدسی (لم ۵.۲ فصل اول)، طبعاً از میدان سه‌وجهی طبیعی U_1, U_2, U_3 حاصل می‌شوند. در فصل اول منحصرأ این میدان سه‌وجهی طبیعی مورد استفاده قرار گرفت، اما اکنون به تدریج آن را به میدانهای

سهوجهی دلخواه تبدیل خواهیم کرد. علت این کار روشن است: در بررسی خمها و رویهها در E^3 خواهیم توانست میدان سهوجهی مناسبی با هر مسأله انتخاب کنیم. بدین ترتیب نه تنها محاسبات ساده می شوند بلکه درك هندسه نیز آسانتر می شود.

تمرینات

۱. اگر V و W میدانهای برداری روی E^3 ، با استقلال خطی در هر نقطه باشند، نشان دهید که

$$E_1 = \frac{V}{\|V\|}, \quad E_2 = \frac{\tilde{W}}{\|\tilde{W}\|}, \quad E_3 = E_1 \times E_2$$

که در آن $\tilde{W} = W - W \cdot E_1 E_1$ يك میدان سهوجهی است.

۲. هر يك از میدانهای برداری زیر را

(I) بر حسب میدان سهوجهی استوانه‌ای (با ضرایبی بر حسب r, ϑ, z),

(II) بر حسب میدان سهوجهی کروی (با ضرایبی بر حسب ρ, ϑ, φ)

بیان کنید:

$$\cos \vartheta U_1 + \sin \vartheta U_2 + U_3 \quad (\text{ب}) \quad U_1 \quad (\text{الف})$$

$$xU_1 + yU_2 + zU_3 \quad (\text{ج})$$

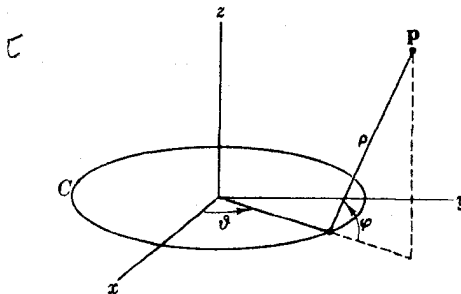
۳. مطلوب است تعیین میدان سهوجهی E_1, E_2, E_3 به طوری که

$$E_1 = \cos x U_1 + \sin x \cos z U_2 + \sin x \sin z U_3$$

۴. میدان سهوجهی چنبره‌ای. گیریم θ همه نقاط E^3 بجز محور z و دایره C واقع

در صفحه xy به شعاع R باشد. توابع مختصاتی چنبره‌ای ρ, ϑ, φ روی θ باتوجه

به شکل ۲۴.۲ به صورت زیر تعریف می شوند



شکل ۲۴.۲

$$x = (R + \rho \cos \varphi) \cos \vartheta$$

$$y = (R + \rho \cos \varphi) \sin \vartheta$$

$$z = \rho \sin \varphi$$

اگر E_1, E_2, E_3 و E_4 میدانهای برداری یکه درجهت افزایش ρ, ϑ و φ باشند، E_1, E_2, E_3 را برحسب U_1, U_2, U_3 بیان کنید و نشان دهید که يك میدان سه وجهی تشکیل می دهند.

۷. فرمهای همبندی

بار دیگر به تأکید نکته اصلی می پردازیم: اهمیت فرمولهای فرنه در این نیست که مشتقهای B', N', T' را به دست می دهند، بلکه بیشتر از آنجاست که مشتقهای B, N, T بیان می کنند، و بدین وسیله به تعریف خمیدگی و تاب می پردازند. اکنون همین مطلب را در بساطه میدان سه وجهی دلخواه E_1, E_2, E_3 روی E^3 تعمیم می دهیم، یعنی، مشتقهای کوواریان این میدانهای برداری را برحسب خود آنها بیان می کنیم. برای این کار مشتق کوواریان برحسب يك میدان مماسی دلخواه ν را در نقطه p در نظر می گیریم. داریم:

$$\nabla_\nu E_1 = c_{11} E_1(p) + c_{12} E_2(p) + c_{13} E_3(p)$$

$$\nabla_\nu E_2 = c_{21} E_1(p) + c_{22} E_2(p) + c_{23} E_3(p)$$

$$\nabla_\nu E_3 = c_{31} E_1(p) + c_{32} E_2(p) + c_{33} E_3(p)$$

با استفاده از بسط متعامد ضرایب این معادلات به صورت زیر معین می گردند:

$$c_{ij} = \nabla_\nu E_i \cdot E_j(p) \quad \text{و} \quad 1 \leq i, j \leq 3$$

این ضرایب c_{ij} به بردار مماس ν بستگی دارند، بنابراین بهتر است که آنها را به صورت زیر نشان دهیم.

$$\omega_{ij}(\nu) = \nabla_\nu E_i \cdot E_j(p), \quad (1 \leq i, j \leq 3)$$

ω_{ij} تابعی است با مقدار حقیقی که روی همه بردارهای مماس معین است. ولی این نوع تابع را قبلاً دیده ایم.

۱۰۷. لم. گیریم E_1, E_2, E_3 يك میدان سه وجهی روی E^3 باشد. به ازای هر بردار مماس ν بر E^3 در نقطه p قرار می دهیم:

$$\omega_{ij}(\nu) = \nabla_\nu E_i \cdot E_j(p), \quad (1 \leq i, j \leq 3)$$

در این صورت هر ω_{ij} يك ۱- فرمی خواهد بود، و داریم $\omega_{ij} = -\omega_{ji}$. این ۱- فرمیها را فرمهای همبندی میدان سه‌وجهی E_1, E_2, E_3 می‌نامند.

برهان. بنا بر تعریف، ω_{ij} تابعی است با مقدار حقیقی روی بردارهای مماس، بنا بر این برای اثبات آنکه ω_{ij} يك ۱- فرمی است (تعریف ۱.۵ فصل اول) کافی است شرط خطی بودن آن را تحقیق کنیم. با استفاده از قضیه ۳.۵ خواهیم داشت

$$\begin{aligned}\omega_{ij}(av + bw) &= \nabla_{av+bw} E_i \cdot E_j(\mathbf{p}) \\ &= (a\nabla_v E_i + b\nabla_w E_i) \cdot E_j(\mathbf{p}) \\ &= a\nabla_v E_i \cdot E_j(\mathbf{p}) + b\nabla_w E_i \cdot E_j(\mathbf{p}) \\ &= a\omega_{ij}(v) + b\omega_{ij}(w)\end{aligned}$$

برای اثبات آنکه $\omega_{ij} = -\omega_{ji}$ ، باید نشان دهیم که به ازای هر بردار مماس v داریم $\omega_{ij}(v) = -\omega_{ji}(v)$ ، بنا بر تعریف میدان سه‌وجهی داریم $E_i \cdot E_j = \delta_{ij}$ و چون دلتای کروکر مقادیر ثابت ۰ و ۱ را اختیار می‌کند، خواهیم داشت $v[\delta_{ij}] = 0$ ، و بنا بر فرمول لایبنیتزی (۴) مربوط به قضیه ۳.۵ داریم:

$$0 = v[E_i \cdot E_j] = \nabla_v E_i \cdot E_j(\mathbf{p}) + E_i(\mathbf{p}) \cdot \nabla_v E_j$$

و با استفاده از تقارن ضرب داخلی می‌توان جای دو بردار را در جمله آخر عوض کرد. از آنجا:

$$0 = \omega_{ij}(v) + \omega_{ji}(v)$$

تعبیر هندسی فرمهای همبندی بسیار آسان است. تعریف $\omega_{ij}(v) = \nabla_v E_i \cdot E_j(\mathbf{p})$ مبین آن است که $\omega_{ij}(v)$ میزان دودان E_i به سمت E_j را، در آغاز حرکت \mathbf{p} در راستای v ، نشان می‌دهد. بنا بر این ۱- فرمیهای ω_{ij} این اطلاع را درباره همه بردارهای مماس بر \mathbf{E}^3 به دست می‌دهند.

قضیه اساسی زیر اندکی از تعریف فرمهای همبندی غنیتر است.

۳.۷. قضیه. گیریم ω_{ij} ($1 \leq i, j \leq 3$) فرمهای همبندی میدان سه‌وجهی E_1, E_2, E_3 روی \mathbf{E}^3 باشد. در این صورت به ازای هر میدان برداری V روی \mathbf{E}^3 داریم

$$\nabla_v E_i = \sum_j \omega_{ij}(V) E_j, \quad (1 \leq i \leq 3)$$

که به معادلات همبندی میدان سه‌وجهی E_1, E_2, E_3 موسوم‌اند.

برهان. به ازای i ثابت، دوطرف این معادله میدانهای برداری‌اند، و باید ثابت کنیم که در هر نقطه \mathbf{p} داریم:

$$\nabla_{V(p)} E_i = \sum \omega_{ij}(V(p)) E_j(p)$$

اما چنان که دیده‌ایم با توجه به تعریف فرمهای همبندی این معادله نتیجه‌ای از بسط متعامد است.

به ازای $i = j$ ، از شرط $\omega_{ij} = -\omega_{ji}$ نتیجه می‌شود

$$\omega_{ii} = -\omega_{ii}$$

بنابراین

$$\omega_{11} = \omega_{22} = \omega_{33} = 0$$

لذا این شرط، نه ۱- فرمی ω_{ij} را فقط به سه ۱- فرمی ω_{12} ، ω_{13} ، ω_{23} تقلیل می‌دهد. شاید بهتر باشد که فرمهای همبندی ω_{ij} را به صورت عناصر یک ماتریس متقارن چپ از ۱- فرمیها نمایش داد

$$\omega = \begin{pmatrix} \omega_{11} & \omega_{12} & \omega_{13} \\ \omega_{21} & \omega_{22} & \omega_{23} \\ \omega_{31} & \omega_{32} & \omega_{33} \end{pmatrix} = \begin{pmatrix} 0 & \omega_{12} & \omega_{13} \\ -\omega_{12} & 0 & \omega_{23} \\ -\omega_{13} & -\omega_{23} & 0 \end{pmatrix}$$

و بدین ترتیب معادلات همبندی (قضیه ۲.۷) به صورت گسترده چنین نوشته می‌شوند

$$\nabla_V E_1 = \omega_{12}(V) E_2 + \omega_{13}(V) E_3$$

$$\nabla_V E_2 = -\omega_{12}(V) E_1 + \omega_{23}(V) E_3$$

$$\nabla_V E_3 = -\omega_{13}(V) E_1 - \omega_{23}(V) E_2$$

و رابطه آنها با فرمولهای فرنه کاملاً روشن است

$$T' = \kappa N$$

$$N' = -\kappa T + \tau B$$

$$B' = -\tau N$$

اینکه در فرمولهای فرنه جمله‌های نظیر $\omega_{12}(V) E_3$ و $\omega_{13}(V) E_1$ وجود ندارند، نتیجه طرز انتخاب میدان سه‌وجهی فرنه برای خم است. با تعیین $T (\sim E_1)$ ، $N (\sim E_2)$ را طوری انتخاب می‌کنیم که T' تنها مضر بی از N باشد و شامل $B (\sim E_3)$ نشود.

اختلاف دیگر بین فرمولهای فرنه و معادلات بالا در آن است که E^3 سه بعدی و خم یک بعدی است. ضرایب κ و τ در فرمولهای فرنه میزان تغییر میدان سه‌وجهی T ، N و B را فقط در طول این خم یعنی فقط در راستای T به دست می‌دهد. اما ضرایب معادلات همبندی باید بتوانند این اندازه‌گیرها را برای E_1 ، E_2 ، E_3 بر حسب هر میدان برداری

دلخواه در E^3 انجام دهند. بدین دلیل است که فرمهای همبندی به صورت ۱- فرمی اند و نه به صورت توابع.

غیر از این اختلافهای صوری وجه تمایز اساسی دیگری هم موجود است. چون میدان سهوجهی فرنه به خمی وابسته است، دربارهٔ خم از فرمولهای فرنه اطلاعاتی به دست می آید. اما سهوجهی E_1 ، E_2 ، E_3 که در بالا به کار رفت کاملاً دلخواه است و در نتیجه معادلات همبندی هیچ گونه اطلاع مستقیمی دربارهٔ E^3 به دست نمی دهند و فقط حاوی اطلاعات دربارهٔ میزان دوران میدان سهوجهی مزبور می باشند. این نکته نه تنها ضعف معادلات به حساب نمی آید بلکه منشأ توان آنها نیز می باشد، زیرا چنان که گفتیم اگر بتوان میدان سهوجهی مناسبی برای مسألهٔ هندسی انتخاب کرد، در این صورت معادلات همبندی اطلاعات مستقیمی دربارهٔ آن مسأله به دست می دهند. بدین سبب این معادلات در تمام هندسهٔ دیفرانسیل E^3 دارای نقشی اساسی اند، به ویژه فرمولهای فرنه را می توان از آنها نتیجه گرفت (تمرین ۸). مافقط از لحاظ توضیح ترجیح دادیم که نخست حالت سادهٔ فرنه را بررسی کنیم. به آسانی می توان فرمولهای صریح فرمهای همبندی هر میدان سهوجهی دلخواه E_1 ، E_2 ، E_3 را به دست آورد. نخست با استفاده از بسط متعامد میدانهای برداری، E_1 ، E_2 ، E_3 را بر حسب میدان سهوجهی طبیعی U_1 ، U_2 ، U_3 روی E^3 بیان می کنیم:

$$E_1 = a_{11}U_1 + a_{12}U_2 + a_{13}U_3$$

$$E_2 = a_{21}U_1 + a_{22}U_2 + a_{23}U_3$$

$$E_3 = a_{31}U_1 + a_{32}U_2 + a_{33}U_3$$

در اینجا هر $a_{ij} = E_i \cdot U_j$ تابعی با مقدار حقیقی روی E^3 است. ماتریس

$$A = (a_{ij}) = \begin{pmatrix} a_{11} & a_{12} & a_{13} \\ a_{21} & a_{22} & a_{23} \\ a_{31} & a_{32} & a_{33} \end{pmatrix}$$

که عناصر آن از این توابع تشکیل شده اند به ماتریس ایستاری میدان سهوجهی E_1 ، E_2 ، E_3 و موسوم است. زیرا در هر نقطهٔ p ، ماتریس عددی

$$A(p) = (a_{ij}(p))$$

درست ماتریس ایستاری سهوجهی $E_1(p)$ ، $E_2(p)$ ، $E_3(p)$ ، که در تعریف ۶.۱ بیان شد، می باشد. چون ماتریسهای ایستاری متعامدند، A^{-1} ماتریس ترانزادهٔ A با A^{-1} برابر است.

دیفرانسیل ماتریس $A = (a_{ij})$ را با $dA = (da_{ij})$ تعریف می کنیم، بنا بر این dA ماتریسی است که عناصر آن ۱- فرمی می باشند. اکنون می توان فرمهای همبندی را بر حسب ماتریس ایستاری با عبارتی ساده بیان کرد.

۳.۷. قضیه. اگر $A = (a_{ij})$ ماتریس ایستاری و $\omega = (\omega_{ij})$ ماتریس فرمهای همبندی میدان سهوجهی E_1, E_2, E_3 باشد، در این صورت:

$$\omega = dA' A \quad (\text{ضرب ماتریسها})$$

یا به عبارت دیگر $\omega_{ij} = \sum_k a_{jk} da_{ik}$ به ازای $1 \leq i, j \leq 3$.

پرهان. اگر \mathbf{v} بردار مماس در \mathbf{p} باشد، در این صورت بنا بر تعریف داریم:

$$\omega_{ij}(\mathbf{v}) = \nabla_i E_j \cdot E_i(\mathbf{p})$$

چون A ماتریس ایستاری است، داریم

$$E_i = \sum a_{jk} U_k$$

و بنا بر ام ۲.۵

$$\nabla_i E_j = \sum \mathbf{v}[a_{jk}] U_k(\mathbf{p})$$

از ضرب داخلی این بردار با بردار

$$E_i(\mathbf{p}) = \sum a_{jk}(\mathbf{p}) U_k(\mathbf{p})$$

خواهیم داشت

$$\omega_{ij}(\mathbf{v}) = \sum_k \mathbf{v}[a_{jk}] a_{ik}(\mathbf{p})$$

اما بنا بر تعریف دیفرانسیل

$$\mathbf{v}[a_{jk}] = da_{jk}(\mathbf{v})$$

در نتیجه

$$\omega_{ij}(\mathbf{v}) = \sum_k a_{jk}(\mathbf{p}) da_{ik}(\mathbf{v}) = \left(\sum_k a_{jk} da_{ik} \right) (\mathbf{v})$$

چون این معادله به ازای هر بردار مماس برقرار است، دو فرمی ω_{ij} و $\sum a_{jk} da_{ik}$ برابرند. به آسانی می توان فرمول ماتریسی آن را نوشت. عناصر A عبارت اند از $a_{kj} = a_{jk}'$ ، پس

$$\omega_{ij} = \sum_k da_{ik}' a_{kj} \quad , \quad 1 \leq i, j \leq 3$$

یعنی

$$\omega = dA' A$$

با استفاده از این قضیه به محاسبه فرمهای همبندی میدان سهوجهی استوانه‌ای مثال

۲.۶ می پردازیم. از روی تعریف، ماتریس ایستاری به صورت زیر معین می گردد

$$A = \begin{pmatrix} \cos \vartheta & \sin \vartheta & 0 \\ -\sin \vartheta & \cos \vartheta & 0 \\ 0 & 0 & 1 \end{pmatrix}$$

و از آنجا

$$dA = \begin{pmatrix} -\sin \vartheta d\vartheta & \cos \vartheta d\vartheta & 0 \\ -\cos \vartheta d\vartheta & -\sin \vartheta d\vartheta & 0 \\ 0 & 0 & 0 \end{pmatrix}$$

و چون

$${}^t A = \begin{pmatrix} \cos \vartheta & -\sin \vartheta & 0 \\ \sin \vartheta & \cos \vartheta & 0 \\ 0 & 0 & 1 \end{pmatrix}$$

به آسانی خواهیم داشت

$$\omega = dA {}^t A = \begin{pmatrix} 0 & d\vartheta & 0 \\ -d\vartheta & 0 & 0 \\ 0 & 0 & 0 \end{pmatrix}$$

بدین ترتیب $d\vartheta = \omega_{12}$ و $\omega_{21} = -\omega_{12}$ و بقیه فرمهای همبندی صفرند. معادلات همبندی (قضیه ۲.۷) میدان سه‌وجهی استوانه‌ای چنین‌اند

$$\nabla_V E_1 = d\vartheta(V)E_2 = V[\vartheta]E_2$$

$$\nabla_V E_2 = -d\vartheta(V)E_1 = -V[\vartheta]E_1$$

$$\nabla_V E_3 = 0$$

به‌ازای همه میدانهای برداری V .

تعبیر هندسی این معادلات روشن است. معادله سوم میبین آن است که میدان برداری E_3 متوازی است، و این را قبلاً می‌دانستیم. زیرا در میدان سه‌وجهی استوانه‌ای E_3 همان U_3 است. دو معادله اول میبین آن است که مشتقاتی که در راستای V بستگی دارند. از تعریف تابع ϑ به آسانی نتیجه می‌شود که هر گاه V بر صفحه ماربر محور z مماس باشد، آنگاه $V[\vartheta] = 0$. بدین ترتیب برای یک میدان برداری از این نوع معادلات همبندی بالا نشان می‌دهند که $\nabla_V E_1 = \nabla_V E_2 = 0$. از شکل ۲.۱۰۲ به روشنی دیده می‌شود که در هر صفحه ماربر محور z ها E_1 و E_2 متوازی باقی می‌مانند.

میدان سه وجهی فرته T ، N ، B مربوط به β را بدست می دهد. ثابت کنید که

$$\omega_{12}(T) = \kappa, \quad \omega_{13}(T) = 0, \quad \omega_{23}(T) = \tau$$

و فرمولهای فرته را از معادلات همبندی نتیجه بگیرید. (دانهمایی: مثال ۶، فصل ۲

بند ۵).

۸. معادلات ساختاری

چنان که دیدیم ۱- فرمیهای، فرمهای همبندی، ساده ترین بیان را برای میزان دوران میدان سه وجهی به دست می دهند، و علاوه بر این میدان سه وجهی مزبور نیز بر حسب ۱- فرمیهای بیان می شود.

۱۰۸. تعریف. اگر E_1, E_2, E_3 یک میدان سه وجهی روی E^3 باشد، در این صورت ۱- فرمیهای دوگان میدان سه وجهی مزبور که با $\theta_1, \theta_2, \theta_3$ نمایش داده می شوند عبارت اند از ۱- فرمیهایی که به ازای هر بردار مماس v بر E^3 در p داشته باشیم

$$\theta_i(v) = v \cdot E_i(p)$$

باید توجه داشت که θ_i در هر نقطه روی بردارهای مماس، خطی است و بنابراین یک ۱- فرمی است. (به آسانی دیده می شود که در هر نقطه $\theta_1, \theta_2, \theta_3$ پایه دوگان E_1, E_2, E_3 را به دست می دهند.)

در حالت میدان سه وجهی طبیعی U_1, U_2, U_3 فرمهای دوگان همان dX_1, dX_2, dX_3 هستند. زیرا با توجه به مثال ۳-۵ فصل اول، به ازای هر بردار مماس v داریم

$$dX_i(v) = v_i = v \cdot U_i(p)$$

بنابراین $dX_i = \theta_i$

با استفاده از فرمهای دوگسان، فرمول بسط متعامد لم ۳-۶ را می توان به صورت $V = \sum \theta_i(V) E_i$ نوشت. با توجه به خصوصیت دوگانی، این فرمول به صورت لم زیر درمی آید.

۲۰۸. لیمه بگیریم $\theta_1, \theta_2, \theta_3$ ۱- فرمیهای دوگان میدان سه وجهی E_1, E_2, E_3 باشد. در این صورت هر ۱- فرمی ϕ روی E^3 به طور یکتا به صورت زیر نوشته می شود:

$$\phi = \sum \phi(E_i) \theta_i$$

برهان. هنگامی دو ۱- فرمی برابرند که به ازای هر میدان برداری V مقدار آنها یکی باشد. در اینجا داریم

$$\begin{aligned} (\sum \phi(E_i) \theta_i)(V) &= \sum \phi(E_i) \theta_i(V) \\ &= \phi(\sum \theta_i(V) E_i) = \phi(V) \end{aligned}$$

تمرینات

۱. نشان دهید که به ازای هر تابع f میدانهای برداری:

$$E_1 = \frac{(\sin f U_1 + U_2 - \cos f U_3)}{\sqrt{2}}$$

$$E_2 = \frac{(\sin f U_1 - U_2 - \cos f U_3)}{\sqrt{2}}$$

$$E_3 = \cos f U_1 + \sin f U_3$$

تشکیل یک میدان سه وجهی می دهند. فرمهای همبندی آن را بیابید.

۲. مطلوب است تعیین فرمهای همبندی میدان سه وجهی طبیعی U_1, U_2, U_3 .

۳. نشان دهید که به ازای هر تابع f ماتریس:

$$A = \begin{pmatrix} \cos^2 f & \cos f \sin f & \sin f \\ \sin f \cos f & \sin^2 f & -\cos f \\ -\sin f & \cos f & 0 \end{pmatrix}$$

ماتریس ایستاری یک میدان سه وجهی است، و فرمهای همبندی آن را محاسبه کنید.

۴. ثابت کنید که فرمهای همبندی میدان سه وجهی کروی عبارت اند از:

$$\omega_{12} = \cos \varphi d\vartheta, \quad \omega_{13} = d\varphi, \quad \omega_{23} = \sin \varphi d\vartheta$$

۵. اگر E_1, E_2, E_3 یک میدان سه وجهی باشد و $W = \sum f_i E_i$ فرمول مشتق کوواریان زیر را ثابت کنید:

$$\nabla_i W = \sum_j \{V[f_j] + \sum_r f_r \omega_{ij}(V)\} E_j$$

۶. اگر E_1, E_2, E_3 میدان سه وجهی استوانه‌ای، و V یک میدان برداری باشد، به طوری که $V[\vartheta] = 1$ ، عبارت $\nabla_r (r \cos \vartheta E_1 + r \sin \vartheta E_2)$ را محاسبه کنید.

۷. اگر F_1, F_2, F_3 یک میدان سه وجهی کروی باشد

$$F_1[\vartheta] = F_1[\varphi] = 0 \text{ و } F_1[\rho] = 1$$

(ب) عبارت $\nabla_{F_1} (\cos \rho F_2 + \sin \rho F_3)$ را محاسبه کنید.

۸. گیریم β خمی با تندی واحد در E^3 با $\kappa > 0$ باشد، و فرض کنیم که E_1, E_2, E_3 یک میدان سه وجهی روی E^3 است به طوری که تخصیص این میدانهای برداری به β

این توابع $\phi(E_i)$ تنها توابع مختصاتی ممکن برای ϕ بر حسب $\theta_1, \theta_2, \theta_3$ می باشند، زیرا اگر $\phi = \sum f_i \theta_i$ داریم

$$\phi(E_j) = \sum f_i \theta_i(E_j) = \sum f_i \delta_{ij} = f_j$$

بدین ترتیب ϕ بر حسب فرمهای دو گان E_1, E_2, E_3 با محاسبه مقدار آن روی E_1, E_2, E_3 بیان می گردد. این مطلب تعمیم لم ۴.۵ فصل اول، درباره هر میدان سدوجهی دلخواه است.

برای مقایسه میدان سدوجهی E_1, E_2, E_3 با میدان سدوجهی طبیعی آزمایش ایستاری $A = (a_{ij})$ که در آن

$$E_i = \sum a_{ij} U_j \quad (1 \leq i \leq 3)$$

است استفاده کردیم، عبارت دو گان آن چنین است

$$\theta_i = \sum a_{ij} dx_j$$

که در آن ضرایب تغییر نکرده است. زیرا بنا بر لم ۲.۸ (یا بهتر بگوییم حالت خاص آن، لم ۴.۵ فصل اول) داریم

$$\theta_i = \sum \theta_i(U_j) dx_j$$

از آنجا

$$\theta_i(U_j) = E_i \cdot U_j = (\sum a_{ik} U_k) \cdot U_j = a_{ij}$$

مقایسه فرمولهای E_i و θ_i به وضوح نشان می دهند که $\theta_1, \theta_2, \theta_3$ به صورت دو گان میدان سدوجهی E_1, E_2, E_3 را معرفی می کند.

در آنالیز، هنگامی که تابع جدیدی مطرح می شود طبعاً درباره مشتق آن بحث پیش می آید. و به همین ترتیب درباره ۱- فرمها، پس از اینکه به هر میدان سدوجهی فرمهای دو گان آن و فرمهای همبندی را متناظر قرار دادیم، مسأله مشتق خارجی آنها مطرح می گردد. پاسخ این سؤال به وسیله دو دسته معادلات که به وسیله کارتان کشف گردیده بیان می شود.

۳.۸. قضیه (معادلات ساختاری کارتان). گیریم E_1, E_2, E_3 یک میدان سدوجهی روی E^3 و فرمهای دو گان آن $\theta_1, \theta_2, \theta_3$ و فرمهای همبندی آن ω_{ij} ($1 \leq i, j \leq 3$) باشد. در این صورت مشتقهای خارجی این فرمها در معادلات زیر صدق می کنند:

(۱) معادلات ساختاری اول:

$$d\theta_i = \sum_j \omega_{ij} \wedge \theta_j \quad (1 \leq i \leq 3)$$

(۲) معادلات ساختاری دوم:

$$d\omega_{ij} = \sum_k \omega_{ik} \wedge \omega_{kj} \quad (1 \leq i, j \leq 3)$$

چون θ_i دوگان E_i است به آسانی می‌توان دید که معادلات ساختاری اول، دوگان معادلات همبندی است. بر اساس تجربه‌های بعدی مشخص خواهد شد که معادلات ساختاری دوم مبین آن است که E^3 مستوی است، نظیر همان مفهوم مستوی بودن صفحه E^2 .

برهان. دیدیم که

$$\theta_i = \sum a_{ij} dx_j$$

از این رو:

$$d\theta_i = \sum da_{ij} \wedge dx_j$$

چون ماتریس ایستاری $A = (a_{ij})$ متعامد است، عبارت ω_{ij} بر حسب da_{ij} را، که در قضیه ۳.۷ داشتیم، می‌توان با استفاده از فرمولهای جبرخطی بر حسب da_{ij} حل کرد و در نتیجه

$$da_{ij} = \sum_k \omega_{ik} a_{kj}$$

بدین ترتیب

$$\begin{aligned} d\theta_i &= \sum_j \{ (\sum_k \omega_{ik} a_{kj}) \wedge dx_j \} \\ &= \sum_k \{ \omega_{ik} \wedge \sum_j a_{kj} dx_j \} \\ &= \sum_k \omega_{ik} \wedge \theta_k \end{aligned}$$

و این همان معادله ساختاری اول است.

برای اثبات معادله ساختاری دوم، می‌توان از طریق اندیسی بالا استفاده کرد، اما با استفاده از نمایش ماتریسی جریان کار روشن‌تر می‌گردد. مشتق خارجی یک ماتریس تابعی یا ۱-فرمی، با تأثیر d روی عناصر آن محاسبه می‌گردد. مثلاً معنی فرمول ماتریسی $\omega = dA^t A$ در قضیه ۳.۷ چنین است

$$\omega_{ij} = \sum da_{ik} a_{jk}$$

و از آنجا

$$d\omega_{ij} = - \sum da_{ik} \wedge da_{jk}$$

(به علامت منها توجه شود!) بنا بر این در نمایش ماتریسی، که علامت \wedge را نمی‌نویسیم،

$$d\omega = -dA^t (dA)$$

با ضرب دو طرف $\omega = dA^t A$ در A به دست می‌آید

$$dA = \omega A$$

چون $'A = A^{-1}$ پس

$$'(dA) = '(\omega A) = 'A ' \omega$$

که با قراردادن آن در عبارت $d\omega$ و با توجه به آنکه ω متقارن چپ است خواهیم داشت

$$d\omega = -\omega A 'A ' \omega = -\omega ' \omega = \omega \omega$$

و این همان معادله ساختاری دوم $d\omega_{ij} = \sum \omega_{ik} \wedge \omega_{kj}$ به صورت ماتریسی می باشد.

۴.۸ مثال. معادلات ساختاری برای میدان سه وجهی کروی (مثال ۲.۶). فرمهای دوگان و فرمهای همبندی عبارت اند از:

$$\theta_1 = d\rho \qquad \omega_{12} = \cos \varphi d\vartheta$$

$$\theta_2 = \rho \cos \varphi d\vartheta \qquad \omega_{13} = d\varphi$$

$$\theta_3 = \rho d\varphi \qquad \omega_{23} = \sin \varphi d\vartheta$$

اکنون به عنوان مثال، معادله ساختاری اول را تحقیق می کنیم

$$d\theta_3 = \sum \omega_{3j} \wedge \theta_j = \omega_{31} \wedge \theta_1 + \omega_{32} \wedge \theta_2$$

با استفاده از خاصیت تقارن چپ $\omega_{ji} = -\omega_{ij}$ و خواص فرمها که در فصل اول دیدیم حاصل می شود

$$\omega_{31} \wedge \theta_1 = -d\varphi \wedge d\rho = d\rho \wedge d\varphi$$

$$\omega_{32} \wedge \theta_2 = (-\sin \varphi d\vartheta) \wedge (\rho \cos \varphi d\vartheta) = 0$$

(چونکه در فرمول اخیر $d\vartheta \wedge d\vartheta = 0$). مجموع این جمله ها عبارت است از

$$d\theta_3 = d(\rho d\varphi) = d\rho \wedge d\varphi$$

بررسی معادلات ساختاری دوم نیز به آسانی انجام می گیرد. چون $\omega_{11} = \omega_{22} = 0$ داریم:

$$d\omega_{12} = \sum \omega_{1k} \wedge \omega_{k2} = \omega_{13} \wedge \omega_{32}$$

و در این حال

$$\omega_{13} \wedge \omega_{32} = d\varphi \wedge (-\sin \varphi d\vartheta) = -\sin \varphi d\varphi \wedge d\vartheta$$

و از جهت دیگر داریم

$$d\omega_{12} = d(\cos \varphi d\vartheta) = d(\cos \varphi) \wedge d\vartheta = -\sin \varphi d\varphi \wedge d\vartheta$$

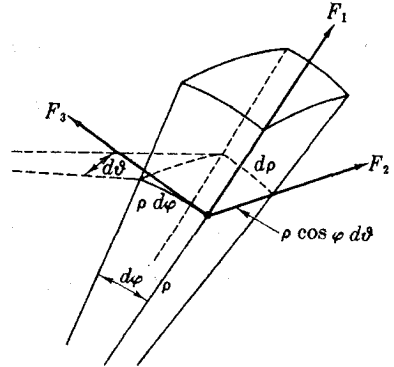
و این دو مقدار یکی هستند.

برای یافتن ۱- فرمیهای دوگان بالانحست
 dx_1 ، dx_2 و dx_3 را از معادلات

$$x_1 = \rho \cos \varphi \cos \vartheta$$

$$x_2 = \rho \cos \varphi \sin \vartheta$$

$$x_3 = \rho \sin \varphi$$



شکل ۲۵.۲

به دست می‌آوریم و در فرمول $\theta_i = \sum a_{ij} dx_j$ که در آن $A = (a_{ij})$ ماتریس ایستاری مثال ۲۰.۶ است، قرار می‌دهیم.

بعداً روش محاسبه کارآمدتری خواهیم یافت که بر نکته مقدماتی زیر مبتنی است: اگر در هر نقطه، مختصات کروی ρ ، ϑ ، φ به $d\rho$ ، $d\vartheta$ ، $d\varphi$

$d\rho$ بدل شوند، یا لایه‌های عنصر حجمی بینهایت کوچک حاصل dp ، $\rho \cos \varphi d\vartheta$ ، $\rho d\varphi$ خواهد شد (شکل ۲۵.۲). این عبارتها دقیقاً همان فرمولهای دوگان θ_1 ، θ_2 ، θ_3 می‌باشند.

چنان‌که در پیش گفتیم، هدف اصلی ما معادلات ساختاری کارتان در بررسی هندسه رویه‌هاست (فصلهای ۶ و ۷).

تمرینات

۱. ثابت کنید که به ازای هر ۱- فرمی $\phi = \sum f_i \theta_i$ داریم:

$$d\phi = \sum_j \{df_j + \sum_i f_i \omega_{ij}\} \wedge \theta_j$$

(با تمرین ۵، فصل ۲، بند ۷ مقایسه کنید.)

۲. نشان دهید که به ازای میدان سه‌وجهی چنبره‌ای (تمرین ۴، فصل ۲ بند ۶) داریم

$$\theta_1 = d\rho \qquad \omega_{12} = \cos \varphi d\vartheta$$

$$\theta_2 = (R + \rho \cos \varphi) d\vartheta \qquad \omega_{13} = d\varphi$$

$$\theta_3 = \rho d\varphi \qquad \omega_{23} = \sin \varphi d\vartheta$$

(ادهمایی: θ_i را به روشی که در پایان بند ۸، فصل ۲ بیان شد پیدا کنید. برای تعیین ω_{ij} ، محاسبه لازم نیست.)

۳. معادله اول ساختاری را درباره میدان سه‌وجهی چنبره‌ای تحقیق کنید.

۴. میدان سه‌وجهی استوانه‌ای E_1 ، E_2 ، E_3 را در نظر می‌گیریم:
(الف) با محاسبه روی U_1 ، U_2 ، U_3 ثابت کنید که

$$\theta_1 = dr, \quad \theta_2 = rd\vartheta, \quad \theta_3 = dz$$

(ب) نشان دهید که $E_1[r] = 1$ ، $E_2[\vartheta] = 1/r$ ، $E_3[z] = 1$ و شش مقدار دیگر $E_1[\vartheta]$ ، $E_2[z]$ ، $E_3[r]$ همه صفرند.

(ج) نشان دهید که به‌ازای تابع $f(r, \vartheta, z)$ در مختصات استوانه‌ای داریم

$$E_1[f] = \frac{\partial f}{\partial r} \quad E_2[f] = \frac{1}{r} \frac{\partial f}{\partial \vartheta} \quad E_3[f] = \frac{\partial f}{\partial z}$$

۵. میدانهای سه‌وجهی روی E^2 را در نظر می‌گیریم. به‌ازای میدان سه‌وجهی E_1 ، E_2 روی صفحه E^2 :

(الف) معادلات همبندی را بیابید.

(ب) اگر

$$E_1 = \cos \varphi U_1 + \sin \varphi U_2$$

$$E_2 = -\sin \varphi U_1 + \cos \varphi U_2$$

که در آن φ تابعی دلخواه است، θ_1 ، θ_2 و $\theta_3 = 1$ - فرم‌های دوگان و فرم همبندی ω_{12} را برحسب φ بیان کنید.

(ج) معادلات ساختاری را در این حالت ثابت کنید.

۹. خلاصه

به هدفهایی که در آغاز این فصل مورد نظر قرار دادیم رسیدیم. مفهوم سه‌وجهی متحرک دقیقاً به‌صورت میدان سه‌وجهی، روی یک خم E^2 یا روی یک مجموعه E^2 بیان شد. در حالت خم، فقط از میدان سه‌وجهی فرم T ، N ، B استفاده کردیم. با بیان مشتقات این میدانهای برداری برحسب خود آنها خمیدگی و تاب خم را پیدا کردیم. اکنون روشن است که خمیدگی و تاب درباره هندسه یک خم اطلاعات بسیاری به‌دست می‌دهند. در فصل سوم خواهیم دید که کلیه مشخصات خم از آنها نتیجه می‌گردد. در حالت یک مجموعه E^2 باز از E^2 ، با یک میدان سه‌وجهی دلخواه E_1 ، E_2 ، E_3 سروکار داشتیم. تعمیمی که کارتان برای فرمولهای فرنه به‌عمل آورد (قضیه ۲.۷). با استفاده از همان روش، یعنی بیان مشتقات (کوواریان) این میدانهای برداری برحسب خود میدانهای برداری بود. اگر میدان برداری V را در فرمولهای قضیه ۲.۷ بنویسیم خواهیم داشت

کارتان

فرنه

$$\begin{array}{ll} \nabla E_1 = & \omega_{12} E_2 + \omega_{13} E_3 \\ \nabla E_2 = & -\omega_{12} E_1 + \omega_{23} E_3 \\ \nabla E_3 = & -\omega_{13} E_1 - \omega_{23} E_2 \end{array} \quad \begin{array}{ll} T' = & \kappa N \\ N' = & -\kappa T + \tau B \\ B' = & -\tau N \end{array}$$

و اگر توجه شود که ضرایب ω_{ij} ، یعنی فرمهای همبندی، به صورت ۱- فرمی می باشند ملاحظه خواهد شد که معادلات کارتان از معادلات فرنه پیچیده تر نیستند.

هندسه اقلیدسی

مقدمتاً به یاد آوری بعضی از مطالب هندسه مسطحه می پردازیم. نخست آنکه هنگامی دو مثلث را قابل انطباق نامند، که بتوان به وسیله تغییر مکانی آنها را برهم منطبق کرد، به همین ترتیب زوایای متناظر دو مثلث قابل انطباق و اضلاع متناظر آنها با هم برابرند، و همچنین مساحت‌های دو مثلث قابل انطباق با یکدیگر برابرند، و غیره. در واقع هر خاصیت هندسی يك مثلث در مثلث قابل انطباق بسا آن نیز برقرار است. برعکس روشهای ساده‌ای برای تشخیص قابلیت انطباق دو مثلث موجود است، مثلاً تساوی طولهای اضلاع متناظر آنها.

در این فصل به بررسی تغییر مکانهای فضای اقلیدسی (ایزومترهای) آن می پردازیم و نشان می دهیم که چگونه این نکات مربوط به مثلث را می توان درباره سایر اشکال هندسی تعمیم داد.

۱. ایزومترهای E^3

ایزومتري یا تغییر مکان در فضای اقلیدسی تبدیلی است که مسافت اقلیدسی بین نقاط را حفظ می کند (تعریف ۲.۱ فصل ۲).

۱.۱. تعریف. يك ایزومتري در E^3 عبارت است از نگاشت $F: E^3 \rightarrow E^3$ به طوری که

$$d(F(p), F(q)) = d(p, q)$$

به ازای همه نقاط p و q در E^3 .

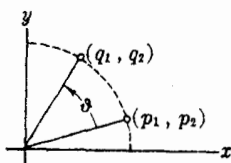
۲.۱. مثال

(۱) انتقال. نقطه ثابت a در E^2 و تبدیل T را که از جمع کردن نقطه a با هر یک از نقاط E^2 حاصل می شود در نظر می گیریم. بدین ترتیب به ازای هر نقطه p داریم $T(p) = p + a$ را انتقال به وسیله a می نامند. به آسانی می توان دید که T یک ایزومتري است، زیرا

$$\begin{aligned} d(T(p), T(q)) &= d(p+a, q+a) \\ &= \|(p+a) - (q+a)\| \\ &= \|p - q\| = d(p, q) \end{aligned}$$

(۲) دوران پیرامون يك محور مختصات. دوران صفحه xy به اندازه زاویه ϑ پیرامون محور z ها، نقطه (p_1, p_2) را به نقطه (q_1, q_2) با مختصات:

$$\begin{aligned} q_1 &= p_1 \cos \vartheta - p_2 \sin \vartheta \\ q_2 &= p_1 \sin \vartheta + p_2 \cos \vartheta \end{aligned}$$



شکل ۱۰۳

تبدیل می کند (شکل ۱۰۳).

بدین ترتیب C ، دوران E^2 پیرامون محور z (به اندازه زاویه ϑ)، با فرمول زیر معین می گردد

$$\begin{aligned} C(p) &= C(p_1, p_2, p_3) = \\ &= (p_1 \cos \vartheta - p_2 \sin \vartheta, p_1 \sin \vartheta + \\ & p_2 \cos \vartheta, p_3) \end{aligned}$$

به ازای هر نقطه p بدیهی است که C یک تبدیل خطی است، و با محاسبه ساده ای می توان تحقیق کرد که C مسافت اقلیدسی را حفظ می کند و بنابراین یک ایزومتري است.

یادآوری می کنیم که هرگاه F و G نگاشتهایی از E^2 باشند، تابع مرکب GF نگاشتی از E^2 است که از به کار بردن G پس از F ، حاصل شده است.

۳.۱. لم. اگر F و G دو ایزومتري از E^2 باشند، تابع مرکب GF نیز یک ایزومتري از E^2 است.

برهان. چون G ایزومتري است، داریم

$$d(G(F(p)), G(F(q))) = d(F(p), F(q))$$

و چون F نیز یک ایزومتري است، مقدار اخیر با $d(p, q)$ برابر است. یعنی GF مسافت را حفظ می کند و در نتیجه یک ایزومتري است.

خلاصه، ترکیب چند ایزومتري، يك ایزومتري است.

همچنين یادآوری می‌کنیم که اگر $F: E^3 \rightarrow E^3$ نگاشت يك به يك و دوسویی باشد، آنگاه F دارای يك تابع معکوس یکنای $F^{-1}: E^3 \rightarrow E^3$ است، که هر نقطه $F(p)$ را به نقطه p برمی‌گرداند. رابطه بین F و F^{-1} از فرمولهای $F^{-1}F = I$ ، $FF^{-1} = I$ به دست می‌آید، که در آن I نگاشت همانی E^3 است، یعنی، نگاشتی که به ازای هر p ، $I(p) = p$.

انتقالها در E^3 (مثال ۲.۱) ساده‌ترین ایزومترها می‌باشند.

۴.۱. لم. (۱) اگر S و T دو انتقال باشند، آنگاه $ST = TS$ نیز يك انتقال است.

(۲) اگر T يك انتقال به وسیله a باشد، آنگاه T^{-1} عکس T موجود و انتقالی است به وسیله $-a$.

(۳) به ازای هر دو نقطه مفروض p و q از E^3 ، تنها يك انتقال T وجود دارد به طوری که $T(p) = q$.

برهان. به عنوان مثال، (۳) را اثبات می‌کنیم. دیده می‌شود که انتقال به وسیله $p - q$ ، p را به q بدل می‌کند، و بجز این، انتقال دیگری وجود ندارد. زیرا اگر T انتقال به وسیله a باشد و $T(p) = q$ ، در این صورت $p + a = q$ ، بنا بر این $a = q - p$. ■

حالت خاص جالب (۳) آن است که برای انتقال T نقطه‌ای وجود داشته باشد به طوری که $T(p) = p$ ، در این صورت $T = I$.
تبدیل خطی $C: E^3 \rightarrow E^3$ را که در آن حاصل ضرب داخلی محفوظ بماند تبدیل متعامد E^3 می‌نامند.

$$C(p) \cdot C(q) = p \cdot q \quad q, p \text{ هر به ازای هر}$$

دوران مثال ۲.۱ يك نمونه از تبدیل متعامد است.

۵.۱. لم. اگر $C: E^3 \rightarrow E^3$ يك تبدیل متعامد باشد، آنگاه C يك ایزومتري از E^3 است.

برهان. نخست نشان می‌دهیم که C نرم را حفظ می‌کند. بنا بر تعریف $\|p\|^2 = p \cdot p$ ، بنا بر این:

$$\|C(p)\|^2 = C(p) \cdot C(p) = p \cdot p = \|p\|^2$$

بدین ترتیب به ازای هر نقطه p داریم $\|C(p)\| = \|p\|$. از آنجا که C خطی است، به آسانی می‌توان نتیجه گرفت که C يك ایزومتري است، زیرا

$$d(C(p), C(q)) = \|C(p) - C(q)\| = \|C(p - q)\| = \|p - q\|$$

$$= d(p, q) \quad q, p \text{ هر به ازای هر}$$

■

در اینجا هدف ما اثبات قضیه ۷.۱ می باشد که مبین آن است که هر ایزومتري را می توان به صورت يك تبدیل متعامد و يك انتقال بیان کرد. قسمت اصلی برهان آن در لم زیر که عکس لم ۵.۱ است بیان می شود.

۶.۱. لم. اگر F يك ایزومتري از E^3 باشد به طوری که $F(o) = o$ ، در این صورت F يك تبدیل متعامد است.

برهان. نخست نشان می دهیم که F حاصل ضرب داخلی را حفظ می کند، و سپس نشان خواهیم داد که F يك تبدیل خطی است. با توجه به تعریف مسافت اقلیدسی، می بینیم که نرم $\|p\|$ ای نقطه p درست مسافت اقلیدسی $d(o, p)$ از مبدأ تا p می باشد، و چون بنا بر فرض F مسافت اقلیدسی را حفظ می کند و $F(o) = o$ ، بنا بر این

$$\|F(p)\| = d(o, F(p)) = d(F(o), F(p)) = d(o, p) = \|p\|$$

بدین ترتیب دیده می شود که F نرم را حفظ می کند. اکنون نشان می دهیم که F حاصل ضرب داخلی را حفظ می کند. چون F يك ایزومتري است، داریم

$$d(F(p), F(q)) = d(p, q)$$

از آنجا

$$\|F(p) - F(q)\| = \|p - q\|$$

و بنا بر تعریف نرم

$$(F(p) - F(q)) \cdot (F(p) - F(q)) = (p - q) \cdot (p - q)$$

از آنجا

$$\|F(p)\|^2 - 2F(p) \cdot F(q) + \|F(q)\|^2 = \|p\|^2 - 2p \cdot q + \|q\|^2$$

و در نتیجه

$$F(p) \cdot F(q) = p \cdot q$$

اکنون نشان می دهیم که F خطی است. گیریم u_1, u_2, u_3 به ترتیب نقاط یکه $(1, 0, 0)$ ، $(0, 1, 0)$ ، $(0, 0, 1)$ باشند، داریم

$$p = (p_1, p_2, p_3) = \sum p_i u_i$$

همچنین نقاط u_1, u_2, u_3 یکانی و متعامدند، یعنی $u_i \cdot u_j = \delta_{ij}$

چون F ضرب داخلی را حفظ می کند، لذا $F(u_1), F(u_2), F(u_3)$ نیز متعامد یکانی خواهند بود و با استفاده از بسط متعامد یکانی خواهیم داشت

$$F(p) = \sum F(p) \cdot F(u_i) F(u_i)$$

$$F(\mathbf{p}) \cdot F(\mathbf{u}_i) = \mathbf{p} \cdot \mathbf{u}_i = p_i$$

از آنجا

$$F(\mathbf{p}) = \sum p_i F(\mathbf{u}_i)$$

با استفاده از این اتحاد به آسانی شرط خطی بودن محقق می‌گردد

$$F(a\mathbf{p} + b\mathbf{q}) = aF(\mathbf{p}) + bF(\mathbf{q})$$

اکنون با بیان قضیهٔ زیر ماهیت یک ایزومتري را توضیح می‌دهیم.

۷.۱. قضیه. اگر F یک ایزومتري از E^3 باشد، در این صورت یک انتقال یکتای T و یک تبدیل متعامد C وجود دارد به طوری که

$$F = TC$$

برهان. گیریم T انتقال متناظر به $F(\mathbf{o})$ باشد. در لم ۴.۱ دیدیم که T^{-1} انتقال متناظر به $-F(\mathbf{o})$ است. اما $T^{-1}F$ یک ایزومتري است، و بنا بر لم ۳.۱ و بعد از آن داریم

$$(T^{-1}F)(\mathbf{o}) = T^{-1}(F(\mathbf{o})) = F(\mathbf{o}) - F(\mathbf{o}) = \mathbf{o}$$

و بنا بر لم ۶.۱، $T^{-1}F$ یک تبدیل متعامد است، و اگر آن را با C نمایش دهیم داریم $T^{-1}F = C$ و از آنجا $F = TC$.

برای اثبات یکتایی فرض کنیم F به صورت $\bar{T}\bar{C}$ که در آن \bar{T} یک انتقال و \bar{C} یک تبدیل متعامد است نوشته شود. باید نشان دهیم که $\bar{C} = C$ و $\bar{T} = T$. اما داریم $TC = \bar{T}\bar{C}$ و از آنجا $C = T^{-1}\bar{T}\bar{C}$. چون C و \bar{C} تبدیل خطی اند، مبدأ را حفظ می‌کنند، و در نتیجه $(T^{-1}\bar{T})(\mathbf{o}) = \mathbf{o}$. اما چون $T^{-1}\bar{T}$ یک انتقال است پس $T^{-1}\bar{T} = I$ یعنی $\bar{T} = T$ ، و چون $C = T^{-1}\bar{T}\bar{C}$ پس $C = \bar{C}$.

بدینسان هر ایزومتري از E^3 را می‌توان به طور یکتا به صورت یک تبدیل متعامد که انتقالی به دنبال آن آمده است بیان کرد. هر گاه مانند قضیهٔ ۷.۱، داشته باشیم $F = TC$ ، C را بخشی تعامد F و T را بخش انتقال می‌نامند. باید توجه داشت که در حالت کلی CT با TC برابر نیست (تمرین ۱).

قضیهٔ تجزیهٔ بالا دربارهٔ ایزومترهای E^3 (که برهان آن برای E^n نیز صادق است) دارای اهمیت اساسی است. مثلاً با استفاده از آن فرمول صریح ایزومتري دلخواه $F = TC$ را به دست می‌آوریم. اگر (c_{ij}) ماتریس تبدیل خطی C باشد، به ازای جمیع نقاط $\mathbf{p} = (p_1, p_2, p_3)$ فرمول صریح زیر را داریم

$$C(p_1, p_2, p_3) = (\sum c_{1j} p_j, \sum c_{2j} p_j, \sum c_{3j} p_j)$$

با استفاده از قرارداد بردارستونی رابطهٔ $\mathbf{q} = C(\mathbf{p})$ به صورت ماتریسی چنین نوشته می‌شود

$$\begin{pmatrix} q_1 \\ q_2 \\ q_3 \end{pmatrix} = \begin{pmatrix} c_{11} & c_{12} & c_{13} \\ c_{21} & c_{22} & c_{23} \\ c_{31} & c_{32} & c_{33} \end{pmatrix} \begin{pmatrix} p_1 \\ p_2 \\ p_3 \end{pmatrix}$$

و چون C تبدیل خطی متعامد است. به آسانی می توان نشان داد که ماتریس آن (c_{ij}) نیز متعامد است، یعنی معکوس و ترانزپوز آن برابرند.

اگر انتقال T را با $\mathbf{a} = (a_1, a_2, a_3)$ نشان دهیم، با استفاده از تجزیه $F = TC$ خواهیم داشت

$$F(\mathbf{p}) = TC(\mathbf{p}) = \mathbf{a} + C(\mathbf{p})$$

و با استفاده از فرمول بالا برای $C(\mathbf{p})$ داریم

$$F(\mathbf{p}) = F(p_1, p_2, p_3) = (a_1 + \sum c_{1j} p_j, a_2 + \sum c_{2j} p_j, a_3 + \sum c_{3j} p_j)$$

و اگر از قرارداد بردار ستونی استفاده کنیم، $\mathbf{q} = F(\mathbf{p})$ به صورت زیر در می آید

$$\begin{pmatrix} q_1 \\ q_2 \\ q_3 \end{pmatrix} = \begin{pmatrix} a_1 \\ a_2 \\ a_3 \end{pmatrix} + \begin{pmatrix} c_{11} & c_{12} & c_{13} \\ c_{21} & c_{22} & c_{23} \\ c_{31} & c_{32} & c_{33} \end{pmatrix} \begin{pmatrix} p_1 \\ p_2 \\ p_3 \end{pmatrix}$$

تمرینات

در این تمرینات A, B, C تبدیلات متعامد (یا ماتریسهای آنها) و T_a انتقال متناظر به \mathbf{a} را نشان می دهد.

۱. ثابت کنید که $CT_a = T_{C(\mathbf{a})}C$.

۲. ایزومتریهای $F = T_a A$ و $G = T_b B$ را در نظر می گیریم. مطلوب است تعیین بخش انتقال و بخش تعامد GF و FG .

۳. نشان دهید که یک ایزومتری $F = T_a C$ دارای یک نگاشت معکوس F^{-1} است که خود نیز یک ایزومتری است. بخشهای انتقال و تعامد F^{-1} را بیابید.

۴. اگر

$$C = \begin{pmatrix} -\frac{2}{3} & \frac{2}{3} & -\frac{1}{3} \\ \frac{2}{3} & \frac{1}{3} & -\frac{2}{3} \\ \frac{1}{3} & \frac{2}{3} & \frac{2}{3} \end{pmatrix}, \quad \begin{cases} \mathbf{p} = (3, 1, -6) \\ \mathbf{q} = (1, 0, 3) \end{cases}$$

نشان دهید که C متعامد است، و $C(p)$ و $C(q)$ را حساب و تحقیق کنید که

$$C(p) \cdot C(q) = p \cdot q$$

۵. اگر $F = T_a C$ و $a = (1, 3, -1)$ و

$$C = \begin{pmatrix} \frac{1}{\sqrt{2}} & 0 & -\frac{1}{\sqrt{2}} \\ 0 & 1 & 0 \\ \frac{1}{\sqrt{2}} & 0 & \frac{1}{\sqrt{2}} \end{pmatrix}$$

و $p = (2, -2, 8)$ باشد، مختصات نقطه q را در حالت‌های زیر بیابید

(الف) $q = F(p)$ (ب) $q = F^{-1}(p)$ (ج) $q = (CT_a)(p)$

۶. در هر يك از حالت‌های زیر تشخیص دهید که آیا F يك ایزومتری از E^3 هست یا نیست؟
و در این صورت بخش‌های انتقال و تعامد آن را بیابید.

(الف) $F(p) = -p$

(ب) $F(p) = p \cdot a$ که در آن $\|a\| = 1$

(ج) $F(p) = (p_2 - 1, p_2 - 2, p_1 - 3)$

(د) $F(p) = (p_1, p_2, 1)$

۷. ثابت کنید که \mathcal{C} مجموعه همه ایزومتری‌های E^3 با قانون ترکیب توابع تشکیل يك گروه می‌دهند. این گروه را گروه اقلیدسی (رتبه ۳) یا گروه حرکت‌های اقلیدسی E^3 می‌نامند.

۸. ثابت کنید که \mathcal{O} مجموعه همه انتقال‌های E^3 و $O(3)$ مجموعه همه تبدیلهای متعامد E^3 زیرگروه‌های اقلیدسی \mathcal{C} می‌باشند. $O(3)$ را زیرگروه متعامد رتبه ۳ می‌نامند. کدام يك از ایزومتری‌های E^3 به‌هر دو زیرگروه متعلق است؟

۲. نگاشت مشتق يك ایزومتری

در فصل اول بیان شد که هر نگاشت دلخواه $F: E^3 \rightarrow E^3$ دارای يك نگاشت مشتق F_* است که هر بردار مماس v در p را به بردار مماس $F_*(v)$ در $F(p)$ تبدیل می‌کند. هنگامی که F يك ایزومتری است، نگاشت مشتق آن بسیار ساده است. (چون در اینجا تمایز بین بردار مماس و نقطه دارای اهمیت اساسی است، موقتاً نقطه اثر را قید می‌کنیم.)

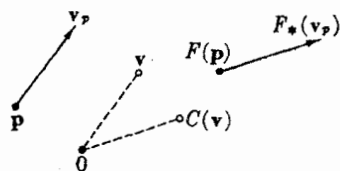
۱۰۲. قضیه. گیریم F يك ایزومتری از E^3 با بخش متعامد C باشد. در این صورت

$$F_*(\mathbf{v}_p) = (C\mathbf{v})_{F(p)}$$

به ازای همه بردارهای مماس \mathbf{v}_p از E^3 .

توضیح: برای تعیین $F_*(\mathbf{v}_p)$ ، نخست

بردار مماس \mathbf{v}_p را به بردار متناظر آن \mathbf{v} از E^2 تبدیل می‌کنیم، سپس C بخش تعامد F را بر آن اثر می‌دهیم و بعد بردار $C(\mathbf{v})$ را به بردار مماس $F(\mathbf{p})$ در E^3 تبدیل می‌کنیم (شکل ۲.۳). بدین ترتیب همه بردارهای مماس در هر نقطه \mathbf{p} از E^2 به وسیله F_* دقیقاً به یک طریق دوران می‌کنند



شکل ۲.۳

و فقط نقطه اثر جدید آنها $F(\mathbf{p})$ بستگی به \mathbf{p} دارد.

برهان. بنا بر قضیه ۷.۱ داریم $F = TC$. گیریم انتقال T با \mathbf{a} متناظر باشد بنا بر این $F(\mathbf{p}) = \mathbf{a} + C(\mathbf{p})$. به ازای \mathbf{v}_p بردار مماس E^2 ، بنا بر تعریف ۴.۷ فصل اول، $F_*(\mathbf{v}_p)$ برابر است با سرعت آغازی خم $t \rightarrow F(\mathbf{p} + t\mathbf{v})$. با استفاده از خطی بودن C خواهیم داشت

$$\begin{aligned} F(\mathbf{p} + t\mathbf{v}) &= TC(\mathbf{p} + t\mathbf{v}) = T(C(\mathbf{p}) + tC(\mathbf{v})) = \mathbf{a} + C(\mathbf{p}) + tC(\mathbf{v}) \\ &= F(\mathbf{p}) + tC(\mathbf{v}) \end{aligned}$$

بدین ترتیب $F_*(\mathbf{v}_p)$ سرعت آغازی خم $F(\mathbf{p}) + tC(\mathbf{v})$ می‌باشد، که دقیقاً همان بردار مماس $(C\mathbf{v})_{F(\mathbf{p})}$ است.

این قضیه بر حسب مختصات اقلیدسی به صورت زیر درمی‌آید

$$F_*(\sum_j v_j U_j) = \sum_{i,j} c_{ij} v_j \bar{U}_i$$

که در آن $C = (c_{ij})$ بخش تعامد ایزومتري F می‌باشد، و U_i و \bar{U}_i به ترتیب در \mathbf{p} و $F(\mathbf{p})$ محاسبه می‌شوند.

۲.۴. فرج. ایزومترها حاصل ضرب داخلی بردارهای مماس را حفظ می‌کنند. یعنی، به ازای بردارهای مماس \mathbf{v}_p و \mathbf{w}_p از E^2 خواهیم داشت

$$F_*(\mathbf{v}_p) \cdot F_*(\mathbf{w}_p) = \mathbf{v}_p \cdot \mathbf{w}_p$$

برهان. گیریم C بخش تعامد F باشد، و یادآوری می‌کنیم که C ، چون تبدیل متعامد است، حاصل ضرب داخلی در E^3 را حفظ می‌کند. بنا بر قضیه ۱.۲ داریم

$$\begin{aligned} F_*(\mathbf{v}_p) \cdot F_*(\mathbf{w}_p) &= (C\mathbf{v})_{F(\mathbf{p})} \cdot (C\mathbf{w})_{F(\mathbf{p})} = C\mathbf{v} \cdot C\mathbf{w} \\ &= \mathbf{v} \cdot \mathbf{w} = \mathbf{v}_p \cdot \mathbf{w}_p \end{aligned}$$

که در آن دوبار از تعریف ۳.۱ فصل ۲ (ضرب داخلی بردارهای مماس) استفاده کرده ایم. \blacksquare

با اثبات این فرع اساسی و قضیه زیر، (قضیه ۱.۲) نقش خود را کاملاً ایفا کرده است. بدینسان می توان نقطه اثر را از نمادها حذف کرد و به سادگی نوشت $F_*(v) \cdot F_*(w) = v \cdot w$. به بیان ساده این فرع مبین آن است که به ازای هر نقطه p ، نگاشت مشتق F_{*p} در p يك تبدیل متعامد فضاهاى مماس است (تفاوت آن با C تنها در ایزومرفیسمهای متعارف E^3 است).

چون حاصل ضرب داخلی محفوظ می ماند، فوراً نتیجه می شود که مفاهیمی که از آن اشتقاق می یابند، مانند نرم و تعامد، حفظ می شوند. به بیان روشتر، اگر F يك ایزومتري باشد، آنگاه $\|F_*(v)\| = \|v\|$ ، و اگر v و w متعامد باشند، $F_*(v)$ و $F_*(w)$ نیز متعامدند، یعنی نرم و تعامد حفظ می شوند. بدین ترتیب سه وجهیها نیز حفظ می شوند: اگر e_1, e_2, e_3 يك سه وجهی در نقطه p از E^3 باشد، به ازای ایزومتري F ، $F_*(e_1), F_*(e_2), F_*(e_3)$ نیز يك سه وجهی در $F(p)$ خواهد بود. (مستقیماً نیز می توان آن را اثبات کرد: $e_i \cdot e_j = \delta_{ij}$ ، و بنا بر فرع ۲.۲، $F_*(e_i) \cdot F_*(e_j) = e_i \cdot e_j = \delta_{ij}$) در لم ۴.۱ دیدیم که هر دو نقطه معرف يك انتقال یکتا می باشد. اکنون نشان می دهیم که هر دو سه وجهی به طور یکتا معرف يك ایزومتري است.

۳.۲. قضیه. به ازای هر دو سه وجهی مفروض بر E^3 مثل e_1, e_2, e_3 در نقطه p و f_1, f_2, f_3 در نقطه q ، يك ایزومتري یکتای F از E^3 وجود دارد، به طوری که $F_*(e_i) = f_i$ ، به ازای $1 \leq i \leq 3$.

برهان. نخست وجود چنین ایزومتري را اثبات می کنیم. گیریم e_1, e_2, e_3 و f_1, f_2, f_3 نقاط متناظر به این دو سه وجهی در E^3 باشند. گیریم C تنها تبدیلى خطی E^3 باشد، به طوری که $f_i = C(e_i)$ ، به ازای $1 \leq i \leq 3$. به آسانی می توان تحقیق کرد که C متعامد است. انتقال T را با نقطه $q - C(p)$ تعریف می کنیم، و خواهیم دید که ایزومتري $F = TC$ سه وجهی e را به سه وجهی f بدل می کند. نخست ملاحظه می کنیم که

$$F(p) = T(Cp) = q - C(p) + C(p) = q$$

و با استفاده از قضیه ۱.۲ داریم

$$F_*(e_i) = (Ce_i)_{F(p)} = (f_i)_{F(p)} = (f_i)_q = f_i$$

به ازای $1 \leq i \leq 3$.

برای اثبات یکتایی آن دیده می شود که با توجه به قضیه ۱.۲، این انتخاب C به عنوان بخش تعامد ایزومتري مطلوب، منحصر به فرد است، و بخش انتقال آن نیز کاملاً معین است، زیرا باید $C(p)$ را به q بدل کنیم. بدین ترتیب ایزومتري $F = TC$ به طور یکتا معین گردید. \blacksquare

محاسبه صریح ایزومتري این قضیه نیز آسان است، گیریم به ازای $1 \leq i \leq 3$
 $A = (a_{ij})$ بدین ترتیب ماتریسهای متعامد $f_i = (b_{i1}, b_{i2}, b_{i3})$ و $e_i = (a_{i1}, a_{i2}, a_{i3})$
و $B = (b_{ij})$ به ترتیب ماتریسهای ایستاری سه وجهیهای e_1, e_2, e_3 و f_1, f_2, f_3 می باشند.
اکنون نشان می دهیم که ماتریس C در این قضیه برابر است با $B \cdot A$. برای این منظور
کافی است ثابت کنیم که $BA(e_i) = f_i$ ، زیرا بدین ترتیب C به طور یکتا معین می شود.
اما داریم

$${}^tBA \begin{pmatrix} a_{11} \\ a_{12} \\ a_{13} \end{pmatrix} = {}^tB \begin{pmatrix} 1 \\ 0 \\ 0 \end{pmatrix} = \begin{pmatrix} b_{11} \\ b_{12} \\ b_{13} \end{pmatrix}$$

یعنی، ${}^tBA(e_1) = f_1$ (به همین ترتیب به ازای $i = 2, 3$). بدین ترتیب $C = {}^tBA$ ، و چنان
که دیدیم انتقال T با $q - C(p)$ معین می گردد.

تمرینات

۱. اگر T يك انتقال باشد، نشان دهید که به ازای هر بردار مماس v ، $T_0(v)$ با v موازی
است (در يك دستگاه مختصات اقلیدسی).

۲. فرمولهای عمومی $(GF)_0 = G_0 F_0 = (F_0)^{-1} = (F^{-1})_0$ را در حالت خاصی که G و F
دو ایزومتري E^3 می باشند ثابت کنید.

۳. الف) گیریم e_1, e_2, e_3 يك سه وجهی در p با ماتریس ایستاری A باشد. اگر F يك
ایزومتري باشد که سه وجهی طبیعی در o را به این سه وجهی بدل کند، نشان دهید که
 $(A^{-1} = {}^tA) F = T_p A^{-1}$.

ب) اکنون گیریم f_1, f_2, f_3 سه وجهی در q با ماتریس ایستاری B باشد. با استفاده
از تمرین ۲ نشان دهید، بخش تعامد ایزومتري که سه وجهی e را به سه وجهی f بدل
می کند $B^{-1}A$ می باشد.

۴. الف) ثابت کنید که ایزومتري $F = TC$ صفحه ماربر p و عمود بر q را به صفحه ماربر
 $F(p)$ و عمود بر $C(q)$ بدل می کند.

ب) اگر P صفحه ماربر $(0, 1/2, -1, 0)$ و عمود بر $(0, 1, 0)$ باشد، ایزومتري
 $F = TC$ را طوری تعیین کنید که $F(P)$ صفحه ماربر $(1, -2, 1)$ و عمود بر
 $(1, 0, -1)$ باشد.

۵. سه وجهی $e_1 = (2, 2, 1)/3$ ، $e_2 = (-2, 1, 2)/3$ ، $e_3 = (1, -2, 2)/3$ در $p = (0, 1, 0)$
و سه وجهی $f_1 = (1, 0, 1)/\sqrt{2}$ ، $f_2 = (0, 1, 0)$ ، $f_3 = (1, 0, -1)/\sqrt{2}$ در $q = (3, -1, 1)$ در نظر می گیریم. مطلوب است
تعیین ایزومتري $F = TC$ که سه وجهی e را به سه وجهی f بدل می کند.

۳. جهتدهی

در اینجا به یکی از جالبترین مفاهیم هندسی که اشتباه انگیز است می پردازیم. از لحاظ تصور مفهوم جهت یا سو موجب تمایز بین دستکش دست راست و دستکش دست چپ در فضای معمولی می باشد. برای آنکه این مفهوم را به صورت ریاضی بیان کنیم به جای دستکشا سه وجهیهایی در نظر می گیریم، و همه سه وجهیهای E^3 را به صورت زیر به دو طبقه تقسیم می کنیم. چنان که در پیش دیدیم به هر سه وجهی e_1, e_2, e_3 در نقطه ای از E^3 ماتریس ایستاری A به آن متناظر قرار می گیرد. بنا بر ترمینهای بند ۱ فصل ۲ داریم:

$$e_1 \cdot e_2 \times e_3 = \det A = \pm 1$$

هنگامی که این عدد $+1$ باشد، سه وجهی e_1, e_2, e_3 را با جهت مثبت (یا راست)، و هنگامی که برابر -1 باشد سه وجهی را با جهت منفی (یا چپ) می نامیم. به آسانی می توان نکات زیر را اثبات کرد.

۱.۳. تبصره. (۱) در هر نقطه E^3 سه وجهی که با میدان سه وجهی طبیعی U_1, U_2, U_3 مشخص می شود دارای جهت مثبت است.

(۲) شرط لازم و کافی برای آنکه سه وجهی e_1, e_2, e_3 دارای جهت مثبت باشد آن است که $e_1 \times e_2 = e_3$. بدین ترتیب از لحاظ کاربرد، جهت يك سه وجهی را می توان با استفاده از «قانون دست راست» که در انتهای بند ۱ فصل ۲ بیان شد تعیین کرد. در شکل ۳.۳ سه وجهی (P) دارای جهت مثبت و سه وجهی (N) دارای جهت منفی است. سه وجهیهای فرجه همواره دارای جهت مثبت اند زیرا بنا بر تعریف $B = T \times N$.

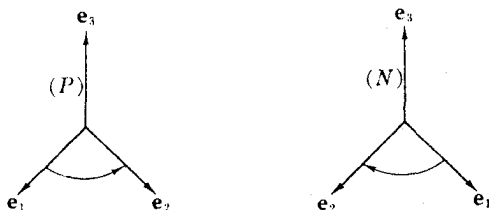
(۳) اگر سه وجهی e_1, e_2, e_3 دارای جهت مثبت باشد داریم

$$e_1 = e_2 \times e_3 = -e_3 \times e_2$$

$$e_2 = e_3 \times e_1 = -e_1 \times e_3$$

$$e_3 = e_1 \times e_2 = -e_2 \times e_1$$

در مورد سه وجهی با جهت منفی، باید ترتیب عوامل ضرب را عوض کرد. (حفظ کردن فرمولهای بالا لازم نیست، به آسانی می توان همه را از قانون دست راست نتیجه گرفت.)



شکل ۳.۳

همان طور که به هر سه وجهی از E^3 ، علامتی وابسته گردید، به هر ایزومتري F از E^3 نیز علامتی متناظر قرار می دهیم. در فصل ۲ اثبات شد که در مینان يك ماتريس متعامد برابر است با ± 1 . بدین ترتیب اگر C بخش متعامد ایزومتري F باشد، علامت F را با در مینان C تعريف می کنیم:

$$\operatorname{sgn} F = \det C$$

دیدیم که نگاشت مشتق يك ایزومتري سه وجهی را به سه وجهی بدل می کند. اکنون تأثیر آن را بر جهت سه وجهیها بررسی می کنیم.

۲.۳. لم. اگر e_1, e_2, e_3 يك سه وجهی در نقطه ای از E^3 و F يك ایزومتري باشد در این صورت، داریم

$$F_*(e_1) \cdot F_*(e_2) \times F_*(e_3) = \operatorname{sgn} F e_1 \cdot e_2 \times e_3$$

برهان. اگر $e_j = \sum a_{jk} U_k$ ، آنگاه بنا بر قضیه ۱.۲ داریم

$$F_*(e_j) = \sum_{i,k} c_{ik} a_{jk} \bar{U}_i$$

که در آن $C = (c_{ij})$ بخش متعامد F است. بدین ترتیب ماتريس ایستاری سه وجهی $(F_*(e_1), F_*(e_2), F_*(e_3))$ عبارت است از ماتريس

$$\left(\sum_k c_{ik} a_{jk} \right) = \left(\sum_k c_{ik} {}^t a_{kj} \right) = C {}^t A$$

اما حاصل ضرب مختلط سه وجهی با در مینان ماتريس ایستاری آن برابر است، و بنا بر تعريف $\operatorname{sgn} F = \det C$ در نتیجه

$$\begin{aligned} F_*(e_1) \cdot F_*(e_2) \times F_*(e_3) &= \det(C {}^t A) \\ &= \det C \cdot \det {}^t A = \det C \cdot \det A \\ &= \operatorname{sgn} F e_1 \cdot e_2 \times e_3 \end{aligned}$$

این لم نشان می دهد که اگر $\operatorname{sgn} F = +1$ ، آنگاه F_* سه وجهیهای با جهت مثبت را به سه وجهیهای با جهت مثبت، و سه وجهیهای با جهت منفی را به سه وجهیهای با جهت منفی بدل می کند، و اگر $\operatorname{sgn} F = -1$ ، مثبت به منفی و منفی به مثبت تبدیل می شود.

۳.۳. تعريف. اگر به ازای ایزومتري F از E^3 تساوی $\operatorname{sgn} F = \det C = +1$ برقرار باشد آن را سونگهداد، و اگر $\operatorname{sgn} F = \det C = -1$ ، آن را سوپرگردان می نامند. C بخش متعامد F است.

۴.۳ مثال

(۱) انتقال. هر انتقال سونگهدار است. از لحاظ هندسی این مطلب روشن است، و در واقع بخش تمامد انتقال T درست نگاشت همانی I می باشد، و

$$\operatorname{sgn} T = \det I = +1$$

(۲) دوران. تبدیل تمامد C در مثال ۲.۱ که \mathbf{E}^3 را حول محور z به زاویه θ دوران می دهد، سونگهدار است. زیرا ماتریس آن چنین است

$$\begin{pmatrix} \cos \theta & -\sin \theta & 0 \\ \sin \theta & \cos \theta & 0 \\ 0 & 0 & 1 \end{pmatrix}$$

و بنا بر این، $\operatorname{sgn} C = \det C = +1$ (تمرین ۴ را ببینید).

(۳) تقارن. می توان با استفاده از يك آینه تغییر جهت را مشاهده کرد. گیریم صفحه yz از \mathbf{E}^3 يك آینه باشد. هنگامی که در آن نگاه کنیم، نقطه $\mathbf{p} = (p_1, p_2, p_3)$ را در محل نقطه

$$R(\mathbf{p}) = (-p_1, p_2, p_3)$$

خواهیم دید (شکل ۴.۳). نگاشت R تقارن نسبت به صفحه yz نام دارد. روشن است که تبدیلی است تمامد با ماتریس:

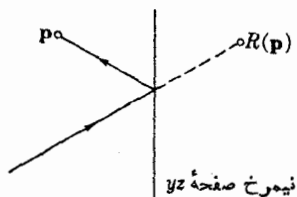
$$\begin{pmatrix} -1 & 0 & 0 \\ 0 & 1 & 0 \\ 0 & 0 & 1 \end{pmatrix}$$

بنا بر این R يك ایزومتري سو بر گردان است، تجربه نیز این مطلب را تأیید می کند. زیرا نگاره آینه‌ای يك دست راست، يك دست چپ است.

حاصل ضربهای داخلی و خارجی را اساساً بر حسب مختصات اقلیدسی تعریف کردیم،

و دیدیم

$$\mathbf{v} \cdot \mathbf{w} = (\sum v_i \mathbf{e}_i) \cdot (\sum w_i \mathbf{e}_i) = \sum v_i w_i$$



شکل ۴.۳

و این نتیجه از انتخاب سه وجهی $\mathbf{e}_1, \mathbf{e}_2, \mathbf{e}_3$ برای تعیین مختصات \mathbf{v} و \mathbf{w} مستقل است. درباره حاصل ضرب خارجی نیز تقریباً همین نتیجه برقرار است، اما در اینجا مسأله جهت پیش می آید.

۵.۳. لم. گیریم $\mathbf{e}_1, \mathbf{e}_2, \mathbf{e}_3$ يك سه وجهی در نقطه‌ای از \mathbf{E}^3 باشد. در این صورت بدازای

داریم $w = \sum w_i e_i$ و $v = \sum v_i e_i$:

$$v \times w = \epsilon \begin{vmatrix} e_1 & e_2 & e_3 \\ v_1 & v_2 & v_3 \\ w_1 & w_2 & w_3 \end{vmatrix}$$

که در آن $\epsilon = e_1 \cdot e_2 \times e_3 = \pm 1$.

برهان. کافی است با استفاده از فرمول (۳) تبصره ۱۰.۳ حاصل ضرب خارجی را بسط دهیم

$$v \times w = (v_1 e_1 + v_2 e_2 + v_3 e_3) \times (w_1 e_1 + w_2 e_2 + w_3 e_3)$$

مثلاً، هر گاه سه‌وجهی با جهت مثبت باشد، e_1 یعنی مؤلفه اول $v \times w$ برابر است با:

$$v_2 e_2 \times w_3 e_3 + v_3 e_3 \times w_2 e_2 = (v_2 w_3 - v_3 w_2) e_1$$

و در این حالت چون $\epsilon = 1$ ، همین نتیجه از طرف راست معادله‌ای که می‌خواهیم ثابت کنیم به دست می‌آید.

از اینجا دیده می‌شود که ایزومتري برجهت حاصل ضرب خارجی نیز دارای تأثیر است.

۶.۳. قضیه. اگر v و w دو بردار مماس بر E^3 در p ، و F یک ایزومتري از E^3 باشد، در این صورت

$$F_*(v \times w) = \text{sgn } F F_*(v) \times F_*(w)$$

برهان. گیریم $v = \sum v_i U_i(p)$ و $w = \sum w_i U_i(p)$. حال قرار می‌دهیم

$$e_i = F_*(U_i(p))$$

چون F_* خطی است، داریم

$$F_*(v) = \sum v_i e_i \quad \text{و} \quad F_*(w) = \sum w_i e_i$$

به آسانی با استفاده از لم ۵.۳ ثابت می‌شود که

$$F_*(v) \times F_*(w) = \epsilon F_*(v \times w)$$

که در آن

$$\epsilon = e_1 \cdot e_2 \times e_3 = F_*(U_1(p)) \cdot F_*(U_2(p)) \times F_*(U_3(p))$$

و چون U_1, U_2, U_3 با جهت مثبت است، بنابراین $\epsilon = \text{sgn } F$ داریم ۲.۳.

تمرینات

۰۱ ثابت کنید

$$\operatorname{sgn}(FG) = \operatorname{sgn} F \cdot \operatorname{sgn} G = \operatorname{sgn}(GF)$$

و از آن نتیجه بگیرید که $\operatorname{sgn} F = \operatorname{sgn}(F^{-1})$.

۰۲ اگر H_0 يك ایزومترى سوبر گردان از E^3 باشد، نشان دهید که هر ایزومترى سوبر گردان را می‌توان به‌طور یکتا به‌صورت $H_0 F$ بیان کرد که در آن F يك ایزومترى سونگهدار است.

۰۳ گیریم $v = (3, 1, -1)$ و $w = (-3, -3, 1)$ بردارهای مماس در يك نقطه باشند. اگر C تبدیل متعامدی باشد که در تمرین ۴ بند ۱ بیان شد، درستی فرمول زیر را تحقیق کنید

$$C_*(v \times w) = \operatorname{sgn} C C_*(v) \times C_*(w)$$

۰۴ دو دان عبارت است از يك تبدیل متعامد C به‌طوری که $\det C = +1$. برعکس ثابت کنید که هر تبدیل متعامد C با شرط بالا، E^3 را پیرامون يك محور دوران می‌دهد. به‌عبارت دیگر می‌توان عدد ϑ و نقاط e_1, e_2, e_3 را طوری تعیین کرد که $e_i \cdot e_j = \delta_{ij}$ (شکل ۵.۳) و داشته باشیم:

$$C(e_1) = \cos \vartheta e_1 + \sin \vartheta e_2$$

$$C(e_2) = -\sin \vartheta e_1 + \cos \vartheta e_2$$

$$C(e_3) = e_3$$

(راهنمایی: این واقعیت که بعد E^3 فرد است، بدین معنی است که C دارای ریشه مشخصه $+1$ است، لذا نقطه‌ای چون $p \neq 0$ وجود دارد به‌طوری که $C(p) = p$.)

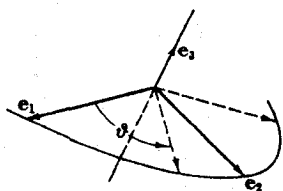
۰۵ گیریم a نقطه‌ای از E^3 با $\|a\| = 1$ باشد. ثابت کنید که فرمول

$$C(p) = a \times p + p \cdot a a$$

معرف يك تبدیل متعامد است. اثر کلی آن را بر E^3 مشخص کنید.

۰۶ ثابت کنید که

(الف) مجموعه $O^+(3)$ متشکل از همه دورانه‌های E^3 ، يك زیر گروه از گروه متعامد $O(3)$ است (تمرین ۸، فصل ۳ بند ۱ را ببینید).



شکل ۵.۳

(ب) مجموعه \mathcal{E}^+ متشکل از ایزومترهای سونگهدار E^3 يك زیر گروه از گروه اقلیدسی \mathcal{E} می باشد.

۰۷. يك فرمول برای همه ایزومترهای خط حقیقی E^1 بیابید. همچنین برای صفحه E^2 (از $\epsilon = \pm 1$ استفاده کنید). ایزومترهای سونگهدار را مشخص کنید.

۴. هندسه اقلیدسی

در آغاز این فصل یادآوری شد که يك خصوصیت بنیادی هندسه مسطحه عبارت است از آنکه اگر مثلثی به وسیله يك ایزومتري به مثلث دیگری تبدیل شود، آنگاه خواص هندسی این دو مثلث (قابل انطباق) عیناً یکی هستند. بررسی دقیق نشان می دهد که این حکم برهان نمی پذیرد و در واقع این درست «تعریف خاصیت هندسی مثلث» می باشد. به طور کلی هندسه اقلیدسی را می توان به عنوان کلیه مفاهیمی در نظر گرفت که به وسیله ایزومترهای فضای اقلیدسی حفظ می شوند. مثلاً فرع ۲.۲ نشان می دهد که مفهوم حاصل ضرب داخلی و بردار مماس به هندسه اقلیدسی تعلق دارد. به همین ترتیب قضیه ۶.۳ نشان می دهد که حاصل ضرب خارجی به وسیله ایزومترها محفوظ می ماند (بجز احیاناً علامت آن).

این تعریف مشهور هندسه اقلیدسی تا اندازه های کلی است، زیرا در عمل «هندسه اقلیدسی» با مفاهیمی سروکار دارد که به وسیله ایزومترهای فضای اقلیدسی حفظ می شوند، اما به وسیله تبدیلات دلخواه یا دسته محدودتری از آنها (دیفرئومرفیسمها) که دارای تبدیل معکوس نیز می باشند محفوظ نمی مانند. مثال زیر این تمایز را روشن می سازد. اگر $\alpha = (\alpha_1, \alpha_2, \alpha_3)$ خمی در E^3 باشد، در این صورت مشتقهای مختلف آن

$$\alpha' = \left(\frac{d\alpha_1}{dt}, \frac{d\alpha_2}{dt}, \frac{d\alpha_3}{dt} \right), \quad \alpha'' = \left(\frac{d^2\alpha_1}{dt^2}, \frac{d^2\alpha_2}{dt^2}, \frac{d^2\alpha_3}{dt^2} \right), \dots$$

وجه تشابهی دارند. اما قضیه ۸.۷ فصل اول را به صورت زیر تعبیر کردیم: نگاشت دلخواه $F: E^3 \rightarrow E^3$ هنگامی سرعت را حفظ می کند که اگر $\beta = F(\alpha)$ ، آنگاه داشته باشیم $\beta' = F_*(\alpha')$. اما به آسانی می توان دید که هر تبدیل دلخواه شتاب را حفظ نمی کند. مثلاً اگر $\alpha(t) = (t, 0, 0)$ ، و $F = (x^2, y, z)$ ، در این صورت داریم $\alpha'' = 0$ و بنابراین $F_*(\alpha'') = 0$ اما $\beta = F(\alpha)$ به صورت $\beta(t) = (t^2, 0, 0)$ می باشد، و در نتیجه $\beta'' = 2U_1$. بدین ترتیب $\beta = F(\alpha)$ و $\beta'' \neq F_*(\alpha'')$ اندکی بعد محفوظ بودن شتاب به وسیله ایزومترها را بررسی می کنیم.

بدین دلیل است که مفهوم شتاب به هندسه اقلیدسی و مفهوم سرعت فقط به آنالیز فضای اقلیدسی تعلق دارد. در این بند بعضی از مفاهیم را که در فصل ۲ بیان کردیم بررسی می کنیم و نشان می دهیم که به وسیله ایزومترها محفوظ می مانند. (خواننده به آسانی می تواند ثابت کند که این مفاهیم به وسیله دیفرئومرفیسمها حفظ نمی شوند.)

مفهوم میدان برداری روی يك خم (تعریف ۲.۲ فصل ۲) را دوباره یادآوری

می‌کنیم. اگر Y یک میدان برداری روی \mathbf{E}^3 و $\alpha: I \rightarrow \mathbf{E}^3$ و $F: \mathbf{E}^3 \rightarrow \mathbf{E}^3$ یک نگاشت باشد، در این صورت $\bar{Y} = F_*(Y)$ یک میدان برداری روی خم نگاره $\bar{\alpha} = F(\alpha)$ خواهد بود. زیرا به ازای هر t از I ، $Y(t)$ بردار مماس بر \mathbf{E}^3 در نقطه $\alpha(t)$ می‌باشد، و $\bar{Y}(t) = F_*(Y(t))$ بردار مماس بر \mathbf{E}^3 در نقطه $\bar{\alpha}(t) = F(\alpha(t))$ است. (این روابط در شکل ۶.۳ نشان داده شده‌اند.) ایزومتري مشتق این نوع میدانهای برداری را حفظ می‌کند.

۱.۴. فرع. اگر Y یک میدان برداری روی خم α در \mathbf{E}^3 ، و F یک ایزومتري از \mathbf{E}^3 باشد، در این صورت $\bar{Y} = F_*(Y)$ یک میدان برداری روی $\bar{\alpha} = F(\alpha)$ می‌باشد، و

$$\bar{Y}' = F_*(Y')$$

برهان. میدان برداری Y را بر حسب توابع مختصاتی اقلیدسی آن بیان می‌کنیم

$$Y = \sum y_j U_j$$

و از آنجا $F_*(Y')$ و \bar{Y}' را حساب می‌کنیم. برای پیدا کردن مشتق یک میدان برداری نظیر Y ، کافی است که از توابع مختصاتی اقلیدسی آن مشتق بگیریم

$$Y' = \sum \frac{dy_j}{dt} U_j$$

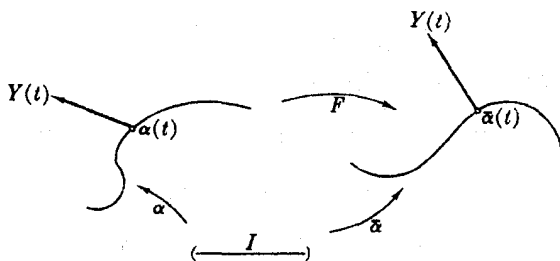
با استفاده از قضیه ۱.۲ داریم

$$F_*(Y') = \sum c_{ij} \frac{dy_j}{dt} \bar{U}_i$$

از طرف دیگر

$$\bar{Y} = F_*(Y) = \sum c_{ij} y_j \bar{U}_i$$

که در آن ثابتهای c_{ij} بنا بر تعریف، عناصر ماتریس بخش تعامد ایزومتري F می‌باشند. بنا بر این



شکل ۶.۳

$$\bar{Y}' = \sum \frac{d}{dt} (c_{ij} y_j) \bar{U}_i = \sum c_{ij} \frac{dy_j}{dt} \bar{U}_i$$

که نشان می‌دهد میدانهای برداری $F_*(Y')$ و \bar{Y}' یکی می‌باشند.

در بالا ادعا شد که ایزومتری شتاب را حفظ می‌کند: اگر $\bar{\alpha} = F(\alpha)$ و F یک ایزومتری باشد، در این صورت $\bar{\alpha}'' = F_*(\alpha'')$. این مطلب به سادگی از فرع بالا به دست می‌آید، زیرا اگر قرار دهیم $Y = \alpha'$ بنا بر قضیه ۸.۷ فصل اول داریم $\bar{Y} = \bar{\alpha}'$ و از آنجا

$$\bar{\alpha}'' = \bar{Y}' = F_*(Y') = F_*(\alpha'')$$

اکنون نشان می‌دهیم که دستگاه فرنه هر خم به وسیله ایزومتری محفوظ می‌ماند. این موضوع را قطعاً بر مبنای شهودی می‌توان حدس زد، زیرا حرکت صلب، هر خم را به خمی بدل می‌کند که چرخش و تاب متناظر آنها دقیقاً یکسان است. و هنگامی که ایزومتری جهت را حفظ کند، همین وضعیت به وجود می‌آید.

۲.۴. قضیه. اگر β خمی با تندی واحد در \mathbf{E}^3 با خمیدگی مثبت، و $\bar{\beta} = F(\beta)$ نگاره آن به وسیله ایزومتری F از \mathbf{E}^3 باشد، در این صورت

$$\bar{\kappa} = \kappa \quad \bar{T} = F_*(T)$$

$$\bar{\tau} = \text{sgn } F \tau \quad \bar{N} = F_*(N)$$

$$\bar{B} = \text{sgn } F F_*(B)$$

که در آن $\text{sgn } F = \pm 1$ ، علامت ایزومتری F است.

برهان. توجه شود که $\bar{\beta}$ نیز خمی با تندی واحد است، زیرا

$$\|\bar{\beta}'\| = \|F_*(\beta')\| = \|\beta'\| = 1$$

بدین ترتیب تعاریف بند ۳ فصل ۲ را می‌توان درباره β و $\bar{\beta}$ به کار برد.

$$\bar{T} = \bar{\beta}' = F_*(\beta') = F_*(T)$$

چون F_* هم شتاب و هم نرم را حفظ می‌کند، از تعریف خمیدگی نتیجه می‌شود که

$$\bar{\kappa} = \|\bar{\beta}''\| = \|F_*(\beta'')\| = \|\beta''\| = \kappa$$

اکنون برای تعیین سه وجهی فرنه از فرض $\kappa > 0$ (که از آن $\kappa > 0$ نتیجه

می‌شود، زیرا $\kappa = \kappa$) استفاده می‌کنیم. بنا بر تعریف، $N = \beta''/\kappa$ و در نتیجه

$$\bar{N} = \frac{\bar{\beta}''}{\kappa} = \frac{F_*(\beta'')}{\kappa} = F_*\left(\frac{\beta''}{\kappa}\right) = F_*(N)$$

اکنون حالت‌های جالب B و τ را بررسی می‌کنیم. چون $B = T \times N$ ، با استفاده از قضیه ۶.۳ خواهیم داشت

$$\bar{B} = \bar{T} \times \bar{N} = F_*(T) \times F_*(N) = \text{sgn } F F_*(T \times N) = \text{sgn } F F_*(B)$$

و چون تاب اساساً با $B \cdot N' = -B' \cdot N = \tau$ تعریف می‌شود با استفاده از نتایج بالا برای B و N ، خواهیم داشت

$$\tau = \bar{B} \cdot \bar{N}' = \text{sgn } F F_*(B) \cdot F_*(N') = \text{sgn } F B \cdot N' = \text{sgn } F \tau$$

وجود $\text{sgn } F$ در فرمول تاب مبین آن است که تاب خم دقیقتر از آنچه تاکنون می‌پنداشتیم وضعیت خم را مشخص می‌کند، زیرا علامت τ میزان جهت پیچش خم است. اگر F جهت را تغییر دهد فرمول $\tau = -\tau$ نشان می‌دهد که خم نگاره $F(\beta)$ درست در جهت مخالف خود β می‌پیچد.

یک مثال ساده این دگرجهتی را روشن می‌سازد.

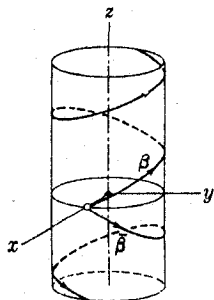
۳.۴. مثال. گیریم β مارپیچ باتندی واحد

$$\beta(s) = \left(\cos \frac{s}{c}, \sin \frac{s}{c}, \frac{s}{c} \right)$$

باشد، که از مثال ۳.۳ فصل ۲ با قرار دادن $a = b = 1$ ، و در نتیجه $c = \sqrt{2}$ ، به دست می‌آید. از فرمول کلی مارپیچها داریم $\kappa = \tau = 1/\sqrt{2}$. اکنون تقارن R نسبت به صفحه xy را که یک ایزومتري است در نظر می‌گیریم، لذا R ایزومتري زیر است $R(x, y, z) = (x, y, -z)$ خم نگاره $\bar{\beta} = R(\beta)$ عبارت است از

$$\bar{\beta}(s) = \left(\cos \frac{s}{c}, \sin \frac{s}{c}, -\frac{s}{c} \right)$$

چنان‌که در شکل ۷.۳ دیده می‌شود تقارن در اینجا نیز اثر معمولی خود را دارد: β و $\bar{\beta}$ در دو جهت مخالف می‌پیچند. اگر β «به سمت راست» جهتدار شده باشد، $\bar{\beta}$ «به سمت چپ» جهتدار شده است (این واقعیت که β به بالا و $\bar{\beta}$ به پایین می‌رود، به خودی خود، خارج از موضوع بحث ماست.) از لحاظ صوری: تقارن R سوبس‌گردان است. لذا این قضیه‌گویای این است که $\kappa = \kappa = 1/\sqrt{2}$



شکل ۷.۳

و $\bar{\tau} = -\tau = -1/2$. زیرا $\bar{\beta}$ درست همان مارپیچ مثال ۳.۳ فصل ۲ است که در آن $a=1$ و $b=-1$ گرفته شده است و می توان این مطلب را از روی فرمول کلی آن تحقیق کرد.

تمرینات

۱. گیریم $F=TC$ یک ایزومتری از E^3 و β خمی بانندی واحد در E^3 باشد. ثابت کنید که (الف) اگر β مارپیچ استوانه‌ای باشد، $F(\beta)$ نیز یک مارپیچ استوانه‌ای است.

(ب) اگر $\tilde{\beta}$ نگاره‌ی β روی β باشد، $C(\tilde{\beta})$ نیز نگاره‌ی C روی $F(\beta)$ است.

۲. گیریم $Y = (t, 1-t^2, 1+t^2)$ یک میدان برداری روی مارپیچ

$$\alpha(t) = (\cos t, \sin t, 2t)$$

و C تبدیل متعامد

$$C = \begin{pmatrix} -1 & 0 & 0 \\ 0 & \frac{1}{\sqrt{2}} & -\frac{1}{\sqrt{2}} \\ 0 & \frac{1}{\sqrt{2}} & \frac{1}{\sqrt{2}} \end{pmatrix}$$

باشد. مطلوب است محاسبه $\bar{\alpha} = C(\alpha)$ و $\bar{Y} = C_*(Y)$ و تحقیق تساویهای زیر

$$C_*(Y') = \bar{Y}', \quad C_*(\alpha'') = \bar{\alpha}'', \quad Y' \cdot \alpha'' = \bar{Y}' \cdot \bar{\alpha}''$$

۳. در E^3 مثلثهایی با رأسهای

$$\Delta_1 : (3, 1), (7, 1), (7, 4) \quad \Delta_2 : (2, 0), (2, 5), \left(-\frac{2}{5}, \frac{16}{5}\right)$$

را در نظر می گیریم. ثابت کنید که این مثلثها قابل انطباق اند، بدین ترتیب یک ایزومتری F که Δ_1 را به Δ_2 منتقل کند بیابید. (داهنمایی: بخش تمامد F در اثر انتقال مثلثها تغییر نمی کند.)

۴. اگر $F: E^3 \rightarrow E^3$ نگاشتی باشد که به ازای آن F حاصل ضرب داخلی را حفظ کند، نشان دهید که F یک ایزومتری است. (داهنمایی: از مثال ۱۱، فصل ۲ بند ۲ استفاده کنید.)

۵. اگر F یک ایزومتری از E^3 باشد، و به ازای هر میدان برداری V میدان برداری V با

به وسیله ایزومترها حفظ می شوند، یعنی نشان دهید که $\overline{\nabla_p W} = \nabla_p W$.
 ثابت کنید که مشتقهای کوواریان $F_*(V(p)) = \bar{V}(F(p))$ (به ازای هر p) تعریف گردد، ثابت کنید که مشتقهای کوواریان

۵. انطباق خمها

در بارهٔ خمهای E^3 ، مفهوم کلی انطباق به صورت زیر بیان می شود.

۱.۵. تعریف. دو خم $\alpha, \beta: I \rightarrow E^3$ را قابل انطباق نامند اگر بتوان ایزومتري F از E^3 را طوری تعیین کرد که داشته باشیم $\beta = F(\alpha)$ ؛ یعنی به ازای هر t از I ،
 $\beta(t) = F(\alpha(t))$.

به بیان شهودی دو خم قابل انطباق فقط از لحاظ وضع قرار گرفتن در فضا با هم اختلاف دارند، و معرف لغزشهایی با تندی یکسان در دو مسیرهای هم شکل اند. مثلاً مارپیچ $\alpha(t) = (\cos t, \sin t, t)$ که حول محور z ها مسی پیچد بسا مارپیچ $\beta(t) = (t, \cos t, \sin t)$ که حول محور x ها مسی پیچد دو خم قابل انطباق را نشان می دهند، زیرا اگر F یک ایزومتري باشد به طوری که

$$F(p_1, p_2, p_3) = (p_2, p_1, p_3)$$

$$F(\alpha) = \beta \text{ آنگاه}$$

برای تشخیص قابلیت انطباق دو خم α و β عملاً به دشواری می توان همهٔ ایزومترهای E^3 را بررسی کرد تا معلوم شود که آیا می توان یک ایزومتري یافت که α را به β تبدیل کند. برای این منظور اساساً باید شکل یک خم با تندی واحد را با دقتی معلوم کنیم که اگر α و β دارای مشخصات یکسان بودند قابل انطباق باشند. همان طور که حدس زده می شود، این خصوصیات باخمیدگی و تاب مشخص می گردند. برای اثبات این نکته به یک لم مقدماتی نیازمندیم.

دو خم که با انتقال منطبق می گردند موازی نام دارند. بدین ترتیب شرط لازم و کافی برای آنکه دو خم $\alpha, \beta: I \rightarrow E^3$ موازی باشند آن است که بتوان نقطهٔ p از E^3 را طوری تعیین کرد که به ازای هر s در I داشته باشیم $\beta(s) = \alpha(s) + p$ یا با قرارداد تسامعی
 $\beta = \alpha + p$.

۲.۵. لم. دو خم $\alpha, \beta: I \rightarrow E^3$ هنگامی موازی اند که بردار سرعت آنها $\alpha'(s)$ و $\beta'(s)$ به ازای هر s از I موازی باشند، و در این حالت اگر به ازای یک مقدار s_0 داشته باشیم
 $\alpha(s_0) = \beta(s_0)$ آنگاه $\alpha = \beta$.

برهان. بنابر تعریف، اگر $\alpha'(s)$ و $\beta'(s)$ موازی باشند، مختصات اقلیدسی آنها یکی است. یعنی

$$\frac{d\alpha_i}{ds}(s) = \frac{d\beta_i}{ds}(s) \quad 1 \leq i \leq 3 \quad \text{به ازای}$$

که در آن α_i و β_i توابع مختصاتی اقلیدسی α و β می باشند. اما به موجب حساب دیفرانسیل و انتگرال مقدماتی، معادله $d\alpha_i/ds = d\beta_i/ds$ ایجاب می کند که یک نقطه ثابت p_i وجود داشته باشد به طوری که $\beta_i = \alpha_i + p_i$. از این رو $\beta = \alpha + p$ ، و نیز اگر $\alpha(s_0) = \beta(s_0)$ داریم $p = 0$ و بنا بر این $\alpha = \beta$.

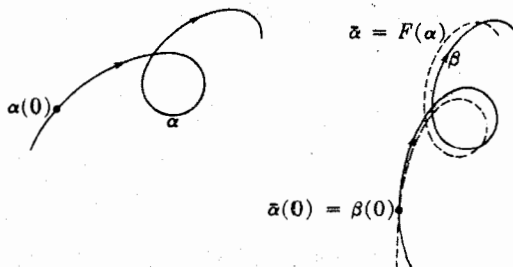
۳.۵. قضیه. اگر $\alpha, \beta: I \rightarrow E^3$ دو خم یا تندی واحد باشند به طوری که $\kappa_\alpha = \kappa_\beta$ و $\tau_\alpha = \pm \tau_\beta$ در این صورت α و β قابل انطباق اند.

برهان. برای اثبات، نخست α را به طور مناسب به خم قابل انطباق $F(\alpha)$ بدل می کنیم، و سپس نشان می دهیم که $F(\alpha) = \beta$ (شکل ۸.۳).

برای این منظور، با توجه به قضیه ۲.۴، در فاصله I عددی، مثلاً 0 ، را در نظر می گیریم. اگر $\tau_\alpha = \tau_\beta$ در این صورت ایزومتیری که سهوجهی فرنه $T_\alpha(0)$ ، $N_\alpha(0)$ ، $\beta(0)$ از خم α در $\alpha(0)$ را به سهوجهی فرنه $T(0)$ ، $N(0)$ ، $B(0)$ از خم β در $\beta(0)$ بدل می کند (و سونگهدار باشد) به عنوان F انتخاب می کنیم. (وجود این ایزومتیری از قضیه ۲.۳ نتیجه می شود.) دستگاه فرنه خم $\bar{\alpha} = F(\alpha)$ را با $\bar{\tau}$ ، \bar{T} ، \bar{N} ، \bar{B} نشان می دهیم، بنا بر قضیه ۲.۴ داریم:

$$\begin{aligned} \bar{\alpha}(0) &= \beta(0) & \bar{T}(0) &= T(0) \\ \bar{\kappa} &= \kappa_\beta & \bar{N}(0) &= N(0) \\ \bar{\tau} &= \tau_\beta & \bar{B}(0) &= B(0) \end{aligned} \quad (+)$$

از طرف دیگر اگر $\tau_\alpha = -\tau_\beta$ ایزومتیری که سهوجهی فرنه در $\alpha(0)$ را به سهوجهی فرنه در $\beta(0)$ بدل می کند (و سوبرگردان باشد) به عنوان F انتخاب می کنیم.



شکل ۸.۳

در این صورت بنا بر قضیه ۲.۴ دیده می شود که به ازای β و $\bar{\alpha} = F(\alpha)$ معادلات (\dagger) برقرارند. مثلاً

$$\bar{B}(\circ) = -F_*(B_\alpha(\circ)) = B(\circ)$$

اکنون نشان می دهیم که $\bar{T} = T$ ؛ یعنی بردارهای یکدیگر مماس $\bar{\alpha}$ و β در هر نقطه موازی اند. چون $\bar{\alpha}(\circ) = \beta(\circ)$ ، از لم ۲.۵ نتیجه می شود که $F(\alpha) = \beta$. تسایع با مقدار حقیقی $f = T \cdot T + \bar{N} \cdot N + \bar{B} \cdot B$ را روی فاصله I در نظر می گیریم. چون اینها میدانهای برداری یکدیگر هستند، بنا بر نامساوی شوارتس (فصل ۲، بند ۱) داریم

$$\bar{T} \cdot T \leq 1$$

و بعلاوه $\bar{T} \cdot T = 1$ ، اگر، فقط اگر، $\bar{T} = T$. برای دو جمله دیگر f نیز همین خواص موجود است. بنا بر این کافی است نشان دهیم که f همواره دارای مقدار ثابت ۳ است. از معادلات (\dagger) به آسانی دیده می شود که $f(\circ) = 3$ ، از طرف دیگر داریم

$$f' = \bar{T}' \cdot T + \bar{T} \cdot T' + \bar{N}' \cdot N + \bar{N} \cdot N' + \bar{B}' \cdot B + \bar{B} \cdot B'$$

با در نظر گرفتن معادلات $\bar{\tau} = \tau$ و $\bar{\kappa} = \kappa$ و استفاده از فرمولهای (\dagger) فرجه خواهیم داشت $f' = 0$ ، بنا بر این f همواره دارای مقدار ثابت ۳ می باشد.

بنابراین در E^3 هر خم باتندی واحد به وسیله خمیدگی κ و تاب τ کاملاً مشخص می شود (بجز وضع قرار گرفتن آن).

در اثبات قضیه ۳.۵ فقط قابلیت انطباق α و β اثبات شد، بلکه ایزومتیری که این دو خم را بهم بدل می کند صریحاً محاسبه شد. این امر را در یک مورد خاص نشان می دهیم.

۴.۵. مثال. خمهای باتندی واحد $\alpha, \beta: \mathbf{R} \rightarrow E^3$ به طوری که:

$$\alpha(s) = \left(\cos \frac{s}{c}, \sin \frac{s}{c}, \frac{s}{c} \right)$$

$$\beta(s) = \left(\cos \frac{s}{c}, \sin \frac{s}{c}, -\frac{s}{c} \right)$$

با $c = \sqrt{2}$ را در نظر می گیریم. بدیهی است که این دو خم به وسیله یک تقارن قابل انطباق اند. این دو خم را در مثال ۳.۴ بررسی کردیم، اما از آن صرف نظر می کنیم و بدروش کلی تعیین ایزومتیری مطلوب می پردازیم. در مثال ۳.۳ فصل ۲ دیدیم که $\kappa_\alpha = 1/\sqrt{2} = \kappa_\beta$ و $\tau_\alpha = 1/\sqrt{2} = -\tau_\beta$ و بنا بر قضیه بالا این دو خم به وسیله یک ایزومتیری سوبرگردان F قابل انطباق خواهند بود، و چنان که در اثبات قضیه دیدیم F باید سه وجهی فرجه

$$T_\alpha(\circ) = (\circ, a, a)$$

$$N_{\alpha}(o) = (-1, 0, 0)$$

$$B_{\alpha}(o) = (0, -a, a)$$

را به سه وجهی فرته

$$T_{\beta}(o) = (0, a, -a)$$

$$N_{\beta}(o) = (-1, 0, 0)$$

$$-B_{\beta}(o) = (0, -a, -a)$$

که در آن $a = 1/\sqrt{2}$ بدل کند. (این دستورهای صریح از مثال ۳.۳ فصل ۲ به دست می آیند.) بنا بر مطالب ذیل قضیه ۳.۲ بخش تعامد F عبارت است از $C = BA$ که در آن A و B ماتریسهای ایستاری سه وجهیهای بالا می باشند. بدین ترتیب

$$C = \begin{pmatrix} 0 & -1 & 0 \\ a & 0 & -a \\ -a & 0 & -a \end{pmatrix} \begin{pmatrix} 0 & a & a \\ -1 & 0 & 0 \\ 0 & -a & a \end{pmatrix} = \begin{pmatrix} 1 & 0 & 0 \\ 0 & 1 & 0 \\ 0 & 0 & -1 \end{pmatrix}$$

زیرا $a = 1/\sqrt{2}$. نقطه اُردو سه وجهی یکی است $\alpha(o) = \beta(o) = (1, 0, 0)$ و چون C این نقطه را تغییر نمی دهد، بخش انتقال F نگاهت همانی است. بنا بر این $F = C$ که یک تقارن است، α را به β تبدیل می کند.

از لحاظ هندسه اقلیدسی، در E^3 خمهایی که با یک ایزومتري به هم بدل می شوند «یکی» اند. مثلاً مارپیچ تنها خمی که حول محور z مانند مثال ۳.۳ فصل ۲ می پیچد نیست، بلکه هر خمی که با آن قابل انطباق باشد مارپیچ است، و به طور کلی با خاصیت زیر مشخص می گردد.

۵.۵. فرع. شرط لازم و کافی برای آنکه خم α با تندی واحد در E^3 مارپیچ باشد، آن است که خمیدگی و تاب آن ثابت و مخالف صفر باشد.

برهان. به ازای هر عدد $a > 0$ و $b \neq 0$ مارپیچ مثال ۳.۳ فصل ۲ را با $\beta_{a,b}$ نشان می دهیم. اگر α با $\beta_{a,b}$ قابل انطباق باشد، پس (با تغییر علامت b در صورت لزوم) می توان فرض کرد که ایزومتري سونگهدار است. بدین ترتیب α دارای خمیدگی و تاب

$$\kappa = \frac{a}{a^2 + b^2}, \quad \tau = \frac{b}{a^2 + b^2}$$

می باشد.

برعکس اگر α دارای خمیدگی و تاب ثابت و مخالف صفر باشد، از حل دو معادله بالا خواهیم داشت

$$a = \frac{\kappa}{\kappa^2 + \tau^2}, \quad b = \frac{\tau}{\kappa^2 + \tau^2}$$

بدین ترتیب خمیدگی و تاب α و β برابرند، و در نتیجه این دو خم قابل انطباق اند.
 برای رسیدن به نتایج بالا خم را با تندى واحد فرض کردیم اما می توان این قید را حذف کرد.

۶.۵. فرع. دو خم $\alpha, \beta: I \rightarrow E^3$ با تندى دلخواه در نظر می گیریم. اگر

$$v_\alpha = v_\beta > 0, \quad \kappa_\alpha = \kappa_\beta > 0, \quad \text{و} \quad \tau_\alpha = \pm \tau_\beta$$

در این صورت خمهای α و β قابل انطباق اند.

برهان. گیریم $\bar{\alpha}$ و $\bar{\beta}$ تعویض پارامتر با تندى واحد خمهای α و β باشند، و نقطه آغازی بر هر دو $t=0$ باشد. چون تابع تندى α و β یکی است، تابع طول قوس آنها $s = s(t)$ یکی، و همچنین تابع معکوس آن $t = t(s)$ نیز یکی است. اما چون:

$$\kappa_\alpha = \kappa_\beta \quad \text{و} \quad \tau_\alpha = \pm \tau_\beta$$

با استفاده از تعاریف کلی خمیدگی و تاب که در بند ۴ فصل ۲ بیان شد داریم:

$$\kappa_{\bar{\alpha}}(s) = \kappa_\alpha(t(s)) = \kappa_\beta(t(s)) = \kappa_{\bar{\beta}}(s)$$

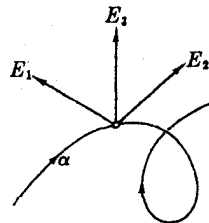
$$\tau_{\bar{\alpha}}(s) = \tau_\alpha(t(s)) = \pm \tau_\beta(t(s)) = \pm \tau_{\bar{\beta}}(s)$$

و بنا بر قضیه ۳.۵، $\bar{\alpha}$ و $\bar{\beta}$ قابل انطباق اند، یعنی $F(\bar{\alpha}) = \bar{\beta}$. اما دیده می شود که همین ایزومتري α را به β بدل می کند، زیرا

$$F(\alpha(t)) = F(\bar{\alpha}(s(t))) = F(\bar{\beta}(s(t))) = F(\beta(t))$$

نظریه خمها که در اینجا بیان شد فقط به خمهای منظم با خمیدگی مثبت اختصاص دارد، زیرا به طور کلی فقط برای این خمها می توان میدان سه وجهی فرنه را تعریف کرد. درباره خم دلخواه α از E^3 می توان از میدانهای سه وجهی دلخواه روی α استفاده کرد، یعنی سه میدان برداری یکانی E_1, E_2, E_3 روی α که در هر نقطه آن متعامد باشند (شکل ۹.۳).

مثلاً قضیه ۳.۵ را می توان به آسانی درباره خمهای دلخواه تعمیم داد.



شکل ۹.۳

۷.۵. قضیه. گیریم $\alpha, \beta: I \rightarrow E^3$ خمهای دلخواه، E_1, E_2, E_3 يك میدان سه وجهی

روی α و F_1, F_2, F_3 يك میدان سه وجهی روی β باشد. اگر داشته باشیم:

$$\alpha' \cdot E_i = \beta' \cdot F_i \quad (1 \leq i \leq 3) \quad (1)$$

$$E'_i \cdot E_j = F'_i \cdot F_j \quad (1 \leq i, j \leq 3) \quad (2)$$

در این صورت α و β قابل انطباق اند.

برهان. برای اثبات، استدلال قضیه ۳.۵ را تعمیم می‌دهیم. عددی، مثلاً o ، را در I در نظر می‌گیریم، و گیریم F يك ایزومتري باشد که $E_1(o), E_2(o), E_3(o)$ را به $F_1(o), F_2(o), F_3(o)$ بدل می‌کند. چون F_* حاصل ضرب داخلی را حفظ می‌کند، بنابراین $\bar{E}_i = F_*(E_i)$ ($1 \leq i \leq 3$) يك میدان سه وجهی روی $\alpha = F(o)$ خواهد بود. چون F_* سرعتها و مشتقهای میدانهای برداری را حفظ می‌کند، خواهیم داشت:

$$\bar{\alpha}(o) = \beta(o) \quad \bar{\alpha}' \cdot \bar{E}_i = \beta' \cdot F_i \quad (+)$$

$$\bar{E}_i(o) = F_i(o) \quad \bar{E}'_i \cdot \bar{E}_j = F'_i \cdot F_j \quad 1 \leq i, j \leq 3$$

معادلهٔ اخیر نشان می‌دهد که می‌توان نوشت $\bar{E}'_i = \sum a_{ij} \bar{E}_j$ و $F'_i = \sum a_{ij} F_j$ و توابع ضریب a_{ij} در هر دو عبارت یکی هستند. توجه شود که داریم $a_{ij} + a_{ji} = 0$ (از $\bar{E}_i \cdot \bar{E}_j = \delta_{ij}$ مشتق می‌گیریم). اگر $f = \sum \bar{E}_i \cdot F_i$ ، درست مانند پیش ثابت می‌شود که $f = 3$ ، زیرا

$$f' = \sum (\bar{E}'_i \cdot F_i + \bar{E}_i \cdot F'_i) = \sum (a_{ij} + a_{ji}) \bar{E}_j \cdot F_i = 0$$

بدین ترتیب $\bar{E}_i = F_i$ (خاصیت توازلی!) و در نتیجه با استفاده از (+) ثابت می‌شود که

$$\bar{\alpha}' = \sum \bar{\alpha}' \cdot \bar{E}_i \bar{E}_i \quad \text{و} \quad \beta' = \sum \beta' \cdot F_i F_i$$

در هر نقطه موازی اند، و چون داریم $\bar{\alpha}(o) = \beta(o)$ بنا بر لم ۲.۵ خواهیم داشت

$$F(\alpha) = \bar{\alpha} = \beta$$

این تعمیم در فصل ۶، بند ۸ مورد نیاز است. صورت دیگری از این قضیه را در تمرین ۳ بررسی می‌کنیم (البته عمومیت آن کمتر ولی بیان آن بهتر است).

تمرینات

۱. خم $\alpha = (\alpha_1, \alpha_2, \alpha_3) : I \rightarrow \mathbb{E}^3$ را در نظر می‌گیریم، ثابت کنید شرط لازم و کافی برای آنکه خم $\beta : I \rightarrow \mathbb{E}^3$ با α قابل انطباق باشد آن است که بتوان β را به صورت

$$\beta(t) = p + \alpha_1(t)e_1 + \alpha_2(t)e_2 + \alpha_3(t)e_3$$

که در آن $e_i \cdot e_j = \delta_{ij}$ نوشت.

۴. خم α مثال ۴.۴ فصل ۲ را در نظر می‌گیریم. خمی به صورت $\gamma(t) = (at, bt^2, ct^3)$ را طوری تعیین کنید که با α قابل انطباق باشد و يك ایزومتري F بیابید که به ازای آن $F(\alpha) = \gamma$.

۳. میدان سه وجهی E_1, E_2, E_3 را روی E^3 با فرمهای دوگان θ_i و فرمهای همبندی ω_{ij} در نظر می‌گیریم. ثابت کنید که دو خم $\alpha, \beta: I \rightarrow E^3$ هنگامی قابل انطباق اند که داشته باشیم

$$\theta_i(\alpha') = \theta_i(\beta') \quad \text{و} \quad \omega_{ij}(\alpha') = \omega_{ij}(\beta') \quad 1 \leq i, j \leq 3$$

۴. با محاسبه خمیدگی و تاب خم

$$\beta(t) = (t + \sqrt{3} \sin t, 2 \cos t, \sqrt{3} t - \sin t)$$

ثابت کنید که این خم يك مارپیچ است. يك مارپیچ α به صورت $(a \cos t, a \sin t, bt)$ و يك ایزومتري F را طوری تعیین کنید که $F(\alpha) = \beta$.

۵. گیریم خمهای $\alpha, \beta: I \rightarrow E^3$ قابل انطباق و با خمیدگی مثبت باشند. ثابت کنید که فقط يك ایزومتري F وجود دارد به طوری که $F(\alpha) = \beta$ ، مگر آنکه $\tau = 0$ ، که در این حالت دو ایزومتري وجود خواهد داشت.

۶. (۱۵هه). مطلوب است تعیین دوایزومتري که سهمی $\alpha(t) = (\sqrt{2}t, t^2, 0)$ را به سهمی $\beta(t) = (-t, t, t^2)$ بدل کنند.

۷. اگر β خمی با تندی واحد در E^3 باشد، در این صورت هر تعویض پارامتر با تندی واحد $\bar{\beta}$ از آن به صورت $\bar{\beta}(s) = \beta(\pm s + s_0)$ خواهد بود. اگر β و $\bar{\beta}$ قابل انطباق باشند، تعویض پارامترمز بور معرف يك تقارن در مسیر مشترك β و $\bar{\beta}$ می‌باشد. ثابت کنید که مسیرهای مارپیچی کاملاً متقارن اند. یعنی صریحاً نشان دهید که مارپیچ β مذکور در مثال ۳.۳ فصل ۲ با هر تعویض پارامتر با تندی واحد $\bar{\beta}$ قابل انطباق است و برای این منظور ایزومتري $F = TC$ را صریحاً طوری تعیین کنید که $F(\beta) = \bar{\beta}$.

۸. دو خم $\alpha: I \rightarrow E^3$ و $\beta: I \rightarrow E^3$ هنگامی دارای مسیرهای قابل انطباق اند که بتوان ایزومتري F را طوری تعیین کرد که $F(\alpha)$ يك تعویض پارامتر β باشد.

الف. نشان دهید شرط لازم و کافی برای آنکه دو خم α و β با تندی واحد دارای مسیرهای قابل انطباق باشند آن است که بتوان عدد s_0 را طوری تعیین کرد که داشته باشیم $\kappa_\alpha(s) = \kappa_\beta(\epsilon s + s_0)$ و $\tau_\alpha(s) = \pm \tau_\beta(\epsilon s + s_0)$ که در آنها ϵ برابر ± 1 یا -1 می‌باشد.

ب. اگر α خم تمرین ۲ بند ۴ فصل ۲ باشد، نشان دهید که با خم $\beta = (\frac{1}{2}e^t, e^{-t}/2, t)$ دارای مسیرهای قابل انطباق می‌باشند. ایزومتري $F = TC$ و تعویض پارامتر لازم را بیابید.

سه تمرین زیر در باره خمهای E^2 است.

۹. تابع دیرفرانسیلپذیر* κ روی فاصله I مفروض است، ثابت کنید که می توان در E^2 خم α با تندی واحد را طوری تعیین کرد که تابع خمیدگی آن همان κ باشد. (دانهمایی: باعکس کردن ترتیب نتایج تمرین ۸، فصل ۲ بند ۳، فرمول انتگرالی برای α پیدا کنید.)

۱۰. خمهای مسطح زیر را به هر صورت پارامتری مناسبی که ممکن است بیابید

$$\text{الف. } \kappa(s) = 1/(1+s^2) \text{ ب. } \kappa(s) = 1/s \ (s > 0)$$

که در آن s طول قوس را نشان می دهد.

۱۱. ثابت کنید شرط لازم و کافی برای آنکه دو خم α و β در E^2 با تندی واحد قابل انطباق

$$\text{باشند آن است که } \kappa_\alpha = \pm \kappa_\beta.$$

۶. خلاصه

نتیجه اساسی این فصل آن است که هر ایزومتري فضای اقلیدسی را می توان به طور یکتا از ترکیب يك تبدیل متعامد و يك تقارن به دست آورد. نتایج مهم آن عبارت اند از آنکه نگاشت مشتق هر ایزومتري F در هر نقطه درست همان بخش تعامد F می باشد، و دیگر آنکه تنها يك ایزومتري وجود دارد که سه وجهی مفروضی را به سه وجهی دیگر بدل می کند. بدین ترتیب تشخیص مفاهیمی که به هندسه اقلیدسی تعلق دارند بسیار آسان می گردد، یعنی ملاک، تغییر ناپذیری آنها به وسیله ایزومترهای فضای اقلیدسی می باشد. بالاخره مشا به قضای معروف انطباق مثلثها، «ض، ز، ض» و «ض، ض، ض» در هندسه مسطحه مقدماتی را درباره خمها اثبات کردیم، یعنی نشان دادیم که خمیدگی و تاب (و تندی) شرط لازم و کافی برای قابلیت انطباق دو خم را به دست می دهند. علاوه بر این ایزومتري مزبور را نیز می توان مستقیماً محاسبه کرد.

* حتی اگر κ فقط پیوسته باشد، خمی دوبار دیرفرانسیلپذیر به دست می آوریم. همین نتایج را می توان برای خمهای E^3 با استفاده از دستگاههای معادلات دیرفرانسیل معمولی به دست آورد. نگاه کنید به ویلمور [۳].

حساب دیفرانسیل روی رویه‌ها

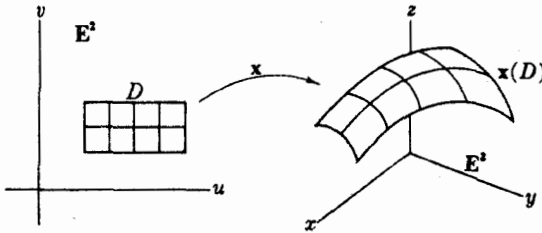
این فصل با تعریف رویه در E^3 و روشهای متداول ساختن رویه‌ها آغاز می‌گردد. با آنکه این مفهوم را کم و بیش همه می‌شناسند، اما همه، آن گونه که شاید بایند، از وجود حساب دیفرانسیل و انتگرال برای هر رویه که با حساب دیفرانسیل و انتگرال معمولی روی صفحه اقلیدسی E^2 مشابه است آگاه نیستند. عناصر این حساب - توابع، میدانهای برداری، فرمهای دیفرانسیلی، نگاشتها - منحصرأ به رویه مزبور متعلق‌اند، نه بد فضای اقلیدسی E^3 که رویه مزبور در آن واقع است. چنان‌که در بند آخر خواهیم دید این حساب پس از حذف E^3 و ابقای رویه تنها بدون هیچ‌گونه خللی باقی می‌ماند.

۱. رویه‌ها در E^3

یک رویه در E^3 ، اصولاً زیرمجموعه‌ای از E^3 یعنی مجموعه‌ای است از نقاط E^3 . البته همه زیر مجموعه‌ها رویه نیستند: باید شرط همواری و دوبعدی بودن رویه را در نظر بگیریم، این شرایط را با عبارتهای ریاضی در دو تعریف زیر بیان می‌کنیم.

۱.۱. تعریف. نگاشت منظم یک به یک $x: D \rightarrow E^3$ از یک زیرمجموعه باز D از E^2 در E^3 را قطعه مختصاتی می‌نامند.

$x(D)$ نگاره قطعه مختصاتی x ، یعنی مجموعه همه مقادیر x ، زیرمجموعه‌ای دوبعدی و هموار از E^3 می‌باشد (شکل ۱.۴).



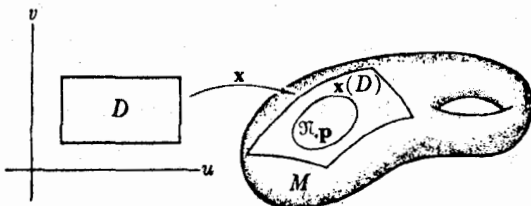
شکل ۱.۴

منظم بودن قطعه x (تعریف ۹.۷ فصل ۱)، مانند منظم بودن آنها یک شرط اساسی همواری است، شرط یک به یک بودن برای آن است که $x(D)$ خود را قطع نکند. اغلب برای رفع بعضی از دشواریها (مثال ۷.۱) از قطعه مختصاتی خاص استفاده خواهیم کرد، یعنی قطعه‌هایی که برای آنها تابع معکوس $D \rightarrow x(D): x^{-1}$ پیوسته است (به عبارت دیگر دارای توابع مختصاتی پیوسته می‌باشد). اگر D را به صورت یک ورقه نازک لاستیکی تصور کنیم، $x(D)$ از خم کردن و کشیدن آن (نه چندان شدید) به دست می‌آید.

برای تعریف مناسب رویه، از این تصور که هر ناحیه به قدر کافی کوچک از یک رویه M با ناحیه‌ای در صفحه E^2 مشابه است، استفاده می‌کنیم. بررسی بالا نشان می‌دهد که این مطلب را می‌توان تا اندازه‌ای دقیقتر به صورت زیر بیان کرد: M را در مجاورت هر یک از نقاطش می‌توان به صورت نگاره یک قطعه مختصاتی خاص بیان کرد. (وقتی نگاره یک قطعه x در M باشد، گوییم x قطعه‌ای در M است). برای بیان شکل نهایی این تعریف فقط کافی است برای هر نقطه p در M یک همسایگی \mathcal{N}_p مشکل از همه نقاط متعلق به M که مسافت اقلیدسی آنها تا p از عدد $\varepsilon > 0$ کوچکتر است را تعریف کنیم.

۲.۱. تعریف. یک رویه در E^3 عبارت است از یک زیر مجموعه M از E^3 که به ازای هر نقطه p از آن یک قطعه مختصاتی در M وجود داشته باشد که نگاره آن شامل یک همسایگی نقطه p در M باشد (شکل ۲.۴).

رویه‌های معمولی که در حساب دیفرانسیل و انتگرال مقدماتی مورد استفاده هستند،



شکل ۲.۴

در این تعریف صدق می‌کنند؛ به‌عنوان مثال نشان می‌دهیم که کره یکه Σ در E^3 یک رویه است. بنا بر تعریف، Σ عبارت است از همه نقاطی که مسافت آنها تا مبدأ برابر واحد است، یعنی همه نقاط p به‌طوری که

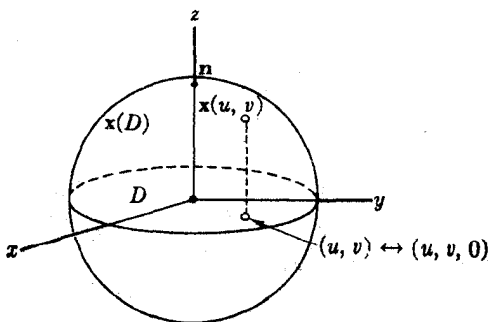
$$\|p\| = (p_x^2 + p_y^2 + p_z^2)^{1/2} = 1$$

برای آنکه نشان دهیم که این رویه در تعریف بالا صدق می‌کند، به تعیین یک قطعه مختصاتی خاص در Σ که شامل یک همسایگی قطب شمالی $(0, 0, 1)$ است می‌پردازیم. دیده می‌شود که اگر هر نقطه (q_1, q_2, q_3) از نیم‌کره شمالی را به نقطه $(q_1, q_2, 0)$ از صفحه xy تبدیل کنیم، یک تناظر یک به یک از این نیم‌کره با قرص D به شعاع ۱ از صفحه xy به دست می‌آید (شکل ۳.۴). اگر این صفحه را به وسیله تناظر طبیعی $(q_1, q_2) \leftrightarrow (q_1, q_2, 0)$ با E^3 متحد بگیریم، در این صورت D یک قرص در E^3 خواهد بود، که از همه نقاط (u, v) تشکیل می‌گردد به طوری که $u^2 + v^2 < 1$. اگر این تناظر را به‌عنوان تابعی روی D در نظر بگیریم، خواهیم داشت

$$x(u, v) = (u, v, \sqrt{1 - u^2 - v^2})$$

بدین ترتیب x یک تابع یک به یک از D روی نیم‌کره شمالی Σ خواهد بود. نشان می‌دهیم که x یک قطعه مختصاتی خاص است. توابع مختصاتی x روی D دیفرانسیلپذیرند، بنا بر این x یک نگاشت است. برای اثبات آنکه x منظم است ماتریس ژاکوبی (یا ترانژاده) آنرا محاسبه می‌کنیم

$$\begin{pmatrix} \frac{\partial u}{\partial u} & \frac{\partial v}{\partial u} & \frac{\partial f}{\partial u} \\ \frac{\partial u}{\partial v} & \frac{\partial v}{\partial v} & \frac{\partial f}{\partial v} \end{pmatrix} = \begin{pmatrix} 1 & 0 & \frac{\partial f}{\partial u} \\ 0 & 0 & \frac{\partial f}{\partial v} \end{pmatrix}$$



شکل ۳.۴

که در آن $f = \sqrt{1 - u^2 - v^2}$. بدیهی است که سطرهای این ماتریس همواره دارای استقلال خطی می‌باشند، بنابراین مرتبه آن در هر نقطه ۲ است، و بنابراین ملاک ذیل تعریف ۹.۷ فصل ۱، X منظم خواهد بود، و در نتیجه یک قطعه مختصاتی می‌باشد. علاوه بر این X خاص است، زیرا تابع معکوس آن $D \rightarrow X^{-1}(D)$ عبارت است از

$$X^{-1}(p_1, p_2, p_3) = (p_1, p_2)$$

که قطعاً پیوسته می‌باشد. بالاخره دیده می‌شود که قطعه مختصاتی X شامل یک همسایگی $p = (0, 0, 1) \in \Sigma$ ، و در واقع شامل هر نقطه q در نیمکره شمالی است (شکل ۴.۴). به همین طریق می‌توان برای هر یک از پنج نیمکره مختصاتی دیگر پوششی از قطعه‌های مختصاتی خاص به دست آورد، و تحقیق کرد که بنا بر تعریف ۲.۱، Σ یک رویه است. در اینجا مقصود توضیح تعریف ۲.۱ بود، در آینده روش سریعتری را برای اثبات آنکه (به ویژه) کره‌ها رویه می‌باشند، خواهیم دید.

از بحث بالا نتیجه می‌شود که اگر f تابع دیفرانسیلپذیر دلخواهی با مقدار حقیقی روی یک مجموعه باز D از E^2 باشد، در این صورت تابع $X: D \rightarrow E^3$ به طوری که

$$X(u, v) = (u, v, f(u, v))$$

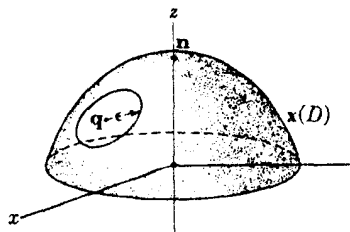
یک قطعه مختصاتی خاص خواهد بود، که آنرا قطعه مختصاتی مونژ می‌نامیم. اکنون به توضیح روشهای متداول ساختن رویه‌ها می‌پردازیم. باید توجه داشت که نگاره $M = X(D)$ از قطعه مختصاتی خاص در تعریف ۲.۱ صدق می‌کند، از این رو M را رویه ساده می‌نامند. بنابراین تعریف ۲.۱ مبین آن است که هر رویه در E^3 را می‌توان با به هم چسباندن رویه‌های ساده ساخت.

۳.۱. مثال. رویه $M: z = f(x, y)$ هر تابع دیفرانسیلپذیر با مقدار حقیقی f روی E^2 یک رویه M در E^3 را معین می‌کند. زیرا نمودار f ، یعنی مجموعه همه نقاطی از E^3 که مختصات آنها در معادله $z = f(x, y)$ صدق می‌کنند. بدیهی است M نگاره قطعه مختصاتی مونژ

$$X(u, v) = (u, v, f(u, v))$$

می‌باشد، و بنا بر توضیحات گذشته M یک رویه ساده است.

اگر g تابعی با مقدار حقیقی روی E^2 و c یک عدد باشد، مجموعه همه نقاط p را به طوری که $g(p) = c$ ، با $M: g = c$ نشان می‌دهیم. مثلاً اگر g توزیع دما در فضا را نشان دهد $M: g = c$ عبارت است از همه نقاط با دمای c . برای آنکه چنین زیرمجموعه‌هایی از E^3 تشکیل رویه دهند،



شکل ۴.۴

يك شرط ساده لازم است.

۴.۱. قضیه. گیریم g تابعی دیفرانسیلپذیر با مقدار حقیقی روی E^3 و c يك عدد باشد. هنگامی زیرمجموعه $M: g(x, y, z) = c$ از E^3 يك رویه است که در هیچ نقطه از M ، دیفرانسیل آن یعنی dg صفر نباشد.

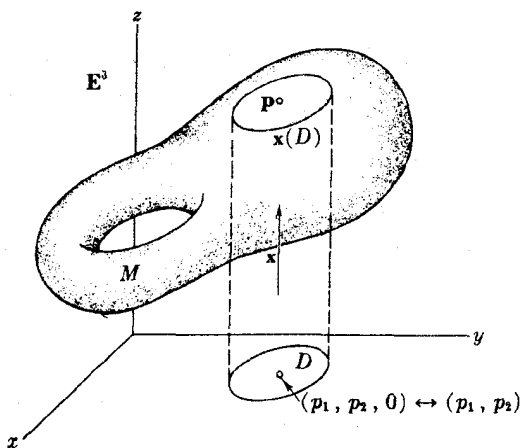
(در تعریف ۲.۱ و همچنین در این قضیه به طور ضمنی فرض بر آن است که M تهی نیست، مثلاً معادله $x^2 + y^2 + z^2 = -1$ معرف يك رویه نیست.)

برهان. برای اثبات، کافی است قضیه مهم تابع ضمنی آنالیز را به صورت هندسی تعبیر کنیم. به ازای نقطه p از M باید يك قطعه مختصاتی خاص به دست آورد، که يك همسایگی p در M را بیوشاند (شکل ۵.۴). اما

$$dg = \frac{\partial g}{\partial x} dx + \frac{\partial g}{\partial y} dy + \frac{\partial g}{\partial z} dz$$

از فرض dg مخالف صفر نتیجه می شود که اقلاً یکی از این مشتقهای جزئی در p مخالف صفر است، مثلاً $(\partial g / \partial z)(p) \neq 0$. در این حالت بنا بر قضیه تابع ضمنی در مجاورت p ، معادله $g(x, y, z) = c$ را می توان بر حسب z حل کرد. به عبارت دقیقتر يك تابع دیفرانسیلپذیر h با مقدار حقیقی وجود دارد که در يك همسایگی D از (p_1, p_2) معین باشد، و

(۱) به ازای هر نقطه (u, v) از D ، نقطه $(u, v, h(u, v))$ در M قرار دارد، یعنی $g(u, v, h(u, v)) = c$



شکل ۵.۴

(۲) نقاط به صورت $(u, v, h(u, v))$ با (u, v) در D يك همسایگی نقطه p در M را می‌پوشانند.

از اینجا نتیجه می‌شود که قطعه مختصاتی مؤثر $\mathbf{x}: D \rightarrow \mathbf{E}^3$ به طوری که

$$\mathbf{x}(u, v) = (u, v, h(u, v))$$

در شرایط تعریف ۲.۱ صدق می‌کند، چون p نقطه دلخواه از M است، نتیجه می‌گیریم که M يك رویه است.

هنگامی که $M: g=c$ يك رویه باشد، $g=c$ را معادلهٔ ضمنی آن می‌نامند. اکنون به آسانی می‌توان اثبات کرد که کره‌ها رویه‌اند. کره Σ در \mathbf{E}^3 با شعاع $r > 0$ و مرکز $\mathbf{c} = (c_1, c_2, c_3)$ مجموعهٔ همهٔ نقاطی است که مسافت آنها از \mathbf{c} برابر r می‌باشد. اگر قرار دهیم $g = \sum (x_i - c_i)^2$ در این صورت Σ به طور ضمنی با معادلهٔ $g = r^2$ معین می‌گردد. اما $dg = 2\sum (x_i - c_i) dx_i$ و بنابراین dg فقط در نقطهٔ \mathbf{c} صفر است، و این نقطه در Σ نیست. بنابراین Σ يك رویه است.

با استفاده از این قضیه، و مفهوم خم که در صفحهٔ ۲۶ بیان شد، به تعیین دونوع رویه، که معروف هستند، می‌پردازیم.

۵.۱. مثال. استوانه‌ها. هنگامی که يك خط L عمود بر يك صفحهٔ P ، متکی بر يك خم C واقع در P حرکت کند، يك استوانه ایجاد می‌نماید. برای آسانی P را صفحهٔ xy می‌گیریم، و در نتیجه L همواره با محور z موازی خواهد بود (شکل ۶.۴). اگر خم C با

$$C: f(x, y) = c \quad \text{در } \mathbf{E}^2$$

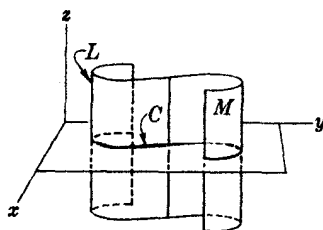
مشخص شده باشد، در این صورت قرار می‌دهیم $\tilde{f}(p_1, p_2, p_3) = f(p_1, p_2)$ تابعی است روی \mathbf{E}^3 و در نتیجه استوانهٔ حاصل با

$$M: \tilde{f}(x, y, z) = c \quad \text{در } \mathbf{E}^3$$

مشخص می‌گردد. تعریف خم (صفحهٔ ۲۶) مستلزم آن است که در هر نقطه از C ، $\partial f / \partial x$ یا $\partial f / \partial y$ مخالف صفر باشد. چون

$$\frac{\partial \tilde{f}}{\partial x}(p_1, p_2, p_3) = \frac{\partial f}{\partial x}(p_1, p_2)$$

و به همین ترتیب $\partial / \partial y$ ، در نتیجه dg هیچ‌گاه در نقطه‌ای از M صفر نخواهد شد. بنابراین M يك رویه است.



شکل ۶.۴

هنگامی که C یک دایره باشد، استوانهٔ مستدیر $r^2 = x^2 + y^2 = M$ در E^3 به دست می‌آید.

در مثال بالا ما یک رویه را اصلاً از راه انتقال یک خم ساختیم، اکنون رویه‌ای از دوران یک خم به دست می‌آوریم.

۶.۱. مثال. رویه‌های دورانی. گیریم C یک خم و A یک خط راست در صفحهٔ P باشند، و خط A ، خم C را قطع نکند. اگر این خم نیمرخ پیرامون محور A دوران کند، یک دویهٔ دورانی M در E^3 ایجاد خواهد کرد. اکنون با استفاده از قضیهٔ ۴.۱ نشان می‌دهیم که M محققاً یک رویه است. برای آسانی P را یکی از صفحات مختصات و A را یکی از محورهای مختصات فرض می‌کنیم، مثلاً صفحهٔ xy و محور z . چون C نباید A را قطع کند، می‌توان آن را در نیمصفحهٔ فوقانی ($y > 0$) صفحهٔ xy در نظر گرفت. همچنان که C دوران می‌کند، هر نقطهٔ $(q_1, q_2, 0)$ از C یک دایره ایجاد می‌نماید که مختصات یک نقطه از آن چنین است:

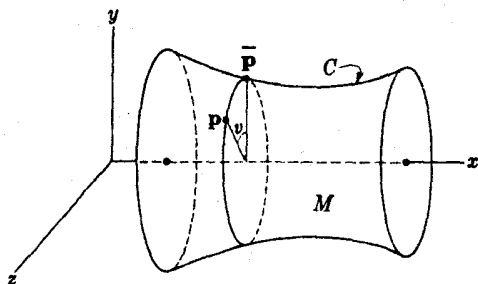
$$(q_1, q_2 \cos v, q_2 \sin v) \quad 0 \leq v \leq 2\pi$$

برعکس، یک نقطهٔ $p = (p_1, p_2, p_3)$ را متعلق به M می‌گیریم، اگر، و فقط اگر، نقطه

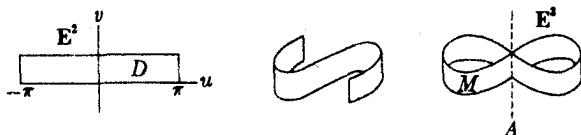
$$\bar{p} = (p_1, \sqrt{p_2^2 + p_3^2}, 0)$$

در C باشد (شکل ۷.۴).

اگر $C: f(x, y) = c$ خم نیمرخ مزبور را نشان دهد، با استفاده از آن تابع g روی E^3 را با $g(x, y, z) = f(x, \sqrt{y^2 + z^2})$ تعریف می‌کنیم. بحث بالا نشان می‌دهد که رویهٔ دورانی حاصل عبارت است از $M: g(x, y, z) = c$. با استفاده از مشتق توابع مرکب به آسانی دیده می‌شود که dg هیچ‌گاه روی M صفر نخواهد شد، و بنا بر این M یک رویه است.



شکل ۷.۴



شکل ۸.۴

هر نقطه از C در M دایره‌ای به وجود می‌آورد، که آن را یک مدار M می‌نامند، و اوضاع مختلف C را هنگام دوران، نصف‌النهارهای M می‌گویند. این اصطلاحات از جغرافیای کره گرفته شده‌اند، اما کره مطابق تعریف بالا یک رویهٔ دورانی نیست، زیرا خم نیجریخ در دو نقطه محور دوران را قطع می‌کند، و دو مدار به دو نقطه تقلیل می‌یابند. برای سادگی بیان قضایای بعدی، اصطلاحات نسبتاً متفاوتی در این حالت به کار خواهیم برد، به‌تمرین ۱۲ رجوع شود.

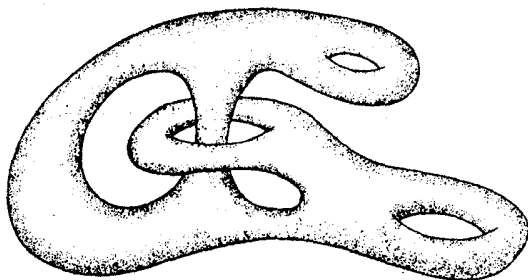
در مثال زیر ضرورت شرط خاص بودن قطعه مختصاتی در تعریف ۲.۱ توضیح داده می‌شود.

۲.۱. مثال. گیریم یک نوار قلعی مستطیل‌شکلی به شکل ۸ خمیده شود (شکل ۸.۴). M شکل حاصل با تصویری که از رویه داریم، سازگار نیست، زیرا در طول محور A ، M مشابه صفحهٔ E^2 نمی‌باشد، و به صورت دو صفحهٔ متقاطع است. برای بیان ریاضی این مطلب گیریم D مستطیل $0 < v < 1$ و $-\pi < u < \pi$ در E^2 باشد، و نگاشت $x: D \rightarrow E^3$ را با $x(u, v) = (\sin u, \sin 2u, v)$ تعریف کنیم. به آسانی می‌توان دید که یک قطعه مختصاتی است، اما نگارهٔ آن $M = x(D)$ یک رویه نمی‌باشد: x یک قطعه مختصاتی خاص نیست. $x^{-1}: M \rightarrow D$ پیوسته نیست، به بیان ساده برای آنکه M را روی D بگسترانیم، x^{-1} باید آن را در طول محور A ببرد و از هم جدا کند (محور z در E^3).

با توجه به مثال ۶.۱ چنبرهٔ دودانی T یک رویه می‌باشد (شکل ۹.۴). با اندکی کار بیشتر می‌توان چنبره‌های مضاعف، به گونه‌های مختلف نظیر شکل ۹.۴ ساخت. اساساً بسا افزودن «دسته‌ها» و «لوله‌ها» به رویه‌های موجود، می‌توان دست‌کسب رویه‌های پیچیده‌تری ساخت (شکل ۱۰.۴).



شکل ۹.۴



شکل ۱۰.۴

تمرینات

۱. هیچ یک از زیرمجموعه‌های M از E^3 کسره در ذیل آورده می‌شوند، رویه نیست. معلوم کنید که در کدام نقاط p نمی‌توان قطعه مختصاتی خاص برای پوشاندن یک همسایگی آن در M پیدا کرد؟ (شکل M را رسم کنید. برهان صوری لازم نیست.)

(الف) مخروط $M: z^2 = x^2 + y^2$

(ب) قرص بسته $M: x^2 + y^2 \leq 1, z = 0$

(ج) صفحه تا شده $M: xy = 0, x \geq 0, y \geq 0$

۲. هر صفحه در E^3 یک رویه $M: ax + by + cz = d$ است که در آن اعداد a, b و c همه با هم صفر نیستند. ثابت کنید که هر صفحه در E^3 را می‌توان با معادله‌ای برداری بیان کرد.

۳. شکل کلی رویه $M: z = ax^2 + by^2$ را در هر یک از حالت‌های زیر نشان دهید:

(الف) $a > b > 0$ (ج) $a > b = 0$

(ب) $a > 0 > b$ (د) $a = b = 0$

۴. در کدام یک از حالت‌های زیر نگاشت $x: E^2 \rightarrow E^3$ یک قطعه مختصاتی است:

(الف) $x(u, v) = (u, uv, v)$ (ج) $x(u, v) = (u, u^2, v + v^2)$

(ب) $x(u, v) = (u^2, u^2, v)$ (د) $x(u, v) = (\cos 2\pi u, \sin 2\pi u, v)$

(یادآوری می‌کنیم که x یک به یک است اگر، و فقط اگر، $x(u_1, v_1) = x(u_2, v_2)$ مستلزم $(u_1, v_1) = (u_2, v_2)$ باشد.)

۵. (الف) ثابت کنید که $M: (x^2 + y^2)^2 + 3z^2 = 1$ یک رویه است.

(ب) به ازای چه مقادیر c ، $M: z(z - 2) + xy = c$ یک رویه است؟

۶. مقطع صفحه $z = 0$ و z و z مینمون

$$M: z = f(x, y), \quad f = y^2 - 3yx^2$$

را بیابید، در کدام نواحی از صفحه، $f > 0$ ؟ و در کدام نواحی $f < 0$ ؟ وجه تسمیه این رویه را بیان کنید.

۷. گیریم $x: D \rightarrow E^3$ نگاشتی به صورت زیر باشد

$$x(u, v) = (x_1(u, v), x_2(u, v), x_3(u, v))$$

(الف) نشان دهید شرط لازم و کافی برای آنکه نقطه $p = (p_1, p_2, p_3)$ از E^3 در نگاره $x(D)$ باشد، آن است که معادلات زیر را بتوان بر حسب u و v با D متعلق به D حل کرد

$$p_1 = x_1(u, v), \quad p_2 = x_2(u, v), \quad p_3 = x_3(u, v)$$

(ب) اگر به ازای هر نقطه p از $x(D)$ این معادلات دارای جواب یکتای:

$$u = f_1(p_1, p_2, p_3), \quad v = f_2(p_1, p_2, p_3)$$

با (u, v) متعلق به D باشند، ثابت کنید که x یک به یک است، و $x^{-1}: x(D) \rightarrow D$ یا فرمول زیر معین می‌گردد

$$x^{-1}(p) = (f_1(p), f_2(p))$$

۸. گیریم $x: D \rightarrow E^3$ تابعی به صورت زیر:

$$x(u, v) = (u^2, uv, v^2)$$

نشان دهید که x یک به یک است و فرمولی برای تابع معکوس آن $x^{-1}: x(D) \rightarrow D$ بیابید و ثابت کنید که x یک قطعه مختصاتی خاص است.

۹. گیریم $x: E^2 \rightarrow E^3$ نگاشت

$$x(u, v) = (u+v, u-v, uv)$$

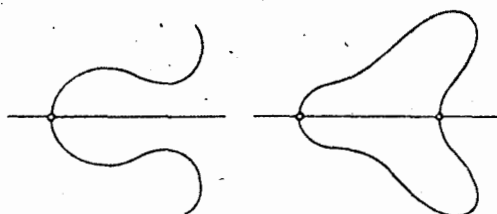
باشد، نشان دهید که x یک قطعه مختصاتی خاص است و نگاره آن رویه $M: z = (x^2 - y^2)/4$ می‌باشد.

۱۰. اگر F یک ایزومتری از E^3 و M رویه‌ای در E^3 باشد، ثابت کنید که $F(M)$ نیز رویه‌ای در E^3 است. (دانه‌مایی: اگر x یک قطعه مختصاتی در M باشد، آنگاه تابع مرکب $F(x)$ منظم است، زیرا بنا بر تعریف ۱۲، فصل اول بند ۷ داریم $(\cdot F(x))_* = F_* \cdot x_*$)

۱۱. اگر در تمرین ۱۰، F را فقط دیفئومورفیسم فرض کنیم مزبور همچنان صادق است. این مطلب را اثبات کنید: اگر F یک دیفئومورفیسم از E^3 و $M: g=c$ یک

رویه باشد، نگاره آن به وسیله F یعنی $\bar{M}: \bar{g} = c$ که در آن $\bar{g} = g(F^{-1})$ است نیز یک رویه می‌باشد. (داهنمایی: اگر در نقطه \mathbf{p} از M داشته باشیم $dg(\mathbf{v}) \neq 0$ ، با استفاده از تمرین ۹ فصل اول بند ۷ نشان دهید که $(-dg(F_*\mathbf{v})) \neq 0$)

۱۲. اگر f تابع دیفرانسیلپذیر باشد، و $f(x, y^2) = c$ معرف یک خم C در صفحه xy باشد، در این صورت C نسبت به محور x متقارن است، و محور x را در یک نقطه (اگر C یک قوس باشد)، یا در دو نقطه (اگر C بسته باشد) قطع می‌کند. ثابت کنید که از دوران C پیرامون محور x یک رویه M در E^3 حاصل می‌شود. (M را دوباره دودانی زائیده‌داد می‌نامند: اگر نقاط روی محور از آن حذف شود یک رویه دوران معمولی خواهد بود (شکل ۱۱.۴)).



شکل ۱۱.۴

۲. محاسبه‌های قطعه مختصاتی

در بند ۱ از قطعه‌های مختصاتی برای تعریف رویه استفاده شد، در اینجا به بررسی خواصی چند از قطعه‌های مختصاتی که در بررسی رویه‌ها مفیدند می‌پردازیم.

گیریم $\mathbf{x}: D \rightarrow E^3$ یک قطعه مختصاتی باشد. چون u یا v را ثابت بگیریم تابع $\mathbf{x}(u, v) \rightarrow \mathbf{x}(u, v)$ خمهایی را نشان می‌دهند. توضیح آنکه به ازای هر نقطه (u_0, v_0) در D خم

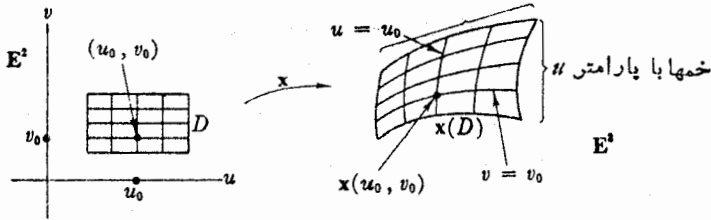
$$u \rightarrow \mathbf{x}(u, v_0)$$

را خمی با پارامتر u و $v = v_0$ از \mathbf{x} می‌نامند؛ و خم

$$v \rightarrow \mathbf{x}(u_0, v)$$

را خمی با پارامتر v و $u = u_0$ می‌گویند (شکل ۱۲.۴).

نگاره $\mathbf{x}(D)$ به وسیله این دو خانواده خم که نگاره خطوط افقی و قائم در D به وسیله \mathbf{x} می‌باشند، پوشیده می‌شود، و از هر نقطه متعلق به $\mathbf{x}(D)$ یک خم از هر خانواده می‌گذرد.



شکل ۱۲.۴

۱۲.۲. تعریف. اگر $\mathbf{x}: D \rightarrow \mathbb{E}^3$ یک قطعه مختصاتی باشد، به‌ازای هر نقطه (u_0, v_0) در D :
 (۱) بردار سرعت در u_0 از خم با پارامتر u و $v = v_0$ را با $\mathbf{x}_u(u_0, v_0)$ نشان می‌دهند.
 (۲) بردار سرعت در v_0 از خم با پارامتر v و $u = u_0$ را با $\mathbf{x}_v(u_0, v_0)$ نشان داده می‌شود.
 بردارهای $\mathbf{x}_u(u_0, v_0)$ و $\mathbf{x}_v(u_0, v_0)$ را سرعت‌های جزئی \mathbf{x} در (u_0, v_0) می‌نامند (شکل ۱۳.۴).

بدین ترتیب \mathbf{x}_u و \mathbf{x}_v توابع روی D می‌باشند، که مقادیر آنها در هر نقطه (u_0, v_0) بردارهای مماس بر \mathbb{E}^3 در $\mathbf{x}(u_0, v_0)$ می‌باشند. اندیسه‌های u و v به‌منظور نشان دادن محاسبه مشتق جزئی به‌کار رفته‌اند. اگر قطعه مختصاتی بر حسب توابع مختصاتی اقلیدسی به‌صورت

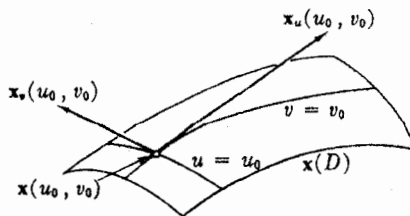
$$\mathbf{x}(u, v) = (x_1(u, v), x_2(u, v), x_3(u, v))$$

باشد، بنا بر تعریف بالا توابع سرعت جزئی عبارت‌اند از

$$\mathbf{x}_u = \left(\frac{\partial x_1}{\partial u}, \frac{\partial x_2}{\partial u}, \frac{\partial x_3}{\partial u} \right)_x$$

$$\mathbf{x}_v = \left(\frac{\partial x_1}{\partial v}, \frac{\partial x_2}{\partial v}, \frac{\partial x_3}{\partial v} \right)_x$$

اندیس \mathbf{x} (که اکثراً حذف می‌شود) یادآور این مطلب است که $\mathbf{x}_u(u, v)$ و $\mathbf{x}_v(u, v)$ نقطه اثرشان $\mathbf{x}(u, v)$ است.



شکل ۱۳.۴

۳.۲. مثال. قطعه مختصاتی جغرافیایی در کره. گیریم Σ کره‌ای باشم $r > 0$ و به مرکز مبدأ \mathbb{E}^3 باشد. با استفاده از مفهوم طول و عرض جغرافیایی کره زمین، می‌توان روی Σ قطعه مختصاتی دیگری بنیراز قطعه مختصاتی مونژ که در بند ۱ بیان شد، ساخت. نقطه $x(u, v)$ از Σ با طول جغرافیایی u ($-\pi < u < \pi$) و عرض جغرافیایی v ($-\pi/2 < v < \pi/2$) دارای مختصات اقلیدسی زیر می‌باشد (شکل ۱۴.۴).

$$x(u, v) = (r \cos v \cos u, r \cos v \sin u, r \sin v)$$

ناحیه D از حوزه x که با نامساویهای بالا معین می‌گردد، نگاره $x(D)$ از همه Σ خواهد بود، بجز يك نیم‌دایره که از قطب شمال به قطب جنوب کشیده شده است. خم با پارامتر u و $v = v_0$ يك دایره است، که مدار با عرض v_0 می‌باشد. خم با پارامتر v و $u = u_0$ يك نیم‌دایره است که نصف‌النهار با طول u_0 می‌باشد.

سرعت‌های جزئی x از راه محاسبه به‌صورت زیر به‌دست می‌آید

$$x_u(u, v) = r(-\cos v \sin u, \cos v \cos u, 0)$$

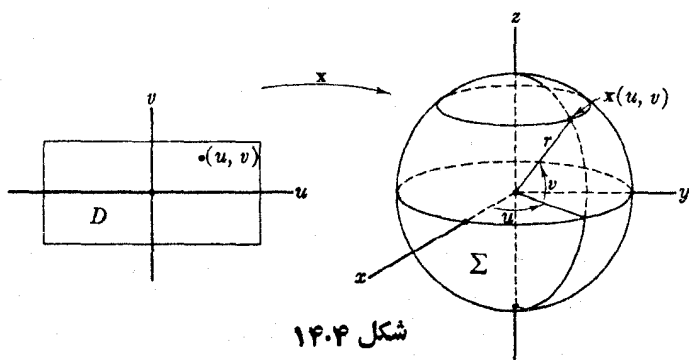
$$x_v(u, v) = r(-\sin v \cos u, -\sin v \sin u, \cos v)$$

که در آن r يك ضریب اسکالر است. روشن است که x_u همواره به‌شرق و x_v به‌شمال متوجه است. ذیلاً ثابت خواهیم کرد که x يك قطعه مختصاتی روی Σ می‌باشد (شکل ۱۵.۴).

برای تشخیص آنکه زیرمجموعه M از \mathbb{E}^3 يك رویه است، در تعریف ۲.۱ به قطعه‌های مختصاتی خاص احتیاج داریم (تمرین ۷.۱ علت آن را نشان می‌دهد). اما همین که بدانیم M يك رویه است، شرط خاص بودن را دیگر لازم نداریم (تمرین ۱۴، بند ۳). علاوه بر این در بسیاری از حالتها می‌توان شرط يك به يك بودن را نیز کنار گذاشت.

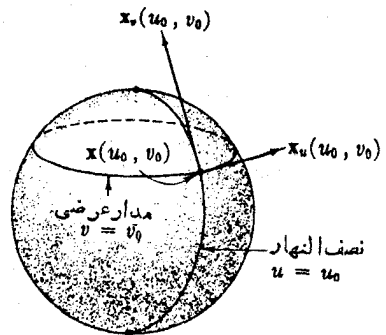
۳.۲. تعریف. نگاشت منظم $x: D \rightarrow \mathbb{E}^3$ را که نگاره آن روی رویه M باشد، نمایش پارامتری ناحیه $x(D)$ در M می‌نامند.

(بدین ترتیب قطعه مختصاتی فقط يك نمایش پارامتری يك به يك است.) در بعضی از



شکل ۱۴.۴

حالت‌های مساعد امکان دارد که این نگاره $\mathbf{x}(D)$ تمام رویه M باشد، و در این صورت مشابه مفاهیم نمایش پارامتری خم (صفحه ۲۶) را داریم. نمایش‌های پارامتری در محاسبات عملی رویه‌ها دارای اهمیت قدر اولند. از این رو به بررسی روش‌های تشخیص آنکه یک نگاشت $\mathbf{x}: D \rightarrow \mathbb{E}^3$ یک نمایش پارامتری رویه M (یا قسمتی از آن) است می‌پردازیم.



شکل ۱۵.۴

نگاره \mathbf{x} طبعاً باید در M واقع باشد. اگر رویه به صورت ضمنی $M: g=c$ باشد، مفهوم شرط بالا آن است که باید تابع مرکب $g(\mathbf{x})$ مقدار ثابت c را دارا باشد.

برای آزمون منظم بودن \mathbf{x} نخست باید دید که آیا خمهای پارامتر و سرعت‌های جزئی \mathbf{x}_u و \mathbf{x}_v به‌ازای یک نگاشت دیفرانسیلیپذیر دلخواه $\mathbf{x}: D \rightarrow \mathbb{E}^3$ کاملاً معین هستند یا نیستند. دیده می‌شود که دوسطر آخر حاصل ضرب خارجی

$$\mathbf{x}_u \times \mathbf{x}_v = \begin{vmatrix} U_1 & U_2 & U_3 \\ \frac{\partial x_1}{\partial u} & \frac{\partial x_2}{\partial u} & \frac{\partial x_3}{\partial u} \\ \frac{\partial x_1}{\partial v} & \frac{\partial x_2}{\partial v} & \frac{\partial x_3}{\partial v} \end{vmatrix}$$

(ترانهاده) ماتریس ژاکوبی \mathbf{x} را در هر نقطه به‌دست می‌دهد. بنابراین شرط منظم بودن \mathbf{x} معادل است با آنکه $\mathbf{x}_u \times \mathbf{x}_v$ همواره مخالف صفر باشد، و به عبارت دیگر در هر نقطه (u, v) از D سرعت‌های جزئی \mathbf{x} دارای استقلال خطی باشند.

این روش‌ها را در مورد نگاشت \mathbf{x} مثال ۲.۲ به‌کار می‌بریم. چون کره با معادله ضمنی $g = x^2 + y^2 + z^2 = r^2$ تعریف شده است، باید نشان دهیم که $g(\mathbf{x}) = r^2$. چون به‌جای x, y و z توابع مختصاتی \mathbf{x} را قرار دهیم به‌دست می‌آید

$$\begin{aligned} r^{-2}g(\mathbf{x}) &= (\cos v \cos u)^2 + (\cos v \sin u)^2 + \sin^2 v \\ &= \cos^2 v + \sin^2 v = 1 \end{aligned}$$

پس از محاسبه \mathbf{x}_u و \mathbf{x}_v از تمرین ۲.۲ خواهیم داشت

$$r^{-2}\mathbf{x}_u \times \mathbf{x}_v = \cos u \cos^2 v U_1 + \sin u \cos^2 v U_2 + \cos v \sin v U_3$$

و چون برای حوزه D از \mathbf{x} همواره $-\pi/2 < v < \pi/2$ ، $\cos v$ هیچ‌گاه صفر نمی‌شود، اما $\sin u$ و $\cos u$ توأمأً هیچ‌گاه صفر نمی‌شوند، بنابراین $\mathbf{x}_u \times \mathbf{x}_v$ همواره

روی D مخالف صفر است، یعنی X منظم، و یک نمایش پارامتری است.

برای اثبات آنکه X یک قطعه مختصاتی است، نشان می‌دهیم که یک به یک است، یعنی از $X(u, v) = X(u_1, v_1)$ نتیجه می‌شود $(u, v) = (u_1, v_1)$. اگر $X(u, v) = X(u_1, v_1)$ ، با استفاده از تعریف X تساوی بالا به صورت زیر نوشته می‌شود

$$r \cos v \cos u = r \cos v_1 \cos u_1$$

$$r \cos v \sin u = r \cos v_1 \sin u_1$$

$$r \sin v = r \sin v_1$$

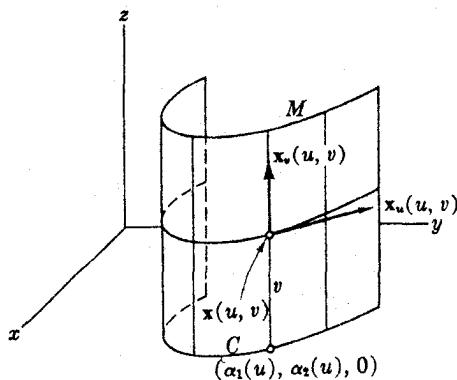
بعلاوه چون به ازای همه نقاط D داریم $-\pi/2 < v < \pi/2$ ، معادله سوم نشان می‌دهد، $v = v_1$. بدین ترتیب $r \cos v = r \cos v_1 > 0$ را می‌توان از دو طرف دو معادله دیگر حذف کرد، و نتیجه $u = u_1$ را به دست آورد.

در مورد این تابع به خصوص X روی S ، نتایج بالا را می‌توان از آنچه در مثال ۲.۲ بیان شد به آسانی به دست آورد، ولی روشهای بالا در حالت‌های دشوارتر مفیدند. اکنون به تعیین نمایشهای پارامتری طبیعی در استوانه‌ها و رویه‌های دورانی می‌پردازیم.

۴.۴ مثال. نمایش پارامتری استوانه M . گیریم M مانند مثال ۵.۱ استوانه‌ای روی خم $C: f(x, y) = a$ در صفحه xy باشد (شکل ۱۶.۴). اگر $\alpha = (\alpha_1, \alpha_2, 0)$ یک نمایش پارامتری C باشد، ادعا می‌کنیم که

$$X(u, v) = (\alpha_1(u), \alpha_2(u), v)$$

یک نمایش پارامتری M است. بدیهی است که X در M است، و تمام M را می‌پوشاند،



شکل ۱۶.۴

و نیز دیفرانسیلپذیر می‌باشد. علاوه بر این \mathbf{x} منظم است، زیرا در هر نقطه (u, v) ، سرعت‌های جزئی

$$\mathbf{x}_u = \left(\frac{d\alpha_x}{du}, \frac{d\alpha_y}{du}, 0 \right)$$

$$\mathbf{x}_v = (0, 0, 1)$$

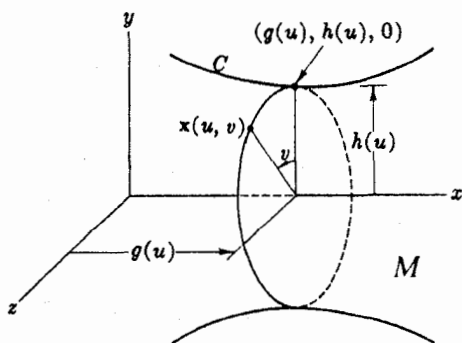
استقلال خطی دارند (\mathbf{x}_u هیچ‌گاه صفر نیست، زیرا α بنابر تعریف منظم است). اگر خم روی فاصله I تعریف شده باشد، حوزه \mathbf{x} نوار قائم D است که در آن v دلخواه و u در I می‌باشد. (بدین ترتیب اگر I تمام خط حقیقی باشد، D خود E^2 خواهد بود.) خمهای مربوط به پارامتر u از \mathbf{x} فقط با انتقال خم C به دست می‌آیند، و آنها را خمهای مقاطع عرضی استوانه می‌نامند. خمهای مربوط به پارامتر v که خطوطی راست‌اند مولدها (یا عناصر) استوانه نامیده می‌شوند. اگر خم C بسته نباشد، α و در نتیجه \mathbf{x} یک به یک است، و \mathbf{x} یک قطعه مختصاتی خواهد بود. اما اگر C بسته باشد \mathbf{x} ، D را بینهایت بار به دور C می‌پیچاند.

۵۰۲. مثال. نمایش پارامتری رویه‌های دورانی. گیریم M مانند مثال ۶.۱ از دوران خم C در نیمصفحه فوقانی صفحه xy پیرامون محور x حاصل شده باشد. گیریم

$$\alpha(u) = (g(u), h(u), 0)$$

یک نمایش پارامتری C باشد (توجه شود که $h > 0$). چنان‌که در مثال ۶.۱ دیدیم، نقطه $(g(u), h(u), 0)$ که روی خم نیمرخ C به اندازه زاویه v دوران کرده و به نقطه $\mathbf{x}(u, v)$ رسیده است، مختص x آن همان $g(u)$ است، ولی مختصات y و z جدید آن به ترتیب عبارت‌اند از $h(u) \cos v$ و $h(u) \sin v$ (شکل ۱۷.۴). بنابراین:

$$\mathbf{x}(u, v) = (g(u), h(u) \cos v, h(u) \sin v)$$



شکل ۱۷.۴

روشن است که فرمول بالا نگاهی را در M تعریف می‌کند، که نگاره آن تمام M است. محاسبه کوتاهی نشان می‌دهد که X_u و X_v همواره دارای استقلال خطی اند، بنابراین X يك نمایش پارامتری M می‌باشد. مانند مثال ۴.۲، حوزه X از همه نقاط (u, v) تشکیل شده است، که به ازای آنها u در حوزه α است. خمهای مربوط به پارامتر u از X نصف النهارهای M را نشان می‌دهند. خمهای مربوط به پارامتر v مدارها هستند. (بنابراین نمایش پارامتری $M \rightarrow X: D \rightarrow$ هیچ گاه يك به يك نیست.)

بدیهی است الزامی ندارد، خمها را پیرامون محور X دوران دهیم. اما با انتخاب مناسب دستگاه مختصات همواره همین تعبیر هندسی را برای توابع g و h خواهیم داشت: g مسافت در طول محور دوران و h مسافت از محور دوران را نشان می‌دهد. قطعه مختصاتی جغرافیایی کره يك نمونه برای مثال ۵.۲ (با تعویض u و v) می‌باشد. اکنون يك مثال دیگر.

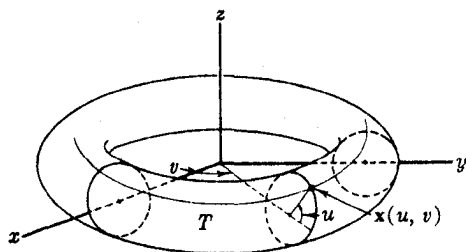
۶.۲. مثال. چنبره دودانی T . چنبره رویه‌ای است دورانی که خم نیمرخ آن C يك دایره است. گیریم C دایره‌ای در صفحه xz با شعاع $r > 0$ و به مرکز $(R, 0, 0)$ باشد. آن را پیرامون محور z دوران می‌دهیم، و بنابراین باید فرض کنیم $R > r$ تا آنکه C محور دوران را قطع نکند. نمایش پارامتری طبیعی C (شکل ۱۸.۴) عبارت است از

$$\alpha(u) = (R + r \cos u, r \sin u)$$

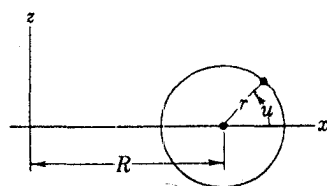
بنابر توضیحات بالا بسایند $g(u) = r \sin u$ ، مسافت در طول محور z و $h(u) = R + r \cos u$ مسافت از محور z باشد. با توجه به بحث کلی مثال ۵.۲ و جایگشت محورها، نمایش پارامتری زیر به دست می‌آید

$$\begin{aligned} \mathbf{x}(u, v) &= (h(u) \cos v, h(u) \sin v, g(u)) \\ &= ((R + r \cos u) \cos v, (R + r \cos u) \sin v, r \sin u) \end{aligned}$$

حوزه X تمام صفحه E^2 است، و (مانند تمام مواردی که خم نیمرخ خم بسته‌ای باشد) X بر حسب u و v متناوب است. در اینجا



شکل ۱۹.۴



شکل ۱۸.۴

$$\mathbf{x}(u+2\pi, v+2\pi) = \mathbf{x}(u, v) \quad (u, v) \text{ هر}$$

برای هر رویه بینهایت نمایشهای پارامتری گوناگون (و قطعه مختصاتی) وجود دارد. آنچه را که بررسی کردیم از لحاظ تناسب طبیعی با رویه‌های مزبور ممتازند.

تمرینات

۰۱. مطلوب است تعیین يك نمایش پارامتری برای تمام رویه حاصل از دوران:

(الف) کاتنویید: $C: y = \cosh x$ پیرامون محور x

(ب) چنبره: $C: (z-2)^2 + y^2 = 1$ پیرامون محور y

(ج) سهمیگون دوداد: $C: z = x^2$ پیرامون محور z

۰۲. اگر \mathbf{x}_u و \mathbf{x}_v سرعتهای جزئی برای نگاشت $\mathbf{x}: D \rightarrow E^3$ باشد، توابع بامقدار حقیقی زیر را روی D در نظر می‌گیریم

$$E = \mathbf{x}_u \cdot \mathbf{x}_u \quad F = \mathbf{x}_u \cdot \mathbf{x}_v \quad G = \mathbf{x}_v \cdot \mathbf{x}_v$$

ثابت کنید

$$\|\mathbf{x}_u \times \mathbf{x}_v\|^2 = EG - F^2$$

و نتیجه بگیرید که، شرط لازم و کافی برای اینکه \mathbf{x} منظم باشد، آن است که $EG - F^2$ هیچ‌گاه صفر نشود. (بررسی منظم بودن اغلب با این روش بسیار آسانتر است. تغییر هندسی این توابع در فصل ۵ بند ۴ خواهد آمد.)

۰۳. نشان دهید که

$$M: (\sqrt{x^2 + y^2} - 4)^2 + z^2 = 4$$

يك چنبره دورانی است، دایره نیمرخ و محور دوران آن را بیابید.

دو په‌های خطکشی. رویه خطکشی رویه‌ای است که از حرکت يك خط L ، متکی بر خم β ، ایجاد می‌شود. اوضاع مختلف خط L را مولدهای رویه می‌نامند. این گونه رویه‌ها همواره دارای نمایش پارامتری خطکشی زیر می‌باشند

$$\mathbf{x}(u, v) = \beta(u) + v\delta(u) \quad \text{یا} \quad \beta(v) + u\delta(v)$$

β را خم پایه و δ را خم هادی می‌نامند. همچنین می‌توان δ را به صورت يك میدان برداری روی β تصور کرد. اغلب لازم است v را در يك فاصله محدود کرد، و بدین- ترتیب مولدها ممکن است تمامی يك خط مستقیم نباشند.

۰۴. نشان دهید که دو په ذی‌نی $M: z = xy$ رویه خطکشی مضاعف است: دو نمایش پارامتری با مولدهای مختلف برای آن بیابید.

۵. مخروط رویه‌ای است خطکشی با نمایش پارامتری به صورت زیر:

$$\mathbf{x}(u, v) = \mathbf{p} + v\delta(u)$$

بدین ترتیب همه مولدها از رأس \mathbf{p} می‌گذرند (شکل ۲۰۰۴). نشان دهید، منظم بودن \mathbf{x} هم‌ارز است با آنکه v و $\delta' \times \delta$ هیچ‌گاه صفر نباشند. (بدین ترتیب رأس هیچ‌گاه جزو مخروط نیست.)

۶. استوانه رویه‌ای است خطکشی با نمایش پارامتری به صورت زیر:

$$\mathbf{x}(u, v) = \beta(u) + v\mathbf{q}$$

بدین ترتیب مولدها همه متوازی‌اند (شکل ۲۱۰۴). ثابت کنید که منظم بودن \mathbf{x} هم‌ارز آن است که $\beta' \times \mathbf{q}$ هیچ‌گاه صفر نباشد. نشان دهید که این تعریف، تعمیم مثال ۴.۲ است.

۷. خط L که همواره بر محور A متکی و متعامد است (شکل ۲۲۰۴)، در امتداد آن با سرعت ثابت حرکت می‌کند و در همان حال با سرعت ثابت به دور آن می‌چرخد، و بدین ترتیب یک هلیکوئید H ایجاد می‌کند.

اگر A محور z باشد، در این صورت H نگاره نگاشت $\mathbf{x}: \mathbf{E}^2 \rightarrow \mathbf{E}^3$ است که

$$\mathbf{x}(u, v) = (u \cos v, u \sin v, bv) \quad b \neq 0$$

(الف) ثابت کنید که \mathbf{x} یک قطعه مختصاتی است.

(ب) خمهای پارامتری آن را بیان کنید.

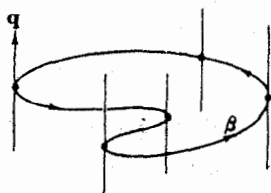
(ج) معادله ضمنی هلیکوئید را به صورت $g = c$ بیابید.

۸. (الف) نشان دهید که $\mathbf{x}: D \rightarrow \mathbf{E}^3$ که در آن

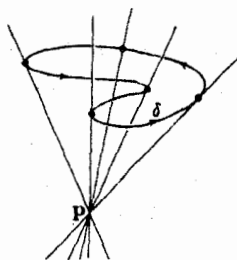
$$\mathbf{x}(u, v) = (u \cos v, u, \sin v)$$

روی $D: u > 0$ یک نگاشت منظم است.

(ب) تابع $g(x, y, z)$ را طوری تعیین کنید که نگاره \mathbf{x} ، رویه $M: g = 0$ باشد.

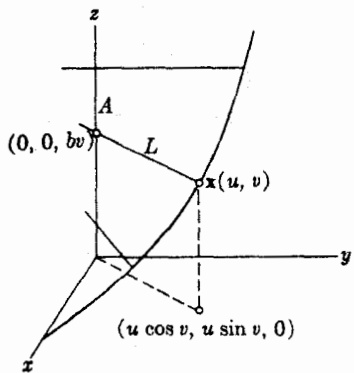


شکل ۲۱۰۴



شکل ۲۰۰۴

(ج) نشان دهید که M رویه‌ای است خطکشی
 و شکل آن را مجسم کنید. (ادمانی: ختم
 حاصل از مقطع رویه M و صفحه $y=1$ را
 در نظر بگیرید.)



شکل ۲۲.۴

۹. گیریم β نمایش پارامتری با تندی واحد
 دایره y یکه در صفحه xz باشد. رویه‌ای
 خطکشی به ترتیب زیر بسازید: یک خط L
 در طول β طوری حرکت کند، که بر شعاع
 متناظر دایره عمود باشد، و زاویه ثابت $\pi/4$
 را با β' بسازد (شکل ۲۳.۴).

(الف) نشان دهید که M ، رویه خطکشی
 حاصل، دارای نمایش پارامتری زیر است:

$$\mathbf{x}(u, v) = \beta(u) + v(\beta'(u) + U_\beta)$$

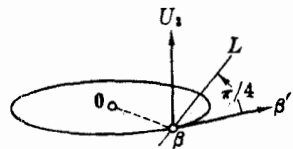
(ب) \mathbf{x} را صریحاً بر حسب v و توابع
 مختصاتی β بیان کنید.

(ج) نشان دهید که رویه M با معادله ضمنی
 زیر معین می‌گردد:

$$x^2 + y^2 - z^2 = 1$$

(د) نشان دهید که اگر به جای زاویه $\pi/4$ زاویه $-\pi/4$ اختیار کنیم، همان رویه
 M حاصل می‌گردد، و بدین ترتیب یک رویه خطکشی مضاعف است.

(ه) شکل رویه M را رسم کنید و دو مولد ماربر هر یک از نقاط $(2, 1, 2)$ و $(1, 0, 0)$
 را نشان دهید.



شکل ۲۳.۴

رویه درجه دوم، رویه‌ای است مانند $M: g=0$ که در آن g حداکثر دارای جمله‌های
 درجه دوم بر حسب x_1, x_2, x_3 باشد، یعنی

$$g = \sum_{i,j} a_{ij} x_i x_j + \sum_i b_i x_i + c$$

به‌استثنای حالت‌های بسیار ساده فقط پنج نوع رویه درجه دوم وجود دارد، که در سه
 مثال زیر نمونه آنها آورده شده است (قضیه ۲.۲، صفحه ۲۸۰، کتاب بیرکهوف و
 مک‌لین را ببینید).

۱۰. در هر یک از حالت‌های زیر (۱) ثابت کنید M یک رویه است و شکل کلی آن را مجسم
 کنید، (۲) نشان دهید که \mathbf{x} یک نمایش پارامتری است، و نگاره آن را در M بیابید.

(الف) بیضیگون، $M: \frac{x^2}{a^2} + \frac{y^2}{b^2} + \frac{z^2}{c^2} = 1$

$$\mathbf{x}(u, v) = (a \cos u \cos v, b \cos u \sin v, c \sin u)$$

$$D: -\frac{\pi}{2} < u < \frac{\pi}{2} \text{ روی}$$

$$M: \frac{x^2}{a^2} + \frac{y^2}{b^2} - \frac{z^2}{c^2} = 1, \text{ (ب) هذلولیگون بیضوی،}$$

$$\mathbf{x}(u, v) = (a \cosh u \cos v, b \cosh u \sin v, c \sinh u) \text{ روی } E^2$$

$$M: \frac{x^2}{a^2} + \frac{y^2}{b^2} - \frac{z^2}{c^2} = -1, \text{ (ج) هذلولیگون بیضوی (دو پارچه)،}$$

$$\mathbf{x}(u, v) = (a \sinh u \cos v, b \sinh u \sin v, c \cosh u)$$

$$D: u \neq 0 \text{ روی}$$

$$11. \text{ سهمیگون بیضوی، } z = \frac{x^2}{a^2} + \frac{y^2}{b^2}$$

(الف) نشان دهید که M یک رویه است، و

$$\mathbf{x}(u, v) = (au \cos v, bu \sin v, u^2) \quad u > 0$$

یک نمایش پارامتری آن است، که فقط یک نقطه از M را حذف می‌کند.

(ب) خمهای پارامتری \mathbf{x} را به‌طور کلی مشخص کنید، و به‌ازای $a=1$ و $b=2$ رویه را با ترسیم برخی از خمهای پارامتری مجسم کنید.

$$12. \text{ سهمیگون هذلولوی، } z = \frac{x^2}{a^2} - \frac{y^2}{b^2} \text{ مفروض است.}$$

(الف) نشان دهید، $\mathbf{x}: E^2 \rightarrow E^3$ که در آن

$$\mathbf{x}(u, v) = (a(u+v), b(u-v), 4uv)$$

یک قطعه مختصاتی خاص است، که M را می‌پوشاند.

(ب) با نوشتن \mathbf{x} به‌صورت رویه خطکشی به‌دو طریق مختلف، نشان دهید که M رویه خطکشی مضاعف است.

(ج) به‌ازای $a=1$ و $b=2$ رویه را با ترسیم خمهای پارامتری مجسم کنید.

13. گیریم M رویه‌ای است دورانی، که از دوران خم

$$t \rightarrow (g(t), h(t), 0) \quad h > 0$$

پیرامون محور x حاصل می‌شود. ثابت کنید که

(الف) اگر g' هیچ‌گاه صفر نشود، M دارای نمایش پارامتری زیر است

$$\mathbf{x}(u, v) = (u, f(u) \cos v, f(u) \sin v)$$

(ب) اگر h' هیچ‌گاه صفر نشود، M دارای نمایش پارامتری زیر است

$$\mathbf{x}(u, v) = (f(u), u \cos v, u \sin v)$$

۳. توابع دیفرانسیلیپذیر و بردارهای مماس

اکنون به شرح حساب دیفرانسیل روی یک رویه M در \mathbf{E}^3 می‌پردازیم. فضای \mathbf{E}^3 را به تدریج از بحث خارج می‌کنیم، زیرا هدف اصلی، حساب دیفرانسیل برای خود رویه M است. به‌طور کلی همان ترتیب مباحث فصل اول را پیروی می‌کنیم، و فقط تغییرات لازم برای تطبیق حساب دیفرانسیل \mathbf{E}^2 با رویه M را انجام خواهیم داد.

گیریم f تابعی بسا مقدار حقیقی باشد، که روی رویه M تعریف شده است. اگر $M: D \rightarrow \mathbf{E}^3$ یک قطعه مختصاتی در M باشد، در این صورت تابع مرکب $f \circ \mathbf{x}$ را عبارات مختصاتی متناظر به f می‌نامند و آن یک تابع با مقدار حقیقی معمولی $f(\mathbf{x}(u, v)) \rightarrow f(u, v)$ می‌باشد. f را هنگامی دیفرانسیلیپذیر نامند که همه عبارتهای مختصاتی آن به مفهوم اقلیدسی معمولی دیفرانسیلیپذیر باشد (تعریف ۳۰۱ فصل اول).

به‌ازای هر تابع $F: \mathbf{E}^n \rightarrow M$ هر قطعه مختصاتی \mathbf{x} در M یک عبارات مختصاتی $(F) \circ \mathbf{x}^{-1}$ متناظر به F به‌دست می‌دهد. بدیهی است که این تابع مرکب فقط روی مجموعه Θ ، متشکل از همه نقاط \mathbf{p} متعلق به \mathbf{E}^n به‌طوری‌که $F(\mathbf{p})$ متعلق به $\mathbf{x}(D)$ باشد، معین است. همچنین تابع F را دیفرانسیلیپذیر گوئیم اگر همه عبارتهای مختصاتی آن به مفهوم اقلیدسی معمولی دیفرانسیلیپذیر باشند. (باید توجه داشت که این شرط مستلزم آن است که Θ مجموعه‌ای باز از \mathbf{E}^n باشد، تا دیفرانسیلیپذیری $\mathbf{E}^2: \Theta \rightarrow (F) \circ \mathbf{x}^{-1}$ ، چنان‌که در بند ۷ فصل اول بیان شد، تأمین گردد.)

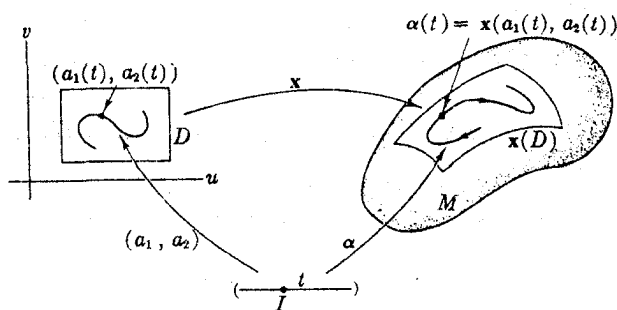
در حالت خاص یک خم $M: I \rightarrow M$ در رویه M ، مانند پیش، تابعی دیفرانسیلیپذیر از یک فاصله I در M خواهد بود.

برای اینکه نشان دهیم این تعریف در عمل چگونه مورد استفاده قرار می‌گیرد، حالت خاص مهمی را بررسی می‌کنیم.

۱۰۳. لم. اگر $\alpha: I \rightarrow M$ خمی باشد، که مسیر آن در نگاره $\mathbf{x}(D)$ از یک قطعه مختصاتی \mathbf{x} واقع باشد، در این صورت توابع دیفرانسیلیپذیر یکتای a_1 و a_2 روی I را می‌توان چنان تعیین کرد که به‌ازای هر t داشته باشیم

$$\alpha(t) = \mathbf{x}(a_1(t), a_2(t))$$

و یا با قرارداد تابعی $\alpha = \mathbf{x}(a_1, a_2)$ (شکل ۲۴.۴).



شکل ۲۴.۴

برهان. بنا بر تعریف، عبارت مختصاتی $\alpha: I \rightarrow D$ دیفرانسیلپذیر است، زیرا خمی است در \mathbb{E}^2 ، که مسیرش در D ، حوزه x ، واقع می‌باشد. اگر a_1 و a_2 توابع مختصاتی اقلیدسی $x^{-1}\alpha$ باشند، در این صورت

$$\alpha = x x^{-1} \alpha = x(a_1, a_2)$$

یکتایی این توابع بدان دلیل است که اگر داشته باشیم $\alpha = x(b_1, b_2)$ ، در این صورت

$$(a_1, a_2) = x^{-1}\alpha = x^{-1}x(b_1, b_2) = (b_1, b_2)$$

توابع a_1 و a_2 را توابع مختصاتی خم α بر حسب قطعه مختصاتی x می‌نامند. مثلاً خم α در (۳) مثال ۲.۴ فصل اول، در قسمتی از کره Σ با شعاع ۲ که به وسیله قطعه مختصاتی x مثال ۲.۲ پوشیده می‌شود واقع است. توجه شود که حرکت این خم طوری است که در هر نقطه طول و عرض جغرافیایی آن برابر می‌باشد. در واقع توابع مختصاتی آن بر حسب x عبارت‌اند از $a_1(t) = a_2(t) = t$ زیرا بنا بر فرمول مربوط به x داریم

$$x(a_1(t), a_2(t)) = x(t, t) = 2(\cos^2 t, \cos t \sin t, \sin t) = \alpha(t)$$

به‌ازای قطعه مختصاتی دلخواه $x: D \rightarrow M$ طبیعی است که می‌توان حوزه D را به‌عنوان نقشه‌ای از ناحیه $x(D)$ در M در نظر گرفت. توابع x و x^{-1} تناظری یک به یک بین اشیاء متعلق به $x(D)$ و اشیاء متعلق به D برقرار می‌کنند. اگر خم α در $x(D)$ نمایشگر مسیر یک کشتی باشد، خم مختصاتی (a_1, a_2) موقعیت آن را روی نقشه D ترسیم می‌نماید.

از اثبات قضیه زیر که مبتنی بر شیوه‌های آنالیز پیشرفته است صرف‌نظر می‌کنیم.

۲.۳. قضیه. گیریم M رویه‌ای در \mathbb{E}^3 است. اگر $F: \mathbb{E}^n \rightarrow \mathbb{E}^3$ (دیفرانسیلپذیر) باشد، به طوری که نگاره آن در M واقع باشد، در این صورت F به‌عنوان تابعی در M یعنی $F: \mathbb{E}^n \rightarrow M$ نیز دیفرانسیلپذیر است (همان گونه که در صفحه ۱۶۲ گفته شد).

این قضیه حساب دیفرانسیل روی M را به حساب دیفرانسیل در E^2 پیوند می‌دهد. مثلاً این نتیجه «بدیهی» از آن به دست می‌آید، که هر خم از E^2 که در M واقع باشد، یک خم از M است.

چون یک قطعه مختصاتی تابعی است دیفرانسیلیپذیر از (یک مجموعه باز) E^2 در E^3 ، بنابراین هر قطعه مختصاتی تابع دیفرانسیلیپذیری در M می‌باشد، و عبارتهای مختصاتی آن همه دیفرانسیلیپذیرند، و در نتیجه قطعه‌های مختصاتی به‌طور هموار همپوشانند.

۳.۳. فرغ. اگر x و y قطعه‌های مختصاتی در یک رویه M از E^3 ، با نگاره‌های همپوش باشند، آنگاه توابع مرکب $x^{-1}y$ و $y^{-1}x$ نگاشت‌هایی (دیفرانسیلیپذیر) روی مجموعه‌های باز E^2 می‌باشند.

مثلاً تابع $y^{-1}x$ فقط در نقاطی مانند (u, v) از D معین است، که به‌ازای آنها $x(u, v)$ در نگاره y یعنی $y(E)$ واقع باشد (شکل ۲۵.۴).
با استدلالی مشابه استدلال لم ۱.۳ فرغ ۳.۳ را می‌توان چنین نوشت.

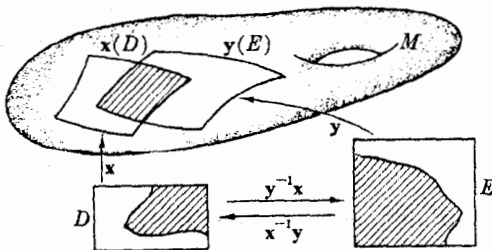
۴.۳. فرغ. اگر x و y قطعه‌های مختصاتی همپوش در M باشند، در این صورت توابع دیفرانسیلیپذیر یکتای \bar{u} و \bar{v} را می‌توان طوری تعیین کرد که

$$y(u, v) = x(\bar{u}(u, v), \bar{v}(u, v))$$

به‌ازای همه مقادیر (u, v) متعلق به حوزه $x^{-1}y$. باعلامت تابعی: $y = x(\bar{u}, \bar{v})$.

طبعاً با معادلات مشابهی x بر حسب y نیز بیان می‌گردد.

فرغ ۳.۳ اثبات دیفرانسیلیپذیری را آسان می‌کند. مثلاً اگر f تابعی با مقدار حقیقی روی M باشد، به‌جای آنکه همه عبارتهای مختصاتی $f(x)$ از لحاظ دیفرانسیلیپذیری اقلیدسی بررسی شوند، کافی است این مطلب را فقط به‌ازای چند قطعه مختصاتی x که M را بپوشانند بررسی کرد (و اغلب یک قطعه مختصاتی کفایت می‌کند). اثبات به‌آسانی از بررسی حوزه‌های توابع مرکب نتیجه می‌گردد: به‌ازای قطعه مختصاتی دلخواه y اگر $f(x)$ و $x^{-1}y$ دیفرانسیلیپذیر باشند، $f(x) \circ x^{-1}y$ نیز دیفرانسیلیپذیر است. این تابع معمولاً $f \circ y$



شکل ۲۵.۴

نیست، زیرا حوزه آن کوچکتر است. اما چون برای پوشاندن M به قدر کافی x وجود دارد، این توابع همه f, y را تشکیل می دهند، و بدین ترتیب دیفرانسیلپذیری آن اثبات می گردد. مفهوم بردار مماس بر رویه M در E^3 کاملاً روشن است. برای این مفهوم می توان تعریفی مبتنی بر این تصور که اگر خمی بر M واقع باشد، همه بردارهای سرعت آن باید بر M مماس باشند، بیان کرد.

۵.۳. تعریف. گیریم p نقطه‌ای از رویه M در E^3 باشد، بردار مماس v بر E^3 در p هنگامی بر M مماس نامیده می شود، که v بردار سرعت خمی در M باشد (شکل ۲۶.۴).

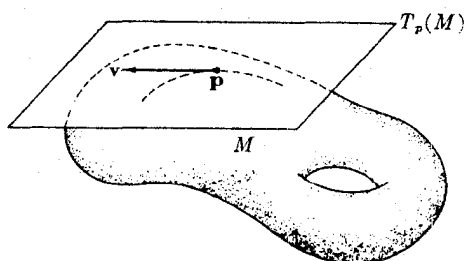
مجموعه همه بردارهای مماس بر M در p صفحه مماس M در p نامیده می شود، و با $T_p(M)$ نشان داده می شود. لم زیر نشان می دهد که در هر نقطه p از M ، صفحه مماس $T_p(M)$ یک زیرفضای برداری دوبعدی از فضای مماس $T_p(E^3)$ می باشد.

۶.۳. لم. گیریم p نقطه‌ای از رویه M در E^3 باشد، و x قطعه مختصاتی در M به طوری که $x(u_0, v_0) = p$. شرط لازم و کافی برای آنکه بردار مماس v بر E^3 در p بر رویه M مماس باشد، آن است که بتوان v را به صورت ترکیب خطی از $x_u(u_0, v_0)$ و $x_v(u_0, v_0)$ نوشت.

چون سرعتهای جزئی همواره دارای استقلال خطی اند، بنا بر این یک پایه برای صفحه مماس بر M در هر نقطه $x(D)$ تشکیل می دهند.

برهان. از آنجا که خمهای پارامتر x روی رویه M واقع اند، سرعتهای جزئی آنها نیز بر M در p مماس اند.

نخست گیریم v بر M در p مماس باشد، بنا بر این یک خم α بر M وجود دارد به طوری که $\alpha(0) = p$ و $\alpha'(0) = v$ و بنا بر لم ۶.۳، خم α را می توان به صورت $\alpha = x(a_1, a_2)$ نوشت. بنا بر دستور مشتق توابع مرکب داریم



شکل ۲۶.۴

$$\alpha' = x_u(a_1, a_2) \frac{da_1}{dt} + x_v(a_1, a_2) \frac{da_2}{dt}$$

اما چون $\alpha(0) = \mathbf{p} = \mathbf{x}(u_0, v_0)$ ، خواهیم داشت $a_1(0) = u_0$ ، $a_2(0) = v_0$ ، از آنجا با محاسبه در $t = 0$ به دست می‌آید

$$\mathbf{v} = \alpha'(0) = \frac{da_1}{dt}(0) \mathbf{x}_u(u_0, v_0) + \frac{da_2}{dt}(0) \mathbf{x}_v(u_0, v_0)$$

برعکس اگر بردار مماس بر \mathbf{E}^3 به صورت

$$\mathbf{v} = c_1 \mathbf{x}_u(u_0, v_0) + c_2 \mathbf{x}_v(u_0, v_0)$$

نوشته شود، در این صورت با محاسبه‌ای مانند بالا ثابت می‌شود که \mathbf{v} بردار سرعت در $t = 0$ مربوط به خم

$$t \rightarrow \mathbf{x}(u_0 + tc_1, v_0 + tc_2)$$

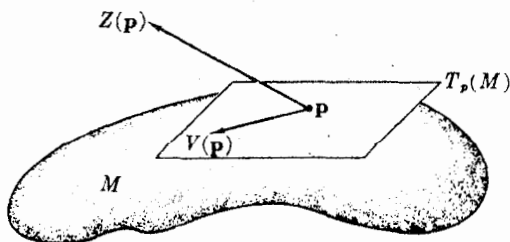
است، و بنا براین \mathbf{v} بر M در \mathbf{p} مماس می‌باشد.

يك استنتاج معقول براساس خواص کلی مشتقها این است که صفحه مماس $T_p(M)$ تقریب خطی رویه M در مجاورت \mathbf{p} است.

۷.۴. تعریف. میدان برداری اقلیدسی Z روی رویه M در \mathbf{E}^3 تابعی است که به هر نقطه \mathbf{p} از M بردار مماس $Z(\mathbf{p})$ بر \mathbf{E}^3 در \mathbf{p} را تخصیص می‌دهد.

میدان برداری اقلیدسی V که هر بردار $V(\mathbf{p})$ آن بر M در \mathbf{p} مماس باشد، میدان برداری مماس بر M نامیده می‌شود (شکل ۲۷.۴). اغلب این میدانهای برداری روی تمام M معین نیستند، و فقط روی ناحیه‌ای از آن تعریف شده‌اند، و مانند معمول همواره آنها را دیفرانسیلپذیر فرض می‌کنیم (تمرین ۱۲).

اگر بردار اقلیدسی Z در نقطه \mathbf{p} از M بر M قائم باشد، بر صفحه مماس $T_p(M)$ عمود است، یعنی بر هر بردار مماس بر M در \mathbf{p} عمود می‌باشد. يك میدان برداری اقلیدسی



شکل ۲۷.۴

Z که هر بردار $Z(\mathbf{p})$ آن بر M قائم باشد میدان برداری قائم بر M نامیده می‌شود. چون $T_p(M)$ یک زیر فضای دوبعدی از $T_p(\mathbf{E}^3)$ است، در \mathbf{p} فقط یک راستای قائم بر M وجود دارد، زیرا همه بردارهای قائم \mathbf{z} در \mathbf{p} بریک خط می‌باشند. بنا بر این اگر \mathbf{z} صفر نباشد $T_p(M)$ دست از بردارهای متعلق به $T_p(\mathbf{E}^3)$ که بر \mathbf{z} عمودند تشکیل می‌گردد. بررسی میدانهای برداری قائم و مماس روی رویه‌ای که به صورت ضمنی داده شده است، نیز بسیار آسان است.

۸.۳. لم. اگر $M: g=c$ رویه‌ای در \mathbf{E}^3 باشد، در این صورت میدان برداری گرادینان $\nabla g = \sum (\partial g / \partial x_i) U_i$ (که فقط روی نقاط متعلق به M در نظر گرفته می‌شود) یک میدان برداری قائم روی تمام رویه M می‌باشد.

برهان. گرادینان روی M همواره مخالف صفر است، زیرا بنا بر قضیه ۴.۱ مشتقهای جزئی $\partial g / \partial x_i$ نمی‌توانند همزمان در یک نقطه از M صفر شوند.

باید نشان دهیم که به ازای هر بردار مماس \mathbf{v} بر M در \mathbf{p} داریم $(\nabla g)(\mathbf{p}) \cdot \mathbf{v} = 0$. برای این منظور توجه شود که اگر α خمی روی M باشد، در این صورت $g(\alpha) = g(\alpha_1, \alpha_2, \alpha_3)$ دارای مقدار ثابت c است، و بنابراین دستور مشتق تابع مرکب داریم

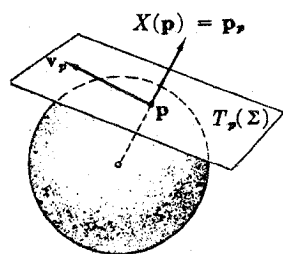
$$\sum \frac{\partial g}{\partial x_i}(\alpha) \frac{d\alpha_i}{dt} = 0$$

اکنون α را طوری انتخاب می‌کنیم که سرعت آغازی آن در نقطه $\alpha(0) = \mathbf{p}$ معین باشد

$$\alpha'(0) = \mathbf{v} = (v_1, v_2, v_3)$$

در این صورت

$$0 = \sum \frac{\partial g}{\partial x_i}(\alpha(0)) \frac{d\alpha_i}{dt}(0) = \sum \frac{\partial g}{\partial x_i}(\mathbf{p}) v_i = (\nabla g)(\mathbf{p}) \cdot \mathbf{v} = 0$$



شکل ۲۸.۴

۹.۳. مثال. میدانهای برداری روی کسره $\Sigma: g = \sum x_i^2 = r^2$ لم بالا نشان می‌دهد که

$$X = \frac{1}{r} \nabla g = \sum x_i U_i$$

یک میدان برداری قائم بر Σ است (شکل ۲۸.۴). این نکته از لحاظ هندسی بدیهی است؛ زیرا $X(\mathbf{p}) = \sum p_i U_i(\mathbf{p})$ همان بردار \mathbf{p} با نقطه آغازی \mathbf{p} می‌باشد. شرط لازم و کافی برای آنکه

\mathbf{v}_p مماس بر Σ باشد آن است که حاصل ضرب داخلی $\mathbf{v}_p \cdot \mathbf{p}_p = \mathbf{v} \cdot \mathbf{p}$ صفر باشد. همچنین میدان برداری V روی Σ يك میدان برداری مماس است، اگر و فقط اگر $V \cdot X = 0$ ، مثلاً $V(\mathbf{p}) = (-p_2, p_1, 0)$ يك میدان برداری مماس روی Σ را تعریف می‌کند، که متوجه به «مشرق» است، و در قطبهای شمال و جنوب $(0, 0, \pm r)$ صفر می‌شود.

باید تأکید کرد که فقط میدانهای برداری مماس روی M به حساب دیفرانسیل و انتگرال خود M تعلق دارند، زیرا اساساً از خمهای واقع بر M به دست می‌آیند (تعریف ۳.۵). اما میدانهای برداری قائم قطعاً چنین نیستند، و چنان‌که در فصول آینده خواهیم دید، میدانهای برداری قائم، برای بررسی M از لحاظ ناظری که در E^3 قرار دارد بسیار مفیدند.

بالاخره مفهوم مشتق امتدادی را برای رویه‌ها تعمیم می‌دهیم. در تعریف ۱.۳ فصل اول، از خطوط راست در E^3 استفاده شد، از این رو باید از دستور کلیتری که مبتنی بر لم ۶.۴ فصل اول است استفاده کنیم.

۱۰.۳. تعریف. گیریم \mathbf{v} يك بردار مماس بر M در \mathbf{p} ، و f تابعی دیفرانسیلپذیر با مقدار حقیقی روی M باشد. $\nabla[f]$ ، مشتق f نسبت به \mathbf{v} مقدار مشترك $(d/dt)(f\alpha)(0)$ به ازای همهٔ خمهای α بر M است که دارای سرعت آغازی \mathbf{v} می‌باشند.

مشتقهای امتدادی روی يك رویه درست دارای همان خواص خطی و لاابینیتی حالت اقلیدسی (قضیهٔ ۳.۳، فصل اول) می‌باشند.

تمرینات

۱- گیریم X قطعه مختصاتی جغرافیایی روی کرهٔ Σ (مثال ۲.۲) باشد. مطلوب است تعیین عبارت مختصاتی $f(X)$ به ازای توابع زیر روی Σ :

$$f(\mathbf{p}) = p_1^2 + p_2^2 \quad (\text{الف}) \quad f(\mathbf{p}) = (p_1 - p_2)^2 + p_3^2 \quad (\text{ب})$$

۲- گیریم X نمایش پارامتری چنبرهٔ مثال ۶.۲ باشد.

(الف) مختصات اقلیدسی α_1 ، α_2 ، α_3 از خم $\alpha(t) = \mathbf{x}(t, t)$ را بیابید.

(ب) نشان دهید که α متناوب است، و دورهٔ تناوب آن را بیابید (صفحهٔ ۲۶ را ببینید).

۳- (الف) فرع ۴.۳ را ثابت کنید.

(ب) دستورهای «مشتق مرکب»

$$\mathbf{y}_u = \frac{\partial \bar{u}}{\partial u} \mathbf{x}_u + \frac{\partial \bar{v}}{\partial u} \mathbf{x}_v, \quad \mathbf{y}_v = \frac{\partial \bar{u}}{\partial v} \mathbf{x}_u + \frac{\partial \bar{v}}{\partial v} \mathbf{x}_v$$

را که در آنها \mathbf{x}_u و \mathbf{x}_v روی (\bar{u}, \bar{v}) محاسبه شده‌اند، اثبات کنید.

(ج) از آنجا نتیجه بگیرید که $\mathbf{y}_u \times \mathbf{y}_v = J \mathbf{x}_u \times \mathbf{x}_v$ که در آن J دترمینان ژاکوبی

نگاشت $\mathbf{x}^{-1}\mathbf{y} = (\bar{u}, \bar{v}) : D \rightarrow \mathbb{E}^2$ است.

۰۴. گیریم \mathbf{x} يك قطعه مختصاتی در M باشد. (الف) اگر \mathbf{x}_0 نگاشت مشتق \mathbf{x} (فصل ۱ بند ۲.۷) باشد، نشان دهید که

$$\mathbf{x}_0(U_1) = \mathbf{x}_u, \quad \mathbf{x}_0(U_2) = \mathbf{x}_v$$

U_1 و U_2 میدان سه‌وجهی طبیعی در \mathbb{E}^3 است. (ب) اگر f تابع دیفرانسیلپذیری روی M باشد، ثابت کنید که

$$\mathbf{x}_u[f] = \frac{\partial}{\partial u}(f(\mathbf{x})), \quad \mathbf{x}_v[f] = \frac{\partial}{\partial v}(f(\mathbf{x}))$$

۰۵. ثابت کنید که:

(الف) شرط لازم و کافی برای آنکه \mathbf{v} در نقطه \mathbf{p} بر $M : z = f(x, y)$ مماس باشد آن است که

$$v_3 = \frac{\partial f}{\partial x}(p_1, p_2)v_1 + \frac{\partial f}{\partial y}(p_1, p_2)v_2$$

(ب) اگر \mathbf{x} يك قطعه مختصاتی روی رویه دلخواه M باشد، آنگاه \mathbf{v} بر M در $\mathbf{x}(u, v)$ مماس است، اگر و فقط اگر،

$$\mathbf{v} \cdot \mathbf{x}_u(u, v) \times \mathbf{x}_v(u, v) = 0$$

۰۶. گیریم \mathbf{x} و \mathbf{y} قطعه‌های مختصاتی روی کره یکه Σ باشند که روی قرص یکه $D : u^2 + v^2 < 1$ به صورت زیر تعریف شده‌اند

$$\mathbf{x}(u, v) = (u, v, f(u, v)), \quad \mathbf{y}(u, v) = (v, f(u, v), u)$$

که در آن $f = \sqrt{1 - u^2 - v^2}$

(الف) بر طرحتی از Σ نگاره‌های $\mathbf{x}(D)$ و $\mathbf{y}(D)$ و ناحیه همپوش آنها را مجسم کنید.

(ب) درچه نقاطی از D ، $\mathbf{y}^{-1}\mathbf{x}$ معین است؟ فرمول این تابع را بیابید.

(ج) درچه نقاطی از D ، $\mathbf{x}^{-1}\mathbf{y}$ معین است؟ فرمول این تابع را بیابید.

۰۷. روی $M : z = xy$ يك میدان برداری قائم بیابید، که همواره مخالف صفر باشد، و دومیدان برداری مماس مستقل خطی در هر نقطه پیدا کنید.

۰۸. گیریم C مخروط مستدیر قائم

$$\mathbf{x}(u, v) = v(\cos u, \sin u, 1)$$

و α خم $\alpha(t) = \mathbf{x}(\sqrt{2}t, e^t)$ باشد.

(الف) α' را بر حسب \mathbf{x}_u و \mathbf{x}_v بیان کنید.

(ب) نشان دهید که در هر نقطه از α سرعت α' نیمساز زاویه بین \mathbf{x}_u و \mathbf{x}_v می‌باشد.

(دانهمایی: تحقیق کنید که $\|\alpha'\| = \|\mathbf{x}_u\| \|\mathbf{x}_v\| \cos \theta$)

(ج) مخروط C و خم α را روی آن مجسم کنید.

۹. اگر \mathbf{z} یک بردار غیرصفر قائم بر M در \mathbf{p} باشد، و $T_p(M)$ صفحهٔ مارپ بر \mathbf{p} و عمود بر \mathbf{z} را نشان دهد (صفحهٔ ۷۰ را ببینید)، ثابت کنید:

(الف) اگر به جای هر بردار \mathbf{v}_p مماس بر M در \mathbf{p} ، بردار $\mathbf{p} + \mathbf{v}$ را قرار دهیم، در این صورت $T_p(M)$ به $\bar{T}_p(M)$ بدل می‌گردد (بدینسان $\bar{T}_p(M)$ به‌طور واقعی $T_p(M)$ را در \mathbf{E}^3 نمایش می‌دهد.)

(ب) اگر \mathbf{x} یک قطعهٔ مختصاتی در M باشد، در این صورت $T_{\mathbf{x}(u,v)}(M)$ از همهٔ نقاط \mathbf{r} متعلق به \mathbf{E}^3 تشکیل می‌گردد که به‌ازای آنها

$$(\mathbf{r} - \mathbf{x}(u, v)) \cdot \mathbf{x}_u(u, v) \times \mathbf{x}_v(u, v) = 0$$

(ج) اگر M به‌صورت ضعیفی با $c = g$ معین شده باشد، در این صورت $\bar{T}_p(M)$ از همهٔ نقاط \mathbf{r} متعلق به \mathbf{E}^3 تشکیل می‌گردد که به‌ازای آنها $(\mathbf{r} - \mathbf{p}) \cdot (\nabla g)(\mathbf{p}) = 0$.

۱۰. در هر یک از حالت‌های زیر معادله‌ای به‌صورت $ax + by + cz = d$ برای صفحهٔ $\bar{T}_p(M)$ بیابید.

(الف) $\mathbf{p} = (0, 0, 0)$ و M کره

$$x^2 + y^2 + (z - 1)^2 = 1$$

(ب) $\mathbf{p} = (1, -2, 3)$ و M بیضیگون

$$\frac{x^2}{4} + \frac{y^2}{16} + \frac{z^2}{18} = 1$$

(ج) $\mathbf{p} = \mathbf{x}(2, \pi/4)$ که در آن M هلیکویید با نمایش پارامتری زیر است

$$\mathbf{x}(u, v) = (u \cos v, u \sin v, 2v)$$

۱۱. (ادامهٔ تمرین ۲)

(الف) اگر m و n دو عدد صحیح باشند که $b.m = a.n$ باشد، ثابت کنید که

$\alpha(t) = \mathbf{x}(mt, nt)$ یک خم بستهٔ ساده روی چنبره است و دورهٔ تناوب آن را بیابید.

۱. یعنی، نشان دهید که $\alpha'(t) = \alpha'(t)$ ، اگر، و فقط اگر، $t = t$ مضربی از دورهٔ تناوب p باشد. به بیان اجمالی، این بدان معنی است که راه α به‌جای اینکه مثلاً به‌شکل 8 باشد، به‌شکل 0 می‌باشد.

(ب) اگر q يك عدد گنگ باشد، نشان دهید كه خم $\mathbf{R} \rightarrow T : \alpha$ به طوری كه $\alpha(t) = \mathbf{x}(t, qt)$ ، يك به يك است.

این خم را خط چوخش روی چنبره T می نامند و در T متراکم است، یعنی به ازای هر عدد $\varepsilon > 0$ ، α به هر نقطه از T به اندازه ε نزدیک می گردد.

۱۲. يك میدان برداری اقلیدسی $Z = \sum z_i U_i$ روی M دیفرانسیلپذیر است اگر توابع مختصاتی آن z_1, z_2, z_3 (روی M) دیفرانسیلپذیر باشند. گیریم V يك میدان برداری مماس است، ثابت کنید كه

(الف) به ازای هر قطعه مختصاتی $M \rightarrow D : \mathbf{x}$ می توان V را به صورت زیر نوشت

$$V(\mathbf{x}(u, v)) = f(u, v)\mathbf{x}_u(u, v) + g(u, v)\mathbf{x}_v(u, v)$$

(ب) برای آنكه V دیفرانسیلپذیر باشد لازم و كافی است كه f و g (روی D) دیفرانسیلپذیر باشند.

تمرینات زیر مستلزم اطلاعاتی از توپولوژی است و دربارهٔ مجموعه های باز در رويهٔ M از E^3 ، یعنی مجموعه هایی مانند M در M كه شامل يك همسایگی در M برای هر يك از نقاط خود باشند بحث می كند.

۱۳. ثابت کنید كه اگر $\mathbf{y} : E \rightarrow M$ يك قطعه مختصاتی خاص باشد، در این صورت \mathbf{y} هر مجموعهٔ باز از E را به مجموعه ای باز از M بدل می كند. نشان دهید كه اگر $\mathbf{x} : D \rightarrow M$ يك قطعه مختصاتی دلخواه باشد در این صورت $\mathbf{x}(D)$ در M مجموعه ای باز است. (داهنمایی: برای اثبات حكم اخير از فرع ۳.۳ استفاده کنید.)

۱۴. نشان دهید كه هر قطعه مختصاتی $M \rightarrow D : \mathbf{x}$ در رويهٔ M از E^3 قطعه ای خاص است. (داهنمایی: از تمرین ۱۳ استفاده کنید. توجه شود كه $\mathbf{y}^{-1}(\mathbf{x}^{-1}\mathbf{y})$ پیوسته بوده و با \mathbf{x}^{-1} روی يك مجموعهٔ باز از $\mathbf{x}(D)$ سازگار است.)

۱۵. اگر M زیر مجموعه ای از رويهٔ M در E^3 باشد، ثابت کنید كه M خود نیز رويه ای در E^3 است اگر، و فقط اگر، M زیر مجموعه ای باز از M باشد.

۴. فرمهای دیفرانسیلی روی يك رويه

در فصل اول دربارهٔ فرمهای دیفرانسیلی روی E^3 ، تاحدی كه برای معادلات ساختاری کارتان لازم بود، بررسی کردیم (قضیهٔ ۳.۸ فصل ۲). در سه بند آینده به تفصیل دربارهٔ فرمهای واقع روی يك رويه بحث خواهد شد.

فرمها درست همان چیزهایی هستند كه برای بیان هندسهٔ رويه ها به آنها احتیاج داریم (فصلهای ۶ و ۷). البته این، فقط یکی از فواید آنهاست. رويه ها و فضاهاى اقلیدسی حالتهاى خاصی از مفهوم کلی خمینه هستند (بند ۸). هر خمینه دارای يك حساب

دیفرانسیل و انتگرال است، که برحسب فرمها بیان می‌شود، و تعمیم حساب دیفرانسیل و انتگرال مقدماتی روی خط حقیقی می‌باشد. بدین ترتیب ملاحظه می‌شود که فرمها در تمام ریاضیات و کاربردهای آن، که برحساب دیفرانسیل و انتگرال مبتنی هستند دارای نقشی بنیادی می‌باشند. درحالت خاص رویه‌ها، حساب دیفرانسیل و انتگرال فرمها نسبتاً آسان است و درعین حال تصویر خیلی دقیقی از حالت کلی را مجسم می‌کند.

مانند آنچه دربارهٔ E^2 گفتیم، يك ϕ - فرمی f روی يك رویه عبارت است از يك تابع (دیفرانسیلیپذیر) روی M با مقدار حقیقی و ۱- فرمی ϕ روی رویهٔ M تابعی است با مقدار حقیقی روی بردارهای مماس بر M به طوری که در هر نقطه خطی باشد (تعریف ۱۰۵ فصل اول). در فصل اول، تعریف دقیقی از ۲- فرمیها داده نشد. در اینجا به بحث در این باره می‌پردازیم. ۲- فرمیها نظایر دوبعدی ۱- فرمیهایند: يك ϕ - فرمی تابعی است با مقدار حقیقی روی زوج بردارهای مماس، نه روی تک بردارهای مماس. (در این کتاب، منظور ما از اصطلاح «زوج» همواره آن است که نقطهٔ اثر بردارهای مماس یکی است.)

۱۰۴- تعریف. يك ϕ - فرمی η روی رویهٔ M عبارت است از تابعی با مقدار حقیقی روی تمام زوجهای مرتب از بردارهای مماس v و w بر M به طوری که

$$(1) \quad \eta(v, w) \text{ بر حسب } v \text{ و } w \text{ خطی باشد.}$$

$$(2) \quad \eta(v, w) = -\eta(w, v)$$

از آنجا که رویه دوبعدی است همهٔ p - فرمیها با $p > 2$ صفرند (بنابر تعریف) و این نکته به طور قابل ملاحظه‌ای نظریهٔ فرمهای دیفرانسیلی روی رویه‌ها را ساده می‌کند. در پایان این بند خواهیم دید که تعریف بالا با طرحی که در فصل اول بند ۶ بیان کردیم سازگار است.

جمع فرمها مانند معمول به روش نقطه‌ای انجام می‌گیرد؛ فقط فرمهای هم‌درجه $p = 0, 1, 2$ را با هم جمع می‌کنیم. همان طور که يك ϕ - فرمی ϕ را روی يك میدان برداری V محاسبه می‌کردیم، در اینجا به محاسبهٔ يك ϕ - فرمی η روی يك زوج میدان برداری V و W می‌پردازیم تا تابع حقیقی $\eta(v, w)$ روی رویهٔ M به دست آید. البته همواره فرض می‌کنیم که فرمهایی که با آنها سروکار داریم دیفرانسیلیپذیرند، یعنی میدانهای برداری (دیفرانسیلیپذیر) را به توابع دیفرانسیلیپذیر بدل می‌کنند.

از دستور تناوبی (۲) در تعریف ۱۰۴ به آسانی نتیجه می‌شود که به ازای هر بردار مماس v

$$\eta(v, v) = 0$$

این دستور نیز نشان می‌دهد که ۲- فرمیها با دترمینانها بستگی دارند.

۱۰۴- لم. گیریم η يك ϕ - فرمی روی رویهٔ M و v و w بردارهای مماس (با استقلال خطی) در نقطهٔ M باشند. در این صورت

$$\eta(av+bw, cv+dw) = \begin{vmatrix} a & b \\ c & d \end{vmatrix} \eta(v, w)$$

برهان. چون η بر حسب متغیر اول خود خطی است، مقدار آن روی زوج بردارهای مماس $av+bw$ و $cv+dw$ عبارت است از $a\eta(v, cv+dw) + b\eta(w, cv+dw)$ با استفاده از خطی بودن η بر حسب متغیر دوم، طرف اول رابطه بالا چنین نوشته می‌شود

$$ac\eta(v, v) + ad\eta(v, w) + bc\eta(w, v) + bd\eta(w, w)$$

و با توجه به دستور تناوبی (۲) خواهیم داشت

$$\eta(av+bw, cv+dw) = (ad-bc)\eta(v, w)$$

بنابراین مقادیر یک ۲- فرمی روی تمام زوجهای بردارهای مماس در یک نقطه به وسیله مقدار آن روی یک زوج مستقل خطی دلخواه کاملاً مشخص می‌گردد. از این نکته در مباحث بعد کلاً استفاده خواهیم کرد.

فرمهای دیفرانسیلی همواره از خواص کلی که در فصل اول برای فرمهای روی E^3 بیان شد (لااقل به طور جزئی) برخوردارند. از آن جمله: حاصل ضرب گزوده‌ای یک p - فرمی در یک q - فرمی، یک $(p+q)$ - فرمی خواهد بود. روی رویه‌ها این حاصل همواره صفر است، اگر $p+q > 2$ و اگر p یا q صفر باشد، حاصل ضرب مس‌بور درست ضرب معمولی یک فرم در یک تابع است. بنابراین فقط لازم است تعریف را در حالت $p=q=1$ بیان کنیم.

۳.۴. تعریف. اگر ϕ و ψ دو ۱- فرمی روی رویه M باشند، حاصل ضرب گزوده‌ای آنها $\phi \wedge \psi$ ، عبارت است از یک ۲- فرمی روی M به طوری که به ازای هر زوج بردار مماس v و w بر M داشته باشیم

$$(\phi \wedge \psi)(v, w) = \phi(v)\psi(w) - \phi(w)\psi(v)$$

باید توجه داشت که $\phi \wedge \psi$ درست یک ۲- فرمی روی M است، زیرا تابعی است با مقدار حقیقی روی همه زوجهای بردارهای مماس و در شرایط تعریف ۱.۴ صدق می‌کند. حاصل ضرب گزوده‌ای دارای همه خواص جبری معمولی بجز خاصیت تعویض پذیری می‌باشد. اگر ξ یک p - فرمی و η یک q - فرمی باشد، آنگاه

$$\xi \wedge \eta = (-1)^{pq} \eta \wedge \xi$$

در مورد رویه‌ها، علامت منها فقط در ضرب ۱- فرمیها ظاهر می‌شود، بنا بر این چنان که در فصل اول نیز دیدیم، داریم $\phi \wedge \psi = -\psi \wedge \phi$. حساب دیفرانسیل فرمها بر مشتق خارجی d مبتنی است. در مورد یک ۰- فرمی (یعنی

تابع) f مشتق خارجی، مانند پیش، عبارت است از ۱-فرمی df به‌طوری که داشته باشیم $df(\mathbf{v}) = \nabla[f]$. به‌طور کلی مشتق خارجی هر p -فرمی α (یا $(p+1)$ -فرمی) است. بنابراین در مورد رویه‌ها فقط لازم است مشتق خارجی $d\phi$ یک ۱-فرمی ϕ را تعریف کنیم.

۴.۴. تعریف. گیریم ϕ یک ۱-فرمی روی رویه M باشد. $d\phi$ مشتق خارجی ϕ ، عبارت است از یک ۲-فرمی به‌طوری که به‌ازای هر قطعه مختصاتی X در M داشته باشیم

$$d\phi(\mathbf{x}_u, \mathbf{x}_v) = \frac{\partial}{\partial u}(\phi(\mathbf{x}_v)) - \frac{\partial}{\partial v}(\phi(\mathbf{x}_u))$$

اما این هنوز یک تعریف معتبر نیست و مسأله سازگاری باقی است، زیرا آنچه تعریف شد، یک فرم $d_x\phi$ روی نگاره هر یک از قطعه‌های مختصاتی X در M است. این است که باید ثابت کرد که روی ناحیه‌ای که دو قطعه مختصاتی X و Y همپوشانند، فرمهای $d_x\phi$ و $d_y\phi$ باهم متساوی‌اند و فقط در این صورت از ϕ یک فرم $d\phi$ روی M به‌دست خواهد آمد.

۵.۴. لم. اگر ϕ یک ۱-فرمی روی M باشد، در این صورت به‌ازای هر دو قطعه مختصاتی X و Y از M تساوی $d_x\phi = d_y\phi$ روی ناحیه همپوش $X(D)$ و $Y(D)$ برقرار است.

برهان. چون \mathbf{y}_u و \mathbf{y}_v در هر نقطه دارای استقلال خطی‌اند کافی است، با استفاده از لم ۲.۲، ثابت کنیم که

$$(d_y\phi)(\mathbf{y}_u, \mathbf{y}_v) = (d_x\phi)(\mathbf{y}_u, \mathbf{y}_v)$$

اکنون قرار می‌دهیم $\mathbf{y} = \mathbf{x}(\bar{u}, \bar{v})$ (مانند فرع ۴.۳) و با استفاده از دستور مشتق توابع مرکب به‌دست می‌آوریم

$$\mathbf{y}_u = \frac{\partial \bar{u}}{\partial u} \mathbf{x}_u + \frac{\partial \bar{v}}{\partial u} \mathbf{x}_v \quad (1)$$

$$\mathbf{y}_v = \frac{\partial \bar{u}}{\partial v} \mathbf{x}_u + \frac{\partial \bar{v}}{\partial v} \mathbf{x}_v$$

که در آن \mathbf{x}_u و \mathbf{x}_v دای (\bar{u}, \bar{v}) محاسبه می‌شوند، و بنا بر لم ۲.۴ داریم

$$(d_x\phi)(\mathbf{y}_u, \mathbf{y}_v) = J(d_x\phi)(\mathbf{x}_u, \mathbf{x}_v) \quad (2)$$

که در آن J عبارت است از ژاکوبی $(\partial \bar{v} / \partial u) (\partial \bar{u} / \partial v) - (\partial \bar{u} / \partial u) (\partial \bar{v} / \partial v)$. پس با توجه به تعریف ۴.۴ روشن است که برای اثبات تساوی:

$$(d_y\phi)(\mathbf{y}_u, \mathbf{y}_v) = (d_x\phi)(\mathbf{y}_u, \mathbf{y}_v)$$

فقط باید تساوی

$$\frac{\partial}{\partial u}(\phi y_r) - \frac{\partial}{\partial v}(\phi y_u) = J \left\{ \frac{\partial}{\partial \bar{u}}(\phi x_r) - \frac{\partial}{\partial \bar{v}}(\phi x_u) \right\} \quad (3)$$

را ثابت کنیم.

برای این منظور کافی است فقط عملیات مربوط به $(\partial/\partial u)(\phi y_r)$ را انجام دهیم، زیرا با تعویض u و v با یکدیگر جمله $(\partial/\partial v)(\phi y_u)$ به دست می آید. چون در (۳) تفاضل این دو عبارت به کار رفته است می توانیم از جمله‌هایی که پس از این تعویض حذف می شوند صرف نظر کنیم.

ϕ را بر معادله دوم (۱) اثر می دهیم، به دست می آید:

$$\phi(y_r) = \phi(x_u) \frac{\partial \bar{u}}{\partial v} + \phi(x_r) \frac{\partial \bar{v}}{\partial v}$$

از آنجا

$$\frac{\partial}{\partial u}(\phi y_r) = \frac{\partial}{\partial u}(\phi x_u) \frac{\partial \bar{u}}{\partial v} + \frac{\partial}{\partial u}(\phi x_r) \frac{\partial \bar{v}}{\partial v} + \dots \quad (4)$$

که با توجه به توضیحی که گذشت در اینجا از دو جمله متقارن صرف نظر شده است. با ادامه عملیات داریم

$$\frac{\partial}{\partial u}(\phi y_r) = \left(\frac{\partial}{\partial \bar{v}}(\phi x_u) \frac{\partial \bar{v}}{\partial u} + \dots \right) \frac{\partial \bar{u}}{\partial v} + \left(\frac{\partial}{\partial \bar{u}}(\phi x_r) \frac{\partial \bar{u}}{\partial u} + \dots \right) \frac{\partial \bar{v}}{\partial v} \quad (5)$$

در (۵) u و v (و همچنین \bar{u} و \bar{v}) را با یکدیگر تعویض کرده و نتیجه را از هم تفریق می کنیم، حاصل دقیقاً همان معادله (۳) است.

در اهمیت مشتق خارجی هر چه بگوییم، کم گفته ایم. در فصل اول دیدیم که مشتق خارجی تعمیم همان مفهوم مشتق توابع است و واجد سه خاصیت اساسی عملیات مشتق که در آنالیز برداری کلاسیک مطرح است می باشد (تمرین ۸ بند ۶، فصل اول). در فصل دوم دیدیم که مشتق خارجی برای معادلات ساختاری کارتان (قضیه ۳.۸) دارای نقش بنیادی است. شاید روشنترین بیان برای تعبیر آن در فرمول استوکس (۵.۶) آمده باشد که می توان عملاً از آن به تعریف مشتق خارجی ۱-فرمی رسید.

در روی یک رویه، مشتق خارجی حاصل ضرب گوه‌ای دارای همان خواص خطی و لاابینتزی E^3 (قضیه ۴.۶ فصل اول) می باشد (تمرین ۳ را ببینید). برای محاسبات عملی، این خواص از تعریف مستقیم مفیدترند، در حالت اقلیدسی، بحث صفحه ۳۱ را ببینید. مثالهای این شیوه‌ها در تمرینهای بعدی خواهند آمد.

خصوصیت برجسته این مفهوم مشتق آن است که مشتق خارجی دوم وجود ندارد: در مورد فرمها هرگاه مشتق خارجی دوبار اعمال شود نتیجه همواره صفر است. درباره

رویه‌ها باید این مطلب را فقط برای ۰-فرمیها اثبات کرد، زیرا حتی دربارهٔ ۱-فرمیها $d(d\phi)$ يك ۳-فرمی است که خود به خود صفر است.

۶.۴. قضیه. اگر f تابعی بامقدار حقیقی (دیفرانسیلپذیر) روی M باشد، در این صورت $d(df) = 0$.

برهان. گیریم $df = \psi$ ، باید نشان دهیم که $d\psi = 0$. بنا بر لم ۲.۴ کافی است، به ازای قطعهٔ مختصاتی x در M نشان دهیم که $(d\psi)(x_u, x_v) = 0$. اما با توجه به تمرین ۴ بند ۳ داریم

$$\psi(x_u) = df(x_u) = x_u[f] = \frac{\partial}{\partial u}(fx)$$

و به طریق مشابه

$$\psi(x_v) = \frac{\partial}{\partial v}(fx)$$

از آنجا

$$\mathbf{I} \quad d\psi(x_u, x_v) = \frac{\partial}{\partial u}(\psi x_v) - \frac{\partial}{\partial v}(\psi x_u) = \frac{\partial^2(fx)}{\partial u \partial v} - \frac{\partial^2(fx)}{\partial v \partial u} = 0$$

بسیاری از محاسبات و براهین به مسألهٔ تساوی دو فرم منجر می‌شود. چنان که دیدیم برای این کار لازم نیست که تساوی فرمها روی تمام بردارهای مماس تحقیق شود. به ویژه، اگر x يك قطعهٔ مختصاتی باشد، در این صورت

(۱) به ازای ۱-فرمیهای روی $x(D)$ برای آنکه تساوی $\phi = \psi$ برقرار باشد، لازم و کافی است که $\phi(x_u) = \psi(x_u)$ و $\phi(x_v) = \psi(x_v)$.

(۲) به ازای ۲-فرمیهای روی $x(D)$ برای آنکه $\mu = \nu$ ، لازم و کافی است که $\mu(x_u, x_v) = \nu(x_u, x_v)$.

(برای اثبات این ملاک بردارهای مماس دلخواه را به صورت ترکیب خطی x_u و x_v بیان کنید.) به طور کلیتر می‌توان x_u و x_v را دومیدان برداری که در هر نقطه دارای استقلال خطی هستند انتخاب کرد.

اکنون نشان می‌دهیم، نتایجی که در این بند اثبات شد، بادستورهای فصل اول بند ۶ سازگارند.

۷.۴. مثال. فرمهای دیفرانسیلی روی صفحهٔ E^2 . گیریم $u_1 = u$ و $u_2 = v$ توابع مختصاتی طبیعی U_1 و U_2 میدان سه وجهی طبیعی روی E^2 باشند. حساب دیفرانسیل فرمها روی E^2 به صورت زیر برحسب u_1 و u_2 بیان می‌شود:

اگر f يك تابع، ϕ يك ۱-فرمی و η يك ۲-فرمی باشد، در این صورت

$$f_i = \phi(U_i) \quad \text{که در آن } \phi = f_1 du_1 + f_2 du_2 \quad (۱)$$

$$g = \eta(U_1, U_2) \quad \text{که در آن } \eta = g_1 du_1 + g_2 du_2 \quad (۲)$$

$$(۳) \quad \text{به ازای } \phi \text{ و } \psi = g_1 du_1 + g_2 du_2 \text{ مانند بالا}$$

$$\phi \wedge \psi = (f_1 g_2 - f_2 g_1) du_1 du_2$$

$$df = \frac{\partial f}{\partial u_1} du_1 + \frac{\partial f}{\partial u_2} du_2 \quad (۴)$$

$$(۵) \quad d\phi = \left(\frac{\partial f_2}{\partial u_1} - \frac{\partial f_1}{\partial u_2} \right) du_1 du_2 \quad (\phi \text{ مانند بالا})$$

برای اثبات این فرمولها، تمرین ۴ را ببینید.

تعاریف و عبارتهای مختصاتی مشابه را می توان برای هر فضای اقلیدسی بیان کرد. در حالت خط حقیقی E^1 ، میدان سه وجهی طبیعی (تعریف ۴.۲ فصل اول) به صورت یک میدان برداری تنهای یکتة U_1 درمی آید. که به ازای آن $U_1[f] = df/dt$ همه p -فرمیها به ازای $1 > p$ صفرند، و اگر ϕ یک ۱-فرمی باشد، در این صورت $d\phi = \phi(U_1) dt$.

در تمرینات زیر مثالهایی از فرمها خواهد آمد، اما در فصلهای ۶ و ۷ که تعبیر هندسی خواص آنها را می بینیم، مثالهای گوناگونی خواهیم داشت.

تمرینات

۱. اگر ϕ و ψ دو ۱-فرمی روی یک رویه باشند، ثابت کنید که $\phi \wedge \psi = -\psi \wedge \phi$ و نتیجه بگیرد که $\phi \wedge \phi = 0$.

۲. فرم ϕ را هنگامی که $d\phi = 0$ بسته می نامند. فرم ϕ را که به ازای یک فرم ξ بتوان به صورت $\xi = d\phi$ نوشت، کامل می نامند. (بدین ترتیب اگر ϕ یک p -فرمی باشد، ξ لزوماً یک $(p-1)$ -فرمی است.) ثابت کنید که:

(الف) هر فرم کامل بسته است.

(ب) هیچ ۵-فرمی کامل نیست، و روی یک رویه هر ۲-فرمی بسته است.

(ج) توابع ثابت، ۵-فرمیهای بسته اند.

۳. فرمولهای لاینیتزی زیر را ثابت کنید:

$$d(fg) = df g + f dg \quad d(f\phi) = df \wedge \phi + f d\phi$$

که در آن f و g توابعی روی M هستند و ϕ یک ۱-فرمی است (داهنمایی: به موجب تعریف $(f\phi)(v_p) = f(p)\phi(v_p)$ ؛ بنابراین وقتی $f\phi$ را روی x_p حساب کنیم خواهد شد $(f(x))\phi(x_p)$).

۴. (الف) فرمولهای (۱) و (۲) در مثال ۷.۴ را با استفاده از تبصره قبل از مثال مزبور

$$\text{اثبات کنید. (داهنمایی: نشان دهید } (U_1, U_2) = 1 \text{.)}$$

(ب) سایر فرمولها را با استفاده از خاصیت d و ضرب گروه‌ای به دست آورید.

۵. اگر f تابعی با مقدار حقیقی روی یک رویه و g تابعی روی خط حقیقی باشد، ثابت کنید که

$$v_p[g(f)] = g'(f)v_p[f]$$

و از آنجا

$$d(g(f)) = g'(f)df$$

۶. اگر f, g و h توابعی روی رویه M و ϕ یک ۱-فرمی باشد، ثابت کنید که:

$$d(fgh) = ghdf + fh dg + fg dh \quad (\text{الف})$$

$$d(\phi f) = f d\phi - \phi \wedge df \quad (\phi f = f\phi) \quad (\text{ب})$$

$$(df \wedge dg)(v, w) = v[f]w[g] - v[g]w[f] \quad (\text{ج})$$

۷. گیریم زیرمجموعه‌های باز U_1, \dots, U_k, M را پوشانند و روی هر یک از U_i ها تابع

f_i طوری تعریف شده باشد که $f_i - f_j$ روی ناحیهٔ همپوش U_i و U_j ثابت باشد. نشان

دهید که می‌توان یک ۱-فرمی ϕ روی M طوری تعیین کرد که $\phi = df_i$ روی هر U_i

باشد. این مطلب را دربارهٔ ۱-فرمیهای ϕ_i به طوری که $\phi_i - \phi_j$ بسته باشد، تعمیم دهید.

۸. گیریم $y: E \rightarrow M$ نگاشتی دلخواه از یک مجموعهٔ باز E^2 در روی M باشد. نشان

دهید که فرمول زیر به ازای یک ۱-فرمی ϕ روی M برقرار است، ولو آنکه y منظم یا

یک به یک نباشد

$$d\phi(y_u, y_v) = \frac{\partial}{\partial u}(\phi y_v) - \frac{\partial}{\partial v}(\phi y_u)$$

(داهنمایی: در برهان کم ۵.۴ تحقیق کنید که معادلهٔ (۳) باز هم در این حالت معتبر است.)

قطعه مختصاتی x در M یک تناظر یک به یک بین زیرمجموعهٔ باز D از E^2 و یک مجموعهٔ

باز $x(D)$ از M برقرار می‌کند. گرچه توجه و تأکید ما روی تابع $x: D \rightarrow x(D)$

است، اما مزایا و محسنات تابع معکوس $x^{-1}: x(D) \rightarrow D$ موجب گردیده است که

آن را مورد تأکید و توجه قرار دهند.

۹. اگر $x: D \rightarrow M$ یک قطعه مختصاتی در M باشد، و \tilde{u} و \tilde{v} توابع مختصاتی x^{-1}

باشند، به طوری که به ازای هر p در $x(D)$ ، $x^{-1}(p) = (\tilde{u}(p), \tilde{v}(p))$ ، نشان دهید که

(الف) \tilde{u} و \tilde{v} توابعی دیفرانسیلپذیر روی $x(D)$ می‌باشند به طوری که

$$\tilde{u}(x(u, v)) = u, \quad \tilde{v}(x(u, v)) = v$$

این توابع دستگاه مختصات وابسته به \mathbf{x} را تشکیل می‌دهند

$$\tilde{d}u(\mathbf{x}_u) = 1 \quad \tilde{d}u(\mathbf{x}_v) = 0 \quad (\text{ب})$$

$$\tilde{d}v(\mathbf{x}_u) = 0 \quad \tilde{d}v(\mathbf{x}_v) = 1$$

(ج) اگر ϕ يك ۱- فرمی و η يك ۲- فرمی باشد، آنگاه

$$f(\mathbf{x}) = \phi(\mathbf{x}_u), \quad g(\mathbf{x}) = \phi(\mathbf{x}_v) \quad \text{که در آن } \phi = f \tilde{d}u + g \tilde{d}v$$

$$h(\mathbf{x}) = \eta(\mathbf{x}_u, \mathbf{x}_v) \quad \text{که در آن } \eta = h \tilde{d}u \tilde{d}v$$

(داهنمایی: برای اثبات (ب) از تمرین ۴ (ب) فصل ۴، بند ۳ استفاده کنید.)

۱۰- دستگاه مختصات u, v وابسته به هر يك از حالت‌های زیر را بیابید:

(الف) قطعه مختصاتی، مختصات قطبی $\mathbf{x}(u, v) = (u \cos v, u \sin v)$ روی D

$$0 < u < 2\pi \quad \text{و} \quad 0 < v < \pi$$

(ب) قطعه مختصاتی همانی $\mathbf{x}(u, v) = (u, v)$ در E^2 .

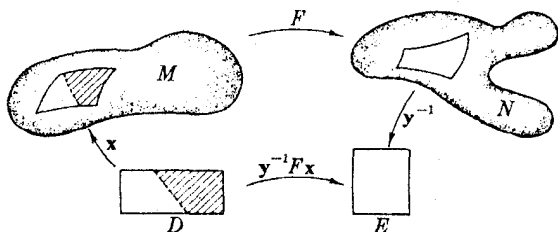
(ج) قطعه مختصاتی جغرافیایی \mathbf{x} در کره.

۵. نگاشت رویه‌ها

برای تعریف دیفرانسیلپذیری يك تابع از يك رویه به رویه دیگر همان طرح بند ۳ را به کار می‌بریم و همه عبارتهای مختصاتی آن را دیفرانسیلپذیر فرض می‌کنیم.

۱۰۵. تعریف. تابع $F: M \rightarrow N$ از يك رویه به رویه دیگر را هنگامی دیفرانسیلپذیر نامند، که به ازای هر قطعه مختصاتی \mathbf{x} از M و \mathbf{y} از N تابع مرکب $\mathbf{y}^{-1}F\mathbf{x}$ دیفرانسیلپذیر (اقلیدسی) باشد (و روی زیرمجموعه‌ی بازی از E^2 معین باشد). F را در این صورت يك نگاشت رویه‌ها می‌نامند.

روشن است که تابع $\mathbf{y}^{-1}F\mathbf{x}$ در همه نقاط (u, v) از D که به ازای آنها $F(\mathbf{x}(u, v))$ در نگاره \mathbf{y} قرار دارد، معین است (شکل ۲۹.۴). مانند بند ۳، از فرع ۳.۳ نتیجه می‌شود



شکل ۲۹.۴

که برای استفاده از این تعریف کافی است آن را در مورد قطعه‌های مختصاتی کافی، که M و N را می‌پوشانند، تحقیق کنیم.

۲۰۵. مثال. (۱) گیریم Σ کرهٔ یک‌ه در E^3 (به مرکز o) باشد، که از آن قطبهای شمال و جنوب، Δ حذف کرده‌ایم، و C استوانه‌ای باشد، که قاعدهٔ آن دایرهٔ یک‌ه‌ای در صفحهٔ xy است. بدین ترتیب C با کره در طول استوا تماس دارد. نگاشت $F: \Sigma \rightarrow C$ را به ترتیب زیر تعریف می‌کنیم: از هر نقطهٔ p از Σ خطی مرور می‌دهیم که محور z را به‌طور متعامد قطع کند، نخستین نقطهٔ تقاطع آن را با C ، به $F(p)$ نشان می‌دهیم (شکل ۳۰.۴). برای اثبات آنکه F یک نگاشت است، از قطعه مختصاتی جغرافیایی X در Σ (مثال ۲۰.۲) استفاده می‌کنیم و برای C قطعه مختصاتی $y(u, v) = (\cos u, \sin u, v)$ را در نظر می‌گیریم.

$$x(u, v) = (\cos v \cos u, \cos v \sin u, \sin v)$$

و از تعریف F ، خواهیم داشت

$$F(x(u, v)) = (\cos u, \sin u, \sin v)$$

اما این نقطه از C عبارت است از $y(u, \sin v)$ ، بنا بر این

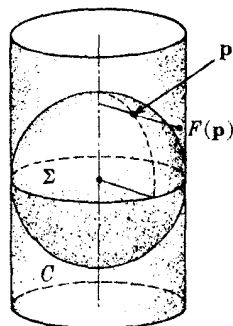
$$F(x(u, v)) = y(u, \sin v)$$

چون y^{-1} را بر هر دو طرف این معادله اثر دهیم، خواهیم داشت

$$(y^{-1} Fx)(u, v) = (u, \sin v)$$

و بدین ترتیب دیده می‌شود که $y^{-1} Fx$ دیفرانسیلپذیر است. (البته X کاملاً Σ را نمی‌پوشاند، اما نیم‌دایره‌های حذف شده را می‌توان با قطعه‌ای مانند X پوشاند.) از آنجا به این نتیجه می‌رسیم که F یک نگاشت است.

(۲) تصویر منظری کرهٔ Σ (با حذف قطب شمال) بر روی صفحه. گیریم Σ کره‌ای یک‌ه باشد، که روی صفحهٔ xy در مبدأ قرار گرفته است، و بنا بر این مرکز آن در $(0, 0, 1)$ قرار دارد. قطب شمال $n = (0, 0, 2)$ از Σ حذف شده است، اکنون تصور کنیم که منبع نوری در قطب شمال قرار دارد، و به ازای هر نقطهٔ p از Σ سایهٔ $P(p)$ در صفحهٔ xy را منظر قرار دهیم (شکل ۳۱.۴) مطابق معمول، صفحهٔ xy را با E^2 به وسیله $(p_1, p_2) \leftrightarrow (p_1, p_2, 0)$ متحد می‌کنیم. بدین ترتیب P به صورت تابعی از روی Σ روی E^2



شکل ۳۰.۴

در می‌آید، و به صورت زیر است

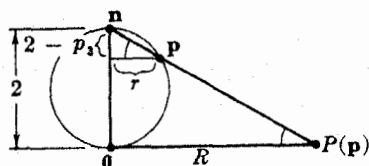
$$P(p_1, p_2, p_3) = \left(\frac{Rp_1}{r}, \frac{Rp_2}{r} \right)$$

کسه در آن r و R به ترتیب مسافت‌های \mathbf{p} و $P(\mathbf{p})$ از محور z می‌باشند. از تشابه مثلثها در شکل ۳۲.۴ نتیجه می‌شود که $R/2 = r/(2-p_3)$ و بنابراین

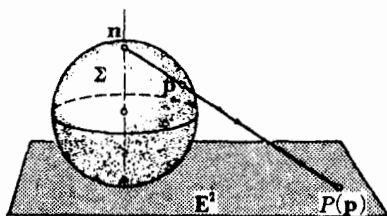
$$P(p_1, p_2, p_3) = \left(\frac{2p_1}{2-p_3}, \frac{2p_2}{2-p_3} \right)$$

اکنون دیده می‌شود که اگر X يك قطعه مختصاتی در Σ باشد، تابع مرکب PX دیفرانسیبلپذیر (اقلیدسی) است، و بنا بر این $P: \Sigma \rightarrow E^2$ يك نگاشت است.

نگاشت رویه‌ها نیز مانند نگاشتهای فضای اقلیدسی دارای نگاشت مشتق است.



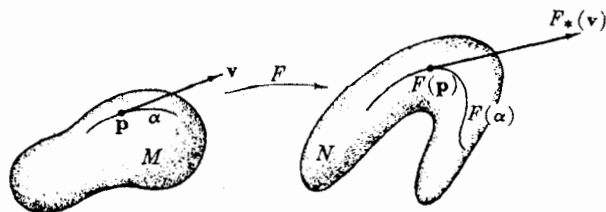
شکل ۳۲.۴



شکل ۳۱.۴

۳.۵. تعریف. گیریم $F: M \rightarrow N$ يك نگاشت رویه‌ها باشد. F_* ، نگاشت مشتق F ، به هر بردار مماس v بر M بردار مماس $F_*(v)$ به N را طوری متناظر قرار می‌دهد که: اگر v سرعت آغازی يك خم α در M باشد، آنگاه $F_*(v)$ سرعت آغازی خم نگاره $F(\alpha)$ در N است (شکل ۳۳.۴).

علاوه بر این در هر نقطه p نگاشت مشتق F_* تبدیلی خطی از صفحه مماس $T_p(M)$ به صفحه مماس $T_{F(p)}(N)$ می‌باشد (تمرین ۱۳ را ببینید). مستقیماً از تعریف نتیجه می‌شود که F_* سرعت‌های خمها را حفظ می‌کند: اگر $\alpha = F(\alpha)$ در N نگاره خم α از M را



شکل ۳۳.۴

نشان دهد، آنگاه داریم $\bar{\alpha}' = F_*(\alpha')$. مانند حالت اقلیدسی خصوصیت جالب زیر به اثبات می‌رسد:

نگاشت مشتق يك نگاشت مرکب، با ترکیب نگاشتهای مشتق آنها برابر است (تمرین ۱۴).

نگاشت مشتق يك نگاشت $F: M \rightarrow N$ را می‌توان بر حسب سرعت‌های جزئی به صورت زیر محاسبه کرد. اگر $X: D \rightarrow M$ نمایش پارامتری M ، و Y نگاشت مرکب $F(X): D \rightarrow N$ باشد (Y لزومی ندارد که يك نمایش پارامتری باشد)، بدیهی است که F خمهای پارامتر X را به خمهای پارامتر Y بدل می‌کند. چون F_* سرعت‌های خمها را حفظ می‌کند، خواهیم داشت

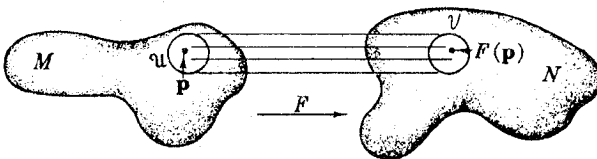
$$F_*(X_u) = Y_u, \quad F_*(X_v) = Y_v$$

از آنجا که X_u و X_v يك پایه از فضای مماس M در هر نقطه $X(D)$ را تشکیل می‌دهند، با استفاده از این دستورها F_* کاملاً معین می‌گردد.

بحث نگاشتهای منظم، که در بند ۷ فصل اول مطرح گردید، به آسانی درباره نگاشت رویه‌ها $F: M \rightarrow N$ تعبیر می‌گردد. F را منظم نامند اگر همه نگاشتهای مشتق یکسانند، این شرط با توجه بدنتایج جبرخطی معادل است با آنکه F_* يك ایزومرفیسم خطی باشد. نگاشت $F: M \rightarrow N$ که دارای نگاشت معکوس $F^{-1}: N \rightarrow M$ باشد، دیفئومرفیسم نام دارد. دیفئومرفیسم F را می‌توان به صورت تغییرات همواری که M را به N بدل می‌کند تصور کرد. با استفاده از بیان اقلیدسی قضیه تابع معکوس درباره عبارت مختصاتی FX^{-1} از F ، می‌توانیم تعمیم زیر از قضیه تابع معکوس (۱۰.۷ فصل اول) را بیابیم.

۴.۵. قضیه. گیریم $F: M \rightarrow N$ يك نگاشت رویه‌ها باشد، و فرض می‌کنیم $F_{*p}: T_p(M) \rightarrow T_{F(p)}(N)$ يك ایزومرفیسم خطی در نقطه p از M باشد. در این صورت يك همسایگی \mathcal{U} از p در M وجود دارد، به طوری که تخصیص F به \mathcal{U} دیفئومرفیسمی روی همسایگی \mathcal{V} از $F(p)$ در N باشد (شکل ۳۴.۴).

از اینجا نتیجه می‌شود که هر نگاشت منظم يك به يك F از M روی N يك دیفئومرفیسم است. زیرا F يك به يك و پوششی می‌باشد، در نتیجه دارای تابع معکوس یکتای F^{-1}



شکل ۳۴.۴

می‌باشد، که يك نگاشت (دیفرانسیلپذیر) است. زیرا مانند بالا، روی هر همسایگی \mathcal{U} بر معکوس دیفئومورفیسم $\mathcal{U} \rightarrow \mathcal{U}$ منطبق می‌گردد.

۵.۵. مثال. تصویر منظری $E^2 \rightarrow \Sigma_0 = P$: يك دیفئومورفیسم است. در مثال ۲.۵ دیدیم که P نگاشت يك به يك از کره Σ_0 (با حذف قطب شمال) روی صفحه E^2 می‌باشد. بنا بر این فقط کافی است که نشان دهیم P_* در هر نقطه يك به يك است. با استفاده از قطعه مختصاتی جغرافیایی مثال ۲.۲، نمایش پارامتری

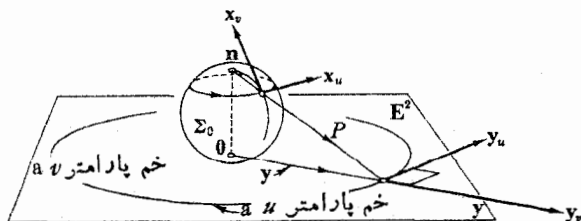
$$\mathbf{x}(u, v) = (\cos v \cos u, \cos v \sin u, 1 + \sin v)$$

برای همه Σ_0 بجز قطب جنوب آن، که در مبدأ قرار دارد، به دست می‌آید. با توجه به تعریف هندسی P دیده می‌شود که P خمهای پارامتر u از \mathbf{x} (مدارات) را به دایره‌های صفحه، به مرکز مبدأ بدل می‌کند، و خمهای پارامتر v (نصف النهارها) را به خطهای راست که از مبدأ می‌گذرند تبدیل می‌نماید (شکل ۳۵.۴). این دو خانواده خمهای نگاره همان خمهای پارامتر $\mathbf{y} = P(\mathbf{x})$ می‌باشند. با استفاده از فرمول P در مثال ۲.۵ خواهیم داشت

$$\mathbf{y}(u, v) = P(\mathbf{x}(u, v)) = \left(\frac{2 \cos v \cos u}{1 - \sin v}, \frac{2 \cos v \sin u}{1 - \sin v} \right)$$

و چون داریم $P_*(\mathbf{x}_u) = \mathbf{y}_u$ و $P_*(\mathbf{x}_v) = \mathbf{y}_v$ را می‌توان با محاسبه \mathbf{y}_u و \mathbf{y}_v ثابت کرد. این دو بردار متعامد و مخالف صفر، و در نتیجه دارای استقلال خطی اند. (در قطب جنوب $\mathbf{0}$ ، اثبات دیگری لازم است، زیرا در آنجا \mathbf{x} يك نمایش پارامتری نیست (تمرین ۱۵ را ببینید).) و نتیجه می‌گیریم که P يك دیفئومورفیسم است.

فرمهای دیفرانسیلی دارای این خصوصیت جالب اند که می‌توان آنها را به وسیله نگاشت دلخواه از رویه‌ای به رویه دیگر منتقل کرد (میدانهای برداری دارای این خصوصیت نیستند). این مطلب را نخست درباره $\mathbf{0}$ -فرمیها یعنی تسابح با مقدار حقیقی f بررسی می‌کنیم. اگر $F: M \rightarrow N$ يك نگاشت رویه‌ها و f تابعی روی M باشد، راه کلی برای



شکل ۳۵.۴

آنکه f را به صورت تابعی روی N بدل کنیم وجود ندارد، اما در عوض اگر f تابعی روی N باشد مسأله بسیار آسان است، و f را به وسیلهٔ تسایع مرکب $f(F)$ به روی M برگشت می‌دهیم. برگشت ۱- فرمیها و ۲- فرمیها به طریق زیر انجام می‌گیرد.

۶.۵. تعریف. گیریم $F: M \rightarrow N$ يك نگاشت رویه‌ها باشد.

(۱) اگر ϕ يك ۱- فرمی روی N باشد، $F^*\phi$ را يك ۱- فرمی روی M می‌گیریم چنان‌که به ازای همهٔ بردارهای مماس v بر M داشته باشیم

$$(F^*\phi)(v) = \phi(F_*v)$$

(۲) اگر η يك ۲- فرمی روی N باشد، $F^*\eta$ را يك ۲- فرمی روی M می‌گیریم چنان‌که به ازای همهٔ زوج بردارهای مماس v و w بر M داشته باشیم (شکل ۳۶.۴):

$$(F^*\eta)(v, w) = \eta(F_*v, F_*w)$$

هنگامی که تابع f را به عنوان ۰- فرمی در نظر می‌گیریم، گاهی با توجه به فرار داد برگشت ۱- فرمیها و ۲- فرمیهای بالا، به جای $f(F)$ خواهیم نوشت F^*f . اعمال اصلی روی فرمها عبارت‌اند از جمع، ضرب گزوه‌ای و مشتق خارجی که همه به وسیلهٔ نگاشتها حفظ می‌شوند.

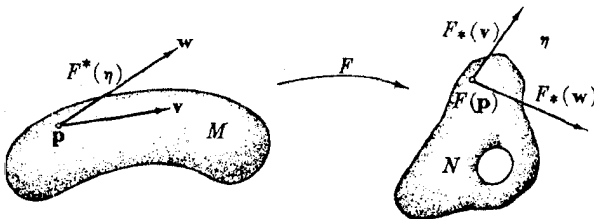
۷.۵. قضیه. گیریم $F: M \rightarrow N$ يك نگاشت رویه‌ها و ξ و η فرمهایی روی N باشند، در این صورت

$$F^*(\xi + \eta) = F^*\xi + F^*\eta \quad (۱)$$

$$F^*(\xi \wedge \eta) = F^*\xi \wedge F^*\eta \quad (۲)$$

$$F^*(d\xi) = d(F^*\xi) \quad (۳)$$

برهان. در (۱)، ξ و η را p - فرمی فرض کرده‌ایم ($p = 0, 1, 2$) و اثبات آن محاسبه‌ای ساده است. در (۲)، ξ و η می‌توانند درجه‌های مختلف داشته باشند. مثلاً، اگر ξ يك



شکل ۳۶.۴

تابع f باشد، فرمول مزبور به صورت ساده $F^*(f\eta) = f(F)F^*(\eta)$ درمی آید. در هر صورت اثبات (۲) نیز يك محاسبه ساده است. اما (۳) جالبتر است. حالتی را که در آن ξ يك تابع باشد به عنوان تمرین می گذاریم (تمرین ۸)، و حالت دشوارتری را که در آن ξ يك ۱-فرمی است بررسی می کنیم.

کافی است که نشان دهیم به ازای هر قطعه مختصاتی $x: D \rightarrow M$ داریم

$$(d(F^*\xi))(x_u, x_v) = (F^*(d\xi))(x_u, x_v)$$

گیریم $y = F(x)$ ، داریم: $F_*(x_u) = y_u$ و $F_*(x_v) = y_v$. با استفاده از تعریف d و F^* خواهیم داشت

$$\begin{aligned} d(F^*\xi)(x_u, x_v) &= \frac{\partial}{\partial u} \{ (F^*\xi)(x_v) \} - \frac{\partial}{\partial v} \{ (F^*\xi)(x_u) \} \\ &= \frac{\partial}{\partial u} \{ \xi(F \cdot x_v) \} - \frac{\partial}{\partial v} \{ \xi(F \cdot x_u) \} \\ &= \frac{\partial}{\partial u} \{ \xi(y_v) \} - \frac{\partial}{\partial v} \{ \xi(y_u) \} \end{aligned}$$

حتی اگر y قطعه مختصاتی هم نباشد، تمرین ۸ بند ۴ نشان می دهد که عبارت اخیر همچنان با $d\xi(y_u, y_v)$ برابر است، اما داریم

$$d\xi(y_u, y_v) = d\xi(F_*x_u, F_*x_v) = (F^*(d\xi))(x_u, x_v)$$

بسیار ترتیب دیده می شود که $d(F^*\xi)$ و $F^*(d\xi)$ به ازای x_u, x_v دارای مقادیر متساوی اند.

فرمولهای جالب قضیه ۷.۵ کلید بررسیهای عمیقتر نگاشتها می باشند. در فصل ۶ از آنها درباره فرمهای همبندی میدانهای سه وجهی استفاده می کنیم تا اطلاعاتی بنیادی درباره هندسه نگاشتهای رویه‌ها به دست آوریم.

تمرینات

۰۱. گیریم M و N دو رویه در E^2 باشند، اگر $F: E^2 \rightarrow E^2$ نگاشتی باشد چنان که نگاره $F(M)$ آن در N واقع باشد، در این صورت تخصیص F به M يك تابع $F|_M: M \rightarrow N$ است. ثابت کنید که $F|_M$ يك نگاشت رویه‌ها می باشد. (دانهمایی: از قضیه ۲.۳ استفاده کنید).

۰۲. گیریم Σ کوره‌ای به شعاع r و به مرکز مبدأ E^3 باشد. تأثیر نگاشتهای $F: \Sigma \rightarrow \Sigma$ روی مدارها و نصف النهارهای Σ را در حالتی زیر بررسی کنید.

$$F(p_1, p_2, p_3) = (p_3, p_1, p_2) \quad (\text{ب}) \quad F(\mathbf{p}) = -\mathbf{p} \quad (\text{الف})$$

$$F(p_1, p_2, p_3) = \left(\frac{p_1 + p_2}{\sqrt{2}}, \frac{p_1 - p_2}{\sqrt{2}}, -p_3 \right) \quad (\text{ج})$$

۳. گیریم M دایره‌ای ساده، یعنی نگارهٔ يك قطعه مختصاتی خاص $\mathbf{x}: D \rightarrow \mathbf{E}^3$ باشد. اگر $\mathbf{y}: D \rightarrow N$ نگاشتی در رویهٔ N باشد، ثابت کنید که تابع $F: M \rightarrow N$ به طوری که به ازای هر (u, v) متعلق به D داشته باشیم

$$F(\mathbf{x}(u, v)) = \mathbf{y}(u, v)$$

يك نگاشت رویه‌هاست (دانهایی: بنویسید $F = \mathbf{y}\mathbf{x}^{-1}$ ، و از فرع ۳.۳ استفاده کنید).

۴. با استفاده از تمرین ۳ نگاشتی از هلیکوئید H (مثال ۷ بند ۲ فصل ۲) روی چنبرهٔ T (مثال ۶.۲) طوری بسازید که مولدهای H به نصف النهارهای T بدل شوند.

۵. اگر Σ کرهٔ r $\|\mathbf{p}\| = r$ باشد، تابع $A: \Sigma \rightarrow \Sigma$ را به طوری که $A(\mathbf{p}) = -\mathbf{p}$ نگاشت نقاط متقارن Σ می‌نامند. ثابت کنید A يك دیفئومورفیسم است، و داریم

$$A_*(\mathbf{v}_p) = (-\mathbf{v})_{-p}$$

۶. گیریم $\mathbf{x}: D \rightarrow M$ يك قطعه مختصاتی در روی M باشد. به ازای هر فرم ψ روی M ، فرم $\mathbf{x}^*(\psi)$ روی D را عبارت مختصاتی ψ می‌نامند. هنگامی که ψ يك 0 -فرمی، یعنی يك تابع باشد، آنگاه $\mathbf{x}^*(\psi) = \psi(\mathbf{x})$ ، بنابراین این اصطلاح با اصطلاح فصل ۴ بند ۳ سازگار است.

اگر ϕ يك 1 -فرمی و ν يك 2 -فرمی باشد، ثابت کنید که

$$\mathbf{x}^*(\phi) = \phi(\mathbf{x}_u)du + \phi(\mathbf{x}_v)dv \quad (\text{الف})$$

$$\mathbf{x}^*(\nu) = \nu(\mathbf{x}_u, \mathbf{x}_v)du dv \quad (\text{ب})$$

$$\mathbf{x}^*(d\phi) = \left(\frac{\partial}{\partial u}(\phi \mathbf{x}_v) - \frac{\partial}{\partial v}(\phi \mathbf{x}_u) \right) du dv \quad (\text{ج})$$

(در عمل، به جای قرار دادن در فرمول (ج)، آسانتر است که مشتق خارجی را برای فرمول (الف) به کار بریم.)

۷. (ادامه). گیریم \mathbf{x} قطعه مختصاتی جغرافیایی در کرهٔ Σ باشد.

(الف) اگر ϕ يك 1 -فرمی روی Σ باشد، به طوری که $\phi(\mathbf{v}_p) = p_1 v_2 - p_2 v_1$ ، ثابت کنید که $\nu = r^2 \cos^2 \nu$ و $\phi(\mathbf{x}_v) = 0$ و عبارتهای مختصاتی ϕ و $d\phi$ را بیابید.

(ب) ثابت کنید که فرمول $\nu(\mathbf{v}_p, \mathbf{w}_p) = p_2(v_1 w_2 - v_2 w_1)$ يك 2 -فرمی روی Σ را تعریف می‌کند و عبارت مختصاتی آن را بیابید.

۰۸. گیریم $F: M \rightarrow N$ يك نگاشت و g يك تابع روی N باشد.

(الف) ثابت کنید که F مشتقهای امتدادی را حفظ می‌کند، یعنی اگر v يك بردار مماس

بر M باشد، در این صورت $v[g(F)] = (F_*v)[g]$

(ب) نتیجه بگیرید که $F^*(dg) = d(F^*(g))$

۰۹. اگر $x: D \rightarrow M$ يك نمایش پارامتری باشد، ثابت کنید که تخصیص x به يك همسایگی به قدر کافی كوچك نقطه (u_0, v_0) متعلق به D ، يك قطعه مختصاتی در M می‌باشد. (از این رو يك نمایش پارامتری ممکن است به دو قطعه مختصاتی تجزیه شود.)

۰۱۰. اگر $G: P \rightarrow M$ يك نگاشت منظم دوی M و $H: P \rightarrow N$ يك نگاشت دلخواه

باشد، در این صورت فرمول $F(G(p)) = H(p)$ هنگامی سازگار است که به ازای هر

p و q متعلق به P از $G(p) = G(q)$ نتیجه $H(p) = H(q)$ به دست آید. ثابت کنید

در این حالت F يك نگاشت (دیفرانسیبلپذیر) معین می‌باشد.

$$\begin{array}{ccc} & F & \\ M & \longrightarrow & N \\ & \swarrow G & \nearrow H \\ & P & \end{array}$$

در مواردی که G يك نمایش پارامتری M باشد، این نتیجه بسیار به کار می‌رود.

۰۱۱. گیریم $x: E^2 \rightarrow T$ نمایش پارامتری چنبره‌ای باشد که در مثال ۶.۲ بیان شد. در

هر يك از حالت‌های زیر نشان دهید که فرمول

$$F(x(u, v)) = x(f(u, v), g(u, v))$$

سازگار است (تمرین ۱۰)، و نگاشت $F: T \rightarrow T$ حاصل را بیابید (مثلاً اثر آن را

روی مدارها و نصف النهارهای T مشخص کنید.)

$$f = u + \pi, g = v + 2\pi \quad (\text{ب}) \quad f = 3u, g = v \quad (\text{الف})$$

$$f = u + v, g = u - v \quad (\text{د}) \quad f = v, g = u \quad (\text{ج})$$

کدام يك از این نگاشتها دیفرانسیبلپذیر است؟

۰۱۲. نگاشت $F: M \rightarrow N$ و قطعه مختصاتی x در M را در نظر می‌گیریم و قرار می‌دهیم

$y = F(x)$. توجه شود که y در N است ولی لزومی ندارد که يك قطعه مختصاتی

باشد. ثابت کنید که در N ، $\bar{\alpha} = F(\alpha)$ ، نگاره α خم

$$\alpha(t) = x(a_1(t), a_2(t))$$

در M دارای سرعت زیر می‌باشد:

$$\bar{\alpha}' = \frac{da_1}{dt} y_u(a_1, a_2) + \frac{da_2}{dt} y_v(a_1, a_2)$$

۱۳. از تمرین ۱۲ نتیجه بگیرید:

(الف) خصوصیت تغییرناپذیری لازم برای تحقق تعریف (۳.۵) از F_* را

(ب) خطی بودن تبدیلات نگاشتهای مشتق $T_{F(p)}(N) \rightarrow T_p(M)$ را، $F_*: T_p(M) \rightarrow T_{F(p)}(N)$ را.

۱۴. نگاشتهای $P \xrightarrow{G} N \xrightarrow{F} M$ و تابع مرکب $GF: M \rightarrow P$ را در نظری می‌گیریم. ثابت کنید که

(الف) GF يك نگاشت است (ب) $(GF)_* = G_*F_*$

(ج) $(GF)^* = F^*G^*$ ، یعنی به‌ازای هر فرم ξ روی N ، داریم $(GF)^*(\xi) = (G^*F^*)(\xi)$.

(توجه شود که تغییر ترتیب عوامل در $(GF)^*$ موجب می‌شود که فرم‌ها در جهت عکس از نقاط به بردارهای مماس بروند.)

۱۵. نشان دهید که در تصویر منطری $\mathbb{E}^2 \rightarrow \Sigma_0$ ، نگاشت مشتق در مبدأ \circ همان نگاشت همانی است. (دانهمایی: P را در مجاورت \circ بر حسب يك قطعه مختصاتی مونوژ بیان کنید.)

۱۶. (الف) ثابت کنید که نگاشت عکس تصویر منطری $\mathbb{E}^2 \rightarrow \Sigma_0$ به وسیله فرمول زیر به دست می‌آید

$$P^{-1}(u, v) = \frac{(vu, v^2, vf)}{f + v}$$

که در آن $f = u^2 + v^2$ (نشان دهید که PP^{-1} و $P^{-1}P$ نگاشتهای همانی اند.)
 (ب) نتیجه بگیرید که تمام کره Σ را می‌توان فقط با دو قطعه مختصاتی پوشاند. (طرح فصل ۴، بند ۱ به‌شش قطعه مختصاتی نیاز دارد.)

۶. انتگرال‌گیری فرم‌ها

فرمهای دیفرانسیلی نقش دیگری نیز در حساب دیفرانسیل و انتگرال دارند، که خواننده محتملاً در فصل اول به آن توجه کرده است. مثلاً در يك انتگرال مضاعف $\iint f(u, v) du dv$ در زیر علامتهای انتگرال يك ۲-فرمی روی \mathbb{E}^2 وجود دارد. تا اینجا انتگرال فرم‌ها را، به تعبیری، فقط روی فضای اقلیدسی محاسبه کردیم. اما می‌توان به آسانی این مفهوم انتگرال‌گیری را در مورد فرم‌ها روی رویه دلخواه نیز تعمیم داد، برای این کار آنها را به فضای اقلیدسی برمی‌گردانیم و سپس انتگرال‌گیری می‌کنیم.

نخست حالت يك بعدی را در نظر می‌گیریم. منظور از يك پاره خم (یا «۱-کمانی») در رویه M يك «خم» $\alpha: [a, b] \rightarrow M$ است که روی يك فاصله بسته از خط حقیقی \mathbb{E}^1 تعریف شده باشد. (دیفرانسیل‌پذیری برای α ، همان گونه که در تعریف ۱.۴ فصل اول

مورد نیاز بود، بدین معنی است که می توان آن را برای يك خم واقعی روی فاصله باز بزرگتری بسط داد.

اکنون ۱- فرمی ϕ روی M را در نظر می گیریم، و آن را با $\alpha^* \phi$ به فاصله $[a, b]$ برمی گردانیم، تا عبارتی به صورت $\int_a^b f(t) dt$ به دست آید، که در آن با توجه به تبصره های ذیل مثال ۷.۴ داریم

$$f(t) = (\alpha^* \phi)(U_1(t)) = \phi(\alpha'(U_1(t))) = \phi(\alpha'(t))$$

لذا از این توضیحات تعریف زیر حاصل می شود.

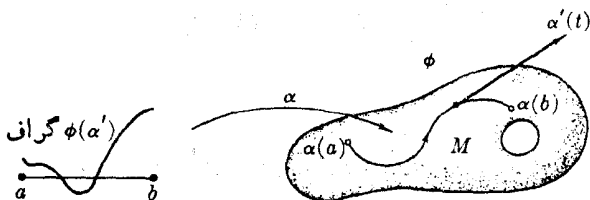
۱۰۶. تعریف. گیریم ϕ يك ۱- فرمی روی M و $\alpha: [a, b] \rightarrow M$ يك «۱- کمائی» (شکل ۳۷.۴) باشد. در این صورت انتگرال ϕ روی α عبارت است از

$$\int_{\alpha} \phi = \int_{[a, b]} \alpha^* \phi = \int_a^b \phi(\alpha'(t)) dt$$

در فیزیک و مکانیک انتگرال $\int_{\alpha} \phi$ انتگرال منحنی الخط می نامند، و دارای کاربردهای گوناگون بسیاری است. مثلاً، گیریم میدان برداری V روی يك رویه يك میدان نیرو باشد، بدین ترتیب به هر نقطه p از M نیروی $V(p)$ اثر می کند. با توجه به تصور اولیه درباره خم، و تعبیر $\alpha: [a, b] \rightarrow M$ به صورت حرکت يك نقطه مادی، (که $\alpha(t)$ موضع آن را در لحظه t مشخص می کند.) این مسأله مطرح می گردد: مقدار کل کار لازم W برای آنکه α از $p = \alpha(a)$ تا $q = \alpha(b)$ حرکت کند چیست؟ از بحثی که درباره سرعت در فصل اول بند ۴ داشتیم، نتیجه می شود که به ازای مقدار کوچک Δt مسیر خم α از $\alpha(t)$ تا $\alpha(t + \Delta t)$ تقریباً يك پاره خط راست است که با $\Delta t \alpha'(t)$ مشخص می گردد. اما نقطه متحرك تنها در مقابل يك نیرو که همان مؤلفه مماسی نیروی مزبور است قرار دارد، و آن (شکل ۳۸.۴):

$$V(\alpha) \cdot \frac{\alpha'}{\|\alpha'\|} = \|V(\alpha)\| \cos \theta$$

است، و بنا بر این کاری که در مدت Δt در مقابل این نیرو انجام می گیرد، تقریباً برابر است با حاصل ضرب نیروی $\|V(\alpha(t))\| \cdot \|\alpha'(t)\| \Delta t$ - در مسافت Δt . چون این

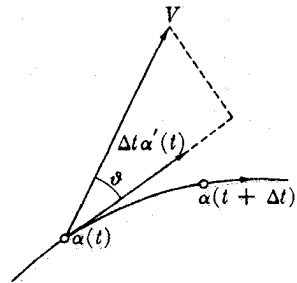


شکل ۳۷.۴

کارهای جزئی را در تمام فاصله زمانی $[a, b]$ جمع کنیم، و مطابق معمول حد بگیریم، خواهیم داشت

$$W = - \int_a^b V(\alpha(t)) \cdot \alpha'(t) dt$$

برای آنکه این مفهوم ساده‌تر بیان کنیم، ددگان ۱- فرمی ϕ را طوری تعریف می‌کنیم که به ازای هر بردار مماس w در p داشته باشیم $\phi(w) = w \cdot V(p)$. در این صورت، بنا بر تعریف



شکل ۳۸.۴

۱.۶ کل کار لازم درست برابر است با

$$W = - \int_a \phi$$

باید توجه داشت که در این مفهوم انتگرال منحنی الخط، مانند سایر اعمالی که روی فرمها انجام می‌گیرد، می‌توان به جای رویه، فضای اقلیدسی یا به‌طور کلی هر خمینه‌ای (بند ۸) را قرار داد. هنگامی که ۱- فرمی ϕ به صورت یک مشتق خارجی df باشد، انتگرال منحنی الخط $\int_a \phi$ دارای خاصیت جالبی است، که همان تعمیم قضیه اساسی حساب دیفرانسیل و انتگرال می‌باشد.

۲.۶ قضیه. گیریم f تابعی روی M و $M \rightarrow [a, b]$ یک «۱- کمائی» در M از $p = \alpha(a)$ تا $q = \alpha(b)$ باشد، در این صورت

$$\int_a df = f(q) - f(p)$$

برهان. بنا بر تعریف

$$\int_a df = \int_a^b df(\alpha') dt$$

اما

$$df(\alpha') = \alpha'[f] = \frac{d}{dt}(f \alpha)$$

و بنا بر قضیه اساسی حساب دیفرانسیل و انتگرال خواهیم داشت

$$\int_{\alpha} df = \int_a^b \frac{d}{dt}(f\alpha) dt = f(\alpha(b)) - f(\alpha(a)) = f(\mathbf{q}) - f(\mathbf{p})$$

از این رو گفته می‌شود که انتگرال $\int_{\alpha} df$ مستقل از مسیر است، و تعبیر آن بسدیانی که گذشت چنین است، اگر میدان نیروی V دارای دوگان ۱- فرمی df باشد، کار انجام یافته بستگی به محل حرکت نقطه $\alpha(t)$ ندارد، و فقط به نقطه‌های آغاز و انجام آن وابسته است. به ویژه اگر مسیر، خم بسته $\mathbf{p} = \alpha(a) = \alpha(b) = \mathbf{q}$ باشد، در این صورت کل کار لازم برابر صفر است.

از لحاظ ریاضی، قضیه بالا را چنین در نظر می‌گیرند: «مرز» کمان α از \mathbf{p} تا \mathbf{q} عبارت است از $\mathbf{p} - \mathbf{q}$ که در آن علامت صوری منها مین آن است که α از \mathbf{p} به \mathbf{q} می‌رود. پس انتگرال df روی α برابر است با «انتگرال» فرمی $\mathbf{p} - \mathbf{q}$ ، یعنی $f(\mathbf{q}) - f(\mathbf{p})$. در قضیه (۵.۶) که تعمیم قضیه بالا در فضای دوبعدی است، توجیه این تعبیر را خواهیم دید.

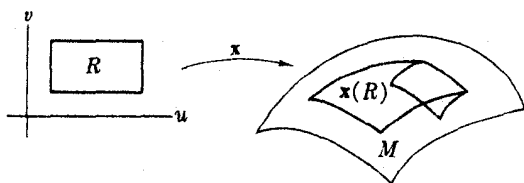
اما یک فاصله دوبعدی درست عبارت است از یک مستطیل بسته در \mathbf{E}^2 : $c \leq v \leq d$ ، $\mathbf{x}: R \rightarrow M$ و یک «کمانی» در M یک نگاشت دیفرانسیلپذیر $\mathbf{x}: R \rightarrow M$ است در M (شکل ۳۹.۴). (مانند پیش مقصود از دیفرانسیلپذیری آن است که می‌توان \mathbf{x} را به طور دیفرانسیلپذیر به مجموعه بازی که شامل R باشد تعمیم داد.) با آنکه علامت قطعه مختصاتی \mathbf{x} به کار رفته است، در این تعریف هیچ فرضی دربارهٔ منظم بودن یا یک به یک بودن \mathbf{x} لازم نیست. سرعتهای جزئی \mathbf{x}_u و \mathbf{x}_v را ولو اینکه \mathbf{x} یک قطعه مختصاتی هم نباشد می‌توان به دست آورد.

اگر η یک ۲- فرمی روی M باشد، آنگاه $\mathbf{x}^*\eta$ ، یعنی برگشت η ، با استفاده از مثال ۷.۴، دارای عبارت مختصاتی $h du dv$ خواهد بود، که در آن:

$$h = (\mathbf{x}^*\eta)(U_1, U_2) = \eta(\mathbf{x}_u, \mathbf{x}_v) = \eta(\mathbf{x}_u, \mathbf{x}_v)$$

بدین ترتیب متناظر با تعریف ۱.۶ تعریف زیر حاصل می‌شود.

۳.۶. تعریف. گیریم η یک ۲- فرمی روی M ، و $\mathbf{x}: R \rightarrow M$ یک «کمانی» باشد. در این صورت انتگرال η روی \mathbf{x} عبارت است از



شکل ۳۹.۴

$$\iint_x \eta = \iint_R \mathbf{x}^* \eta = \int_a^b \int_c^d \eta(\mathbf{x}_u, \mathbf{x}_v) du dv$$

کاربردهای فیزیکی این مفهوم انتگرال به مراتب از کاربردهای تعریف ۱۰۶ زیادترند، اما بی‌درنگ باید نظیر قضیه ۲۰۶ را در حالت دوبعدی اثبات کرد.

۴۰۶. تعریف. گیریم $\mathbf{x}: R \rightarrow M$ يك «۲-کمانی» در M باشد که در آن R مستطیل بسته

$a \leq u \leq b, c \leq v \leq d$ است (شکل ۴۰۴).

همهای کناری (یسا یا الهای) \mathbf{x} عبارت‌اند از

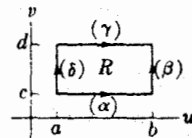
«۱-کمانی»های $\alpha, \beta, \gamma, \delta$ به طوری که:

$$\alpha(u) = \mathbf{x}(u, c)$$

$$\beta(v) = \mathbf{x}(b, v)$$

$$\gamma(u) = \mathbf{x}(u, d)$$

$$\delta(v) = \mathbf{x}(a, v)$$



شکل ۴۰۴

در این صورت $\partial \mathbf{x}$ مرز «۲-کمانی» \mathbf{x} عبارت صوری زیر می‌باشد

$$\partial \mathbf{x} = \alpha + \beta - \gamma - \delta$$

این چهار کمان از تخصیص تابع $\mathbf{x}: R \rightarrow M$ به چهار قطعه خط مرزی مستطیل R

به دست می‌آیند. علامت صوری منهای که مقدم بر γ و δ در $\partial \mathbf{x}$ قرار دارد، یادآور این نکته

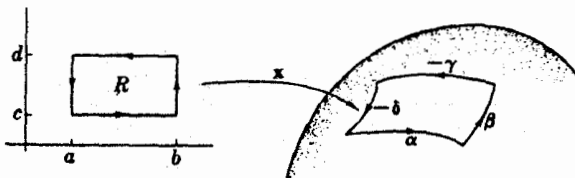
است که برای پیمودن کناره \mathbf{x} ، γ و δ را در جهت عکس بر گردانده‌ایم (شکل ۴۱۰۴).

پس اگر ϕ يك ۱-فرمی روی M باشد، انتگرال ϕ روی \mathbf{x} به صورت زیر تعریف

می‌شود

$$\int_{\partial \mathbf{x}} \phi = \int_a^b \phi + \int_c^d \phi - \int_a^b \phi - \int_c^d \phi$$

لذا قضیه مشابه ۲۰۶ برای فضای دوبعدی چنین است



شکل ۴۱۰۴

۵.۶ قضیه استوکس. اگر ϕ یک ۱- فرمی روی M ، و $X: R \rightarrow M$ یک ۲- کمپانی باشد، در این صورت داریم

$$\iint_x d\phi = \int_{\partial x} \phi$$

برهان. این انتگرال مضاعف را محاسبه می‌کنیم، و نشان می‌دهیم که با انتگرال ϕ روی مرز X برابر است. با استفاده از تعاریف ۳.۶ و ۴.۴ داریم

$$\iint_x d\phi = \iint_R (d\phi)(\mathbf{x}_u, \mathbf{x}_v) du dv = \iint_R \left(\frac{\partial}{\partial u}(\phi \mathbf{x}_v) - \frac{\partial}{\partial v}(\phi \mathbf{x}_u) \right) du dv$$

گیریم $f = \phi(\mathbf{x}_u)$ و $g = \phi(\mathbf{x}_v)$ ، در این صورت معادله بالا چنین نوشته می‌شود:

$$\iint_x d\phi = \iint_R \frac{\partial g}{\partial u} du dv - \iint_R \frac{\partial f}{\partial v} du dv \quad (۱)$$

اما، ما به این انتگرالهای مضاعف مانند انتگرالهای بارسته می‌نگریم. گیریم مستطیل R با نامساویهای $a \leq u \leq b$ ، $c \leq v \leq d$ تعریف شده باشد. در این صورت از انتگرالیگری عبارت اول نسبت به u خواهیم داشت

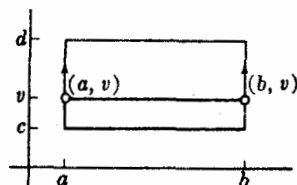
$$I(v) = \int_a^b \frac{\partial g}{\partial u}(u, v) du \quad \text{که در آن} \quad \iint_R \frac{\partial g}{\partial u} du dv = \int_c^d I(v) dv$$

در انتگرال جزئی معرف $I(v)$ ، v ثابت است و لذا عامل زیر علامت انتگرال همان مشتق معمولی نسبت به u خواهد بود. از این رو $I(v)$ بنا بر قضیه اساسی حساب دیفرانسیل و انتگرال به صورت زیر نوشته می‌شود

$$I(v) = g(b, v) - g(a, v)$$

(شکل ۴۲.۴). از آنجا

$$\iint_R \frac{\partial g}{\partial u} du dv = \int_c^d g(b, v) dv - \int_c^d g(a, v) dv \quad (۲)$$



مجدداً به محاسبه روی انتگرال اول می‌پردازیم بنا بر تعریف داریم

$$g(b, v) = \phi(\mathbf{x}_v(b, v))$$

اما $\mathbf{x}_v(b, v)$ دقیقاً سرعت $\beta'(v)$ روی خم β است که در «سمت راست» ∂X قرار دارد. لذا بنا بر

تعریف ۱.۶ خواهیم داشت

$$\int_c^d g(b, v) dv = \int_c^d \phi(\beta'(v)) dv = \int_\beta \phi$$

با استدلال مشابه ثابت می‌شود که انتگرال دوم در (۲) برابر است با $\int_\delta \phi$. بنابراین

$$\iint_R \frac{\partial g}{\partial u} du dv = \int_\beta \phi - \int_\delta \phi \quad (۳)$$

به همین طریق، از انتگرال‌گیری نسبت به v در مرحله اول، خواهیم داشت

$$\iint_R \frac{\partial f}{\partial v} du dv = \int_\gamma \phi - \int_\alpha \phi \quad (۴)$$

با در نظر گرفتن (۱)، (۳) و (۴) نتیجه مطلوب حاصل می‌شود

$$\iint_x d\phi = \left\{ \int_\beta \phi - \int_\delta \phi \right\} - \left\{ \int_\gamma \phi - \int_\alpha \phi \right\} = \int_{\partial x} \phi$$

قضیه استوکس را می‌توان به عنوان بیان قضیه اساسی حساب دیفرانسیل و انتگرال در فضای دوبعدی در نظر گرفت، و یکی از سودمندترین قضایای ریاضیات به شمار می‌آید. صورت‌های دیگر این قضیه کاربردهای فراوان آن را می‌توانید در کتابهای آنالیز پیشرفته یا ریاضیات عملی ببینید، ما از آن برای بررسی هندسه رویه‌ها استفاده خواهیم کرد.

انتگرال منحنی الخط $\int_\alpha \phi$ نسبت به نمایش پارامتری α تغییرناپذیر است، و فقط جهت پیمودن α در آن مؤثر است. درلم زیر از نمادگذاریهای تمرین ۱۵ بند ۲ فصل ۲ استفاده می‌شود.

۶.۶.۶. لم. گیریم $\alpha(h): [a, b] \rightarrow M$ یک نمایش پارامتری کمان $\alpha: [c, d] \rightarrow M$ باشد. به ازای هر h - فرمی روی M داریم

$$\int_{\alpha(h)} \phi = \begin{cases} \int_\alpha \phi & \text{اگر } h \text{ سونگهدار باشد} \\ -\int_\alpha \phi & \text{اگر } h \text{ سو برگردان باشد} \end{cases}$$

برهان. چون $\alpha(h)$ دارای سرعت

$$\alpha(h)' = \frac{dh}{dt} \alpha'(h)$$

است، داریم

$$\int_{\alpha(h)} \phi = \int_a^b \phi(\alpha(h')) du = \int_a^b \phi(\alpha'(h)) \frac{dh}{du} du$$

اکنون از قضیه تعویض متغیر در انتگرال استفاده می‌کنیم. اگر h سونگهدار باشد، در این صورت داریم $h(a) = c$ و $h(b) = d$ ، و انتگرال بالا چنین نوشته می‌شود

$$\int_c^d \phi(\alpha') du = \int_a^b \phi$$

و اگر سو برگردان باشد خواهیم داشت $h(a) = d$ و $h(b) = c$ و از آنجا

$$\int_a^c \phi(\alpha') du = - \int_c^d \phi(\alpha') du = - \int_a^c \phi$$

با استفاده از اینکه می‌توان تعبیر روشنی برای علامتهای منها در مسرز $\partial \mathbf{x} = \alpha + \beta - \gamma - \delta$ از ۲- کمانی \mathbf{x} به دست آورد. به ازای هر خم $M \rightarrow [t_0, t_1]: \xi$ يك نمایش پارامتری سونگهدار ξ را با $-\xi$ نمایش می‌دهیم، مثلاً

$$(-\xi)(t) = \xi(t_0 + t_1 - t)$$

و بنا بر لم بالا داریم

$$\int_{-\xi} \phi = - \int_{\xi} \phi$$

و اگر \mathbf{x} يك «۲- کمانی» باشد در این صورت داریم

$$\int_{\partial \mathbf{x}} \phi = \int_{\alpha} \phi + \int_{\beta} \phi - \int_{\gamma} \phi - \int_{\delta} \phi = \int_{\alpha} \phi + \int_{\beta} \phi + \int_{-\gamma} \phi + \int_{-\delta} \phi$$

تمرینات

۱. اگر $\alpha = (\alpha_1, \alpha_2)$ خمی در \mathbf{E}^2 و ϕ يك ۱- فرمی باشد، دستور زیر را برای محاسبه $\int \phi(\alpha')$ ثابت کنید: در عبارت مختصاتی

$$\phi = f(u, v) du + g(u, v) dv$$

قرار می‌دهیم $u = \alpha_1(t)$ و $v = \alpha_2(t)$

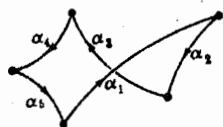
۲. کمان $\alpha: [-1, 1] \rightarrow \mathbf{E}^2$ را که در آن $\alpha(t) = (t, t^2)$ ، در نظر می‌گیریم.

(الف) اگر $\phi = v^2 du + 2uv dv$ ، آنگاه $\int_{\alpha} \phi$ را محاسبه کنید.

(ب) تابع f را طوری تعیین کنید که $df = \phi$ داشته باشیم و قضیه ۲.۶ را در این حالات بررسی کنید.

۳. بگیریم ϕ يك ۱-فرمی روی رویه M باشد. (الف) نشان دهید که اگر ϕ بسته باشد، در این صورت به ازای هر ۲-کمپانی در M داریم

$$\int_{\partial X} \phi = 0$$



شکل ۴۳.۴

(ب) اگر ϕ کامل باشد، نشان دهید (به طور کلیتر) که به ازای هر دوره $\alpha_1, \dots, \alpha_k, \alpha_{k+1} = \alpha_1$ به طوری که انجام هر α_i نقطه آغاز α_{i+1} است (شکل ۴۳.۴) داریم

$$\sum_i \int_{\alpha_i} \phi = 0$$

(بسته، بسته معنی $d\phi = 0$ ، و کامل به معنی $\phi = df$ ؛ تمرین ۲، بند ۴، فصل ۴ را ببینید.)

۴.۱-فرمی

$$\psi = \frac{u dv - v du}{u^2 + v^2}$$

روی تمام صفحه \mathbb{E}^2 که از آن نقطه $(0, 0)$ حذف شده است معین می‌باشد. نشان دهید که:

(الف) ψ بسته است ولی کامل نیست. (دانهمایی: پیرامون دایره واحد انتگرال بگیرید و از تمرین ۳ استفاده کنید.)

(ب) اگر ψ را مثلاً "به نیم صفحه راست $u > 0$ تخصیص دهیم در این صورت ψ کامل خواهد بود.

۵. (ادامه). از تمرین ۱۲ بند ۱ فصل ۲ نتیجه می‌شود که هر خم α در \mathbb{E}^2 را که از مبدأ نگذرد، می‌توان به صورت قطبی

$$\alpha(t) = (r(t) \cos \vartheta(t), r(t) \sin \vartheta(t))$$

نوشت. ثابت کنید که به ازای هر خم بسته α حاصل $\int_{\alpha} \psi$ (یک عدد صحیح است. این عدد صحیح را عدد چرخش α می‌نامند، و مجموع جبری تعداد دفعاتی را که α دور مبدأ در جهت مثلثاتی چرخیده است نشان می‌دهد.

۶. بگیریم X يك قطعه مختصاتی در رویه M باشد. به ازای هر کمان

$$\alpha(t) = \mathbf{x}(a_1(t), a_2(t)), \quad a \leq t \leq b$$

نشان دهید که

$$\int_{\alpha} \phi = \int_a^b \left(\phi(x_u) \frac{da_1}{dt} + \phi(x_v) \frac{da_2}{dt} \right) dt$$

که در آن x_u و x_v روی (a_1, a_2) محاسبه شده‌اند. (این تمرین تعمیم تمرین ۱ می‌باشد، زیرا می‌توان قطعه مختصاتی واحد $x(u, v) = (u, v)$ روی E^2 را در نظر گرفت.)

۰۷. بگیریم α خم بسته

$$\alpha(t) = x(mt, nt), \quad 0 \leq t \leq 2\pi$$

روی چنبره T باشد (تمرین ۱۱ بند ۳ فصل ۴ را ببینید). مطلوب است محاسبه

(الف) $\int_{\alpha} \xi$ که در آن ξ یک ۱-فرمی روی T است به طوری که $\xi(x_u) = 1$ و $\xi(x_v) = 0$.

(ب) $\int_{\alpha} \eta$ که در آن η یک ۱-فرمی است، به طوری که $\eta(x_u) = 0$ و $\eta(x_v) = 1$.

اگر γ خم بسته دلخواهی باشد، $\int_{\gamma} \xi / 2\pi$ تعداد کل دفعاتی را که γ پیرامون چنبره

در جهت کلی مدارها دور زده است نشان می‌دهد، و $\int_{\gamma} \eta / 2\pi$ اندازه مشابهی در

جهت نصف النهارها را نشان می‌دهد. به همین دلیل است که معمولاً قراردادهای

$d\vartheta = \xi$ و $\eta = d\varphi$ را به کار می‌برند که در آن ϑ و φ توابع (چند مقداری) طول و عرض جغرافیایی روی T می‌باشند. تمرین ۱۳ را ببینید.

۰۸. بگیریم $F: M \rightarrow N$ یک نگاشت باشد. ثابت کنید که:

(الف) اگر α یک کمان در M و ϕ یک ۱-فرمی روی N باشد، آنگاه

$$\int_{\alpha} F^* \phi = \int_{F(\alpha)} \phi$$

(ب) اگر x یک ۲-کمانی روی M و v یک ۲-فرمی روی N باشد، آنگاه

$$\int_x F^* v = \int_{F(x)} v$$

۰۹. بگیریم $\Sigma \rightarrow R$ یک ۲-کمانی در کره Σ باشد، که از تخصیص قطعه مختصاتی جغرافیایی

$$x(u, v) = (r \cos v \cos u, r \cos v \sin u, r \sin v)$$

به‌مستطیل $R: 0 \leq u, v \leq \pi/2$ به دست آمده‌است. فرمولهای صریح خمهای کناری

α, β, γ و δ از X را بیابید و نگاره $X(R)$ و خمهای مزبور را روی طرحی از Σ مجسم کنید.

۱۰. گیریم $X: R \rightarrow M$ یک ۲-کمانی روی مستطیل $1 \leq v \leq u \leq 0: R$ باشد. اگر ϕ یک ۱-فرمی روی M باشد، به طوری که

$$\phi(x_u) = u + v \quad \text{و} \quad \phi(x_v) = uv$$

مطاب است محاسبه $\int \int_X d\phi$ و تحقیق صحت نتیجه حاصل از قضیه استوکس. (دانهمایی: $(X^*(d\phi) = d(X^*\phi) = (v-1)du dv$)

۱۱. تمرین ۱۰ را در حالت $0 \leq v \leq \pi, 0 \leq u \leq \pi/2$ و R :

$$\phi(x_u) = u \cos v, \quad \phi(x_v) = v \sin u$$

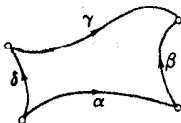
حل کنید.

۱۲. خم بسته α در M را هنگامی هموتوپ با یک مقدار ثابت می‌نامند، که بتوان یک ۲-کمانی $X: R \rightarrow M$ را طوری تعیین کرد، که (الف) α یک خم کناری X (ب) $\beta = \delta$ و (ج) γ خم ثابت باشد (شکل ۴۴.۲). (فرض کنیم، $c \leq v \leq d, a \leq u \leq b: R$. آنگاه وقتی v از c تا d تغییر می‌کند، خم بسته مربوط به پارامتر $u, v = v_0$ از X به طور هموار از α تا یک خم ثابت γ تغییر می‌نماید.) ثابت کنید که هر خم بسته در E^2 هموتوپ با یک مقدار ثابت است.

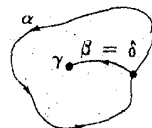
۱۳. گیریم ϕ یک ۱-فرمی بسته و α یک خم بسته باشد. ثابت کنید درحالت‌های زیر داریم

$$\int_{\alpha} \phi = 0$$

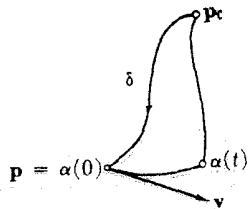
(الف) اگر ϕ کامل باشد. (ب) اگر α با یک مقدار ثابت هموتوپ باشد. از آنجا نتیجه بگیرید که مدارها و نصف النهارهای چنبره T با مقادیر ثابت هموتوپ نیستند، و فرمهای بسته ξ و η (تمرین ۷) کامل نیستند.



شکل ۴۵.۴



شکل ۴۴.۴



شکل ۴۶.۴

يك رویه M را كه هر خم بسته آن با يك مقدار ثابت هوموتوپ باشد، همبند ساده می‌نامند. مثلاً صفحه همبند ساده است (تمرین ۱۲) اما چنبره و یا صفحه‌ای كه از آن حتی يك نقطه حذف شده باشد، همبند ساده نیست (تمرینات ۷ و ۵). می‌توان چنین تصور كرد كه يك رویه همبند ساده دارای روزنه نیست و هر چهار خم $\alpha, \beta, \gamma, \delta$ كه به هم متوالیاً متصل شده باشند، مانند شكل ۴۵.۴ خمهای مرزی يك ۲-كماني می‌باشند. با استفاده از این حكم ثابت كنید:

۱۴. روی يك رویه همبند ساده، انتگرال يك ۱-فرمی بسته ϕ از مسیر مستقل است. (یعنی

به‌ازای همه α ها كه آغاز و انجام آنها به ترتیب یکی می‌باشد، مقداری ثابت است.)

$$\int_{\alpha} \phi$$

۱۵. ثابت كنید كه روی هر رویه همبند ساده هر ۱-فرمی بسته كامل است. (دانهمایی: نقطه

ثابت p_0 را در M اختیار كنید و به‌ازای هر كمان از p_0 تا p (شكل ۴۶.۴) قرار

دهید $f(p) = \int_{\delta} \phi$. بدین ترتیب برای اثبات آنكه به‌ازای هر بردار مماس v در

p داریم $df(v) = \phi(v)$ ، نشان دهید كه به‌ازای خم α با سرعت آغازی v تساوی

$$f(\alpha(t)) = f(p) + \int_0^t \phi(\alpha'(u)) du$$

برقرار است.)

۷. خواص توپولوژیایی رویه‌ها

اکنون به بحث درباره بعضی از خواص اساسی رویه‌ها می‌پردازیم.

۱۷. تعریف. رویه M را هنگامی همبند نامند، كه به‌ازای هر دو نقطه p و q از آن كماني

از p تا q در M وجود داشته باشد.

بدین ترتیب يك رویه همبند M تماماً يك پارچه است، زیرا از هر نقطه آن به نقطه

دیگر آن می‌توان بدون خارج شدن از M حرکت كرد. بسیاری از رویه‌ها كه تا اینجا

بررسی كردیم، همبند می‌باشند، رویه $M: z^2 - x^2 - y^2 = 1$ (هذلولیگون دوپارچه)

همبند نیست. همبندی يك شرط روشن و موجهی است، و می‌توان در تعریف رویه‌ها آن را

مورد توجه قرار داد.

۲۰. تعریف. رویه M را هنگامی خشرده نامند، كه بتوان آن را با نگاره تعداد منهای از

۲- کمائی‌ها (در M) پوشانند.

بدین ترتیب فشردگی بدان معنی است که رویه M دارای قطع و اندازه متناهی است. مثلاً کره رویه‌ای است فشرده، زیرا اگر برای $x(u, v)$ عبارت مذکور در مثال ۲.۲ را روی مستطیل بسته

$$R: -\pi \leq u \leq \pi, \quad -\frac{\pi}{2} \leq v \leq \frac{\pi}{2}$$

در نظر بگیریم، در این صورت Σ نگاره این ۲- کمائی تنها می‌باشد. همچنین چنبره دورانی (مثال ۶.۲) یا هر رویه دورانی بسته، فشرده است. اثبات لم زیر بر این نکته اساسی مبتنی است: اگر f تابعی با مقدار حقیقی و پیوسته روی مستطیل:

$$R: a \leq u \leq b, \quad c \leq v \leq d$$

تعریف شده باشد، در این صورت ماکسیم f در نقطه‌ای از خود R می‌باشد.

۳.۷. لم. اگر f تابعی پیوسته روی رویه فشرده M باشد در این صورت ماکسیم f در نقطه‌ای از خود M می‌باشد. (بدیهی است که می‌توان به جای ماکسیم، مینیمم را در نظر گرفت.)

برهان. بنا بر تعریف، یک تعداد متناهی از ۲- کمائی‌های:

$$x_i: R_i \rightarrow M \quad (1 \leq i \leq k)$$

وجود دارند که نگاره‌های آنها تمام M را می‌پوشانند. چون هر x_i دیفرانسیل پذیر است پیوسته نیز می‌باشد و بنا بر این توابع مرکب $f x_i: R_i \rightarrow \mathbf{R}$ پیوسته‌اند. با توجه به توضیح بالا به ازای هر i ، نقطه (u_i, v_i) از R_i وجود دارد که در آن $f x_i$ ماکسیمم است. بگیریم مثلاً $f(x_1(u_1, v_1))$ بزرگترین مقدار این ماکسیمم k باشد. اکنون نشان می‌دهیم که f در نقطه $\mathbf{m} = x_1(u_1, v_1)$ به ماکسیمم می‌رسد. برای این منظور ثابت می‌کنیم که به ازای هر نقطه \mathbf{p} از M داریم $f(\mathbf{m}) \geq f(\mathbf{p})$. از آنجا که ۲- کمائی‌های x_1, \dots, x_k را M می‌پوشانند پس می‌توان i را طوری تعیین کرد که $\mathbf{p} = x_i(u, v)$ ، و با توجه به تعریف ما داریم

$$f(\mathbf{m}) = f(x_1(u_1, v_1)) \geq f(x_i(u, v)) \geq f(x_i(u, v)) = f(\mathbf{p})$$

از این قضیه بسیار مفید می‌توان برای اثبات نافشردگی نیز استفاده کرد. مثلاً هیچ استوانه C (مانند مثال ۵.۱) فشرده نیست، زیرا تابع مختصاتی z روی C که ارتفاع $z(\mathbf{p})$ در هر نقطه بالای صفحه xy را مشخص می‌کند روی C دارای ماکسیمم نیست.

باید توجه داشت که تعریف ۲.۷، آن‌طور هم که به نظر می‌رسد، ساده نیست. به عنوان مثال قرص یک‌که باز $D: x^2 + y^2 < 1$ را در صفحه xy را در نظر می‌گیریم. D رویه‌ای است با مساحت منتهای π اما فشرده نیست: کافی است ملاحظه شود که تابع پیوسته $f = (1 - x^2 - y^2)^{-1}$ روی D دارای ماکسیمم نیست. به طور کلی یک رویه فشرده نمی‌تواند مانند D دارای کناره‌های باز باشد. باید از هر طرف به‌طور هموار بسته، و دارای قطع و اندازۀ منتهای باشد، مانند کره یا چنبره.

رویه جهتپذیر را می‌توان به صورت رویه‌ای که دارای پیچ و تاب نیست تجسم کرد. از تعریفهای هم‌ارزی که برای جهت‌پذیری وجود دارد تعریف زیر شاید از همه ساده‌تر باشد:

۴.۷. تعریف. رویه M را هنگامی جهت‌پذیر نامند که یک ۲-فرمی μ روی M وجود داشته باشد به طوری که در هیچ نقطه M صفر نباشد.

(یک ۲-فرمی هنگامی در یک نقطه p صفر است که روی هر زوج بردار مماس در p صفر باشد.) بدین ترتیب E^2 جهت‌پذیر است زیرا $du dv$ یک ۲-فرمی است که هیچ‌گاه روی آن صفر نمی‌شود. تعریف بالا با آنکه ساده است اما تجسم آن دشوار است از این رو ملاک زیر را که دارای تعبیر روشنتری است بیان می‌کنیم.

۵.۷. قضیه. برای آنکه رویه M در E^3 جهت‌پذیر باشد لازم و کافی است که یک میدان برداری قائم Z روی M وجود داشته باشد به طوری که در هیچ نقطه از M صفر نباشد.

برهان. برای آنکه میدانهای برداری قائم و ۲-فرمیها را به یکدیگر تبدیل کنیم از حاصل ضرب خارجی در E^3 استفاده خواهیم کرد. گیریم Z یک میدان برداری قائم باشد، اکنون ۲-فرمی μ را روی M به طریق زیر تعریف می‌کنیم:

به‌ازای هر زوج v و w از بردارهای مماس بر M در p قرار می‌دهیم

$$\mu(v, w) = Z(p) \cdot v \times w$$

با استفاده از خواص حاصل ضرب خارجی به آسانی دیده می‌شود که μ یک ۲-فرمی است که هیچ‌گاه روی M صفر نمی‌شود، بنابراین M جهت‌پذیر است.

برعکس، گیریم M جهت‌پذیر باشد و μ یک ۲-فرمی که روی M هیچ‌گاه صفر نشود. در p زوج بردارهای مماس v و w را که دارای استقلال خطی باشند در نظر می‌گیریم، در این صورت داریم

$$\mu(v, w) \neq 0$$

زیرا در غیر این صورت μ در p صفر خواهد بود. اکنون Z را به صورت زیر تعریف می‌کنیم

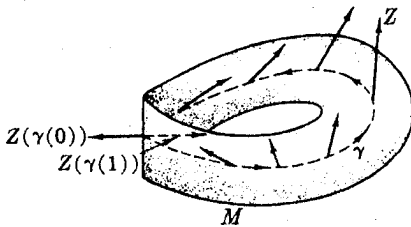
$$Z(p) = \frac{v \times w}{\mu(v, w)}$$

نکته جالب آنکه این عبارت از انتخاب v و w در p مستقل است. یعنی اگر \bar{v} و \bar{w} دو بردار مستقل دیگر در این نقطه باشند، بسا استفاده از لم ۲.۴ و فرمول مشابه درباره ضرب خارجی داریم

$$\frac{\overline{v \times w}}{\mu(v, w)} = \frac{v \times w}{\mu(v, w)}$$

بدین ترتیب یک میدان برداری اقلیدسی روی تمام M معین می‌گردد و خواص حاصل ضرب خارجی نشان می‌دهند که Z همه جا بر M قائم است و هیچ‌گاه صفر نیست.

بدین ترتیب از لم ۸.۳ نتیجه می‌شود که هر رویه‌ای که در E^3 به‌طور ضمنی تعریف گردد جهت‌پذیر است. مثلاً همه استوانه‌ها، رویه‌های دورانی و کره‌ها (و همه رویه‌های درجه دوم) جهت‌پذیرند. اما در E^2 رویه‌های جهت‌ناپذیر نیز وجود دارند. ساده‌ترین مثال، نوار مشهور موبیوس M است که می‌توان آن را با استفاده از یک نوار کاغذ به‌طریق زیر ساخت: یک طرف نوار را نیم‌دور تاب می‌دهیم و سپس آن را به‌طرف دیگر می‌چسبانیم. (تقریباً ۷ دربارۀ ساختن یک نوار موبیوس خاص است) M جهت‌پذیر نیست، زیرا هر میدان برداری قائم Z روی M باید در نقطه‌ای صفر شود. برای توضیح، خم بستۀ γ را مطابق شکل ۴۷.۴ در نظر می‌گیریم و قرار می‌دهیم $\gamma(0) = \gamma(1) = p$. اکنون اگر فرض کنیم که Z همواره مخالف صفر است به تناقض $Z(\gamma(1)) = -Z(\gamma(0))$ خواهیم رسید. زیرا تابع $Z(\gamma(t)) \rightarrow t$ دیفرانسیل‌پذیر است (یعنی، Z با تغییر هموار در طول γ حرکت می‌کند).



شکل ۴۷.۴

سه‌خصوصیتی که در این بند مورد بحث قرار گرفت: همبندی، فشردگی و جهت‌پذیری خواص توپولوژیایی‌اند: می‌توان آنها را فقط با استفاده از مجموعه‌های باز و توابع پیوسته و بدون در نظر گرفتن دیفرانسیل‌پذیری تعریف کرد. با استفاده از این تعاریف کلیتر می‌توان قضیه زیر را با استدلالی روشنتر اثبات کرد.

۶.۷. قضیه. گیریم M و N دو رویه از E^3 باشند به طوری که N شامل M باشد. اگر

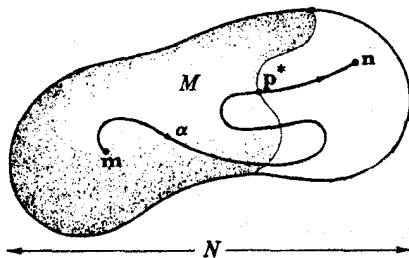
$M = N$ فشرده و N همبند باشد در این صورت داریم $M = N$.

(اگر N همبند نباشد امکان دارد که دو پارچه‌ای باشد و M یکی از آنها باشد. همچنین در موردی که M فشرده نباشد، نتیجه درست در نمی‌آید. حالتی را در نظر بگیرید که N صفحه xy و M یک قرص باز در آن است.)

برهان. تمرین ۱۵ بند ۳ نشان می‌دهد که M یک زیرمجموعه باز از N می‌باشد. اکنون فرض می‌کنیم که M تمام N را نمی‌پوشاند و از آنجا تناقضی به دست می‌آوریم. بنا بر این فرض، می‌توان نقطه‌ای مانند n از N یافت که به M متعلق نباشد. نقطه دلخواه m از M را در نظر می‌گیریم. چون N همبند است در آن می‌توان کمان α از $\alpha(0) = m$ به $\alpha(1) = n$ را انتخاب کرد. اکنون گیریم t^* کوچکترین کران بالای اعداد t باشد، که به ازای آنها $\alpha(t)$ به M متعلق است. نشان می‌دهیم که نقطه $p^* = \alpha(t^*)$ نیز به M متعلق است (شکل ۴۸.۴).

برای اثبات، تابع f با مقدار حقیقی روی M را در نظر می‌گیریم که به هر نقطه p از M ، $f(p)$ مسافت اقلیدسی از p تا p^* یعنی $d(p^*, p)$ را متناظر قرار می‌دهد. دیده می‌شود که $f \geq 0$ و f نیز پیوسته است بدین معنی که به ازای هر قطعه مختصاتی x در M تابع مرکب $f(x)$ پیوسته است. با استفاده از لم ۳.۷ و با توجه به فشردگی M ، ثابت می‌شود که f در نقطه‌ای از M به مینیمم می‌رسد. از جهت دیگر بنا بر تعریف کوچکترین کران بالا، اعداد $t < t^*$ را می‌توان به قدر کافی نزدیک به t^* طوری انتخاب کرد که $\alpha(t)$ به M متعلق باشد، و چون α پیوسته است (زیرا دیفرانسیبلپذیر است)، مسافت متناظر به آن یعنی $d(p^*, \alpha(t))$ نیز به قدر کافی کوچک خواهد بود، یعنی مینیمم f فقط می‌تواند صفر باشد و این بدان معنی است که f در p^* مینیمم است و در نتیجه p^* به M ، حوزه f ، متعلق است.

اما M زیرمجموعه‌ای باز از N است و هر نقطه از N که به قدر کافی به p^* نزدیک باشد، به M تعلق خواهد داشت. بنابراین اگر $t > t^*$ به قدر کافی به t^* نزدیک باشد، $\alpha(t)$ نیز به M متعلق است و این با تعریف t^* متناقض است.



شکل ۴۸.۴

تمرینات

۱. معلوم کنید که از رویه‌های زیر کدام فشرده و کدام همبند است:

(الف) کره‌ای که از آن يك نقطه حذف شده است.

(ب) ناحیه $z > 0$ در $z = xy$ M :

(ج) رویه‌ای که در شکل ۱۰.۴ دیده می‌شود.

(د) $M: x^2 + y^2 + z^2 = 1$

(ه) چنبره‌ای که از آن خم $\alpha(t) = x(t, t)$ را حذف کرده‌اند. (تمرین ۲، بند ۳ فصل

۴ را ببینید.)

۲. گیریم F نگاشتی از رویه M روی رویه N باشد. ثابت کنید که:

(الف) اگر M همبند باشد N نیز همبند است.

(ب) اگر M فشرده باشد N نیز فشرده است.

۳. گیریم $F: M \rightarrow N$ نگاشتی منظم است. ثابت کنید که اگر N جهت‌پذیر باشد M نیز

جهت‌پذیر است.

۴. گیریم f تابعی دیفرانسیل‌پذیر با مقدار حقیقی روی رویه همبند M باشد. ثابت کنید که:

(الف) اگر $df = 0$ ، آنگاه f ثابت است.

(ب) اگر f هیچ‌گاه صفر نشود، آنگاه همواره $f > 0$ یا $f < 0$.

۵. (الف) ثابت کنید که هر رویه همبند و جهت‌پذیر تنها دارای دو میدان برداری قائم یکنانی

است که از لحاظ علامت مخالف یکدیگرند. این دو میدان را با $\pm U$ نشان می‌دهیم.

(داهنمایی: از تمرین ۴ استفاده کنید.)

(ب) ثابت کنید که اگر M جهت‌پذیر نباشد، هر نقطه آن به ناحیه‌ای جهت‌پذیر و همبند تعلق

دارد. (بدین ترتیب حتی رویه‌های جهت‌پذیر به طور موضعی دارای میدانهای برداری

قائم یکنانی می‌باشند.)

۶. گیریم $F: M \rightarrow N$ يك نگاشت منظم باشد. این تعمیم قضیه ۶.۷ را ثابت کنید. اگر

M فشرده و N همبند باشد در این صورت F پوشاست (M را بردی N می‌برد).

۷. نوار مویبوس (شکل ۴۷.۴) را می‌توان به‌عنوان رویه خط‌کشی به‌صورت

$$x(u, v) = \beta(u) + v\delta(u), \quad -\frac{1}{4} \leq v \leq \frac{1}{4}$$

ساخت که در آن

$$\beta(u) = (\cos u, \sin u, 0)$$

$$\delta(u) = \left(\cos \frac{u}{4}\right)\beta(u) + \left(\sin \frac{u}{4}\right)U_r$$

(مولد L در هر دور که دایره β را طی کند، نیم‌دور می‌چرخد).
(الف) مطلوب است محاسبه

$$E = \frac{v^2}{4} + \left[1 + v \cos\left(\frac{u}{4}\right) \right]^2, \quad F = 0, \quad G = 1$$

و مانند تمرین ۲ بند ۲ نشان دهید که X منظم است.

(ب) روی طرحی از M خم مربوط به پارامتر u و $v = 1/4$ را نشان دهید. ثابت کنید که خمهای مربوط به پارامتر u بسته‌اند و (بجز β) دارای دوره تناوب 4π می‌باشند.

۸. رویه M^* حاصل از نوار مویوس در تمرین بالا را با حذف دایره β از آن، در نظر می‌گیریم. جهت‌پذیری و همبندی M^* را بررسی کنید.

۹. (مثال نقض). با ذکر مثالهایی بطلان احکام زیر را ثابت کنید:

(الف) عکس (الف) و (ب) در تمرین ۲.

(ب) تمرین ۳ که در آن F منظم فرض نشود.

(ج) عکس تمرین ۳.

۱۰. رویه M در E^3 هنگامی در E^2 بسته است که مجموعه نقاط E^3 که به M متعلق

نیستند یک مجموعه باز از E^3 باشد (اگر p به M متعلق نباشد یک ϵ -همسایگی برای p بتوان یافت که با M متقاطع نباشد) نشان دهید که:

(الف) هر رویه‌ای در E^3 که به صورت ضمنی $g = c$ نمایش یابد در E^3 بسته است.

(ب) هر رویه فشرده در E^3 ، در E^3 بسته است.

۱۱. (کراننداری). رویه M در E^3 را هنگامی کراندار نامند که عددی مانند R وجود داشته

باشد به طوری که به ازای هر p از M داشته باشیم $\|p\| \leq R$. (بدین ترتیب M در داخل یک کره واقع است). ثابت کنید که هر رویه فشرده در E^3 کراندار است.

با دو تمرین اخیر ثابت شد که هر رویه فشرده در E^3 بسته و کراندار است، عکس

این مطلب از یک قضیه اساسی در توپولوژی نتیجه می‌گردد.

۱۲. قضیه ۶.۷ را فقط با فرض آنکه M در E^3 بسته باشد (به جای فرض فشرده‌گی) ثابت کنید.

۱۳. فشرده‌گی و همبندی رویه $g = 1$: M را در هر یک از حالت‌های زیر بررسی کنید:

(الف) $g = x^2 - y^2 + z^2$ (ج) $g = z^2 + x^2$

(ب) $g = x^2 - y + z$ (د) $g = (x^2 + y^2 - 4)^2 + (z - 4)^2$

۰۱۴. ثابت کنید که هر رویهٔ دورانی M همبند و جهت‌پذیر است، و شرط لازم و کافی برای فشردگی آن، آن است که خم مولد C بسته باشد.

۸. خمینه‌ها

در مشاهدات و تجربه‌های روزمرهٔ خود همواره با رویه‌های E^2 سروکار داریم و منطقی ایجاب می‌کند که آنها را از لحاظ ریاضی مورد پژوهش و تفحص قرار دهیم. اما هنگامی که این مفهوم را از دید انتقادی بررسی می‌کنیم این سؤال مطرح می‌گردد که آیا در $E^4 \dots$ یا $E^n \dots$ نیز می‌توان رویه‌هایی تصور کرد؟ و همچنین آیا رویه‌هایی می‌توان یافت که اصلاً در هیچ فضای اقلیدسی واقع نباشند؟ برای این منظور در تعریف کلی رویه‌ها نباید به مشاهدات مستقیم خود از جهان خارج تکیه کنیم، بلکه باید از تجربیات ریاضی که دربارهٔ رویه‌ها در E^3 داریم استفاده نماییم. بدین ترتیب از تعریف اساسی (۲۰۱). هرچه را بدطریقی به E^3 مربوط است حذف می‌کنیم و آنچه باقی می‌ماند درست یک دویه خواهد بود.

اولاً گوییم: رویه عبارت است از یک مجموعهٔ M : گردایه‌ای است از اشیاء و هیچ لزومی ندارد که نقاط E^3 باشند. قطعه مختصاتی مجرد در M نیز تابعی یک به یک $M \rightarrow D$ از یک مجموعهٔ باز D از E^3 در مجموعهٔ M خواهد بود. اما تا اینجا هیچ وسیله‌ای برای تعبیر دیفرانسیل‌پذیری این تابع در دست نیست. از جهت دیگر، برای تعریف مناسب رویه فقط به شرط همپوشی هموار (فرع ۳۰۳) احتیاج داریم. اثبات این مطلب نیز از لحاظ منطقی غیرممکن است. از این رو مطابق روش معمول ریاضیدانان آن را به‌عنوان یک اصل موضوع در نظر می‌گیریم.

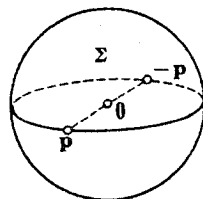
۰۱۸. تعریف. رویه عبارت است از یک مجموعهٔ M و یک گردایهٔ قطعه‌های مختصاتی مجرد \mathcal{P} در M به‌طوری که:

- (۱) نگاره‌های قطعه‌های مختصاتی متعلق به \mathcal{P} مجموعهٔ M را پوشانند.
- (۲) به‌ازای هر دو قطعه مختصاتی x و y از \mathcal{P} توابع مرکب $x^{-1}y$ و $y^{-1}x$ دیفرانسیل‌پذیر (اقلیدسی) باشند (و روی زیرمجموعه‌های بازی از E^3 معین باشند).

این تعریف تعمیم تعریف ۲۰۱ می‌باشد: رویه‌های E^3 بدین مفهوم نیز دویه‌اند. اما رویه‌های بسیاری وجود دارند که هیچ‌گاه در E^3 نیستند.

۰۲۰۸. مثال. صفحهٔ تصویری $\bar{\Sigma}$ در E^3 کرهٔ یکهٔ Σ

را در نظر می‌گیریم و با متحد کردن نقاط متقاطع آن صفحهٔ تصویری $\bar{\Sigma}$ را می‌سازیم، بدین طریق که نقاط p و $-p$ را به‌عنوان یک نقطه در نظر می‌گیریم (شکل ۴۹۰۴). یعنی $\bar{\Sigma}$ از همهٔ زوجهای نقاط متقاطع $\{p, -p\}$ کسره تشکیل شده است. (ترتیب نقشی ندارد $\langle p, -p \rangle = \langle -p, p \rangle$.)



شکل ۴۹۰۴

برای آنکه از $\bar{\Sigma}$ يك رویه بسازیم، و بعداً آن را بررسی کنیم، از دو تابع استفاده خواهیم کرد: یکی نگاشت $A(p) = -p$ از کسره Σ و دیگری تصویر Σ روی $\bar{\Sigma}$ ، $P\{p\} = \{p, -p\}$. توجه شود که در اینجا داریم $PA = P$ و تساوی $P(p) = P(q)$ فقط و فقط یا به ازای $q = p$ یا به ازای $q = -p$ برقرار است.

اکنون در Σ قطعه مختصاتی x را «کوچک» نامیم هر گاه مسافت اقلیدسی هر دو نقطه آن از ۱ کوچکتر باشد. اگر $\Sigma \rightarrow D: x$ يك قطعه مختصاتی کوچک باشد، در این صورت تابع مرکب $\bar{\Sigma} \rightarrow D: P(x)$ يك به يك است و در نتیجه يك قطعه مختصاتی مجرد در $\bar{\Sigma}$ خواهد بود. گردایه همه این نوع قطعه‌های مختصاتی، $\bar{\Sigma}$ را به صورت رویه در می آورد، شرط اول در تعریف ۱.۸ واضح است و طرز اثبات شرط دوم به اختصار از این قرار است:

گیریم $P(x)$ و $P(y)$ در $\bar{\Sigma}$ همپوش باشند؛ یعنی نگاره‌هایشان يك نقطه مشترك داشته باشند. اگر x و y در Σ همپوش باشند، می توان ثابت کرد که داریم $(Py)^{-1}(Px) = y^{-1}x$ ، که بنابر فرع ۳.۳ دیفرانسیلپذیر است و روی زیرمجموعه باز ی معین است (توجه: از کوچکی قطعه‌های مختصاتی و رابطه * استفاده کنید). از جهت دیگر اگر x و y همپوش نباشند به جای y از $A(y)$ استفاده می کنیم و x و $A(y)$ حتماً همپوش اند و باز استدلال پیش به کار می رود.

نتیجه: صفحه تصویری $\bar{\Sigma}$ يك رویه است.^۱

برای تأکید در وجهه تمایز رویه‌های E^2 و مفهوم کلی رویه که در بالا تعریف شد گاهی آن را دویفه مجرد می نامند. توجه شود که E^2 هنگامی که با يك قطعه مختصاتی تنهای $x(u, v) = (u, v)$ مجهز باشد، يك رویه مجرد است.

برای آنکه در رویه مجرد M تا حد امکان قطعه‌های مختصاتی فراوان داشته باشیم، معمولاً گردایه \mathcal{P} را توسعه می دهند بطوری که همه قطعه‌های مختصاتی در M را که با عناصر \mathcal{P} به طور هموار همپوش اند شامل باشد. در بررسی رویه M فقط از این قطعه‌های مختصاتی می توانیم استفاده کنیم. تأکید می شود که دو رویه مجرد M_1 و M_2 که مجموعه نقاط آنها یکی باشد، اگر گردایه‌های (توسعه یافته) قطعه‌های مختصاتی \mathcal{P}_1 و \mathcal{P}_2 متفاوت باشد، دو رویه مختلف اند.

برای وارد کردن حساب دیفرانسیل و انتگرال روی يك رویه مجرد M فقط يك مسأله را باید حل کنیم، و آن تعریف سرعت يك خم در M است. زیرا هر چیز دیگر از قبیل توابع دیفرانسیلپذیر، خمها، بردارهای مماس، میدانهای برداری مماس، فرمهای دیفرانسیلی و غیره همان تعاریف و قضایایی که درباره رویه‌های E^2 بیان شده‌اند بدون تغییری به کار خواهند رفت. (برای اینکه ناظر به تعریف جدید ۳.۸ باشیم، لازم است چند برهان را به هم پیوندیم،

۱. این اصطلاح در این مثال، از هندسه تصویری گرفته شده است. ولی، تمرین ۲ نشان می دهد که مناسبتر است $\bar{\Sigma}$ به صورت يك کره بیچانه شده توصیف شود.

ولی این امر مشکل چندانی پیش نمی‌آورد. اما درحالات مجرد فاقد سرعت خم می‌باشیم، زیرا در آنجا سرعت از بردارهای مماس E^3 تشکیل می‌شود، ولی در اینجا E^3 را حذف کرده‌ایم.

در تعریف سرعت $\alpha'(t)$ ، تنها نکته‌ای که باید رعایت کرد آن است که از این تعریف نیز همان خواص اساسی پیش به دست آید. خصوصیت مشتق امتدادی (لم ۶.۴ فصل اول) برای این منظور کاملاً مناسب است.

۳.۸. تعریف. گیریم $\alpha: I \rightarrow M$ خمی در رویه مجرد M باشد. به ازای هر t متعلق به I بردار سرعت $\alpha'(t)$ عبارت است از تابعی که به ازای هر تابع با مقدار حقیقی و دیفرانسیلپذیر f روی M داشته باشیم

$$\alpha'(t)[f] = \frac{d(f\alpha)}{dt}(t)$$

بدین ترتیب $\alpha'(t)$ تابعی است با مقدار حقیقی که حوزه آن مجموعه تمام توابع دیفرانسیلپذیر روی M می‌باشد. این تنها چیزی است که برای تعمیم حساب دیفرانسیل و انتگرال رویه‌های E^3 به حالت رویه‌های مجرد مورد نیاز است.

خواننده ممکن است احساس کند که در راه تجرید به قدر کافی پیش رفته است، اما با یک گام دیگر راه به پایان می‌رسد.

ما اینک یک حساب دیفرانسیل و انتگرال برای E^n (فصل اول) و یک حساب دیفرانسیل و انتگرال برای رویه‌ها داریم. این دو بحث کاملاً مشابه‌اند، البته این شباهت فقط از لحاظ ریاضی است، و بعداً تولید اشکال خواهد کرد. آنچه بدان نیازمندیم تنها یک حساب دیفرانسیل و انتگرال است که این دو حالت‌های خاص آن باشند. عام‌ترین شیئی که روی آن می‌توان حساب دیفرانسیل و انتگرال را اجرا کرد، خمینه نام دارد، و آن رویه‌ای است مجرد با بعد دلخواه n .

۴.۸. تعریف. خمینه n بعدی M عبارت است از یک مجموعه مجهز به یک گردایه \mathcal{P} از قطعه‌های مختصاتی مجرد (توابع یک به یک $x: D \rightarrow M$ ، D مجموعه بازای در E^n) به طوری که

- (۱) نگاره‌های قطعه‌های مختصاتی متعلق به گردایه \mathcal{P} ، M را بپوشانند.
- (۲) به ازای هر دو قطعه مختصاتی x و y متعلق به گردایه \mathcal{P} ، توابع مرکب $y^{-1}x$ و $x^{-1}y$ دیفرانسیلپذیر اقلیدسی (و روی مجموعه‌های بازی از E^n معین) باشند.

بدین ترتیب یک رویه (تعریف ۱.۸) دست یک خمینه دو بعدی است. فضای اقلیدسی E^n یک خمینه n بعدی ویژه‌ای است، گردایه قطعه مختصاتی آن فقط از تابع همانی تشکیل یافته است.

برای آنکه این تعریف را تا آنجا که ممکن است به تعریف رویه‌های E^3 نزدیک

نگاه داریم، اندکی از تعریف معمولی خمینه به‌دور افتاده‌ایم، زیرا معمولاً در تعریف خمینه، توابع معکوس $D \rightarrow X(D): x^{-1}$ را اساس قرار می‌دهند.

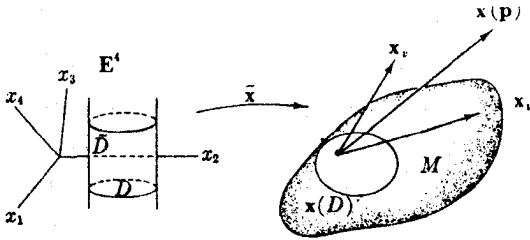
حساب دیفرانسیل و انتگرال در بارهٔ يك خمینه n بعدی دلخواه M مطابق همان حالت خاص $n=2$ متناظر به‌رویهٔ مجرد تعریف می‌گردد. توابع دیفرانسیلپذیر، بردارهای مماس، میدانهای برداری و نگاهشها درست مانند پیش بیان می‌شوند: فقط باید به‌جای $i=1, 2$ قرار دهیم $n=1, 2, \dots, n$. فرمهای دیفرانسیلی روی يك خمینه M دارای همان خواص عمومی‌اند که در حالت $n=2$ در بندهای ۴، ۵ و ۶ بررسی کردیم. اما در این حالت به‌ازای n $0 \leq p \leq n$ -فرمیها وجود دارند، بنا براین هنگامی که n بعد M ، بزرگ باشد، وضع از حالت $n=2$ پیچیده‌تر خواهد بود و شیوه‌های محاسباتی دیگری مورد نیاز است.

هرجا که در ریاضیات به‌حساب دیفرانسیل و انتگرال و کاربردهای آن برخورد می‌کنیم، خمینه‌ها را نیز می‌بینیم، و خمینه‌های با ابعاد بالاتر در مسائلی (نظری و عملی) که در ابتدا فقط ۲ یا ۳ بعدی به‌نظر می‌رسند واجد اهمیت می‌باشند. به‌عنوان مثال به‌بررسی يك خمینهٔ چهار بعدی که در همین فصل، حداقل به‌طور ضمنی آمده است می‌پردازیم.

۵.۸. مثال. کلاف مماس بر يك دویه. رویهٔ M را در نظر می‌گیریم، و مجموعهٔ همهٔ بردارهای مماس بر M در همهٔ نقاط آن را با $T(M)$ نشان می‌دهیم. (از لحاظ آسانی تصور. M را به‌عنوان يك رویه در E^3 در نظر می‌گیریم، ولی در واقع می‌توان به‌جای آن يك رویهٔ مجرد یا يك خمینه با ابعاد دلخواه قرار داد.) M ، ۲ بعدی است و هر صفحهٔ مماس $T_p(M)$ نیز ۲ بعدی است، بدین ترتیب $T(M)$ ، ۴ بعدی خواهد بود. برای آنکه مجموعهٔ $T(M)$ را به‌صورت يك خمینه در آوریم، باید يك گردایهٔ $\tilde{\mathcal{P}}$ از قطعه‌های مختصاتی فراهم کنیم، برای این منظور از هر قطعه مختصاتی x در M يك قطعه مختصاتی \tilde{x} در $T(M)$ می‌سازیم. بگیریم $M \rightarrow D: x$ ، و فرض کنیم \tilde{D} مجموعهٔ بازی از E^4 باشد، که از همهٔ نقاط (p_1, p_2, p_3, p_4) تشکیل شده است که به‌ازای آنها (p_1, p_2) به D متعلق است. اکنون تابع $T(M) \rightarrow \tilde{D}: \tilde{x}$ را به‌صورت زیر تعریف می‌کنیم

$$\tilde{x}(p_1, p_2, p_3, p_4) = p_3 x_3(p_1, p_2) + p_4 x_4(p_1, p_2)$$

(در شکل ۵۰.۴ E^2 را همان صفحهٔ $x_1 x_2$ از E^4 گرفته‌ایم.)
 با استفاده از تمرین ۳ بند ۳ و برهان لم ۶.۳ به آسانی می‌توان نشان داد که (۱) هر يك از توابع \tilde{x} يك به‌يك است و بنا براین يك قطعه مختصاتی در $T(M)$ ، به‌مفهومی که در تعریف ۴.۸ آمد، می‌باشد. (۲) گردایهٔ $\tilde{\mathcal{P}}$ متشکل از این قطعه‌های مختصاتی در دو



شکل ۵۰.۴

شرط مذکور در تعریف ۴.۸ صدق می‌کند. بدین ترتیب $T(M)$ یک خمینه چهار بعدی است که کلاف مماس M نام دارد.

تمرینات

۱. نشان دهید برای آنکه رویه M جهت‌ناپذیر باشد کافی است بتوان خم بسته $M \rightarrow [0, 1]: \alpha$ و میدان برداری Y را روی α طوری تعیین کرد که (الف) Y و α' در هر نقطه استقلال خطی داشته باشند. (ب) تساوی $Y(1) = -Y(0)$ برقرار باشد.

۲. خواص زیر را دربارهٔ صفحهٔ تصویری $\bar{\Sigma}$ اثبات کنید:

(الف) اگر $P: \bar{\Sigma} \rightarrow \bar{\Sigma}$ تابع تصویر باشد، آنگاه هر بردار مماس بر $\bar{\Sigma}$ نگارهٔ دو بردار مماس بر $\bar{\Sigma}$ به وسیلهٔ P_* خواهد بود. این دو بردار به صورت v_p و $-(v_p)$ می‌باشند.

(ب) $\bar{\Sigma}$ فشرده، همبند و جهت‌ناپذیر است.

(راهنمایی: برای (الف) از تمرین ۵، فصل ۴، بند ۵ استفاده کنید.) ثابت می‌شود که هر دوی فشرده در E^3 جهت‌پذیر است، بنابراین $\bar{\Sigma}$ دیفئومرف با هیچ رویه در E^3 نمی‌باشد.

۳. ثابت کنید که کلاف مماس (۵.۸) یک خمینه است. (اگر x و y قطعه‌های مختصاتی

همپوش در M باشند، فرمول صریحی برای $\tilde{y}^{-1} \tilde{x}$ پیدا کنید.)

۴. ثابت کنید که اگر M نگارهٔ تنها یک قطعه مختصاتی $M \rightarrow E^2: x$ باشد، در این صورت کلاف مماس $T(M)$ با E^4 دیفئومرف است.

۵. (صفحه با دو مبدأ) M از همهٔ زوجهای مرتب اعداد حقیقی (u, v) و نقطهٔ

اضافی \circ^* تشکیل شده است. توابع x و y از E^2 به M را به صورت زیر در نظر می‌گیریم

$$x(u, v) = y(u, v) = (u, v) \quad (u, v) \neq (0, 0)$$

و

$$x(0, 0) = 0 = (0, 0) \quad \text{و} \quad y(0, 0) = \circ^*$$

ثابت کنید که :

(الف) قطعه‌های مختصاتی مجرد x و y از M یک رویه می‌سازند.
(ب) M همبند است.

(ج) تابع $F: M \rightarrow M$ نگاشتی است که در آن $F(\circ^*) = 0$ و $F(0) = \circ^*$ ، اما به ازای هر نقطهٔ دیگر از M ، $F(p) = p$.

بررسی رویه‌هایی از این نوع با دشواریهایی همراه است، و برای حذف آنها فرض دیگری به تعریف ۱۰۸ اضافه می‌کنیم: به ازای نقاط $p \neq q$ از M بتوان قطعه‌های مختصاتی مجرد x و y متعلق به \mathcal{M} را طوری تعیین کرد که p به $x(D)$ و q به $y(E)$ متعلق باشند، و $x(D)$ و $y(E)$ همدیگر را قطع نکنند (اجل موضوع هاسدورف).

۶. میدان برداری V روی رویهٔ M را در نظر می‌گیریم. یک خم α در M را هنگامی خم انتگرال V می‌نامند که به ازای هر t داشته باشیم $\alpha'(t) = V(\alpha(t))$. بدین ترتیب خم انتگرال در هر نقطه دارای سرعتی است که به وسیلهٔ V معین می‌گردد. اگر $\alpha(0) = p$ ، گوئیم α از p آغاز می‌شود.

(الف) در حالت خاص $M = E^2$ ثابت کنید که خم $(a_1(t), a_2(t)) \rightarrow t$ یک خم انتگرال برای میدان برداری $v = f_1 U_1 + f_2 U_2$ با آغاز (a, b) خواهد بود، اگر و فقط اگر

$$\begin{cases} \frac{da_1}{dt} = f_1(a_1, a_2) \\ \frac{da_2}{dt} = f_2(a_1, a_2) \end{cases} \quad \text{و} \quad \begin{cases} a_1(0) = a \\ a_2(0) = b \end{cases}$$

نظریهٔ معادلات دیفرانسیل جواب یکتایی را برای این نوع دستگاهها پیشینی می‌نماید.
(ب) خم انتگرال

$$v = -u^2 U_1 + uv U_2 \quad \text{روی } E^2$$

را که از نقطهٔ $(1, -1)$ آغاز می‌شود بیابید. (داهنمایی: معادلات دیفرانسیل در این مورد با روشهای مقدماتی حل می‌شوند. الف) ثابتهای اختیاری استفاده کنید تا نقطهٔ

(۱ - ۱) به نقطه آغاز بدل شود.

۷. ثابت کنید که هر میدان برداری V روی یک رویه M دارای یک خم انتگرال می‌باشد، که از نقطه مفروضی آغاز می‌شود. (داهمنایی: یک قطعه مختصاتی x در M ، بسا $x(a, b) = p$ ، بگیرید و فرض کنید v میدان بسررداری در E^2 چنان باشد که $(\cdot x_*)(v) = V$)

۸. ثابت کنید که هر رویه دورانی یا با یک چنبره یا با یک استوانه دیفتومرف است. (به طریق مشابه هر رویه دورانی زایده‌دار یا با یک صفحه یا با یک کره دیفتومرف است. به تمرین ۱۲، فصل ۴، بند ۱ مراجعه کنید.)

۹. (حاصل ضرب دکارتی). رویه‌های M و N را در نظر می‌گیریم، مجموعه همه زوجهای مرتب (p, q) را که در آن p به M و q به N تعلق دارد با $M \times N$ نشان می‌دهیم. اگر $x: D \rightarrow M$ و $y: E \rightarrow N$ دو قطعه مختصاتی باشند، ناحیه‌ای از E^4 را که از همه نقاط (u, v, u_1, v_1) ، با (u, v) در D ، و (u_1, v_1) در E تشکیل شده است، بسا $D \times E$ نشان می‌دهیم. سپس تابع $x \times y: D \times E \rightarrow M \times N$ را با

$$(x \times y)(u, v, u_1, v_1) = (x(u, v), y(u_1, v_1))$$

تعریف می‌کنیم. ثابت کنید که گردایه φ متشکل از این نگاشتهای مجرد، $M \times N$ را به صورت یک خمینه (۴ بعدی) در می‌آورد. $M \times N$ حاصل ضرب دکارتی M و N نام دارد.

همین طرح در بساره هر دو خمینه دلخواه قابل اجراست، مثلاً $E^1 \times E^1$ دقیقاً همان E^2 است.

۱۰. گیریم M یک رویه مجرد باشد. یک نشانیدن خاص M در E^3 عبارت است از نگاشت منظم یک به یک $F: M \rightarrow E^3$ به طوری که تابع معکوس $F^{-1}: F(M) \rightarrow M$ پیوسته باشد. ثابت کنید که $F(M)$ نگاره حاصل از یک نشانیدن خاص یک رویه در E^3 است (تعریف ۲۰۱) و با M دیفتومرف است.

اگر $F: M \rightarrow E^3$ فقط منظم باشد، آنگاه F را یک فروری M در E^3 ، و نگاره $F(M)$ را اغلب «رویه فرو برده شده» می‌نامند ولو اینکه در تعریف ۲۰۱ صدق نکند.

۹. خلاصه

در این فصل به تدریج از مفهوم بدیهی رویه در E^3 به مفهوم کلی خمینه رسیدیم. اکنون این خط سیر را در جهت عکس برمی‌گردیم: یک خمینه n بعدی M عبارت است از فضایی که در مجاورت هر نقطه آن با فضای اقلیدسی E^n شباهت دارد. هر خمینه دارای یک حساب

دیفرانسیل و انتگرال می باشد که از توابع دیفرانسیل پذیر، بردارهای مماس، میدانهای برداری، نگاشتها و بالاتر از همه فرمهای دیفرانسیلی تشکیل شده است. ساده ترین خمینه E^1 بعدی همان خود E^1 است. هر خمینه دو بعدی را یک رویه می نامند، بعضی از رویه ها در E^3 وجود دارند، و بعضی در E^3 نیستند. تمام این مبحث از حساب دیفرانسیل و انتگرال مقدماتی معمولی روی آشنا ترین خمینه ها، خط حقیقی، به دست آمده است، و روش کلی حساب دیفرانسیل و انتگرال همه خمینه ها یکی است.

عملگرهای شکلی

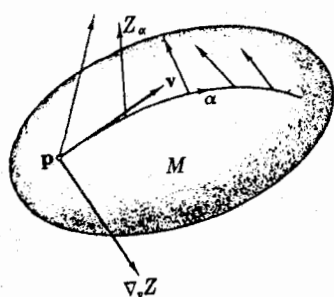
در فصل ۲ شکل يك خم در E^2 را به وسیله توابع خمیدگی و تاب اندازه گیری کردیم. در اینجا مسأله اندازه گیری مشابه آن را درباره رویه‌ها بررسی می‌کنیم، و به این نتیجه می‌رسیم که شکل يك رویه M در E^3 به وسیله يك عملگر خطی به‌خصوصی مانند S که روی هر يك از صفحات مماس M تعریف می‌گردد به‌طور بینهایت کوچک مشخص می‌شود. همانند خمها، دورویه در E^3 را هنگامی همشکل نامند که قابل انطباق باشند. همچنین صحت اندازه گیریهای بینهایت کوچک خود را با اثبات انطباق پذیری دورویه با عملگرهای شکلی «یکسان» مدلل می‌داریم. بدینسان تغییرناپذیرهای چبری عملگرهای شکلی (دترمینان، اثر، ...) دارای تعبیر هندسی برای رویه M می‌شوند. این موضوع را به تفصیل مورد بررسی قرار خواهیم داد، و روشهای مؤثری برای محاسبه این تغییرناپذیرها پیدا می‌کنیم و در روی چند رویه که از لحاظ هندسی جالب توجه‌اند آزمون می‌کنیم.

از این به بعد نماد $M \subset E^3$ به معنای يك رویه همبند M در E^3 ، چنان که در فصل ۴ تعریف شد، به‌کار می‌رود.

۱. عملگر شکلی $M \subset E^3$

گیریم Z يك میدان برداری اقلیدسی (تعریف ۷.۳ فصل ۴) روی يك رویه M در E^3 باشد. گرچه Z فقط در نقاط M معین است، اما مشتق کوواریانی آن $\nabla_v Z$ (فصل ۲،

بند ۵)، هادامی که ν مماس بر M باشد، دارای معنی است. مطابق معمول $\nabla_p Z$ میزان تغییر Z در امتداد ν است، و به دو روش می توان آن را محاسبه کرد.



شکل ۱۰۵

روش ۰۱. گیریم α خمی در M با سرعت اولیه $\alpha'(0) = \nu$ باشد. تحدید Z به α یعنی میدان برداری $Z(\alpha(t)) \rightarrow t$ روی α را با Z_α نشان می دهیم (شکل ۱۰۵). آنگاه:

$$\nabla_p Z = (Z_\alpha)'(0)$$

این مشتقگیری در فصل ۲، بند ۲ آمده است.

روش ۰۲. Z را بر حسب میدان سه وجهی طبیعی E^3 بیان می کنیم:

$$Z = \sum z_i U_i$$

آنگاه

$$\nabla_p Z = \sum v[z_i] U_i$$

این مشتق امتدادی در فصل ۴، بند ۳ آمده است.

به آسانی می توان سازگاری نتایج این دو روش را تحقیق کرد. توجه شود که حتی اگر Z يك میدان برداری مماس باشد، مشتق کوواریانی آن $\nabla_p Z$ می تواند بر M مماس نباشد.

از قضیه ۵.۷ فصل ۴، نتیجه می شود که اگر M رویه ای جهت پذیر در E^3 باشد، آنگاه يك میدان برداری قائم یکه U روی M وجود دارد. زیرا اگر Z يك میدان برداری قائم باشد که هیچ گاه صفر نشود، آنگاه $U = Z / \|Z\|$ همچنان قائم است و دارای طول واحد می باشد. چون M را همبند فرض کرده ایم، دقیقاً دو میدان برداری قائم یکه U و $-U$ روی همه M وجود دارد. حتی در حالتی هم که M جهت پذیر نیست، قائمهای یکه U و $-U$ را در يك همسایگی هر نقطه P از M می توان به دست آورد (تمرینهای فصل ۴، بند ۷ را ببینید).

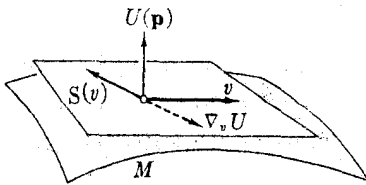
اکنون می توانیم به اندازه گیری ریاضی شکل يك رویه در E^3 پردازیم.

۱۰۱. تعریف. اگر p نقطه ای از M باشد، آنگاه به ازای هر بردار مماس ν بر M در p ، قرار می دهیم:

$$S_p(\nu) = -\nabla_p U$$

که در آن U يك میدان برداری قائم یکه در يك همسایگی p در M است. S_p را عملگر

شکلی M در \mathbf{p} (که از U مشتق شده است) می‌نامند.* (شکل ۲.۵)



شکل ۲.۵

صفحه مماس M در هر نقطه \mathbf{q} از همه بردارهای اقلیدسی عمود بر $U(\mathbf{q})$ تشکیل می‌شود. بنابراین $\nabla_p U$ میزان تغییر U در امتداد \mathbf{v} معرف چگونگی تغییر صفحات مماس M در امتداد \mathbf{v} می‌باشد، و این خود چگونگی خمیدگی M را به‌طور بینهایت کوچک در \mathbf{E}^3 بیان می‌کند.

توجه شود که اگر U را به $-U$ بدل کنیم، آنگاه S_p به $-S_p$ بدل می‌شود.

۲.۱. لم. به ازای هر نقطه \mathbf{p} از $M \subset \mathbf{E}^3$ ، عملگر شکلی

$$S_p: T_p(M) \rightarrow T_p(M)$$

یک عملگر خطی روی صفحه مماس M در \mathbf{p} است.

برهان. چون در تعریف ۱.۱، U یک میدان برداری یکه است، بنابراین $U \cdot U = 1$ ، و بنابراین خاصیت لاینیتز مشتقات کوارینانی داریم:

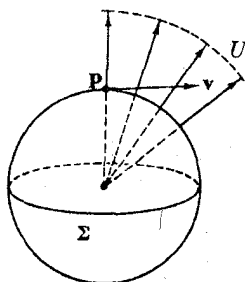
$$0 = \mathbf{v}[U \cdot U] = 2\nabla_{\mathbf{v}} U \cdot U(\mathbf{p}) = -2S_p(\mathbf{v}) \cdot U(\mathbf{p})$$

که در آن \mathbf{v} مماس بر M در \mathbf{p} است. چون به علاوه U یک میدان برداری قائم است، $S_p(\mathbf{v})$ بر M در \mathbf{p} مماس می‌باشد. بنابراین S_p تابعی است از $T_p(M)$ به $T_p(M)$. (تأکید می‌شود که ما اصطلاح «عملگر» را به جای «تبدیل» به کار می‌بریم.) خطی بودن S_p نتیجه‌ای از خاصیت خطی بودن مشتقات کوارینانی است.

$$\begin{aligned} S_p(a\mathbf{v} + b\mathbf{w}) &= -\nabla_{a\mathbf{v} + b\mathbf{w}} U = -(a\nabla_{\mathbf{v}} U + b\nabla_{\mathbf{w}} U) \\ &= aS_p(\mathbf{v}) + bS_p(\mathbf{w}) \end{aligned}$$

در واقع در هر نقطه \mathbf{p} از $M \subset \mathbf{E}^3$ دو عملگر شکلی $\pm S_p$ وجود دارد، که از دو قائم یکه $\pm U$ در مجاورت \mathbf{p} به دست می‌آید. همه اینها را جمعاً با S ، عملگر شکلی M ، نشان می‌دهیم. بدینسان اگر بردار قائم یکه مشخص نشود، ابهامی (که چندان مهم نیست) در علامت وجود خواهد داشت.

* علامت منفی که به‌طور قراردادی انتخاب شده است، موجب می‌شود که تعداد کل علامتهای منفی که بعداً مورد نیاز است بسیار کاهش یابد.



شکل ۳.۵

۳.۱. مثال. عملگرهای شکلی چند رویه در E^3 . (۱) گیریم Σ کره‌ای است به شعاع r متشکل از همه نقاط p از E^3 با $\|p\| = r$. گیریم U «قائم برون‌سوی» Σ باشد. هنگامی که U از هر نقطه p در امتداد v حرکت کند، بدیهی است که در همین امتداد v به جلو متمایل می‌شود (شکل ۳.۵). بنابراین $S(v)$ باید به صورت $-cv$ باشد.

با استفاده از گزاردپان (مانند مثال ۹.۳، فصل ۴) خواهیم داشت:

$$U = \frac{1}{r} \sum x_i U_i$$

آنگاه

$$\nabla_v U = \frac{1}{r} \sum v[x_i] U_i(p) = \frac{v}{r}$$

بنابراین به ازای هر v داریم $S(v) = -v/r$. بنابراین در اینجا عملگر شکلی S فقط ضرب در اسکالر $1/r$ است. این یکخواختی S مبین گردی کره است: یعنی در همه نقاط و در تمام امتدادها به یک طریق خمیده می‌شود.

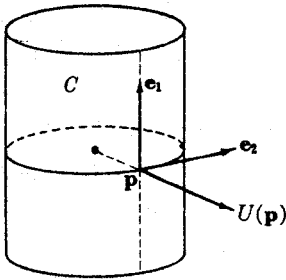
(۲) گیریم P صفحه‌ای در E^3 باشد. روشن است که هر میدان برداری قائم یکه U روی P در E^3 متسوازی است (مختصات اقلیدسی آن ثابت است) (شکل ۴.۵). بنابراین به‌ازای همه بردارهای مماس v بر P داریم:

$$S(v) = -\nabla_v U = 0$$

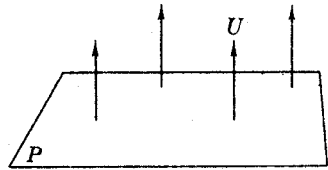
بدینسان عملگر شکلی همان گونه که انتظار می‌رفت متحد با صفر است، زیرا صفحه اصلاً دارای خمیدگی نیست.

(۳) گیریم C استوانه دوار $x^2 + y^2 = r^2$ در E^3 باشد. در هر نقطه p از C ، بردارهای مماس یکه e_1 و e_2 را در نظر می‌گیریم، e_3 را مماس بر دایره مقطع عرضی و e_1 را مماس بر مولد استوانه در نقطه p اختیار می‌کنیم. قائم برون‌سوی U را مطابق شکل ۵.۵ در نظر می‌گیریم.

اکنون هنگامی که U از p در امتداد e_1 حرکت کند، مانند حالت صفحه، موازی با خود باقی می‌ماند، بنابراین $S(e_1) = 0$. هنگامی که U در امتداد e_2 حرکت کند، درست مانند حالت کسره به شعاع r ، به جلو متمایل می‌شود، بنابراین $S(e_2) = -e_2/r$.



شکل ۵.۵



شکل ۴.۵

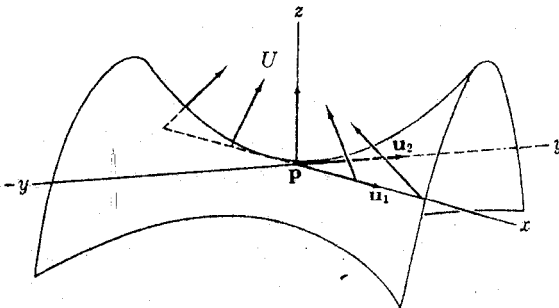
بدین طریق S ، شکل «نیم مسطح، و نیمگرد» استوانه را بیان می‌کند.

(۴) دویّهٔ زینتی M به معادلهٔ $z = x^2 + y^2$ در اینجا S را فقط در $\mathbf{p} = (0, 0, 0)$ روی M بررسی می‌کنیم. چون x و y محورهای \mathbf{E}^3 در M واقع‌اند، بردارهای «بالا» اختیار می‌کنیم، در نقطهٔ \mathbf{p} داریم $(0, 0, 1)$. در طول محور x ها، U همواره بر این محور عمود می‌ماند، و چون در امتداد \mathbf{u}_1 حرکت کنیم، U از چپ به راست می‌چرخد (شکل ۶.۵)، و محاسبهٔ ساده‌ای (تمرین ۳) نشان می‌دهد که $\nabla_{\mathbf{u}_1} U = -\mathbf{u}_2$. به همین طریق داریم $\nabla_{\mathbf{u}_2} U = -\mathbf{u}_1$.

بدینسان عملگر شکلی M در \mathbf{p} از فرمول زیر به دست می‌آید:

$$S(a\mathbf{u}_1 + b\mathbf{u}_2) = b\mathbf{u}_1 + a\mathbf{u}_2$$

این مثالها تناظر بین عملگر شکلی یک رویه، و خمیدگی و تاب یک خم را روشن می‌سازد. در حالت خمها، فقط یک امتداد حرکت وجود دارد، و κ و τ میزان تغییر میدانهای برداری یکهٔ T و B (در نتیجه N) را اندازه می‌گیرند. در مورد رویه‌ها تنها یک میدان برداری یکه به‌طور ذاتی معین می‌گردد، و آن قائم یکهٔ U است. وانگهی در این حالت،



شکل ۶.۵

در هر نقطه برای حرکت U يك صفحه کامل از امتدادها وجود دارد، و در نتیجه به جای اندازه گیری عددی میزان تغییر U از عملگرهای خطی S استفاده می شود.

۴.۱. لم. به ازای هر نقطه p از $M \subset E^3$ عملگر شکلی:

$$S: T_p M \rightarrow T_p M$$

يك عملگر خطی متقارن است، یعنی به ازای هر زوج از بردارهای مماس بر M در p داریم

$$S(v) \cdot w = S(w) \cdot v$$

اثبات این نکته مهم را در بند ۴ در ضمن محاسبات کلی بیان خواهیم کرد. از دیدگاه جبر خطی يك عملگر خطی متقارن بر يك فضای برداری دویبعدی شیء بسیار ساده ای است. و نتیجه می شود که، برای رویه $M \subset E^3$ مقادیر و بردارهای مشخصه، اثر و دترمینان يك عملگر شکلی دارای معنی هندسی است که برای رویه در درجه اول اهمیت قرار دارد.

تمرینات

۱. گیریم α خمی در $M \subset E^3$ باشد. اگر U تحدید قائم یکه M بر خم α باشد، نشان دهید که $S(\alpha') = -U'$.

۲. رویه $M: z = f(x, y)$ را که در آن

$$f(0, 0) = f_x(0, 0) = f_y(0, 0) = 0$$

است در نظر می گیریم (اندیسها معرف مشتقهای جزئی اند). نشان دهید که (الف) بردارهای $u_1 = U_1(0)$ و $u_2 = U_2(0)$ در مبدأ 0 بر M مماس اند، و

$$U = \frac{-f_x U_1 - f_y U_2 + U_3}{\sqrt{1 + f_x^2 + f_y^2}}$$

يك میدان برداری قائم یکه روی M است.

$$S(u_1) = f_{xx}(0, 0)u_1 + f_{xy}(0, 0)u_2 \quad (ب)$$

$$S(u_2) = f_{yx}(0, 0)u_1 + f_{yy}(0, 0)u_2$$

(توجه: در اینجا، ریشه دوم که در مخرج آمده، به علت نهاد مشخص f در نقطه $(0, 0)$ ، حقیقی نیست. به طور کلی، محاسبه مستقیم S دشوار است و در بند ۴ راههای غیر مستقیم رسیدن به آن را ثابت خواهیم کرد.)

۳. (۱۵۱). در هر يك از حالتهاى زیر، $S(au_1 + bu_2)$ را بر حسب u_1 و u_2 بیان کنید، و

رتبه S را در σ بیابید (رتبه S عبارت است از بعد نگاره S : σ ، ۱ یا ۲).

$$z = 2x^2 + y^2 \quad (\text{ب}) \quad z = xy \quad (\text{الف})$$

$$z = xy^2 \quad (\text{د}) \quad z = (x+y)^2 \quad (\text{ج})$$

۴. گیریم M یک رویه در E^3 است که با میدان برداری قائم یکه

$$U = g_1 U_1 + g_2 U_2 + g_3 U_3$$

جهتدار شده است. نگاشت گاوسی $G: M \rightarrow \Sigma$ هر نقطه p از M را به نقطه $(g_1(p), g_2(p), g_3(p))$ از کره یکه Σ بدل می‌کند. از لحاظ تجسم $U(p)$ را به موازات خود به مبدأ منتقل می‌کنیم، و انتهای آن $G(p)$ خواهد بود (شکل ۷۰۵). بسدینسان هنگامی که U ، رویه M را می‌پیماید G چرخش آن را کاملاً مشخص می‌کند. برای هر یک از رویه‌های زیر نگاره $G(M)$ را در کره Σ بیابید (جهت قائم انتخابی است):

$$(الف) \text{ استوانه، } x^2 + y^2 = r^2$$

$$(ب) \text{ مخروط، } z = \sqrt{x^2 + y^2}$$

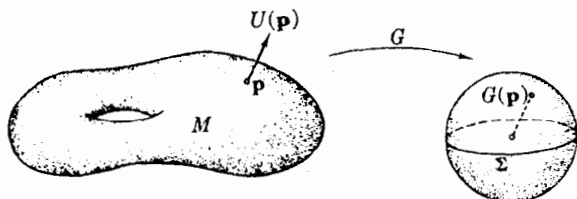
$$(ج) \text{ صفحه، } x + y + z = 0$$

$$(د) \text{ کره، } (x-1)^2 + y^2 + (z+2)^2 = 1$$

۵. گیریم $G: T \rightarrow \Sigma$ نگاشت گاوس متناظر به قائم برون سوی یکه U از چنبره T (فصل ۴، بند ۶۰۲) باشد. خمهای نگاره نصف النهارها و مدارهای T را بر اثر G بیابید. چه نقاطی از Σ دقیقاً نگاره دو نقطه از T می‌باشند؟

۶. گیریم $G: M \rightarrow \Sigma$ نگاشت گاوس از رویه زینی $M: z = xy$ متناظر به قائم یکه U که درمسأله ۲ به دست آمده است، باشد. نگاره یکی از خطوط مستقیم $y = cte$ را در M بیابید. تمام نگاره $G(M)$ چه بخشی از کره را می‌پوشاند؟

۷. نشان دهید که عملگر شکلی رویه M برابر مشتق نگاشت گاوس آن با علامت منفی است: اگر S و $G: M \rightarrow \Sigma$ هر دو متناظر به U باشند، آنگاه $S(v) = -G_*(v)$



شکل ۷۰۵

به ازای هر بردار مماس v بر M متوازی اند.

۸. هر رویه جهت پذیر دارای دو نگاشت گاوس است، که دو قائم یکه آن متناظرند. ثابت کنید که این دو نگاشت تنها در یک نگاشت دو نقطه متقاطع Σ (تمرین ۵ از فصل ۴، بند ۵) با هم اختلاف دارند. برای یک رویه جهت پذیر در E^3 این نوع نگاشت را بررسی کنید.

۹. اگر V یک میدان برداری مماس روی M (با قائم یکه U) باشد، آنگاه بنا بر اصل نقطه‌ای، $S(V)$ نیز یک میدان برداری مماس روی M خواهد بود، که مقدارش در هر نقطه p برابر است با $S_p(V(p))$. نشان دهید که:

$$S(V) \cdot W = \nabla_V W \cdot U$$

و از آن نتیجه بگیرید که قرینه S با گزاره زیر هم ارز است: کروشۀ دو میدان برداری مماس، یعنی

$$[V, W] = \nabla_V W - \nabla_W V$$

نیز یک میدان برداری مماس است.

۲. خمیدگی قائم

در سراسر این بند، ناحیه‌ای از $M \subset E^3$ را که با انتخاب یک میدان برداری قائم یکه U ، جهت‌دار شده است در نظر می‌گیریم، و از عملگر شکلی S متناظر به U استفاده می‌کنیم. شکل یک رویه در E^3 ، بر شکل خمهای واقع بر M تأثیر می‌کند.

۱۰۴. لم. اگر α خمی در $M \subset E^3$ باشد، آنگاه:

$$\alpha'' \cdot U = S(\alpha') \cdot \alpha'$$

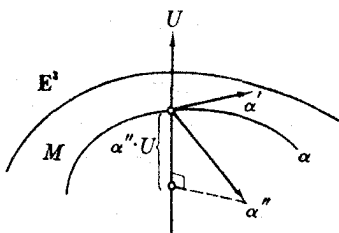
برهان. چون خم α بر رویه M واقع است، سرعت آن α' همواره بر M مماس است. بدین ترتیب $\alpha' \cdot U = 0$ ، که در آن مانند بند ۱، U را به خم α تخصیص داده‌ایم. با مشتق‌گیری داریم:

$$\alpha'' \cdot U + \alpha' \cdot U' = 0$$

اما می‌دانیم که (بند ۱)، $S(\alpha') = -U'$. بنابراین:

$$\alpha'' \cdot U = -U' \cdot \alpha' = S(\alpha') \cdot \alpha'$$

تعبیر هندسی: $U \cdot \alpha''$ در هر نقطه مؤلفه شتاب α'' در امتداد قائم بر رویه M است (شکل ۸.۵). این لم نشان می‌دهد که مؤلفه مزبور فقط به سرعت α' و عملگر شکلی M بستگی دارد. بدینسان همه خمهای واقع بر M با سرعت مفروض v در نقطه p دارای یک



شکل ۸.۵

مؤلفه قائم شتاب در \mathbf{p} ، یعنی $\mathbf{v} \cdot S(\mathbf{v})$ می باشد. این، مؤلفه شتاب آنها بر اثر خمیدگی M در E^3 است.

بدین ترتیب اگر \mathbf{v} را با تحویل آن به یک بردار یکه \mathbf{u} استاندارد کنیم میزانی برای خمیدگی M در امتداد \mathbf{u} بدست می آوریم.

۲.۲. تعریف. گیریم \mathbf{u} یک بردار مماس یکه بر $M \subseteq E^3$ در نقطه \mathbf{p} باشد. آنگاه عدد

$$k(\mathbf{u}) = S(\mathbf{u}) \cdot \mathbf{u}$$

را خمیدگی قائم M در امتداد \mathbf{u} می نامند. برای اینکه اصطلاح امتداد در اینجا دقیقاً مشخص شود، امتداد مماس بر M در \mathbf{p} را به صورت یک زیرفضای یک بعدی L از $T_p(M)$ تعریف می کنیم، و آن خطی است که از بردار صفر می گذرد (برای آسانی تجسم این بردار در نقطه \mathbf{p} جا داده شده است) (شکل ۹.۵). هر بردار غیرصفر مماس در \mathbf{p} معرف یک امتداد L است، اما ما ترجیح می دهیم که یکی از دو بردار یکه $\pm \mathbf{u}$ در L را به کار ببریم. توجه شود که

$$k(\mathbf{u}) = S(\mathbf{u}) \cdot \mathbf{u} = S(-\mathbf{u}) \cdot (-\mathbf{u}) = k(-\mathbf{u})$$

بدین ترتیب، گرچه ما k را به ازای بردارهای یکه محاسبه می کنیم، اما در واقع k تابعی است با مقدار حقیقی روی مجموعه همه امتدادهای مماس بر M .

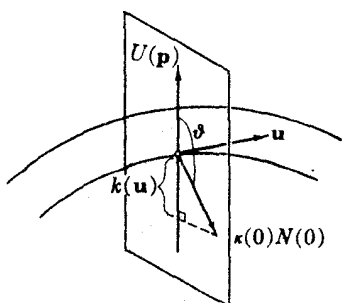
بردار یکه مماس \mathbf{u} بر M در \mathbf{p} را در نظر می گیریم. اگر α خمی (با تندی واحد) بر M با سرعت آغازی $\alpha'(0) = \mathbf{u}$ باشد، با استفاده از دستگاه فرنه برای α ، از لم بالا نتیجه می شود:

$$k(\mathbf{u}) = S(\mathbf{u}) \cdot \mathbf{u} = \alpha''(0) \cdot U(\mathbf{p}) = \kappa(0)N(0) \cdot U(\mathbf{p}) \\ = \kappa(0) \cos \vartheta$$

بدینسان خمیدگی قائم M در امتداد \mathbf{u} برابر است با $\kappa(0) \cos \vartheta$ ، که در آن $\kappa(0)$ خمیدگی α در $\mathbf{p} = \alpha(0)$ ، و ϑ زاویه بین قائم اصلی $N(0)$ و قائم رویه، $U(\mathbf{p})$ ، می باشد، چنان که در شکل ۱۰.۵ دیده می شود.

به ازای هر \mathbf{u} ، می توان خم را طوری انتخاب کرد که ϑ برابر ۰ یا π گردد. زیرا اگر P صفحه ای باشد که با \mathbf{u} و $U(\mathbf{p})$ مشخص گردد، در این صورت از تقاطع P و رویه M (در مجاورت \mathbf{p}) یک خم σ حاصل می شود که مقطع قائم M در امتداد \mathbf{u} نام دارد. اگر برای σ مختصات پارامتری با تندی واحد، و $\sigma'(0) = \mathbf{u}$ را انتخاب کنیم، به آسانی دیده می شود که $N(0) = \pm U(\mathbf{p})$ (چون $\sigma''(0) = \kappa(0)N(0)$)، $\sigma'(0) = \mathbf{u}$ عمود و بر P مماس است.) بدینسان برای یک مقطع قائم در امتداد \mathbf{u} داریم (شکل ۱۱.۵)،

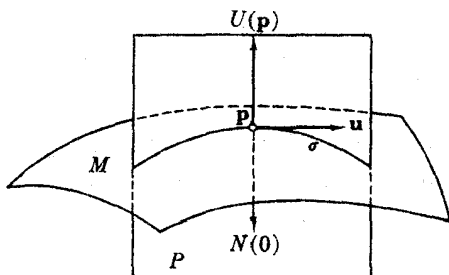
$$k(\mathbf{u}) = \kappa_0(0)N(0) \cdot U(\mathbf{p}) = \pm \kappa_0(0)$$



شکل ۱۰.۵



شکل ۹.۵



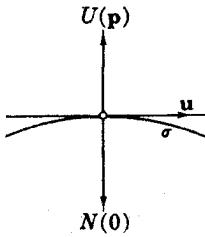
شکل ۱۱.۵

بدین ترتیب با در نظر گرفتن شکل مقاطع قائم می توان بر آورد معقولهی از خمیدگی قائم در امتدادهای مختلف بر رویه $M \subset E^3$ به دست داد. می دانیم که قائم اصلی خم می بین امتداد چرخش آن است. بدینسان از بحث پیش تغییر هندسی علامت خمیدگی $k(u)$ (نسبت به انتخاب معین U) حاصل می شود.

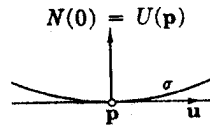
(۱) اگر $k(u) > 0$ ، آنگاه $N(0) = U(p)$ ، و خمیدگی مقطع قائم σ در p به سمت $U(p)$ است (شکل ۱۲.۵). بنابراین خمیدگی رویه M در امتداد u به سمت $U(p)$ خواهد بود.

(۲) اگر $k(u) < 0$ ، آنگاه $N(0) = -U(p)$ ، و خمیدگی مقطع قائم σ در p به سمت $U(p)$ است. بدینسان خمیدگی M در امتداد u در جهت عکس $U(p)$ می باشد (شکل ۱۳.۵).

(۳) اگر $k(u) = 0$ ، آنگاه $\kappa_0(0) = 0$ (نامعین است). در این حالت مقطع قائم σ در $p = \sigma(0)$ دارای چرخش نیست، و نمی توان نتیجه گرفت که M در امتداد u دارای هیچ خمیدگی نیست، زیرا κ می تواند فقط در $p = \sigma(0)$ صفر باشد، اما می توانیم نتیجه بگیریم که میزان خمیدگی آن فوق العاده کوچک است.



شکل ۱۳.۵

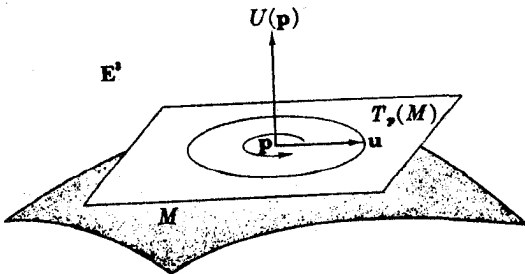


شکل ۱۲.۵

در امتدادهای مختلف در یک نقطه ثابت p ، رویه می‌تواند دارای خمیدگیهای متفاوت باشد، مثلاً رویهٔ زینی $z = xy$ در مثال ۳.۱ را در نظر بگیرید. اگر صفحهٔ مماس M در $p = (0, 0, 0)$ را با صفحهٔ xy از E^3 یکی بگیریم، آنگاه روشن است که خمیدگی قائم در امتداد محورهای x و y صفر است، زیرا مقاطع قائم، خط مستقیم اند. اما، شکل ۶.۵ نشان می‌دهد که خمیدگی قائم در امتداد مماس $y = x$ مثبت است، زیرا مقطع قائم یک سهمی است که خمیدگی آن به جهت بالایی باشد. $U(p) = (0, 0, 1)$ متوجه «به بالا» است) اما در امتداد خط $y = -x$ خمیدگی قائم منفی است، زیرا خمیدگی این سهمی به طرف پایین است.

اکنون یک نقطهٔ ثابت p از $M \subseteq E^3$ را در نظر می‌گیریم، و فرض می‌کنیم هنگامی که بردار مماس u در p می‌چرخد، دایرهٔ یک‌که در صفحهٔ مماس $T_p(M)$ را رسم کند. از مقاطع قائم متناظر، تصویر متحرکی از نحوهٔ خمیدگی M در همهٔ امتدادها در p به دست می‌آوریم (شکل ۱۴.۵).

۳.۲. تعریف. نقطهٔ p از $M \subseteq E^3$ را در نظر می‌گیریم. مقادیر $k(u)$ یعنی ماکسیمم و مینیمم خمیدگی قائم $k(u)$ رویهٔ M در p را خمیدگیهای اصلی M در p می‌نامند، و آنها را با k_1 و k_2 نشان می‌دهند. امتدادهایی که با این مقادیر فرین متناظرند امتدادهای



شکل ۱۴.۵

اصلی رویه M در \mathbf{p} نامیده می‌شوند. بردارهای یکه این امتدادها، بردارهای اصلی M در \mathbf{p} نام دارند.

با استفاده از طرح مقطع قائمی که در بالا بحث شد، به آسانی می‌توان امتدادهای خمیدگی ما کسیم و مینیم را مشخص کرد. مثلاً اگر قائم برون سوی (U) براستوانه دوار C را در نظر بگیریم آنگاه مقاطع قائم همه دارای خمیدگی به جهت U می‌باشند، بنابراین $k(\mathbf{u}) \leq 0$. علاوه بر این روشن است که مقدار ما کسیم $k_1 = 0$ فقط در امتداد مولد به وجود خواهد آمد و مقدار مینیم $k_2 < 0$ فقط در امتداد مماس بر مقطع عرضی، چنان که در شکل ۱۵.۵ دیده می‌شود.

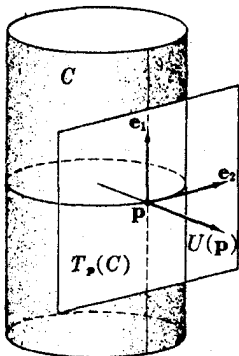
حالت خاص جالبی در نقاط \mathbf{p} که به ازای آنها $k_1 = k_2$ است پدیدار می‌شود. چون خمیدگی قائم ما کسیم و مینیم برابرند، $k(\mathbf{u})$ ثابت خواهد بود: خمیدگی (دو) M در نقطه \mathbf{p} به ازای همه امتدادها یکسان است (و همه امتدادها اصلی اند).

۴.۲. تعریف. نقطه \mathbf{p} از رویه $M \subset E^3$ را نافی گویند، هرگاه خمیدگی قائم $k(\mathbf{u})$ به ازای همه بردارهای مماس یکه \mathbf{u} در \mathbf{p} ثابت باشد.

مثلاً، آنچه در (۱) مثال ۳.۱ یافتیم این بود که هر نقطه کره Σ نافی است و $k_1 = k_2 = -1/r$.

۵.۲. قضیه. (۱) اگر \mathbf{p} یک نقطه نافی رویه $M \subset E^3$ باشد، آنگاه عملگر شکلی S در \mathbf{p} ، همان ضرب در اسکالر $k_1 = k_2 = k$ است.
(۲) اگر \mathbf{p} نقطه نافی نباشد، $k_1 \neq k_2$ ، آنگاه دقیقاً دو امتداد اصلی یافت می‌شود، که متعامند، و علاوه بر این اگر \mathbf{e}_1 و \mathbf{e}_2 بردارهای اصلی این امتدادها باشند، داریم:

$$S(\mathbf{e}_1) = k_1 \mathbf{e}_1 \quad S(\mathbf{e}_2) = k_2 \mathbf{e}_2$$



خلاصه، آنکه خمیدگیهای اصلی M در \mathbf{p} مقادیر خاص S و بردارهای اصلی M در \mathbf{p} همان بردارهای خاص S می‌باشند.

برهان. فرض کنیم که k مقدار ما کسیم k_1 را در \mathbf{e}_1 اختیار می‌کند، بنا بر این:

$$k_1 = k(\mathbf{e}_1) = S(\mathbf{e}_1) \cdot \mathbf{e}_1$$

گیریم \mathbf{e}_2 فقط يك بردار یکه مماس عمود بر \mathbf{e}_1 باشد (می‌خواهیم نشان دهیم که بردار اصلی نیز هست).

اگر \mathbf{u} بردار یکه مماس دلخواهی در \mathbf{p} باشد، می نویسیم:

$$\mathbf{u} = \mathbf{u}(\vartheta) = c\mathbf{e}_1 + s\mathbf{e}_2$$

که در آن $c = \cos \vartheta$ و $s = \sin \vartheta$ (شکل ۱۶.۵). بدین ترتیب خمیدگی قائم k در

نقطه \mathbf{p} به صورت تابعی روی خط حقیقی درمی آید: $k(\vartheta) = k(\mathbf{u}(\vartheta))$.

عدد $\mathbf{e}_j \cdot S(\mathbf{e}_i)$ را به ازای $1 \leq i, j \leq 2$ با S_{ij} نشان می دهیم. دیده می شود که $S_{11} = k_1$ و بنابراین تقارن عملگر شکلی داریم $S_{12} = S_{21}$ و

$$\begin{aligned} k(\vartheta) &= S(c\mathbf{e}_1 + s\mathbf{e}_2) \cdot (c\mathbf{e}_1 + s\mathbf{e}_2) \\ &= c^2 S_{11} + 2sc S_{12} + s^2 S_{22} \end{aligned} \quad (1)$$

بنابراین:

$$\frac{dk}{d\vartheta}(\vartheta) = 2sc(S_{22} - S_{11}) + 2(c^2 - s^2)S_{12} \quad (2)$$

اگر $\vartheta = 0$ ، آنگاه $c = 1$ و $s = 0$ ، در نتیجه $\mathbf{u}(0) = \mathbf{e}_1$ ، و چون $k(\vartheta)$ بنا بر فرض در $\vartheta = 0$ ماکسیمم است، پس $(dk/d\vartheta)(0) = 0$ (از (۲) بلافاصله نتیجه می شود که $S_{12} = 0$). از آنجا که \mathbf{e}_1 یک پایه متعامد یکانی از $T_p(M)$ است، با استفاده از بسط متعامد خواهیم داشت:

$$S(\mathbf{e}_1) = S_{11}\mathbf{e}_1 \quad S(\mathbf{e}_2) = S_{22}\mathbf{e}_2 \quad (3)$$

حال اگر \mathbf{p} نافی باشد، آنگاه $S_{22} = k(\mathbf{e}_2) = k_2$ با $S_{11} = k(\mathbf{e}_1) = k_1$ یکی است و (۳) نشان می دهد که S ضرب در اسکالر $k_1 = k_2$ است.

اگر \mathbf{p} نافی نباشد، با توجه به $S_{12} = 0$ رابطه (۱) به صورت زیر درمی آید:

$$k(\vartheta) = c^2 k_1 + s^2 S_{22} \quad (4)$$

چون k_1 مقدار ماکسیمم $k(\vartheta)$ است، و $k(\vartheta)$ ثابت نیست نتیجه می شود که $S_{22} > k_1$. اما (۴) نشان می دهد که: (الف) مقدار ماکسیمم k_1 فقط به ازای $c = \pm 1$ و $s = 0$ ، یعنی در امتداد \mathbf{e}_1 به دست می آید. (ب) مقدار مینییم k_2 همان S_{22} است، و فقط به ازای $c = 0$ و $s = \pm 1$ ، یعنی امتداد \mathbf{e}_2 حاصل می شود. و بدینسان حکم دوم قضیه ثابت می شود، زیرا (۳) به صورت زیر در می آید:

$$S(\mathbf{e}_1) = k_1 \mathbf{e}_1, \quad S(\mathbf{e}_2) = k_2 \mathbf{e}_2$$

برهان قبلی، همان برهان فرمول اوپلر برای خمیدگی قائم M ، در همه امتدادها در

\mathbf{p} است.

۶.۴. فرع. گیریم k_1, k_2, e_1, e_2 خمیدگیها و بردارهای اصلی رویه $M \subset E^3$ در p باشند. آنگاه خمیدگی قائم رویه M در امتداد

$$u = \cos \vartheta e_1 + \sin \vartheta e_2$$

(شکل ۱۶.۵) برابر است با:

$$k(u) = k_1 \cos^2 \vartheta + k_2 \sin^2 \vartheta$$

این، راه دیگری است برای آنکه نشان دهیم که چگونه شکل M در مجاورت یک نقطه دلخواه p به خمیدگیهای اصلی k_1 و k_2 بستگی دارد. چون موقعیت M در E^3 مهم نیست، می توان فرض کرد که p مبدأ E^3 ؛ (۲) صفحه مماس $T_p(M)$ همان صفحه xy از E^3 ؛ و (۳) محورهای x و y امتدادهای اصلی باشند. M را می توان در مجاورت p به صورت $z = f(x, y)$ بیان کرد (شکل ۱۷.۵)، و منظور این است که در مجاورت نقطه p فقط با استفاده از جمله های درجه دوم تابع f در بسط تیلر، تقریبی از M به دست آوریم. از (۱) و (۲) نتیجه می شود $f'_x = f'_y = f''_x = f''_y = 0$. در اینجا انحنایهای پایین نمایشگر مشتقهای جزئی، و انحنایهای بالا نشان دهنده محاسبه در $x = 0$ و $y = 0$ هستند. بدینسان تقریب درجه دوم f در مجاورت $(0, 0)$ به صورت ساده زیر درمی آید:

$$f(x, y) \sim \frac{1}{2} (f''_{xx} x^2 + 2f''_{xy} xy + f''_{yy} y^2)$$

در تمرین ۲، بند ۱ دیدیم که به ازای بردارهای مماس

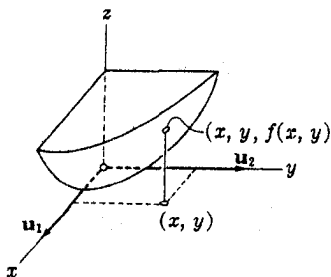
$$u_1 = (1, 0, 0) \quad \text{و} \quad u_2 = (0, 1, 0)$$

در $p = 0$ داریم:

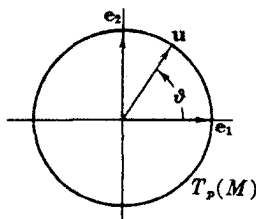
$$S(u_1) = -\nabla_{u_1} U = f''_{xx} u_1 + f''_{xy} u_2$$

$$S(u_2) = -\nabla_{u_2} U = f''_{xy} u_1 + f''_{yy} u_2$$

شرط (۳) در بالا، مبین آن است که u_1 و u_2 بردارهای اصلی اند، از اینجا



شکل ۱۷.۵



شکل ۱۶.۵

بنا بر قضیه ۵.۲ نتیجه می شود که $k_1 = f_{xx}^0$ ، $k_2 = f_{yy}^0$ و $f_{xy}^0 = 0$. چون این مقادیر را در تقریب درجه دوم f ، قرار دهیم شکل دویسه M در مجاورت p تقریباً با دویسه:

$$\hat{M}: z = \frac{1}{2}(k_1 x^2 + k_2 y^2)$$

در مجاورت o یکی می شود. \hat{M} را تقریب درجه دوم M در مجاورت p می نامند، و این تقریب درباره رویه ها نظیر تقریب فرته درباره خمهاست.

از تعریف ۲.۲ تا فرع ۶.۲ با هندسه رویه $M \subset E^3$ در مجاورت يك نقطه p از آن سروکار داشتیم. این نتایج را می توان همزمان درباره همه نقاط ناحیه جهتدار Θ که بر روی آن، بنا بر فرض آغازی، قائم یکه U معین است به کار برد. به ویژه ما توابع خمیدگیهای اصلی k_1 و k_2 را روی Θ عملاً معین کرده ایم. در هر نقطه p از Θ مقادیر $k_1(p)$ و $k_2(p)$ خمیدگیهای اصلی M در p می باشند. باید توجه داشت، که این توابع «با تقریب علامت» معین می شوند: اگر به جای U بردار $-U$ را قرار دهیم، توابع مزبور به $-k_1$ و $-k_2$ بدل می شوند.

تمرینات

۰۱. با استفاده از نتایج مثال ۳.۰۱، خمیدگیهای اصلی و بردارهای اصلی رویه های زیر را بیابید:

(الف) استوانه، در هر نقطه آن.

(ب) رویه زینی، در مبدأ.

۰۲. اگر v يك بردار مماس غیر صفر (که لزوماً یکه نیست) باشد، نشان دهید که خمیدگی قائم M در امتداد v برابر است با $v \cdot \nabla \cdot v = k(v)$.

۰۳. به ازای هر عدد صحیح $n \geq 2$ ، خم $(r \cos t, r \sin t, \pm t^n)$ بر استوانه $x^2 + y^2 = r^2$ را با α_n نشان می دهیم. همه این خمها در $t = 0$ دارای يك سرعت اند. مطلوب است تحقیق لم ۱.۲ با اثبات اینکه همه این خمها در $t = 0$ دارای يك مؤلفه قائم شتاب می باشند.

۰۴. مطلوب است تعیین تقریب درجه دوم، هر يك از رویه های زیر در مجاورت مبدأ:

$$z = \exp(x^2 + y^2) - 1 \quad (\text{الف})$$

$$z = \log \cos x - \log \cos y \quad (\text{ب})$$

$$z = (x + 3y)^3 \quad (\text{ج})$$

۰۵. دلیل جمله اول در برهان قضیه ۵.۲ را بیان کنید: نشان دهید که k دارای يك مقدار ماکسیمم است.

۳. خمیدگی گاوسی

در بند پیش تعبیر هندسی بردارها و مقادیر خاص عملگر شکلی را بیان کردیم. در اینجا درمیان و اثر S را بررسی می‌کنیم.

۱.۳. تعریف. خمیدگی گاوسی $M \subset E^3$ عبارت است از تابع بامقدار حقیقی $K = \det S$ روی M . یعنی در هر نقطه p از M خمیدگی گاوسی $K(p)$ از رویه M در نقطه p برابر است با درمیان عملگر شکلی S رویه M در p .

خمیدگی متوسط رویه $M \subset E^3$ عبارت است از تابع $H = \text{trace}/2 S$. خمیدگی گاوسی و متوسط را برحسب خمیدگیهای اصلی به صورت زیر می‌توان بیان کرد:

$$K = k_1 k_2, \quad H = (k_1 + k_2)/2 \quad \text{لم. ۲.۳}$$

برهان. درمیان (و اثر) يك عملگر خطی را می‌توان به عنوان مقدار مشترك درمیان (و اثر) همه ماتریسهای آن تعریف کرد. اگر e_1 و e_2 بردارهای اصلی در نقطه p باشند، آنگاه بنا بر قضیه ۵.۲، داریم $S(e_1) = k_1(p)e_1$ و $S(e_2) = k_2(p)e_2$ ، و بنا بر این ماتریس S در p نسبت به e_1, e_2 چنین است:

$$\begin{pmatrix} k_1(p) & 0 \\ 0 & k_2(p) \end{pmatrix}$$

از اینجا نتیجه مطلوب فوراً حاصل می‌شود.

يك نکته مهم در باره خمیدگی گاوسی: خمیدگی گاوسی از انتخاب قائم یکه U مستقل است. اگر U را به $-U$ بدل کنیم، آنگاه k_1 و k_2 هر دو تغییر علامت می‌دهند و در نتیجه $K = k_1 k_2$ تغییر نمی‌کند. اما خمیدگی متوسط $H = (k_1 + k_2)/2$ دارای این خصوصیت نیست، و ابهام علامت برای آن مانند خود خمیدگیهای اصلی موجود است. روش مقطع قائم که در بند ۲ بیان شد، به ما امکان می‌دهد که از راه مشاهده در هر نقطه رویه M ، بدگونه‌ای تقریبی خمیدگیهای اصلی را معین کنیم و در نتیجه تصور معقولی از خمیدگی گاوسی $K = k_1 k_2$ در هر نقطه p ، تنها با نگاه کردن به رویه M به دست آوریم. به ویژه، می‌توان علامت $K(p)$ را تشخیص داد. این علامت دارای تعبیر هندسی مهمی است که در اینجا به بیان آن می‌پردازیم.

۳.۳. تبصره. علامت خمیدگی گاوسی در يك نقطه p .

(۱) مثبت است. اگر $K(p) > 0$ ، آنگاه بنا بر لم ۲.۳، خمیدگیهای اصلی $k_1(p)$ و $k_2(p)$ همعلامت‌اند. بنا بر فرع ۶.۲، به ازای همه بردارهای یکه u در p ، داریم یسا

$k(u) > 0$ و یا $k(u) < 0$. بدینسان خمیدگی دویه M چنان است که M در همه امتدادهای مماس در p از صفحه مماس $T_p(M)$ دور می شود (شکل ۱۸.۵).
تقریب درجه دوم M در مجاورت p سهمیگون زیر است:

$$2z = k_1(p)x^2 + k_2(p)y^2$$

(۲) منفی است. اگر $K(p) < 0$ ، آنگاه بنا بر لم ۲.۳، خمیدگیهای اصلی $k_1(p)$ و $k_2(p)$ مختلف علامه اند. بدین ترتیب تقریب درجه دوم M در مجاورت p هذلولیگون است، و M در مجاورت p زینی شکل است (شکل ۱۹.۵).

(۳) صفر است. اگر $K(p) = 0$ ، آنگاه بنا بر لم ۲.۳ دو حالت پیش می آید:
(الف) فقط یکی از خمیدگیهای اصلی صفر است، مثلاً:

$$k_1(p) \neq 0 \quad k_2(p) = 0$$

(ب) هر دو خمیدگی اصلی صفرند:

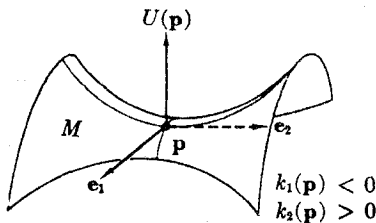
$$k_1(p) = k_2(p) = 0$$

در حالت (الف) تقریب درجه دوم، استوانه $2z = k_1(p)x^2$ است، M در مجاورت p به شکل ناودانی است (شکل ۲۰.۵).

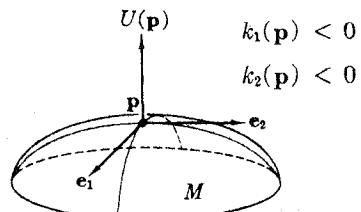
در حالت (ب) تقریب درجه دوم به صورت ساده صفحه $z = 0$ در می آید، و بنا بر این درباره شکل M در مجاورت p اطلاعی به دست نمی آوریم.

چنبره دوار T مثال خوبی برای این حالتها می باشد. در نقاط نیمه بیرونی آنکه با θ نمایش داده ایم، خمیدگی چنبره به گونه ای است که چنبره از صفحه مماس آن دور می شود (شکل ۲۱.۵). بنابراین روی θ داریم $K > 0$. اما در مجاورت هر نقطه p از نیمه داخلی آن، \mathcal{J} ، چنبره زینی شکل است، و از $T_p(M)$ عبور می کند. بنابراین روی \mathcal{J} داریم $K < 0$.

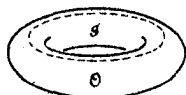
در مجاورت هر نقطه از دو دایره ای (فوقانی و تحتانی) که θ و \mathcal{J} را جدا می کنند،



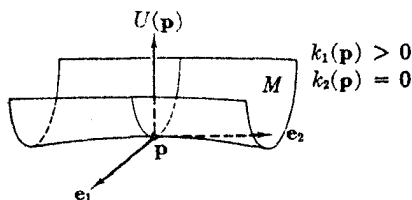
شکل ۱۹.۵



شکل ۱۸.۵



شکل ۲۱.۵



شکل ۲۰.۵

چنبره ناودانی شکل است، و از آنجا $K = 0$. (این نتایج کیفی را در بند ۶ به صورت کمی بررسی خواهیم کرد.)

در حالت ۳ (ب) که در آن هر دو خمیدگی اصلی صفر می‌شوند، p را نقطه هائنی M می‌نامند. (چنبره دارای نقطه هائنی نیست.) به عنوان مثال نقطه مرکزی p از یک ذین همگون، مانند:

$$M: z = x(x + \sqrt{3}y)(x - \sqrt{3}y)$$

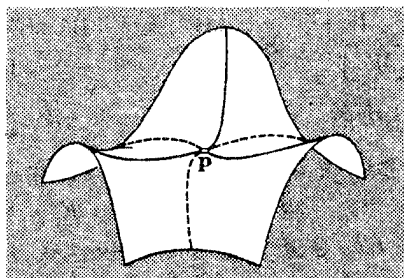
مسطح است. در اینجا سه تپه و سه دره چنان که در شکل ۲۲.۵ نشان داده شده است، برخورد می‌کنند. پس باید یک نقطه هائنی باشد و بدینسان شکل رویه M در مجاورت نقطه هائنی p از سه حالت دیگری که در تبصره ۳.۳ بیان شد بسیار پیچیده‌تر است. اکنون چند روش برای محاسبه خمیدگی گاوسی و خمیدگی متوسط بیان می‌شود.

۴.۳. لم. اگر دو بردار مماس v و w در نقطه p از $M \subset E^3$ مستقل خطی باشند، آنگاه:

$$S(v) \times S(w) = K(p)v \times w$$

$$S(v) \times w + v \times S(w) = 2H(p)v \times w$$

برهان. چون v و w یک پایه برای صفحه مماس $T_p(M)$ می‌باشند، می‌توان نوشت:



شکل ۲۲.۵

$$S(v) = av + bw$$

$$S(w) = cv + dw$$

که در آن

$$\begin{pmatrix} a & b \\ c & d \end{pmatrix}$$

ماتریس نمایشگر S نسبت به پایه v و w است. از اینجا:

$$K(p) = \det S = ad - bc \quad H(p) = \frac{1}{2} \text{trace } S = \frac{1}{2}(a + d)$$

با استفاده از خواص ضرب برداری، داریم:

$$\begin{aligned} S(v) \times S(w) &= (av + bw) \times (cv + dw) \\ &= (ad - bc)v \times w = K(p)v \times w \end{aligned}$$

و محاسبه مشابهی فرمول مربوط به $H(p)$ را به دست می دهد.

بدین ترتیب اگر میدانهای برداری v و w در هر نقطه از یک ناحیه جهتدار مستقل خطی باشند، معادلات میدان برداری زیر را داریم:

$$S(V) \times S(W) = KV \times W$$

$$S(V) \times W + V \times S(W) = 2HV \times W$$

که می توان آنها را نسبت به K و H حل کرد. برای این کار هر طرف را در میدان برداری قائم $V \times W$ به طور داخلی ضرب می کنیم، و اتحاد لاگرانژ (تمرین ۶) را به کار می بریم:

$$K = \frac{\begin{vmatrix} SV \cdot V & SV \cdot W \\ SW \cdot V & SW \cdot W \end{vmatrix}}{\begin{vmatrix} V \cdot V & V \cdot W \\ W \cdot V & W \cdot W \end{vmatrix}} \quad H = \frac{\begin{vmatrix} SV \cdot V & SV \cdot W \\ W \cdot V & W \cdot W \end{vmatrix} + \begin{vmatrix} V \cdot V & V \cdot W \\ SW \cdot V & SW \cdot W \end{vmatrix}}{2 \begin{vmatrix} V \cdot V & V \cdot W \\ W \cdot V & W \cdot W \end{vmatrix}}$$

(مخرجها هیچ گاه صفر نیستند، زیرا استقلال V و W با $(V \times W) \cdot (V \times W) > 0$ هم ارز است.) به ویژه توابع K و H دیفرانسیبلپذیرند.

هنگامی که K و H معین شدند، به آسانی می توان k_1 و k_2 را به دست آورد.

۵.۳. فرغ. در یک ناحیه جهتدار \mathcal{O} از M ، توابع خمیدگی اصلی عبارتند از:

$$k_1, k_2 = H \pm \sqrt{H^2 - K}$$

برهان. برای تحقیق صحت این فرمول کافی است در آن قرار دهیم

$$K = k_1 k_2 \quad \text{و} \quad H = \frac{(k_1 + k_2)}{2}$$

و توجه کنیم که:

$$H^2 - K = \frac{(k_1 + k_2)^2}{4} - k_1 k_2 = \frac{(k_1 - k_2)^2}{4}$$

با استفاده از چند جمله‌ای مشخصه S ، نتایج روشنتری به دست می‌آید (تمرین ۴).
از این فرمول فقط نتیجه می‌شود که k_1 و k_2 روی Θ توابعی پیوسته‌اند، ضرورتی ندارد که دیرانسلیپدیر باشند، زیرا تابع جذر در مجاورت صفر تولید اشکال می‌کند. اما اتحاد بالا نشان می‌دهد که $H^2 - K$ فقط در نقاط نافی صفر است. از این رو k_1 و k_2 در هر ناحیه جهتدار فاقد نقاط نافی دیرانسلیپدیر خواهند بود.
با قیودی که بر خمیدگی گاوسی و خمیدگی متوسط تحمیل می‌شود، می‌توان به طور طبیعی انواع خاصی از رویه‌های E^2 را مشخص کرد.

۶.۳. تعریف. رویه M در E^3 را هنگامی هموار نامند که خمیدگی گاوسی آن صفر باشد، و رویه‌ای را که خمیدگی متوسط آن صفر باشد، مینیمال گویند.

همان طور که می‌توان حدس زد صفحه یک رویه هموار است، زیرا بنا بر مثال ۳.۱ عملگرهای شکلی آن همه صفرند، و $K = \det S = 0$. در مورد استوانه دوار از (۳)، مثال ۳.۱ نتیجه می‌شود که S در هر نقطه p از آن غیر عادی است، یعنی رتبه آن از بعد صفحه مماس $T_p(M)$ کمتر است. بدینسان، با آنکه S هیچ گاه صفر نیست، در مینان آن همواره صفر است، و بنا بر این، استوانه نیز رویه‌ای هموار است. این اصطلاح در نظر اول برای چنین رویه خمیده‌ای عجیب می‌نماید، اما در بررسیهای آینده مفصلاً توجیه خواهد شد.

در مورد خمیدگی گاوسی رویه‌های مینیمال داریم $K \leq 0$ ، زیرا اگر $K = k_1 k_2 \leq 0$ و $k_1 = -k_2$ ، $H = (k_1 + k_2)/2 = 0$. طبقه مهم دیگری از رویه‌ها، رویه‌هایی هستند که خمیدگی گاوسی آنها ثابت است.

چنان که دیدیم، (مثال ۳.۱) در مورد هر کره به شعاع r داریم $k_1 = k_2 = -1/r$ (به ازای قائم برون سوی U). بدینسان کره Σ دارای خمیدگی گاوسی مثبت ثابت $K = 1/r^2$ است: هر قدر کره کوچکتر باشد، خمیدگی آن بزرگتر است.

در این فصل متدرجاً با مثالهای زیادی از انواع خاص گوناگون این رویه‌ها آشنا خواهیم شد.

تمرینات

۰۱. نشان دهید که یک رویه با $K < 0$ دارای نقطه نافی نیست و اگر $K \leq 0$ ، آنگاه نقاط نافی آن هامنی اند.

۰۲. گیریم بردارهای مماس u_1 و u_2 در نقطه p از M ، متعامد یکسانی باشند. از هر یک از شرایط زیر مربوط به S در p ، چه اطلاع هندسی می توان به دست آورد؟

$$S(u_1) \cdot u_2 = 0 \quad (\text{الف}) \quad S(u_1) \times S(u_2) = 0 \quad (\text{ج})$$

$$S(u_1) + S(u_2) = 0 \quad (\text{ب}) \quad S(u_1) \cdot S(u_2) = 0 \quad (\text{د})$$

۰۳. خمیدگی متوسط). ثابت کنید که:

(الف) مقدار میانگین خمیدگی قائم در هر دو امتداد متعامد در p برابر با $H(p)$ است. (نظیر این حکم درباره K نادرست است.)

$$H(p) = \left(\frac{1}{2\pi}\right) \int_0^{2\pi} k(\vartheta) d\vartheta \quad (\text{ب})$$

که در آن $k(\vartheta)$ خمیدگی قائم است، مانند فرع ۰۶۰۲.

۰۴. چند جمله ای مشخصه عملگر خطی دلخواه S عبارت است از

$$p(k) = \det(A - kI)$$

که در آن A نمایش ماتریسی S است.

(الف) نشان دهید که چند جمله ای مشخصه عملگر شکلی عبارت است از

$$k^2 - 2HK + K$$

(ب) هر عملگر خطی در معادله مشخصه خود صدق می کند، یعنی $p(S)$ که از جایگزین کردن صوری S در $p(k)$ به دست می آید در حکم عملگر صفر است. این مطلب را درباره عملگر شکلی ثابت کنید، و برای این کار نشان دهید که به ازای هر زوج از بردارهای مماس بر M داریم:

$$Sv \cdot Sw - 2HSv \cdot w + Kv \cdot w = 0$$

توابع با مقادیر حقیقی:

$$I(v, w) = v \cdot w, \quad II(v, w) = Sv \cdot w$$

$$III(v, w) = S^2v \cdot w = Sv \cdot Sw$$

را که به ازای هر زوج بردارهای مماس بر رویه جهتدار M معین اند به طور سنتی فرمهای اساسی اول، دوم و سوم می نامند. این فرمها، فرم دیفرانسیلی نیستند، زیرا

مقارن بوده و بر حسب v و w متناوب نمی باشند. در روش کلاسیک، بحث این موضوع عملگر شکلی، به طور صریح وارد نمی شود، و به جای آن از فرم اساسی دوم استفاده می شود.

۵. (خجهای دپن). در مجاورت نقطه p از یک ناحیه جهتدار رویه M ، فصل مشترك M با صفحه مماس $T_p(M)$ را با C_0 نشان می دهیم، روشن است که C_0 از نقاطی از M در مجاورت p تشکیل شده است که در صفحه مار بر p وعمود بر $U(p)$ واقع اند. تقریب C_0 را می توان با قراردادن تقریب درجه دوم \hat{M} به جای M به دست آورد، بدینسان \hat{C}_0 ، تقریب C_0 ، به صورت زیر است:

$$\hat{C}_0: k_1 x^2 + k_2 y^2 = 0 \quad (0, 0) \text{ در مجاورت}$$

(الف) \hat{C}_0 را در هر يك از سه حالت $K(p) > 0$ ، $K(p) < 0$ و $K(p) = 0$ (غیر هامنی) بررسی کنید.

(ب) بررسی (الف) برای C_0 را در مورد C_+ و C_- که در آن به جای صفحه مماس دو صفحه موازی با آن با فواصل $\pm \epsilon$ قرار داده ایم تکرار کنید.

(ج) این طرح درباره نقاط هامنی بی نتیجه است، زیرا تقریب درجه دوم به صورت $\hat{M}: z = 0$ درمی آید. شکلهای C_0 ، C_+ و C_- را در مورد زین میمون بررسی کنید.

۶. مطلوب است اثبات اتحاد لاگرانژ:

$$(v \times w) \cdot (a \times b) = \begin{vmatrix} v \cdot a & v \cdot b \\ w \cdot a & w \cdot b \end{vmatrix}$$

که در آن v, w, a و b بردارهایی از E^3 می باشند.

۷. (دپه های متوازی). رویه M را که با U جهتدار شده است، در نظر می گیریم. به ازای عدد ثابت ϵ (مثبت یا منفی) نگاشت $F: M \rightarrow E^3$ را بسا $F(p) = p + \epsilon U(p)$ تعریف می کنیم.

(الف) اگر v در p بر M مماس باشد، نشان دهید که $\bar{v} = F_*(v)$ برابراست با $\epsilon S(v)$ ، و از آنجا نتیجه بگیرد که:

$$\bar{v} \times \bar{w} = J(p) v \times w$$

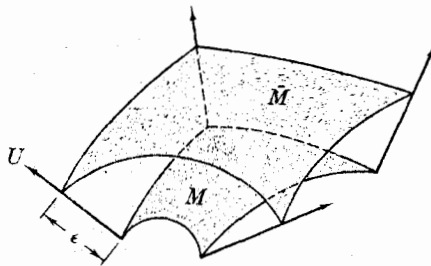
که در آن:

$$J = 1 - 2\epsilon H + \epsilon^2 K = (1 - \epsilon k_1)(1 - \epsilon k_2)$$

اگر تابع J روی M صفر نشود (M فشرده و $|\epsilon|$ کسوجک است)، F نگاشتی منظم است، و نگاره:

$$\bar{M} = F(M)$$

لااقل يك رويۀ فرورفته در E^3 است (تمرین ۱۰، فصل ۴، بند ۸). M را موازی با M به فاصله ϵ می نامند (شکل ۲۳.۵).



شکل ۲۳.۵

(ب) نشان دهید که ایزومرفیسم متعارف E^3 بردار U را به يك قائم یکه روی M بدل می کند و به ازای آن داریم $\bar{S}(\bar{v}) = S(v)$.
 (ج) فرمولهای زیر را در مورد خمیدگیهای گاوسی و متوسط M به دست آورید:

$$\bar{K}(F) = \frac{K}{J} \quad ; \quad \bar{H}(F) = \frac{(H - \epsilon K)}{J}$$

۰۸ (ادامه)

(الف) نتایج (ج) را در مورد کره ای به شعاع r که با قائم برون سوی U جهتدار شده است، بررسی کنید. نگاشت $F = F_\epsilon$ را هنگامی که ϵ برابر r ، 0 و $-r$ باشد تشریح کنید.

(ب) از يك رويۀ جهتپذیر، خمیدگی گاوسی مثبت ثابت آغاز کنید و يك رويۀ با خمیدگی متوسط ثابت بسازید.

۴. روشهای محاسباتی

تا اینجا عملگر شکلی S از رويۀ M در E^3 را تعریف کردیم و معنی هندسی تغییرناپذیرهای جبری اصلی آن: خمیدگی گاوسی K ، خمیدگی متوسط H ، خمیدگیهای اصلی k_1 و k_2 و بردارهای اصلی e_1 و e_2 را (در هر نقطه) به دست آوردیم. اکنون می خواهیم بینیم چگونه این تغییرناپذیرها را بر حسب قطعه های مختصاتی M می توان بیان کرد. گیریم $M \rightarrow x: D \rightarrow E^3$ يك قطعه مختصاتی در E^3 باشد، در بالا سه تابع با متادیر حقیقی:

$$E = x_u \cdot x_u, \quad F = x_u \cdot x_v = x_v \cdot x_u, \quad G = x_v \cdot x_v$$

را روی D به کار بردیم. در اینجا $E > 0$ و $G > 0$ مربعات تندبهای خمهای متناظر به پارامترهای u و v از X می باشند، و F اندازه زاویه مختصاتی ϑ ، بین X_u و X_v را به دست می دهد، زیرا:

$$F = X_u \cdot X_v = \|X_u\| \|X_v\| \cos \vartheta = \sqrt{EG} \cos \vartheta$$

(شکل ۲۴.۵). G و F ، E ، «توابع پیچان» قطعه مختصاتی X می باشند: این توابع تعیین می کنند که X چگونه ناحیه هموار D از E^2 را می پیچاند تا بر ناحیه خمیده $X(D)$ از M قرار دهد. این توابع ضرب داخلی بردارهای مماس در هر نقطه از $X(D)$ را کاملاً معین می کنند، زیرا اگر:

$$V = v_1 X_u + v_2 X_v \quad \text{و} \quad W = w_1 X_u + w_2 X_v$$

آنگاه:

$$V \cdot W = E v_1 w_1 + F(v_1 w_2 + v_2 w_1) + G v_2 w_2$$

(در این گونه معادلات مقادیر X_u ، X_v ، E ، F و G در (u, v) منظور می گردد، که در آن $X(u, v)$ نقطه اثر بردارهای V و W می باشد.)

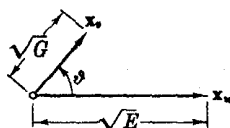
از طرف دیگر $X_u \times X_v$ تابعی روی D می باشد که مقدار آن در هر نقطه (u, v) از D برداری است عمود بر هر دو بردار $X_u(u, v)$ و $X_v(u, v)$ و بنا بر این قائم بر M در $X(u, v)$ است به علاوه بنا بر لم ۸.۱ فصل ۲ داریم:

$$\|X_u \times X_v\|^2 = EG - F^2$$

و چون X بنا بر تعریف منظم است، این تابع با مقدار حقیقی روی D هیچ گاه صفر نیست. بدینسان می توان روی D تابع قائم یکه:

$$U = \frac{X_u \times X_v}{\|X_u \times X_v\|}$$

را ساخت، که به هر نقطه (u, v) از D یک بردار قائم یکه در $X(u, v)$ نسبت می دهد. تأکید می شود که U در اینجا مانند X_u و X_v یک میدان برداری روی $X(D)$ نیست، بلکه فقط یک تابع با مقدار برداری روی D می باشد. با وجود این، می توان دستگاه X_u ، X_v و U را به عنوان یک نوع میدان سه وجهی ناقص در نظر گرفت. لااقل بردار U دارای طول واحد می باشد، و بر هر دو بردار X_u و X_v عمود است، اگرچه X_u و X_v عموماً متعامد و یکسانی نیستند.



شکل ۲۴.۵

در اینجا، معمولاً مشتقهای کوواریان را در امتداد خمهای پارامتر X محاسبه می کنند. این مشتقها بنا بر بحثی که در بند ۱ آمد، به صورت

مشتقهای جزئی نسبت به u و v درمی آیند. همانند \mathbf{x}_u و \mathbf{x}_v این مشتقهای جزئی را نیز با اندیسههای u و v نشان می دهیم. اگر:

$$\mathbf{x}(u, v) = (x_1(u, v), x_2(u, v), x_3(u, v))$$

آنگاه عیناً نظیر \mathbf{x}_u و \mathbf{x}_v در صفحه ۱۵۲ داریم

$$\mathbf{x}_{uu} = \left(\frac{\partial^2 x_1}{\partial u^2}, \frac{\partial^2 x_2}{\partial u^2}, \frac{\partial^2 x_3}{\partial u^2} \right)_x$$

$$\mathbf{x}_{uv} = \left(\frac{\partial^2 x_1}{\partial u \partial v}, \frac{\partial^2 x_2}{\partial u \partial v}, \frac{\partial^2 x_3}{\partial u \partial v} \right)_x$$

$$\mathbf{x}_{vv} = \left(\frac{\partial^2 x_1}{\partial v^2}, \frac{\partial^2 x_2}{\partial v^2}, \frac{\partial^2 x_3}{\partial v^2} \right)_x$$

روشن است که \mathbf{x}_{uv} و \mathbf{x}_{vu} شتابهای خمهای به پارامتر u و v را به دست می دهند. چون ترتیب مشتقگیری فاقد اهمیت است، داریم $\mathbf{x}_{uv} = \mathbf{x}_{vu}$ ، که هم مشتق کوواریان \mathbf{x}_u را در امتداد \mathbf{x}_v و هم مشتق کوواریان \mathbf{x}_v را در امتداد \mathbf{x}_u به دست می دهد. حال اگر S ، عملگر شکلی متناظر به U باشد، روی D سه تابع دیگر را با مقادیر حقیقی تعریف می کنیم:

$$l = S(\mathbf{x}_u) \cdot \mathbf{x}_u$$

$$m = S(\mathbf{x}_u) \cdot \mathbf{x}_v = S(\mathbf{x}_v) \cdot \mathbf{x}_u$$

$$n = S(\mathbf{x}_v) \cdot \mathbf{x}_v$$

چون \mathbf{x}_u و \mathbf{x}_v در هر نقطه $\mathbf{x}(D)$ يك پایه برای فضای مماس M است، روشن است که عملگر شکلی به طور یکتا به وسیله این توابع معین می شود. به علت آنکه این پایه عموماً متعامد یکسانی نیست، توابع l ، m و n نمی توانند عبارت ساده ای برای $S(\mathbf{x}_u)$ و $S(\mathbf{x}_v)$ برحسب \mathbf{x}_u و \mathbf{x}_v به دست دهند. اما در فرمولهای قبل از فرع ۵.۳، این توابع محققاً عبارت های ساده ای برای خمیدگیهای گاوسی و متوسط به دست می دهند.

۱.۴. فرع. اگر \mathbf{x} يك قطعه مختصاتی از $M \subset E^3$ باشد، آنگاه:

$$K(\mathbf{x}) = \frac{ln - m^2}{EG - F^2}, \quad H(\mathbf{x}) = \frac{Gl + En - 2Fm}{2(EG - F^2)}$$

برهان. فرمولهای لم ۴.۳ از همین فصل، در هر نقطه \mathbf{p} از $\mathbf{x}(D)$ ، $K(\mathbf{p})$ و $H(\mathbf{p})$ را برحسب بردارهای مماس $V(\mathbf{p})$ و $W(\mathbf{p})$ در \mathbf{p} بیان می کنند. اگر به جای $V(\mathbf{p})$

$W(\mathbf{p})$ بردارهای مماس $\mathbf{x}_u(u, v)$ و $\mathbf{x}_v(u, v)$ متناظر به $\mathbf{x}(u, v)$ را قرار دهیم، فرمولهای مطلوب برای $H(\mathbf{x}(u, v))$ و $K(\mathbf{x}(u, v))$ حاصل می‌شوند.

هنگامی که قطعه مختصاتی \mathbf{x} از قراین واضح باشد، توابع مرکب $H(\mathbf{x})$ و $K(\mathbf{x})$ را فقط با H و K نشان می‌دهیم.

با شگردی مانند آنچه درام ۱.۲ به کار رفت، می‌توان روش ساده‌ای برای محاسبه l, m و n ، و در نتیجه H و K پیدا کرد. به‌عنوان مثال هنگامی که $U \cdot \mathbf{x}_{uu} = 0$ ، با مشتقگیری جزئی نسبت به v ، یعنی مشتقگیری معمولی در امتداد خمهای پارامتر v خواهیم داشت:

$$0 = \frac{\partial}{\partial v}(U \cdot \mathbf{x}_{uu}) = U_v \cdot \mathbf{x}_{uu} + U \cdot \mathbf{x}_{uuv}$$

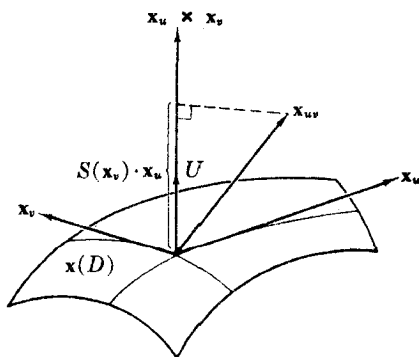
(یادآوری می‌شود که U_v مشتق کوواریان میدان برداری $U(u_0, v) \rightarrow U(u, v)$ روی هر خم با پارامتر v ، $u = u_0$ می‌باشد.) از آنجا که \mathbf{x}_v بردارهای سرعت این گونه خمها را به‌دست می‌دهد، بنا بر تمرین ۱، بند ۱، داریم $U_v = -S(\mathbf{x}_v)$ ، و معادله بالا به صورت زیر درمی‌آید:

$$S(\mathbf{x}_v) \cdot \mathbf{x}_{uu} = U \cdot \mathbf{x}_{uuv}$$

(شکل ۲۵.۵). با قرار دادن u و v به ترتیب به جای v و u سه معادله مشابه به‌دست می‌آید، به‌ویژه داریم:

$$S(\mathbf{x}_{uu}) \cdot \mathbf{x}_v = U \cdot \mathbf{x}_{vuu} = U \cdot \mathbf{x}_{uuv} = S(\mathbf{x}_v) \cdot \mathbf{x}_{uu}$$

چون \mathbf{x}_v و \mathbf{x}_{uu} در هر نقطه یک پایه از فضای مماس است، این نکته برای اثبات تقادان S کافی است (لم ۴.۱).



شکل ۲۵.۵

۳.۴. لم. اگر X يك قطعه مختصاتی از E^3 باشد، آنگاه:

$$l = S(x_{uu}) \cdot x_u = U \cdot x_{uu}$$

$$m = S(x_{uv}) \cdot x_v = U \cdot x_{uv}$$

$$n = S(x_v) \cdot x_v = U \cdot x_{vv}$$

در هر يك از حالت‌های بالا معادله اول همان تعریف است، در فرمول m می‌توان ترتیب u و v را دادون نمود.

۳.۴. مثال. محاسبه خمیدگیهای گاوسی و متوسط (۱) هلیکونید (تمرین ۷، بند ۲، فصل ۴). رویه H که در شکل ۲۶.۵ نشان داده شده است، به وسیله T_k قطعه مختصاتی:

$$x(u, v) = (u \cos v, u \sin v, bv), \quad b \neq 0$$

پوشیده می‌شود، که به‌ازای آن داریم:

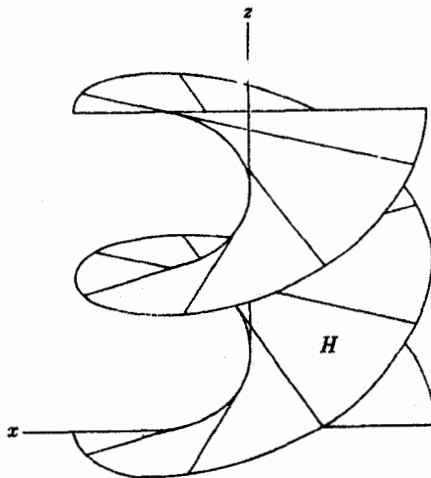
$$x_u = (\cos v, \sin v, 0) \quad E = 1$$

$$x_v = (-u \sin v, u \cos v, b) \quad F = 0$$

$$G = b^2 + u^2$$

بنابراین

$$x_u \times x_v = (b \sin v, -b \cos v, u)$$



شکل ۲۶.۵

برای تعیین K به تنهایی محاسبه E ، F و G لزومی ندارد، اما بهتر است در هر حال این محاسبه انجام شود، زیرا اتحاد:

$$\|\mathbf{x}_u \times \mathbf{x}_v\| = \sqrt{EG - F^2}$$

برای طول $\mathbf{x}_u \times \mathbf{x}_v$ آزمونی به دست می‌دهد. (امتداد آن را نیز می‌توان بررسی کرد، زیرا باید بر هردو بردار \mathbf{x}_u و \mathbf{x}_v عمود باشد.) اگر $\|\mathbf{x}_u \times \mathbf{x}_v\|$ را با W نشان دهیم، آنگاه در مورد هلیکوتیید داریم $W = \sqrt{b^2 + u^2}$ ، و تابع قائم یک‌ه چنن نوشته می‌شود

$$U = \frac{\mathbf{x}_u \times \mathbf{x}_v}{W} = \frac{(b \sin v, -b \cos v, u)}{\sqrt{b^2 + u^2}}$$

از طرف دیگر داریم

$$\mathbf{x}_{uu} = 0$$

$$\mathbf{x}_{uv} = (-\sin v, \cos v, 0)$$

$$\mathbf{x}_{vv} = (-u \cos v, -u \sin v, 0)$$

رابطه اول بدیهی است، زیرا خمهای پارامتر u خط مستقیم اند. خمهای پارامتر v مارپیج اند، و این فرمول شتاب \mathbf{x}_{vv} را در فصل ۲ به دست آوردیم. اکنون بنا بر لم ۲.۴ داریم

$$l = \mathbf{x}_{uu} \cdot \frac{(\mathbf{x}_u \times \mathbf{x}_v)}{W} = 0$$

$$m = \mathbf{x}_{uv} \cdot \frac{(\mathbf{x}_u \times \mathbf{x}_v)}{W} = -\frac{b}{W}$$

$$n = \mathbf{x}_{vv} \cdot \frac{(\mathbf{x}_u \times \mathbf{x}_v)}{W} = 0$$

از اینجا بنا بر فرع ۱.۴ و نتایج بالا، داریم

$$K = \frac{ln - m^2}{EG - F^2} = \frac{-(b/W)^2}{W^2} = \frac{-b^2}{W^4} = \frac{-b^2}{(b^2 + u^2)^2}$$

$$H = \frac{Gl + En - 2Fm}{2(EG - F^2)} = 0$$

بدینسان دیده می‌شود که هلیکوتیید یک رویه مینیمال با خمیدگیهای

$$-1 \leq K < 0$$

است. مقدار مینیمم $K = -1$ روی محور مرکزی هلیکویید ($u = 0$) به دست می آید، و هنگامی که دوری $|u|$ از محور به بینهایت می گراید، داریم $K \rightarrow 0$.

(۲) رویهٔ زیننی $M: z = xy$ (مثال ۳.۱). این بار از قطعه مختصاتی مونستر $\mathbf{x}(u, v) = (u, v, uv)$ استفاده می کنیم، و با محاسباتی نظیر آنچه که گذشت، خواهیم داشت:

$$\mathbf{x}_u = (1, 0, v) \quad E = 1 + v^2$$

$$\mathbf{x}_v = (0, 1, u) \quad F = uv$$

$$G = 1 + u^2$$

$$U = (-v, -u, 1)/W \quad W = \sqrt{1 + u^2 + v^2}$$

$$\mathbf{x}_{uu} = 0 \quad l = 0$$

$$\mathbf{x}_{uv} = (0, 0, 1) \quad m = 1/W$$

$$\mathbf{x}_{vv} = 0 \quad n = 0$$

از آنجا:

$$K = \frac{-1}{(1 + u^2 + v^2)^{3/2}}, \quad H = \frac{-uv}{(1 + u^2 + v^2)^{3/2}}$$

به بیان دقیقتر، این توابع $K(\mathbf{x})$ و $H(\mathbf{x})$ هستند که حوزهٔ تعریف آنها \mathbb{E}^3 است. اما به آسانی می توان H و K را مستقیماً به صورت توابعی روی M بیان کرد، برای این کار از توابع مختصاتی استوانه‌ای z و $r = \sqrt{x^2 + y^2}$ استفاده می کنیم. از شکل ۲۷.۵ دیده می شود که

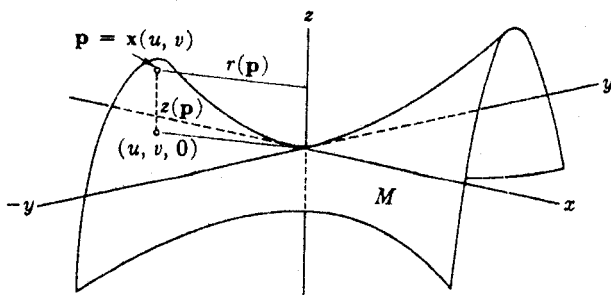
$$r(\mathbf{x}(u, v)) = \sqrt{u^2 + v^2}$$

$$z(\mathbf{x}(u, v)) = uv$$

بنابراین روی M داریم:

$$K = \frac{-1}{(1 + r^2)^2}, \quad H = \frac{-z}{(1 + r^2)^{3/2}}$$

بدینسان خمیدگی گاوسی رویهٔ M فقط به دوری نقطه از محور z بستگی دارد، و هنگامی که r به سمت بینهایت می گراید، K از -1 (در مبدأ) تا صفر افزایش می یابد، درحالی که مقدار H اساساً تغییر می کند.



شکل ۲۷.۵

مانند همهٔ رویه‌های ساده (که از يك قطعه مختصاتی تشکیل می‌شوند) هلیکوتید و رویهٔ زینی نیز جهت‌پذیرند، زیرا از محاسبات بالا برای هر نقطه از رویه قائم یکه به دست می‌آید. بدینسان توابع خمیدگی اصلی k_1 و k_2 بدون ابهام روی هر يك از این رویه‌ها معین می‌گردند و این مقادیر را همواره می‌توان از H و K ، به موجب فرغ ۵.۳ به دست آورد. چون هلیکوتید يك رویهٔ مینیمال است، نتیجه به صورت سادهٔ زیر حاصل می‌شود:

$$k_1, k_2 = \frac{\pm b}{(b^2 + u^2)}$$

در مورد رویهٔ زینی:

$$k_1, k_2 = \frac{-z \pm \sqrt{1 + r^2 + z^2}}{(1 + r^2)^{3/2}}$$

طرز محاسبهٔ بردارهای اصلی را به صورت تمرین آورده‌ایم.

روش محاسباتی دیگری وجود دارد که مبتنی است بر شناخت فرمول صریح يك میدان برداری قائم $Z = \sum z_i U_i$ روی رویهٔ M که هیچ گاه صفر نمی‌شود. در این باره مهمترین حالت رویه‌ای است که به صورت $g = c$: M داده شده باشد، زیرا در این صورت بنا بر آنچه در بند ۳، فصل ۴ آمد، می‌دانیم که گرادیان

$$\nabla g = \sum \frac{\partial g}{\partial x_i} U_i$$

نیز يك میدان برداری از این نوع است. بدینسان می‌توان به جای Z هر مضرب اسکالر مناسب ∇g را به کار برد. اگر S عملگر شکلی متناظر با قائم یکه

$$U = \frac{Z}{\|Z\|}$$

و V يك میدان برداری مماس روی رویه M باشد، آنگاه با استفاده از روش ۲، بند ۱، خواهیم داشت

$$\nabla_V Z = \sum V[z_i]U_i$$

با توجه بر خصوصیت لاینیتزی این مشتقها داریم:

$$\nabla_V U = \nabla_V \frac{Z}{\|Z\|} = \frac{(\nabla_V Z)}{\|Z\|} + V \left[\frac{1}{\|Z\|} \right] Z$$

(شکل ۲۸.۵). نکته مهم در اینجا آن است که يك میدان برداری قائم می باشد، و بی آنکه توجه کنیم که کدام است، آن را با $N_V -$ نشان می دهیم. بدینسان

$$S(V) = -\nabla_V U = \frac{-(\nabla_V Z)}{\|Z\|} + N_V$$

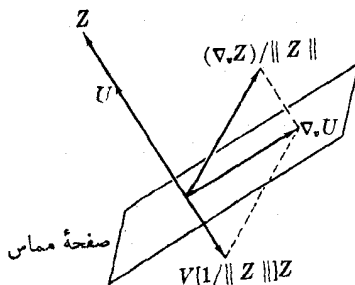
دیسه می شود که اگر W يك میدان برداری مماس دیگر روی M باشد، آنگاه $N_V \times N_W = 0$ ، در حالی که به ازای هر میدان برداری اقلیدسی Y روی M حاصل ضربهایی از قبیل $N_V \times Y$ بر M مماس اند. بدینسان با محاسبات ساده ای می توان لم زیر را از لم ۴.۳ استنباط کرد.

۴.۴. لم. گیریم Z يك میدان برداری قائم روی M باشد، که هیچ گاه صفر نشود. اگر V و W دو میدان برداری مماس باشند، به طوری که $V \times W = Z$ ، آنگاه

$$K = \frac{(Z \cdot \nabla_V Z \times \nabla_W Z)}{\|Z\|^4}$$

$$H = -Z \cdot \frac{(\nabla_V Z \times W + V \times \nabla_W Z)}{2\|Z\|^3}$$

برای محاسبه، مثلاً خمیدگی گاوسی يك رویه $g=c$: M با استفاده از قطعه های



شکل ۲۸.۵

مختصاتی، نخست باید صریحاً تعداد کافی از آنها به دست آورد تا همهٔ رویهٔ M را پوشانند، و بدینسان محاسبهٔ کامل K حتی هنگامی که g تابع نسبتاً ساده‌ای باشد پیچیده و دشوار خواهد بود. مثال زیر مزیت روشی را که در بالا بیان کردیم نشان می‌دهد.

۵.۴. مثال. خمیدگی بیضیگون

$$M: g = \frac{x^2}{a^2} + \frac{y^2}{b^2} + \frac{z^2}{c^2} = 1$$

می‌نویسیم $g = \sum x_i^2/a_i^2$ ، و از میدان برداری قائم

$$Z = \frac{1}{\sqrt{g}} \nabla g = \sum \frac{x_i}{a_i^2} U_i$$

که هیچ‌گاه صفر نمی‌شود، استفاده می‌کنیم. اگر $V = \sum v_i U_i$ يك میدان برداری مماس رویهٔ M باشد، داریم:

$$\nabla_V Z = \sum \frac{V[x_i]}{a_i^2} U_i = \sum \frac{v_i}{a_i^2} U_i$$

زیرا

$$V[x_i] = dx_i(V) = v_i$$

با در نظر گرفتن همین نتایج به‌ازای يك میدان برداری مماس دیگر W خواهیم داشت:

$$Z \cdot \nabla_V Z \times \nabla_W Z = \begin{vmatrix} \frac{x_1}{a_1^2} & \frac{x_2}{a_2^2} & \frac{x_3}{a_3^2} \\ \frac{v_1}{a_1^2} & \frac{v_2}{a_2^2} & \frac{v_3}{a_3^2} \\ \frac{w_1}{a_1^2} & \frac{w_2}{a_2^2} & \frac{w_3}{a_3^2} \end{vmatrix} = \frac{1}{a_1^2 a_2^2 a_3^2} X \cdot V \times W$$

که در آن X همان میدان برداری ویژه $\sum x_i U_i$ است که در مثال ۳.۹، فصل ۴، به کار رفت. همواره می‌توان W را طوری انتخاب کرد که داشته باشیم $V \times W = Z$ و در این صورت داریم:

$$X \cdot V \times W = X \cdot Z = \sum \frac{x_i^2}{a_i^2} = 1$$

بدینسان بنا بر ام ۴.۴ داریم:

$$K = \frac{1}{a_1^2 a_2^2 a_3^2 \|Z\|^2}$$

که در آن

$$\|Z\|^2 = \left(\sum \frac{x_i^2}{a_i^2} \right)^2$$

به‌ازای هر رویه جهت‌دار در \mathbf{E}^3 ، تابع محملی h به هر نقطه \mathbf{p} ، دوری قائم $h(\mathbf{p}) = \mathbf{p} \cdot U(\mathbf{p})$ از مبدأ تا صفحه مماس $T_p(M)$ را نسبت می‌دهد، شکل ۲۹.۵ این تابع را در مورد بیضیگون نشان می‌دهد. با استفاده از میدان برداری X (که مقدار آن در \mathbf{p} عبارت است از بردار مماسی \mathbf{p}_p) برای بیضیگون خواهیم داشت

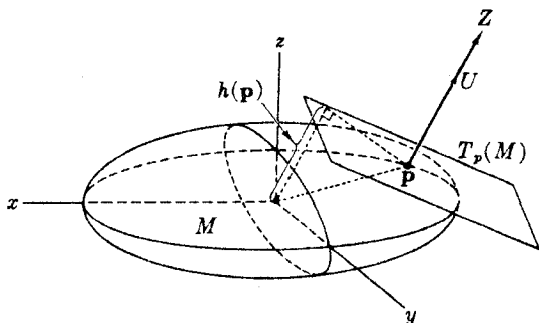
$$h = X \cdot U = X \cdot \frac{Z}{\|Z\|} = \frac{1}{\|Z\|}$$

بدینسان برای خمیدگی گاوسی بیضیگون عبارت ملموستر

$$K = \frac{h^3}{a^2 b^2 c^2}$$

به‌دست می‌آید. دیده می‌شود که به‌ازای $a = b = c = r$ ، بیضیگون بدیگ کره بدل می‌شود، و این فرمول به‌صورت $K = 1/r^2$ درمی‌آید.

نتایج محاسباتی این بند، با آنکه درباره رویه‌ها بیان شد، اما درباره رویه‌های فرو برده شده (تمرین ۱۰، فصل ۴، بند ۸) نیز به‌کار می‌روند. به‌ویژه فرمولی که در فرغ ۱۰.۴ آمده است در مورد هر نگاشت منظم دلخواه $\mathbf{x}: D \rightarrow \mathbf{E}^3$ دارای معنی است. توجیه نظری این عمومیت اضافی را در فصل ۷، بند ۷، مطرح کرده‌ایم.



شکل ۲۹.۵

تمرینات

۰۱. روشهای این بند را درباره قطعه مختصاتی جغرافیایی

$$\mathbf{x}(u, v) = (r \cos v \cos u, r \cos v \sin u, r \sin v)$$

بدکار ببرید و نشان دهید که خمیدگی گاوسی کره‌ای به شعاع r برابر است با $K = 1/r^2$.

۲. نشان دهید که در مورد قطعه مختصاتی مونتز $\mathbf{x}(u, v) = (u, v, f(u, v))$ داریم:

$$E = 1 + f_u^2 \quad l = f_{uu}/W$$

$$F = f_u f_v \quad m = f_{uv}/W$$

$$G = 1 + f_v^2 \quad n = f_{vv}/W$$

که در آن

$$W = (1 + f_u^2 + f_v^2)^{1/2}$$

و از آنجا فرمولهایی برای H و K بیابید.

۳. (ادامه). نشان دهید که شرط لازم و کافی برای آنکه نگاره \mathbf{x} هموار باشد آن است که

$$f_{uu}f_{vv} - f_{uv}^2 = 0$$

و برای آنکه مینیمال باشد

$$(1 + f_u^2)f_{vv} + (1 + f_v^2)f_{uu} - 2f_u f_v f_{uv} = 0$$

۴. نشان دهید که نگاره قطعه مختصاتی

$$\mathbf{x}(u, v) = (u, v, \log \cos v - \log \cos u)$$

یک رویه مینیمال است و خمیدگی گاوسی آن برابر است با

$$K = \frac{-\sec^2 u \sec^2 v}{W^4}$$

که در آن

$$W^2 = 1 + \tan^2 u + \tan^2 v$$

۵. برای زین میمون $M: z = x^2 - 3xy^2$ (شکل ۲۲.۵) خمیدگی K را بر حسب

$r = \sqrt{x^2 + y^2}$ بیان کنید. آیا این یک رویه مینیمال است؟

۶. خمیدگی گاوسی سهمیگون هذلولوی و بیضوی زیر را بیابید

$$M: z = \frac{x^2}{a^2} + \varepsilon \frac{y^2}{b^2}, \quad (\varepsilon = \pm 1)$$

۷. نشان دهید که قطعه خم

$$\alpha(t) = \mathbf{x}(a_1(t), a_2(t)), \quad a \leq t \leq b$$

دارای طول

$$L(\alpha) = \int_a^b (Ea_1'^2 + 2Fa_1'a_2' + Ga_2'^2)^{1/2} dt$$

می باشد، که در آن E, F, G بر حسب a_1 و a_2 محاسبه شده اند.

۸. ثابت کنید که زاویه مختصاتی ϑ در قطعه مختصاتی $\mathbf{x}: D \rightarrow M$ $0 < \vartheta < \pi$ يك تابع دیفرانسیلپذیر روی D است (داهنمایی: از نامساوی شوارتس فصل ۲، بند ۱ استفاده کنید).

۹. (الف) قطعه مختصاتی \mathbf{x} در M را هنگامی که F مساوی صفر باشد متعامد نامند (بنا بر این در هر نقطه \mathbf{x}_u و \mathbf{x}_v متعامدند). نشان دهید که در این حالت داریم

$$S(\mathbf{x}_u) = \frac{l}{E} \mathbf{x}_u + \frac{m}{G} \mathbf{x}_v$$

$$S(\mathbf{x}_v) = \frac{m}{E} \mathbf{x}_u + \frac{n}{G} \mathbf{x}_v$$

(ب) قطعه مختصاتی \mathbf{x} را هنگامی اصلی گویند که $F = m = 0$. ثابت کنید که در این حالت \mathbf{x}_u و \mathbf{x}_v در هر نقطه بردارهای اصلی اند، و خمیدگیهای اصلی متناظر به آنها l/G و n/G است.

۱۰. ثابت کنید که بردار مماس

$$\mathbf{v} = v_1 \mathbf{x}_u + v_2 \mathbf{x}_v$$

یک بردار اصلی است، اگر، و فقط اگر

$$\begin{vmatrix} v_1^2 & -v_1 v_2 & v_2^2 \\ E & F & G \\ l & m & n \end{vmatrix} = 0$$

(داهنمایی: شرط لازم و کافی برای آنکه \mathbf{v} اصلی باشد، آن است که بردار قائم $\mathbf{v} \times S(\mathbf{v})$ صفر باشد).

۱۱. نشان دهید که روی رویهٔ زینی M (۳.۲) دومیدان برداری

$$(\sqrt{1+u^2}, \pm \sqrt{1+v^2}, v\sqrt{1+u^2} \pm u\sqrt{1+v^2})$$

در هر نقطه، اصلی اند. بررسی کنید که این دومیدان متعامد و بر M مماس اند.

۱۲. (ردیة مینیمال انپرا). رویه فرو برده شده

$$\mathbf{x}(u, v) = \left(u - \frac{u^3}{3} + uv^2, v - \frac{v^3}{3} + u^2v, u^2 - v^2 \right)$$

رویه مینیمال انپرا نام دارد. ثابت کنید که این رویه فرو برده شده مینیمال است و \mathbf{x} يك به يك نیست. (داهنمایی: برای اثبات $H = 0$ کافی است ثابت کنید

$$E = G, F = 0, \text{ و } \mathbf{x}_{uu} + \mathbf{x}_{vv} = 0.$$

۱۳. (ملاك قطعه مختصاتی نقاط نافی). نشان دهید برای آنکه نقطه $\mathbf{x}(u, v)$ نافی باشد، لازم و کافی است که عددی مانند k بتوان یافت به طوری که در (u, v) داشته باشیم $n = kG$ و $m = kF$ ، $l = kE$ (در این صورت k خمیدگی اصلی $k_1 = k_2$ است).

۱۴. اگر $\mathbf{v} = v_1 \mathbf{x}_u + v_2 \mathbf{x}_v$ در $\mathbf{x}(u, v)$ بر M مماس باشد، خمیدگی قائم در امتداد \mathbf{v} برابر است با:

$$k(\mathbf{v}) = \frac{lv_1^2 + 2mv_1v_2 + nv_2^2}{Ev_1^2 + 2Fv_1v_2 + Gv_2^2}$$

که در آن توابع مختلف در نقطه (u, v) محاسبه شده اند.

۱۵. مطلوب است تعیین نقاط نافی (در صورت وجود) رویه های زیر:

(الف) زینی (مثال ۳.۴).

(ب) زین میمون (تمرین ۵).

(ج) سهمیگون بیضوی (تمرین ۶).

۱۶. (لوله). اگر β خمی با تندى واحد در \mathbf{E}^3 با $\kappa > 0$ باشد، قرار می دهیم

$$\mathbf{x}(u, v) = \beta(u) + \varepsilon(\cos v N(u) + \sin v B(u))$$

بدینسان خمهای پارامتر v دایری به شعاع ε (ثابت) می باشند که در صفحات عمود بر β واقع اند. نشان دهید که

(الف) اگر ε به قدر کافی کوچک باشد، \mathbf{x} منظم است، و بنا بر این يك رویه فرو برده شده خواهد بود که آن را يك لوله به شعاع ε حول β می نامند.

(ب) $U = \cos v N(u) + \sin v B(u)$ يك تابع قائم یکه روی لوله مزبور است.

$$K = \frac{-\kappa(u) \cos v}{\varepsilon(1 - \kappa(u)\varepsilon \cos v)} \quad (\text{ج})$$

(داهنمایی: از $S(\mathbf{x}_u) \times S(\mathbf{x}_v) = K \mathbf{x}_u \times \mathbf{x}_v$ استفاده کنید.)

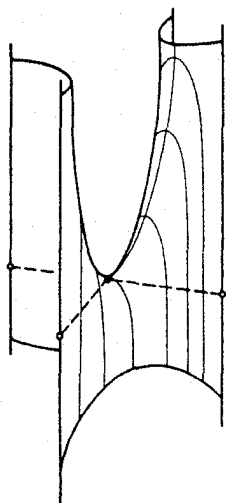
۱۷. نشان دهید که هذلولیگونهای بیضوی یکپارچه و دوپارچه (تمرین ۱۰ فصل ۴، بند ۲) به ترتیب دارای خمیدگی گاوسی $K = -h^4/a^2b^2c^2$ و $K = h^4/a^2b^2c^2$ می باشند، و هر دو تابع محمولی h با همان فرمولی که برای بیضیگون (مثال ۵.۴) به دست آمد معین می شوند.

۱۸. اگر h تابع محمولی رویه جهتدار $M \subseteq E^3$ باشد، نشان دهید که (الف) نقطه p از رویه M ، نقطه بحرانی h است. اگر، فقط اگر، به ازای همه بردارهای مماس v بر M در p داشته باشیم $p \cdot S(v) = 0$ (دانهمایی: h را به صورت $X \cdot U$ بنویسید، که در آن $X = \sum x_i U_i$). (ب) هنگامی که $K(p) \neq 0$ ، نقطه بحرانی h خواهد بود، اگر، فقط اگر، p (به عنوان یک بردار گرفته شود) عمود بر M در p باشد.

۱۹. با استفاده از تمرینات بالا، دامنه تغییرات خمیدگی گاوسی بیضیگون و هذلولیگون بیضوی یکپارچه و دوپارچه (تمرین ۱۰، فصل ۴، بند ۲) را بیابید، فرض می کنیم $a \geq b \geq c$.

۲۰. H و K را برای رویه زینی (مثال ۳.۴) با استفاده از روشی که در پایان همین بند آمد محاسبه کنید. (دانهمایی: V و W را مماس بر دو مجموعه مولدهای M بگیرید.)

۲۱. رویه مینیمال شردا، $M: e^x \cos x = \cos y$. گیریم \mathcal{R} ناحیه‌ای از صفحه xy باشد که روی آن $\cos x \cos y > 0$ ، \mathcal{R} یک مدل شطرنجی از مربعهای باز با دئوس $((\pi/2) + \pi m, (\pi/2) + n\pi)$ نشان دهید که



شکل ۳۰.۵

(الف) M یک رویه است.

(ب) به ازای هر نقطه (u, v) از \mathcal{R} دقیقاً یک

نقطه (u, v, w) از M به دست می آید. تنها

نقاط دیگر M عبارت اند از همه نقاط خطوط

قائم در رئوس \mathcal{R} (شکل ۳۰.۵).

(ج) یک رویه مینیمال است و داریم

$$K = -e^{2x} / (e^{2x} \sin^2 x + 1)^2$$

(دانهمایی: $V = \cos x U_1 + \sin x U_2$ یک

میدان برداری مماس است.) خواص دیگری

از این رویه در تمرین ۱۱، فصل ۶، بند ۸

خواهد آمد.

۲۲. گیریم Z یک میدان برداری قائم روی M

باشد که هیچ گاه صفر نشود. نشان دهید که بردار مماس \mathbf{v} بر M در \mathbf{p} اصلی است اگر، و فقط اگر،

$$\mathbf{v} \cdot Z(\mathbf{p}) \times \nabla_{\mathbf{p}} Z = 0$$

(راهنمایی: تمرین ۱۰ را ببینید).

امتدادهای اصلی از حل معادله بالا و شرط تماس

$$Z(\mathbf{p}) \cdot \mathbf{v} = 0$$

به دست می آیند. بدینسان می توان نقاط نافی را با استفاده از این معادلات مشخص کرد: \mathbf{p} نافی است اگر، و فقط اگر، هر بردار مماس \mathbf{v} در \mathbf{p} اصلی باشد.

۲۳. بیضیگون $M: \sum x_i^2/a_i^2 = 1$ را در نظر می گیریم. نشان دهید که (الف) بردار مماس \mathbf{v} در نقطه \mathbf{p} اصلی است اگر، و فقط اگر،

$$0 = p_1 v_1 v_2 (a_1^2 - a_2^2) + p_2 v_1 v_3 (a_2^2 - a_3^2) + p_3 v_1 v_2 (a_3^2 - a_1^2)$$

(ب) با فرض $a_1 > a_2 > a_3$ ، نشان دهید که دقیقاً چهار نقطه نافی روی M وجود دارد و مختصات آنها عبارت اند از

$$p_1 = \pm a_1 \left(\frac{a_1^2 - a_2^2}{a_1^2 - a_3^2} \right)^{1/2} \quad p_2 = 0 \quad p_3 = \pm a_3 \left(\frac{a_1^2 - a_2^2}{a_1^2 - a_3^2} \right)^{1/2}$$

۵. خمهای مهم يك رویه

اکنون سه نوع خم از يك رویه $M \subset E^3$ را که دارای اهمیت هندسی اند به اختصار بررسی می کنیم. این بند و بند بعدی در این نظریه ضرورت اساسی ندارند، و هدف از آنها تهیه مثال برای کارهای آتی و توضیح برخی از مفاهیمی است که تاکنون معرفی شده اند.

۱۰.۵. تعریف. خم منظم α در $M \subset E^3$ را يك خم اصلی (یا خط خمیدگی) نامند، هر گاه سرعت آن، α' ، همواره در امتداد اصلی باشد.

بدینسان خمهای اصلی همواره آن امتدادهایی از رویه M در E^3 را می پیمایند که خمیدگی رویه در آن امتدادها مقادیر اکسترمم را اختیار می کنند. صرف نظر از تعویض نمایش پارامتری، از هر نقطه غیر نافی رویه M دقیقاً دو خم اصلی می گذرد، و این خمها الزاماً یکدیگر را متعامداً قطع می کنند. (در يك نقطه نافی \mathbf{p} هر امتداد، اصلی است و موجب می شود که طرح خمهای اصلی در مجاورت \mathbf{p} بسیار پیچیده گردد.)

۲۰.۵. لم. گیریم α يك خم منظم در $M \subset E^3$ و U يك میدان برداری قائم یکه باشد که به α تخصیص یافته است. آنگاه

- (۱) خم α اصلی است؛ اگر فقط اگر، U' و α' در هر نقطه همخط باشند.
 (۲) اگر α يك خم اصلی باشد، آنگاه خمیدگی اصلی M در امتداد α' برابر است با $\alpha' \cdot U / \alpha''$.

برهان. (۱) بنا بر تمرین ۱ بند ۱ داریم $S(\alpha') = -U'$ از این رو U' و α' همخط اند اگر، و فقط اگر، $S(\alpha')$ و α' همخط باشند. اما بنا بر قضیه ۵.۲ این نکته مبین آن است که α' همواره متوجه يك امتداد اصلی است، به عبارت دیگر α يك خم اصلی است.
 (۲) چون α يك خم اصلی است، میدان برداری $\alpha' / \|\alpha'\|$ کلاً از بردارهای اصلی (یکه) تشکیل می‌شود، که به يك خمیدگی اصلی k_i متعلق اند. بنابراین

$$k_i = k\left(\frac{\alpha'}{\|\alpha'\|}\right) = S\left(\frac{\alpha'}{\|\alpha'\|}\right) \cdot \frac{\alpha'}{\|\alpha'\|}$$

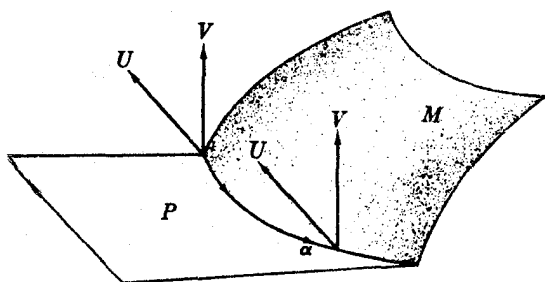
$$= \frac{S(\alpha') \cdot \alpha'}{\alpha' \cdot \alpha'} = \frac{\alpha'' \cdot U}{\alpha' \cdot \alpha'}$$

که در تساوی اخیر از لم ۱.۲ استفاده کرده‌ایم.

در این لم، (۱) ملاک ساده‌ای برای اصلی بودن خم است و (۲) خمیدگی اصلی را در امتداد يك خم اصلی به دست می‌دهد.

۳.۵. لم. گیریم α مقطع رویه $M \subseteq E^3$ با صفحه P باشد. اگر در طول α زاویه بین M و P ثابت باشد، آنگاه α يك خم اصلی رویه M است.

برهان. گیریم U و V به ترتیب میدانهای برداری قائم یکه بر M و P در طول خم α باشند، چنان‌که در شکل ۳۱.۵ نشان داده شده است. چون P يك صفحه است، V متوازی خواهد بود، یعنی $V' = 0$. از فرض ثابت بودن زاویه نتیجه می‌شود که $U \cdot V$ ثابت است، و بنا بر این



شکل ۳۱.۵

یعنی U' بر V عمود است، و چون U بردار یکه می باشد، U' مثل V بر U نیز عمود خواهد بود. همین نکته درباره α' نیز صادق است، زیرا α هم در M و هم در P واقع می باشد. در حالتی که U و V دارای استقلال خطی باشند (شکل ۳۱.۵)، نتیجه می شود که U' و α' همخطاند، و بنا بر لم ۲.۵، α اصلی است.

در حالتی هم که استقلال خطی برقرار نباشد، خواهیم داشت $U = \pm V$ ، و در نتیجه $U' = 0$ ، بنا بر این (خود به خود واضح است) α در این حالت نیز اصلی است.

(اثبات تعمیمی که در تمرین ۵ آمده است، دشوارتر از این نخواهد بود.) با استفاده از این نتیجه به آسانی می توان دید که نصف النهارات و مدارات یک رویه دورانی M خمیای اصلی آن می باشند. زیرا هر نصف النهار μ مقطع رویه M بسا صفحه ای ماد بر محور دوران است، و بنا بر این در امتداد μ بر رویه M متعامد می باشد، و هر مدار π مقطع M با صفحه ای است عمود بر محور دوران، و تقارن دورانی موجب می شود که این صفحه در طول π با M زاویه ثابتی بسازد.

امتدادهای مماس بر $M \subseteq E^3$ که خمیدگی قائم متناظر به آنها صفر است، امتدادهای مجانبی نامیده می شوند. بدینسان یک بردار مماس v هنگامی مجانبی خواهد بود که داشته باشیم $v = 0$ ، $k(v) = S(v) \cdot v = 0$ ، بنا بر این در مجاورت یک امتداد مجانبی، خمیدگی رویه M چنان نیست که آن را (فوراً، لااقل) از صفحه مماس خود دور کند. با استفاده از فرع ۶.۲ می توان تحلیل کاملی از امتدادهای مجانبی بر حسب خمیدگی گاوسی به دست داد.

۴.۵. لم. گیریم p نقطه ای از رویه $M \subseteq E^3$ باشد.

(۱) اگر $K(p) > 0$ ، در p امتداد مجانبی وجود ندارد.

(۲) اگر $K(p) < 0$ ، در p دقیقاً دو امتداد مجانبی وجود دارد که نیمسازهای آنها

همان امتدادهای اصلی هستند (شکل ۳۲.۵) و ϑ ، زاویه بین امتداد مجانبی و امتداد اصلی، به گونه ای است که:

$$\tan^2 \vartheta = \frac{-k_1(p)}{k_2(p)}$$

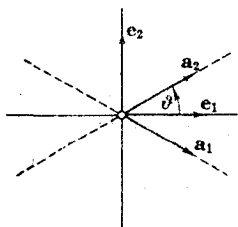
(۳) اگر $K(p) = 0$ ، در این صورت هر

امتداد، یک امتداد مجانبی خواهد بود اگر p نقطه ای هامنی باشد، در غیر این صورت دقیقاً یک امتداد مجانبی وجود دارد که امتداد اصلی نیز هست.

برهان. این حالتها همه از فرمول اولیه:

$$k(u) = k_1(p) \cos^2 \vartheta + k_2(p) \sin^2 \vartheta$$

که در فرع ۶.۲ آمده بود، حاصل می شوند.



شکل ۳۲.۵

- (۱) چون $k_1(\mathbf{p})$ و $k_2(\mathbf{p})$ همعلامت می باشند، $k(\mathbf{u})$ هرگز صفر نمی شود.
 (۲) در اینجا $k_1(\mathbf{p})$ و $k_2(\mathbf{p})$ همعلامت نیستند، و می توان معادله

$$0 = k_1(\mathbf{p}) \cos^2 \vartheta + k_2(\mathbf{p}) \sin^2 \vartheta$$

را حل کرد و دو امتداد مجانبی به دست آورد.

(۳) اگر \mathbf{p} هامنی باشد، آنگاه

$$k_1(\mathbf{p}) = k_2(\mathbf{p}) = 0$$

و بنابراین $k(\mathbf{u})$ متحد با صفر است. اگر فقط داشته باشیم

$$k_2(\mathbf{p}) = 0$$

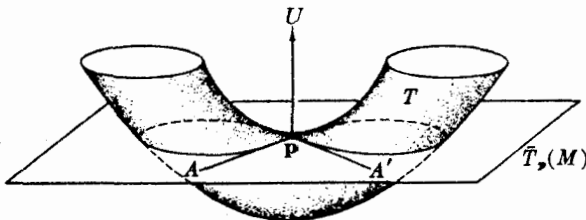
آنگاه عبارت

$$k(\mathbf{u}) = k_1(\mathbf{p}) \cos^2 \vartheta$$

فقط هنگامی صفر است که $\cos \vartheta = 0$ ، یعنی در امتداد اصلی $\mathbf{u} = \mathbf{e}_p$.

می توان به تقریب تصویری از امتدادهای مجانبی در یک نقطه \mathbf{p} از رویه مفروض M با در نظر گرفتن مقطع صفحه مماس $T_p(M)$ با رویه M در مجاورت \mathbf{p} به دست آورد. هنگامی که $K(\mathbf{p})$ منفی است، این مقطع از دو خم مار بر \mathbf{p} تشکیل می شود، که مماسهایشان (در \mathbf{p}) همان امتدادهای مجانبی هستند (بند ۳، تمرین ۵).

شکل ۳۳.۵ دو امتداد مجانبی A و A' در نقطه \mathbf{p} از خط استوای داخلی یک چنبره را نشان می دهد. (دو خم مقطع به هم پیوند یافته و یک شکل B را تشکیل می دهند.)



شکل ۳۳.۵

۵.۵. تعریف. خم منظم α از رویه $M \subset E^3$ را خم مجانبی نامند، هرگاه سرعت آن α' همواره یک امتداد مجانبی را نشان دهد.

بدینسان α مجانبی است اگر، و فقط اگر،

$$k(\alpha') = S(\alpha') \cdot \alpha' = 0$$

چون $S(\alpha') = -U'$ از اینجا برای مجانبی بودن α ملاک $U' \cdot \alpha' = 0$ به دست می آید.

خمهای مجانبی نسبت به خمیدگی گاوسی از خمهای اصلی حساستراند: لم ۳.۵ نشان می‌دهد که در ناحیه‌هایی که K مثبت است اصلاً خم مجانبی وجود ندارد، اما در هر نقطه از ناحیه‌ای که در آن K منفی باشد دو خم مجانبی متقاطع (که زاویه تقاطع آنها به K بستگی دارد) وجود دارند.

ساده‌ترین ملاک برای آنکه خمی در M مجانبی باشد، آن است که شتاب آن α'' همواره بر M مماس باشد. زیرا با مشتگیری از $U \cdot \alpha' = 0$ داریم

$$U' \cdot \alpha' + U \cdot \alpha'' = 0$$

بنابراین $U' \cdot \alpha' = 0$ (اگر α مجانبی است) اگر، و فقط اگر، $U \cdot \alpha'' = 0$.

تحلیلی که در لم ۴.۵ از امتدادهای مجانبی به‌عمل آمد، نتایجی برای هر دو نوع رویه هموار و مینیمال به‌دست می‌دهد. نخست آنکه رویه M در E^3 مینیمال خواهد بود اگر، و فقط اگر، در هر نقطه آن دو امتداد مجانبی متعامد وجود داشته باشد. زیرا $H(p) = 0$ هم‌ارز است با $k_1(p) = -k_2(p)$ و بررسی شرایط لم ۴.۵ نشان می‌دهد که فقط وقتی هنگامی تساوی $k_1(p) = -k_2(p)$ برقرار است که یا (الف) p هامنی باشد (که در این صورت ملاک به‌وضوح صدق می‌کند) و یا (ب) $K(p) < 0$ ، $\theta = \pm \pi/4$ ، که معنی آن این است که دو امتداد مجانبی متعامدند.

بدینسان، یک رویه فقط وقتی هنگامی مینیمال است که از هر نقطه آن دو خم مجانبی متعامد بگذرند. این بررسی برای محاسبات مثال ۳.۴ که نشان می‌دهند هلیکوتید یک رویه مینیمال است، معنی هندسی فراهم می‌آورد. در واقع خمهای پارامتر u و v از قطعه مختصاتی x متعامدند، زیرا $F = 0$ ، و شتابهای آنها بر رویه مماس‌اند، زیرا

$$n = U \cdot x_{uu} = 0 \quad \text{و} \quad l = U \cdot x_{vv} = 0$$

به‌طور اختصار، رویه خط‌دار M رویه‌ای است که از حرکت یک خط مستقیم در E^3 ایجاد می‌شود، اوضاع مختلف این خط را مولدهای M می‌نامند. بدینسان M دارای یک نمایش پارامتری خط‌مانند

$$x(u, v) = \beta(u) + v\delta(u), \quad \text{یا} \quad \beta(v) + u\delta(v)$$

است، که در آن β و δ خمهایی در E^3 می‌باشند، و δ همواره مخالف صفر است (تمرین ۴-۹ از بند ۲، فصل ۴ را ببینید). به‌عنوان مثال، هلیکوتید یک رویه خط‌دار است، زیرا قطعه مختصاتی مثال ۳.۴ را می‌توان به‌صورت زیر نوشت:

$$x(u, v) = (0, 0, bv) + u(\cos v, \sin v, 0)$$

این نشان می‌دهد که هلیکوتید از دوران خطی که در طول محور z ها بالا می‌رود ایجاد می‌شود. رویه زینی $M: z = xy$ خط‌دار ضاعف است، زیرا

$$x(u, v) = (u, v, uv) = \begin{cases} (u, 0, 0) + v(0, 1, u) \\ (0, v, 0) + u(1, 0, v) \end{cases}$$

تصادفی نیست که این هر دو رویه دارای K منفی اند، زیرا:

۶.۵. لم. هر رویه خط دار M دارای خمیدگی گاوسی $0 \leq K$ است. علاوه بر این، شرط لازم و کافی برای $K=0$ آن است که قائم یکه U در طول هر مولد M متوازی باشد (از این رو همه نقاط p واقع بر یک مولد دارای یک صفحه مماس $T_p(M)$ واحداند).

برهان. هر خط راست $p+rq \rightarrow t$ از یک رویه قطعاً یک خم مجانبی است، زیرا شتاب آن صفر و بنا بر این مماس بودن آن بر M خود به خود روشن است. بنا بر تعریف، از هر نقطه رویه خطدار خطی واقع بر آن می گذرد. بنا بر این در هر نقطه آن یک امتداد مجانبی وجود دارد، و طبق لم ۴.۵، $0 \leq K$.

اکنون گیریم $\alpha(t) = p+rq$ یک مولد دلخواه از M باشد. اگر U در طول α متوازی باشد، آنگاه $0 = U' = S(\alpha')$. بدینسان α یک خم اصلی با خمیدگی اصلی $0 = k(\alpha')$ می باشد، و در نتیجه $0 = k_1 k_2 = K$.

برعکس، اگر $K=0$ ، از حالت (۳) لم ۴.۵ نتیجه می گیریم که امتدادها و خمهای مجانبی رویه M اصلی نیز هستند. بدینسان هر مولد α ، هم اصلی $(S(\alpha') = k(\alpha')\alpha')$ و هم مجانبی $(k(\alpha') = 0)$ است، از آنجا $0 = U' = -S(\alpha')$.

اکنون به آخرین و مهمترین نوع خمها از سه نوع مورد بحث می رسم.

۷.۵. تعریف. خم α از رویه $M \subset E^3$ را ژئودزیک M نامند اگر شتاب آن، α'' ، همواره بر M قائم باشد.

چون α'' بر M قائم است، ساکنین M هیچ شتابی احساس نمی کنند، برای آنان ژئودزیک α یک «خط راست» است. بررسی کامل ژئودزیکها در فصل ۷ آمده است، و در آنجا به خصوص ویژگی آنها به عنوان کوتاهترین راه مورد توجه و دقت قرار گرفته است. بر یک رویه M ژئودزیکها بسیار فراوانتر از خمهای اصلی و مجانبی اند، در واقع بنا بر قضیه ۲.۴ از فصل ۷، از هر نقطه رویه M و در هر امتداد یک ژئودزیک می گذرد.

چون α'' به ویژه برسرعت آن α' نیز عمود است، ژئودزیک α دارای تندی ثابت می باشد، زیرا با مشتگیری از

$$\alpha' \cdot \alpha'' = 0 \quad \|\alpha'\|^2 = \alpha' \cdot \alpha'$$

یک خط راست $\alpha(t) = p+rq$ از M همواره یک ژئودزیک آن است، زیرا قائم بودن شتاب آن $\alpha'' = 0$ بر M مطلبی بسیار ساده است. برخلاف خمهای اصلی و مجانبی، ژئودزیکها را نمی توان برحسب عملگر شکلی تعریف کرد؛ اما یک ژئودزیک α (با تندی واحد) که خمیدگی آن مثبت باشد با عملگر شکلی S دارای رابطه جالبی براساس اجزاء دستگاه فرنه α می باشد. چون $N = \alpha''/\kappa$ قائم اصلی α بر رویه M نیز قائم داریم

$$-N' = S(\alpha') = S(T)$$

و بنا بر يکي از معادلات فرنه خواهيم داشت $S(T) = \kappa T - \tau B$.
 اين ملاحظات براي تعيين ژئودزيکهای سه رويه نسبتاً خاص کفايت می کنند.

۸.۵. مثال. ژئودزيکهای چند رويه در E^3 .

(۱) صفحه. صفحه P عمود بر u را در نظر می گیريم، اگر α يك ژئودزيک آن باشد، داريم $\alpha' \cdot u = 0$ ، و در نتيجه $\alpha'' \cdot u = 0$. اما بنا بر تعريف، α'' قائم بر P است، بنا بر اين $\alpha'' = 0$. بدینسان α يك خط راست است، و چون هر خط راست نيز يك ژئودزيک می باشد، نتيجه می گیريم که مجموعه ژئودزيکهای P همان مجموعه خطوط راست واقع در آن است.

(۲) گره. اگر α يك ژئودزيک (با تندي واحد) از کره Σ به شعاع r باشد، بنا بر ملاحظات پيشين داريم $S(T) = \kappa T - \tau B$. (در فصل ۲، بند ۳ ديديم که هر خم در Σ دارای خميدگی مثبت است، بنا بر اين می توان از اجزاء دستگاه فرنه استفاده کرد.) اما با توجه به مثال ۳.۱، بسته به اينکه کدام يك از دو قائم يکسه را انتخاب کنيم، داريم $S(T) = \pm (1/r)T'$. از اين دو معادله مربوط به $S(T)$ نتيجه می شود که $\kappa = 1/r$ و $\tau = 0$. از اينجا بنا بر لم ۶.۳، فصل ۲، نتيجه می گیريم که α بر يك دایره C به شعاع r واقع است. چون شعاع r ما کسيم است، C بايد يك دایره عظيمه کره Σ ، يعنی مقطع Σ با يك صفحه ماربر مرکز آن باشد. بر عکس هر خم α با تندي ثابت که در طول يك دایره عظيمه حرکت می کند، دارای يك شتاب α'' است که متوجه به مرکز دایره يعنی همان مرکز کره Σ می باشد، بنا بر اين α'' بر Σ قائم است. نتيجه می گیريم که ژئودزيکهای Σ ، از نمايشهای پارامتری با تندي ثابت دایره عظيمه آن تشکيل یافته اند (شکل ۳۴.۵).

(۳) استوانه. به عنوان مثال، ژئودزيکهای استوانه مستدير $M: x^2 + y^2 = r^2$ همه، خمهایی به صورت

$$\alpha(t) = (r \cos(at+b), r \sin(at+b), ct+d)$$

هستند. زيرا، هر خم در M را می توان به صورت زير نوشت

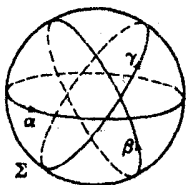
$$\alpha(t) = (r \cos \vartheta(t), r \sin \vartheta(t), h(t))$$

و مؤلفه z بردار قائم بر M ، صفر است. از اين رو اگر α يك ژئودزيک باشد، آنگاه $h'' = 0$ ، و در نتيجه $h(t) = ct + d$. تندي

$$\sqrt{r^2 \vartheta'^2 + h'^2} = r \vartheta'$$

خس α ثابت است، پس ϑ' ثابت و بنا بر اين $\vartheta(t) = at + b$.

هنگامي که ثابتهای a و c هر دو مخالف صفر باشند، خم α يك مارپیچ روی M است. حالت انتهایی $a = 0$ مولدهای M ، و حالت $c = 0$ دایره مقاطع عرضی آنرا به دست می دهند.



شکل ۳۴.۵

خواص اساسی سه نوع خمی را که بررسی کردیم، به صورت زیر خلاصه می‌کنیم:

| | | | |
|------------------------|---------------------------------|-----------------------------|--------------|
| | $S(\alpha')$ و α' همخط | $k(\alpha') = k_1$ یا k_2 | خمهای اصلی |
| M مماس بر α'' | $S(\alpha')$ بر α' عمود، | $k(\alpha') = 0$ | خمهای مجانبی |
| M قائم بر α'' | | | ژئودزیکها |

تمرینات

۱. ثابت کنید که خم α از رویه $M \subset E^3$ وقتی، فقط وقتی، یک خط مستقیم است که هم ژئودزیک و هم مجانبی باشد.

۲. خمهای زیر به کدام یک از سه نوع-اصلی، مجانبی، ژئودزیک-متعلق‌اند؟

(الف) α ، دایره فوقانی چنبره (شکل ۳۵.۵).

(ب) β ، استوای بیرونی چنبره.

(ج) محور x بر رویه $M: z = xy$.

(با فرض نمایش پارامتری با تندی ثابت)

۳. نشان دهید که همه نصف‌النهارات یک رویه دوران ژئودزیک‌اند، ام. مسددار مار بر نقطه $\alpha(t)$ از خم نیمرخ وقتی، فقط وقتی، ژئودزیک است که $\alpha'(t)$ با محور دوران موازی باشد.

۴. گیریم α یک خم مجانبی با خمیدگی $\kappa > 0$ از رویه $M \subset E^3$ باشد.

(الف) ثابت کنید که در طول α قائم دوم B بر رویه قائم است، و نتیجه بگیرید که

$$S(T) = \tau N$$

(ب) نشان دهید که در طول α خمیدگی گاوسی رویه برابر است با $K = -\tau^2$.

(ج) با استفاده از (ب) خمیدگی گاوسی هلیکونید (مثال ۳۰.۴) را بیابید.

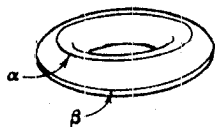
۵. گیریم خم α بر دو رویه M و \bar{M} واقع باشد، و این دو رویه در امتداد α دارای

زاویه ثابتی باشند ($U \cdot \bar{U}$ ثابت). نشان دهید که α برای M اصلی است. اگر، و فقط

اگر، برای \bar{M} اصلی باشد.

۶. اگر X یک قطعه مختصاتی در M باشد، ثابت کنید که خم $\alpha(t) = X(a_1(t), a_2(t))$

(الف) اصلی است اگر، و فقط اگر،



$$\begin{vmatrix} a_1'^2 & -a_1' a_2' & a_2'^2 \\ E & F & G \\ l & m & n \end{vmatrix} = 0$$

شکل ۳۵.۵

(ب) مجانبی است اگر، فقط اگر، n

$$l a_1'^2 + 2 m a_1' a_2' + n a_2'^2 = 0$$

۰۷. گیریم α خمی با تندی واحد در $M \subseteq E^3$ باشد. روی α به جای میدان سه وجهی فرقه، میدان سه وجهی U, V, T را در نظر می گیریم، که در آن T معاس یکه خم α ، U قائم رویه مخصوص به α ، و $V = U \times T$ (شکل ۳۶.۵) است.
(الف) نشان دهید که

$$T' = gV + kU$$

$$V' = -gT + tU$$

$$U' = -kT - tV$$

که در آن $T = S(T)$. $k = S(T)$ خمیدگی قائم $k(T)$ رویه M در امتداد T ، و $t = S(T) \cdot V$ می باشد.

تابع جدید g را خمیدگی ژنودزیک α می نامند.
(ب) نتیجه بگیرید که برای α داریم

$$g = 0 \iff \text{ژنودزیک}$$

$$k = 0 \iff \text{مجانبی}$$

$$t = 0 \iff \text{اصلی}$$

۰۸. اگر α خمی (با تندی واحد) در M باشد، نشان دهید که

(الف) شرط لازم و کافی برای آنکه α هم اصلی و هم مجانبی باشد، آن است که در صفحه ای که همواره در طول α بر M عمود است واقع باشد.

(ب) شرط لازم و کافی برای آنکه α هم اصلی و هم مجانبی باشد، آن است که در صفحه ای که همواره در طول α بر M معاس است واقع باشد.

۰۹. بر رویه زین میمون M (تبره ۳.۳، فصل ۵) سه خم مجانبی و سه خم اصلی ماربر مبدأ o بیابید (این امکان فقط بدان علت است که o يك نقطه نافی هامنی است).

۱۰. نشان دهید که خمیدگی گاوسی رویه خط دار $X(u, v) = \beta(u) + v\delta(u)$ برابر است با

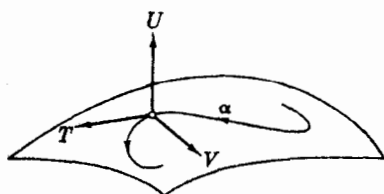
$$K = \frac{-m^2}{EG - F^2} = \frac{-(\beta' \cdot \delta \times \delta')^2}{W^4}$$

که در آن

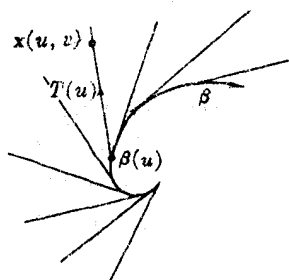
$$W = \|\beta' \times \delta + v\delta' \times \delta\|$$

۱۱. (دوبه های خط دار هموار).

(الف) نشان دهید که مخروط و استوانه



شکل ۳۶.۵



شکل ۳۷.۵

رویده‌های هموار اند (تمرینهای ۵ و ۶، فصل ۴، بند ۲)

(ب) اگر β خمی با تندی واحد و $\kappa > 0$ در E^3 باشد، رویه خطدار

$$x(u, v) = \beta(u) + vT(u), \quad v > 0$$

را رویه مماسی خم β نامند (شکل ۳۷.۵). ثابت کنید که x منظم است، و رویه مماسی يك رویه هموار است.

۱۲. گیریم α يك خم منظم در $M \subset E^3$ ، و قائم يکه M در طول α باشد. نشان دهید که α يك خم اصلی رویه M است اگر، و فقط اگر، رویه خطدار $x(u, v) = \alpha(u) + vU(u)$ هموار باشد.

۱۳. ژئودزیک بسته M عبارت است از ژئودزیکی که يك تابع متناوب $\alpha: \mathbb{R} \rightarrow M$ باشد. همه ژئودزیکهای بسته کره، صفحه، و استوانه مستدیر را بیابید.

۱۴. يك رویه خطدار را هنگامی غیر استوانه‌ای نامند، که امتداد مولدهای آن همواره تغییر کنند، بدینسان برای هر خم هادی آن داریم $\delta' \times \delta \neq 0$. نشان دهید که (الف) هر رویه خطدار غیر استوانه‌ای دارای نمایش پارامتری

$$x(u, v) = \sigma(u) + v\delta(u)$$

است، که در آن $\|\delta\| = 1$ و $\sigma' \cdot \delta' = 0$.

(ب) با این نمایش پارامتری داریم

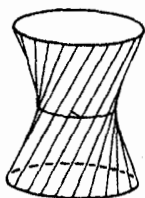
$$p = \frac{\sigma' \cdot \delta \times \delta'}{\delta' \cdot \delta'} \quad \text{که در آن} \quad K = \frac{-p^2(u)}{(p^2(u) + v^2)^2}$$

σ را خم تنجش، و تابع p را پارامتر توزیعی می‌نامند.

(دانهمایی: در (الف)، با فرض $\|\delta\| = 1$ ، تابع f را طوری تعیین کنید که $\sigma = \alpha + f\delta$ در (ب)، نشان دهید که $\delta' \times \delta = p\delta$.)

۱۵. تغییرات کیفی خمیدگی گاوسی K را روی يك مولد دلخواه از رویه خطدار (غیر استوانه‌ای) بررسی کنید. نشان دهید که مسیر خم تنجش از انتخاب نمایش پارامتری مستقل است، و پارامتر توزیعی اساساً تابعی روی مجموعه مولدهاست.

۱۶. نشان دهید که خم تنجش هلیکویید، همان محور مرکزی است، و پارامتر توزیعی آن ثابت است.



شکل ۳۸.۵

۱۷. مطلوب است تعیین خم تنجش و پارامتر توزیعی برای:

(الف) هر دو مجموعه مولدهای رویه زینی (مثال ۳.۴)

(ب) هر دو مجموعه مولدهای هذلولیگون دوار

$$M: \frac{x^2 + y^2}{a^2} - \frac{z^2}{b^2} = 1$$

(شکل ۳۸.۵). (يك نمایش پارامتری خطدار بسا استفاده از تمرین ۹، فصل ۴، بند ۲ بیا بید).

۱۸. اگر $x(u, v) = \alpha(u) + v\delta(u)$ نمایش پارامتری يك رویه خطدار غیر استوانه‌ای و $L(u)$ مولد ماربر $\alpha(u)$ باشد، نشان دهید که

(الف) اگر θ کوچکترین زاویه مثبت $L(u + \varepsilon)$ با $L(u)$ ، و d_ε فاصله عمودی $L(u)$ از $L(u + \varepsilon)$ باشد، آنگاه $\lim_{\varepsilon \rightarrow 0} (d_\varepsilon / \theta_\varepsilon) = p(u)$. بدینسان پارامتر توزیعی برابر

عکس میزان چرخش L است، و علامت آن مبین جهت چرخش می باشد.
(ب) تنها يك نقطه p_ε از $L(u)$ وجود دارد که نزدیکترین نقطه به $L(u + \varepsilon)$ است، و $\lim_{\varepsilon \rightarrow 0} p_\varepsilon = \sigma(u)$. (این مبین خصوصیت دیگری از خم تنجش است.)

(ج) با ذکر مثالی نشان دهید که دوری از $\sigma(u)$ تا $\sigma(u + \varepsilon)$ لزومی ندارد که تقریب خوبی برای d_ε دوری $L(u)$ تا $L(u + \varepsilon)$ باشد.

۱۹. گیریم $x(u, v) = \alpha + v\delta$ ، $\|\delta\| = 1$ ، نمایش پارامتری رویه خطدار هموار M باشد. نشان دهید که:

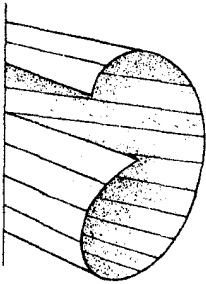
(الف) اگر α' همواره صفر باشد، M يك مخروط است.

(ب) اگر δ' همواره صفر باشد، M يك استوانه است.

(ج) اگر α' و δ' هر دو همواره مخالف صفر باشند، M رویه مماسی خم تنجش خود خواهد بود. (تمرین ۱۱ ب)

البته این چند حالت تمام امکانات را در بر نمی گیرد، اما به نحوی این نتیجه حاصل می شود که هر رویه خطدار هموار (رویه گسترده) مخلوطی از سه نوع مذکور در تمرین ۱۱ می باشد. اگر چنین رویه‌ای در E^3 بسته باشد (تمرین ۱۵، فصل ۴، بند ۸) يك استوانه خواهد بود، زیرا شرط بسته بودن مستلزم آن است که هر مولد از تمام يك خط مستقیم تشکیل شده باشد.

۱. در هر يك از این حالتها، جز آنچه برای منظم بودن x لازم است، برای v قیدی در نظر نمی گیریم.



شکل ۳۹.۵

۳۰. مخروطگون قائم رویه خط‌داری است که همه مولدهای آن محور ثابتی را متعامداً قطع کنند (شکل ۳۹.۵). اگر این محور را به عنوان محور z در E^3 بگیریم، نمایش پارامتری زیر حاصل می‌شود:

$$\mathbf{x}(u, v) = (u \cos \vartheta(v), u \sin \vartheta(v), h(v))$$

(الف) خمیدگی گausسی و متوسط آن را بیابید.

(ب) نشان دهید که این رویه، هر گاه ϑ'

همواره مخالف صفر باشد، غیر استوانه‌ای است؛ خم تنجش و پارامتر توزیعی آن را بیابید.

۳۱. طرحی از مخروطگون M که دارای نمایش پارامتری

$$\mathbf{x}(u, v) = (u \cos v, u \sin v, \cos 2v)$$

است ترسیم کنید، خمیدگی گausسی و متوسط آن را بیابید. M را به صورت $z = f(x, y)$ (مبدأ حذف شده است) بیان کنید.

۳۲. ثابت کنید که هر رویه خط‌دار و مینیمال بخشی از یک صفحه یا یک هلیکویید است. (داهنمایی: نواحی هموار M هامنمی‌اند؛ بدینسان با استدلالی همانند قضیه ۲.۶ می‌توان فرض کرد $K < 0$. از نمایش پارامتری که در تمرین ۱۴ آمده است با در نظر گرفتن این خاصیت اضافی که δ خمی با تندی واحد است، استفاده کنید. آنگاه از $H = 0$ سه معادله به دست می‌آید. نتیجه بگیرید که δ دایره یک‌سکه است، می‌توان فرض کرد که $(\delta(u) = (\cos u, \sin u, 0))$

۶. رویه‌های دورانی

هندسه رویه دورانی نسبتاً ساده است، اما چون این رویه‌ها دارای خواص هندسی بسیار متنوع می‌باشند زمینه خوبی برای کسب تجربه و مهارت فراهم می‌سازند.

برای بررسی رویه دورانی دلخواه M ، از روشهای بند ۴ استفاده می‌کنیم. بگیریم M ، همان گونه که در مثال ۵.۲ فصل ۴ آمد دارای نمایش پارامتری

$$\mathbf{x}(u, v) = (g(u), h(u) \cos v, h(u) \sin v)$$

باشند. همان گونه که در شکل ۱۷.۴ نشان داده شده است، $h(u)$ شعاع مداری از M است که دوری آن در طول محور دوران برابر $g(u)$ می‌باشد. این تعبیر هندسی g و h مبین آن است که نتایج حاصل به‌وضع خاص M نسبت به محورهای مختصات E^3 بستگی ندارند. چون g و h فقط تابع u می‌باشند، می‌توان نوشت

$$\mathbf{x}_u = (g', h' \cos v, h' \sin v) \quad E = g'^2 + h'^2$$

$$F = 0$$

$$\mathbf{x}_v = (0, -h \sin v, h \cos v) \quad G = h^2$$

در اینجا E مجذور تنیدی خم نیمرخ و دهمه نصف النهارات (خمهای پارامتر u) می باشد، و G مجذور تنیدی مدارات (خمهای پارامتر v) است. از آنجا

$$\mathbf{x}_u \times \mathbf{x}_v = (hh', -hg' \cos v, -hg' \sin v)$$

$$\|\mathbf{x}_u \times \mathbf{x}_v\| = \sqrt{EG - F^2} = h \sqrt{g'^2 + h'^2}$$

$$U = \frac{(h', -g' \cos v, -g' \sin v)}{\sqrt{g'^2 + h'^2}}$$

با محاسبه مشتقهای دوم، داریم

$$\mathbf{x}_{uu} = (g'', h'' \cos v, h'' \sin v)$$

$$\mathbf{x}_{uv} = (0, -h' \sin v, h' \cos v)$$

$$\mathbf{x}_{vv} = (0, -h \cos v, -h \sin v)$$

$$l = \frac{(-g'h'' + g''h')}{\sqrt{g'^2 + h'^2}}$$

$$m = 0$$

$$n = \frac{g'h}{\sqrt{g'^2 + h'^2}}$$

چون $F = m = 0$ ، به آسانی می توان دید که (تمرین ۹، بند ۴) عملگرشکلی S متناظر به U چنین است

$$S(\mathbf{x}_u) = \frac{l}{E} \mathbf{x}_u \quad S(\mathbf{x}_v) = \frac{n}{G} \mathbf{x}_v$$

(و این برهان تحلیلی آن است که نصف النهارات و مدارات M خمهای اصلی آن می باشند) از این رو اگر توابع خمیدگی اصلی را با k_μ و k_π (به جای k_1 و k_2) نشان دهیم، خواهیم داشت

$$k_\mu = \frac{l}{E} = \frac{- \begin{vmatrix} g' & h' \\ g'' & h'' \end{vmatrix}}{(g'^2 + h'^2)^{3/2}}, \quad k_\pi = \frac{n}{G} = \frac{g'}{h(g'^2 + h'^2)^{3/2}} \quad (1)$$

بدینسان خمیدگی گاوسی M برابر است با

$$K = k_{\mu} k_{\pi} = \frac{-g' \begin{vmatrix} g' & h' \\ g'' & h'' \end{vmatrix}}{h(g'^2 + h'^2)^2} \quad (2)$$

ملاحظه می‌شود که این فرمول K را به صورت تابعی با مقدار حقیقی روی (حوزه I)

خم نیمرخ

$$\alpha(u) = (g(u), h(u), 0)$$

معین می‌کند. بنا بر قراردادهای بند ۴، $K(u)$ ، خمیدگی گاوسی $K(\mathbf{X}(u, v))$ را در هر نقطهٔ مداد مادپر $\alpha(u)$ به دست می‌دهد. توابع دیگری که در بالا آمد نیز به همین گونه‌اند، به علت تقارن دورانی M ، حول محور دوران، هندسهٔ آن «روی‌مدارها ثابت است» و کلاً با خم نیمرخ معین می‌گردد.

در حالت خاصی که خم نیمرخ حداکثر یکبار از هر نقطهٔ محور دوران بگذرد، می‌توان ترتیبی داد که تابع g به صورت ساده $g(u) = u$ درآید (تمرین ۱۳، فصل ۴، بند ۲). آنگاه فرمولهای بالا به صورت زیر خلاصه می‌شوند

$$\begin{aligned} k_{\mu} &= \frac{-h''}{(1+h'^2)^{3/2}} \\ k_{\pi} &= \frac{1}{h(1+h'^2)^{1/2}} \\ K &= \frac{-h''}{h(1+h'^2)^2} \end{aligned} \quad (3)$$

۱۰۶. مثال. رویه‌های دورانی

(۱) چنبرهٔ دورانی T . با توجه به نمایش پارامتری \mathbf{X} در مثال ۱۰۲ فصل ۴ داریم

$$g(u) = r \sin u, \quad h(u) = R + r \cos u$$

با آنکه محور دوران در اینجا محور z است، فرمولهای (۱) و (۲) همچنان معتبراند و داریم:

$$E = r^2 \quad F = 0 \quad G = (R + r \cos u)^2$$

$$l = r \quad m = 0 \quad n = (R + r \cos u) \cos u$$

$$k_{\mu} = \frac{1}{r} \quad k_{\pi} = \frac{\cos u}{R + r \cos u}$$

$$K = \frac{\cos u}{r(R+r \cos u)}$$

از اینجا دلیلی تحلیلی برای مثبت بودن K روی نیمه بیرونی و منفی بودن آن روی نیمه درونی چنبره به دست می‌آید. در واقع ما کسینم K برابر است با $1/r(R+r)$ که متعلق به استوای بیرونی ($u=0$) می‌باشد، و مینیمم آن برابر با

$$\frac{1}{r(R-r)}$$

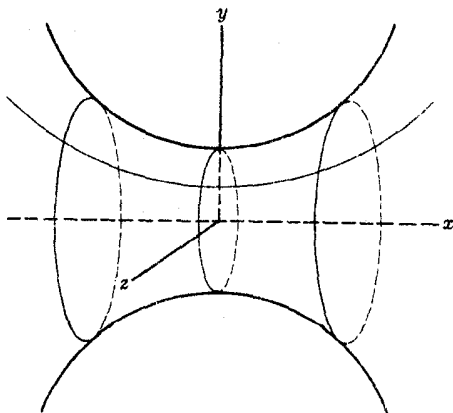
که متعلق به استوای درونی ($u=\pi$) است، و K روی دو ایر فوقانی و تحتانی ($u=\pm\pi/2$) برابر صفر است.

(۲) کاتنویید. خم $y = c \cosh(x/c)$ یا زنجیری نامیده می‌شود، و وضع تعادل زنجیر وزنی را که به دوسر خود آویخته شده است نشان می‌دهد. رویدای کسه از دوران این خم حول محور x ایجاد می‌شود، کاتنویید نام دارد (شکل ۴۰.۵). از فرمولهای (۳) به دست می‌آید

$$-k_{\mu} = k_{\pi} = \frac{1}{c \cosh^2\left(\frac{u}{c}\right)}$$

از آنجا

$$K = \frac{-1}{c^2 \cosh^4\left(\frac{u}{c}\right)}$$



شکل ۴۰.۵

چون خمیدگی متوسط H صفر است، کاتنویید يك رویه مینیمال است. فاصله تغییرات خمیدگی گسوسی آن، $0 < K < 1/c^2$ - و مقدار مینیمم $K = -1/c^2$ روی دایره $u = 0$ می باشد.

نتیجه زیرمبن آن است که دویه های دورانی کامل^۱ غیر هارمنی مینیمال، فقط کاتنوییدها می باشند. (این مطلب ساده ای است که صفحه، رویه ای است مینیمال، زیرا $k_1 = k_2 = 0$).

۴.۶. قضیه. اگر رویه دورانی M مینیمال باشد، آنگاه M بخشی از يك صفحه یا يك کاتنویید خواهد بود.

برهان. برای M از نمایش پارامتری

$$\mathbf{x}(u, v) = (g(u), h(u) \cos v, h(u) \sin v)$$

استفاده می کنیم، u در يك فاصله I تغییر می کند، و v دلخواه است.

حالت ۱. g' متحداً صفر است. آنگاه g ثابت و M بخشی از صفحه عمود بر محور دوران خواهد بود.

حالت ۲. g' هیچ گاه صفر نیست. در این صورت بنا بر یکی از تمرینات پیش، M دارای يك نمایش پارامتری به صورت

$$\mathbf{y}(u, v) = (u, f(u) \cos v, f(u) \sin v)$$

است. شرط مینیمال بودن یعنی $k_1 + k_2 = 0$ ، بنا بر روابط (۳)، با

$$f f'' = 1 + f'^2$$

هم ارز خواهد بود. چون این معادله دیفرانسیل به طوری صریح فاقد u است، با استفاده از روش متداول حل آن، جواب آن به صورت

$$f(u) = a \cosh\left(\frac{u}{a} + b\right)$$

به دست می آید که در آن a و b ثابتهای دلخواه اند. بدینسان M بخشی از يك کاتنویید است.

حالت ۳. g' در برخی از نقاط صفر و در بعضی دیگر مخالف صفر است. چنین حالتی پیش نمی آید. زیرا اگر فرض کنیم $g'(u_0) = 0$ و $g'(u) > 0$ به ازای $u < u_0$ ، آنگاه بنا بر حالت ۲، خم نیمرخ

$$\alpha(u) = (g(u), h(u), 0)$$

۱. این واژه به معنی لغوی آن به کار رفته است، تعریف ریاضی آن در بند ۴، فصل ۷ خواهد آمد.

به‌ازای $u < u_0$ يك کاتناری خواهد بود. اما شکل این خم نشان می‌دهد که شیب آن h'/g' نمی‌تواند ناگهان در $u = u_0$ بینهایت شود.

هلیکوتید و کاتنوتید روبه‌های مینیمال «ابتدایی» هستند. در تمرینهای ۱۲ و ۲۱ بند ۴ دو نمونهٔ دیگر آمده است. با روشهایی که در کتاب کورانت و راینس [۴] آمده است می‌توان به‌آسانی مدل‌های بسیار متنوعی به‌وسیلهٔ جناب صابون برای روبه‌های مینیمال ساخت. در همان کتاب اصطلاح مینیمال توضیح داده شده است. عبارت $\sqrt{g'^2 + h'^2}$ که به‌فوق در فرمولهای عمومی آغاز این بند دیده می‌شود، همان تندى خم نیمرخ

$$\alpha(u) = (g(u), h(u), 0)$$

است. بنابراین اگر به‌جای α از تعویض پارامتر با تندى واحد استفاده کنیم، مطالب بسیار ساده می‌شوند. رویهٔ دورانی ایجاد شدهٔ M تغییری نمی‌کند: فقط نمایش پارامتری جدیدی خواهد داشت، که آن را متعارف می‌نامند.

۳.۶. لم. اگر x نمایش پارامتری متعارف رویهٔ دورانی M ، $(g'^2 + h'^2 = 1)$ باشد، آنگاه

$$E = 1, \quad F = 0, \quad G = h^2$$

$$K = \frac{-h''}{h}$$

برهان. این مقادیر E ، F و G مستقیماً از مقادیری که در آغاز این بند آمد با در نظر گرفتن $g'^2 + h'^2 = 1$ نتیجه می‌شود، و با توجه به رابطه (۲) داریم

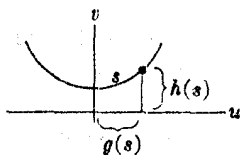
$$K = \frac{-g'}{h} \begin{vmatrix} g' & h' \\ g'' & h'' \end{vmatrix} = \frac{-g'^2 h'' + g' g'' h'}{h}$$

با مشتق‌گیری از $g'^2 + h'^2 = 1$ داریم $g' g'' = -h' h''$ ، از آنجا

$$K = \frac{-(1 - h'^2) h'' - h'^2 h''}{h} = -\frac{h''}{h}$$

تأثیر نمایش پارامتری متعارف آن است که به‌نحوی تأکید را از اندازه‌گیری در فضای بیرونی M (مثلاً، در طول محور دوران) برداشته، و به‌اندازه‌گیری در خود M می‌پردازد. این موضوع در فصول ۶ و ۷ به‌طور مفصل‌تری خواهد آمد.

۴.۶. مثال. نمایش پارامتری متعارف کاتنوتید ($c = 1$). برای کاتناری



شکل ۴۱.۵

$$\alpha(u) = (u, \cosh u)$$

يك تابع طول کمان، عبارت است از $s(u) = \sinh u$ ؛ بنابراین يك تعویض پارامتر با تندي واحد

$$\beta(s) = (g(s), h(s)) = (\sinh^{-1} s, \sqrt{1+s^2})$$

همان گونه که در شکل ۴۱.۵ دیده می شود به دست می آید. بر این اساس، نمایش پارامتری متعارف کاتوئید چنین است

$$\bar{x}(s, v) = (\sinh^{-1} s, \sqrt{1+s^2} \cos v, \sqrt{1+s^2} \sin v)$$

و بنا بر لم پیش

$$K(s) = -\frac{h''(s)}{h(s)} = \frac{-1}{(1+s^2)^2}$$

این فرمول خمیدگی گاوسی بر حسب \bar{x} ، با فرمول $K(u) = -1/\cosh^4 u$ که بر حسب نمایش پارامتری \bar{x} در مثال ۱.۶ به دست آمد سازگار است. در واقع، چون $s(u) = \sinh u$ داریم

$$K(s(u)) = \frac{-1}{(1+s^2(u))^2} = \frac{-1}{(1+\sinh^2 u)^2} = \frac{-1}{\cosh^4 u}$$

فرمول ساده‌ای که در لم ۳.۶ برای K به دست آمد، روشی برای ساختن رویه‌های دورانی که خمیدگی گاوسی آنها از پیش تعیین شده است به دست می دهد. هنگامی که تابع K روی يك فاصله داده شده باشد، نخست معادله دیفرانسیل $h'' + Kh = 0$ را نسبت به h با در نظر گرفتن شرایط اولیه $h(0) > 0$ و $|h'(0)| < 1$ ، حل می کنیم. برای یافتن يك نمایش پارامتری متعارف لازم است تابع g را به گونه‌ای تعیین کرد که داشته باشیم $g'^2 + h'^2 = 1$ روشن است که

$$g(u) = \int_0^u \sqrt{1-h'^2(t)} dt$$

در این شرط صدق می کند. بدینسان هر فاصله در پیرامون 0 که در آن شرایط $h > 0$ و $|h'| < 1$ برقرار باشند، می توانیم

$$\alpha(u) = (g(u), h(u), 0)$$

را حول محور x دوران دهیم، و يك رویه دورانی به دست آوریم که خمیدگی گاوسی آن بنا بر لم ۳.۶ دقیقاً برابر $K = -h''/h$ است.

۵.۶. مثال. رویه‌های دورانی با خمیدگی ثابت مثبت. روش بالا را در مورد تابع ثابت $K = 1/c^2$ به کار می‌بریم. معادلهٔ دیفرانسیل $h'' + (1/c^2)h = 0$ دارای جواب عمومی

$$h(u) = a \cos\left(\frac{u}{c} + b\right)$$

است، و ثابت b فقط نمایشگر يك انتقال دستگاه مختصات می‌باشد، می‌توان فرض کرد که $a > 0$ و $b = 0$. بدینسان توابع

$$g(u) = \int_0^u \sqrt{1 - \frac{a^2}{c^2} \sin^2 \frac{t}{c}} dt$$

$$h(u) = a \cos \frac{u}{c}$$

يك رویهٔ دورانی M_a با خمیدگی گاوسی ثابت $K = 1/c^2$ را ایجاد می‌کنند. شرایط لازم $h > 0$ و $|h'| < 1$ فاصلهٔ I را برای u مشخص می‌کنند. مقدار c در سراسر بحث ثابت است، اما بر حسب مقادیر a ، سه حالت در نظر می‌گیریم.

حالت ۱. $a = c$. در اینجا

$$g(u) = \int_0^u \cos \frac{t}{c} dt = c \sin \frac{u}{c}$$

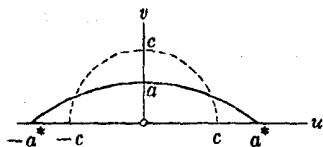
و $h(u) = c \cos(u/c)$. بنابراین، فاصلهٔ I عبارت است از $-\pi c/2 < u < \pi c/2$. چون خم نیمرخ $(g(u), h(u)) = (\alpha(u), h(u))$ يك نیمدایره است، از دوران آن حول محور x يك کرهٔ Σ به شعاع c - بجز دو نقطهٔ آن که واقع بر محور x هاست، ایجاد می‌شود.

حالت ۲. $0 < a < c$. (شکل ۲۲.۵). در اینجا h روی همان فاصلهٔ مذکور در

حالت ۱ مثبت است، و $|h'| < 1$ همواره برقرار می‌باشد، بنابراین g به خوبی معین می‌شود. خم نیمرخ $(g(u), h(u)) \rightarrow u$ همچنان دارای طول $\pi c/2$ است، اما طاقی به گودی کمتر پدید می‌آورد که دوسر آن روی محور x ها در $\pm a^*$ متکی است، و

$$a^* = g\left(\frac{\pi c}{2}\right) = \int_0^{\pi c/2} \sqrt{1 - \frac{a^2}{c^2} \sin^2 \frac{t}{c}} dt.$$

مقادیر تقریبی این انتگرال بیضوی را می‌توان از جداول به دست آورد، اما روشن است که چون a از c به 0 کاهش یابد. a^* از c به $\pi c/2$ افزایش خواهد یافت. رویهٔ دورانی حاصل M_a ، که به ازای $a = c$ يك کره است،



شکل ۲۲.۵

نخست به يك توپ رگبی تبدیل می شود و سرانجام به ازای مقدار بسیار کوچک a به صورت سوزنی درمی آید که طول آن اندکی از $\pi c/2$ کوچکتر است. برخلاف حالت ۱، نمی توان نقاط $(\pm a^*, 0, 0)$ را به رویه M_0 اضافه کرد، زیرا این رویه در هر دوسر خود نوله دار است. معادله دیفرانسیل $h'' + (1/c^2)h = 0$ شکل رویه M_a را با ظرافتی تعدیل کرده است، که خمیدگیهای اصلی آن دیگر برابر نیستند، اما با هم

$$K = k_\mu k_\pi = \frac{1}{c^2}$$

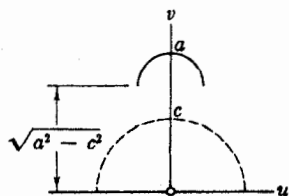
حالت ۳. $a > c$ (شکل ۴۳.۵). در اینجا فاصله I کوچکتر می شود، زیرا عبارتی که (در فرمول g) در زیر رادیکال قرار دارد به ازای t^* ای صفر می شود که $\sin(t^*/c) = c/a < 1$ بدینسان

$$h(t^*) = a \cos\left(\frac{t^*}{c}\right) = \sqrt{a^2 - c^2}$$

رویه دورانی حاصل M_a هنگامی که a از c افزایش می یابد تا اندازه ای به شکل نیمه بیرونی چنبره است، اما وقتی a افزایش یابد، رویه M_a یک نوار مستدیر بسیار بزرگ خواهد بود که خم نیمرخ آن بسیار کوتاه و دارای خمیدگی تندی است (k_μ باید بزرگ باشد، زیرا $1/a \sim k_\pi$ بسیار کوچک است و $1/c^2 \sim k_\mu k_\pi$).

در مورد خمیدگی منفی ثابت با تحلیل مشابهی یک خانواده نامتناهی از رویه های دورانی با $K = -1/c^2$ به دست می آید (تمرین ۹). ساده ترین آنها عبارت اند از

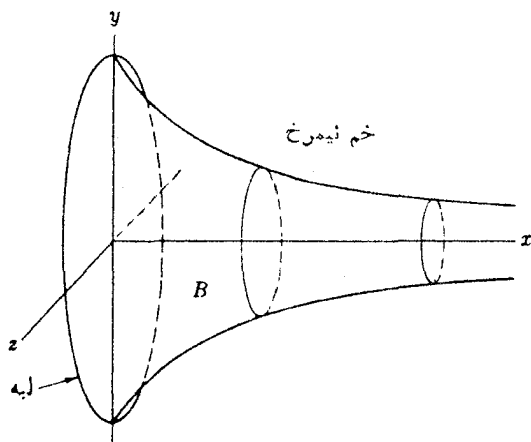
۶.۶. مثال. رویه شیپودی B . خم نیمرخ B (در صفحه xy) با این شرط هندسی مشخص می گردد: از نقطه $(0, c)$ آغاز می گردد و چنان حرکت می کند که در هر نقطه آن، قطعه مماس محصور بین خم و محور x ها دقیقاً برابر c باشد. این خم (تراکتیس) را می توان به طور تحلیلی با $\alpha(u) = (u, h(u))$ ، $u > 0$ ، نمایش داد که در آن h جواب معادله دیفرانسیل $h' = -h/\sqrt{c^2 - h^2}$ است و $h(u) \rightarrow c$ هنگامی که $u \rightarrow 0$. (رویه دورانی حاصل در شکل ۴۴.۵ نشان داده شده است).



شکل ۴۳.۵

با استفاده از این معادله دیفرانسیل و فرمولهای (۳) صفحه ۲۶۴، که در آغاز این بند عنوان شد، خمیدگیهای اصلی B به صورت زیر به دست می آید:

$$k_\mu = \frac{-h'}{c} \quad k_\pi = \frac{1}{ch'}$$



شکل ۴۴.۵

بدینسان رویه شیپوری (یا تراکتوردیید) دارای خمیدگی منفی ثابت

$$K = -\frac{1}{c^2}$$

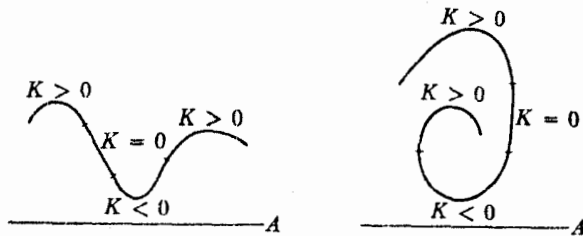
است. این رویه را نمی‌توان از طرف لیه (که جزء B نیست) ادامه داد تا رویه‌ای وسیع‌تر در E^3 به دست آید. زیرا $k_\mu(u) \rightarrow \infty$ ، هنگامی که $u \rightarrow 0$.

هنگامی که اول بار این رویه کشف شد، تصور کردند که نظیری با خمیدگی منفی ثابت K برای کره پیدا کرده‌اند، از این رو آن را شبه کره نامیدند. اما چنان که در فصل ۷ خواهیم دید مشابه واقعی کره، رویه‌ای کاملاً متفاوت است و در E^3 یافت نمی‌شود.

تمرینات

۰۱. مطلوب است تعیین خمیدگی گاوسی رویه‌ای که از دوران خم $y = e^{-x^2/2}$ حول محور x ایجاد می‌شود. طرح اجمالی این رویه را ترسیم کنید و نواحی متناظر به $K > 0$ و $K < 0$ آن را بیابید.

۰۲. (علامت خمیدگی گاوسی). اگر K بر حسب x خمیدگی گاوسی رویه حاصل از دوران $y = f(x)$ حول محور x باشد، نشان دهید که به ازای هر مقدار x علامت K ، $(+, 0, -)$ ، و f'' یکی است. بدینسان K روی مدارهای متناظر به فواصل تحدب خم نیم‌رخ مثبت و در فواصل تقعر آن منفی است، چنان که در شکل ۴۵.۵ دیده می‌شود. (همین نتیجه درباره هر رویه دورانی برقرار است، تحدب و تقعر را نسبت به محور دوران A در نظر می‌گیریم.)



شکل ۴۵-۵

۳. (اندازه خمیدگی گاوسی). نشان دهید که

خمیدگی $\kappa(u)$ از خم نیمرخ α در $|k_\mu(u)| = \alpha(u)$

$$|k_\pi(u)| = h(u) |\cos \varphi(u)|$$

که در آن $\varphi(u)$ زاویه شیب خم نیمرخ در $\alpha(u)$ است. از آنجا

$$|K| = \kappa h |\cos \varphi|$$

۴. چنبره بیضیوادی M از دوران بیضی

$$\frac{(x-R)^2}{a^2} + \frac{y^2}{b^2} = 1$$

حول محور y ($R > a$) ایجاد می‌شود. مطلوب است تعیین يك نمایش پارامتری برای M و محاسبه خمیدگی گاوسی آن. (بسا قرار دادن $a = b = r$ صحت جواب خود را تحقیق کنید.)

۵. اگر f تابعی دیرانسیلیدر، و $r = \sqrt{x^2 + y^2} > 0$ تابع مختصاتی قطبی معمولی در صفحه xy باشد، نشان دهید که $M: z = f(r)$ رویه‌ای است دورانی و خمیدگی گاوسی آن (بر حسب r) عبارت است از

$$K = \frac{f'(r)f''(r)}{r(1+f'(r)^2)^2}$$

۶. خمیدگی گاوسی رویه $M: z = e^{-r^2/2}$ را بیابید. طرح اجمالی آن را ترسیم کنید، و نواحی متناظر به $K > 0$ و $K < 0$ آن را معین کنید.

۷. ثابت کنید که هر رویه هموار دورانی بخشی از يك مخروط یا استوانه است.

۸. گیریم M رویه حاصل از دوران یک طاق α ($-\pi < t < \pi$) از سیکلوئید $\gamma(t) = (t + \sin t, 1 + \cos t)$ حول محور x باشد.

(الف) مطلوب است محاسبه K براساس نمایش پارامتری معمولی M .

(ب) مطلوب است تعیین تابع h که ارتفاع α را برحسب طول کمان آن نشان می‌دهد

(مبدأ کمان را بالاترین نقطه طاق بگیرد)، و محاسبه $K = -h''/h$.

(داهنمایی: از نیمزایه‌ها استفاده کنید.)

(ج) نشان دهید که نتایج قسمتهای (الف) و (ب) سازگارند.

۹. (دو په‌های دودانی با خمیدگی ثابت منفی $K = -1/c^2$). یک خانواده از این رویه‌ها،

مانند حالت $K = 1/c^2$ می‌توان یافت که بدوسیله رویه خاصی به‌دو طبقه تقسیم می‌شوند.

جوابهای معادله

$$h'' - \frac{h}{c^2} = 0$$

با نمایش پارامتری متعارف، اصولاً همه این رویه‌ها را به‌دست می‌دهند:

(الف) $h(u) = a \sinh(u/c)$, $0 < a < c$, $0 < u$. نشان دهید که خم نیمرخ

$\alpha(u) = (g(u), h(u))$ از مبدأ با شیب $a/\sqrt{c^2 - a^2}$ می‌گذرد و تا ارتفاع ماکسیمم

$\sqrt{c^2 - a^2}$ بالا می‌رود. طرح اجمالی رویه دورانی M_a حاصل را به‌ازای مقدار

کوچک پارامتر a ، و به‌ازای مقداری از a که به c نزدیک باشد ترسیم کنید.

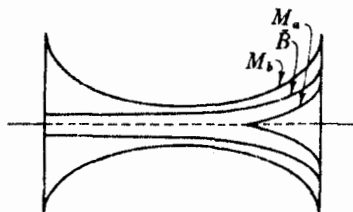
(ب) $h(u) = b \cosh(u/c)$, $b > 0$. نشان دهید که خم نیمرخ α به‌طور متقارن

(به‌ازای $\pm u$) به‌جهت ارتفاع ماکسیمم $\sqrt{c^2 + b^2}$ بالا می‌رود. طرح اجمالی رویه

حاصل M_b را به‌ازای یک مقدار کوچک و یک مقدار بزرگ b ترسیم کنید.

(ج) $h(u) = ce^{u/c}$, $u < 0$. این رویه \bar{B} تصویر آینده‌ای رویه B است که از

$$h(u) = ce^{-u/c}, \quad u > 0$$



شکل ۴۶.۵

به‌دست می‌آید. نشان دهید که B همان رویه

شیبوری است (مثال ۶.۶). رویه \bar{B} چگونه

دو طبقه را از هم جدا می‌کند، یعنی به‌ازای چه

مقادیر a و b رویه‌های M_a و M_b با \bar{B}

مشابهت دارند (شکل ۴۶.۵ را ببینید که در

آن M_a و M_b در طول محور دوران انتقال

یافته‌اند.)

۴. خلاصه

برای هر رویه M در \mathbb{E}^3 ، عملگر شکلی S میزان تغییر قائم یکه U در هر امتداد واقع

بر M را نشان می‌دهد. اگر U را به عنوان «مشتق اول» رویه M تصور کنیم، در این صورت S «مشتق دوم» آن خواهد بود. اما این عملگر شکلی همچنین شیئی است جبری که از عملگرهای خطی روی صفحه‌های مماس M تشکیل یافته است، و بر اساس همین تحلیل جبری S ، ما به اهم تغییرناپذیرهای هندسی يك رویه در \mathbb{E}^3 : امتدادها و خمیدگیهای اصلی، خمیدگیهای گاوسی و متوسط، دست یافتیم.

هندسهٔ رویه‌ها در E^2

پس از شناخت طرز اندازه‌گیری شکل رویهٔ M در E^2 ، باید چگونگی ارتباط آن را با خواص دیگر M بررسی کرد. در مجاورت هر نقطه از M ، خمیدگی گاوسی دارای تأثیر زیادی روی شکل است (تبصره ۳.۳، فصل ۵)، اما در اینجا وضعیت سراسری یعنی همهٔ پهنهٔ رویهٔ M مورد توجه است. مثلاً، دربارهٔ شکل رویهٔ M در صورتی که فشرده، یا هموار، یا هر دو باشد چه می‌توان گفت؟

تقریباً ۱۵۰ سال پیش گاوس سؤالی مطرح کرد که به درک جدیتر و عمیقتری از هندسه انجامید: چه اندازه از هندسهٔ یک رویه در E^2 از شکل آن مستقل است؟ این سؤال در نظر اول عجیب می‌نماید، مثلاً، دربارهٔ یک کسره اگر از گردی آن صرف‌نظر کنیم محتملاً چه می‌توان گفت؟ برای آنکه سررشتهٔ سؤال گاوس به دست آید، فرض کنیم رویهٔ $M \subset E^2$ دارای ساکنینی است که از فضای خارج رویهٔ خود بی‌اطلاع‌اند، و در نتیجه هیچ تصویری از شکل آن در E^2 ندارند. با وجود این، می‌توانند در M دوری از جایی به جایی و مساحت نواحی را اندازه‌گیری کنند. در این فصل و فصل بعد خواهیم دید که آنان در واقع می‌توانند یک «هندسهٔ ذاتی» برای M بسازند، که از هندسهٔ آشنای اقلیدسی صفحهٔ E^2 غنیتر و حداقل به همان اندازه جالب باشد.

۱. معادلات اساسی

برای بررسی هندسهٔ رویهٔ M در E^2 ، روشهای کارتان را که در فصل ۲ مطرح شد به کار

می‌گیریم. برای این منظور، باید همانند نظریهٔ قرنه در بارهٔ يك خم در E^3 ، سه وجهی‌هایی روی M قرار دهیم، و میزان تغییرات آنها را در طول M بررسی کنیم. يك میدان سه‌وجهی اقلیدسی روی $M \subset E^3$ دقیقاً از سه میدان برداری اقلیدسی (تعریف ۷.۳، فصل ۴) که در هر نقطهٔ متعامد یکانی باشند تشکیل می‌شود. برای يك رویه می‌توان به طریق زیر میدان سه‌وجهی مناسبی در نظر گرفت.

۱.۰۱. تعریف. میدان سه‌وجهی برازندهٔ E_1, E_2, E_3 ، روی ناحیهٔ Θ از $M \subset E^3$ عبارت است از يك میدان سه‌وجهی اقلیدسی که در آن E_3 همواره قائم بر M باشد (در نتیجه E_1 و E_2 مماس بر M خواهند بود) (شکل ۱.۶).

بدینسان میدان برداری قائم که در فصل پیش با U نشان داده شد در اینجا به E_3 بدل می‌شود. از لحاظ اختصار، اصطلاح میدان سه‌وجهی برازنده «روی M » را به کار می‌بریم، اما حوزهٔ تعریف آن عموماً ناحیه‌ای از M خواهد بود، زیرا معلوم نیست که يك میدان سه‌وجهی برازنده روی تمام M وجود داشته باشد.

۲.۰۱. لم. يك میدان سه‌وجهی برازنده روی ناحیهٔ Θ از $M \subset E^3$ وجود دارد اگر، و فقط اگر، Θ جهت‌پذیر باشد و روی آن يك میدان برداری مماس وجود داشته باشد که هیچ گاه صفر نشود.

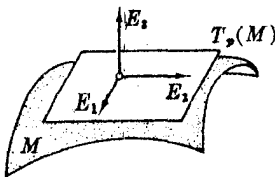
برهان. لزوم این شرط کاملاً روشن است، زیرا Θ به وسیلهٔ E_3 جهت‌دار می‌شود، و E_1 و E_2 میدانهای برداری مماس یک‌ه‌اند. برای اثبات کفایت شرط، بگیریم Θ به وسیلهٔ يك میدان برداری قائم یکهٔ U جهت‌دار شده است، و V میدان برداری مماسی باشد که روی Θ صفر نشود. در این صورت به آسانی می‌توان نشان داد که

$$E_1 = \frac{V}{\|V\|}, \quad E_2 = U \times E_1, \quad E_3 = U$$

روی Θ يك میدان سه‌وجهی برازنده است.

۳.۰۱. مثال. میدانهای سه‌وجهی برازنده.

(۱) استوانهٔ $M: x^2 + y^2 = r^2$ از گرادیان $g = x^2 + y^2 = r^2$ میدان برداری قائم یکهٔ $E_3 = (xU_1 + yU_2)/r$ به دست می‌آید. روشن است که میدان برداری یکهٔ U_3 در هر نقطه بر M مماس است. با قرار دادن $E_3 = U_3 \times E_1$ ، میدان سه‌وجهی برازندهٔ



شکل ۱.۶

$$E_1 = U_3$$

$$E_{\gamma} = \frac{-yU_1 + xU_2}{r}$$

$$E_{\gamma} = \frac{xU_1 + yU_2}{r}$$

روی تمام استوانه M به دست می آید (شکل ۲.۶).
 (۲) کره $r^2 = x^2 + y^2 + z^2$. قائم یکه برون سوی

$$E_{\gamma} = \frac{xU_1 + yU_2 + zU_3}{r}$$

روی همه Σ معین است، اما چنان که در فصل ۷ خواهیم دید هر میدان برداری مماس روی Σ درجایی صفر خواهد شد. مثلاً، میدان برداری «شرق‌نمای» $V = -yU_1 + xU_2$ در قطبهای شمال و جنوب $(0, 0, \pm r)$ صفر است. بدینسان میدان سه‌وجهی برازنده

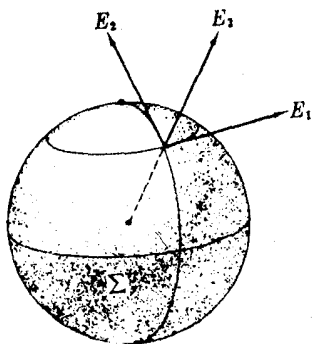
$$E_1 = \frac{V}{\|V\|}$$

$$E_{\gamma} = E_{\gamma} \times E_1$$

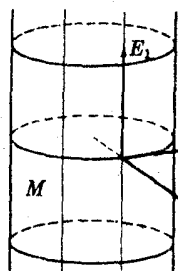
$$E_{\gamma} = \frac{xU_1 + yU_2 + zU_3}{r}$$

روی ناحیه θ که از Σ با حذف قطبهای شمال و جنوب به دست می آید معین است (شکل ۳.۶).

لم ۲.۱ به‌ویژه میباید آن است که روی تصویر $x(D)$ هر قطعه مختصاتی از M ، یک میدان سه‌وجهی برازنده وجود دارد؛ بدینسان روی هر رویه در E^3 به‌طور موضعی چنین میدانهایی وجود خواهند داشت.



شکل ۳.۶



شکل ۲.۶

اکنون در بررسی رویهٔ $M \subset E^3$ ، از معادلات همبندی (قضیهٔ ۲.۷، فصل ۲) استفاده می‌کنیم. گیریم E_1, E_2, E_3 یک میدان سه‌وجهی برازنده روی M باشد. اگر در هر نقطهٔ p ، هر سه‌وجهی $E_1(p), E_2(p), E_3(p)$ را روی فاصلهٔ کوچکی از خط قائم حرکت دهیم، میدان سه‌وجهی مفروض به یک میدان سه‌وجهی که روی یک مجموعهٔ بساز در E^3 معین است، بسط می‌یابد. بدینسان می‌توان معادلات همبندی

$$\nabla_v E_i = \sum \omega_{ij}(v) E_j(p)$$

را به‌کار گرفت. از این معادلات تنها دربارهٔ بردارهای v مماس بر M استفاده خواهیم کرد. به‌ویژه، فرمهای همبندی ω_{ij} به ۱- فرمیهای (روی M به‌مفهوم بند ۴، فصل ۴ تبدیل خواهند شد. بدینسان داریم

۴.۱. قضیه. اگر E_1, E_2, E_3 یک میدان سه‌وجهی برازنده روی $M \subset E^3$ ، و v مماس بر M در p باشد، آنگاه

$$\nabla_v E_i = \sum_{j=1}^3 \omega_{ij}(v) E_j(p) \quad (1 \leq i \leq 3)$$

از این معادلات می‌توان تعبیر متداول فرمهای همبندی را درک کرد. و متضمن تکرار این نکته است که: $\omega_{ij}(v)$ میزان اولیهٔ چرخش E_i به‌طرف E_j در هنگامی که p ددامتداد v حرکت می‌کند، نشان می‌دهد. چون E_3 یک میدان برداری قائم یک‌رک روی M است، می‌توان عملگر شکلی M را برحسب فرمهای همبندی بیان کرد.

۵.۱. فرم. گیریم S عملگر شکلی متناظر به E_1, E_2, E_3 یک میدان سه‌وجهی برازنده روی $M \subset E^3$ باشد. آنگاه به‌ازای هر بردار مماس v بر M در p داریم

$$S(v) = \omega_{13}(v) E_1(p) + \omega_{23}(v) E_2(p).$$

برهان. بنا بر تعریف $S(v) = -\nabla_v E_3$. بدینسان از معادلهٔ همبندی به‌ازای $i=3$ ، و با توجه به آن که فرم همبندی $\omega = (\omega_{ij})$ متقارن چپ، $\omega_{ij} = -\omega_{ji}$ است، نتیجهٔ مطلوب به‌دست می‌آید.

میدان سه‌وجهی برازنده E_1, E_2, E_3 علاوه بر فرمهای همبندی دارای ۱- فرمیهای دوگان $\theta_1, \theta_2, \theta_3$ نیز می‌باشد (تعریف ۱.۸، فصل ۲) که برای هر بردار مماس v_p مختصات $\theta_i(v) = v \cdot E_i(p)$ را نسبت به سه‌وجهی $E_1(p), E_2(p), E_3(p)$ به‌دست می‌دهند. فرمهای دوگان نیز مانند فرمهای همبندی تنها روی بردارهای مماس بر M اثر می‌کنند، و در نتیجه فرمهایی روی M خواهند بود. در این تخصیص θ_3 مستهلک می‌شود، زیرا اگر v مماس بر M باشد، بر E_3 عمود خواهد بود، بنا بر این $\theta_3(v) = v \cdot E_3(p) = 0$. بدینسان روی M فرم θ_3 متحداً صفر است.

چون فرم همبندی دارای تقارن چپ است، به طور اساسی فقط پنج ۱- فرمی خواهیم داشت:

θ_1, θ_2 که معرف دوگان میدانهای برداری مماس E_1, E_2 می باشند.
 ω_{12} که میزان چرخش E_1, E_2 را به دست می دهد.
 ω_{23}, ω_{31} که معرف عملگر شکلی متناظر به E_3 می باشند.

۶.۱. مثال. کره. میدان سه وجهی برانزده E_1, E_2, E_3 را که در مثال ۳.۱ روی کره Σ (با حذف دو قطب) تعریف شد در نظر می گیریم. چون این میدان سه وجهی را به يك مجموعه باز از E^3 بسط دهیم، میدان سه وجهی کردی مسدود در مثال ۲.۶، فصل ۲ به دست می آید، البته باید اندیسهای آن را به صورت زیر

$$1 \rightarrow 3, \quad 2 \rightarrow 1, \quad 3 \rightarrow 2$$

تبدیل کرد. بدینسان، از مثال ۴.۸، فصل ۲، بر حسب توابع مختصات کروی چنین به دست می آید

$$\theta_1 = r \cos \varphi d\vartheta \quad \theta_2 = r d\varphi$$

$$\omega_{12} = \sin \varphi d\vartheta \quad \omega_{13} = -\cos \varphi d\vartheta \quad \omega_{23} = -d\varphi$$

چون همه فرمها (به انضمام توابع) در اینجا به رویه Σ تخصیص یافته اند، تابع مختصات کروی ρ تبدیل به يك ثابت r شده است؛ شعاع کره. به طور کلی فرمهای وابسته به میدان سه وجهی برانزده، از معادلات مهم زیر تبعیت می کنند.

۷.۱. قضیه. اگر E_1, E_2, E_3 يك میدان سه وجهی برانزده روی $M \subset E^3$ باشد، آنگاه فرمهای دوگان آن و فرمهای همبندی روی M در روابط زیر صدق می کنند:

$$\begin{cases} d\theta_1 = \omega_{12} \wedge \theta_2 \\ d\theta_2 = \omega_{21} \wedge \theta_1 \end{cases} \quad (1) \text{ معادلات ساختاری اول}$$

$$\omega_{31} \wedge \theta_1 + \omega_{32} \wedge \theta_2 = 0 \quad (2) \text{ معادله تقارن}$$

$$d\omega_{12} = \omega_{13} \wedge \omega_{23} \quad (3) \text{ معادله گاوس}$$

$$\begin{cases} d\omega_{13} = \omega_{12} \wedge \omega_{23} \\ d\omega_{23} = \omega_{21} \wedge \omega_{13} \end{cases} \quad (4) \text{ معادلات کودازی}$$

برهان. کافی است معادلات ساختاری قضیه ۳.۸، فصل ۲ را به کار بگیریم. معادله ساختاری اول

$$d\theta_i = \sum_j \omega_{ij} \wedge \theta_j$$

معادلات (۱) و (۲) را به دست می‌دهد. در واقع، چون روی رویه M داریم $\theta_3 = 0$ ، به ازای ۱، ۲ روابط (۱) به دست می‌آید. چون $\theta_3 = 0$ پس $d\theta_3 = 0$ در نتیجه به ازای $i=3$ رابطه (۲) حاصل می‌شود.

آنگاه از معادله ساختاری دوم، معادلات گاوس (۳) و کودازی (۴) حاصل می‌شوند. ■

چون فرمهای همبندی دارای تقارن چپ‌اند، و ضرب \wedge فرمها در $\psi \wedge \phi = -\phi \wedge \psi$ صدق می‌کند، معادلات اساسی بالا را می‌توان به صورت‌های گوناگون هم‌ارز نوشت. اما ما همان صورت اندیسی مذکور در بالا را به کار خواهیم برد، زیرا روی هم رفته می‌توان آنها را آسانتر به خاطر سپرد.

باید توجه داشت که فرمهای مذکور در این بند مستقیماً رویه M را تشریح نمی‌کنند، بلکه تنها نمایانگر وضعیت میدان سه‌وجهی برانزده و ویژه E_1, E_2, E_3 مربوطه می‌باشند؛ با انتخاب يك میدان سه‌وجهی دیگر، فرمهای متفاوتی حاصل می‌شود. با وجود این، شش معادله اساسی قضیه ۷.۱ شامل اطلاعات بسیار زیادی درباره رویه $M \subset E^3$ می‌باشند، و ما در موارد مقتضی هر يك از آنها را به نوبه خود مورد توجه قرار خواهیم داد. مثلاً، چون ω_{13} و ω_{23} معرف عملگرشکلی M می‌باشند، معادلات کودازی (۴) میزان تغییرشکلی M از نقطه‌ای به نقطه دیگر را بیان می‌کنند.

تمرین اول از تمرینات زیر نشان می‌دهد که چگونه روش کارتان خود بدخود سه‌نوع خمی را که در فصل ۵، بند ۵ در نظر گرفتیم از یکدیگر متمایز می‌سازد.

تمرینات

۰۱. گیریم α خمی با تندی واحد در $M \subset E^3$ باشد. اگر میدان سه‌وجهی برانزده E_1, E_2, E_3 را طوری انتخاب کنیم که تخصیص E_1 به α همان مماس یکه T باشد، نشان دهید که

$$\begin{aligned} \text{(الف)} \quad \alpha \text{ يك ژئودزیک } M \text{ است اگر، و فقط اگر، } \omega_{12}(T) = 0 \\ \text{(ب) اگر } E_3 = E_1 \times E_2, \text{ آنگاه} \end{aligned}$$

$$g = \omega_{12}(T), \quad k = \omega_{13}(T), \quad t = \omega_{23}(T)$$

توابع g, k, t در تمرین ۷، فصل ۵، بند ۵ تعریف شده‌اند. (داهنمایی: اگر در طول α ، $T = E_1$ ، آنگاه در طول α داریم $E'_i = \nabla_{E_1} E_i$.)

۰۲. (کوه). درباره میدان سه‌وجهی مثال ۶.۱:

(الف) معادلات اساسی (قضیه ۷.۱) را تحقیق کنید.

(ب) از فرمولهای θ_1 و θ_2 نتیجه بگیرید که

$$E_{\perp}[\vartheta] = \frac{1}{r \cos \varphi} \quad E_{\perp}[\varphi] = 0$$

$$E_{\parallel}[\vartheta] = 0 \quad E_{\parallel}[\varphi] = \frac{1}{r}$$

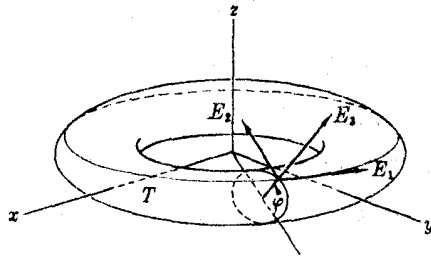
(ج) S ، عملگر شکلی کره را با استفاده از فرع ۵.۱ بیابید.

۳. (چنبره). گیریم E_1, E_2, E_3 میدان سه وجهی برازنده روی چنبره $(R > r)T$ است، به طوری که E_2 مماس بر نصف النهارات و E_1 مماس بر مدارات باشد (شکل ۴.۶). با استفاده از میدان سه وجهی چنبره ای در E^3 نشان دهید که

$$\theta_1 = (R + r \cos \varphi) d\vartheta, \quad \theta_2 = r d\varphi, \quad \omega_{12} = \sin \varphi d\vartheta,$$

$$\omega_{13} = -\cos \varphi d\vartheta, \quad \omega_{23} = -d\varphi$$

معادلات اساسی را برای این فرمها بررسی کنید.



شکل ۴.۶

۴. (ادامه). $S(E_1)$ و $S(E_2)$ را به ازای میدان سه وجهی بالا با روشهای این بند محاسبه کنید. نتیجه بگیرد که نصف النهارات و مدارات خمهای اصلی اند، و توابع خمیدگی اصلی را بیابید. (با مثال ۴.۶، فصل ۵، که در آن قائم یک «درون سوی» است مقایسه کنید.)

۵. با استفاده از میدان سه وجهی استوانه ای در E^3 (مثال ۴.۶، فصل ۲) عملگر شکلی استوانه $r^2 = x^2 + y^2 = M$ را محاسبه کنید.

۶. با استفاده از مادله تقارن (قضیه ۷.۱) برهان جدیدی برای متقارن بودن عملگرهای شکلی بیابید.

۲. محاسبات فرمی

از اینجا به بعد، هندسه رویهها را عمدتاً برحسب فرمهای دیفرانسیلی بررسی خواهیم کرد،

از این‌رو بهتر است خواننده خواص عمومی آنها را در بندهای ۴ و ۵ فصل ۴ مرور کند. همواره می‌خواهیم رویه M را با صفحهٔ اقلیدسی E^2 مقایسه کنیم. بدینسان اگر E_1, E_2 ، E_3 یک میدان سه‌وجهی بر ازنده روی $M \subset E^3$ باشد، گوییم E_1, E_2, E_3 یک میدان سه‌وجهی مماس روی M تشکیل می‌دهند. هر میدان برداری مماس V روی M را می‌توان بر حسب E_1 و E_2 با استفاده از بسط متعامد یکانی:

$$V = V \cdot E_1 E_2 + V \cdot E_2 E_3$$

بیان کرد. برای آنکه تساوی دو فرم را ثابت کنیم، لزومی ندارد که مقدار آنها را روی همهٔ بردارهای مماس بررسی کنیم، بلکه کافی است این بررسی فقط روی میدانهای برداری «پایه‌ای» E_1, E_2 انجام گیرد (تبصره‌های پیش از مثال ۷.۴، فصل ۴ را ببینید). به‌عنوان توضیح: ۱- فرمهای ϕ و ψ را برابر گویند اگر، و فقط اگر،

$$\phi(E_1) = \psi(E_1) \quad \text{و} \quad \phi(E_2) = \psi(E_2)$$

۲- فرمهای μ و ν را برابر گویند اگر، و فقط اگر،

$$\mu(E_1, E_2) = \nu(E_1, E_2)$$

همان‌طور که تأکید شد، فرمهای دوگان θ_1, θ_2 فقط توصیف دیگری از میدان سه‌وجهی مماس E_1, E_2 می‌باشند، و کاملاً با معادلات زیر مشخص می‌شوند

$$\theta_i(E_j) = \delta_{ij} \quad (1 \leq i, j \leq 2)$$

این فرمها برای فرمهای روی M (یا به بیان دقیقتر، روی حوزهٔ تعریف E_1, E_2) یک «پایه» فراهم می‌سازد.

۱۰.۴. لم. (فرمولهای پایه‌ای) گیریم θ_1, θ_2 ۱- فرمهای دوگان E_1, E_2 روی M باشند. اگر ϕ یک ۱- فرمی و μ یک ۲- فرمی باشد، آنگاه

$$\phi = \phi(E_1)\theta_1 + \phi(E_2)\theta_2 \quad (1)$$

$$\mu = \mu(E_1, E_2)\theta_1 \wedge \theta_2 \quad (2)$$

برهان. با استفاده از ملاک تساوی، و توجه به تعریف ضرب گروه‌ای در رابطه (۲) داریم

$$(\theta_1 \wedge \theta_2)(E_1, E_2) = \theta_1(E_1)\theta_2(E_2) - \theta_1(E_2)\theta_2(E_1)$$

$$= 1 \cdot 1 - 0 \cdot 0 = 1$$

با در نظر گرفتن اینکه فرمهای $\theta_1, \theta_2, \omega_{13}, \omega_{23}$ به همان طریق بند ۱، از میدان سه‌وجهی بر ازندهٔ E_1, E_2, E_3 روی ناحیه‌ای از M به دست می‌آیند، به بررسی برخی از مفاهیم مذکور در فصل ۵ می‌پردازیم تا ببینیم هنگامی که بر حسب فرمها بیان می‌شوند

به چه صورتی درمی آیند. مطلب را با بیانی نظیر لم ۴.۳ فصل ۵ آغاز می کنیم.

۴.۲. لم.

$$\omega_{13} \wedge \omega_{23} = K \theta_1 \wedge \theta_2 \quad (1)$$

$$\omega_{13} \wedge \theta_2 + \theta_1 \wedge \omega_{23} = 2H \theta_1 \wedge \theta_2 \quad (2)$$

برهان. با به کار بردن تعاریف $\text{tra } S, K = \det S$ ، ماتریس S را نسبت به E_1 و E_2 به دست می آوریم. مانند فرع ۵.۱ از معادلات همبندی داریم

$$S(E_1) = -\nabla_{E_1} E_3 = -\omega_{31}(E_1)E_1 - \omega_{32}(E_1)E_2$$

$$S(E_2) = -\nabla_{E_2} E_3 = -\omega_{31}(E_2)E_1 - \omega_{32}(E_2)E_2$$

بدینسان ماتریس S چنین خواهد بود

$$\begin{pmatrix} \omega_{13}(E_1) & \omega_{23}(E_1) \\ \omega_{13}(E_2) & \omega_{23}(E_2) \end{pmatrix}$$

اکنون بنا بر فرمول دوم لم ۱.۲، باید نشان دهیم که

$$(\omega_{13} \wedge \omega_{23})(E_1, E_2) = k \quad \text{و} \quad (\omega_{13} \wedge \theta_2 + \theta_1 \wedge \omega_{23})(E_1, E_2) = 2H$$

اما

$$\begin{aligned} (\omega_{13} \wedge \omega_{23})(E_1, E_2) &= \omega_{13}(E_1)\omega_{23}(E_2) - \omega_{13}(E_2)\omega_{23}(E_1) \\ &= \det S = K \end{aligned}$$

و با محاسبه مشابهی فرمول اثر نیز اثبات می شود.

از مقایسه فرمول اول بالا با معادله گاوس (۳) در قضیه ۷.۱ خواهیم داشت

$$d\omega_{12} = -K \theta_1 \wedge \theta_2 \quad \text{فرع ۳.۲}$$

این معادله را معادله ساختاری دوم می نامیم، و از آن تعبیر جدیدی برای خمیدگی گاوسی استنتاج می کنیم: ω_{12} نمایشگر میزان دوران میدان سه وجهی مماس E_1, E_2 است، و چون K مشتق خارجی $d\omega_{12}$ را معین می کند، نوعی «مشتق خارجی» E_1, E_2 خواهد بود. مثلاً روی کره Σ به شعاع r ، از فرمولهای مثال ۶.۱ داریم:

$$\theta_1 \wedge \theta_2 = r^2 \cos \varphi \, d\vartheta \, d\varphi = -r^2 \cos \varphi \, d\varphi \, d\vartheta$$

۱. چنان که خواهیم دید این معادله برای رویه M نظیر معادله ساختاری دوم (قضیه ۳.۸، فصل ۲) برای E^2 است.

اما

$$d\omega_{12} = d(\sin \varphi d\vartheta) = d(\sin \varphi) \wedge d\vartheta = \cos \varphi d\varphi d\vartheta$$

بدینسان از معادله ساختاری دوم همان نتیجه‌ای که انتظار می‌رفت، حاصل $K = 1/r^2$ ، حاصل می‌شود.

این بیان جدید خمیدگی را می‌توان به صورت دیفرانسیل نیز نوشت.

$$K = E_2[\omega_{12}(E_1)] - E_1[\omega_{12}(E_2)] - \omega_{12}(E_1)^2 - \omega_{12}(E_2)^2 \quad \text{فرع ۴.۲}$$

برهان. بنا بر لم ۱.۲، داریم:

$$\omega_{12} = f_1 \theta_1 + f_2 \theta_2$$

که در آن

$$f_i = \omega_{12}(E_i) \quad i = 1, 2 \quad \text{به‌ازای}$$

آنگاه

$$\begin{aligned} d\omega_{12} &= df_1 \wedge \theta_1 + df_2 \wedge \theta_2 + f_1 d\theta_1 + f_2 d\theta_2 \\ &= df_1 \wedge \theta_1 + df_2 \wedge \theta_2 + f_1 \omega_{12} \wedge \theta_2 + f_2 \omega_{21} \wedge \theta_1 \end{aligned}$$

که در آن از معادله ساختاری اول (قضیه ۷.۱) استفاده کرده‌ایم. اکنون این فرمول را برای E_1, E_2 به‌کار می‌گیریم. چون $\theta_i(E_j) = \delta_{ij}$ بنا بر این:

$$d\omega_{12}(E_1, E_2) = -df_1(E_2) + df_2(E_1) + f_1 \omega_{12}(E_1) - f_2 \omega_{21}(E_2)$$

و با استفاده از فرع پیش داریم

$$-K = -E_2[f_1] + E_1[f_2] + f_1 \omega_{12}(E_1) + f_2 \omega_{21}(E_2)$$

که با توجه به تعریف f_1 و f_2 ، همان نتیجه مطلوب است.

مثلاً، از مثال ۶.۱ با محاسبه‌ای ساده به‌دست می‌آید

$$\omega_{12}(E_1) = \frac{1}{r} \tan \varphi \quad \text{و} \quad \omega_{12}(E_2) = 0$$

بدینسان برای کره، از فرمول بالا خواهیم داشت:

$$K = E_2 \left[\frac{1}{r} \tan \varphi \right] - \left(\frac{1}{r} \tan \varphi \right)^2 = \frac{\sec^2 \varphi - \tan^2 \varphi}{r^2} = \frac{1}{r^2}$$

زیرا بنا بر تمرین ۲، بند ۱ داریم

$$E_2[\tan \varphi] = \sec^2 \varphi E_2[\varphi] = \frac{\sec^2 \varphi}{r}$$

در بند ۱ تأکید کردیم که، به طور کلی از میدانهای سهوجهی برانزده روی $M \subset E^3$ تنها اطلاعات غیرمستقیمی درباره M به دست می آید. اگر یک چنین میدان سهوجهی وجود داشته باشد که اطلاعات هندسی مستقیمی به دست دهد، باید به روشی طبیعی برهندسه خود M مبتنی باشد، چنان که در حالت خمها میدان سهوجهی فرنه چنین بود. برای انجام این کار روشی موجود است:

۵.۲. تعریف. یک میدان سهوجهی اصلی روی $M \subset E^3$ عبارت است از میدان سهوجهی برانزده E_1, E_2, E_3 به طوری که در هر نقطه، E_1 و E_2 بردارهای اصلی M باشند.

مادامی که حوزه تعریف شامل نقطه نافی نباشد، میدان سهوجهی اصلی به طور یکتا، صرف نظر از تغییر علامتها، در هر نقطه با دو امتداد اصلی معین می شود. گاهی این امکان وجود دارد که یک میدان سهوجهی اصلی روی تمام رویه به دست آورد. مثلاً، روی یک رویه دورانی، می توان E_1 را مماس بر نصف النهارات، و E_2 را مماس بر مدارات گرفت. اما به طور کلی آنچه می توان انجام داد از این قرار است:

۶.۲. تم. اگر p نقطه ای غیر نافی از $M \subset E^3$ باشد، آنگاه یک میدان سهوجهی اصلی روی یک همسایگی p در M وجود دارد.

برهان. گیریم F_1, F_2, F_3 یک میدان سهوجهی برانزده دلخواه روی یک همسایگی \mathcal{H} از p باشد. چون p نافی نیست، می توان فرض کرد (در صورت لزوم با دوران F_1, F_2) که $F_1(p)$ و $F_2(p)$ در نقطه p بردارهای اصلی نیستند. بنا بر فرض $k_1(p) \neq k_2(p)$ از این رو با توجه به پیوستگی، k_1 و k_2 در مجاورت p همچنان متمایز باقی می مانند. بدینسان در یک همسایگی \mathcal{H} از p که به قدر کافی کوچک باشد، همه این شرایط به سه قوت خود باقی هستند.

گیریم (S_{ij}) ماتریس S نسبت به F_1, F_2 باشد. اما محاسبه بردارهای خاص S ، یعنی بردارهای اصلی M — و تماماً در همه نقاط \mathcal{H} — یک مسأله عادی از جبر خطی است. در واقع، میدانهای برداری مماس

$$V_1 = S_{12}F_1 + (k_1 - S_{11})F_2$$

$$V_2 = (k_2 - S_{22})F_1 + S_{12}F_2$$

در هر نقطه بردارهای خاص S را به دست می دهند (اگر کسی نخواهد از جبر خطی استفاده کند، می تواند این مطلب را از راه محاسبه مستقیم تحقیق کند). علاوه بر این، تابع $S_{12} = S(F_1) \cdot F_2$ هیچ گاه روی همسایگی انتخاب شده \mathcal{H} صفر نیست، بنا بر این $\|V_1\|$ و $\|V_2\|$ نیز هیچ گاه صفر نخواهند بود. بدینسان میدانهای برداری

$$E_1 = \frac{V_1}{\|V_1\|} \quad E_2 = \frac{V_2}{\|V_2\|}$$

فقط از بردارهای اصلی تشکیل می‌شوند، و $E_1, E_2, E_3 = F_3$ يك میدان سه‌وجهی اصلی روی \mathcal{H} خواهد بود.

اگر E_1, E_2, E_3 يك میدان سه‌وجهی اصلی روی M باشد، آنگاه میدانهای برداری E_1 و E_2 از بردارهای خاص عملگرشکلی متناظر به E_3 تشکیل یافته‌اند. بدینسان می‌توان اندیس توابع خمیدگی اصلی را طوری انتخاب کرد که $S(E_1) = k_1 E_1$ و $S(E_2) = k_2 E_2$. آنگاه از مقایسه با فرع ۵.۱ حاصل می‌شود:

$$\omega_{12}(E_1) = k_1 \quad \omega_{12}(E_2) = 0$$

$$\omega_{23}(E_1) = 0 \quad \omega_{23}(E_2) = k_2$$

بدینسان از فرمول پایهای (۱) در لم ۱.۲ چنین به دست می‌آید

$$\omega_{13} = k_1 \theta_1 \quad \omega_{23} = k_2 \theta_2 \quad (*)$$

از اینجا بیان جالبی برای معادلات کودازی حاصل می‌شود.

۷.۲ قضیه. اگر E_1, E_2, E_3 يك میدان سه‌وجهی اصلی روی $M \subset E^3$ باشد، آنگاه

$$E_1[k_2] = (k_1 - k_2)\omega_{12}(E_2)$$

$$E_2[k_1] = (k_1 - k_2)\omega_{12}(E_1)$$

برهان. معادلات کودازی (قضیه ۷.۱) عبارت‌اند از

$$d\omega_{13} = \omega_{12} \wedge \omega_{23} \quad d\omega_{23} = \omega_{21} \wedge \omega_{13}$$

اثبات این قضیه تمرینی است از محاسبه فرمها که در فصل ۴، بند ۴ مورد بحث قرار گرفت. چون در معادله اول، (*) را قرار دهیم، خواهیم داشت

$$d(k_1 \theta_1) = \omega_{12} \wedge k_2 \theta_2$$

از آنجا

$$dk_1 \wedge \theta_1 + k_1 d\theta_1 = k_2 \omega_{12} \wedge \theta_2$$

با قراردادن معادله ساختاری $d\theta_1 = \omega_{12} \wedge \theta_2$ ، خواهیم داشت

$$dk_1 \wedge \theta_1 = (k_2 - k_1)\omega_{12} \wedge \theta_2$$

اکنون این ۲-فرمها را به زوج میدانهای برداری E_1, E_2 اعمال می‌کنیم و در نتیجه

$$0 = dk_1(E_2) = (k_2 - k_1)\omega_{12}(E_1) = 0$$

بنابراین

$$E_2[k_1] = dk_1(E_2) = (k_2 - k_1)\omega_{12}(E_1)$$

معادله مطلوب دیگر نیز به همین طریق از معادله کودازی $d\omega_{23} = \omega_{21} \wedge \omega_{13}$ حاصل

می‌شود.

باید توجه داشت که $\omega_{\nu}(\mathbf{v})$ برای يك میدان سه وجهی اصلی مبین چگونگی تغییر امتدادهای اصلی در امتداد \mathbf{v} می باشد.

تمرینات

۰۱. معادلات کودازی (قضیه ۷.۲) را درباره میدان سه وجهی اصلی روی چنبره تمرین ۳، بند ۱ تحقیق کنید. (داهنمایی)

$$V\left[\frac{f}{g}\right] = \frac{gV[f] - fV[g]}{g^2}$$

مشتهای v و φ نسبت به E_1 و E_2 را می توان از فرمولهای θ_1 و θ_2 در همان تمرین به دست آورد.

۰۲. اگر E_1, E_2, E_3 يك میدان سه وجهی بر ازنده روی M باشد، و $E_1 \cdot E_2 \times E_3 = 1$ ، قرار می دهیم

$$h_i(\mathbf{p}) = \mathbf{p} \cdot E_i(\mathbf{p}) \quad i = 1, 2, 3$$

به ازای $i = 1, 2, 3$

به ویژه، h_3 همان تابع محلی h رویه M است که در صفحه ۲۴۵ تعریف شد. نشان دهید که

$$dh_1 = \theta_1 + \omega_{12}h_2 + \omega_{13}h_3$$

$$dh_2 = \theta_2 + \omega_{21}h_1 + \omega_{23}h_3$$

(داهنمایی: به بیان دقیق داریم $h_i = X \cdot E_i$ ، که در آن X میدان برداری قابل توجهی است که در رابطه $\nabla_{\nu} X = V$ صدق می کند، و در صفحه ۲۴۵ نیز به کار رفت.)

برای محاسبه مشتهای خارجی ۱- فرمینها بر حسب يك میدان سه وجهی بر ازنده يك قاعده ساده وجود دارد: فرم را بر حسب θ_1 و θ_2 (یا شاید ω_{ij}) بیان می کنیم، آنگاه d را اعمال، و از معادلات اساسی استفاده می کنیم. برهان قضیه ۷.۲ مثالی در این مورد است، ذیلاً مثال دیگری نیز می آوریم.

۰۳ (ادامه)

(الف) اگر ۱- فرمی ψ طوری باشد که داشته باشیم $\psi(\mathbf{v}) = \mathbf{p} \cdot \mathbf{v} \times E_3(\mathbf{p})$ ، نشان دهید که

$$d\psi = 2(1 + hH)\theta_1 \wedge \theta_2$$

که در آن h تابع محلی است.

(ب) اگر ۱- فرمی ζ طوری باشد که داشته باشیم $\zeta(\mathbf{v}) = \psi(S(\mathbf{v}))$ نشان دهید که

$$d\zeta = 2(H + hK)\theta_1 \wedge \theta_2$$

(داهنمایی: $\psi = h_1\theta_2 - h_2\theta_1$ ، و ζ نیز دارای عبارت مشابهی است.)

۳. چند قضیه کلی

همواره خاطر نشان کرده‌ایم که عملگر شکلی S برای رویه M نظیر خمیدگی و تاب یک خم در E^3 است. فرضهای ساده‌ای درباره k و τ چند نوع خم ویژه و مهم را مشخص می‌کنند. اکنون باید دید که در حالت رویه‌ها چه نتایجی از S می‌توان گرفت. (توجه شود که منحصرأ با رویه‌های همبند سروکار داریم.)

۱.۳. قضیه. اگر عملگر شکلی متحدأ صفر باشد، آنگاه M (بخشی از) یک صفحه در E^3 است.

برهان. طرح اثبات این قضیه نظیر اثبات فرع ۵.۳ فصل ۲ است. بنا بر تعریف عملگر شکلی، رابطه $S = 0$ بدان معنی است که هر میدان برداری قائم‌بکته E_p روی M دارای توازی اقلیدسی است، بنا بر این می‌توان آن را با نقطه‌ای از E^3 متحد گرفت. یک نقطه p از M را در نظر می‌گیریم. نشان خواهیم داد که M در صفحه‌ی ما بر p و عمود بر E_p واقع است. اگر نقطه دلخواهی از M باشد، چون M همبند است، در آن یک خم α از p به q وجود خواهد داشت. تابع زیر را در نظر می‌گیریم:

$$f(t) = (\alpha(t) - p) \cdot E_p$$

از آنجا

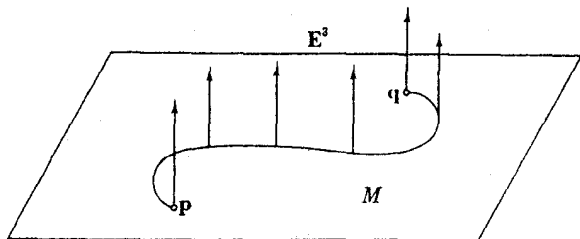
$$\frac{df}{dt} = \alpha' \cdot E_p = 0 \quad \text{و} \quad f(0) = 0$$

از این رو f متحدأ صفر است. به ویژه

$$f(1) = (q - p) \cdot E_p = 0$$

بنا بر این هر نقطه q از M در صفحه‌ی مزبور واقع است (شکل ۵.۶).

در فصل ۵، بند ۳ دیدیم که قید هسامنی بودن تنها یک نقطه p از $M \subset E^3$ ($k_1 = k_2 = 0$)، یا هم ارز با آن ($S = 0$)، تأثیر چندانی بر شکل M در مجاورت p ندارد.



شکل ۵.۶

اما نتیجه بالا نشان می‌دهد که اگر هر نقطه هامنی باشد، آنگاه M واقعاً بخشی از يك صفحه است.

شاید ساده‌ترین فرض دیگر دربارهٔ يك رویهٔ M در E^3 آن است که در هر نقطهٔ p ، عملگر شکلی تنها از ضرب اسکالری در يك عدد، که از پیش می‌تواند به p بستگی داشته باشد، تشکیل شود. این بدان معنی است که M کلاً نافی است، یعنی تماماً از نقاط نسافی تشکیل شده است.

۲.۲.۳. اگر $M \subset E^3$ کلاً نافی باشد، آنگاه خمیدگی گاوسی ثابت دارد و $K \geq 0$.

برهان. گیریم E_1, E_2, E_3 يك میدان سه وجهی بر ازنده روی θ ناحیه‌ای از M باشد. چون M کلاً نافی است، توابع خمیدگی اصلی روی θ برابرند، $k_1 = k_2 = k$ ، علاوه بر این E_1, E_2, E_3 در واقع يك میدان سه وجهی اصلی خواهد بود (زیسرا روی M هر امتداد، اصلی است). بدینسان می‌توان با استفاده از قضیهٔ ۷.۲ نتیجه گرفت که

$$dk(E_1) = dk(E_2) = 0$$

و بنا بر لم ۱۰.۲، روی θ داریم $dk = 0$. اما $K = k_1 k_2 = k^2$ ، بنابراین روی θ خواهیم داشت $dk = 2k dk = 0$. چون هر نقطه از رویهٔ M در يك چنین ناحیهٔ θ واقع است، نتیجه می‌گیریم که روی تمام M داریم $dk = 0$. از تمرینی که قبلاً بررسی شده است نتیجه می‌شود که K ثابت است.

۳.۳. قضیه. اگر $M \subset E^3$ کلاً نافی باشد و $K > 0$ ، آنگاه M بخشی از يك کره در E^3 به شعاع $1/\sqrt{K}$ خواهد بود.

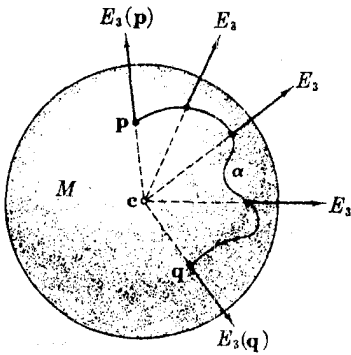
برهان. (این بار طرح اثبات، نظیر اثبات لم ۶.۳، فصل ۲ است.) به تصادف يك نقطهٔ p از M و يك بردار قائم یکهٔ $E_p(p)$ بر M در p انتخاب می‌کنیم. اکنون ثابت خواهیم کرد که نقطهٔ

$$c = p + \frac{1}{k(p)} E_p(p)$$

از هر نقطهٔ متعلق به M به يك فاصله است. در اینجا $k(p) = k_1(p) = k_2(p)$ خمیدگی اصلی متناظر به $E_p(p)$ است.)

اکنون گیریم q نقطهٔ دلخواهی از M ، و α قطعهٔ خمی در M از $\alpha(0) = p$ به $\alpha(1) = q$ باشد. $E_p(p)$ را به يك میدان برداری قائم یکهٔ E_p روی α به همان گونه که در شکل ۶.۶ دیده می‌شود تعمیم می‌دهیم، و خم

$$\gamma = \alpha + \frac{1}{k} E_p$$



شکل ۶.۶

را در E^3 در نظری می‌گیریم.

در اینجا منظور از k ، تابع خمیدگی اصلی متناظر به E_3 می‌باشد، بدینسان k پیوسته است. اما $K = k^2$ و بنابراین لم پیش K ثابت است، و در نتیجه k نیز ثابت می‌باشد. بدینسان

$$\gamma' = \alpha' + \frac{1}{k} E_3'$$

اما

$$E_3' = -S(\alpha') = -k\alpha'$$

S عبارت است از ضرب اسکالری در k ، زیرا بنا بر فرض M کلا "نافی" است. بدینسان

$$\gamma' = \alpha' + \frac{1}{k}(-k\alpha') = 0$$

و خم γ باید ثابت باشد. به‌ویژه

$$c = \gamma(0) = \gamma(1) = q + \frac{1}{k} E_3(q)$$

بنابراین به‌ازای هر نقطه q از M داریم $d(c, q) = 1/|k|$. بدینسان چون $1/\sqrt{K} = 1/k$ ، $K = k^2$ ، ثابت می‌شود که M بخشی از کره‌ای به مرکز c و به شعاع $1/\sqrt{K}$ می‌باشد.

با استفاده از هر سه نتیجه بالا، چنین نتیجه می‌شود که دوپه M در E^3 کلا "نافی" است اگر، فقط اگر، M بخشی از یک صفحه یا یک کره باشد.

۴.۳. فرع. یک رویه کلا "نافی" فشرده M در E^3 ، یک کره درست است.

برهان. با توجه به آنچه گذشت، از قضیه ۶.۷، فصل ۴ نتیجه می‌شود که M باید یک صفحه یا کره درست باشد. حالت اول غیرممکن است، زیرا M بنا بر فرض فشرده است، اما صفحه فشرده نیست.

در نتایج پیش، از خمیدگی گاوسی بیشتر از آن جهت استفاده شد که این خمیدگی روی همه M به‌خوبی معین و دیفرانسیل‌پذیر است، و بدینسان کار با آن از کار با خمیدگیهای اصلی آسانتر است.

اکنون به بررسی جدیدتری در مورد خمیدگی گاوسی K از رویه $M \subset E^3$ می‌پردازیم.

۵.۴. قضیه. روی هر رویه فشرده M در E^3 ، نقطه‌ای وجود دارد که در آن، خمیدگی گاوسی K اکیداً مثبت است.

برهان. تابع با مقدار حقیقی f روی M با ضابطه $f(\mathbf{p}) = \|\mathbf{p}\|^2$ را در نظر می‌گیریم. بدینسان بر حسب مختصات طبیعی E^3 ، داریم $f = \sum x_i^2$. f دیرانسیبلپذیر و در نتیجه پیوسته است، و M فشرده می‌باشد. از این رو بنا برلم ۳.۷، فصل ۴، f در یک نقطه \mathbf{m} از M دارای ماکسیمم است. از آنجا که f مربع مسافت از مبدأ را نشان می‌دهد، \mathbf{m} به‌طور ساده نقطه‌ای از M خواهد بود که دارای مسافت ماکسیمم $r = \|\mathbf{m}\| > 0$ از مبدأ است. به‌وضوح دیده می‌شود که M در \mathbf{p} بر کره Σ به‌شعاع r مماس است، و M در داخل Σ قرار دارد، بنابراین از Σ خمیده‌تر است (شکل ۷.۶). بدینسان می‌توان انتظار داشت که $K(\mathbf{m}) \geq 1/r^2 > 0$ اکتون به‌اثبات این نامساوی می‌پردازیم.

به‌ازای هر بردار مماس \mathbf{u} یک \mathbf{u} بر M در نقطه ماکسیمم \mathbf{m} ، خمی باتندی واحد α در M طوری در نظر می‌گیریم که $\alpha(0) = \mathbf{m}$ ، $\alpha'(0) = \mathbf{u}$. با مشتق‌گیری از \mathbf{m} نتیجه می‌شود که تابع مرکب $f(\alpha)$ در $t=0$ دارای ماکسیمم است. بدینسان

$$\frac{d}{dt}(f\alpha)(0) = 0, \quad \frac{d^2}{dt^2}(f\alpha)(0) \leq 0 \quad (1)$$

اما $f(\alpha) = \alpha \cdot \alpha$ ، بنابراین $(d/dt)(f\alpha) = 2\alpha \cdot \alpha'$. به ازای $t=0$ خواهیم داشت

$$0 = \frac{d(f\alpha)}{dt}(0) = 2\alpha(0) \cdot \alpha'(0) = 2\mathbf{m} \cdot \mathbf{u}$$

چون \mathbf{u} یک بردار مماس یک \mathbf{u} دلخواه بر M در \mathbf{m} است، این رابطه بدان معنی است که \mathbf{m} (به عنوان یک بردار) قائم بر M در \mathbf{m} است.

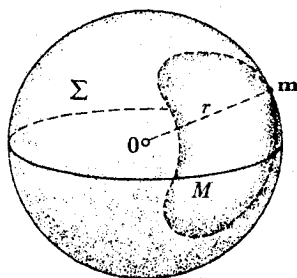
چون بار دیگر مشتق بگیریم، خواهیم داشت

$$\frac{d^2(f\alpha)}{dt^2} = 2\alpha' \cdot \alpha' + 2\alpha \cdot \alpha''$$

از اینجا در $t=0$ بنا بر (۱) داریم

$$\begin{aligned} 0 &\geq \mathbf{u} \cdot \mathbf{u} + \mathbf{m} \cdot \alpha''(0) \\ &= 1 + \mathbf{m} \cdot \alpha''(0) \end{aligned} \quad (2)$$

از بحث بالا نتیجه می‌شود که می‌توان \mathbf{m}/r را به‌عنوان یک بردار قائم یک \mathbf{u} بر M در \mathbf{m} در نظر گرفت، چنان که در شکل ۸.۶ نشان داده شده است. بدینسان $\mathbf{m}/r \cdot \alpha''$ دقیقاً



شکل ۷.۶

همان $k(u)$ خمیدگی قائم رویه M در امتداد u است، و از (۲) نتیجه می‌شود که $k(u) \leq -1/r$. به‌ویژه هر دو خمیدگی اصلی در این نامساوی صدق می‌کنند، از این رو

$$K(m) \geq \frac{1}{r^2} > 0$$

بدینسان در E^3 هیچ رویه فشرده‌ای با $K \leq 0$ وجود ندارد.

با حفظ فرض فشرده‌گی، به بررسی تأثیر قید خمیدگی گاوسی ثابت می‌پردازیم. قضیه ۵.۳ نشان می‌دهد که تنها حالت ممکن عبارت است از $K > 0$. کسره، مثال روشنی از رویه‌های فشرده در E^3 با خمیدگی گاوسی ثابت مثبت است. یکی از مهمترین نکات نظریه رویه‌ها اثبات این حقیقت است که تنها کره چنین رویه‌ای است. برای اثبات این مطلب به مقدمه نسبتاً عمیقتری نیاز داریم.

۶.۳. لم. (هیلبرت). گیریم m نقطه‌ای از رویه $M \subset E^3$ باشد، به طوری که

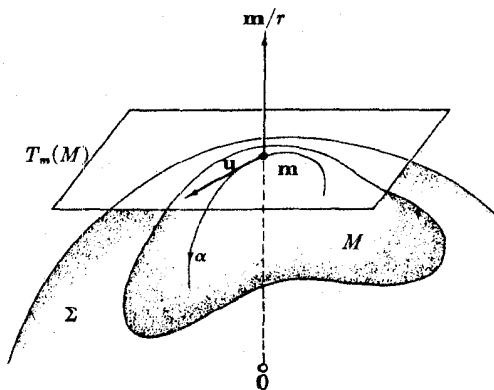
(۱) k_1 دارای يك ماكسيمم موضعی در m باشد.

(۲) k_2 دارای يك مينيمم موضعی در m باشد.

(۳) $k_1(m) > k_2(m)$

آنگاه $K(m) \leq 0$

بدعنوان مثال، به آسانی می‌توان دید که این فرضها در هر نقطه از استوای داخلی چنبره و همچنین دایره مینیمال ($x=0$) کاتنوئید برقرارند، و K در هر دو مثال منفی است. برای آنکه فرضهای (۱) و (۲) را به صورتی قابل استفاده در برهان زیر در آوریم، به یادآوری چند نکته از ما کسیمم و مینیمم می‌پردازیم. اگر f تابعی (دیفرانسیبلپذیر) روی يك رویه M و V يك میدان برداری معاس باشد، آنگاه مشتق اول $V[f]$ نیز تابعی روی



شکل ۸.۶

M خواهد بود. بدینسان می توان با اعمال مجدد V مشتق دوم $V[V[f]] = VV[f]$ را به دست آورد. محاسبه ساده ای نشان می دهد که اگر f در نقطه m دارای ماکسیم موضعی باشد، آنگاه شرایطی نظیر آنچه در حساب دیفرانسیل و انتگرال مقدماتی داریم برقرار خواهد بود، یعنی

$$V[f] = 0, \quad VV[f] \leq 0 \quad \text{در } m$$

روشن است که در مورد مینیم موضعی نامساوی برعکس می شود.

برهان. m نافی نیست، زیرا $k_1(m) > k_2(m)$ ، از این رو بنا بر لم ۶.۲ یک میدان سه-وجهی اصلی E_1, E_2, E_3 روی یک همسایگی m در M ، وجود خواهد داشت. بنا بر توضیح بالا، از فرضهای مینیم بودن و ماکسیم بودن در m به ویژه نتیجه می شود

$$E_1[k_2] = E_2[k_1] = 0 \quad \text{در } m \quad (1)$$

و

$$E_1 E_1[k_2] \geq 0 \quad \text{و} \quad E_2 E_2[k_1] \leq 0 \quad \text{در } m \quad (2)$$

اکنون از معادلات کودازی (قضیه ۷.۲) استفاده می کنیم. از (۱) نتیجه می شود که

$$\omega_{12}(E_1) = \omega_{12}(E_2) = 0 \quad \text{در } m$$

چون در m داریم $k_1 - k_2 \neq 0$ ، بدینسان بنا بر فرع ۴.۲ خواهیم داشت

$$K = E_2[\omega_{12}(E_1)] - E_1[\omega_{12}(E_2)] \quad \text{در } m \quad (3)$$

با اعمال E_1 بر معادله اول کودازی در قضیه ۷.۲، نتیجه می شود

$$E_1 E_1[k_2] = (E_1[k_1] - E_1[k_2])\omega_{12}(E_2) + (k_1 - k_2)E_1[\omega_{12}(E_2)]$$

اما در نقطه خاص m داریم $\omega_{12}(E_2) = 0$ و $k_1 - k_2 > 0$ ، بنا بر این از (۲) نتیجه می گیریم که

$$E_1[\omega_{12}(E_2)] \geq 0 \quad \text{در } m \quad (4)$$

چون از معادله دوم کودازی شروع کنیم با استدلال مشابهی خواهیم داشت

$$E_2[\omega_{12}(E_1)] \leq 0 \quad \text{در } m \quad (5)$$

با استفاده از (۴) و (۵) در عبارت (۳)، در مورد خمیدگی گاوسی در m به این نتیجه می رسیم که $K(m) \leq 0$.

۷.۳. قضیه. (لیبمان^۱). اگر M رویه ای فشرده در E^3 با خمیدگی گاوسی ثابت K باشد،

آنگاه M کردهای به شعاع $1/\sqrt{K}$ است. (قضیه ۵.۳ مستلزم مثبت بودن K است.)

برهان. چون معلوم نیست که M جهت‌پذیر باشد، از این رو تسوابع خمیدگی اصلی را نمی‌توان روی همه M در نظر گرفت. با وجود این، تابع

$$H^2 - K = (k_1 - k_2)^2 / 4$$

روی همه M به خوبی معین و پیوسته است، زیرا ابهام علامت در اثر مجذور کردن از بین می‌رود. چون M فشرده است، تابع $H^2 - K \geq 0$ دارای یک نقطهٔ ماکسیمم m خواهد بود. اگر $K - H^2$ در m صفر باشد، متحداً صفر خواهد بود، بدینسان M کلاً نافی است و فرع ۴.۳ مدعا را ثابت می‌کند.

اکنون آنچه باید ثابت کنیم این است که $H^2 - K$ نمی‌تواند در m مثبت باشد. فرض کنیم چنین باشد، در این صورت m نافی نیست و با جهت‌دهی مناسب یک همسایگی \mathcal{N} از m می‌توان ترتیبی داد که روی \mathcal{N} داشته باشیم $0 < k_1 < k_2$ (زیرا $K > 0$). چون $(k_1 - k_2)^2$ در m دارای ماکسیمم است، $k_1 - k_2$ نیز چنین خواهد بود. از طرف دیگر $K = k_1 k_2$ ثابت است، در نتیجه در m ، k_1 دارای ماکسیمم موضعی و k_2 دارای مینیمم موضعی می‌باشد. اما اکنون می‌توان لم هیلبرت را به کار گرفت و به تناقض $0 \leq K(m)$ رسید.

اگر فرض فشردگی حذف شود، قضیهٔ لییمان دیگر صادق نیست، زیرا چنان‌که در فصل ۵، بند ۶، دیدیم رویه‌های غیر کسروی بسیاری در E^3 با خمیدگی ثابت (مثبت) وجود دارند. قضیهٔ ۵.۳ و قضیهٔ لییمان هر دو بر این نکته اساسی توپولوژیکی (لم ۳.۷، فصل ۴) مبتنی می‌باشند که هر تابع بامقدار حقیقی پیوسته روی یک رویهٔ فشرده دارای ماکسیمم است. بررسی کامل تأثیر خمیدگی گاوسی روی شکل رویه‌ها در E^3 ، مستلزم روشهای توپولوژیکی پیشرفته‌تری است. به عنوان مثال می‌توان این پرسش را مطرح کرد که اگر به جای فشردگی فرض ضعیفتر بسته بودن در E^3 را قرار دهیم^{۱)}، وضعیت رویه‌هایی که دارای خمیدگی ثابت اند چه خواهد بود. جوابها از این قرارند:

هر رویهٔ بسته $M \subset E^3$ با K ثابت و مثبت، فشرده است، در نتیجه بنا بر قضیهٔ لییمان یک کره است.

هر رویهٔ بسته $M \subset E^3$ با $K = 0$ یک استوانه به مفهوم اعم می‌باشد (ماسی^{۲)}). در E^3 رویهٔ بسته‌ای با K ثابت منفی وجود ندارد (هیلبرت).

۱. این شرط در تمرین ۱۰، فصل ۴، بند ۷ آمده است. به بیان اجمالی میبایست آن است که M دارای کناره با لبه نیست. در مورد رویه‌ها در E^3 این شرط با خاصیت ذاتی کامل بودن (تعریف ۴.۴، فصل ۷) هم‌ارز است.

نتیجه اول را در فصل ۷ اثبات خواهیم کرد. برهان دو نتیجه دیگر را می توان به ترتیب در هیکس [۵] و ویلمور [۴] یافت.

تمرینات

۱. اگر M یک رویه مینیمال هموار باشد، ثابت کنید که M بخشی از یک صفحه است.
۲. رویه های هموار در E^3 فقط در امتداد خطوط مستقیم می توانند دارای خمیدگی باشند: اگر $k_1 = 0$ ، k_2 هیچ گاه صفر نباشد، نشان دهید که خمهای اصلی متناظر به k_1 قطعه خطهای مستقیمی در E^3 می باشند. (داهنمایی: از تمرین ۱، فصل ۶، بند ۱، استفاده شود.)
این مطلب نقطه شروع برای اثبات قضیه ماسی است.
۳. گیریم $M \subset E^3$ رویه ای جهت پذیر و فشرده با $K > 0$ باشد. اگر M دارای خمیدگی متوسط ثابت باشد، نشان دهید که M یک کره است.
۴. ثابت کنید که از هر نقطه ناحیدای که نقاط نافی نداشته باشد، دقیقاً دو خم اصلی می گذرد (صرف نظر از نمایشهای پارامتری مختلف)، این خمها در نقطه تقاطع متعامدند. (داهنمایی: از تمرین ۷، فصل ۴، بند ۸، استفاده شود.)
۵. اگر خمیدگیهای اصلی رویه $M \subset E^3$ ثابت باشند، نشان دهید که M بخشی از یک صفحه یا یک کره و یا یک استوانه مستدیر است. (داهنمایی: در حالت با ارج $k_1 \neq k_2$ فرض کنید که یک میدان سه وجهی برانزده روی همه M وجود دارد، و نشان دهید که، مثلاً، $k_1 = 0$.)

۴. ایزومتري و ایزومتري موضعی

در پیش به خواصی از رویه M در E^3 که امکان کشف آنها برای ساکنین M ، بی اطلاع از فضای خارج رویه وجود دارد اشاره شد. در نظر گرفته شد که ساکنین M می توانند مسافت بین هر دو نقطه در M را، درست به همان گونه بیابند که مسافت بر سطح زمین به وسیله ساکنین آن معین می شود. بیان ریاضی این مطلب به شرح زیر است.

۱.۴. تعریف. اگر p و q نقاطی از $M \subset E^3$ باشند، مجموعه متشکل از همه قطعه خمهای α در M از p به q را در نظر می گیریم. $\rho(p, q)$ ددی ذاتی از p تا q در M یا بزرگترین کران پایینی طولهای $L(\alpha)$ این قطعه خمها تعریف می شود.

البته لزومی ندارد که یک خم α طوری وجود داشته باشد که طول آن دقیقاً برابر $\rho(p, q)$ باشد (تمرین ۳ را ببینید). مسافت ذاتی $\rho(p, q)$ به طور کلی از دوری اقلیدسی

مستقیم‌الخط $d(p, q)$ بزرگتر است، زیرا خمهای α مقیدند که در M قرار داشته باشند (شکل ۹.۶).

البته روی سطح زمین (که کره‌ای است به شعاع تقریبی ۴۰۰۰ میل) در عمل مسافت ذاتی مورد توجه است. مثلاً، گفته می‌شود که از قطب شمال تا قطب جنوب ۱۲۵۰۰ میل است، در حالی که دوری اقلیدسی با عبور از مرکز زمین فقط ۸۰۰۰ میل می‌باشد. در فصل ۳ دیده شد که چگونه هندسه اقلیدسی بر مفهوم ایزومتري، نگاشتی که دوری را حفظ می‌کند، مبتنی است. درباره رویه‌ها در M ، خاصیت حفظ مسافت را اثبات می‌کنیم، و از فرم بینهایت کوچک آن (فرع ۲.۲، فصل ۳) به عنوان تعریف استفاده می‌کنیم.

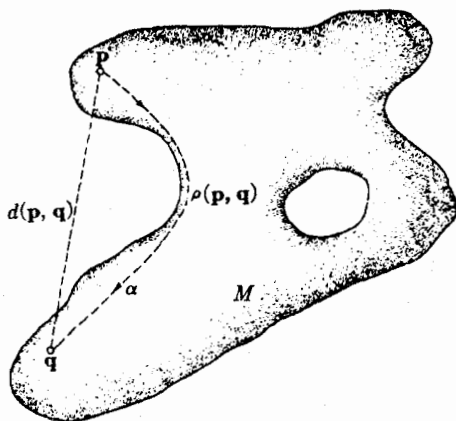
۳.۴. تعریف. ایزومتري رویه‌ها در E^3 عبارت است از هر نگاشت يك به يك و پوشای $F: M \rightarrow \bar{M}$ که حاصل ضرب نقطه‌ای بردارهای مماس را حفظ کند. به عبارت روشنتر، اگر F_* نگاشت مشتق F باشد، آنگاه به ازای هر زوج v, w از بردارهای مماس بر M داریم

$$F_*(v) \cdot F_*(w) = v \cdot w$$

اگر F_* حاصل ضرب نقطه‌ای را حفظ کند، در این صورت طول بردارهای مماس را نیز حفظ خواهد کرد. از اینجا نتیجه می‌شود که هر ایزومتري يك نگاشت منظم است (فصل ۴، بند ۵)، زیرا اگر $F_*(v) = 0$ ، آنگاه

$$\|v\| = \|F_*(v)\| = 0$$

از این رو $v = 0$. بدینسان بنا بر توضیحات ذیل قضیه ۴.۵، فصل ۴، هر ایزومتري $F: M \rightarrow \bar{M}$ به ویژه يك دیفیئومرفیسم است، یعنی، دارای نگاشت وارون $F^{-1}: \bar{M} \rightarrow M$ می‌باشد.



شکل ۹.۶

۳.۴. قضیه. ایزومترهای مسافت ذاتی را حفظ می کنند: اگر $F: M \rightarrow \bar{M}$ يك ایزومتري رویه‌ها در E^3 باشد، آنگاه به‌ازای هر دو نقطه p, q از M داریم

$$\rho(p, q) = \bar{\rho}(F(p), F(q))$$

(در اینجا ρ و $\bar{\rho}$ به ترتیب توابع مسافت ذاتی M و \bar{M} می باشند.)

برهان. نخست باید توجه کرد که ایزومتري تندي و طول‌خنها را حفظ می کند. برهان، درست مانند حالت اقلیدسی آن است: اگر α قطعه خمی در M باشد، آنگاه $\bar{\alpha} = F(\alpha)$ قطعه خمی در \bar{M} با سرعت $\bar{\alpha}' = F_*(\alpha')$ می باشد. چون F_* حاصل ضرب نقطه‌ای را حفظ می کند، نرم را نیز حفظ خواهد کرد، در نتیجه

$$\|\alpha'\| = \|F_*(\alpha')\| = \|F(\alpha)'\| = \|\bar{\alpha}'\|$$

بنا بر این

$$L(\alpha) = \int_a^b \|\alpha'(t)\| dt = \int_a^b \|\bar{\alpha}'(t)\| dt = L(\bar{\alpha})$$

اما اگر α در M از p به q حرکت کند، نگاره $\bar{\alpha} = F(\alpha)$ در \bar{M} از $F(p)$ به $F(q)$ حرکت خواهد کرد. برعکس، اگر β قطعه خمی از $F(p)$ به $F(q)$ در \bar{M} باشد، آنگاه $F^{-1}(\beta)$ در M از p به q حرکت می کند. بدینسان تناظری يك به يك بین گردایه قطعه خمهایی که برای تعریف $\rho(p, q)$ و گردایه‌ای که برای تعریف $\bar{\rho}(F(p), F(q))$ به کار رفته‌اند، برقرار می شود. اما چنان که در بالا ثابت شد خمهای متناظر دارای طول یکسان‌اند، از اینجا مستقیماً نتیجه می شود که

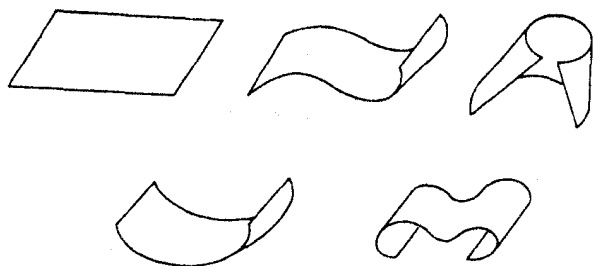
$$\rho(p, q) = \bar{\rho}(F(p), F(q))$$

بدینسان می توان ایزومتري را به عنوان دگرگونی شکل رویه بی آنکه مسافت ذاتی بین نقاط آن تغییر کند تصور کرد. نتیجتاً ساکنین رویه اصلاً هیچ تغییری احساس نمی کنند، زیرا تمام اندازه‌گیریهای هندسی آنان دقیقاً یکسان باقی می ماند.

اگر يك ایزومتري از M به \bar{M} وجود داشته باشد، آنگاه این دو رویه را ایزومتريك می نامند. مثلاً، اگر يك ورق کاغذ را بدون ایجاد چین و چروك و یساکشیدگی به اشكال گوناگون در آوریم، همه رویه‌های حاصل ایزومتريك‌اند (شکل ۱۰.۶).

در بررسی ایزومتريها بهتر است شرط هندسی حفظ حاصل ضرب نقطه‌ای و قيود يك به يك و پوشا بودن را از هم جدا کنیم.

۴.۴. تعريف. ایزومتري موضعی $F: M \rightarrow N$ رویه‌ها عبارت است از نگاشتی که حاصل ضرب نقطه‌ای بردارهای مماس را حفظ کند (یعنی به‌ازای هر دو مماس v, w بر M ، داشته باشیم $(F_*(v) \cdot F_*(w)) = v \cdot w$).



شکل ۱۰.۶

بدینسان هر ایزومتري، يك ایزومتري موضعی است که يك به يك و پوشا نیز می باشد. اگر F يك ایزومتري موضعی باشد، استدلال پیش همچنان نشان می دهد که F يك نگاشت منظم است. از این رو به ازای هر نقطه p از M ، بنا بر قضیه تابع وارون (۴.۵)، فصل (۴)، بین يك همسایگی \mathcal{U} از p در M و يك همسایگی \mathcal{V} از $F(p)$ در N يك ديفئومورفیسم برقرار می کند. اما \mathcal{U} و \mathcal{V} نیز خود رویه‌هایی در E^3 می باشند، و بدینسان نگاشت

$$F|_{\mathcal{U}}: \mathcal{U} \rightarrow \mathcal{V}$$

يك ایزومتري خواهد بود. بسدین معنی هر ایزومتري موضعی، واقعاً به طود موضعی يك ایزومتري است.

برای ایزومتريهای موضعی ملاك مختصاتی ساده‌ای وجود دارد که بر توابع F ، E و G که در بند ۴، فصل ۵ تعريف شدند مبتنی است.

۱۰.۵.۴. $M \rightarrow N$ يك نگاشت باشد. به ازای هر قطعه مختصاتی $X: D \rightarrow M$ نگاشت مرکب

$$\bar{X} = F(X): D \rightarrow N$$

را در نظر می گیریم. در این صورت F يك ایزومتري موضعی است اگر، و فقط اگر، به ازای هر قطعه مختصاتی X داشته باشیم:

$$E = \bar{E} \quad F = \bar{F} \quad G = \bar{G}$$

(در اینجا لزومی ندارد که X يك قطعه مختصاتی باشد، اما \bar{E} ، \bar{F} و \bar{G} مطابق معمول برای آن تعريف می شوند.)

برهان. فرض کنیم که این ملاك فقط برای قطعه‌های مختصاتی که به قدر کافی همه M را پوشانند صادق است. برای اینکه نشان دهیم F ضرب نقطه‌ای را حفظ می کند، بنا بر یکی از هم‌ارزیهای تمرین ۱، تنها باید ثابت کنیم که

$$\|x_u\| = \|F_*(x_u)\|, \quad x_u \cdot x_v = F_*(x_u) \cdot F_*(x_v), \quad \|x_v\| = \|F_*(x_v)\|$$

اما چنان که در فصل ۴ دیدیم، از تعریف F_* مستقیماً نتیجه می شود که $F_*(x_u) = \bar{x}_u$ و $F_*(x_v) = \bar{x}_v$. بدینسان روابط بالا از فرضهای $E = \bar{E}$ ، $F = \bar{F}$ ، $G = \bar{G}$ نتیجه می شوند. از این رو F يك ایزومتري موضعی است. با عکس ترتیب استدلال، وارون گزاره نیز ثابت می شود.

از این نتیجه گاهی برای ساختن ایزومترهای موضعی استفاده می شود. در ساده ترین حالت، فرض کنیم که M نگاره تنها يك قطعه مختصاتی $x: D \rightarrow M$ باشد. در این صورت اگر $y: D \rightarrow N$ يك قطعه مختصاتی در يك رویه دیگر باشد، نگاشت $F: M \rightarrow N$ را با

$$F(x(u, v)) = y(u, v) \quad \text{به ازای } (u, v) \text{ در } D$$

تعریف می کنیم. اگر داشته باشیم

$$E = \bar{E}, \quad F = \bar{F}, \quad G = \bar{G}$$

آنگاه بنا بر ملامک بالا، F يك ایزومتري موضعی خواهد بود.

۴.۶. مثال.

(۱) ایزومتري موضعی از يك صفحه بردوی يك استوانه. صفحه E^2 را می توان به عنوان يك رویه بسا میدان سه وجهی طبیعی U_1, U_2 در نظر گرفت. اگر $x: E^2 \rightarrow M$ نمایش پارامتری يك رویه بسا باشد، آنگاه بنا بر تمرین ۱ نگاشت x يك ایزومتري موضعی خواهد بود اگر

$$x_*(U_i) \cdot x_*(U_j) = U_i \cdot U_j$$

اما داریم $x_*(U_1) = x_u$ ، $x_*(U_2) = x_v$ ، و $U_i \cdot U_j = \delta_{ij}$ ، و این همان قید $F = 0$ ، $G = 1$ است.

به عنوان مثال ملموس، استوانه $M: x^2 + y^2 = r^2$ دارای نمایش پارامتری

$$x(u, v) = \left(r \cos\left(\frac{u}{r}\right), r \sin\left(\frac{u}{r}\right), v \right)$$

است، که در آن $E = 1$ ، $F = 0$ ، $G = 1$. بدینسان x يك ایزومتري موضعی است، که صفحه E^2 را به دور استوانه می پیچد، خطوط افقی به دور دایره متقطع عرضی پیچیده می شوند، و خطوط قائم بر مولدهای استوانه قرار می گیرند.

(۲) ایزومتري موضعی از يك هلیکونید بر روی يك کاتنویید. هلیکونید H نگاره

قطعه مختصاتی

$$x(u, v) = (u \cos v, u \sin v, v)$$

و کاتنوئید C با نمایش پارامتری متعارف $y: E^2 \rightarrow C$ را که در مثال ۴.۶، فصل ۵ بیان شد در نظر می‌گیریم. بدینسان

$$y(u, v) = (g(u), h(u) \cos v, h(u) \sin v)$$

$$g(u) = \sinh^{-1} u \quad h(u) = \sqrt{1+u^2}$$

گیریم $F: H \rightarrow C$ نگاشتی باشد، به طوری که

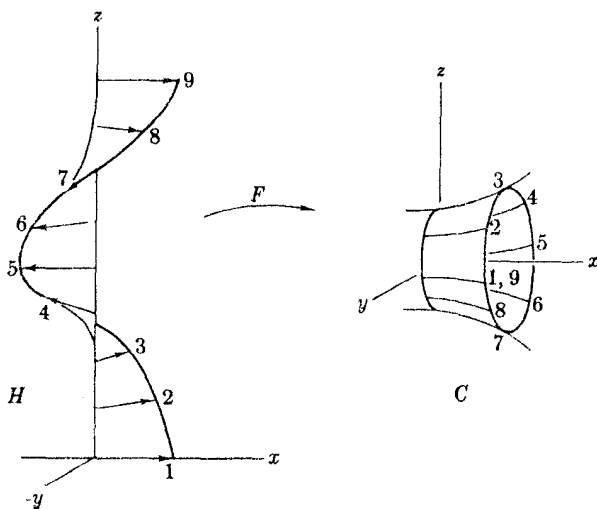
$$F(x(u, v)) = y(u, v)$$

برای اثبات آنکه F یک ایزومتری موضعی است، کافی است بررسی شود که

$$E = 1 = \bar{E}, \quad F = 0 = \bar{F}, \quad G = 1+u^2 = h^2 = \bar{G}$$

H مولدهای H (با ثابت v) را بر روی نصف‌النهارات رویه دورانی C می‌برد، و ما پیچهای H (با ثابت u) را به دور مدارات C می‌پیچد. بدویژه محور مرکزی H (محور z) به دور دایره مینیمال $x = 0$ از C پیچیده می‌شود. شکل ۱۱.۶ چگونگی انتقال یک نوار نمونه‌ای H را بر روی C نشان می‌دهد.

فرض کنیم که هلیکوئید H (یا اقلاً یک ناحیه متناهی از آن) از یک ورقه انعطاف پذیر فولادین، مانند پیشبخاری اتومبیل قالب‌گیری شده باشد، عمل قطعه مختصاتی x همین است. در این صورت می‌توان H را به شکل کاتنوئید درآورد بی‌آنکه در فلز اعوجاج دیگری



شکل ۱۱.۶

ایجاد شود (تمرین ۵، بند ۵).

برای انجام تجربه مشابهی می توان در توپ پینگ پنگ که نمایشگر يك کره در E^3 است از راه بریدگی سوراخی ایجاد کرد. در این صورت فشارهای ملایم، توپ را به اشکال مختلف غیر کروی درمی آورد، که همه آنها ایزومتريك اند. اما دربارهٔ رویه های ایزومتريك دلخواه M و M در E^3 ، عموماً نمی توان M را طوری خم کرد (با پیمودن يك خانواده از رویه های ایزومتريك) که M ایجاد شود. بغیر از ایزومتريها (موضعی) انواع خاص دیگری از نگاشتها وجود دارند که در هندسه مورد توجه می باشند.

۷.۴. تعریف. نگاشت $F: M \rightarrow N$ را که در آن M و N دو رویه اند، هنگامی يك همشکلی می نامند که يك تابع با مقدار حقیقی $\lambda > 0$ روی M وجود داشته باشد، به طوری که به ازای همه بردارهای مماس بر M داشته باشیم

$$\|F_*(v_p)\| = \lambda(p) \|v_p\|$$

تابع λ را سازهٔ مقیاس F می نامند.

توجه شود که اگر در نگاشت همشکلی F مقدار λ ثابت و برابر ۱ باشد، F يك ایزومتري موضعی خواهد بود. بدینسان نگاشت همشکلی، ایزومتري تعمیم یافته ای است که لزومی ندارد که طول بردارهای مماس را حفظ کند، اما در هر نقطهٔ p از M طول همهٔ بردارهای مماس در p به يك اندازه تغییر می کند.

می توان ملاکی را که در لم ۵.۴ و تمرین ۱ برای ایزومتريها بیان کردیم، به آسانی به نگاشتهای همشکلی با دخالت دادن سازهٔ مقیاس (یا مربع آن) تطبیق داد. مثلاً در لم ۵.۴، به جای $E = \bar{E}$ قرار می دهیم $E = E\lambda^2(x)$ ، و به همین طریق برای دو معادلهٔ دیگر. خاصیت اساسی نگاشتهای همشکلی در تمرین ۸ مورد بحث قرار گرفته است.

تمرینات

۱. اگر $F: M \rightarrow N$ يك نگاشت باشد، نشان دهید که شرایط زیر دربارهٔ نگاشت مشتق آن در يك نقطهٔ p منطقیاً هم ارزند:
 - (الف) F_* حاصل ضرب داخلی را حفظ می کند.
 - (ب) F_* طول بردارهای مماس را حفظ می کند، یعنی به ازای همهٔ بردارهای v در p داریم $\|F_*(v)\| = \|v\|$
 - (ج) F_* سه وجهیها را حفظ می کند: اگر e_1, e_2, e_3 يك سه وجهی مماس در p باشد، آنگاه

$$F_*(e_1), F_*(e_2)$$

نیز يك سه وجهی مماس در $F(p)$ است.

(د) اگر v و w يك زوج مستقل خطی از بردارهای مماس در p باشند، آنگاه

$$\|F_*(v)\| = \|v\|, \quad \|F_*(w)\| = \|w\| \quad \text{و} \quad F_*(v) \cdot F_*(w) = v \cdot w$$

[داهنمایی: کافی است، مثلاً، ثابت شود که

$$\text{(الف)} \Rightarrow \text{(ب)} \Rightarrow \text{(د)} \Rightarrow \text{(ج)} \Rightarrow \text{(الف)}.$$

این نکات عمومی از جبر خطی در این تعبیر ملاک مفیدی را برای آنکه F يك ایزومتري موضعی باشد فراهم می‌سازند.

۲. نشان دهید برای آنکه $F: M \rightarrow N$ يك ایزومتري موضعی باشد، هر يك از شرایط زیر لازم و کافی است.

(الف) F تندي نهمها را حفظ می‌کند: $\|F(\alpha)'\| = \|\alpha'\|$ به ازای همهٔ نهمهای α در M .

(ب) F طول نهمها را حفظ می‌کند: $L(F(\alpha)) = L(\alpha)$ به ازای همهٔ قطعه نهمهای α در M .

۳. گیریم M صفحهٔ xy در \mathbb{E}^3 با حذف مبدأ باشد. نشان دهید که مسافت ذاتی از $(0, 0, 0)$ تا $(1, 0, 0)$ در M برابر ۲ می‌باشد، اما در M قطعه نهمی که این دو نقطه را بهم پیوند دهد و طول آن برابر ۲ باشد وجود ندارد (داهنمایی: تمرین ۱۱، فصل ۲، بند ۲).

۴. مطلوب است بیان دقیق ریاضی و اثبات گزارهٔ زیر: در ایزومتریهای موضعی مسافت ذاتی می‌تواند کاهش یابد، اما افزایش پیدا نمی‌کند.

۵. گیریم $\alpha, \beta: I \rightarrow \mathbb{E}^3$ نهمهایی با تندي واحد و با تابع نهمیدگی برابر $\kappa > 0$ باشند، و فرض کنیم که نمایش پارامتری خط‌دار رویهٔ مماسی α

$$x(u, v) = \alpha(u) + vT(u)$$

دقیقاً يك قطعه مختصاتی باشد. مطلوب است تعیین يك ایزومتري موضعی از رویهٔ مماسی α به:

(الف) رویهٔ مماسی β .

(ب) يك ناحیهٔ D از صفحه.

(داهنمایی: تمرین ۹، فصل ۳، بند ۵).

۶. نشان دهید که تمرین پیش را می‌توان در بارهٔ رویهٔ مماسی يك مارپیچ به‌کار برد، و ناحیهٔ نگارهٔ D در صفحه را بیابید.

۷. شرایط تمرین ۱ را طوری تغییر دهید که ملاکی برای همشکلی نگاشت F به‌دست آید. آنگاه ثابت کنید که قطعه مختصاتی $x: D \rightarrow M$ يك نگاشت همشکلی خواهد بود اگر، و فقط اگر، $E = G$ و $F = 0$.

۸. نشان دهید که هر نگاشت همشکلی $F: M \rightarrow N$ زوایا را حفظ می‌کند، بدین مفهوم: اگر v زاویه بین v و w در \mathbb{P} باشد، آنگاه زاویه بین $F_*(v)$ و $F_*(w)$ در $F_*(\mathbb{P})$ نیز همان v است.

۹. اگر $F: M \rightarrow \bar{M}$ یک ایزومتري باشد، ثابت کنید که نگاشت وارون $F^{-1}: \bar{M} \rightarrow M$ نیز یک ایزومتري است. اگر $F: M \rightarrow N$ و $G: N \rightarrow P$ ایزومتريهای (موضعی) باشند، ثابت کنید که نگاشت مرکب $GF: M \rightarrow P$ نیز یک ایزومتري (موضعی) است.

۱۰. گیریم X یک نمایش پارامتری تمام M و \bar{X} یک نمایش پارامتری در N باشد. اگر نگاشت $F: M \rightarrow N$ طوری باشد که $F(x(u, v)) = \bar{x}(f(u), g(v))$ آنگاه -

(الف) تأثیر F را بر خمهای پارامتر X بررسی کنید.

(ب) نشان دهید که F یک ایزومتري موضعی است اگر، و فقط اگر،

$$E = \bar{E}(f, g) \left(\frac{df}{du} \right)^2, \quad F = \bar{F}(f, g) \frac{df}{du} \frac{dg}{dv}, \quad G = \bar{G}(f, g) \left(\frac{dg}{dv} \right)^2$$

(در حالت کلی f و g تابع u و v می‌باشند، و این ملاک پیچیده‌تر خواهد شد.)

(ج) شرایط مشابهی برای همشکلی F بیابید.

۱۱. گیریم M یک رویهٔ دورانی، و $F: H \rightarrow M$ یک ایزومتري موضعی از هلیکونید باشد به طوری که (مانند مثال ۴.۶) مولدها را به نصف النهارات و مارپیچها را به مدارات تبدیل کند. نشان دهید که M یک کاتنویید است. (داهنمایی: از تمرین ۱۰ استفاده کنید.)

۱۲. گیریم M نگارهٔ یک قطعه مختصاتی X باشد، که در آن $E = 1$ ، $F = 0$ و G فقط تابع u ($G_r = 0$) است. اگر مشتق $d(\sqrt{G})/du$ کراندار باشد، نشان دهید که یک ایزومتري موضعی از M در یک رویهٔ دورانی وجود دارد. بدینسان هر ناحیهٔ به‌قدر کافی کوچک از M با ناحیه‌ای از یک رویهٔ دورانی ایزومتریک است.

۱۳. گیریم X قطعه مختصاتی جغرافیایی در کرهٔ Σ بدشعاع r (مثال ۲.۲، فصل ۴) باشد با ایجاد کشیدگی در X در امتداد شمال-جنوب، آن را به یک نگاشت همشکلی بدل کنید. به عبارت صریح، قرار دهید

$$y(u, v) = x(u, g(v)) \quad g(0) = 0$$

و g را طوری تعیین کنید که y یک همشکلی باشد. سازهٔ میاس y را بیابید، و حوزهٔ

D را طوری تعیین کنید که $y(D)$ فقط يك نیم‌دایره از Σ را حذف کند. y نقشهٔ مرکاتور زمین را به دست می‌دهد؛ وارون آن تصویر مرکاتور است.

۱۴. نشان دهید که تصویر منطری $P: \Sigma_0 \rightarrow E^2$ (مثال ۲۰.۵، فصل ۴) يك همشکلی است با سازهٔ مقیاس:

$$\lambda(p) = 1 + \frac{\|P(p)\|^2}{4}$$

۱۵. گیریم M يك رویهٔ دورانی است که خم نیمرخ آن بسته نیست و در نتیجه دارای يك نمایش پارامتری y به يك خواهد بود. نگاشت همشکلی $F: M \rightarrow E^2$ را طوری تعیین کنید که نصف النهارات به خطوط مار از مبدأ و مدارات بدوایری به مرکز مبدأ بدل شوند.

۵. هندسه ذاتی رویه‌ها در E^3

در فصل ۳ هندسهٔ اقلیدسی را به عنوان مفاهیمی که بر اثر ایزومترهای اقلیدسی محفوظ می‌مانند تعریف کردیم. همین تعریف را می‌توان در مورد رویه‌ها به کار برد؛ هندسهٔ ذاتی $M \subset E^3$ عبارت است از مفاهیمی، موسوم به تغییرناپذیرهای ایزومتریک، که بر اثر همهٔ ایزومترهای $F: M \rightarrow M$ محفوظ می‌مانند. به عنوان مثال، قضیهٔ ۳.۴ نشان می‌دهد که مسافت ذاتی، يك تغییرناپذیر ایزومتریک است. اکنون می‌توان سؤال گاوس را (که در آغاز این فصل عنوان شد) دقیقتر بیان کرد: کدام يك از ویژگیهای رویهٔ M در E^3 به هندسهٔ ذاتی آن تعلق دارد؟ تعریف ایزومتری (تعریف ۲۰.۴) حاکی از آن است که تغییرناپذیرهای ایزومتری باید تنها به حاصل ضرب نقطه‌ای که در بارهٔ بردارهای مماس بر M اعمال می‌شود بستگی داشته باشند. اما عملگر شکلی از يك میدان برداری قائم منتج می‌شود، و مناهای بند ۴ نشان می‌دهند که امکان دارد رویه‌های ایزومتریک در E^3 شکلهای کاملاً متفاوتی داشته باشند. در واقع، مناهای مزبور مبین اثبات صوری این نکته است که عملگرهای شکلی، امتدادهای اصلی، خمیدگیهای اصلی، و خمیدگی متوسط قطعاً به هندسهٔ ذاتی $M \subset E^3$ تعلق ندارند.

برای آنکه نظریهٔ هندسهٔ ذاتی را به طور منظم بنا کنیم باید به بند ۱ بر گردیم و ببینیم که چه اندازه از آن بررسی نسبت به M ذاتی است. اگر حاصل ضرب نقطه‌ای را تنها روی بردارهای مماس بر M به کار ببریم، باز هم می‌توان يك میدان سه وجهی مماس E_1, E_2 روی M معین کرد. بدینسان می‌توان از يك میدان سه وجهی برارزنده دومیدان برداری مماس E_1, E_2 و در نتیجه ۱-فرمیهای دوگانی θ_1, θ_2 را به دست آورد. نکتهٔ جالب آنکه فرم همبندی ω_{12} بدینسان کاملاً معین می‌گردد.

۱۰.۵. لم. فرم همبندی $\omega_{12} = -\omega_{21}$ همان ۱-فرمی یکنایی است که در معادلات

ساختاری اول

$$d\theta_1 = \omega_{12} \wedge \theta_2 \quad d\theta_2 = \omega_{21} \wedge \theta_1$$

صدق می‌کند.

برهان. معادلات بالا را در مورد میدانهای برداری مماس E_1, E_2 اعمال می‌کنیم. چون $\theta_i(E_j) = \delta_{ij}$ ، از تعریف حاصل ضرب خارجی (تعریف ۳.۴ فصل ۴) بدست می‌آید

$$\omega_{12}(E_1) = d\theta_1(E_1, E_2)$$

$$\omega_{12}(E_2) = -\omega_{21}(E_2) = d\theta_2(E_1, E_2)$$

بدینسان به موجب لم ۱.۰۲، $\omega_{12} = -\omega_{21}$ به‌طور یکتا به وسیله θ_1, θ_2 تعیین می‌گردد. **۴.۵**

۴.۵. تبصره. در واقع، این برهان طرز ساختن $\omega_{12} = -\omega_{21}$ را بدون استفاده از مشتقهای کوواریانی اقلیدسی (چنان که در بند ۱ آمد) نشان می‌دهد. هنگامی که E_1, E_2 و در نتیجه θ_1, θ_2 داده شده باشند، معادلاتی را که در برهان آمدند به‌عنوان تعریف ω_{12} روی E_1 و E_2 در نظری می‌گیریم. آنگاه شرط خطی بودن معمولی

$$\omega_{12}(V) = \omega_{12}(v_1 E_1 + v_2 E_2) = v_1 \omega_{12}(E_1) + v_2 \omega_{12}(E_2)$$

ω_{12} را به یک ۱-فرمی روی M بدل می‌کند، و به آسانی می‌توان (با عکس استدلال بالا) نشان داد که $\omega_{12} = -\omega_{21}$ در معادلات ساختاری اول صدق می‌کند.

اگر $F: M \rightarrow \bar{M}$ یک ایزومتری باشد، آنگاه می‌توان میدان سه‌وجهی مماس E_1 ، E_2 روی M را به یک میدان سه‌وجهی مماس \bar{E}_1, \bar{E}_2 روی \bar{M} منتقل کرد: به‌ازای هر نقطه q از \bar{M} تنها یک نقطه p از M وجود دارد به‌طوری که $F(p) = q$ باشد. آنگاه \bar{E}_1 و \bar{E}_2 را به‌صورت زیر تعریف می‌کنیم:

$$\bar{E}_1(q) = F_*(E_1(p))$$

$$\bar{E}_2(q) = F_*(E_2(p))$$

(شکل ۱۲.۶).

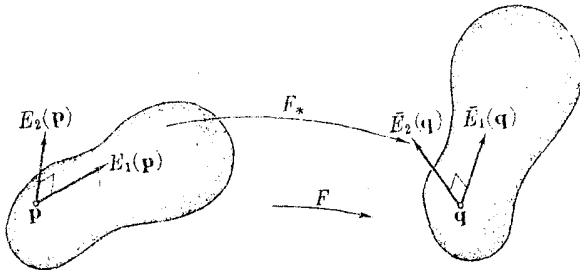
در عمل این فرمولها را تماماً به‌صورت اختصاری زیر می‌نویسیم

$$\bar{E}_1 = F_*(E_1), \quad \bar{E}_2 = F_*(E_2)$$

چون F_* حاصل ضرب نقطه‌ای را حفظ می‌کند:

$$\bar{E}_i \cdot \bar{E}_j = F_*(E_i) \cdot F_*(E_j) = E_i \cdot E_j = \delta_{ij}$$

بنابراین \bar{E}_1, \bar{E}_2 یک میدان سه‌وجهی روی \bar{M} خواهد بود.



شکل ۱۲.۶

۳.۵. لم. گیریم $F: M \rightarrow \bar{M}$ یک ایزومتری، و E_1, E_2 یک میدان سه‌وجهی روی M باشد. اگر \bar{E}_1, \bar{E}_2 میدان سه‌وجهی انتقالی روی \bar{M} باشد، آنگاه

$$\theta_1 = F^*(\bar{\theta}_1), \theta_2 = F^*(\bar{\theta}_2) \quad (1)$$

$$\omega_{12} = (F^*\bar{\omega}_{12}) \quad (2)$$

برهان. (۱) کافی است ثابت کنیم که θ_i و $F^*(\bar{\theta}_i)$ روی E_1 و E_2 دارای مقادیر یکسان‌اند اما به‌ازای $1 \leq i, j \leq 2$ داریم

$$F^*(\bar{\theta}_i)(E_j) = \bar{\theta}_i(F_*E_j) = \bar{\theta}_i(\bar{E}_j) = \delta_{ij} = \theta_i(E_j)$$

(۲) معادله ساختاری $d\bar{\theta}_1 = \bar{\omega}_{12} \wedge \bar{\theta}_2$ را روی \bar{M} در نظر می‌گیریم. اگر F^* را اعمال کنیم، آنگاه بنا بر نتایج فصل ۴، بند ۵، خواهیم داشت

$$d(F^*\theta_1) = F^*(d\bar{\theta}_1) = F^*(\bar{\omega}_{12}) \wedge F^*(\bar{\theta}_2)$$

از آنجا بنا بر (۱) داریم

$$d\theta_1 = F^*(\bar{\omega}_{12}) \wedge \theta_2$$

معادله ساختاری دیگر

$$d\bar{\theta}_2 = \bar{\omega}_{21} \wedge \bar{\theta}_1$$

نیز معادله متناظری به‌دست می‌دهد، بنا بر این

$$d\theta_1 = F^*(\bar{\omega}_{12}) \wedge \theta_2$$

$$d\theta_2 = F^*(\bar{\omega}_{21}) \wedge \theta_1$$

و (۲) مستقیماً از خاصیت یکتایی (لم ۱.۵) نتیجه می‌شود، زیرا

$$F^*(\bar{\omega}_{\nu_1}) = F^*(-\bar{\omega}_{\nu_2}) = -F^*(\bar{\omega}_{\nu_2})$$

با استفاده از این لم ساده به آسانی می توان برهانی برای قضیه فوق العاده و مشهور گاوس به دست داد.

۴.۵. قضیه. خمیدگی گاوسی، يك تغییرناپذیر ایزومتریک است؛ یعنی اگر $F: M \rightarrow \bar{M}$ يك ایزومتري باشد، آنگاه به ازای هر نقطه p از M داریم

$$K(p) = \bar{K}(F(p))$$

برهان. به ازای هر نقطه دلخواه p از M ، يك میدان سه وجهی مماس E_1, E_2 متناظر به يك همسایگی p را انتخاب می کنیم، و آن را به وسیله F به \bar{E}_1, \bar{E}_2 روی \bar{M} انتقال می دهیم. بنا بر لم پیش داریم، $F^*(\bar{\omega}_{\nu_2}) = \omega_{\nu_2}$. طبق فرع ۳.۲، خواهیم داشت

$$d\bar{\omega}_{\nu_2} = -\bar{K}\bar{\theta}_1 \wedge \bar{\theta}_2$$

چون F^* را بر این معادله اعمال کنیم، بنا بر نتایج فصل ۴، بند ۵ به دست می آید

$$d(F^*\bar{\omega}_{\nu_2}) = F^*(d\bar{\omega}_{\nu_2}) = -F^*(\bar{K})F^*(\bar{\theta}_1) \wedge F^*(\bar{\theta}_2)$$

که در آن $F^*(\bar{K})$ چیزی جز تابع مرکب $\bar{K}(F)$ نیست. بدینسان بنا بر لم پیش داریم

$$d\omega_{\nu_2} = -\bar{K}(F)\theta_1 \wedge \theta_2$$

از مقایسه آن با $d\omega_{\nu_2} = -K\theta_1 \wedge \theta_2$ نتیجه می شود $K = \bar{K}(F)$ ، از این رو به خصوص $K(p) = \bar{K}(F(p))$.

قضیه گاوس یکی از اکتشافات بزرگ ریاضیات قرن نوزدهم است، و چنان که در فصل بعد خواهیم دید متضمن نتایج دامنه داری می باشد. مرحله اساسی در برهان، بر معادله ساختاری دوم، یعنی

$$d\omega_{\nu_2} = -K\theta_1 \wedge \theta_2$$

مبتنی است. با اثبات لم ۱.۵ دیده می شود که همه اجزای معادله را باستثنای K می توان از خود M به دست آورد، بنا بر این K نیز باید چنین باشد. این بدان معنی است که ساکنین $M \subset E^3$ با وجود آنکه عموماً قادر به تعیین S نیستند و تصویری از شکل M در E^3 ندارند، می توانند خمیدگی گاوسی رویه خود را بیابند.

مکانیسم فرمهای دیفرانسیلی با فراهم ساختن برهان صوری تغییرناپذیری ایزومتریک در قضیه ۴.۵ این حدس را از ابهام بیرون می آورد. شاید این وضعیت جالب توجه را

بتوان با فرمول $K = k_1 k_2$ به بهترین وجه توضیح داد: لزومی ندارد که ایزومتري، خمیدگیهای اصلی یا مجموع آنها را حفظ کند، بلکه باید حاصل ضرب آنها را حفظ کند. بدینسان رویه‌های ایزومتریک با آنکه می‌توانند دارای اشکال کاملاً متفاوتی باشند، به هیچ وجه نامرتب نیستند.

هر ایزومتري موضعی، همان‌طور که ثابت کردیم، روی همه همسایگیهایی که به قدر کافی کوچک باشند یک ایزومتري است. بدینسان از قضیه ۴.۵ نتیجه می‌شود که ایزومتريهای موضعی خمیدگی گاوس را حفظ می‌کنند. به‌عنوان مثال، در مثال ۶.۴ صفحه و استوانه هر دو دارای خمیدگی گاوسی $K = 0$ می‌باشند. (به همین علت، بی‌درنگ رویه خمیده استوانه‌ای را «هموار» نامیدیم. در واقع استوانه به‌طور ذاتی به‌همان اندازه صفحه هموار است.) در قسمت دوم مثال ۶.۴، هلیکونید و کاتونید در نقاط متناظر

$$x(u, v) \text{ و } F(x(u, v)) = y(u, v)$$

دقیقاً دارای یک خمیدگی گاوسی $1/(1+v^2)^2$ - می‌باشند (مثال ۳.۴ و ۴.۶ فصل ۵ را ببینید).

روشن است که می‌توان از قضیه فوق‌الضاده گاوس برای اثبات آنکه رویه‌های مفروضی ایزومتریک نیستند استفاده کرد. به‌عنوان مثال، کره S^2 (یا حتی ناحیه بسیار کوچکی از آن) نمی‌تواند با بخشی از صفحه ایزومتریک باشد، زیرا خمیدگی گاوسی آنها متفاوت است. اشکال نقشه‌کشان نیز همین است: هندسه ذاتی سطح زمین با هیچ نقشه مسطحی درست نمایش داده نمی‌شود.

بند بعدی جنبه محاسباتی دارد، و تغییرناپذیرهای ایزومتریک دیگری را در بند ۷ خواهیم آورد.

تمرینات

۱. ژئودزیکها به هندسه ذاتی تعلق دارند: اگر α یک ژئودزیک در M ، و $F: M \rightarrow N$ یک ایزومتري (موضعی) باشد، آنگاه $F(\alpha)$ ژئودزیکی از N است. (داده‌نمایی: تمرین ۱، بند ۱، فصل ۶ را ببینید.)

۲. با استفاده از تمرین ۱ ژئودزیکهای استوانه مستدیر را بیابید (مثال ۸.۵ فصل ۵). این مطلب را به استوانه دلخواه تعمیم دهید.

۳. مقادیر خمیدگی گاوسی یک رویه (همبند)، فاصله‌ای را می‌پوشانند. اگر یک ایزومتري موضعی از M به N وجود داشته باشد (به ویژه اگر M و N ایزومتریک باشند)، نشان دهید که فاصله خمیدگی M و N یکی است. با ذکر مثالی نشان دهید که عکس آن درست نیست.

۴. ثابت کنید که هیچ دو تایی از رویه‌های زیر ایزومتریک نیستند:

کره، چنبره، هلیکوتید، استوانه مستدیر، رویه زینی.

۵. خم‌نیدن هلیکوتید درون کاتوئید (۶.۴). به ازای هر عدد t در فاصله $0 \leq t \leq \pi/2$ ، نگاشت $\mathbf{x}_t: \mathbf{E}^2 \rightarrow \mathbf{E}^3$ را به صورت زیر تعریف می‌کنیم:

$$\mathbf{x}_t(u, v) = \cos t(Sc, Ss, v) + \sin t(-Cs, Cc, u)$$

که در آن $s = \sin v$ ، $c = \cos v$ ، $S = \sinh u$ ، $C = \cosh u$ ، \mathbf{x}_0 یک قطعه مختصاتی است که هلیکوتید را می‌پوشاند، $\mathbf{x}_{\pi/4}$ یک نمایش پارامتری کاتوئید می‌باشد، \mathbf{x}_0 و $\mathbf{x}_{\pi/4}$ همان نمایشهای پارامتری معمول با اندکی تغییر می‌باشند، و در اینجا محور دوران کاتوئید محور z است. اگر t را به عنوان زمان تصور کنیم، آنگاه \mathbf{x}_t به ازای $0 \leq t \leq \pi/2$ معرف خم‌نیدن هلیکوتید M_0 در فضا است که آن را با عبور از یک خانواده کامل رویه‌های $M_t = \mathbf{x}_t(\mathbf{E}^2)$ روی کاتوئید $M_{\pi/4}$ می‌برد. ثابت کنید.

(الف) M_t یک رویه است. (فقط نشان دهید که \mathbf{x}_t منظم است).

(ب) اگر $t < \pi/2$ ، آنگاه M_t با هلیکوتید M_0 ایزومتریک است. (نشان دهید که $F_t: M_0 \rightarrow M_t$ که در آن

$$F_t(\mathbf{x}_0(u, v)) = \mathbf{x}_t(u, v)$$

یک ایزومتري می‌باشد، و نیز نشان دهید که به ازای $t = \pi/2$ ، $F_{\pi/4}$ یک ایزومتري موضعی است.)

(ج) هر M_t یک رویه مینیمال است. (با محاسبه نشان دهید که $\mathbf{x}_{uu} + \mathbf{x}_{vv} = 0$)

(د) قائمهای یکه روی مدارها متوازی‌اند: در طول خم $\mathbf{x}_t(u, v)$ که نقطه $\mathbf{x}_0(u, v)$ را از M_0 به $M_{\pi/4}$ می‌برد قائمهای یکه U_t رویه‌های متوالی، متوازی‌اند.

(ه) روی مدارها خمیدگی گاوسی ثابت است. $K_t(\mathbf{x}_t(u, v))$ را کسه در آن K_t خمیدگی گاوسی M_t است، بیابید.)

در کتاب استروک [۶] این خم‌نیدن با یک رشته تصاویر روشن نشان داده شده است.

۶. نشان دهید که هر ایزومتري موضعی از هلیکوتید H به کاتوئید C ، چنان‌کسه در مثال ۶.۴ آمده است، باید محور H را بر روی دایره مینیمال C ، و مولدهای H را بر روی نصف النهارات C ببرد. (با تمرین ۱۱، فصل ۶، بند ۴، مقایسه شود.)

۶. مختصات متعامد

چنان‌که دیدیم هندسه ذاتی یک رویه $M \subset \mathbf{E}^3$ را می‌توان بر حسب فرمهای دوگان θ_1 ، θ_2 و فرم همبندی ω_{12} ، متناظر بديك میدان سه‌وجهی مماس E_1 ، E_2 بیان کرد. این فرمها در معادلات ساختاری اول:

$$d\theta_1 = \omega_{12} \wedge \theta_2$$

$$d\theta_2 = \omega_{21} \wedge \theta_1$$

و معادله ساختاری دوم:

$$d\omega_{12} = -K\theta_1 \wedge \theta_2$$

صدق می‌کنند. در این بند يك روش عملی برای محاسبه این فرم‌ها بیان می‌کنیم، و از آنجا روش جدیدی برای تعیین خمیدگی گاوسی M می‌یابیم.

نخست قطعه مختصاتی متعامد $M \rightarrow D: X$ را در نظر می‌گیریم، و برای این قطعه داریم $F = X_u \cdot X_u = 0$. چون X_u و X_v متعامدند، بنابراین از تقسیم آنها بر طولهای $\|X_u\| = \sqrt{E}$ و $\|X_v\| = \sqrt{G}$ سه وجهیایی ایجاد می‌شود.

۱.۶. تعریف. میدان سه‌وجهی وابسته به قطعه مختصاتی قائم $M \rightarrow D: X$ عبارت است از میدانهای برداری E_1, E_2 که مقادیر آنها در هر نقطه $X(u, v)$ از $X(D)$ برابر است با

$$\frac{X_u(u, v)}{\sqrt{E}(u, v)} \quad \text{و} \quad \frac{X_v(u, v)}{\sqrt{G}(u, v)}$$

در تمرین ۹ بند ۴ فصل ۴، به هر قطعه مختصاتی X توابع مختصاتی \tilde{u} و \tilde{v} را وابسته کردیم؛ این توابع به هر نقطه $X(u, v)$ به ترتیب اعداد u و v را نسبت می‌دهند. مثلاً، برای قطعه مختصاتی جغرافیایی X در مثال ۲.۲ فصل ۲، توابع مختصاتی عبارت‌اند از توابع طول و عرض جغرافیایی روی کره S^2 . در حالت نهایی، یعنی هنگامی که X نگاشت همانی E^2 است، توابع مختصاتی درست همان توابع مختصاتی طبیعی $u \rightarrow (u, v) \rightarrow v$ می‌باشند.

در مورد قطعه مختصاتی متعامد X با میدان سه‌وجهی وابسته E_1 و E_2 ، باید فرمهای

θ_1, θ_2 و ω_{12} را برحسب توابع مختصاتی \tilde{u}, \tilde{v} بیان کرد. نظر به اینکه X در سراسر بحث یکی است، خطر ناشی از حذف نگاشت معکوس X^{-1} را از نمادگذاری می‌پذیریم.

با این قرارداد، توابع مختصاتی $\tilde{u} = u(X^{-1})$ و $\tilde{v} = v(X^{-1})$ به‌طور ساده به‌صورت u و v نوشته می‌شوند، و به همین طریق X_u و X_v نیز میدانهای برداری مماس روی خود M را نشان می‌دهند. بدینسان میدان سه‌وجهی وابسته به X دارای عبارت خلاصه زیر است

$$E_1 = X_u / \sqrt{E} \quad E_2 = X_v / \sqrt{G} \quad (1)$$

اکنون با توجه به اینکه فرمهای دوگان θ_1, θ_2 با رابطه $\theta_i(E_j) = \delta_{ij}$ مشخص می‌گردند، و در مسأله مذکور در بالا نشان داده شده است که

$$du(x_u) = 1 \quad dv(x_u) = 0$$

$$du(x_v) = 0 \quad dv(x_v) = 1$$

بدینسان از (۱) نتیجه می‌گیریم که

$$\theta_u = \sqrt{E} du \quad \theta_v = \sqrt{G} dv \quad (2)$$

بسیار استفاده از معادلات ساختاری، فرمولهای مشابهی برای ω_{12} و K به دست می‌آوریم. یاد آوری می‌کنیم که برای یک تابع f داریم $df = f_u du + f_v dv$ که در آن اندیشه‌ها نمایشگر مشتقهای جزئی اند. بنابراین از (۲) به دست می‌آید:

$$d\theta_u = d(\sqrt{E}) \wedge du = (\sqrt{E})_v dv du = \frac{-(\sqrt{E})_v}{\sqrt{G}} du \wedge \theta_v$$

$$d\theta_v = d(\sqrt{G}) \wedge dv = (\sqrt{G})_u du dv = \frac{-(\sqrt{G})_u}{\sqrt{E}} dv \wedge \theta_u$$

کس در آن از دستور تناوبی ضرب گسوده‌ای استفاده کرده و مقادیر θ_v/\sqrt{G} و $dv = \theta_v/\sqrt{E}$ را از (۲) به دست آورده‌ایم. از مقایسه با معادلات ساختاری اول

$$d\theta_v = -\omega_{12} \wedge \theta_u \quad d\theta_u = \omega_{12} \wedge \theta_v$$

نتیجه می‌شود که

$$\omega_{12} = \frac{-(\sqrt{E})_v}{\sqrt{G}} du + \frac{(\sqrt{G})_u}{\sqrt{E}} dv \quad (3)$$

طرز استدلال ساده است؛ بنابراین محاسبات بالا، این فرم در معادلات ساختاری اول صدق می‌کند. و بنابراین ω_{12} باید همان ω_{12} باشد.

۲.۶. مثال. مختصات جغرافیایی دوی کره. برای قطعه مختصاتی جغرافیایی x در کسره Σ (مثال ۲.۲، فصل ۴) به دست آورده $E = r^2 \cos^2 v$ ، $F = 0$ ، $G = r^2$. بدینسان بنا بر فرمول (۲) در بالا، خواهیم داشت

$$\theta_u = r \cos v du \quad \theta_v = r dv$$

و چون $(\sqrt{E})_v = -r \sin v$ و $(\sqrt{G})_u = 0$ ، از این دو بنا بر (۳) داریم

$$\omega_{12} = \sin v du$$

میدان سه‌وجهی وابسته بدین قطعه مختصاتی همان است که در مثال ۶.۱ از میدان سه‌وجهی E^3 به دست آمد. با تغییر نماد گذاری $\varphi \rightarrow u$ ، $v \rightarrow \vartheta$ ، فرمهای بالا نیز

(لزوماً) همان فرمهای مثال ۶.۱ می‌شوند. اما در اینجا آنها را به روش ساده‌تری مستقیماً برحسب خوددیده بدون توسل به هندسه E^3 ، محاسبه کردیم.

بالاخره برای خمیدگی گاوسی عبارت جدیدی به دست می‌آوریم. بدین نحو از دیفرانسیلگیری خارجی ω_{12} که با رابطه (۳) داده شده است حاصل می‌شود

$$d\omega_{12} = -((\sqrt{E})_v / \sqrt{G})_v dv du + ((\sqrt{G})_u / \sqrt{E})_u du dv$$

از (۲) به دست می‌آید

$$\theta_1 \wedge \theta_2 = \sqrt{EG} du dv$$

بنابراین

$$-dv du = du dv = \frac{1}{\sqrt{EG}} \theta_1 \wedge \theta_2$$

بدینسان فرمول بالا به صورت زیر درمی‌آید

$$d\omega_{12} = \frac{1}{\sqrt{EG}} \left\{ \left(\frac{(\sqrt{G})_u}{\sqrt{E}} \right)_u + \left(\frac{(\sqrt{E})_v}{\sqrt{G}} \right)_v \right\} \theta_1 \wedge \theta_2$$

اکنون این رابطه را با معادله ساختاری دوم

$$d\omega_{12} = -K \theta_1 \wedge \theta_2$$

مقایسه می‌کنیم.

۳.۶. لم. گیریم $M \rightarrow D$ یک قطعه مختصاتی متعامد باشد، آنگاه خمیدگی گاوسی K بر حسب x چنین است

$$K = \frac{-1}{\sqrt{EG}} \left\{ \left(\frac{(\sqrt{G})_u}{\sqrt{E}} \right)_u + \left(\frac{(\sqrt{E})_v}{\sqrt{G}} \right)_v \right\}$$

برخلاف فرمول K که در فرس ۱.۴ فصل ۵ به دست آوردیم، در اینجا توابع m و n (که معرف عملگر شکلی می‌باشند) شرکت ندارند. در واقع چون K در اینجا فقط بر حسب E ، F و G بیان شده است، با استفاده از لم ۵.۴، برهان دیگری برای تغییرناپذیری خمیدگی گاوسی در ایزومتری به دست می‌آید.

در عمل به جای آنکه مستقیماً در فرمول بالا به جایگذاری پردازیم، عموماً آسانتر است که در هر مورد روش استنتاج لم ۳.۶ را تکرار کنیم. به عنوان مثال، برای صفحه اقلیدسی E^2 نمایش پارامتری قطبی $x(u, v) = (u \cos v, u \sin v)$ را در نظر می‌گیریم،

در اینجا داریم $E = 1$ ، $F = 0$ (بنابراین x متعامد است) و $G = u^2$. بدینسان بنا بر (۲) خواهیم داشت $\theta_1 = du$ و $\theta_2 = u dv$ ، و چون

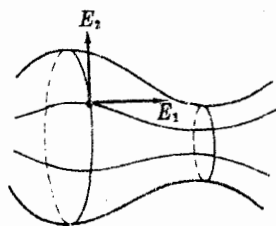
$$d\theta_1 = 0 \quad \text{و} \quad d\theta_2 = du dv = -dv \wedge \theta_1$$

از آنجا $\omega_{12} = dv$ و در نتیجه $d\omega_{12} = 0$ ، و از اینجا هموار بودن E^2 بار دیگر اثبات می شود.

۴.۶. مثال. میدان سدوجهی طبیعی یک رویه دورانی. برای یک رویه دورانی با نمایش پارامتری متعارف

$$x(u, v) = (g(u), h(u) \cos v, h(u) \sin v)$$

میدان سدوجهی وابسته، از E_1 و E_2 به ترتیب در امتداد نصف النهارات و مدارات (شکل ۱۳.۶) تشکیل می شود.



شکل ۱۳.۶

چون x متعامد است، $E = 1$ ، $G = h^2$ ، بنابراین داریم $\theta_1 = du$ و $\theta_2 = h dv$. در اینجا h فقط تابع u است، بنابراین $h_u = h'$ و $h_v = 0$ همان مشتق معمولی h' می باشد. از (۳)، یا از راه محاسبه مستقیم، خواهیم داشت $\omega_{12} = h' dv$ ، از آنجا

$$d\omega_{12} = h'' du dv = \frac{h''}{h} \theta_1 \wedge \theta_2$$

در نتیجه خمیدگی گائوسی برابر است با $K = -h''/h$ ، که با نتایج لسم ۳.۶ فصل ۵ مطابقت دارد.

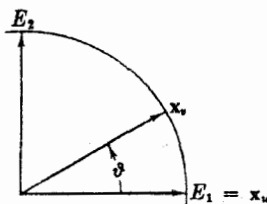
تمرینات

۱. مطلوب است محاسبه فرمهای دوگان، فرم همبند، و خمیدگی گائوسی در مورد میدان سدوجهی وابسته به قطعه‌های مختصاتی متعامد زیر:

- (الف) $\mathbf{x}(u, v) = (u \cos v, u \sin v, bv)$ هلیکویید
 (ب) $\mathbf{x}(u, v) = (u \cos v, u \sin v, u^2/2)$ سهمیگون دورانی
 (ج) مخروط، $\mathbf{x}(u, v) = (u \cos v, u \sin v, av)$

۴. گیریم قطعه مختصاتی $\mathbf{x}: D \rightarrow M$ يك نگاهت همشكلی باشد. (دستگاه مختصاتی وابسته را دستگاه مختصاتی تکدها گویند.) ثابت کنید که:
 (الف) $K = -\Delta(\log E)/2E$ ، که در آن Δ لاپلاسی است: $\Delta f = f_{uu} + f_{vv}$.
 (ب) خمیدگی متوسط H برابر صفر است اگر، و فقط اگر، $\mathbf{x}_{uu} + \mathbf{x}_{vv} = 0$.
 (داهنمایی: از تمرین ۷، فصل ۶، بند ۴ استفاده کنید.)

۳. در مورد يك قطعه مختصاتی با $E = G = 1$ ، نشان دهید که $K = -\partial_{uv}/\sin \vartheta$ ، که در آن ϑ زاویه مختصاتی است. (داهنمایی: در مورد میدان سه‌وجهی با $E_1 = \mathbf{x}_u$ مانند شکل ۱۴.۶، نشان دهید که $\theta_1 = du + \cos \vartheta dv$ ، $\theta_2 = \sin \vartheta dv$.)



شکل ۱۴.۶

۴. اگر \mathbf{x} يك قطعه مختصاتی اصلی باشد (تمرین ۹، فصل ۵، بند ۴)، ثابت کنید که

$$l_v = HE_v \quad (\text{ب}) \quad \omega_{12} = \frac{l}{\sqrt{E}} du \quad (\text{الف})$$

$$n_u = HG_u \quad \omega_{23} = \frac{n}{\sqrt{G}} dv$$

۵. استدلال متن را دقیقتر بیان کرده نشان دهید که معادلات (۲) و (۳) دقیقاً درست هستند، مشروط بر آنکه در آنها به جای θ_1, θ_2 و ω_{12} عبارات مختصاتی

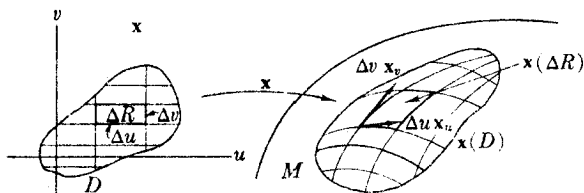
$$\mathbf{x}^*(\theta_1), \mathbf{x}^*(\theta_2), \mathbf{x}^*(\omega_{12})$$

را جایگزین کرد.

۷. انتگرالگیری و جهتدهی

هدف اصلی این بند تعریف انتگرال يك ۲- فرمی روی يك رویه جهتدار فشرده است. این

مفهوم به حساب انتگرال روی رویه‌ها (فصل ۴، بند ۶) تعلق دارد، و به هیچ وجه از آن هندسه نیست. اما، با بررسی چند مسألهٔ هندسی در این باره به توضیح تعریف می‌پردازیم. شاید ساده‌ترین کاربرد انتگرال دوگانه در هندسه، تعیین مساحت یک رویه باشد. برای آنکه تعریف مناسبی برای مساحت پیدا کنیم، نخست قطعه مختصاتی $\mathbf{x}: D \rightarrow M$ را در نظر می‌گیریم و این سؤال را مطرح می‌کنیم که مساحت نگارهٔ آن، $\mathbf{x}(D)$ چه باید باشد؟ در D مستطیل مختصاتی کوچک ΔR به اضلاع Δu و Δv را در نظر می‌گیریم. اکنون \mathbf{x} مستطیل ΔR را به ناحیهٔ خمیدهٔ کوچک $\mathbf{x}(\Delta R)$ در M بدل می‌کند، این ناحیه با چهار قطعه از خمهای پارامتر، چنان که در شکل ۱۵.۶ نشان داده شده است، مشخص می‌شود.



شکل ۱۵.۶

قبلاً دیده شد که تقریب خطی قطعه خمهایی که $\mathbf{x}(u, v)$ را به $\mathbf{x}(u + \Delta u, v)$ و $\mathbf{x}(u, v + \Delta v)$ می‌پیوندند به ترتیب برابر $\Delta u \mathbf{x}_u$ و $\Delta v \mathbf{x}_v$ می‌باشد (در نقطهٔ (u, v) محاسبه می‌شوند). بدینسان ناحیهٔ $\mathbf{x}(\Delta R)$ با متوازی‌الاضلاع در $T_{\mathbf{x}(u, v)}(M)$ که این بردارها اضلاع آن می‌باشند تقریب می‌شود. مساحت این متوازی‌الاضلاع چنان که در فصل ۲، بند ۱، آمد برابر است با

$$\|\Delta u \mathbf{x}_u \times \Delta v \mathbf{x}_v\| = \|\mathbf{x}_u \times \mathbf{x}_v\| \Delta u \Delta v = \sqrt{EG - F^2} \Delta u \Delta v$$

از اینجا نتیجه می‌گیریم که مساحت $\mathbf{x}(\Delta R)$ باید تقریباً $\sqrt{EG - F^2}$ برابر مساحت مستطیل ΔR یعنی $\Delta u \Delta v$ باشد. عبارت آشنای $\sqrt{EG - F^2}$ معرف میزان انبساط مساحت به وسیلهٔ \mathbf{x} در نقطهٔ (u, v) می‌باشد. بدینسان مساحت کل ناحیهٔ $\mathbf{x}(D)$ را می‌توان به طور طبیعی با

$$\iint_D \sqrt{EG - F^2} \, du \, dv$$

تعریف کرد.

البته امکان دارد که چنین انتگرالهایی ناسره باشند؛ برای اجتناب از این اشکال، مفهوم قطعه مختصاتی را اصلاح می‌کنیم.

۱.۷. تعریف. R° درون مستطیل $R: a \leq u \leq b, c \leq v \leq d$ عبارت است از مجموعه باز $a < u < b, c < v < d$. يك ۲-قطعه‌ای $x: R \rightarrow M$ را هنگامی شبه قطعه مختصاتی نامند که نگاشت تخصیص یافته $x: R^\circ \rightarrow M$ يك قطعه مختصاتی در M باشد.

بنابر توضیحی که قبل از لم ۳.۷، فصل ۲ آمد، $\sqrt{EG - F^2} \geq 0$ روی R کراندار است و در نتیجه مساحت $x(R)$ منتهای خواهد بود.

لزومی ندارد که شبه قطعه مختصاتی ۲-قطعه‌ای $x: R \rightarrow M$ روی مرز R يك به يك باشد، بنا بر این نگاره آن می تواند زیاد هم مستطیلی شکل نباشد. در واقع هم اکنون خواهیم دید که اغلب می توان مساحت کل يك رویه فشرده را با پوشاندن آن به وسیله تنها يك ۲-قطعه‌ای محاسبه کرد.

۲.۷. مثال. مساحت رویه‌ها

(۱) کره Σ به شعاع r . اگر فرمولی را که قطعه مختصاتی جغرافیایی را تعریف می کند بر مستطیل $R: -\pi/2 \leq v \leq \pi/2, -\pi \leq u \leq \pi$ اعمال کنیم، يك ۲-قطعه‌ای که همه کره را می پوشاند به دست می آید. در اینجا

$$E = r^2 \cos^2 v, \quad F = 0, \quad \text{و} \quad G = r^2$$

بنابراین

$$\sqrt{EG - F^2} = r^2 \cos v$$

و بدینسان مساحت کره برابر است با

$$A(\Sigma) = \int_{-\pi}^{\pi} \int_{-\pi/2}^{\pi/2} r^2 \cos v \, du \, dv = 4\pi r^2$$

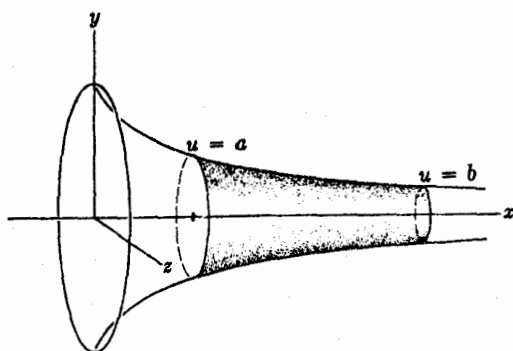
(۲) چنبره T به شعاعهای $R > r > 0$. از مثال ۶.۲، فصل ۴ می توان يك شبه قطعه مختصاتی ۲-قطعه‌ای به دست آورد که چنبره را پوشاند. در اینجا

$$\sqrt{EG - F^2} = r(R + r \cos u)$$

بنابراین مساحت برابر است با

$$A(T) = \int_{-\pi}^{\pi} \int_{-\pi}^{\pi} r(R + r \cos u) \, du \, dv = 4\pi^2 Rr$$

(۳) رویه شیپوری (مثال ۶.۶، فصل ۵). هر رویه دورانی M دارای يك نمایش پارامتری متعارف با $E = 1, F = 0, G = h^2$ است. روی هر مستطیل $R: a \leq u \leq b, 0 \leq v \leq 2\pi$ ، يك شبه قطعه مختصاتی ۲-قطعه‌ای است که نگاره آن ناحیه‌ای از M است که بین مدارات $u = a$ و $u = b$ واقع می باشد (شکل ۱۶.۶). بدینسان مساحت این ناحیه برابر است با



شکل ۱۶.۶

$$A_{ab} = \int_a^b \int_0^{2\pi} h \, du \, dv = 2\pi \int_a^b h \, du$$

در فصل ۵ دیدیم که در مورد رویه شیپوری داریم $h(u) = ce^{-u/c}$ ، از آنجا

$$\begin{aligned} A_{ab} &= 2\pi c \int_a^b e^{-u/c} \, du \\ &= 2\pi c^2 (e^{-a/c} - e^{-b/c}) \end{aligned}$$

برای تعیین مساحت کل شیپور، که رویه‌ای ناسفوده است، این ناحیه را با در نظر گرفتن $a \rightarrow 0$ و $b \rightarrow \infty$ گسترش می‌دهیم.

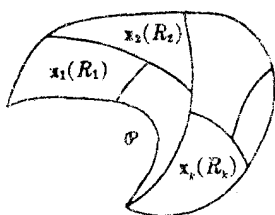
بدینسان (تصوره ۶.۷ را ببینید) مساحت رویه شیپوری متناهی و برابر است با

$$\lim_{\substack{a \rightarrow 0 \\ b \rightarrow \infty}} A_{ab} = 2\pi c^2$$

برای تعیین مساحت یک ناحیه پیچیده سعی نخواهیم کرد که تنها یک شبه‌قطعه مختصاتی ۲-قطعه‌ای را بر آن تطبیق دهیم. در عوض با پیروی از طرح معمول در حساب دیفرانسیل و انتگرال مقدماتی، ناحیه مزبور را به اجزای ساده‌ای تقسیم و سپس مساحت آنها را جمع می‌کنیم.

۳.۷. تعریف. پوشش فرشی ناحیه \mathcal{P} در M عبارت است از تعداد متناهی از شبه‌قطعه مختصاتی ۲-قطعه‌ای X_1, \dots, X_k که نگاره‌های آنها \mathcal{P} را پوشانند، به طوری که هر نقطه از \mathcal{P} حداکثر به یک مجموعه $X_i(R_i^0)$ متعلق باشد.

به اختصار، نگاره‌های X_i ‌ها دقیقاً \mathcal{P} را می‌پوشانند، و تنها در مرزهایشان



شکل ۱۷۰۶

همپوش‌اند (شکل ۱۷۰۶).

هر ناحیه‌ای فرشیذیر نیست، زیرا تعداد x_k ها متناهی است، و از این رو شرط فشردگی قطعاً ضروری می‌باشد. (تعریف ۲۰۷، فصل ۴) در اینجا بدون هیچ اشکالی این نکته را می‌پذیریم که هر ناحیهٔ فشرده‌ای که مرز آن از تعداد متناهی قطعه‌خیمهای منظم تشکیل شده باشد فرشیذیر است. به‌ویژه، همواره تمام یک رویهٔ فشرده فرشیذیر است. مساحت یک ناحیهٔ فرشیذیر \mathcal{P} با مجموع مساحت‌های $x_1(R_1), \dots, x_k(R_k)$ به‌ازای یک پوشش فرشی \mathcal{P} تعریف می‌شود. (مسألهٔ سازگاری مربوطه در ذیل تعریف مشابه ۵۰۷ مورد بحث قرار خواهد گرفت.)

از بیانی که گذشت دیده می‌شود که در محاسبهٔ مساحت نیازی به فرم‌های دیفرانسیلی نیست، اما با انتگرال‌گیری ۲-فرمیها (تعریف ۳۰۶، فصل ۴) علاوه بر مساحت، چیزهای بسیاری نیز به‌دست می‌آیند. نخستین سؤال این است که: از کدام ۲-فرمی باید روی یک شبه‌قطعه مختصاتی ۲-قطعه‌ای X انتگرال گرفت تا مساحت نگارهٔ آن به‌دست آید؟ بنابر تعریف:

$$\iint_x \mu = \iint_R \mu(x_u, x_v) du dv$$

بدینسان مقدار ۲-فرمی مطلوب روی X_u, X_v باید برابر

$$\|X_u \times X_v\| = \sqrt{EG - F^2}$$

باشد. به‌طور کلی، ۲-فرمی μ را به‌گونه‌ای که به‌ازای هر v و w تساوی

$$\mu(v, w) = \pm \|v \times w\|$$

برقرار باشد، یک فرم مساحت می‌نامند. چنین فرمی به‌هر زوج بردارهای مماس w, v مساحت متوازی‌الاضلاع به‌ضلع‌های v و w را با علامت مثبت یا منفی نسبت می‌دهد.

۴۰۷. لم. شرط لازم و کافی برای آنکه رویهٔ M دارای فرم مساحت باشد، آن است که جهت‌پذیر باشد. روی هر رویهٔ جهت‌پذیر (همبند) M دقیقاً دو فرم مساحت وجود دارد، که مساوی و مختلف‌العلامه‌اند. (آنها را با dM و $-dM$ نشان می‌دهیم.)

برهان. اگر v و w استقلال خطی داشته باشند، آنگاه $\|v \times w\| > 0$ بدینسان فرم‌های مساحت هیچ‌گاه صفر نمی‌شوند. از این رو بنا بر تعریف ۴۰۷، فصل ۴، رویهٔ جهت‌ناپذیر نمی‌تواند دارای فرم مساحت باشد.

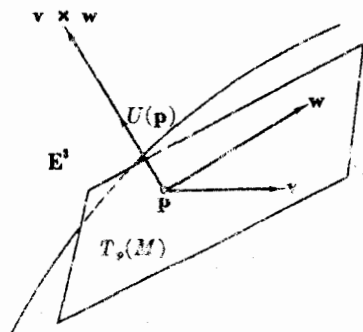
اکنون فرض کنیم که M یک رویهٔ جهت‌پذیر در E^3 باشد. برهان قضیهٔ ۵۰۷، فصل ۴

۱. توضیحات و مرجع ذیل قضیهٔ ۵۰۸، فصل ۷ را ببینید.

یک تناظر یک به یک بین میدانهای برداری قائم روی M و \mathbb{R}^3 فرمهای روی M برقرار می‌کند. اگر U یک قائم یک به یک باشد، آنگاه \mathbb{R}^3 فرمی وابسته dM یک فرم مساحت است، زیرا

$$dM(\mathbf{v}, \mathbf{w}) = U(\mathbf{p}) \cdot \mathbf{v} \times \mathbf{w} = \pm \|\mathbf{v} \times \mathbf{w}\|$$

(در شکل ۱۸.۶ این عدد مثبت است، زیرا $\mathbf{v} \times \mathbf{w}$ و $U(\mathbf{p})$ همسو می‌باشند، اما اگر جای \mathbf{v} و \mathbf{w} را با هم عوض کنیم، عددی با علامت منفی به دست می‌آید). بدینسان دو میدان برداری قائم یک به یک روی M ، دو فرم مساحت dM و $-dM$ را روی M معین می‌کنند.



شکل ۱۸.۶

برای جهت‌دار کردن یک رویه جهت‌پذیر باید یکی از فرمهای مساحت را انتخاب کرد، زیرا، این عمل با انتخاب یکی از قائمهای یک به یک آن معادل است. تعیین مساحت را واقعاً نمی‌توان یک مسئله نمونه انتگرالگیری به حساب آورد، زیرا مساحت همواره مثبت است. بدینسان برای تعیین مساحت به وسیله انتگرالگیری از فرم مساحت، باید در مورد علامت دقت کرد. فرض کنیم \mathbf{x} یک شبه‌قطعه مختصاتی \mathbb{R}^3 قطعه‌ای در رویه‌ای باشد که با فرم مساحت dM جهت‌دار شده است. بنا بر تعریف،

$$\iint_x dM = \iint_R dM(\mathbf{x}_u, \mathbf{x}_v) du dv$$

در اینجا دو حالت وجود دارد:

(۱) اگر $dM(\mathbf{x}_u, \mathbf{x}_v) > 0$ ، گوئیم که \mathbf{x} به طوری جهت‌دار شده است. در این صورت بنا بر تعریف فرم مساحت داریم،

$$dM(\mathbf{x}_u, \mathbf{x}_v) = \|\mathbf{x}_u \times \mathbf{x}_v\|$$

از این رو $\iint_x dM$ برابر مساحت $\mathbf{x}(R)$ است.

(۲) اگر $dM(x_u, x_v) < 0$ ، گوئیم که x به‌طور منفی جهت‌دار شده است. در این

صورت

$$dM(x_u, x_v) = -\|x_u \times x_v\|$$

از این رو $\iint_x dM$ برابر مساحت $x(R)$ با علامت منفی است.

بدینسان برای آنکه مساحت یک ناحیه جهت‌دار شده فرسپذیر را با انتگرالگیری از فرم مساحت انتخاب شده بیابیم، نمی‌توان از پوشش فرشی دلخواه استفاده کرد، پوشش فرشی مزبور باید به‌طور مثبت جهت‌دار شده باشد، یعنی، تنها از شبه‌قطعه‌های مختصاتی ۲-قطعه‌ای که به‌طور مثبت جهت‌دار شده‌اند تشکیل گردد. آنگاه

$$A(\mathcal{P}) = \sum_i A(x(R_i)) = \sum_i \iint_{x_i} dM$$

اکنون به‌جای فرم مساحت، یک ۲-فرمی دلخواه قرار می‌دهیم تا تعریفی را که جستجو می‌کنیم بیابیم.

۵.۷. تعریف. گیریم ν یک ۲-فرمی روی یک ناحیه جهت‌دار فرسپذیر \mathcal{P} از رویه‌ای باشد. انتگرال ν روی \mathcal{P} عبارت است از

$$\iint_{\mathcal{P}} \nu = \sum_{i=1}^k \iint_{x_i} \nu$$

که در آن x_1, \dots, x_k یک پوشش فرشی \mathcal{P} ، با جهتهای مثبت است.

در این تعریف یک مسأله سازگاری مطرح است: باید نشان داد که برای مجموع طرف دوم به‌ازای دو پوشش فرشی متمایز \mathcal{P} با جهتهای مثبت، یک مقدار به‌دست می‌آید. برهان دقیق آن تا اندازه‌ای طولانی است، طرح کلی آن در صفحه ۱۵۳ کتاب هیکس [۵] آمده است.

چون رویه‌های فشرده فرسپذیرند، تعریف بالا انتگرال هر ۲-فرمی را به‌ویژه روی یک رویه فشرده جهت‌دار به‌دست می‌دهد.

۶.۷. تبصره. انتگرالهای ناسره. مساحت و انتگرال فرمها در مورد رویه‌های فشرده تعریف شده، اما مفهوم مساحت را می‌توان به‌آسانی برای هر رویه نافروده N تعمیم داد. مساحت N را با کوچکترین کران بالای مجموعه همه مساحت‌های نواحی فرسپذیر \mathcal{P} در N تعریف می‌کنیم:

$$A(N) = \text{l. u. b. } A(\mathcal{P})$$

بدینسان اگر کران بالا متناهی نباشد، داریم $A(N) = +\infty$.

برعکس، عموماً نمی‌توان به انتگرال ناسره $\int \int_N f dN$ یک مقدار متناهی یا نامتناهی نسبت داد. اما در حالت خاص $f \geq 0$ ، می‌توان به همان روش تعیین مساحت عمل کرد؛ قرار می‌دهیم

$$\int \int_N f dN = l. u. b. \int \int_{\mathcal{P}} f dN \quad (\mathcal{P} \text{ ناحیه‌ای فرشپذیر از } N)$$

در حالت $f \leq 0$ ، بزرگترین کران پایین را در نظر می‌گیریم. بدینسان ممکن است که در این دو حالت مقادیر $+\infty$ و $-\infty$ به دست آید. اکنون گیریم $\mathcal{P}_1, \mathcal{P}_2, \dots$ دنباله‌ای از نواحی فرشپذیر در N باشد، به طوری که \mathcal{P}_i مشمول در \mathcal{P}_{i+1} بوده، و هر ناحیه فرشپذیر از N مشمول در یکی از \mathcal{P}_i ها باشد. در این صورت نتیجه می‌شود که

$$\lim_{i \rightarrow \infty} \int \int_{\mathcal{P}_i} f dN = \int \int_N f dN$$

(برای این منظور از نکته‌ای که در مورد مساحت در (۳)، مثال ۲.۷ آمد استفاده می‌کنیم.)

اگر \mathcal{P} ناحیه‌ای فرشپذیر در رویه M که با dM جهت‌دار شده است باشد، چنان که دیدیم $\int \int_{\mathcal{P}} dM$ مساحت \mathcal{P} را نشان می‌دهد. به طور کلیتر، $\int \int_{\mathcal{P}} f dM$ انتگرال تابع f را روی \mathcal{P} به دست می‌دهد، که شباهت واضحی با انتگرال معمولی $\int_a^b f dx$ در حساب دیفرانسیل و انتگرال مقدماتی دارد. اکنون یکی از کاربردهای هندسی مهم این مطلب را مورد توجه قرار می‌دهیم.

۷.۷. تعریف. گیریم K خمیدگی گاوسی رویه M و \mathcal{P} ناحیه‌ای فرشپذیر از M باشد که با dM جهت‌دار شده است. آنگاه برای ناحیه \mathcal{P} عدد

$$\int \int_{\mathcal{P}} K dM$$

را خمیدگی گاوسی کل \mathcal{P} می‌نامند.

هنگامی که \mathcal{P} تمام یک رویه فشرده جهت‌دار M باشد، خمیدگی گاوسی کل M به دست می‌آید. خمیدگی کل، یک مجموع جبری است: خمیدگی منفی در یک جا، ممکن است خمیدگی مثبت در جای دیگر را حذف کند.

برای محاسبه خمیدگی کل، بنا بر تعریف ۵.۷ کافی است بدانیم چگونه از ۲- فرمی $K dM$ روی شبه قطعه‌های مختصاتی ۲- قطعه‌ای انتگرال بگیریم. اما با نمادگذاری معمول $M \rightarrow \mathbb{R}^3: \mathbf{x}$ داریم

$$\begin{aligned}\iint_x K dM &= \iint_R \mathbf{x}^*(K dM) \\ &= \iint_R K(\mathbf{x}) \mathbf{x}^*(dM) = \int_a^b \int_c^d K(\mathbf{x}) \sqrt{EG - F^2} du dv\end{aligned}$$

آنگاه $K(\mathbf{x})$ را می‌توان صریحاً با استفاده از فرع ۱۰۴ فصل ۵ یا لم ۳۰۶ محاسبه کرد. خوشبختانه مسائل مربوط به جهت‌دهی در اینجا خود به‌خود حل می‌شوند، تمرین ۴ (ج) را ببینید.

۸.۷. مثال. خمیدگی کل چند رویه

(۱) خمیدگی ثابت. اگر خمیدگی گاوسی M ثابت باشد، آنگاه خمیدگی کل آن برابر است با

$$\iint_M K dM = K \iint_M dM = K A(M)$$

بدینسان کره‌ای به شعاع r دارای خمیدگی کل 4π است (زیرا $K A(M)$ به صورت $(4\pi r^2)(1/r^2)$ درمی‌آید)، و رویهٔ شیپوری دارای خمیدگی کل -2π است (زیرا $K A(M)$ به صورت $(2\pi c^2)(-1/c^2)$ درمی‌آید).

(۲) چنبره. روی چنبرهٔ T ، ۲-قطعه‌ای \mathbf{x} مذکور در مثال ۲.۷ را در نظر می‌گیریم. فرم مساحت dT بنا بر مثال مزبور دارای عبارات مختصاتی

$$\mathbf{x}^*(dT) = \sqrt{EG - F^2} du dv = r(R + r \cos u) du dv$$

است. اما در مثال ۱.۶، فصل ۵، به‌ازای همین \mathbf{x} محاسبه شد که

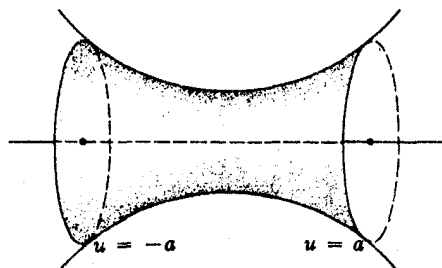
$$K(\mathbf{x}) = \frac{\cos u}{r(R + r \cos u)}$$

بنابراین، خمیدگی کل چنبره چنین است

$$\iint_T K dT = \int_{-\pi}^{\pi} \int_{-\pi}^{\pi} \cos u du dv = 0$$

بدینسان روی چنبره خمیدگی منفی نیمهٔ داخلی آن دقیقاً با خمیدگی مثبت نیمهٔ خارجی برابری می‌کند، و خمیدگی کل صفر می‌شود.

(۳) کاتنویید. این رویه فشرده نیست، و مساحت آن بینهایت است، باوجود این خمیدگی کل آن، بنا بر تبصرهٔ بالا که به‌صورت انتگرال ناسره در نظر گرفته می‌شود، متناهی است. روی مستطیل $0 \leq v \leq 2\pi$ ، $-a \leq u \leq a$ ، R ، نمایش پارامتری مذکور در مثال ۱.۶، فصل ۵ به‌صورت یک شبه‌قطعه مختصاتی ۲-قطعه‌ای درمی‌آید که ناحیهٔ بین



شکل ۱۹.۶

مدارات $u = a$ و $u = -a$ را می پوشاند (شکل ۱۹.۶). از مثال ۱۰.۶ فصل ۵، به دست می آید

$$K(x) = \frac{-1}{c^\gamma \cosh^\gamma\left(\frac{u}{c}\right)}$$

و

$$x^*(dM) = \sqrt{EG} du dv = c \cosh^\gamma\left(\frac{u}{c}\right)$$

بنابراین ناحیه مزبور دارای خمیدگی کل زیر است

$$\iint_x K dM = - \int_{-a}^a \int_0^{2\pi} \frac{du dv}{c \cosh^\gamma\left(\frac{u}{c}\right)} = -4\pi \tanh\left(\frac{a}{c}\right)$$

هنگامی که $a \rightarrow \infty$ ، این ناحیه توسعه می یابد و تمام رویه را فرا می گیرد، بدینسان خمیدگی کل کاتوتوئید برابر است با

$$\iint_M K dM = -4\pi \lim_{a \rightarrow \infty} \tanh\left(\frac{a}{c}\right) = -4\pi$$

خمیدگیهای کل که در بالا محاسبه شد عبارت اند از 4π ، -2π ، 0 و -4π ، که مجموعه نسبتاً خاصی از اعداد است. علاوه بر این، هیچ کدام به «اندازه» خاص رویه خود (شعاع r ، ثابت c ، ...) بستگی ندارد. در این باره توضیح مختصری در فرع ۱۰.۷ آمده است؛ در فصل ۷، بند ۸ به تعمق بیشتری می پردازیم.

گیریم $F: M \rightarrow N$ یک نگاشت رویه های جهتدار باشد، در این صورت J ، ژاکوبی F ، عبارت است از یک تابع بامقدار حقیقی روی M به طوری که

$$F^*(dN) = J dM$$

تعبیر هندسی J را می‌توان با بحثی همانند آنچه در آغاز این بند در حالت خاص آمد به‌دست آورد. اگر v و w دو بردار مماس بسیار کوچک در نقطه p از M باشند، در $T_p(M)$ متوازی‌الاضلاعی ایجاد می‌کنند که تقریبی از یک ناحیه کوچک ΔM از M می‌باشد. ویژگی نگاشت مشتق یعنی F_* به گونه‌ای است که $F_*(v)$ و $F_*(w)$ اضلاع متوازی‌الاضلاعی در $T_{F(p)}(N)$ می‌باشند به طوری که این متوازی‌الاضلاع تقریبی است از $F(\Delta M)$ ناحیه نگاره، چنان‌که در شکل ۲۰.۶ نشان داده شده است. بنا بر تعریف ژاکوبی خواهیم داشت

$$J(p) dM(v, w) = (F^* dN)(v, w) = dN(F_*v, F_*w) \quad (*)$$

از طرف دیگر $\|v \times w\|$ تقریباً برابر مساحت ΔM (و مشابه آن برای $F(\Delta M)$) است. از این رو با گرفتن قدرمطلق خواهیم داشت

$$|J(p)| (\Delta M \text{ مساحت}) \sim F(\Delta M) \text{ مساحت}$$

بدینسان $|J(p)|$ میزان انبساط مساحت در p را، که به وسیله F به‌وجود می‌آید، به‌دست می‌دهد. علاوه بر این اگر ΔM به‌طور مثبت جهت‌دار شده باشد، یعنی $dM(v, w) > 0$ ، آنگاه $(*)$ نشان می‌دهد که علامت $dN(F_*v, F_*w)$ همان علامت $J(p)$ است. بدینسان علامت $J(p)$ نشان می‌دهد که F جهت‌دهی ΔM را حفظ کرده یا معکوس می‌کند. بدینسان عدد

$$\iint_M J dM = \iint_M F^*(dN)$$

را مساحت جبری $F(M)$ می‌نامیم. بحث بالا نشان می‌دهد که، به‌طور اجمالی، هر ناحیه کوچک ΔM از M مساحت جبری نگاره خود یعنی $F(\Delta M)$ را به این جمع کل به شرح زیر می‌افزاید:

- (۱) با علامت مثبت، اگر جهت‌دهی $F(\Delta M)$ با جهت‌دهی N مطابقت داشته باشد،
- (۲) با علامت منفی، اگر این جهت‌دهیها مطابقت نداشتند (بنابراین F ، ΔM را واژگون کرده است)،
- (۳) با مقدار صفر، اگر F ، ΔM را به یک خم یا یک نقطه تبدیل کند.



شکل ۲۰.۶

اکنون به تعبیر این مطلب در حالت نگاشت گاوس (تمرین ۴، بند ۱، فصل ۵) می‌پردازیم.

۹.۷. قضیه. K خمیدگی گاوسی رویه جهندار $M \subset \mathbb{E}^3$ برابر با ژاکوبی نگاشت گاوسی آن $G: M \rightarrow \Sigma$ است. (در اینجا Σ کره یکه است، که با قائم برون سوی \bar{U} یا فرم مساحت $d\Sigma$ متناظر جهندار شده است.)

پروهان. اگر $U = \sum g_i U_i$ قائم یکه‌ای باشد که M را جهندار کند، آنگاه نگاشت گاوس متناظر با آن عبارت خواهد بود از $G = (g_1, g_2, g_3)$. توجه شود که اگر S عملگر شکلی رویه M باشد که از U به‌دست می‌آید، آنگاه

$$-S(\mathbf{v}) = \nabla_{\mathbf{v}} U = \sum \mathbf{v}[g_i] U_i(\mathbf{p})$$

و بنا بر قضیه ۵.۷، فصل ۱ داریم،

$$G_*(\mathbf{v}) = \sum \mathbf{v}[g_i] U_i(G(\mathbf{p}))$$

بنابراین $G_*(\mathbf{v})$ و $-S(\mathbf{v})$ به‌ازای هر بردار مماس \mathbf{v} بر M موازی‌اند، چنان‌که در شکل ۲۱.۶ نشان داده شده است.

برای اثبات قضیه باید نشان داد که

$$K dM = G^*(d\Sigma)$$

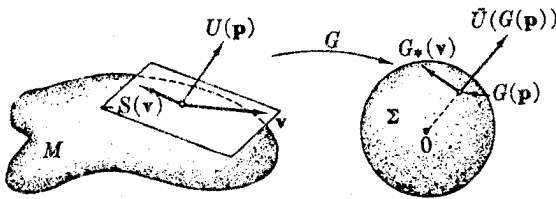
از این رو به‌محاسبه این ۲-فرمیها روی یک‌زوج دلخواه بردارهای مماس بر M می‌پردازیم. با استفاده از لم ۴.۳، فصل ۵ داریم،

$$\begin{aligned} (K dM)(\mathbf{v}, \mathbf{w}) &= K(\mathbf{p}) dM(\mathbf{v}, \mathbf{w}) = K(\mathbf{p}) U(\mathbf{p}) \cdot \mathbf{v} \times \mathbf{w} \\ &= U(\mathbf{p}) \cdot S(\mathbf{v}) \times S(\mathbf{w}) \end{aligned}$$

از طرف دیگر

$$(G^* d\Sigma)(\mathbf{v}, \mathbf{w}) = d\Sigma(G_*\mathbf{v}, G_*\mathbf{w}) = \bar{U}(G(\mathbf{p})) \cdot G_*\mathbf{v} \times G_*\mathbf{w}$$

اما حاصل ضرب مختلط سه بردار فقط به‌مختصات اقلیدسی بردارهای مزبور بستگی دارد، بنابراین می‌توان به‌جای $G_*(\mathbf{v})$ و $G_*(\mathbf{w})$ بردارهای $-S(\mathbf{v})$ و $-S(\mathbf{w})$ را که با آنها موازی‌اند قرار داد. علاوه بر این، بنا بر تعریف G و خصوصیت ویژه کره یکه Σ ، بردارهای $U(\mathbf{p})$ و $U(G(\mathbf{p}))$ نیز موازی‌اند (شکل ۲۱.۶). بدینسان دو حاصل ضرب مختلط بالا با هم برابرند، و اثبات پایان می‌یابد.



شکل ۲۱۰۶

۱۰۰۷. فرع. خمیدگی گاوسی کل رویه جهتدار $M \subset E^3$ برابر است با مساحت $G(M)$ نگاره آن در نگاشت گاوس $G: M \rightarrow \Sigma$.
برای اثبات کافی است که از فرم

$$K dM = G^*(d\Sigma)$$

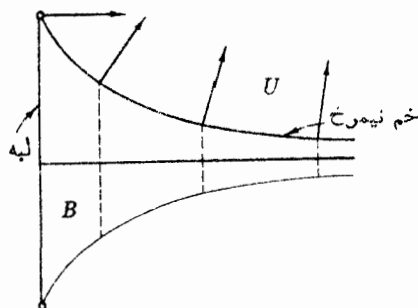
روی M انتگرال بگیریم.

هنگامی که نگاشت M را روی ناحیه‌هایی از N ، چندبار تا کند، مساحت جبری دشواریهایی را مسووب می‌شود. از این رو در عمل، حالت خاصی از قضیه ۱۰۰۷ که در زیر می‌آید و متضمن مساحت عادی است ساده‌تر می‌باشد.

۱۱۰۷. فرع. اگر \mathcal{R} ناحیه‌ای جهتدار از E^3 باشد، به طوری که روی آن (۱) نگاشت گاوس G يك به يك باشد (U در نقاط مختلف \mathcal{R} متوازی نیست)، و (۲) یا $K \geq 0$ یا $K \leq 0$ ، آنگاه خمیدگی کل \mathcal{R} برابر است با مساحت $G(\mathcal{R})$ با علامت مثبت یا منفی، یعنی همان علامت K . علاوه بر این مساحت مزبور از 4π تجاوز نمی‌کند.

(برای اثبات از انتگرالهای ناسره استفاده می‌شود.) به عنوان مثال، نگاشت گاوس يك چنبره جهتدار را در نظر می‌گیریم. در اینجا G دایره‌های فوقانی و تحتانی T را (که در آنها $K = 0$) به قطبهای شمالی و جنوبی Σ تبدیل می‌کند. اگر، مانند شکل ۲۱۰۵، Θ و \mathcal{J} نیمه‌های بیرونی و درونی T باشند، آنگاه G ناحیه Θ را (که در آن $K \geq 0$) به طور يك به يك روی همه کره Σ می‌نگارد. و در مورد ناحیه \mathcal{J} (که در آن $K \leq 0$) نیز به همین نحو عمل می‌کند. بدینسان T دارای خمیدگی کل $+A(\Sigma) - A(\Sigma) = 0$ می‌باشد، و این همان نتیجه‌ای است که در مثال ۸۰۷ مستقیماً با انتگرالگیری بدست آمد.

به عنوان مثال دیگر، نشان می‌دهیم که تمام رویه شیپوری B در فرضهای فرع ۱۱۰۷ صدق می‌کند. در واقع چنان که در شکل ۲۲۰۶ دیده می‌شود، نگاشت گاوس خم نیمرخ آن را به طور يك به يك روی ربع يك دایره عظیمه از Σ می‌نگارد. بدینسان با حرکت دادن U روی مدارات B ، دیده می‌شود که G يك نگاشت يك به يك از B روی يك نیمکره باز (بدون نقطه مرکزی آن، زیرا رویه B شامل لبه نیست) است. بدینسان خمیدگی کل شیپور



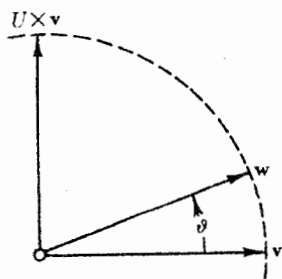
شکل ۲۲.۶

برابر است با $2\pi - A(\Sigma)/2 = -2\pi$. علاوه بر این، چون شیور دارای خمیدگی ثابت است، می توان مساحت آن را بدون انتگرالگیری به دست آورد: خمیدگی کل یعنی -2π را بر خمیدگی (ثابت) $K = -1/c^2$ تقسیم می کنیم و مساحت برابر $2\pi c^2$ به دست می آید، چنان که در مثال ۲.۷ نیز پیدا کردیم.

ابهامی را که درباره اندازه گیری زوایا در فصل ۲، بند ۱ بیان کردیم، می توان در مورد رویه های جهتدار برطرف کرد. اگر رویه، با قائم یکه U جهتدار شده باشد، آنگاه به ازای هر بردار مماس v بر M ، بردار $U \times v$ يك بردار مماس عمود بر v خواهد بود. $U \times v$ را به صورت برداری که از دوران v بداندازه $90^\circ +$ به دست آمده است در نظر می گیریم. آنگاه اگر v و w دو بردار مماس یکه در يك نقطه از M باشند، زاویه جهتدار از v به w را با عدد ϑ به صورت زیر تعریف می کنیم:

$$w = \cos \vartheta v + \sin \vartheta (U \times v)$$

(شکل ۲۳.۶). بدینسان همه زوایای جهتدار از v به w به صورت $\vartheta + 2\pi n$ می باشند، که در آن n عدد صحیح دلخواهی است. (همین طرح را می توان در مورد هر زوج بردار مماس غیرصفر به کار برد: کافی است آنها را بر نرمشان تقسیم کنیم تا بردارهای یکه به دست آیند.)



شکل ۲۳.۶

سازگاری، جوهر جهت پذیری است - در بررسی رویه ای که به وسیله فرم مساحت dM جهتدار شده است همواره قطعه های مختصاتی با جهتدهی مثبت $dM(x_u, x_v) > 0$ و میدانهای سه وجهی با جهتدهی مثبت را که به ازای آنها

$$dM(E_1, E_2) = +1$$

به کار می بریم.

(توجه شود که بنا بر تعریف فرم مساحت، تنها مقادیر ممکن برای dM روی یک سه‌وجهی، ± 1 است.) اکنون می‌توان در مورد یک میدان سه‌وجهی با جهت‌دهی مثبت، تعبیر هندسی حاصل ضرب خارجی فرمهای دوگان آن

$$dM = \theta_1 \wedge \theta_2$$

را روی حوزه تعریف میدان سه‌وجهی بیان کرد. برای اثبات این نکته مفید، کافی است توجه شود که مقدار هر دو طرف این رابطه روی E_1 ، E_2 برابر ± 1 است. بدینسان معادله ساختاری دوم (فرع ۳.۲) به صورت $d\omega_1 = -K dM$ درمی‌آید.

تمرینات

۱. نشان دهید که برای قطعه مختصاتی مونوژ

$$\mathbf{x}(u, v) = (u, v, f(u, v))$$

مساحت $x(D)$ با همان فرمول معمول در حساب دیفرانسیل و انتگرال مقدماتی به دست می‌آید. نتیجه بگیرید که $A(\mathbf{x}(D)) \geq A(D)$.

۲. برای مساحت رویه دورانی دلخواه فرمولی بیابید، و آن را به صورت $A = 2\pi L \bar{h}$ که در آن L طول خم نیمرخ و \bar{h} مسافت متوسط آن از محور دوران است تعبیر کنید (پاپوس).

۳. مساحت رویه‌های زیر را بیابید:

- (الف) ناحیه‌ای از رویه زینی $z = xy$ متناظر به قرص $x^2 + y^2 \leq c^2$ از صفحه xy
 (ب) کاتنوئید
 (ج) نوار مویبوس. (تمرین ۷، فصل ۴، بند ۷)

۴. گیریم M و $-M$ نمایشگر یک رویه فشرده باشند که به ترتیب با فرمهای مساحت dM و $-dM$ جهت‌دار شده‌اند. ثابت کنید که

(الف) (c_1, c_2) مقادیر ثابت‌اند

$$\iint_M (c_1 v_1 + c_2 v_2) = c_1 \iint_M v_1 + c_2 \iint_M v_2$$

$$\iint_{-M} v = - \iint_M v \quad (\text{ب})$$

(داهنمایی: اگر $\tilde{\mathbf{x}}(u, v) = \mathbf{x}(v, u)$ باشد، نشان دهید که $\tilde{\mathbf{x}}$ و \mathbf{x} دارای جهت‌دهی متقابل‌اند، و سپس تمرین ۲۱ را ببینید.)

$$\iint_M f \, dM = \iint_{-M} f(-dM) \quad (\text{ج})$$

$$\iint_M f \, dM \leq \iint_M g \, dM \quad \text{اگر } f \leq g, \text{ آنگاه} \quad (\text{د})$$

(بد تأثیر $f = 0$ یا $g = 0$ توجه شود.)

خاصیت (ج) نشان می‌دهد که در تعریف انتگرال يك تابع روی رویه فشرده‌ای که جهتپذیر باشد، هر فرم مساحت را انتخاب کنیم نتیجه یکی است. به‌ویژه، برای يك رویه فشرده جهتپذیر، خمیدگی کل بدخوبی معین است.

۵. خمیدگی کل دویه‌های دورانی. روی رویه دورانی M با خم نیمرخ α ، ناحیه «منطقه» بین مدارات ماربر $\alpha(a)$ و $\alpha(b)$ را با Z_{ab} نشان می‌دهیم. (الف) ثابت کنید که خمیدگی کل Z_{ab} برابر است با

$$2\pi(\sin \varphi_a - \sin \varphi_b)$$

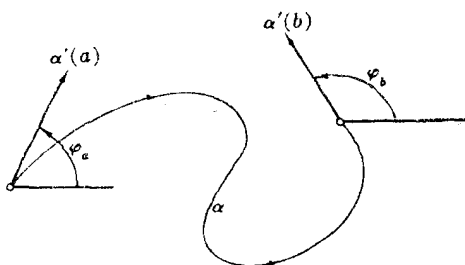
که در آن φ_a و φ_b زوایای شیب خم α به ترتیب در $\alpha(a)$ و $\alpha(b)$ نسبت به محور دوران می‌باشند (شکل ۲۴.۶).

(ب) نتیجه بگیرید که خمیدگی کل هر رویه دورانی که خم نیمرخ آن بسته باشد برابر صفر است.

اگر خم نیمرخ α بسته نباشد، آنگاه با يك فاصله $A < t < B$ در تناظر يك به يك خواهد بود. در این حالت خمیدگی کل را با

$$2\pi(\lim_{a \rightarrow A} \sin \varphi_a - \lim_{b \rightarrow B} \sin \varphi_b)$$

تعریف می‌کنیم، مشروط بر آنکه هر دو حد وجود داشته باشند. (ج) این فرمول را در مورد رویه شیپوری و کاتنویید تحقیق کنید.



شکل ۲۴.۶

۶. نشان دهید که شرط لازم و کافی برای آنکه نگاشت گاوس يك رویه $M \subset E^3$ همشکلی باشد، آن است که M قسمتی از يك کره یا از يك رویهٔ مینیمال باشد.

۷. خمیدگی کل رویه‌های دورانی با خمیدگی ثابت (فصل ۵، بند ۴، و تمرینات آن) را بیابید، و مساحت آنها را نتیجه بگیرید.

۸. فرمهای مساحت E^2 همان‌طور که حدس زده می‌شود عبارت‌اند از $\pm du dv$ (زیرا du و dv فرمهای دوگان يك میدان سد وجهی می‌باشند). جهت‌دهی طبیعی E^2 متناظر با $du dv$ است، همواره این جهت‌دهی را می‌پذیریم مگر آنکه خلاف آن تصریح شود. (الف) با استفاده از تعریف کلی که در متن آمد، نشان دهید که ژاکوبی نگاشت

$$F = (f, g) : E^2 \rightarrow E^3$$

با فرمول معمولی زیر داده می‌شود

$$J = f_u g_v - f_v g_u$$

(ب) نشان دهید که ژاکوبی قطعه مختصاتی $x : D \rightarrow M$ که در آن M يك رویهٔ جهت‌دار و D همبند است برابر $\pm \sqrt{EG - F^2}$ می‌باشد، علامت آن بستگی به این دارد که x به‌طور مثبت و یا منفی جهت‌دار شده باشد.

۹. گیریم M يك رویهٔ خط‌دار باشد که مرزهای آن از خطوط مستقیم کامل تشکیل شده‌اند، و فرض کنیم که $K < 0$.

(الف) نشان دهید که خمیدگی کل M برابر است با $-2L(\delta)$ ، که در آن δ خم هادی است با $\|\delta\| = 1$.

(ب) با این روش خمیدگی کل رویهٔ زینی $M : z = xy$ را محاسبه کنید، و آن را با فرع ۱۱.۷ تطبیق دهید.

۱۰. خمیدگی کل رویه‌های درجهٔ دوم

(الف) خمیدگی کل، سهمیگون هذلولوی، سهمیگون بیضوی، و بیضیگون را بیابید.

(ب) نشان دهید که خمیدگی کل هذلولیگون دورانی $M : (x^2 + y^2)/a^2 - z^2/c^2 = 1$ برابر است با $-2\pi a/\sqrt{a^2 + c^2}$.

بدینسان خمیدگی کل هذلولیگون بیضوی به «ابعاد» خاص آن بستگی دارد، و همین مطلب نیز در مورد هذلولیگون بیضوی دوپارچه صادق است.

۱۱. يك ناحیهٔ سادهٔ \mathcal{D} در M ، عبارت است از ناحیه‌ای که بتوان آن را به‌عنوان نگارهٔ

$F(D)$ از قرص $1 \leq u^2 + v^2 \leq 1$ در E^2 با نگاشت منظم يك به يك F بیان کرد. نشان

دهید که \mathcal{D} را می‌توان با يك شبه قطعه مختصاتی ۲-قطعه‌ای x به‌طوری فرش کرد که به‌ازای هر ۱-فرمی ϕ داشته باشیم

$$\iint_S d\phi = \int_a \phi$$

که در آن α خم مرزی X است. (داهنمایی: تمرین ۱۲، فصل ۴، بند ۶ را ببینید.)

۰۱۲ (ادامه)

(الف) اگر S يك ناحیه ساده در E^2 باشد، نشان دهید که مساحت S برابر است با

$$\frac{1}{2} \int_a (u dv - v du)$$

که در آن α «خم مرزی» S است.

(ب) مطلوب است تعیین مساحت ناحیه‌ای در E^2 که با بیضی زیر محصور شده است

$$\frac{u^2}{a^2} + \frac{v^2}{b^2} = 1$$

۰۱۳ در تمرین ۷، بند ۸، فصل ۷ نشان خواهیم داد که اگر ϕ يك ۱-فرمی روی رویه

جهتدار فشرده‌ای باشد، آنگاه داریم

$$\iint_M d\phi = 0$$

با ترکیب این فرع و تمرین ۳، بند ۲ نشان دهید که اگر h تابع محلی $M \subset E^2$ باشد، آنگاه

$$A(M) + \iint_M hH dM = 0 \quad \iint_M H dM + \iint_M hK dM = 0$$

این فرمولها را درباره کره‌ای به شعاع r ، که با قائم یکه برون‌سوی جهتدار شده است تحقیق کنید.

۰۱۴ زاویه جهتدار v با u را با $\vartheta = \angle(u, v)$ نمایش می‌دهیم. نشان دهید که

(الف) اگر $\vartheta = \angle(u, v)$ و $\varphi = \angle(v, w)$ ، آنگاه $\vartheta + \varphi = \angle(u, w)$.

(ب) اگر $\vartheta = \angle(u, v)$ ، آنگاه $\vartheta = \angle(v, u)$.

۰۱۵ بگیریم $\alpha: I \rightarrow M$ خمی در رویه جهتدار M باشد. اگر V و W میدانهای برداری

مماس غیرصفر روی α باشند، نشان دهید که روی I می‌توان تابع دیفرانسیلپذیر ϑ را

طوری تعیین کرد که به ازای هر t از I ، $\vartheta(t)$ نمایشگر زاویه جهتدار $W(t)$ با $V(t)$ باشد.

ϑ را تابع زاویه W با V می‌نامند. توجه شود که اختلاف هر دو تابع زاویه‌ای

مضرب صحیحی از 2π است. (داهنمایی: از تمرین ۱۲، فصل ۴، بند ۱ استفاده شود.)

۰۱۶ نگاشت $F: M \rightarrow N$ را هنگامی مساحت نگهدار می‌نامند که مساحت هر ناحیه

فرشیدنی R در M با مساحت $F(R)$ ، نگاره آن در N برابر باشد.
(توجه شود که چنین نگاشتی لزوماً يك به يك است.) نشان دهید که:

(الف) نگاشت يك به يك $F: M \rightarrow N$ مساحت نگهدار است اگر به ازای هر قطعه مختصاتی x در M و $\bar{x} = F(x)$ در N داشته باشیم

$$EG - F^2 = \bar{E}\bar{G} - \bar{F}^2$$

(داهنمایی: نشان دهید که F هر پوشش فرشی M را به يك پوشش فرشی N بدل می‌کند.)

(ب) هر ایزومتري مساحت نگهدار است، و رویه‌های ایزومتريك دارای يك مساحت‌اند. حالت نافشرده را نیز در نظر بگیرید.

(ج) نگاشت (۱) در مثال ۲.۵ فصل ۴ مساحت نگهدار است، ولی يك ایزومتري نیست. از اینجا فرمول معمولی مساحت منطقه کروی را نتیجه بگیرید. (کافی است در (الف) تنها يك نمایش پارامتری x را که تمام M را پوشاند در نظر بگیرید.)

۱۷. گیریم $F: M \rightarrow N$ يك نگاشت رویه‌های جهتدار با ژاکوبی J باشد، نشان دهید که: (الف) F^* منظم است اگر، و فقط اگر، J هیچ‌گاه صفر نشود.

(ب) F مساحت نگهدار است اگر يك به يك باشد و $J = \pm 1$. (عکس آن نیز صادق است.)

(ج) اگر F يك ایزومتري باشد، آنگاه $J = \pm 1$ ، اما عکس آن صادق نیست.

چون ما تنها به بررسی رویه‌های همبند می‌پردازیم، (الف) نشان می‌دهد که همه این قبیل نگاشتهای F به دو طبقه تقسیم می‌شوند: سونگهدارند اگر $J > 0$ ، سوبرگردان‌اند اگر $J < 0$. جز در مورد قطعه‌های مختصاتی (تقریباً)، این مفهوم را اساساً دربارهٔ حالت ساده‌ای که در آن F يك ایزومتري است به کار می‌بریم.

۱۸. گیریم $F: M \rightarrow \bar{M}$ يك ایزومتري رویه‌های جهتدار باشد، نشان دهید که F سونگهدار است اگر، و فقط اگر، یکی از شرایط زیر برقرار باشد:

$$F^*(d\bar{M}) = dM \quad (\text{الف})$$

(ب) به ازای همه بردارهای مماس v بر M در p ،

$$F_*(U(p) \times v) = \bar{U}(F(p)) \times F_*(v)$$

(U و \bar{U} قائمهای یکه‌ای می‌باشند که M و \bar{M} را جهتدار می‌کنند.)

(ج) به ازای هر زوج بردارهای مماس،

$$U(p) \cdot v \times w = \bar{U}(F(p)) \cdot F_*(v) \times F_*(w)$$

(د) به ازای هر میدان سه‌وجهی بساجهتدهی مثبت E_1, E_2 روی M ، $F_*(E_1)$ ،

$F_*(E_2)$ نیز يك میدان سه‌وجهی بساجهتدهی مثبت روی M است.

۱۹. گیریم $F: M \rightarrow N$ يك ديفئومرفيسم سونگهداری از رویه‌های فشرده جهتدار باشد، نشان دهید که
(الف) به ازای هر $\nu \in N$ فرمی روی N ،

$$\iint_M F^*(\nu) = \iint_N \nu$$

(داهنمایی: تمرین ۸، فصل ۴، بند ۶ را ببینید.)

(ب) خمیدگی کل در مورد رویه‌های فشرده جهتدار يك تغییرناپذیر ایزومتري است.
(ج) درحالات رویه‌های نافشرده، با فرض آنکه $0 \leq K$ یا $0 \geq K$ قسمت (ب) را تعمیم دهید.

۲۰. نگاشت گاوس G در مورد چند دویهٔ مینیمال. ثابت کنید که:

(الف) کائوئید G يك به يك است و نگارهٔ آن تمام کره بجز دو نقطه را می‌پوشاند.
(ب) هلیکوئید، نگارهٔ G تمام کره بجز دو نقطه را می‌پوشاند، و هر نقطهٔ نگاره با بینهایت نقطه از هلیکوئید متناظر است.

(ج) دویهٔ شرنک (تمرین ۲۱، فصل ۵، بند ۴). مانند هلیکوئید است جز آنکه در اینجا چهار نقطه حذف می‌شود. (داهنمایی: $Z = \nabla g$ را روی خطوط شاغولی بررسی کنید.)
خمیدگی کل این رویه‌ها را بیابید.

۲۱. گیریم x و y دو شبه قطعه مختصاتی ۲-قطعه‌ای روی يك رویهٔ جهتدار M باشند به طوری که نگارهٔ آنها یکی باشد، $x(D) = y(E)$. نشان دهید که به ازای هر $\nu \in D$ داریم

$$\iint_y \nu = \pm \iint_x \nu$$

علامت مثبت است اگر جهتهای x و y یکی باشد، و منفی است اگر جهتهای آنها متقابل باشد (داهنمایی: علامت ژاکوبی $y^{-1}x$ را بررسی کنید و فرمول تعویض متغیرها در انتگرال دوگانه را به کار برید.)

۸. انطباق رویه‌ها

دو رویهٔ M و N را هنگامی قابل انطباق گویند که يك ایزومتري F از E^3 وجود داشته باشد به طوری که M را دقیقاً روی N ببرد. بدینسان رویه‌های قابل انطباق همشکل اند، و فقط از لحاظ وضع قرار گرفتن در E^3 باهم اختلاف دارند. مثلاً، هر دو کره‌ای که شعاع آنها برابر باشد قابل انطباق اند (با استفاده از انتقالی که مرکز یکی را به مرکز دیگری می‌برد)، و رویه‌های

$$M: z = xy, \quad M: z = \frac{x^2 + y^2}{2}$$

نیز با دوران 45° حول محور z برهم منطبق می‌شوند. برای سهولت بیان، در این بند رویه‌ها را جهت‌پذیر و همبند فرض می‌کنیم.

۱۰۸. قضیه. اگر F یک ایزومتري اقلیدسی باشد به طوری که $F(M) = \bar{M}$ ، آنگاه تخصیص F به M یعنی $F = F|_M: M \rightarrow \bar{M}$ یک ایزومتري رویه‌هاست. علاوه بر این، اگر M و \bar{M} به طور مناسبی جهت‌دار شده باشند، آنگاه F حافظ عملگرهای شکلی است، یعنی به ازای همه بردارهای مماس v بر M داریم

$$F_*(S(v)) = \bar{S}(F_*(v))$$

خلاصه آنکه، رویه‌های قابل انطباق ایزومتریک اند و عملگرهای شکلی آنها اساساً یکی هستند. البته باید توجه داشت که رویه‌های ایزومتریک لزوماً قابل انطباق نیستند، زیرا چنان که دیدیم، امکان دارد که عملگرهای شکلی آنها در E^3 کاملاً متفاوت باشند.

برهان. چنان که در فصل ۴، بند ۵ دیدیم، تخصیص $F: M \rightarrow \bar{M}$ یک نگاشت است. علاوه بر این نگاشتهای مشتق F و F روی بردارهای مماس بر M سازگارند. در واقع، اگر v بر M مماس باشد، آنگاه v سرعت آغازی یک خم α در M است، و چون $F = F|_M$ داریم

$$F(\alpha) = F(\alpha)$$

بدینسان

$$F_*(v) = F(\alpha)'(0) = F(\alpha)'(0) = F_*(v)$$

از اینجا مستقیماً نتیجه می‌شود که F_* حافظ ضرب نقطه‌ای بردارهای مماس بر M می‌باشد، زیرا F_* به ازای هر زوج از بردارهای مماس، این خاصیت را داراست (فصل ۲، ۲.۲). علاوه بر این، $F: M \rightarrow \bar{M}$ یک به یک است (همانند F) و پوشا (بنا بر فرض) نیز می‌باشد، از این رو F یک ایزومتري رویه‌هاست.

بالاخره، نشان می‌دهیم که F حافظ عملگرهای شکلی است. اگر M با قائم یک U جهت‌دار شده باشد، آنگاه چون F_* حافظ ضرب نقطه‌ای (و با F_* روی M سازگار است)، نتیجه می‌شود که $F_*(U)$ دارای طول واحد بوده و همواره بر $F(M) = \bar{M}$ قائم می‌باشد. بدینسان یکی از قائمهای یک U رویه M ، مثلاً \bar{U} ، دارای این خصوصیت است که در آن

$$F_*(U(p)) = \bar{U}(\bar{p}) \quad \bar{p} = F(p)$$

اگر روی M و \bar{M} عملگرهای شکلی S و \bar{S} به ترتیب با U و \bar{U} متناظر باشند، نشان خواهیم داد که

$$F_*(S(v)) = \bar{S}(F_*(v))$$

اکنون گیریم α خمی در M با سرعت آغازی v باشد. بدینسان $F(\alpha)$ نیز خمی در \bar{M} با سرعت آغازی $F_*(v)$ خواهد بود. اگر U به α و \bar{U} به $F(\alpha)$ تخصیص یابد، آنگاه $F_*(U) = \bar{U}$ (شکل ۲۵.۶). چون F_* حافظ مشتقات میدانهای برداری است، خواهیم داشت

$$F_*(S(v)) = -F_*(U'(o)) = -\bar{U}'(o) = \bar{S}(F_*(v))$$

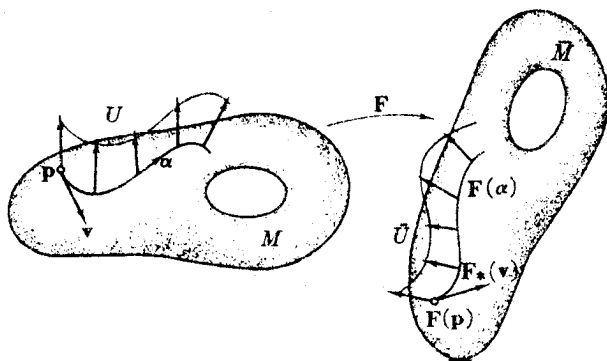
اما چون v و $S(v)$ بر M مماس اند، بنابراین می‌توان F_* را به جای F قرارداد.

اکنون به عکس قضیه پیش می‌پردازیم، یعنی: اگر M و \bar{M} ایزومتریک و دارای عملگرهای شکلی یکسان باشند، آنگاه M و \bar{M} قابل انطباقی اند. این قضیه نظیر همان نتیجه اساسی (قضیه ۳.۵، فصل ۳) مربوط به خمهاست. شرط ایزومتریک بودن M و \bar{M} در اینجا با فرضی که خمهای α و β روی یک فاصله تعریف شده‌اند و دارای تندی واحد می‌باشند متناظر است، و «یکسانی عملگرهای شکلی» نیز با

$$\kappa = \bar{\kappa}, \quad \tau = \pm \bar{\tau}$$

متناظر می‌باشد.

۲.۴.۸. لم. گیریم $F: M \rightarrow \bar{M}$ یک ایزومتری رویه‌های جهتدار حافظ عملگرهای شکلی در E^3 باشد (مانند قضیه ۱.۸). گیریم E_1, E_2 یک میدان سه وجهی مماس روی M و \bar{E}_1, \bar{E}_2 میدان سه وجهی انتقالی روی \bar{M} باشد. اگر E_3 و \bar{E}_3 قائمهای یکه‌ای باشند که M و \bar{M} را جهتدار می‌کنند، آنگاه E_1, E_2, E_3 و $\bar{E}_1, \bar{E}_2, \bar{E}_3$ میدانهای سه وجهی برانزده روی M و \bar{M} را تشکیل می‌دهند. در مورد فرمهای همبندی این میدانهای سه وجهی داریم



شکل ۲۵.۶

$$F^*(\bar{\omega}_{ij}) = \omega_{ij} \quad (1 \leq i, j \leq 2)$$

برهان. بنا بر لم ۳.۵ می‌دانیم که $F^*(\bar{\omega}_{12}) = \omega_{12}$. بنا بر این تنها باید ثابت کنیم که

$$F^*(\bar{\omega}_{i3}) = \omega_{i3}, \quad i = 1, 2$$

اما بنا بر فرع ۵.۱ این رابطه محفوظ ماندن عملگرهای شکلی را بر حسب فرمهای همبندی بیان می‌کند. در واقع، بدازای $j = 1, 2$ ،

$$\begin{aligned} F^*(\bar{\omega}_{i3})(E_j) &= \bar{\omega}_{i3}(F_*E_j) = \bar{S}(F_*E_j) \cdot \bar{E}_i = F_*(S(E_j)) \cdot F_*(E_i) \\ &= SE_j \cdot E_i = \omega_{i3}(E_j) \end{aligned}$$

بنا بر این فرمهای $F^*(\bar{\omega}_{i3})$ و ω_{i3} برابرند.

۳.۸. قضیه. گیریم $F: M \rightarrow N$ یک ایزومتري بين رویه‌های جهندار باشد، به طوری که عملگرهای شکلی را حفظ کند، یعنی بدازای همه بردارهای مماس v بر M ،

$$F_*(S(v)) = \bar{S}(F_*(v))$$

آنگاه M و M قابل انطباق‌اند؛ در واقع یک ایزومتري F از E^3 وجود دارد به طوری که $F = \mathbf{F}|M$.

(ممکن است اتفاق افتد که به ازای همه بردارهای مماس داشته باشیم

$$F_*(S(v)) = -\bar{S}(F_*(v))$$

در این صورت کافی است جهندهی M یا \bar{M} را معکوس کنیم، تا به صورت فرض مذکور در قضیه درآید.)

برهان. یک نقطه p از M اختیار می‌کنیم، و فرض می‌کنیم E_3 و \bar{E}_3 ، قائمهای یک‌های باشند که M و \bar{M} را جهندهی می‌کنند. با استفاده از فرع ۳.۲ فصل ۳ به آسانی می‌توان نشان داد که یک ایزومتري یکتای F از E^3 وجود دارد که با F در نقطه انتخاب شده p سازگار باشد، بدین معنی که

$$\mathbf{F}(p) = F(p)$$

$$F_*(v) = \mathbf{F}_*(v) \quad p \text{ در } M \text{ بر } v$$

$$\mathbf{F}_*(E_r(p)) = E_r(F(p))$$

اکنون نشان می‌دهیم که \mathbf{F} همان ایزومتري اقلیدسی مطلوب است، به عبارت دیگر به ازای هر نقطه دلخواه q از M داریم $\mathbf{F}(q) = F(q)$. بدینسان اگر α خمی در M از p به q باشد، کافی است ثابت کنیم که $\mathbf{F}(\alpha) = F(\alpha)$.

بی آنکه از کلیت کاسته شود می‌توان فرض کرد که α در حوزة تعریف يك میدان سه-وجهی برانزنده E_1, E_2, E_3 روی M واقع است. (اگر چنین نباشد، می‌توان α را به قطعاتی با این خصوصیت تقسیم کرد، و برهان زیر را بدنبول خود درباره هر يك از آنها تکرار نمود.) در اینجا برای اثبات آنکه خمهای $F(\alpha)$ و $F(\alpha)$ متحدند، ملاک کلی قضیة ۲.۵ فصل ۳ را به کار می‌بریم.

الف. خم $F(\alpha)$. میدان سه‌وجهی E_1, E_2, E_3 را به‌خس α تخصیص می‌دهیم (شکل ۲۶.۶). آنگاه بنا بر معادلات همبندی،

$$E'_i = \nabla_{\alpha} E_i = \sum \omega_{ij}(\alpha') E_j \quad (1 \leq i \leq 3)$$

اکنون F_* را بداین معادله اعمال می‌کنیم، چون F_* خطی است و مشتقها را حفظ می‌کند، داریم

$$(F_* E_i)' = \sum \omega_{ij}(\alpha') F_*(E_j) \quad (1 \leq i \leq 3) \quad (\text{الف } 1)$$

F_* حاصل ضرب نقطه‌ای را نیز حفظ می‌کند، بنا بر این $F_* E_1, F_* E_2, F_* E_3$ همان میدان سه‌وجهی روی خم نگاره $F(\alpha)$ می‌باشد. علاوه بر این،

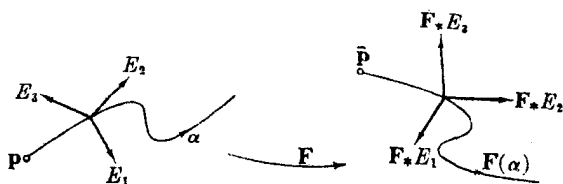
$$F(\alpha)' \cdot F_* E_i = \alpha' \cdot E_i \quad (\text{الف } 2)$$

زیرا

$$F(\alpha)' = F_*(\alpha')$$

ب. خم $\bar{\alpha} = \overline{F(\alpha)}$. با استفاده از ایزومتري F ، میدان سه‌وجهی مماس E_1, E_2, E_3 را به میدان سه‌وجهی مماس $\bar{E}_1, \bar{E}_2, \bar{E}_3$ روی \bar{M} انتقال می‌دهیم. بدینسان با میدان برداری قائم یکة \bar{E}_3 ، یک میدان سه‌وجهی برانزنده $\bar{E}_1, \bar{E}_2, \bar{E}_3$ روی \bar{M} خواهیم داشت. چون آن را به خم نگاره $\bar{\alpha} = \overline{F(\alpha)}$ تخصیص دهیم، و مانند بالا از معادلات همبندی استفاده کنیم به‌دست می‌آید،

$$\bar{E}'_i = \sum \bar{\omega}_{ij}(\bar{\alpha}') \bar{E}_j \quad (1 \leq i \leq 3) \quad (\text{ب } 1)$$



شکل ۲۶.۶

علاوه بر این، داریم

$$\bar{\alpha}' \cdot \bar{E}_i = \alpha' \cdot E_i \quad (1 \leq i \leq 2) \quad (\text{ب } ۲)$$

این رابطه به‌ازای $i = 1, 2$ مستقیماً از تعریف \bar{E}_1, \bar{E}_2 نتیجه می‌شود، زیرا F_* یک ایزومتري است و

$$\bar{\alpha}' = F(\alpha)' = F_*(\alpha')$$

به‌ازای $i = 3$ هر دو طرف صفرند، زیرا α و $\bar{\alpha}$ به‌ترتیب خمناهی در M و \bar{M} می‌باشند.

ج. مقایسه $F(\alpha)$ و $\bar{F}(\alpha)$. طرز ساختمان بالا و فرض آنکه F حافظ عملگرهای شکلی است دقیقاً با مفروضات لم پیش مطابقت دارد، بنابراین به‌ازای $1 \leq i, j \leq 3$ داریم $F^*(\bar{\omega}_{ij}) = \omega_{ij}$ بدینسان

$$\bar{\omega}_{ij}(\bar{\alpha}') = \bar{\omega}_{ij}(F_*(\alpha')) = (F^*\bar{\omega}_{ij})(\alpha') = \omega_{ij}(\alpha')$$

با استفاده از این نکته از (الف ۱) و (ب ۱) نتیجه می‌شود که،

$$(F_*E_i)' \cdot F_*E_j = \bar{E}_i \cdot \bar{E}_j \quad (1 \leq i, j \leq 2) \quad (\text{ج } ۱)$$

ازمقایسه (الف ۲) و (ب ۲) به‌دست می‌آید،

$$F(\alpha)' \cdot F_*E_i = \bar{\alpha}' \cdot \bar{E}_i \quad (1 \leq i \leq 2) \quad (\text{ج } ۲)$$

و بنا بر طرز ساختمان آغازی، در نقطه $\bar{p} = \bar{\alpha}(0) = F(\alpha(0))$ داریم

$$F_*E_i = \bar{E}_i \quad (1 \leq i \leq 2) \quad (\text{ج } ۳)$$

با توجه به معادلات (\pm) ، قضیه ۷.۵، فصل ۳، مشاهده می‌شود که سه معادله (ج ۱)، (ج ۲) و (ج ۳) دقیقاً همان شرایط موردنیاز برای اثبات $\bar{F}(\alpha) = \bar{\alpha}$ می‌باشند؛ بدینسان،

$$\bar{F}(\alpha) = \bar{\alpha}$$

این قضیه به‌طور صوری ثابت می‌کند که عملگرهای شکلی یک رویه M در E^3 شکل آن را کاملاً مشخص می‌کنند.

تمرینات

۱. رویه $M \subset E^3$ هنگامی صلب است که هر رویه ایزومتریک با M ، قابل انطباق با آن باشد. با استفاده از قضیه لیلمان نشان دهید که کره رویه‌ای است صلب.

۲. اگر $\alpha, \beta: I \rightarrow E^3$ خمناهی با تندی واحد باشند به‌طوری‌کس $\kappa_\alpha = \kappa_\beta > 0$

$\tau_\alpha = \tau_\beta$ ، نشان دهید که رویه‌های مماسی آنها قابل انطباق‌اند. (تمرین ۵، فصل ۶، بند ۴ را ببینید.)

۳. اگر M و N رویه‌های قابل انطباق در \mathbf{E}^3 ، و \mathbf{F} یک ایزومتري اقلیدسی باشد به طوری که $\mathbf{F}(M) = N$ ، ثابت کنید که $\mathbf{F}|_M$ ، خمیدگیهای گاوسی و متوسط، و خمیدگیهای اصلی، امتدادهای اصلی و همچنین خمهای نافی، مجانبی و اصلی و ژئودزیک را حفظ می‌کند. کدام یک از اینها با ایزومتريهای دلخواه $F: M \rightarrow N$ محفوظ می‌مانند؟ (دانهمایی: رویه‌ها را به طور موضعی جهت‌دار کنید، و از ابهام علامت در مورد H ، k_1 و k_2 صرف نظر نمایید.)

۴. اگر $F: \Sigma \rightarrow \Sigma'$ یک ایزومتري کره‌ها باشد، نشان دهید که یک ایزومتري اقلیدسی \mathbf{F} وجود دارد به طوری که $\mathbf{F} = \mathbf{F}|_\Sigma$.

۵. رویهٔ زیننی $M (z = xy)$ را در نظر می‌گیریم. از دوران 90° حول محور z و سپس تقارن نسبت به صفحهٔ xy یک تبدیل متعامد C از \mathbf{E}^3 به دست می‌آید که ماتریس آن برابر است با

$$\begin{pmatrix} 0 & -1 & 0 \\ 1 & 0 & 0 \\ 0 & 0 & -1 \end{pmatrix}$$

(مطابق قرارداد ما، ستونهای این ماتریس عبارت‌اند از $C(\mathbf{u}_1)$ ، $C(\mathbf{u}_2)$ ، $C(\mathbf{u}_3)$ ، که در آن \mathbf{u}_i ، i امین بردار یکه است.)
(الف) ثابت کنید که $C(M) = M$.

(ب) بگیریم $F = C|M: M \rightarrow M$. M را (به عنوان حوزهٔ F) با قائم یکهٔ U طوری جهت‌دار کنید که $U(\mathbf{o}) = \mathbf{u}_3$. کدام جهت‌دهی M (به عنوان نگارهٔ F) حافظ عملگرهای شکلی است؟

۶. در شرح کلی رویه‌های دورانی مثال ۶.۱، فصل ۴، M از دوران C حول A به دست آمد، بگیریم A خط ماربر \mathbf{p} در امتداد یک بردار یکه \mathbf{e}_1 ، و

$$\alpha(u) = \mathbf{p} + g(u)\mathbf{e}_1 + h(u)\mathbf{e}_2$$

نمایش پارامتری C باشد، که در آن \mathbf{e}_2 یک بردار یکه عمود بر \mathbf{e}_1 است.
(الف) مطلوب است تعیین یک نگاشت منظم $\mathbf{x}: D \rightarrow \mathbf{E}^3$ به طوری که نگارهٔ آن مجموعهٔ M باشد.
آنگاه ثابت کنید که:

(ب) M قابل انطباق با یک رویهٔ دورانی در وضعیت خاص مذکور در مثال ۵.۲، فصل ۴ می‌باشد.

(ج) M یک رویه در E^3 است.

(د) دو رویه دورانی قابل انطباق اند، اگر، و فقط اگر، زوجهای g ، h متناظر به آنها یکی باشند.

۷. رویه $M \subset E^3$ را در نظری می‌گیریم، هریزومتري اقلیدسی F با شرط $F(M) = M$ ، يك تقارن اقلیدسی M نامیده می‌شود. نشان دهید که
(الف) مجموعه همه تقارنهای اقلیدسی M ، يك زیر گروه $\mathcal{S}(M)$ از گروه \mathcal{G} ، یعنی همه ایزومتريهای E^3 است (تمرین ۷، فصل ۳، بند ۱). $\mathcal{S}(M)$ را گروه تقارن اقلیدسی M می‌نامند.

(ب) گروههای تقارن اقلیدسی رویه‌های قابل انطباق، ایزومورف (یکسان) اند.

۸. نشان دهید که گروه تقارن اقلیدسی هر کره با گروه همه ماتریسهای متعامد 3×3 ایزومورف است.

۹. همه هشت تقارن اقلیدسی رویه زینی $\gamma: z = x^2 = y^2$ را بیابید. نشان دهید که این تقارنها تبدیلات متعامدند و ماتریسهای آنها را به دست آورید.

۱۰. مطلوب است تعیین همه تقارنهای اقلیدسی بیضیگون $x^2/a^2 + y^2/b^2 + z^2/c^2 = 1$ که در آن $a > b > c$. (راهنمایی: از این نکته که خمیدگی گاوسی محفوظ می‌ماند، استفاده کنید.)

۱۱. اگر M رویه شريك (تمرین ۲۱، فصل ۵، بند ۴) و D مربع باز $-\pi/2 \leq u, v \leq \pi/2$ باشد، نشان دهید که:

(الف) $X(D)$ نگاره X (تمرین ۴، فصل ۵، بند ۴) در M واقع است.

(ب) هر قسمت از M که در بالای یکی از مربعهای باز (تمرین ۲۱، فصل ۵، بند ۴) واقع است بر $X(D)$ قابل انطباق می‌باشد.

(ج) فرمولهای خمیدگی که در مسائل فوق‌الذکر داده شده‌اند سازگارند.

۹. خلاصه

بررسی هندسی يك رویه M در E^3 به سه مقوله متمایز تقسیم می‌شود:

(۱) هندسه ذاتی M .

(۲) شکل M در E^3 .

(۳) هندسه اقلیدسی E^3 .

در فصول ۲ و ۳ دیدیم که هندسه E^3 بر ضرب نقطه‌ای مبتنی است و از همه مفاهیمی که در ایزومتريهای E^3 محفوظ می‌مانند تشکیل می‌شود. به همین نحو، در اینجا نیز دیده شد که هندسه ذاتی M بر ضرب نقطه‌ای مبتنی است، که تنها در باره بردارهای مماس بر M اعمال می‌شود، و از مفاهیمی که در ایزومتريهای M محفوظ می‌مانند تشکیل می‌شود.

شکل M در E^3 به نحوی رابط بین این دو هندسه است. به عنوان مثال، خمیدگی گاوسی K یکی از مشخصات اساسی هندسه ذاتی M است، و برترین نقش را در مقوله (۲) عملگر شکلی S ایفا می کند، بدینسان معادله

$$K = \det S$$

نمایشگر آن است که تنها با اعمال قیودی بر (۲) می توان هندسه های (۱) و (۳) را هماهنگ ساخت. به عبارت سطحی: در E^3 برای یک رویه M که خمیدگی گاوسی آن از پیش تعیین شده باشد، تنها برخی اشکال امکان پذیرند. یک نتیجه برتسوان این خصوصیت همان قضیه لییمان است، که مبین آن است که برای هر رویه فشرده در E^3 با K ثابت مثبت، تنها یک شکل امکان پذیر می باشد، و آن کره است.

در دو فصل اخیر، محاسبات مربوط به مثالها بر حسب قطعه های مختصاتی (گاوسی) انجام گرفت، اما خود نظریه بر حسب میدانهای سه وجهی و فرمها (کارتان) بیان شد. از لحاظ تاریخی، در مورد این نظریه نیز روش مختصاتی را به کار می برده اند، اما اخیراً روش کارتان به طور وسیعی رواج یافته است. در بند ۶ دیدیم که این دو روش هنگامی که قطعه مختصاتی، متعامد باشد چندان تفاوتی ندارند.



هندسهٔ ریمانی

هنگامی که هندسهٔ رویه‌ها در E^3 را بررسی می‌کردیم، دیدیم که برخی از مهمترین خواص هندسی رویه از خود رویه است، و نه از فضای اقلیدسی محیط بر آن. مثال برجسته در این باره خمیدگی گاوسی است که هرچند برحسب عملگرهای شکلی تعریف می‌شود، اما چون در تبدیلات ایزومتري تغییرناپذیر است به این هندسهٔ ذاتی متعلق خواهد بود. هنگامی که این وضعیت برای ریاضیدانان قرن نوزدهم به تدریج روشن گردید، ریمان به استنتاج صحیحی نایل آمد: باید برای رویه‌ها يك نظریهٔ هندسی کاملاً مستقل از E^3 وجود داشته باشد، هندسه‌ای که از آغاز منحصرأ بر تغییرناپذیرهای ایزومتري بنا شده باشد. در این فصل طرحی از نظریهٔ به دست آمده را می‌آوریم، و توجه خود را اساساً به ویسژگیهای برجستهٔ آن: خمیدگی گاوسی و ژئودزیکها معطوف می‌داریم. همواره راهنمای ما دو حالت خاصی است که بدین ابداع انجامیده است: یکی هندسهٔ ذاتی رویه‌ها در E^3 ، و دیگری هندسهٔ اقلیدسی، به ویژه هندسهٔ صفحهٔ E^2 .

۱. رویه‌های هندسی

با توجه به بررسیهایی که قبلاً دربارهٔ هندسهٔ ذاتی رویه‌ها در E^3 (و همچنین هندسهٔ اقلیدسی) انجام گرفت، به خوبی درك می‌شود که برای آنکه بر روی يك رویهٔ هندسه‌ای تعریف شود، به وجود حاصل ضرب نقطه‌ای برای بردارهای مماس نیازمندیم.

اما برای آنکه خود را از محدودیت E^2 آزاد سازیم باید با يك رویه مجرد M آغاز کنیم (فصل ۴، بند ۸). اما چون لزومی ندارد که رویه M در E^3 باشد، فاقد حاصل ضرب نقطه‌ای بسوده و بنابراین هندسه‌ای نخواهیم داشت. اما حاصل ضرب نقطه‌ای تنها حالت خاصی از مفهوم کلی حاصل ضرب داخلی است، و اندیشهٔ ریمان این بود که به جای حاصل ضرب نقطه‌ای، روی هر صفحهٔ مماس M يك حاصل ضرب داخلی کاملاً دلخواه جایگزین کند.

۱.۱. تعریف. حاصل ضرب داخلی روی يك فضای برداری V عبارت است از تابعی که به هر زوج بردار v, w متعلق به V عددی که آن را با $v \circ w$ نشان می‌دهیم متناظر سازد و دارای خواص زیر باشد:

(۱) دوخطی بودن:

$$(a_1 v_1 + a_2 v_2) \circ w = a_1 v_1 \circ w + a_2 v_2 \circ w$$

$$v \circ (b_1 w_1 + b_2 w_2) = b_1 v \circ w_1 + b_2 v \circ w_2$$

(۲) متقارن بودن:

$$v \circ w = w \circ v$$

(۳) مثبت معین بودن:

$$v \circ v \geq 0 \quad \text{و} \quad v \circ v = 0 \quad \text{اگر، و فقط اگر،} \quad v = 0$$

البته روی فضای برداری E^2 حاصل ضرب نقطه‌ای

$$v \cdot w = v_1 w_1 + v_2 w_2$$

يك حاصل ضرب داخلی است، اما روی همین فضا بینهایت حاصل ضرب داخلی دیگر وجود دارد، مانند $v \circ w = 2v_1 w_1 + 3v_2 w_2$ (تمرین ۸، بند ۲ را ببینید).

چون به جای رویه‌های E^2 ، رویه‌های مجرد و به جای حاصل ضرب نقطه‌ای، حاصل ضربهای داخلی دلخواهی را در نظر بگیریم، به تعریف زیر می‌رسیم.

۲.۱. تعریف. رویهٔ هندسی عبارت است از رویهٔ مجرد M که به يك حاصل ضرب داخلی، \circ ، برای هر يك از صفحه‌های مماس خود مجهز باشد. لازم است که این ضرب داخلی دیفرانسیلیپذیر باشد، بدین معنی که اگر V و W میدانهای برداری (دیفرانسیلیپذیر) روی M باشند، آنگاه $V \circ W$ نیز يك تابع دیفرانسیلیپذیر با مقدار حقیقی روی M باشد.

تأکید می‌شود که هر صفحهٔ مماس $T_p(M)$ ضرب داخلی مربوط به خود را دارد، و این ضربهای داخلی جز شرط دیفرانسیلیپذیری هیچ وابستگی ندارند و این ضرورت مسلم هر نظریه‌ای است که بر اساس حساب دیفرانسیل بنا شود. در این تعریف، $V \circ W$ دارای همان معنی معمولی نقطه‌ای خود می‌باشد: یعنی تابعی است روی M که مقدار آن در هر

نقطهٔ p عدد $V(p) \circ W(p)$ می‌باشد. این حاصل‌ضربهای داخلی که به صفحه‌های مماس در تعریف ۲.۱ تخصیص داده شده‌اند، ساختار هندسی (یا تانسور متریک یا « ds^2 ») روی M نامیده می‌شوند.
به اختصار:

$$\text{رویهٔ هندسی} = \text{ساختار هندسی} + \text{رویه}$$

باید توجه داشت که از یک رویه به وسیلهٔ دو ساختار هندسی متفاوت، دو رویهٔ هندسی مختلف پدید می‌آید.

۳.۱. مثال. چند رویهٔ هندسی

(۱) صفحهٔ E^2 ، همراه با حاصل‌ضرب نقطه‌ای معمولی روی بردارهای مماس، معروفترین رویهٔ هندسی است. هندسهٔ آن هندسهٔ اقلیدسی دو بعدی است.
(۲) یک راه ساده برای به‌دست آوردن ساختارهای هندسی جدید، آن است که به ایجاد یک دگرگونی در ساختارهای پیشین پردازیم. مثلاً اگر $g > h$ یک تابع دیفرانسیبل روی صفحه، و \cdot ضرب نقطه‌ای معمولی باشد، به ازای بردارهای مماس v و w بر E^2 در p قرار دهیم

$$v \circ w = \frac{v \cdot w}{g^2(p)}$$

یک ساختار جدید هندسی روی صفحه خواهیم داشت، که آن را بر حسب تعریف، با ساختار هندسی حاصل از ضرب نقطه‌ای همشکل می‌گویند (تمرین ۱). چنان‌که خواهیم دید رویهٔ هندسی حاصل دارای خواص کاملاً متفاوتی با خواص صفحهٔ اقلیدسی (۱) است (به استثنای حالت‌های خاصی از g).

(۳) اگر M رویه‌ای در E^3 باشد، آنگاه ضرب نقطه‌ای مربوط به E^3 را می‌توان دربارهٔ بردارهای مماس M به‌کار برد، و با این ضرب داخلی، M یک رویهٔ هندسی خواهد شد. این دقیقاً همان روشی است که در فصول ۵ و ۶ به‌کار رفت. جز در مواردی که ضرب داخلی دیگری تصریح شود، با همین ضرب داخلی هر رویه از E^3 را به یک رویهٔ هندسی تبدیل می‌کنیم.

در اینجا لازم است توضیحی دربارهٔ اصطلاحات بیاوریم. نام اقلیدس مترادف با استلزام هندسی است. بنابراین در فصل ۱، که با هندسه سروکار نداشتیم می‌بایستی E^2 را صفحهٔ دکارتی می‌نامیدیم، و اصطلاح صفحهٔ اقلیدسی را برای رویهٔ هندسی (۱) در بالا، نگاه می‌داشتیم.

از همان آغاز تعریف ۲.۱، بر توانی نظریهٔ هندسی حاصل موجب شگفتی می‌شود. اما چنان‌که قبلاً عنوان شد، از مثال‌های (۱) و (۳) برمی‌آید که نظریهٔ مزبور آمادهٔ کاوش

است، و حتی ویژگیهای مشترك این مسائل معروف نوع نتایجی هستند که می‌توان به‌حصول آنها امیدوار بود.

تعاریف فصل ۶ که به‌روشنی دارای سرشت ذاتی‌اند در اینجا بدون بحث بیشتر به‌کار خواهند رفت. به‌ویژه، يك ایزومتري $M \rightarrow M$ از رویه‌های هندسی دلخواه دقیقاً همان است که دو تعریف ۲.۴ فصل ۶ آمد، و هندسه M بنا بر تعریف از تغییرناپذیرهای ایزومتري تشکیل می‌شود. مانند معمول میدان سه‌وجهی روی يك رویه هندسی دلخواه M از دو میدان برداری یکه متعامد E_1, E_2 تشکیل می‌شود که روی مجموعه بازی از M تعریف شده باشند. معادلات تعامد و یکانی

$$E_i \circ E_j = \delta_{ij} \quad (1 \leq i, j \leq 2)$$

طبعاً بر حسب ضرب داخلی M بیان می‌شوند. مانند پیش θ_1 و θ_2 ، فرمیهای دوگان با $\theta_i(E_j) = \delta_{ij}$ مشخص می‌شوند، و سپس فرم همبندی $\omega_2 = -\omega_1$ ، با نخستین معادلات ساختاری زیر معین می‌گردد:

$$d\theta_1 = \omega_2 \wedge \theta_2, \quad d\theta_2 = \omega_1 \wedge \theta_1$$

باردیگر تأکید می‌کنیم که این فرمهای $\theta_1, \theta_2, \omega_1, \omega_2$ به‌طور تغییرناپذیری به‌رویه هندسی M وابسته نیستند؛ اگر يك میدان سه‌وجهی دیگر \bar{E}_1, \bar{E}_2 انتخاب کنیم، فرمهای متفاوت $\bar{\theta}_1, \bar{\theta}_2, \bar{\omega}_1, \bar{\omega}_2$ به‌وجود می‌آیند. پیش از آنکه جلوتر برویم، بهتر است چگونگی ارتباط چنین دو مجموعه فرمها را بررسی کنیم.

در يك همسایگی نقطه p که به‌قدر کافی کوچک اختیار شود، استفاده دقیق از تابع وارون \cos^{-1} (یا \sin^{-1}) يك تابع دیفرانسیبل بر φ به‌دست می‌دهد به‌طوری که

$$\bar{E}_1 = \cos \varphi E_1 + \sin \varphi E_2$$

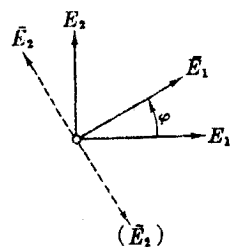
φ را تابع زاویه‌ای از (E_1, E_2) به (\bar{E}_1, \bar{E}_2) می‌نامیم. چنان که در شکل ۱.۷ نشان داده شده است، برای \bar{E}_2 دو امکان وجود دارد. یکی

$$\bar{E}_2 = -\sin \varphi E_1 + \cos \varphi E_2$$

که در این حالت گوئیم \bar{E}_1, \bar{E}_2 و E_1, E_2 دارای يك جهت‌اند، و دیگری

$$\bar{E}_2 = \sin \varphi E_1 - \cos \varphi E_2$$

که دارای جهت مخالف است.



شکل ۱.۷

۴.۱. لم. گیریم E_1, E_2 و \bar{E}_1, \bar{E}_2 میدانهای سه‌وجهی روی يك ناحیه M باشند. اگر این میدانهای سه‌وجهی دارای:

(۱) يك جهت باشند، آنگاه

$$\bar{\omega}_{12} = \omega_{12} + d\varphi, \quad \bar{\theta}_1 \wedge \bar{\theta}_2 = \theta_1 \wedge \theta_2$$

(۲) دارای جهت مخالف باشند، آنگاه

$$\bar{\omega}_{12} = -(\omega_{12} + d\varphi), \quad \bar{\theta}_1 \wedge \bar{\theta}_2 = -\theta_1 \wedge \theta_2$$

برهان. فقط حالت اول را مورد بحث قرار می‌دهیم، زیرا حالت دوم تنها با يك تغییر علامت به دست می‌آید. بنا بر فرمول پایه‌ها (لم ۱۰۲، فصل ۶) از معادلات

$$\bar{E}_1 = \cos \varphi E_1 + \sin \varphi E_2, \quad \bar{E}_2 = -\sin \varphi E_1 + \cos \varphi E_2$$

چنین به دست می‌آید:

$$\theta_1 = \cos \varphi \bar{\theta}_1 - \sin \varphi \bar{\theta}_2, \quad \theta_2 = \sin \varphi \bar{\theta}_1 + \cos \varphi \bar{\theta}_2 \quad (*)$$

چون از مشتق خارجی در بارهٔ معادلهٔ اول استفاده کنیم خواهیم داشت:

$$d\theta_1 = -\sin \varphi d\varphi \wedge \bar{\theta}_1 + \cos \varphi d\bar{\theta}_1 - \cos \varphi d\varphi \wedge \bar{\theta}_2 - \sin \varphi d\bar{\theta}_2$$

اکنون از نخستین معادلات ساختاری برای $d\bar{\theta}_1$ ، $d\bar{\theta}_2$ استفاده می‌کنیم، و خواهیم داشت:

$$\begin{aligned} d\theta_1 &= (\bar{\omega}_{12} - d\varphi) \wedge (\sin \varphi \bar{\theta}_1 + \cos \varphi \bar{\theta}_2) \\ &= (\bar{\omega}_{12} - d\varphi) \wedge \theta_2 \end{aligned}$$

به همین طریق به دست می‌آید:

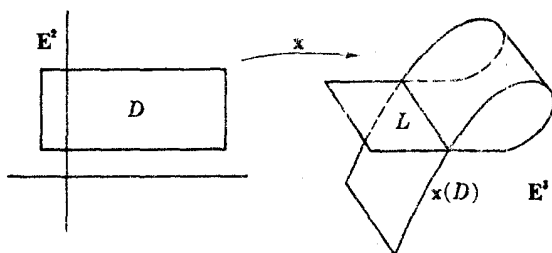
$$d\theta_2 = -(\bar{\omega}_{12} - d\varphi) \wedge \theta_1$$

چون فرم $\bar{\omega}_{12} = -\omega_{21}$ به طرد یکتا در نخستین معادلهٔ ساختاری صدق می‌کند، از دو معادلهٔ اخیر نتیجهٔ مطلوب به دست می‌آید: $\bar{\omega}_{12} = \omega_{12} - d\varphi$. محاسبهٔ مستقیم $\theta_1 \wedge \theta_2$ با استفاده از (*) نشان می‌دهد که این ۲- فرمی با $\theta_1 \wedge \theta_2$ برابر است. ■

از مفهوم رویهٔ هندسی می‌توان برای پر کردن شکافی که در کار قبلی وجود داشت استفاده کنیم. گاهی به نگاشتهای منظم $\mathbf{E}^2 \rightarrow D \rightarrow \mathbf{X}$ برمی‌خوریم که نمایش پارامتری هیچ رویه‌ای از \mathbf{E}^3 نبودند. مثلاً نگارهٔ $\mathbf{x}(D)$ از ناحیهٔ D ممکن است با خود متقاطع باشد، چنان که در شکل ۲.۷ نشان داده‌ایم، بدینسان تعریف رویه در \mathbf{E}^3 در طول خط تقاطع L صادق نیست.

این اشکال فنی را می‌توان بدین طریق از بین برد که برای D (که يك رویه است) به جای ضرب نقطه‌ای معمولی، ضرب داخلی القایی

$$\mathbf{v} \circ \mathbf{w} = \mathbf{x}_*(\mathbf{v}) \cdot \mathbf{x}_*(\mathbf{w})$$



شکل ۲۰۷

را در نظر بگیریم. بدینسان D یک رویه هندسی خواهد شد، و اگر $x(D)$ یک رویه در E^3 باشد، x به‌وضوح یک ایزومتري خواهد بود. خلاصه، D دقیقاً دارای همان هندسه ذاتی خواهد بود که به‌طور شهودی برای $x(D)$ تصور می‌شود.

در این فصل نیز مانند پیش قید ابعاد کم، اساسی نیست. رویه یک حالت دوبعدی از مفهوم کلی خمینه است (فصل ۴، بند ۸). خمینه M با بعد دلخواه که به یک ضرب داخلی (دیفرانسیلی) روی هر یک از فضاهاى مماس خود مجهز باشد خمینه ریمانی نام دارد، و هندسه حاصل به هندسه ریمانی موسوم است. (هندسه اقلیدسی، چنان که در فصل ۳ مورد بحث قرار گرفت، حالت خاصی از هندسه ریمانی است که روی فضای اقلیدسی E^n با ضرب نقطه‌ای معمولی به دست می‌آید). بدینسان یک رویه هندسی همان خمینه ریمانی دوبعدی است، و موضوع این فصل هندسه ریمانی دوبعدی می‌باشد.

تقرینات

۱. درباره ساختار هندسی همشکل روی صفحه (مثال ۳۰۱) نشان دهید که
(الف) فرمول

$$v \circ w = \|v\| \|w\| \cos \vartheta \quad (\|v\| = \sqrt{v \circ v})$$

برای زاویه $0 \leq \vartheta \leq \pi$ بین v و w همان مقدار زاویه در صفحه اقلیدسی E^2 را به دست می‌دهد.

(ب) تبدی $\alpha = (\alpha_1, \alpha_2)$ برابر است با $\sqrt{\alpha_1^2 + \alpha_2^2} / g(\alpha)$

(ج) gU_1, gU_2 یک میدان سوجهی است و فرمهای دوگان آن عبارتند از du/g ، dv/g

(د) فرمهای مساحت عبارتند از $\pm du dv / g^2$

توجه شود که به ازای $g = 1$ همان ساختار اقلیدسی معمول را خواهیم داشت.

۱. به نظر ما ارجح آن بود که رویه هندسی، رویه ریمانی نامیده شود، اما این اصطلاح به معنی کاملاً متفاوتی به کار رفته و تثبیت شده است.

۲. نیمصفحه پوانکاده عبارت است از نیمصفحه فوقانی $v > 0$ مجهز به ضرب داخلی (۰) که در هر نقطه p از تقسیم حاصل ضرب نقطه‌ای به مجذور مسافت $v(p) = p_{\gamma}$ از محور u به دست می‌آید:

$$v \circ w = \frac{v \cdot w}{v^2(p)}$$

برای خم $\alpha(t) = (r \cos t, r \sin t)$ ، $0 < t < \pi$ ، توابع تندی و طول کمان (مبدأ کمان را بالاترین نقطه نیمدایره متناظر به $t = \pi/2$ بگیرد) را بیابید.

۳. الف) گیریم V و W دو میدان برداری مستقل خطی روی یک رویه هندسی M باشند. مطلوب است تعیین یک میدان سه‌وجهی E_1, E_2 به طوری که $E_1 = V / \|V\|$.
ب) فرمول صریحی برای یک میدان سه‌وجهی روی نگاره یک قطعه مختصاتی دلخواه x در M بیابید.

۴. اگر dm یک فرم مساحتی روی M و v یک ۲-فرمی دلخواه باشد، نشان دهید که یک تابع f وجود دارد به طوری که $v = f dm$. از آنجا نتیجه بگیرید که هر رویه هندسی جهت‌پذیر (همبند) دقیقاً دارای دو فرم مساحتی $\pm dm$ است.

۵. گیریم M یک رویه هندسی باشد، که بسا فرم مساحتی dm جهت‌دار شده است. ثابت کنید که

الف) روی هر فضای مماس بر M یک «دوران $90^\circ +$ » یکتا وجود دارد، یعنی یک عملگر خطی $J: T_p(M) \rightarrow T_p(M)$ به طوری که

$$\|J(v)\| = \|v\|, \quad J(v) \circ v = 0$$

و

$$dM(\bar{v}, J(v)) > 0 \quad (v \neq 0 \text{ اگر})$$

(داهنمایی: اگر E_1, E_2 میدان سه‌وجهی با جهت مثبت باشد،

$$J(E_1) = E_2, \quad J(E_2) = -E_1$$

مجموعه این عملگرها، متناظر به همه نقاط M را عملگر دوران M می‌نامیم.

ب) J ديفرانسیلپذیر $(J(V) \circ J(W))$ به ازای هر دو میدان برداری V و W ديفرانسیلپذیر است) و متقارن چپ، یعنی

$$J(V) \circ W + V \circ J(W) = 0$$

$$J^2 = -I \quad (I \text{ عملگر همانی است.})$$

(ج) اگر M با dM — جهت داده شود، آنگاه عملگر دوران J — خواهد بود.
 (د) اگر M یک رویه در E^3 باشد، که با قائم یکه U جهتدار شده است، آنگاه

$$J(V) = U \times V$$

عملگر J ، در مورد رویه‌هایی که در E^3 نیستند، به‌عنوان نوعی جانشین قائم یکه U به‌کار می‌رود. به‌ویژه (d)، نشان می‌دهد که چگونه طرحی که در فصل ۶ (صفحه ۳۲۷) برای اندازه‌گیری زوایای جهتدار داده شد، دربارهٔ یک رویهٔ هندسی (جهتدار) دلخواه به‌کار می‌رود.

۶. اگر $F: M \rightarrow N$ یک نگاشت منظم از رویه‌های هندسی جهتدار باشد، نشان دهید که احکام زیر هم‌ارزند:

(الف) F سونگهدار و یک نگاشت همشکل است (تعریف ۷.۴، فصل ۶).
 (ب) F عملگرهای دوران M و N را حفظ می‌کند، یعنی به ازای هر بردار مماس v بر M :

$$F_*(J(v)) = J(F_*(v))$$

(ج) F زوایای جهتدار را حفظ می‌کند، یعنی اگر θ زاویهٔ w با v باشد، آنگاه θ زاویهٔ $F_*(w)$ با $F_*(v)$ نیز می‌باشد.

۷. (الف) ثابت کنید که نگاشت منظم $F = (f, g): E^2 \rightarrow E^2$ یک نگاشت همشکل^۱ و سونگهدار است، اگر، و فقط اگر، $f_u = g_v$ و $f_v = -g_u$.

اگر E^2 را به‌عنوان صفحهٔ مختلط با $z = u + iv = (u, v)$ در نظر بگیریم، این دو معادله (شرایط کوشی-دیوران) مبین شرط لازم و کافی برای تحلیلی بودن تابع مختلط $F: z \rightarrow F(z)$ می‌باشند.

(ب) اگر F چنین تابع مختلطی باشد، نشان دهید که سازهٔ مقیاس $\lambda(z)$ برابر قدرمطلق مشتق (مختلط) dF/dz است.

۸. اگر از E^2 مبدأ را حذف کنیم، نشان دهید که نگاشت F در مثال ۴، بند ۳.۷، فصل ۱، نگاشتی همشکل و سونگهدار است. در این حالت تابع مختلط متناظر را بیابید.

۹. گیریم D و E دوناچییه از صفحه باشند که به‌ترتیب با توابع g_1 و g_2 به‌ساختارهای هندسی همشکل مجهز شده‌اند. فرض کنیم D' و E' همان نواحی با ساختار اقلیدسی معمول باشند. اگر $F: D' \rightarrow E'$ یک نگاشت همشکل با سازهٔ مقیاس λ باشد، ثابت کنید که $F: D \rightarrow E$ نگاشتی همشکل با سازهٔ مقیاس $\lambda g_1/g_2(F)$ است.

۱. اصطلاح همشکل غالباً متضمن مفهوم سونگهداری است.

۲. خمیدگی گاوسی

در مورد رویه‌های هندسی دلخواه، لازم است برای خمیدگی گاوسی به تعریف جدیدی بپردازیم. تعریف $K = \det S$ که برای رویه‌ها در E^3 بیان شد، چون بر عملگرهای شکلی مبتنی است، در اینجا فاسد معنی است. اما با این تعریف جالب K به صورت يك تغییرناپذیر ایزومترى درمی آید، بنابراین مناسب است که برهان قضیه فوق‌العاده (به ویژه فرع ۳.۲، فصل ۶) را مورد بررسی قرار دهیم و برای آن تعمیم رضایت بخشی به دست آوریم.

۱.۴. قضیه. تنها يك تابع با مقدار حقیقی K روی يك رویه هندسی M وجود دارد، به طوری که به ازای هر میدان سه وجهی روی M معادله ساختاری دوم

$$d\omega_{12} = -K\theta_1 \wedge \theta_2$$

برقرار باشد. K را خمیدگی گاوسی M می نامند.

برهان. به ازای هر میدان سه وجهی E_1, E_2 تنها يك تابع K وجود دارد (بنابر فرمول پایه‌ها، لم ۱.۲، فصل ۶) به طوری که

$$d\omega_{12} = -K\theta_1 \wedge \theta_2$$

اما يك میدان سه وجهی دیگر \bar{E}_1, \bar{E}_2 می تواند از پیش دارای يك تابع متفاوت \bar{K} باشد، به طوری که

$$d\bar{\omega}_{12} = -\bar{K}\bar{\theta}_1 \wedge \bar{\theta}_2$$

آنچه باید اثبات کنیم مسأله سازگاری است: در ناحیه مشترك حوزه‌های این میدانهای سه وجهی، داریم $K = \bar{K}$. چون این گونه حوزه‌ها همه M را می پوشانند (تمرین ۳، بند ۱) يك تابع یکتای K روی M ، با ویژگی مطلوب، نتیجه می شود. این سازگاری نیز مستقیماً از لم ۴.۱ به دست می آید. نخست حالتی را که میدانهای سه وجهی دارای جهت‌دهی یکسان اند در نظر می گیریم؛ لذا $\bar{\omega}_{12} = \omega_{12} + d\varphi$. از آنجا $d\bar{\omega}_{12} = d\omega_{12}$ ، زیرا $d^2 = 0$. اما در این صورت

$$K\theta_1 \wedge \theta_2 = \bar{K}\bar{\theta}_1 \wedge \bar{\theta}_2$$

و چون

$$\bar{\theta}_1 \wedge \bar{\theta}_2 = \theta_1 \wedge \theta_2 \neq 0$$

نتیجه می شود که

$$\bar{K} = K$$

هنگامی که میدانهای سه وجهی دارای جهت مخالف باشند، خواهیم داشت $d\bar{\omega}_{12} = -d\omega_{12}$

در این حالت هم $\bar{K} = K$ است؛ زیرا

$$\bar{\theta}_1 \wedge \bar{\theta}_2 = -\theta_1 \wedge \theta_2$$

چنان که در بالا دیدیم، فرع ۳.۲ فصل ۶ نشان می‌دهد که این تعریف کلیتر خمیدگی گاوسی، با تعریف $K = \det S$ در حالتی که M رویه‌ای در E^3 باشد مطابقت دارد. اثبات تغییرناپذیری ایزومتري که در آنجا به دست آمد کاملاً دارای خصوصیت ذاتی است، و بنابراین دربارهٔ رویه‌های هندسی دلخواه نیز صدق می‌کند.

خمیدگی گاوسی ویژگی اصلی يك رویهٔ هندسی M است، و بر بسیاری از مهمترین خواص M غالباً تأثیر قاطعی دارد. در بند ۶ تأثیر خمیدگی بر ژئودزیک‌ها و در بند ۸ تأثیرهایش را بر توپولوژی M بررسی خواهیم کرد.

خلاصه آنکه: نقش اساسی در بررسیهای هندسی که بر حسب يك میدان سه‌وجهی E_1, E_2, E_3 انجام می‌شود با معادلات ساختاری آن است

$$d\theta_1 = \omega_{12} \wedge \theta_2$$

$$d\theta_2 = \omega_{21} \wedge \theta_1$$

$$d\omega_{12} = -K\theta_1 \wedge \theta_2$$

معادلات ساختاری اول در واقع معرف فرم همبندی

$$\omega_{12} = -\omega_{21}$$

از میدان سه‌وجهی مزبورند، و آخرین معادلهٔ ساختاری معرف خمیدگی گاوسی K از رویهٔ هندسی مزبور (مستقل از انتخاب میدان سه‌وجهی) است. از بند ۶ فصل ۶ به روشنی دیده می‌شود که چگونه می‌توان از این تعاریف ضمنی به محاسبهٔ صریح ω_{12} و K دست یافت.

۲.۲. مثال. خمیدگی گاوسی

(۱) صفحهٔ اقلیدسی E^2 . اگر از میدان سه‌وجهی طبیعی U_1, U_2 استفاده کنیم، آنگاه فرمیهای دوگان عبارت خواهند بود از $\theta_1 = du$ و $\theta_2 = dv$. چون $d\theta_1 = d\theta_2 = 0$ بنابراین فرم متحد با صفر $\omega_{12} = 0$ در نخستین معادلات ساختاری صدق می‌کند، و بنابراین فرم همبندی U_1, U_2 خواهد بود. از طرف دیگر چون $d\omega_{12} = 0$ پس $K = 0$ ، و صفحهٔ اقلیدسی مسطح است. این چندان تعجبی ندارد، زیرا E^2 با يك صفحه در E^3 ایزومتريک است، و در مورد این صفحه می‌دانستیم که به علت صفر بودن عملگرهای شکلی آن داریم $K = 0$.

(۲) صفحه با ضرب داخلی همشکل

$$v \circ w = \frac{v \cdot w}{g(p)^2}$$

(مثال ۳.۱، (۲) را ببینید).

میدان سه‌وجهی اقلیدسی طبیعی U_1, U_2 نسبت به این ضرب داخلی جدید دیگر يك میدان سه‌وجهی نیست. گرچه U_1 و U_2 همچنان متعامدند اما

$$U_1 \circ U_1 = U_2 \circ U_2 = \frac{1}{g^2}$$

بدینسان gU_1, gU_2 يك میدان سه‌وجهی خواهد بود. به آسانی نتیجه می‌شود که ۱- فرمهای دوگان آن عبارت‌اند از:

$$\theta_1 = \frac{du}{g}, \quad \theta_2 = \frac{dv}{g}$$

برای به‌دست آوردن فرم همبندی ω_{12} ، نخست از θ_1 و θ_2 دیفرانسیل می‌گیریم

$$d\theta_1 = d\left(\frac{1}{g}\right) \wedge du$$

$$d\theta_2 = d\left(\frac{1}{g}\right) \wedge dv$$

اما $d(1/g) = -dg/g^2$ و $dg = g_u du + g_v dv$ چون $du du = dv dv = 0$ خواهیم داشت:

$$d\theta_1 = \left(\frac{g_v}{g}\right) du \wedge \theta_2 \tag{*}$$

$$d\theta_2 = -\left(\frac{-g_u}{g}\right) dv \wedge \theta_1$$

از مقایسه با نخستین معادلات ساختاری به‌دست می‌آید

$$\omega_{12} = \frac{1}{g}(g_v du - g_u dv)$$

این فرم ω_{12} با توجه به (*) در نخستین معادلات ساختاری صدق می‌کند، و بنا بر یکتایی، باید همان فرم همبندی باشد.

برای محاسبه خمیدگی بار دیگر دیفرانسیل می‌گیریم:

$$d\omega_{12} = d\left(\frac{1}{g}\right) \wedge (g_v du - g_u dv) + \frac{1}{g}(g_{vv} dv du - g_{uu} du dv)$$

اما می‌دانیم که

$$d\left(\frac{1}{g}\right) = -\frac{1}{g^2}(g_u du + g_v dv)$$

و $du = g\theta_1$ ، $dv = g\theta_2$. محاسبه ساده‌ای با استفاده از این روابط به دست می‌دهد:

$$d\omega_{12} = (g_u^2 + g_v^2 - g(g_{uu} + g_{vv}))\theta_1 \wedge \theta_2$$

بدینسان با استفاده از معادله ساختاری دوم بدین نتیجه می‌رسیم که

$$K = g(g_{uu} + g_{vv}) - (g_u^2 + g_v^2)$$

ضرب داخلی القایی که در صفحه ۳۴۶ مورد بحث قرار گرفت، در موارد دیگر نیز به کار می‌رود. مثلاً بگیریم که $F: M \rightarrow N$ یک دیفئومورفیسم رویه‌ها (فصل ۴، بند ۵) و N یک رویه هندسی باشد. در این صورت ضرب داخلی القایی

$$v \circ w = F_*(v) \circ F_*(w)$$

روی بردارهای مماس بر M ، موجب می‌شود که M یک رویه هندسی گردد، و F به صورت یک ایزومتري در آید. M را می‌توان «مدل جدید» N تلقی کرد، با اینکه ممکن است متفاوت با N به نظر آید، از لحاظ هندسی با آن متحد است.

۳.۲. مثال

(۱) کره منظری. در مثال ۵.۵ فصل ۴ ثابت کردیم که تصویر منظری P ، یک دیفئومورفیسم از کره Σ_0 با حذف یک نقطه، روی صفحه اقلیدسی E^2 می‌باشد. اکنون Σ_0 را تنها به عنوان یک رویه، و E^2 را همراه با ضرب نقطه‌ای معمولی آن به عنوان یک رویه هندسی در نظر می‌گیریم. بدینسان ضرب داخلی القایی، Σ_0 را به صورت یک رویه هندسی که با E^2 ایزومتریک، و بنابراین هموار می‌باشد، در می‌آورد. اگر Σ_0 به نظر گردد می‌آید، تنها به خاطر آن است که ما با دید اقلیدسی به آن نگاه می‌کنیم، یعنی به خطا فرض می‌کنیم که Σ_0 با E^2 مانند فصل ۵ دارای همان ضرب نقطه‌ای E^2 باشد.

(۲) صفحه منظری. اکنون برعکس مثال (۱)، Σ_0 را با ساختار هندسی معمولی آن به عنوان یک رویه در E^2 و E^2 را تنها به عنوان یک رویه در نظر می‌گیریم. عکس تصویر منظری، $\Sigma_0 \rightarrow E^2: P^{-1}$ نیز یک دیفئومورفیسم است. ضرب داخلی (۰) که به وسیله P^{-1} روی E^2 القاء می‌شود، را E^2 را به صورت یک رویه هندسی (صفحه منظری) در می‌آورد که با Σ_0 ایزومتریک است، و بدینسان دارای خمیدگی $K = +1$ می‌باشد.

اکنون این صفحه منظری جدید را مورد بررسی دقیقتر قرار می‌دهیم. در اینجا نقطه (۰) طبق معمول ضرب نقطه‌ای روی E^2 یا E^3 را نشان می‌دهد.

اگر v و w بردارهای مماس بر E^2 در $P(p)$ باشند، آنگاه \tilde{v} و \tilde{w} را بردارهای

یکتای مماس بر Σ_0 در \mathbf{p} می گیریم به طوری که در $\mathbf{v} = P_*(\tilde{\mathbf{v}}) = \mathbf{v}$ و $\mathbf{w} = P_*(\tilde{\mathbf{w}}) = \mathbf{w}$ صدق کنند (شکل ۳.۷). اما با توجه به تمرین ۱۴، فصل ۶، بند ۴ می دانیم که

$$\mathbf{v} \cdot \mathbf{w} = P_*(\tilde{\mathbf{v}}) \cdot P_*(\tilde{\mathbf{w}}) = \left(1 + \frac{\|\mathbf{q}\|^2}{4}\right)^{-2} \tilde{\mathbf{v}} \cdot \tilde{\mathbf{w}}$$

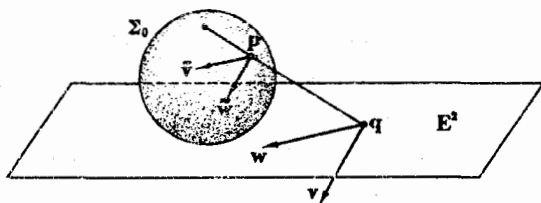
اما چون $(P^{-1})_*$ بردارهای \mathbf{v} و \mathbf{w} را به همان $\tilde{\mathbf{v}}$ و $\tilde{\mathbf{w}}$ برمی گرداند، بنابراین برای ضرب داخلی القایی روی E^2 خواهیم داشت

$$\mathbf{v} \circ \mathbf{w} = (P^{-1})_*(\mathbf{v}) \cdot (P^{-1})_*(\mathbf{w}) = \tilde{\mathbf{v}} \cdot \tilde{\mathbf{w}} = \left(1 + \frac{\|\mathbf{q}\|^2}{4}\right)^{-2} \mathbf{v} \cdot \mathbf{w}$$

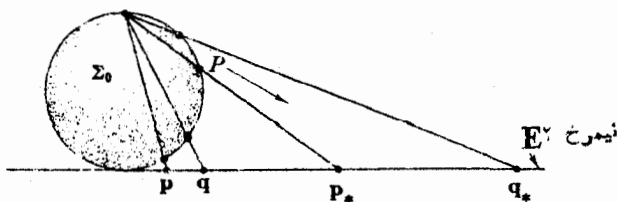
که از آن مستقیماً نتیجه می شود که این ضرب داخلی از نوع همشکلی هایی است که در مثال ۳.۱ بحث شد و برای آن داریم

$$g = 1 + \frac{u^2 + v^2}{4}$$

برای تجسم این «صفحه» غیرعادی می توان تصور کرد که هرچه از مبدأ دورتر شویم، طول خطکشها افزایش می یابد. اما چون P یک ایزومتري است، مسافت ذاتی از \mathbf{p} تا \mathbf{q} (در شکل ۴.۷) دقیقاً همان مسافت از \mathbf{p}_* تا \mathbf{q}_* است. همچنین دایره های $r^2 = u^2 + v^2 = 4$ که در آنها r بسیار بزرگ باشد، عملاً دارای طول کمان منطری بسیار کوچک خواهند بود،



شکل ۳.۷



شکل ۴.۷

زیرا (بر اثر ایزومتری P) با دایره‌های کوچکی حول قطب شمال در Σ متناظر می‌باشند.
 ۳.۴. مثال. صفحه هذلولوی. اکنون ضرب داخلی منظری بالا را با تغییر علامتی بررسی می‌کنیم و قرار می‌دهیم

$$g = 1 - \frac{u^2 + v^2}{4}$$

چون لازم است که داشته باشیم $g > 0$ ، این ضرب داخلی هذلولوی، $\nabla \circ \mathbf{w} = (1/g^2)\nabla \cdot \mathbf{w}$ تنها در قرص $u^2 + v^2 < 4$ به شعاع ۲ در صفحه مزبور به کار می‌رود. رویه هندسی حاصل صفحه هذلولوی H نامیده می‌شود.
 در این حالت

$$g_u = \frac{-u}{2}, \quad g_v = \frac{-v}{2} \quad \text{و} \quad g_{uu} = g_{vv} = \frac{-1}{2}$$

بدینسان با توجه به محاسبات مثال ۲.۲ داریم

$$\omega_{1,2} = \frac{1}{2g} (u dv - v du)$$

و در نتیجه صفحه هذلولوی دارای خمیدگی گادسی ثابت $K = -1$ است.

هنگامی که نقطه (u, v) به لبه H یعنی به دایره $u^2 + v^2 = 4$ (که جزو H نیست!) نزدیک می‌شود، $g(u, v)$ به صفر می‌گراید. بدینسان با تغییر بالا، طول خطکش با نزدیک شدن به لبه کاهش می‌یابد، به طوری که H از آنچه دید اقلیدسی شخص نشان می‌دهد بسیار بزرگتر خواهد بود. به عنوان مثال، تابع طول کمان $s(t)$ مربوط به قطعه خط اقلیدسی

$$\alpha(t) = (t \cos \vartheta, t \sin \vartheta) \quad 0 \leq t < 2$$

با ϑ ثابت را که از مبدأ تقریباً به لبه می‌رسد محاسبه می‌کنیم. چون $\alpha' = (\cos \vartheta, \sin \vartheta)$ بنابراین $\alpha' \circ \alpha' = 1/g(\alpha)^2$ اما

$$g(\alpha(t)) = 1 - \frac{t^2}{4}$$

در نتیجه α دارای تندی هذلولوی

$$\|\alpha'(t)\| = \frac{1}{g(\alpha)} = \frac{1}{(1 - \frac{t^2}{4})}$$

است، و بدینسان داریم

$$s(t) = \int_0^t \frac{dt}{1 - \frac{t^2}{4}} = 2 \tanh^{-1} \frac{t}{2} = \log \frac{2+t}{2-t}$$

بدینسان هنگامی که t به سمت 2 می‌گراید، $s(t)$ طول کمان از مبدأ $\alpha(0)$ تا $\alpha(t)$ به بینهایت می‌گراید. این قطعه خط «کوتاه» α در واقع دارای طول هذلولوی نامتناهی است. خواص دیگر صفحه هذلولوی را به تدریج که پیش می‌رویم شرح خواهیم داد. چنان که خواهیم دید شبه کره واقعی، یعنی رویه‌ای که خمیدگی آن ثابت منفی باشد، همین رویه است، نه رویه شیپوری (مثال ۶.۶، فصل ۵).

۵.۲. مثال. چنبه هموار. چنبه دورانی T را تنها به عنوان یک رویه در نظر می‌گیریم و فرض کنیم $x: E^2 \rightarrow T$ نمایش پارامتری معمولی آن باشد (مثال ۶.۲، فصل ۴). اکنون روی T یک ساختار هندسی با روابط زیر تعریف می‌کنیم،

$$x_u \circ x_u = 1, \quad x_u \circ x_v = 0, \quad x_v \circ x_v = 1$$

به آسانی می‌توان تحقیق کرد که این روابط روی هر صفحه مماس T بدون ابهام یک ضرب داخلی را تعریف می‌کنند.

چون $x_u(U_1) = x_u$ و $x_v(U_1) = x_v$ مستقیماً نتیجه می‌شود که x یک ایزومتر می‌باشد. چون از ضربهای موضعی از صفحه اقلیدسی E^2 روی رویه هندسی T می‌باشد. چون ایزومترهای موضعی نیز خمیدگی گاوسی را حفظ می‌کنند، بنابراین T هموار است. بدینسان این ساختار هندسی، با چنبه معمولی در E^2 که دارای خمیدگی متغیر است متفاوت می‌باشد.

چون این چنبه T فشرده و هموار است، بنا بر قضیه ۵.۳ فصل ۶، هرگز در E^2 چنین رویه‌ای یافت نمی‌شود. صریحاً آنکه هیچ رویه $M \subset E^2$ که با T ایزومتریک باشد وجود ندارد، زیرا رویه M نیز باید فشرده و هموار باشد، و این با قضیه مذکور مغایر است. بدین وسیله مدال می‌گردد که رده رویه‌های هندسی به مراتب از رده رویه‌های واقع در E^2 غنیتر است. امیدواریم که در طول این فصل خواننده را متقاعد سازیم که موضوع طبیعی بحث و بررسی را رویه‌های هندسی تشکیل می‌دهند، و رویه‌های واقع در E^2 هر چند در نظر اول چنین می‌نمایند که مستقیماً قابل درک‌اند، تنها یک حالت خاص جالب رویه‌ها می‌باشند.

از مثال بالا نباید نتیجه گرفت که هر رویه را می‌توان به یک ساختار هندسی هموار مجهز کرد. چنان که در بند ۸ خواهیم دید این امر متضمن نکات دقیق توپولوژیکی است.

۶.۲. تبصره. تا اینجا علامت نقطه (۰) را به ضرب نقطه‌ای فضای اقلیدسی اختصاص داده بودیم، و دایره کوچک (o) را برای تأکید عمومیت ضرب داخلی روی یک رویه هندسی دلخواه به کار بردیم. از اینجا به بعد نقطه را برای همه ضربهای داخلی به کار می‌گیریم، و تنها هنگامی که، مانند مثال ۴.۲، هر دو ضرب با هم در بحث مطرح شوند به قرارداد پیش برمی‌گردیم.

تمرینات

۱. فرمهای دوگان و فرم همبندی $du/v = \omega_{12}$ را در مورد میدان سهوجهی vU_1, vU_2 روی نیمصفحه پوانسکاره (تمرین ۲، فصل ۷، بند ۱) بیابید، و نشان دهید که این رویه دارای خمیدگی منفی ثابت $K = -1$ است.

۲. برای تمامی صفحه ساختار هندسی همشکل زیر را در نظر می‌گیریم

$$g = \cosh(uv)$$

فرمهای دوگان و فرم همبندی میدان سهوجهی gU_1, gU_2 را محاسبه کنید و خمیدگی گاوسی K را نتیجه بگیرید.

۳. در صفحه هذلولوی مساحت قرص $u^2 + v^2 \leq r^2$ را بیابید. (دانهمایی: E, F, G را برای ۲- قطعه‌ای

$$x(u, v) = (u \cos v, u \sin v)$$

بیابید.) مساحت تمام صفحه هذلولوی چیست؟

۴. چون در مثال ۴.۲ به جای تابع g تابع $g = 1 + (u^2 + v^2)/4r^2$ را در نظر بگیریم، صفحه هذلولوی با شبه شعاع r به دست می‌آید. خمیدگی گاوسی آن را بیابید.

۵. مساحت چنبره هموار در مثال ۵.۲ را بیابید. تعریف را به گونه‌ای تغییر دهید که یک چنبره هموار با مساحت دلخواه $A > 0$ به دست آید.

۶. نشان دهید که روی صفحه تصویری یک ساختار هندسی وجود دارد به طوری که نگاشت طبیعی $\Sigma \rightarrow P: \Sigma$ یک ایزومتري موضعی باشد. ثابت کنید که این رویه هندسی Σ از رویه‌های واقع در E^3 نیست. (اگر Σ کره‌ای به شعاع r باشد، Σ صفحه تصویری به شعاع r خواهد شد و همین نتایج برقرارند.)

۷. نشان دهید که چون صفحه را با $g = \operatorname{sech} u$ به ساختار هندسی همشکلی مجهز کنیم، رویه هندسی حاصل با هایکوئید ایزومتریک می‌باشد.

۸. نگاشت همانی $x(u, v) = (u, v)$ از E^2 یک قطعه مختصاتی می‌باشد که برای آن داریم $x_u = U_1, x_v = U_2$. بدینسان اگر (o) یک ساختار هندسی روی صفحه باشد، خواهیم داشت

$$E = U_1 \circ U_1, \quad F = U_1 \circ U_2, \quad G = U_2 \circ U_2$$

(الف) اگر E, F, G سه تابع دیفرانسیلپذیر روی صفحه باشند به طوری که $E > 0, G > 0, EG - F^2 > 0$ ، نشان دهید که متناظر به این توابع، مانند بالا، یک ساختار هندسی روی صفحه وجود دارد.

(ب) نشان دهید روشی که در مثال ۲.۲ به کار رفت حالت خاص روش فصل ۶، بند ۶ می باشد و از لم ۳.۶ فصل ۶ فرمول K را که در مثال ۲.۲ آمده است نتیجه بگیرید. (داهنمایی: در قسمت (الف) ضرب داخلی را به صورت

$$v \circ w = E_1 v_1 w_1 + F(v_1 w_2 + v_2 w_1) + G v_2 w_2$$

تعریف کنید.)

۳. مشتق کوواریانی

مشتق کوواریانی ∇ (فصل ۲، بند ۵) یک بخش اساسی از هندسه اقلیدسی E^3 می باشد. به عنوان مثال از آن برای تعریف عملگر شکلی یک رویه در E^3 و با تغییری (فصل ۲، بند ۲) برای تعریف شتاب خم در E^3 استفاده کردیم. در این بند ثابت می کنیم که هر دوپه هندسی دارای مشتق کوواریانی با مفهوم مخصوص به خود می باشد.

یک مشتق کوواریانی ∇ روی رویه هندسی M همانند آنچه در فضای اقلیدسی داشتیم، به هر زوج بردار، از میدانهای برداری V, W روی M ، یک میدان برداری جدید $\nabla_V W$ نسبت می دهد که باید دارای خواص معمولی خطی و لاینیتزی باشد (فوق ۴.۵، فصل ۲). بدیهی است که در هر نقطه p مقدار $\nabla_V W$ باید برابر میزان تغییر W در امتداد $V(p)$ باشد. بدینسان اگر قرار باشد که فرم همبندی ω_{12} مربوط به یک میدان سه وجهی E_1, E_2 همچنان معنی هندسی معمول خود را (میزان چرخش E_1 به طرف E_2 را نشان دهد) داشته باشد، لازم است قید زیر را نیز در نظر بگیریم

$$\omega_{12}(V) = \nabla_V E_1 \cdot E_2 \quad (*)$$

این شرایط، $\nabla_V W$ را به ازای هر زوج از میدانهای برداری W و V کاملاً معین می کند:

۱.۳. لم. فرض کنیم که ∇ یک مشتق کوواریانی روی M باشد به طوری که دارای خواص معمولی خطی و لاینیتزی بوده و به ازای میدان سه وجهی E_1, E_2 قید (*) برقرار باشد. آنگاه ∇ از معادلات همبندی زیر تبعیت می کند

$$\nabla_V E_1 = \omega_{12}(V) E_2$$

$$\nabla_V E_2 = \omega_{21}(V) E_1$$

علاوه بر این اگر $W = f_1 E_1 + f_2 E_2$ یک میدان برداری دلخواه باشد، آنگاه

$$\nabla_V W = \{V[f_1] + f_2 \omega_{21}(V)\} E_1 + \{V[f_2] + f_1 \omega_{12}(V)\} E_2$$

عبارت اخیر را فرمول مشتق کوواریانی می نامیم. توجه شود که $V[f_1]$ و $V[f_2]$ تنها چگونگی تغییر W را نسبت به E_1, E_2 بیان می کنند، جمله های حاوی فرمهای همبندی

چرخش خود سه وجهی E_1, E_2 را جبران می کنند، و بنابراین $\nabla_V W$ میزان تغییر «مطلق» است.

برهان. چون $E_1 \cdot E_2 = 0$ ، بنا بر خاصیت لاینیتزی ∇ داریم

$$0 = V[E_1 \cdot E_2] = \nabla_V E_1 \cdot E_2 + E_1 \cdot \nabla_V E_2$$

از آنجا، بنا بر (*)،

$$\nabla_V E_2 \cdot E_1 = -\omega_{12}(V) = \omega_{21}(V)$$

اما $E_1 \cdot E_2 = 1$ ، و بنابراین با استفاده از خاصیت لاینیتزی خواهیم داشت

$$2\nabla_V E_i \cdot E_i = 0 \quad i = 1, 2$$

با به کار بردن این اطلاعات، معادلات همبندی را از بسط متعامد $\nabla_V E_1$ و $\nabla_V E_2$ نتیجه می گیریم.

بالاخره با استفاده از خواص مفروض ∇ به دست می آید

$$\begin{aligned} \nabla_V W &= \nabla_V(f_1 E_1 + f_2 E_2) = \nabla_V(f_1 E_1) + \nabla_V(f_2 E_2) \\ &= V[f_1]E_1 + f_1 \nabla_V E_1 + V[f_2]E_2 + f_2 \nabla_V E_2 \end{aligned}$$

و چون معادلات همبندی را به کار گیریم فرمول مشتق کوواریانی به دست می آید.

از توجه به این لم دیده می شود که مشتق کوواریانی رویه هندسی M را چگونه باید تعریف کرد. توجه شود که ترتیب مطالب در اینجا برعکس ترتیب مذکور در فصل ۲ است. در آنجا از مشتق کوواریانی اقلیدسی برای تعریف فرمهای همبندی استفاده کردیم، در اینجا فرم همبندی ω_{ij} برای تعریف مشتق کوواریانی M به کار می رود.

۲.۳. قضیه. برای هر رویه هندسی M ، يك و تنها يك مشتق کوواریانی ∇ با خواص معمولی خطی و لاینیتزی (فرع ۳.۵، فصل ۲) وجود دارد که به ازای هر میدان سه وجهی روی M در معادله (*) نیز صادق می کند.

برهان. لم پیش نشان می دهد که حداکثر يك چنین مشتق کوواریانی وجود دارد، زیرا $\nabla_V W$ با فرمولی که شامل ∇ نیست معین می شود. بنا بر این آنچه باید ثابت کرد وجود يك چنین مشتق کوواریانی ∇ است. برهان به دو بخش تقسیم می شود، و ما برخی از جزئیات را حذف می کنیم.

الف. تعریف موضعی. روی ناحیه Θ میدان سه وجهی E_1, E_2 را در نظر می گیریم، و از فرمول لم ۱.۳ به عنوان تعریف $\nabla_V W$ استفاده می کنیم. با محاسباتی ساده خطی

و لاینیتزی بودن ∇ تحقیق می‌شود، و چون به جای W میدان برداری E_1 را قرار دهیم، به دست می‌آید

$$\nabla_V E_1 = \omega_{12}(V) E_2$$

بنا بر این (*) برقرار است.

ب. سازگاری. آیا به ازای دو میدان سه وجهی مختلف، تعاریف موضعی با هم سازگارند؟ اگر $\bar{\nabla}_V W$ از \bar{E}_1 ، \bar{E}_2 روی $\bar{\theta}$ نتیجه شده باشد، باید نشان دهیم که روی ناحیه همپوش θ و $\bar{\theta}$ داریم $\nabla_V W = \bar{\nabla}_V W$. زیرا در این صورت روی همه M تنها يك مشتق کوواریانی خواهیم داشت. با توجه به خواص خطی و لاینیتزی کافی است نشان دهیم که

$$\nabla_V \bar{E}_1 = \bar{\nabla}_V \bar{E}_1, \quad \nabla_V \bar{E}_2 = \bar{\nabla}_V \bar{E}_2 \quad (1)$$

برای این منظور لم ۴.۱ را مورد استفاده قرار می‌دهیم، و برای آسانی جهتدهی E_1 ، E_2 و \bar{E}_1 ، \bar{E}_2 را یکسان فرض می‌کنیم. چون ∇_V را بر معادله

$$\bar{E}_1 = \cos E_1 + \sin E_2$$

اعمال کنیم، با استفاده از فرمول مشتق کوواریانی به دست می‌آید

$$\nabla_V \bar{E}_1 = \{V[\cos] + \sin \omega_{12}(V)\} E_1 + \{V[\sin] + \cos \omega_{12}(V)\} E_2 \quad (2)$$

بنا بر لم ۴.۱ داریم $\bar{\omega}_{12} = \omega_{12} + d$ چون $\bar{\omega}_{12} = \omega_{12} - d$ را در (۲) قرار دهیم و عبارت حاصل را ساده کنیم خواهیم داشت

$$\nabla_V \bar{E}_1 = \bar{\omega}_{12}(V) \{-\sin E_1 + \cos E_2\} = \bar{\omega}_{12}(V) \bar{E}_2 = \bar{\nabla}_V \bar{E}_1 \quad (3)$$

به همین طریق می‌توان تساوی $\nabla_V \bar{E}_2 = \bar{\nabla}_V \bar{E}_2$ را از

$$\bar{E}_2 = -\sin E_1 + \cos E_2$$

نتیجه گرفت.

۳.۳. مثال. مشتق کوواریانی E^2 . برای میدان سه وجهی طبیعی U_1 ، U_2 داریم $\omega_{12} = 0$. بدینسان در مورد هر میدان برداری

$$W = f_1 U_1 + f_2 U_2$$

فرمول مشتق کوواریانی (لم ۱.۳) به صورت ساده زیر درمی‌آید

$$\nabla_V W = V[f_1] U_1 + V[f_2] U_2$$

این درست همان لم ۲.۵، فصل ۲ است (که به جای E^3 در مورد E^2 به کار رفته

است)، بنا براین تعریف مجردی که از مشتق کوواریانی کردیم روی صفحه اقلیدسی نتایج صحیحی به دست می دهد.

با تغییر مناسبی در مشتق کوواریانی ∇ مربوط به رویه هندسی M ، می توان آن را به هر میدان برداری Y روی خم α در M اعمال کرد. (به ازای هر t ، طبق معمول، $Y(t)$ یک بردار مماس بر M در $\alpha(t)$ است، چنان که در شکل ۶.۷ دیده می شود.)
روی ناحیه ای از M که شامل α است، یک میدان سه وجهی E_1, E_2, E_3 را در نظر می گیریم؛ می توان نوشت

$$Y(t) = y_1(t)E_1(\alpha(t)) + y_2(t)E_2(\alpha(t))$$

یا به اختصار

$$Y = y_1 E_1 + y_2 E_2$$

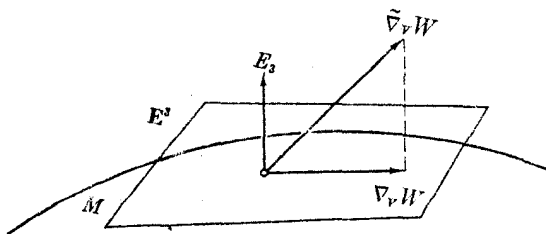
به بیان اجمالی، می خواهیم که Y' ، مشتق کوواریانی Y ، برابر با $\nabla_{\alpha'} Y$ گردد. بدینسان فرمول مشتق کوواریانی (لم ۱.۳) نشان می دهد که باید Y' را به صورت زیر تعریف کرد

$$Y' = \{y_1' + y_2 \omega_{21}(\alpha')\} E_1 + \{y_2' + y_1 \omega_{12}(\alpha')\} E_2$$

به آسانی می توان تحقیق کرد که این مفهوم مشتق کوواریانی از انتخاب میدان سه وجهی مستقل است، و دارای همان خواص خطی و لاینیتزی مربوط به حالت اقلیدسی می باشد. علاوه بر این، مانند فصل ۲، بند ۲، چون α' سرعت خم α در M یک میدان برداری روی M است، می توان از آن مشتق کوواریانی گرفت تا α'' شتاب خم α به دست آید.

اکنون مناسب است به حالتی که در آن رویه $M \subset E^3$ است برگردیم. اگر V و W میدانهای برداری مماس روی M باشند، به دو طریق می توان مشتقهای کوواریانی را محاسبه کرد: یکی از هندسه ذاتی M به عنوان یک رویه هندسی؛ و دیگری مشتق کوواریانی اقلیدسی E^3 . این دو مشتق عموماً متفاوت اند، اما بین آنها رابطه ساده ای وجود دارد.

۴.۳. لم. گیریم V و W میدانهای برداری مماس روی یک رویه M در E^3 باشند (شکل



شکل ۵.۷

۵.۷). اگر ∇ مشتق کوواریانی M به عنوان یک رویهٔ هندسی و $\tilde{\nabla}$ مشتق کوواریانی اقلیدسی باشد، آنگاه

$$\nabla_V W \text{ مؤلفه‌ای از } \tilde{\nabla}_V W \text{ است که مماس بر } M \text{ می‌باشد.}$$

برهان. نخست فرض کنیم که W یکی از میدانهای برداری E_1, E_2 از میدان سه‌وجهی برازندهٔ E_1, E_2, E_3 باشد. بنا بر معادلات همبندی اقلیدسی (قضیهٔ ۲.۷، فصل ۲) داریم

$$\tilde{\nabla}_V E_1 = \sum_{j=1}^3 \omega_{ij}(V) E_j = \omega_{12}(V) E_2 + \omega_{13}(V) E_3$$

اما از معادلات همبندی (لم ۱.۳) مربوط به M خواهیم داشت

$$\nabla_V E_1 = \omega_{12}(V) E_2$$

بدینسان $\tilde{\nabla}_V E_1$ برابر است با حاصل جمع $\nabla_V E_1$ و یک میدان برداری قائم بر M . به عبارت دیگر، $\nabla_V E_1$ (در هر نقطه) با مؤلفهٔ مماسی $\tilde{\nabla}_V E_1$ برابر خواهد بود. همین نتیجه برای E_2 نیز صادق است.

در حالت کلی، چرن W مماس بر M است، می‌توان نوشت

$$W = f_1 E_1 + f_2 E_2$$

و آنگاه نتیجهٔ مطلوب مستقیماً از حالت خاص بالا حاصل خواهد شد، زیرا هر دو مشتق کوواریانی، خطی ولاینیتزی‌اند.

بدینسان ما همواره از مشتق کوواریانی ذاتی $M \subset \mathbb{E}^3$ بدون آنکه تصریح شود استفاده می‌کرده‌ایم. همچنین است در تمام مواردی که مؤلفهٔ مماسی مشتق کوواریانی اقلیدسی محاسبه می‌شود.

نکتهٔ شایان توجه آنکه تنها از اساسی‌ترین خواص مشتقهای کوواریانی می‌توان در مورد همهٔ رویه‌های هندسی استفاده کرد. به‌ویژه، مفهوم توازی را (که از لوی جیویتاست) نمی‌توان همواره همانند حالت اقلیدسی در نظر گرفت. ویژگی خاص هندسهٔ اقلیدسی عمدتاً بر این نکته مبتنی است که می‌توان به‌وسیلهٔ انتقال، بردار مماس v_p ، مثلاً بر \mathbb{E}^2 را به بردار مماس متوازی v_q در هر نقطهٔ دیگر q تبدیل کرد. چنان‌که خواهیم دید، این مفهوم «توازی از دور» را نمی‌توان روی هر رویهٔ هندسی دلخواه در نظر گرفت. اما همواره می‌توان توازی را در مورد یک میدان برداری Y روی خم α تعریف نمود. در فضای اقلیدسی، این بدان معنی است که Y نسبت به میدان سه‌وجهی طبیعی دارای ضرایب ثابت می‌باشد، اما مشخصهٔ بینهایت کوچکی $Y' = 0$ به‌طور کلی دارای معنی است.

۵.۳. تعریف. میدان برداری Y روی یک خم α در رویهٔ هندسی M هنگامی متوازی است

که مشتق کوواریانی آن صفر باشد: $Y' = 0$

هر میدان برداری متوازی، درست مانند حالت اقلیدسی دارای طول ثابت است، زیرا $\|Y\|^2 = Y \cdot Y = 0$ و $(Y \cdot Y)' = 2Y \cdot Y' = 0$.

۶.۳. لم. گیریم α خمی در رویه هندسی M و v یک بردار مماس مثلاً در $p = \alpha(0)$ باشد. آنگاه یک میدان برداری متوازی بکنای V روی α وجود دارد به طوری که $V(0) = v$ (شکل ۶.۷).

برهان. می توان فرض کرد که α تماماً در حوزه یک میسدان سه وجهی E_1, E_2 روی M واقع باشد. (در غیر این صورت می توانیم α را به قطعاتی که هر یک دارای خصوصیت بالا باشند تقسیم کنیم.) میدان برداری V باید در شرایط زیر صدق کند

$$V' = 0, \quad V(0) = v \quad (1)$$

چون V دارای طول ثابت $\|V\| = c$ می باشد، می توان نوشت:

$$V = c \cos \varphi E_1 + c \sin \varphi E_2 \quad (2)$$

که در آن زاویه φ با E_1 است. بدینسان از فرمول مشتق کوواریانی داریم

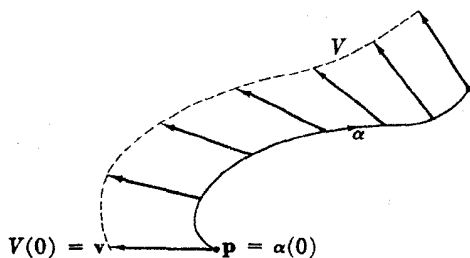
$$V' = c \{ -\sin \varphi \varphi' + \sin \varphi \omega_{12}(\alpha') \} E_1 \\ + c \{ \cos \varphi \varphi' + \cos \varphi \omega_{21}(\alpha') \} E_2$$

از اینجا بلافاصله نتیجه می شود که (۱) هم ارز است با

$$\varphi' = -\omega_{12}(\alpha')$$

و $\varphi(0)$ زاویه به $V(0) = v$ با $E_1(p)$ است. این معادله دارای جواب یکنای

$$\varphi(t) = \varphi(0) - \int_0^t \omega_{12}(\alpha') dt$$



شکل ۶.۷

می باشد، که چون آن را در (۲) قرار دهیم میدان برداری مطلوب V معین می گردد.

با وضعیت مذکور در لم ۳.۶ گوئیم که به ازای هر t ، $V(t)$ در $\alpha(t)$ از v در \mathbb{E}^3 با انتقال متوازی در طول α به دست آمده است.

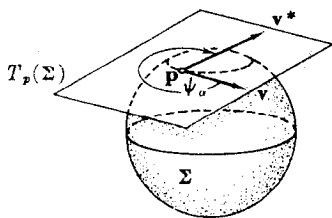
در \mathbb{E}^3 ، از انتقال متوازی يك بردار مماس v_p در طول قطعه خمی از p به q همان بردار موازی از دور v_q حاصل می شود، که بدینسان از انتخاب خم کاملاً مستقل است. اما در مورد يك روی هندسی دلخواه M ، به ازای خمهای مختلف از p به q معمولاً بردارهای مختلفی در q حاصل می شود. به همین نحو: اگر يك بردار v در p را در پیرامون يك خم بسته α (با آغاز و انجام p) انتقال متوازی دهیم، بردار حاصل v^* لزوماً همان بردار v نخواهد بود. این پدیده را هولونومی می نامند. اگر يك میدان سه وجهی روی خم α انتخاب کنیم، آنگاه از اثبات لم ۳.۶ نتیجه می شود که انتقال متوازی از $\alpha(a) = p$ به $\alpha(b) = p$ در طول α همه بردارها را به اندازه زاویه ثابت $\varphi(b) - \varphi(a)$ دوران می دهد، زیرا φ' برای همه میدانهای برداری متوازی یکی است. این زاویه را زاویه هولونومی ψ_α خم α می نامند. (در ψ_α از مضارب 2π می توان صرف نظر کرد، زیرا در تعیین v^* بی اثرند).

۷.۳. مثال. هولونومی دوی کره Σ به شعاع r . فرض کنیم که خم بسته α نمایش پارامتری دایره ای روی Σ باشد. بدون آنکه از عمومیت کاسته شود می توان α را دایره عرض جغرافیایی، یعنی خم پارامتر u

$$\alpha(u) = x(u, v_0), \quad 0 \leq u \leq 2\pi$$

فرض کرد، که در آن x قطعه مختصاتی جغرافیایی در Σ است (شکل ۷.۷). بنا بر مثال ۷.۶، فصل ۶، در مورد میدان سه وجهی E_1, E_2 وابسته به x داریم $\omega_{12} = \sin v du$. برهان لم ۳.۶ نشان می دهد که هر میدان برداری متوازی روی α دارای زاویه φ است (که از مبدأ E_1 اندازه گرفته می شود) و در $\omega_{12}(\alpha')$ و در $\varphi' = -\omega_{12}(\alpha')$ صدق می کند. از اینجا نتیجه می شود که φ' روی خم α دارای مقدار ثابت $-\sin v_0$ است. بدینسان برای خم α زاویه هولونومی ψ_α برابر است با

$$\varphi(2\pi) - \varphi(0) = -2\pi \sin v_0.$$



شکل ۷.۷

توجه شود که تنها روی استوا، $v = 0$ ، بردار v پس از انتقال متوازی در دور α ، بر خود منطبق می شود. هنگامی که v به $\pi/2$ نزدیک باشد، خم α دایره کوچکی در حول قطب شمال Σ خواهد بود. چون φ' نزدیک به -1 است، میدان برداری متوازی V نسبت به E_1, E_2 به سرعت می چرخد. اما زاویه هولونومی نزدیک

به 2π — است، بنابراین، تفاوت واقعی بین $v = V(0)$ و $v^* = V(2\pi)$ همان طور که انتظار می رود، بسیار کوچک است.
 خمیدگی گاوسی چنان که در سؤال ۵ خواهیم دید، روی هولونومی دارای تأثیر شدیدی است.

برای يك قطعه مختصاتی X در رویه هندسی دلخواه M لزوماً علامت X_{uu} را برای مشتق کوواریانی X_{uu} در طول خمهای پارامتر u از X به کار می بریم، X_{vv} و X_{uv} نیز دارای مفاهیم متناظری می باشند. از این رو هنگامی که M رویه ای در E^3 است، بساید نمادگذاری جدیدی، مثلاً \tilde{X}_{uu} ، ...، برای اشیایی نظیر آنچه در فصل ۵، بند ۴ تعریف شد در نظر بگیریم. در آنجا مشتق کوواریانی E^3 ، به کار می رفت، اما در اینجا از مشتق کوواریانی خود M استفاده می کنیم. درحالت ذاتی نیز تساوی $X_{uv} = X_{vu}$ همچنان برقرار است، اما اثبات آن به هیچ وجه بدیهی و ساده نیست (تمرین ۹).

تمرینات

۰۱. در نیمصفحه پوانکاره، گیریم α خم داده شده در تمرین ۲، بند ۱ باشد. سرعت و شتاب آن را بر حسب میدان سه وجهی

$$E_1 = vU_1, \quad E_2 = vU_2$$

بیان کنید. (داهنمایی: در اینجا سرعت و شتاب همخطانند.)

۰۲. گیریم β خم

$$\beta(t) = (ct, st), \quad t > 0$$

در نیمصفحه پوانکاره باشد، که در آن c و s مقادیر ثابتی با قید $c^2 + s^2 = 1$ می باشند. (بدینسان β يك خط مستقیم اقلیدسی مار بر مبدأ است.) سرعت و شتاب β را بر حسب میدان سه وجهی تمرین ۱ بیان کنید.

۰۳. اگر V و W میدانهای برداری مماس روی يك رویه در E^3 باشند، بسا دقیقتر ساختن برهان لم ۴.۳ نشان دهید که

$$\tilde{\nabla}_1 W = \nabla_1 W + S(V) \cdot W$$

که در آن S عملگر شکلی متناظر به $\pm E_3$ است. بدینسان اگر α خمی در M باشد، آنگاه

$$\tilde{\alpha}'' = \alpha'' + S(\alpha') \cdot \alpha'$$

۰۴. نشان دهید که روی کره Σ خم مفروض در مثال ۷.۳ دارای شتاب (ذاتی)

$\alpha'' = r \cos \nu_0 \sin \nu_0 E_\varphi$ است. شتاب اقلیدسی آن را حساب کرده و نشان دهید که α'' مؤلفهٔ مماس بر Σ است.

۵. گیریم α خمی بسته بر رویهٔ هندسی M باشد.

(الف) اگر α از طریق X با یک ثابت هوموتوپ باشد (تمرین ۱۲، فصل ۴، بند ۶)، نشان دهید که زاویهٔ هولونومی α برابر است با $\iint_X K dM$ (فرض کنید که $X(R)$ در حوزۀ یک میدان سه وجهی واقع باشد). هنگامی که X یک شبه قطعه مختصاتی است، این انتگرال خمیدگی کسل نساحیهٔ $X(R)$ می باشد.

(ب) زاویهٔ هولونومی در مثال ۷.۳ را با این روش محاسبه کنید.

۶. گیریم V یک میدان برداری متوازی روی یک خم α در M و W یک میدان برداری با طول ثابت روی α باشد. نشان دهید که W متوازی است اگر، و فقط اگر، زاویهٔ بین V و W ثابت باشد.

۷. نشان دهید که ایزومترها حافظ مشتقهای کوواریانی اند، بدین معنی که: اگر Y یک میدان برداری روی α در M ، و $F: M \rightarrow \bar{M}$ یک ایزومتري باشد، آنگاه

$$F_*(Y') = \bar{Y}'$$

که در آن \bar{Y} میدان برداری $F_*(Y)$ روی $\bar{\alpha} = F(\alpha)$ در \bar{M} است.

(برای سادگی فرض کنید که Y را می توان به صورت $Y = f E_1$ نوشت، که در آن E_1, E_2 یک میدان سه وجهی روی M است.)

ایسن، نظیر نتیجهٔ اقلیدسی (فرع ۱۰۴، فصل ۳) است. حالت کلی در تمرین ۸ آمده است.

۸. ثابت کنید که هر ایزومتري $F: M \rightarrow \bar{M}$ حافظ مشتقهای کوواریانی ∇ و $\bar{\nabla}$ است.

توضیح آنکه، در مورد هر میدان برداری X روی M ، گیریم \bar{X} میدان برداری انتقالی روی \bar{M} : $\bar{X}(F(p)) = F_*(X(p))$ به ازای هر نقطهٔ p از M باشد. در این صورت نشان دهید که $\nabla_{\bar{V}} \bar{W} = \nabla_V W$ (داهنمایی: اگر $f_i = W \cdot E_i$ و $\bar{f}_i = \bar{W} \cdot \bar{E}_i$ با استفاده از تمرین ۸، بند ۵، فصل ۴ نشان دهید که $[f_i]$ در V در p برابر $[\bar{f}_i]$ در \bar{V} در $F(p)$ است.)

۹. اگر X یک قطعه مختصاتی متعامد در رویهٔ هندسی M باشد، نشان دهید که

$$X_{uu} = X_{\tau u}$$

(مشتقهای ذاتی). (داهنمایی: در مورد میدان سه وجهی وابسته، عبارت

$$\omega_{\tau 1}(X_u) = \left(\frac{X_\tau}{\sqrt{G}} \right)_u \cdot \frac{X_u}{\sqrt{E}} = X_{\tau u} \cdot \frac{X_u}{\sqrt{EG}}$$

را محاسبه کنید و آنگاه با استفاده از فرمول ω_{γ} که در فصل ۶، بند ۶ آمده است، نشان دهید که

$$\omega_{\gamma}(x_u) = \frac{(\sqrt{E})_r}{\sqrt{G}} = x_u \cdot \frac{x_{ur}}{\sqrt{EG}}$$

برهان آسانتری برای حالت خاصی که M یک رویه در E^3 است بیابید.

۱۰. (ادامه). نشان دهید که برای هر قطعه مختصاتی دلخواه γ داریم $y_{ur} = y_{ru}$. (دانهمایی: قطعه مختصاتی متعامد x را می توان طوری تعیین کرد که $(\cdot x = y(\bar{u}, \bar{v}))$)

۱۱. اگر روی M یک میدان برداری W ، که هیچ گاه صفر نشود، وجود داشته باشد به طوری که به ازای هر V داشته باشیم $\nabla_V W = 0$ ، نشان دهید که M یک رویه هموار است. روی استوانه ای در E^3 یک چنین میدان برداری را بیابید.

۴. خمهای ژئودزیک

ژئودزیک در یک رویه هندسی دلخواه تعمیم خط مستقیم در هندسه اقلیدسی است. چنان که دیدیم مشخصه خط مستقیم $\alpha(t) = p + tq$ از لحاظ بینهایت کوچکی، صفر بودن شتاب آن می باشد، بدینسان

۱۰۴. تعریف. خم α واقع بر یک رویه هندسی M را هنگامی ژئودزیک M می نامند که شتاب آن صفر باشد، $\alpha'' = 0$.

به عبارت دیگر، α' ، سرعت ژئودزیک، متوازی است: ژئودزیکها هیچ ندارند. یادآوری می شود که چون α' متوازی است، $\|\alpha'\|$ ثابت می ماند، بنابراین ژئودزیکها دارای تندی ثابت اند.

چون ایزومترها حافظ شتاب اند (تمرین ۷، بند ۳)، در نتیجه ژئودزیکها تغییرناپذیرهای ایزومتریکی می باشند. (یک برهان مستقیم در تمرین ۱، بند ۵، فصل ۶ آمده است.) در واقع، اگر $F: M \rightarrow N$ یک ایزومتری موضعی باشد، آنگاه F هر ژئودزیک α از M را به ژئودزیک $F(\alpha)$ از N می برد، زیرا F همان گونه که در فصل ۶، بند ۴ بحث شد به طور موضعی یک ایزومتری است.

تعریف کلی ژئودزیکها که در بالا بیان شد با تعریف ۷.۵ در فصل ۵ که در آن M یک رویه از E^3 است سازگار می باشد، زیرا بنا بر لم ۴.۳ شتاب ذاتی یک خم α در $M \subset E^3$ همان مؤلفه مماس بر M از شتاب اقلیدسی آن می باشد. بدینسان شتاب ذاتی صفر است اگر، و فقط اگر، شتاب اقلیدسی قائم بر M باشد.

فرض کنیم که $\alpha: I \rightarrow M$ خمی واقع بر رویه هندسی دلخواه M و E_1, E_2 یک میدان سه وجهی روی M باشد. در این بند برای سرعت و شتاب α از نمادگذاری زیر استفاده می کنیم

$$\alpha' = v_1 E_1 + v_2 E_2 \quad \text{و} \quad \alpha'' = A_1 E_1 + A_2 E_2$$

مؤلفه‌های شتاب بنا بر بند ۳ عبارت‌اند از

$$A_1 = v_1' + v_2 \omega_{21}(\alpha')$$

$$A_2 = v_2' + v_1 \omega_{12}(\alpha')$$

که توابعی با مقدار حقیقی روی فاصله I می‌باشند. بدینسان هلاک اصلی ما برای ژئودزیک بودن α عبارت است از $A_1 = A_2 = 0$. اکنون با استفاده از مختصات متعامد این معادلات را به صورتی آگاهی بخشتر می‌نویسیم.

۲.۴. قضیه. گیریم X یک قطعه مختصاتی متعامد در رویه هندسی M باشد. خم $\alpha(t) = X(a_1(t), a_2(t))$ یک ژئودزیک M است اگر، و فقط اگر،

$$a_1'' + \frac{1}{\sqrt{E}} \{E_u a_1'{}^2 + 2E_v a_1' a_2' - G_u a_2'{}^2\} = 0$$

$$a_2'' + \frac{1}{\sqrt{G}} \{-E_v a_1'{}^2 + 2G_u a_1' a_2' + G_v a_2'{}^2\} = 0$$

از این پس این معادلات را با $A_2 = 0$ و $A_1 = 0$ نشان می‌دهیم. توجه شود که این معادلات متقارن‌اند، بدین معنی که تبدیلهای $1 \leftrightarrow 2$ ، $1 \leftrightarrow v$ ، $u \leftrightarrow v$ هر یک از آنها را به دیگری بدل می‌کند. روشن است که در این عبارتها همواره توابع E ، G و مشتقهای جزئی آنها E_u ، E_v ، ... ددی (a_1, a_2) محاسبه می‌شوند، و بنابراین به صورت توابعی روی حوزه α یعنی I درمی‌آیند.

برهان. سرعت α عبارت است از $\alpha' = a_1' X_u + a_2' X_v$ است. بنابراین بر حسب میدان سه‌وجهی وابسته X (فصل ۶، بند ۶) خواهیم داشت

$$\alpha' = (a_1' \sqrt{E}) E_1 + (a_2' \sqrt{G}) E_2$$

بدینسان A_1 و A_2 ، مؤلفه‌های شتاب که در بالا تعریف شدند، به صورت زیر درمی‌آیند

$$A_1 = (a_1' \sqrt{E})' + (a_2' \sqrt{G}) \omega_{21}(\alpha') \tag{1}$$

$$A_2 = (a_2' \sqrt{G})' + (a_1' \sqrt{E}) \omega_{12}(\alpha')$$

با استفاده از فرمول ω_{12} که در فصل ۶، بند ۶ آمد داریم

$$\omega_{12}(\alpha') = \omega_{12}(a_1' X_u + a_2' X_v) = -\frac{(\sqrt{E})_v}{\sqrt{G}} a_1' + \frac{(\sqrt{G})_u}{\sqrt{E}} a_2' \tag{2}$$

و چون آن را در (۱) قرار دهیم، معادلات ژئودزیک $A_1 = A_2 = 0$ چنین می‌شوند

$$(a'_1 \sqrt{E})' + (\sqrt{E})_u a'_1 a'_2 - \frac{\sqrt{G} (\sqrt{G})_u}{\sqrt{E}} a'^2_2 = 0 \quad (3)$$

$$(a'_2 \sqrt{G})' - \frac{\sqrt{E} (\sqrt{E})_v}{\sqrt{G}} a'^2_1 + (\sqrt{G})_v a'_1 a'_2 = 0$$

با محاسبات دیفرانسیل معمولی، (۳) به صورتی که در قضیه بیان شده است درمی‌آید. خواننده فقط باید توجه داشته باشد که در یک بسط لاینیتیری از قبیل:

$$(a'_1 \sqrt{E})' = a''_1 \sqrt{E} + a'_1 \frac{E'}{2\sqrt{E}}$$

$E_1(a_1, a_2)$ از لحاظ اختصار با E نشان داده شده است، بنابراین

$$E' = E_u a'_1 + E_v a'_2$$

۳.۳. قضیه. به ازای هر بردار مماس γ بر M در نقطه p ، یک ژئودزیک یکنای α از M وجود دارد به طوری که

$$\alpha(0) = p, \quad \alpha'(0) = \gamma$$

بدینسان در هر رویه هندسی ژئودزیکهای بسیاری وجود دارند، و هر یک از آنها با نقطه آغازی و سرعت اولیه خود مشخص می‌گردند. به عنوان مثال در E^2 ، ژئودزیکی که با γ و p معین می‌شود، عبارت است از خط مستقیم $\alpha(t) = p + t\gamma$.

برهان. گیریم X یک قطعه مختصاتی متعامد در M با (u_0, v_0) باشد، و قرار می‌دهیم $\gamma = c_0 X_u + d_0 X_v$. معادلات ژئودزیک مذکور در قضیه ۲.۴ به صورت کلی زیرند

$$\begin{aligned} a''_1 &= f_1(a_1, a_2, a'_1, a'_2) \\ a''_2 &= f_2(a_1, a_2, a'_1, a'_2) \end{aligned} \quad (1)$$

علاوه بر این، برای آنکه α در شرایط اولیه داده شده صدق کند لازم و کافی است که

$$\begin{aligned} a_1(0) &= u_0 & a'_1(0) &= c_0 \\ a_2(0) &= v_0 & a'_2(0) &= d_0 \end{aligned} \quad (2)$$

اکنون بنا بر قضیه اساسی وجود و یکتایی مربوط به معادلات دیفرانسیل، یک فاصله I در حول 0 وجود دارد که روی آن توابع یکنای a_1, a_2 معین و در (۱) و (۲) صدق می‌کنند. بدینسان $\alpha = X(a_1, a_2)$ تنها ژئودزیکی خواهد بود که روی I معین است و $\alpha(0) = p$ ، $\alpha'(0) = \gamma$.

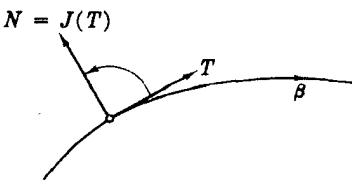
این برهان چندان رضایتبخش نیست، زیرا ممکن است فاصله I بیش از اندازه کوچک باشد. در اینجا مختصراً به شرح روشی برای آنکه فاصله I را تا آنجا که ممکن است بزرگتر کنیم می‌پردازیم. فرض کنیم $\alpha_1: I_1 \rightarrow M$ و $\alpha_2: I_2 \rightarrow M$ ژئودزیکی‌هایی باشند که در $t=0$ شرایط اولیه آنها یکی باشد. با استفاده از خاصیت یکنایی بالا، می‌توان نتیجه گرفت که روی فصل مشترک I_1 و I_2 داریم $\alpha_1 = \alpha_2$. چون این نتیجه سازگاری را بر همه این قبیل ژئودزیکی‌ها اعمال کنیم یک ژئودزیک یگانه ماکسیمال $M: I \rightarrow M$ که در شرایط اولیه مزبور صدق می‌کند به دست می‌آید. (فاصله I بزرگترین فاصله ممکن است.) از لحاظ تجسم، این بدان معنی است که ژئودزیک مزبور را تا آنجا که ادامه می‌یابد امتداد دهیم.

۴.۴. تعریف. رویه هندسی M را هنگامی به طول ژئودزیکی کامل می‌نامند، که هر ژئودزیک ماکسیمال آن روی تمام خط حقیقی \mathbf{R} معین باشد.

به اختصار: هر ژئودزیک دائماً ادامه می‌یابد. هر خم ثابت، آشکارا یک ژئودزیک است، و بجز این حالت، هر ژئودزیک دارای تنیدی غیر صفر ثابت است. بدینسان کامل بودن ژئودزیکی بدین معنی است که هر ژئودزیک عادی (ماکسیمال) در هر دو جهت دارای طول نامتناهی است. به عنوان مثال، \mathbf{E}^2 کامل است، و محاسبات مثال ۸.۵ فصل ۵ نشان می‌دهند که کره و استوانه در \mathbf{E}^2 نیز کامل اند. به طور کلیتر، هر رویه هندسی فشرده کامل است، و به همین نحو همه رویه‌های \mathbf{E}^2 که به صورت $M: g=c$ می‌باشند کامل اند (نتایج قضیه ۱۵، فصل ۱۰، هیکس [۵]). اگر از رویه‌ای که کامل است حتی یک نقطه حذف شود، این خاصیت از بین خواهد رفت، زیرا ژئودزیکی‌هایی که قبلاً از این نقطه می‌گذشته‌اند بالاجبار متوقف می‌شوند.

نظریه مربوط به خمهای صفحه (تمرین ۸، بند ۳، فصل ۲)، به توسط نظریه فرنه درباره خمهای یک رویه هندسی دلخواه M ، تعمیم یافته است. چون M تنها دارای دو بعد است، نمی‌توان تاب را تعریف کرد. اما اگر M جهتدار باشد، می‌توان برای خمیدگی علامتی که از لحاظ هندسی معنی دار باشد در نظر گرفت، از این قرار: اگر $\beta: I \rightarrow M$ خمی باتندی واحد در یک رویه هندسی جهتدار باشد، آنگاه $T = \beta'$ همان میدان برداری مماسی یک رویه β است. برای به دست آوردن میدان برداری قائم اصلی N ، « T را به اندازه $90^\circ +$ دوران می‌دهیم».

$$N = J(T)$$



شکل ۸.۷

که در آن J عملگر دوران مذکور در تمرین ۵، بند ۱ می‌باشد (شکل ۸.۷).

بدینسان κ_g خمیدگی ژئودزیکی خم β تابعی است با مقدار حقیقی روی I که در فرمول فرنه $N = \kappa_g T'$ صدق می‌کند. از این رو κ_g دیگر مانند حالت خمها در \mathbf{E}^2 به مقادیر غیر منفی محدود

نمی‌گردد: $\kappa_g > 0$ بدین معنی است که چرخش T و در نتیجه چرخش β در جهت مثبت متناظر با جهت‌دهی M می‌باشد، و $\kappa_g < 0$ به معنی چرخش منفی است.

۵.۴. لم. خم β با تندى واحد را در ناحیه‌ای که با میدان سه‌وجهی E_1, E_2 جهندار شده است در نظر می‌گیریم. اگر در طول خم β ، تابع زاویه β' با E_1 را با φ نشان دهیم، آنگاه

$$\kappa_g = \frac{d\varphi}{ds} + \omega_{12}(\beta')$$

برهان. بنا بر تعریف تابع زاویه‌ای (تمرین ۱۵، فصل ۶، بند ۷)، داریم

$$T = \beta' = \cos \varphi E_1 + \sin \varphi E_2$$

چون جهت‌دهی از همین میدان سه‌وجهی نتیجه شده است، از این رو

$$J(E_1) = E_2 \quad \text{و} \quad J(E_2) = -E_1$$

بنابراین

$$N = J(T) = -\sin \varphi E_1 + \cos \varphi E_2$$

با استفاده از فرمول مشتق صفحه ۳۶۰، چنین به دست می‌آید

$$T' = \beta'' = \{-\sin \varphi \varphi' + \sin \varphi \omega_{12}(\beta')\} E_1 \\ + \{\cos \varphi \varphi' + \cos \varphi \omega_{12}(\beta')\} E_2$$

اما $\kappa_g = T' \cdot N = T' \cdot J(T)$ و چون از فرمولهای T' و $J(T)$ استفاده کنیم، به دست می‌آید:

$$\kappa_g = (\cos^2 \varphi + \sin^2 \varphi) (\varphi' + \omega_{12}(\beta')) = \varphi' + \omega_{12}(\beta')$$

به عنوان مثال، در E^3 برای میدان سه‌وجهی طبیعی داریم $\omega_{12} = 0$ ، و φ به صورت همان زاویه شیب معمولی خم β در می‌آید. بدینسان نتیجه بالا به صورت $\kappa_g = d\varphi/ds$ ساده می‌شود، که غالباً در حساب دیفرانسیل و انتگرال مقدماتی از آن به عنوان تعریف خمیدگی استفاده می‌کنند.

در مورد خم منظم α با تندى دلخواه در M ، دستگاه فرنه T, N, κ_g درست مانند فصل ۲، بند ۴ با تعویض پارامتر تعریف می‌شود.

علاوه بر این از همان برهان لم ۲.۴ فصل ۲ نتیجه می‌شود که

$$\alpha' = vT \quad \alpha'' = \frac{dv}{dt} T + \kappa_g v^2 N \quad (*)$$

که در آن $\|\alpha'\| = v$ همان تابع تندی α است.

۶.۴. لم. خم منظم α در M يك ژئودزیک است اگر، و فقط اگر، α دارای تندی ثابت بوده و κ_g خمیدگی ژئودزیک آن صفر باشد.

برهان. چون $v > 0$ است، خواهیم داشت $\alpha'' = 0$ اگر، و فقط اگر، $\kappa_g = (dv/dt) = 0$.

از معادلات (*) این نتیجه نیز به دست می آید که خمیدگی ژئودزیک α صفر است اگر، و فقط اگر، α' د α'' همواره همخط باشند. گاهی این گونه خمها را ژئودزیک می نامند: برای آنکه از α يك ژئودزیک به مفهوم خاص تعریف ۱.۴ به دست آید کافی است با تعویض پارامتر آن را به خمی با تندی ثابت بدل کنیم. (برهان: κ_g با تعویض پارامتر تغییر نمی کند.) هنگامی که نمایش پارامتری دارای اهمیتی باشد، هر خم با $\kappa_g = 0$ را يك پیش-ژئودزیک خواهیم نامید.

محاسبه فرمولهای صریح برای ژئودزیکهای يك رویه هندسی مفروض معمولاً کار ساده ای نیست. هدف ما اساساً آن است که وضع عمومی ژئودزیکها را بررسی کنیم نه آنکه به جمع آوری فرمول برداریم. پیش از ادامه این بحث، حالت خاصی را که در آن اطلاعات ملموس بسیاری درباره ژئودزیکها غالباً با حداقل محاسبات به دست می آید، مورد بررسی قرار می دهیم.

۷.۴. تعریف. نمایش پارامتری کلو عبارت است از نمایش پارامتری متعامد $X: D \rightarrow M$ که در آن E و G فقط به u بستگی دارند، یعنی $F = 0$ و $E_v = G_v = 0$.
بد عنوان مثال، نمایش پارامتری معمولی هر رویه دورانی يك نمایش پارامتری کلو است.

۸.۴. لم. اگر X يك نمایش پارامتری کلو باشد، آنگاه

۱. هر خم پارامتر u يك پیش-ژئودزیک است، و

۲. خم پارامتر v ، $u = u_0$ يك ژئودزیک است اگر، و فقط اگر، $G_u(u_0) = 0$.

برهان. در مورد (۱) بنا بر توضیحی که در بالا بیان شد، کافی است نشان دهیم که X_{uu} و X_u همخط اند. چون X_u و X_v متعامدند، شرط بالا با

$$X_v \cdot X_{uu} = 0$$

هم ارز است، و این رابطه از معادلات زیر نتیجه می شود:

$$0 = E_v = (X_u \cdot X_u)_v = 2X_u \cdot X_{uv}$$

$$0 = F_u = (X_u \cdot X_v)_u = X_{uu} \cdot X_v + X_u \cdot X_{vu}$$

به همین طریق، در مورد (۲)، خم پارامتر v ، $u = u_0$ يك پیش-ژئودزیک است اگر،

و فقط اگر، $X_{uv}(u_0, v) \cdot X_u(u_0, v) = 0$ معادلات زیر نشان می‌دهند که این رابطه برقرار است اگر، و فقط اگر، $G_u(u_0) = 0$.

$$0 = F_v = X_{uv} \cdot X_v + X_u \cdot X_{vv}$$

$$G_u(u_0) = G_u(u_0, v) = 2X_{uv}(u_0, v) \cdot X_v(u_0, v) \quad v \text{ به‌ازای هر}$$

(توجه شود که $X_{uv} = X_{vu}$) از شرط $G_v = 0$ استفاده نکردیم، تنها اثر آن اثبات این نکته است که پیش-ژئودزیکهای پارامتر v در واقع ژئودزیک می‌باشند، زیرا این رابطه به معنی آن است که خمهای پارامتر v دارای تنیدی ثابت اند.

در حالت رویه‌های دورانی این لم به‌طور ذاتی ثابت می‌کند که نصف‌النهارات ژئودزیک‌اند و هر مدار $u = u_0$ ژئودزیک خواهد بود اگر، و فقط اگر، $h'(u_0) = 0$. (تمرین ۳، فصل ۵، بند ۵ را ببینید.)

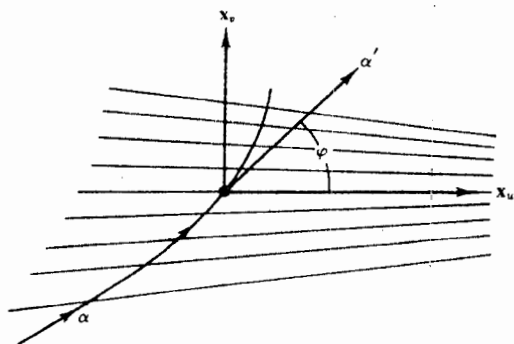
بر اساس لم پیش، نمایش پارامتری کلرو را به‌صورت «جریان» سیالی که خطوط جریان آن ژئودزیکهای پارامتر u می‌باشند در نظر می‌گیریم و وضعیت هر ژئودزیک دلخواه را نسبت به این جریان اندازه‌گیری خواهیم کرد.

۹.۴. لم. اگر $\alpha = X(a_1, a_2)$ یک ژئودزیک با تنیدی واحد، و X نمایش پارامتری کلرو باشد، آنگاه تابع

$$c = G(a_1)a_2' = \sqrt{G(a_1)} \sin \varphi$$

ثابت است، و در آن φ زاویه α' با X_u را نشان می‌دهد. بنابراین α نمی‌تواند از ناحیه‌ای که در آن $c \geq 2$ است خارج شود.

ثابت c را که بدینسان به‌هر ژئودزیک α وابسته می‌شود، میل α می‌نامند؛ زیرا از ترکیب آن با G می‌توان φ یعنی زاویه تقاطع α با خطوط جریان پارامتر u (در نمایش پارامتری X) را معین کرد (شکل ۹.۷ را ببینید).



شکل ۹.۷

برهان. چون در مورد نمایش پارامتری کلوئید داریم $E_v = G_v = 0$ ، معادله $A_v = 0$ در قضیه ۲.۴ به صورت ساده زیر درمی آید

$$a_v'' + \frac{G_u}{G} a_u' a_v' = 0$$

اما این معادله هم ارز است با ثابت بودن $c = Ga_v'$ ، زیرا

$$(Ga_v')' = G' a_v' + G a_v'' = G_u a_u' a_v' + G a_v''$$

برای اثبات رابطه $c = \sqrt{G} \sin \varphi$ ، کافی است دو معادله زیر را با هم مقایسه کنیم،

$$\alpha' \cdot \mathbf{x}_v = (a_u' \mathbf{x}_u + a_v' \mathbf{x}_v) \cdot \mathbf{x}_v = Ga_v' = c$$

$$\alpha' \cdot \mathbf{x}_v = \|\alpha'\| \|\mathbf{x}_v\| \cos\left(\frac{\pi}{2} - \varphi\right) = \sqrt{G} \sin \varphi$$

و از $|\sin \varphi| \leq 1$ مستقیماً نتیجه می شود که $G \geq c^2$.

اگر α در امتدادی که G در آن صعودی باشد حرکت کند، آنگاه از ثابت بودن $c = \sqrt{G} \sin \varphi$ نتیجه می شود که φ نزولی است: α اجباراً هر چه بیشتر به طرف امتداد جریان می چرخد. از طرف دیگر، اگر G در طول α نزول کند، آنگاه زاویه تقاطع α با ژئودزیکهای پارامتر u همواره افزایش می یابد. برخی از نتایج جالب در تمرینهای ۱۱ و ۱۲ آمده است. در مورد رویه‌های دورانی این تعبیر بسیار ساده است (تمرین ۱۳). می توان به‌الم بالا معادله

$$a_u' = \pm \frac{\sqrt{G-c^2}}{\sqrt{EG}} \quad (1)$$

را اضافه کرد. در واقع، چون α دارای تندی واحد است، داریم $Ea_u'^2 + Ga_v'^2 = 1$. چون در این معادله به جای a_v' مقدار:

$$a_v' = \frac{c}{G} \quad (2)$$

را (از لم ۹.۴) قرار دهیم، و آن را نسبت به a_u' حل کنیم معادله (۱) به دست می آید. برعکس، یک محاسبه ساده نشان می دهد که اگر a_u' صفر نباشد، از معادلات (۱) و (۲) نتیجه می شود $\alpha = \mathbf{x}(a_u, a_v)$ یک ژئودزیک با تندی واحد است. علاوه بر این، مخالف صفر بودن a_u' همان شرط لازم و کافی برای آن است که خم دلخواه α دارای تعویض پارامتری به صورت زیر باشد

$$\beta(u) = \mathbf{x}(u, v(u))$$

نکته اصلی این بحث آن است که اکنون می‌توان ملاک نسبتاً ساده‌ای برای آنکه خمی به این صورت یک پیش-ژئودزیک باشد به دست داد، و بدین وسیله مسیر ژئودزیکها را در هر ناحیه بسا یک نمایش پارامتری کلو رو کسرد. (اساساً این نمایش پارامتری خاص β تنها ژئودزیکهایی را که با قسمت (۲) لم ۸.۴ مشخص می‌گردند شامل نمی‌شود، تمرین ۱۲ را ببینید.)

۱۰.۴. قضیه. خم $\beta(u) = x(u, v(u))$ که در آن x یک نمایش پارامتری کلو رو است، یک پیش-ژئودزیک می‌باشد اگر، و فقط اگر،

$$\frac{dv}{du} = \frac{\pm c\sqrt{E}}{\sqrt{G}\sqrt{G-c^2}}$$

و در این صورت ثابت c میل خم β است.

برهان. استدلال این مطلب تمرین ساده‌ای درباره تعویض پارامتر است. گیریم α تعویض پارامتری با تندی واحد باشد که همانند فصل ۲ از تابع طول قوس s برای β به دست می‌آید. بدینسان β یک پیش-ژئودزیک است اگر و فقط اگر α ژئودزیک باشد. گیریم a_1 تابع وارون s باشد (بنا بر این a'_1 هیچ گاه صفر نمی‌شود). در این صورت

$$\alpha = \beta(a_1) = x(a_1, v(a_1))$$

و قرار می‌دهیم $a_1 = v(a_1)$. از توضیحات بالا روشن می‌شود که α یک ژئودزیک (با میل c) خواهد بود اگر، و فقط اگر،

$$a'_1 = \frac{\pm \sqrt{G-c^2}}{\sqrt{EG}}, \quad a'_1 = \frac{c}{G} \quad (E \text{ و } G \text{ بر حسب } a_1 \text{ محاسبه می‌شوند}) \quad (1)$$

اگر این معادلات برقرار باشند، آنگاه بنا بر حساب دیفرانسیل و انتگرال مقدما می‌داریم

$$\frac{dv}{du} = \frac{a'_1(s)}{a'_1(s)} = \frac{\pm c\sqrt{E}}{\sqrt{G}\sqrt{G-c^2}} \quad (2)$$

که با قراردادن مقدار s (تابع وارون a_1) E و G فقط تابع u می‌شوند. برعکس، اگر (۲) برقرار باشد، از معادله $1 = Ea_1'^2 + Ga_1'^2$ که مبین تندی واحد داشتن خم α است، روابط (۱) را نتیجه می‌گیریم.

چون در فرمول بسا dv/du فقط به u بستگی دارد، بنا بر قضیه اساسی حساب دیفرانسیل و انتگرال می‌توان آن را به صورت انتگرالی نوشت:

$$v(u) = v(u_0) \pm \int_{u_0}^u \frac{c\sqrt{E} du}{\sqrt{G}\sqrt{G-c^2}}$$

بدینسان در مورد نمایش پارامتری کلو، به‌ویژه، برای رویه‌های دورانی، محاسبهٔ پیش-ژئودزیکها ساده می‌شود و به یک انتگرالگیری منجر می‌گردد. البته این ملاک بسیار ساده‌تر از معادلهٔ دیفرانسیل مرتبهٔ دومی است که در قضیهٔ ۲.۴ آمد. اما متأسفانه به‌ندرت می‌توان انتگرالگیری را بر حسب توابع مقدماتی انجام داد.

۱۱.۴. مثال. مسیرهای ژئودزیکها

(۱) صفحهٔ اقلیدسی E^2 . نخست با رویه‌ای که ژئودزیکهای آن را می‌شناسیم آغاز می‌کنیم، ولی برای توضیح نتیجهٔ پیش‌به‌تعیین مسیرهای آنها بر حسب نمایش پارامتری قطبی

$$\mathbf{x}(u, v) = (u \cos v, u \sin v)$$

می‌پردازیم. چون $E = 1$ ، $F = 0$ و $G = u^2$ ، این یک نمایش پارامتری کلسرو می‌باشد. ژئودزیکهای پارامتر u همان خطوط شعاعی ماربر مبدأ می‌باشند. ژئودزیکهای دیگر را می‌توان تماماً به‌صورت پارامتری $\beta(u) = \mathbf{x}(u, v(u))$ نمایش داد، که در آن بنا بر قضیهٔ ۱۰.۴

$$\frac{dv}{du} = \frac{\pm c}{u\sqrt{u^2 - c^2}} = \pm \frac{d}{du} \left(\cos^{-1} \frac{c}{u} \right)$$

و بنا بر این $v - v_0 = \pm \cos^{-1}(c/u)$ یا $u \cos(v - v_0) = c$ ، که همان معادلهٔ قطبی خط مستقیم است. تعبیر هندسی میل c در اینجا، مسافت خط از مبدأ می‌باشد.

(۲) صفحهٔ هذلولوی H . در این حالت انتخاب مختصات قطبی مناسبتر است، زیرا تابع g که معرف ساختار هندسی H است فقط به مسافت از مبدأ بستگی دارد. بدینسان اگر

$$\mathbf{x}(u, v) = (u \cos v, u \sin v), \quad 0 < u < \infty$$

آنگاه $g(x) = 1 - u^2/4$. (از اینجا به بعد آن را فقط با g نمایش می‌دهیم.) و

$$E = \mathbf{x}_u \circ \mathbf{x}_u = \frac{1}{g}, \quad F = 0, \quad G = \mathbf{x}_v \circ \mathbf{x}_v = \frac{u^2}{g}$$

بدینسان \mathbf{x} یک نمایش پارامتری کلسرو است. بنا بر لم ۸.۴ خمهای پارامتر u ، خطوط اقلیدسی ماربر مبدأ، مسیرهای ژئودزیکهای H می‌باشند. بنا بر قضیهٔ ۱۰.۴، $\beta(u) = \mathbf{x}(u, v(u))$ هنگامی یک پیش-ژئودزیک است که

۱. البته انتخاب مختصات قطبی هذلولوی که در مثال ۵.۵ مورد بحث قرار گرفته بسیار مناسبتر می‌باشد، و خود منشأ تعویض متغیری است که بعداً در این مثال به کار می‌رود.

$$\frac{dv}{du} = \frac{\pm \left(\frac{cg}{u^2}\right)}{\sqrt{1 - \left(\frac{cg}{u}\right)^2}} \quad (1)$$

برای انجام عمل انتگرالگیری، قرار می‌دهیم

$$w = \frac{a}{u} \left(1 + \frac{u^2}{4}\right)$$

که در آن $a = c/\sqrt{1+c^2}$. آنگاه با محاسبه ساده‌ای خواهیم داشت

$$\frac{dv}{du} = \frac{\mp \frac{dw}{du}}{\sqrt{1-w^2}} \quad (2)$$

بنابراین

$$v - v_0 = \pm \cos^{-1} w \quad \text{یا} \quad \cos(v - v_0) = w = \frac{a}{u} \left(1 + \frac{u^2}{4}\right)$$

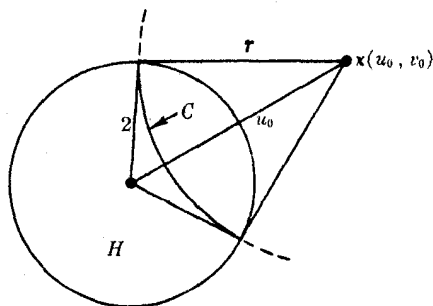
بدینسان

$$u^2 + 4 - \frac{4u}{a} \cos(v - v_0) = 0 \quad (3)$$

با استفاده از قانون کسینوسها در نموداری مشابه شکل ۱۰.۷، معادله قطبی دایره‌ای به شعاع r و به مرکز $X(u_0, v_0)$ به صورت زیر به دست می‌آید

$$u^2 + u_0^2 - 2u_0 u \cos(v - v_0) = r^2 \quad (4)$$

که از مقایسه آن با معادله (۳) دیده می‌شود که C ، مسیر β ، یک دایره اقلیدسی است به معادله $u^2 - r^2 = 4$ ، چون $u_0 > 2$ ، مرکز C در خارج صفحه هدلولوی $H: x^2 + y^2 < 4$ واقع می‌باشد. با توجه به شکل ۱۰.۷ می‌توان دید که دایره C به دایره لبه H یعنی

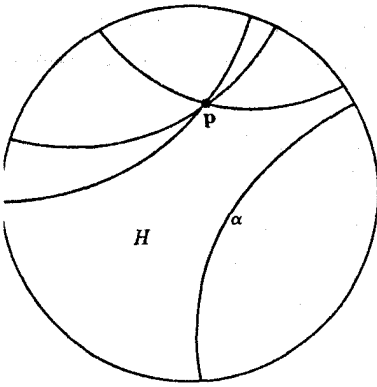


شکل ۱۰.۷

$x^2 + y^2 = 4$ عمود است. البته β روی کمان باز C واقع در داخل H قرار دارد، و از قضیه ۲.۴ نتیجه می‌شود که β این کمان را می‌پوشاند.

نتیجه. مسیرهای ژئودزیکهای صفحه هذلولوی H عبارت‌اند از قسمتهایی از: همه خطوط مستقیم اقلیدسی مادیو مبدأ، و همه دایره اقلیدسی عمود بر لبه H ، که در H واقع می‌باشند. استدلال مثال ۴.۲ نشان می‌دهد که ژئودزیکهای H دارای طول بینهایت می‌باشند (یک برهان صوری در تمرین ۱ بند ۵ آمده است)، بدینسان H از لحاظ ژئودزیکی کامل است.

ژئودزیکهای صفحه هذلولوی با ژئودزیکهای صفحه اقلیدسی قابل مقایسه‌اند. در حدود ۳۰۰ سال پیش از میلاد، اقلیدس برای خط مستقیم در صفحه خودش، مجموعه مشهوری از اصول را تنظیم کرد. هدف آن بود که هندسه صفحه را چنان مقرون به دلیل از این اصول نتیجه‌گیری کند که به صورت «بدیهی» درآید. مشهورترین این اصول همان اصل هم‌ارز با اصل موضوع توازی است: اگر p نقطه‌ای در خارج خط α باشد، آنگاه خط یکتای β وجود دارد که از p می‌گذرد و α را قطع نمی‌کند. در طول قرن‌ها به تدریج روشن شد که این اصل به اندازه سایر اصول بدیهی نمی‌باشد. به‌عنوان مثال، این اصل را که از هر دو نقطه تنها یک خط مستقیم می‌گذرد، می‌توان با قراردادن خط‌کش غیر مدرج به طوری که این دو نقطه بر لبه آن واقع شوند تحقیق کرد (البته ممکن است لازم آید که طول این خط‌کش بسیار دراز باشد، اما در هر صورت متناهی است). اما در مورد اصل موضوع توازی باید تمام طول نامتناهی β را برای حصول اطمینان از عدم تقاطع آن با α ، پیمود. از این رو به منظور آنکه اصل موضوع توازی را از سایر اصول نتیجه بگیرند کوششهای بسیاری به عمل آمد. صفحه هذلولوی H را می‌توان به‌عنوان دلیل قانع‌کننده‌ای برای عدم امکان اثبات اصل توازی تلقی کرد. زیرا اگر «مسیر ژئودزیک» را به جای «خط»



شکل ۱۱۰۷

در نظر بگیریم، آنگاه در H همه اصول اقلیدسی بجز اصل توازی برقرار می‌باشند. به‌عنوان مثال، به آسانی می‌توان دید که از هر دو نقطه یک، و فقط یک مسیر ژئودزیک می‌گذرد. اما با توجه به شکل ۱۱۰۷ دیده می‌شود که همواره در H تعداد نامتناهی مسیرهای ژئودزیک ماربر p وجود دارند که α را قطع نمی‌کنند. هنگامی که ثمرات این اکتشاف پدیدارگشت نه تنها اندک امید به اثبات اصل موضوع توازی از میان رفت، بلکه کل این اندیشه که E^2 ، بنا بر نوعی تعبیر فلسفی، یک مطلق است و خواص آن «بدیهی»، باطل شد. بدینسان E^2 در ردیف رویه‌های هندسی بشمار دیگری که ریمان کشف کرده بود قرار گرفت.

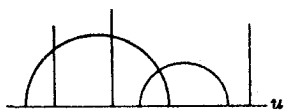
تمرینات

۱. نشان دهید که خم $\alpha(h)$ که از تعویض پارامتر ژئودزیک غیر ثابت α به دست آمده است یک ژئودزیک خواهد بود اگر، و فقط اگر، h به صورت $h(t) = at + b$ باشد.
۲. در M ژئودزیک یکنایی را که سرعت اولیه آن v است با γ_v نشان می‌دهیم. ثابت کنید که به‌ارای هر عدد a داریم:

$$\gamma_{av}(t) = \gamma_v(at) \quad \text{به‌ازای هر } t$$

۳. گیریم V یک میدان برداری روی یک ژئودزیک α باشد. نشان دهید که V متوازی است اگر، و فقط اگر، $\|V\|$ ثابت بوده و V با α' زاویه ثابتی بسازد.
۴. گیریم n قطب شمال، p_1 و p_2 نقاطی روی استوای کره Σ باشند. خم شکسته β را که از n به p_1 در طول یک نصف‌النهار، و از p_1 به p_2 در طول استوا و بعد از p_2 به n در طول یک نصف‌النهار ترسیم می‌شود در نظر می‌گیریم. ثابت کنید که زاویه هولونومی β برابر است با زاویه بین دو نصف‌النهار مزبور در n .
۵. مسیرهای ژئودزیکهای کره منظری (۱) در مثال ۳.۲ را بیابید.

۶. نشان دهید که در نیمصفحه پوانکاره مسیرهای ژئودزیکها عبارت‌اند از: همه نیمدایره‌هایی که مراکز آنها روی محور u هستند، و همه خطوط اشاغولی. (داهنمایی: $x(u, v) = (u, v)$)
 یک قطعه مختصاتی کلرو «نسبت به v » می‌باشد، از این‌رو در معادلات متن u و v ، و همچنین E و G را به یکدیگر تبدیل کنید. (شکل ۱۲.۷ را ببینید.)



شکل ۱۲.۷

۷. میدان سدوجهی E_1, E_2 و خم α با تندی واحد را به‌طوری که α' هیچ‌گاه با E_1 همخط نباشد در نظر می‌گیریم. اگر $\alpha'' = A_1 E_1 + A_2 E_2$ ، نشان دهید که معادله $A_1 = 0$ به‌تنهایی مبین آن است که α یک ژئودزیک است.
۸. در صفحه تصویری به‌شعاع r (تمرین ۶، بند ۲)، ثابت کنید که:
 (الف) ژئودزیکها خمهای بسته ساده‌ای به‌طول πr می‌باشند.
 (ب) از هر دو نقطه متمایز فقط یک مسیر ژئودزیک می‌گذرد.
 (ج) هر دو مسیر ژئودزیک متمایز دقیقاً در یک نقطه متقاطع‌اند.
 (داهنمایی: هر ژئودزیک Σ تصویر یک ژئودزیک کره Σ تحت نگاشت $P: \Sigma \rightarrow \Sigma$ است.)
۹. اگر α خمی در M با تندی $v > 0$ باشد، ثابت کنید که:
 (الف) κ_p ، خمیدگی ژئودزیکی خم α ، برابر است با $\kappa_p = J(\alpha')/v^2 \cdot \alpha''$. بنابراین اگر

M يك رویه در E^3 باشد، داریم $\kappa_g = U \cdot \alpha' \times \alpha'' / v^3$ (ب) اگر α دارای تنیدی واحد باشد، آنگاه میدان برداری V که در تمرین ۷، فصل ۵، بند ۵ آمده است همان قائم یکهٔ خم α یعنی N می باشد، و تابع g نیز خمیدگی ژئودزیکی κ_g است.

۱۰. گیریم M صفحه‌ای با حذف مبدأ باشد، آن را به‌ساختار هندسی همشکلی که در آن $g = r = \sqrt{u^2 + v^2}$ مجهز می‌کنیم. خمیدگی گاوسی M و مسیرهای ژئودزیک آن را بیابید. نشان دهید که M با رویه‌ای در E^3 ایزومتریک است.

۱۱. گیریم X يك نمایش پارامتری کلرو، و $\alpha = X(a_1, a_2)$ ژئودزیکی باتندی واحد و با میل c باشد. فرض کنیم که α از نقطهٔ

$$\alpha(0) = X(a_1(0), a_2(0)) = X(u_0, v_0)$$

شروع شود و $a_1'(0)$ مثبت باشد. اگر عددی مانند $u > u_0$ وجود داشته باشد به‌طوری که $G(u) = c^2$ ، و گیریم u_1 کوچکترین عددی از این نوع باشد. آنگاه خم پارامتر v

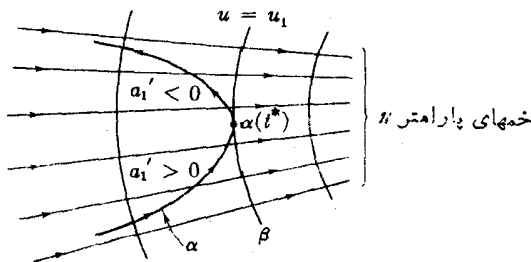
$$\beta(v) = X(u_1, v)$$

را يك خم سدی برای α می‌نامند. ثابت کنید که:

(الف) α به‌اندازهٔ دلخواه به β نزدیک می‌شود.

(ب) اگر β يك ژئودزیک باشد، α آن را قطع نمی‌کند (بدینسان α به‌طور مجانبی به β نزدیک می‌شود).

۱۲. (ادامه). اگر خم سدی β ژئودزیک نباشد، می‌توان نشان داد که α خم β را قطع می‌کند. اگر $\alpha(t^*)$ نقطهٔ تقاطع باشد، ثابت کنید که $a_1'(t^*) = 0$ و a_1' در t^* تغییر علامت می‌دهد. بدینسان α پس از برخورد با β چنان که در شکل ۱۳.۷ دیده می‌شود به‌سرعت برگشت می‌کند (داهنمایی: ثابت کنید که $0 < a_1''(t^*)$)



شکل ۱۳.۷

۱. البته با فرض آنکه α در ناحیه‌ای که به‌وسیلهٔ X پارامتری شده است باقی بماند.

۱۳. گیریم α يك خم ژئودزیک روی يك رویه دورانی باشد.
 (الف) نشان دهید که ميل α برابر است با $c = h \sin \varphi$ ، که در آن $h(t)$ مسافت از $\alpha(t)$ تا محور دوران، و φ زاویه تقاطع α با نصف النهارات M است.
 (ب) نتیجه بگیرید که α نمی تواند مداری به شعاع $|c|$ را قطع کند.

۱۴. گیریم α ژئودزیکی با ميل c روی سهمیگون دورانی

$$M: z = x^2 + y^2$$

باشد، مقدار مینیمم $z(\alpha)$ ، یعنی کمترین ارتفاعی را که α تا آن تنزل می کند بیابید.
 (راهنمایی: از قطعه مختصاتی مواز استفاده کنید.)

۱۵. ثابت کنید که هیچ ژئودزیکی بر رویه شیبوری (فصل ۵، ۶.۶) نمی تواند روی تمام محور حقیقی معین باشد.

۱۶. روی يك چنبره دورانی، ژئودزیک α را که در نقطه ای بر دایره فوقانی ($u = \pi/2$) مماس است در نظر می گیریم. نشان دهید که α همواره روی نیمه بیرونی چنبره ($-\pi/2 \leq u \leq \pi/2$) باقی می ماند و ضمن نوسان بین دایره های فوقانی و تحتانی چنبره را دور می زند.

۱۷. کاتنوئید C (مثال ۱.۶، فصل ۵) با $c = 1$ مفروض است. ژئودزیک α را طوری در نظر می گیریم که

$$\alpha(0) = x(u_0, v_0), \quad u_0 \neq 0$$

و $\alpha'(0)$ با نصف النهارات زاویه ای برابر φ_0 بسازد. (توجه شود که φ_0 و $\pi - \varphi_0$ دو نمایش پارامتری متمایز برای ژئودزیک مزبور به دست می دهند.) به ازای چه مقادیری از φ_0 ژئودزیک α دایره مینیمال $u = 0$ کاتنوئید C را قطع می کند؟

۱۸. نمایش پارامتری لیوویل $x: D \rightarrow M$ عبارت است از يك نمایش پارامتری متعامد به طوری که $E = G = U + V$ ، و در آن U فقط تابعی از u و V فقط تابعی از v است. اگر $\alpha = x(a_1, a_2)$ ژئودزیکی با تندی واحد باشد که بر حسب نمایش پارامتری مزبور بیان شده است، ثابت کنید

$$U(a_1) \sin^2 \varphi - V(a_2) \cos^2 \varphi$$

مقدار ثابتی است، φ زاویه α' با x_u را نشان می دهد.

۱۹. گیریم E_1, E_2 يك میدان سه وجهی روی رویه هندسی M باشد. فرض کنیم $\kappa_i(p)$ در p به ازای $i = 1, 2$ خمیدگی ژئودزیکی خم انتگرال E_i ماربر p باشد.

(الف) ثابت کنید که $K = E_1[\kappa_2] - E_2[\kappa_1] - \kappa_1^2 - \kappa_2^2$.

(ب) این فرمول را در مورد يك رویه دورانی دلخواه، با استفاده از میدان سه وجهی

مثال ۴.۶، فصل ۶ تحقیق کنید.

(داهنمایی: در مورد (الف)، ثابت کنید که $\kappa_i(E_i) = \omega_{i+1}$)

۵. خواص ژئودزیکها به عنوان کوتاهترین مسیر

در بند پیش ژئودزیکها را به عنوان مستقیمترین خمها در نظر گرفتیم، اکنون خصوصیت آنها را به عنوان کوتاهترین خمها مورد بررسی قرار می دهیم. مسأله اساسی، به بیان اجمالی، عبارت است از تعیین کوتاهترین مسیر از نقطه ای به نقطه دیگر روی یک رویه هندسی. در مورد E^2 حل این مسأله آسان است: به ازای هر دو نقطه p و q ، یک قطعه خط مستقیم یکتا از p به q وجود دارد و از هر خم دیگری که p را به q پیوندد کوتاهتر است (تمرین ۱۱، بند ۲، فصل ۲). در مورد یک رویه هندسی دلخواه M ، وضعیت جالبتر است. نخست امکان دارد که کوتاهترین خم از p به q وجود نداشته باشد (تمرین ۳، بند ۴، فصل ۶). و در صورتی هم که وجود داشته باشد، ممکن است یکتا نباشد. به عنوان مثال، ذیلاً این نتیجه واضح را ثابت خواهیم کرد که روی کره، نیمدایره هایی که قطب شمال را به قطب جنوب می پیوندند همه مساوی و دارای کوتاهترین طول اند. برای دقت اصطلاحات از مفهوم مسافت ذاتی (فصل ۶، بند ۴) استفاده خواهیم کرد.

۱.۵. تعریف. گیریم α قطعه خمی از p به q در M باشد. آنگاه

(۱) هنگامی α کوتاهترین قطعه خمی از p به q است که داشته باشیم

$$L(\alpha) = \rho(p, q)$$

(۲) هنگامی α کوتاهترین قطعه خم از p به q است که داشته باشیم

و هر کوتاهترین قطعه خم دیگر از p به q ، تنها یک تعویض پارامتر خم α باشد.

در حالت نخست، نیز گفته می شود که α طول قوسی از p به q (دایمیوم می کند، ایسن

تعریف بدان معنی است که اگر β هر قطعه خم دیگری از p به q باشد، آنگاه

$$L(\beta) \geq L(\alpha)$$

در حالت دوم گوئیم که α به طوری که طول قوسی را تعیین می کند. «یکتایی» باید در

اینجا به گونه ای تعبیر شود که امکان تعویض پارامتر وجود داشته باشد، زیرا تعویض پارامتر یکتا (تمرین ۱۵، بند ۲، فصل ۲) طول قوسی را تغییر نمی دهد.

چنان که خواهیم دید (لم ۸.۵) همه خمهایی از این گونه که دارای کوتاهترین

طول اند، ژئودزیک می باشند. نخستین نتیجه اصلی، (قضیه ۶.۵)، نشان می دهد که در یک

رویه هندسی دلخواه هر قطعه ژئودزیک که به قدر کافی کوتاه باشد، دارای نقشی همانند

خطوط مستقیم در E^2 است. نخست به بیان مقدمات مورد نیاز می پردازیم.

در صفحه اقلیدسی، اگر مسافت تا مبدأ مورد توجه باشد، طبیعی است که باید از

مختصات قطبی استفاده کنیم، زیرا در این صورت مسافت از o تا

$$\mathbf{x}(u, v) = (u \cos v, u \sin v)$$

برابر u است. اکنون به تعمیم این نمایش پارامتری در مورد يك رویه هندسی دلخواه M می پردازیم. همانند E^2 در اینجا نیز خمهای پارامتر u ژئودزیکیهایی خواهند بود که از يك نقطه ثابت p در M به صورت اشعه خارج می شوند. این گونه ژئودزیکیها را می توان به آسانی به صورت زیر مشخص کرد: اگر v يك بردار مماس يکه در p باشد، ژئودزیك یکتایی را که از p آغاز می شود و دارای سرعت اولیه v است با γ_v نشان می دهیم. اکنون به طریقی زیر از همه این ژئودزیکیها يك نگاشت فراهم می آوریم:

۲.۵. تعریف. گیریم e_1, e_2 يك سه وجهی در p از M باشد. آنگاه

$$\mathbf{x}(u, v) = \gamma_{\cos v e_1 + \sin v e_2}(u)$$

نگاشت قطبی ژئودزیکی رویه M به قطب p است.

در اینجا حوزه \mathbf{x} بزرگترین ناحیه ای از E^2 است که این فرمول روی آن دارای معنی می باشد. به ازای هر انتخاب v ، يك بردار مماس يکه

$$v = \cos v e_1 + \sin v e_2$$

در p تثبیت می شود (شکل ۱۴.۷). در این صورت خم پارامتر u

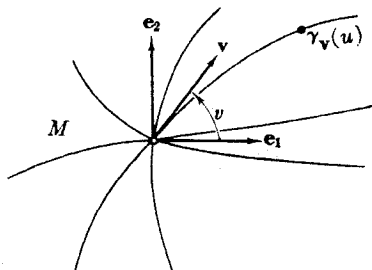
$$u \rightarrow \mathbf{x}(u, v) = \gamma_v(u)$$

همان ژئودزیك شعاعی با سرعت اولیه v است. چون $\|v\| = 1$ ، این ژئودزیك دارای تندی واحد می باشد، و طول γ_v از $p = \gamma_v(0)$ تا $\gamma_v(u)$ درست برابر u خواهد بود. در حالت خاصی که e_1, e_2 میدان سه وجهی طبیعی در o مبدأ E^2 باشد، نگاشت قطبی ژئودزیکی به صورت زیر در می آید

$$\begin{aligned} \mathbf{x}(u, v) &= \gamma_{\cos v e_1 + \sin v e_2}(u) \\ &= o + u(\cos v e_1 + \sin v e_2) \\ &= (u \cos v, u \sin v). \end{aligned}$$

بدینسان \mathbf{x} مختصات قطبی صفحه را تعمیم می دهد.

قطب p برای نگاشت قطبی ژئودزیکی يك نقطه غیر عادی است. برای بررسی وضعیت در مجاورت p ، نگاشت جدیدی (در شرایط تعریف ۲.۵) به صورت زیر تعریف می کنیم



شکل ۱۴.۷

$$y(u, v) = \gamma_{ue_1 + ve_2} \quad (1)$$

بر اساس نظریهٔ معادلات دیفرانسیل، y دیفرانسیلپذیر است، و به آسانی می‌توان تحقیق کرد که y در مبدأ منظم می‌باشد. بدینسان بنا بر قضیهٔ تابع معکوس، y دیفئومورفیسمی است از یک قرص $E^\epsilon: u^2 + v^2 < \epsilon^2$ روی یک همسایگی \mathcal{N}_ϵ از نقطهٔ p . \mathcal{N}_ϵ را یک همسایگی عادی نقطهٔ p می‌نامیم. در حالت خاص $M = E^2$ ، درست نگاشت همانی $y(u, v) = (u, v)$ است، بدینسان در مورد رویهٔ دلخواه M ، y ، تعمیم مختصات (متعامد) طبیعی E^2 خواهد بود.

۳.۵. لم. به ازای عدد $\epsilon > 0$ که به قدر کافی کوچک باشد، نوار $0 < u < \epsilon$ در E^2 را با S_ϵ نشان می‌دهیم. در این صورت نگاشت قطبی ژئودزیکی $S_\epsilon \rightarrow M$: x به قطب p ، نمایش پارامتری یک همسایگی عادی \mathcal{N}_ϵ نقطهٔ p ، با حذف p می‌باشد (شکل ۱۵.۷ را ببینید).

برهان. توجه شود که رابطهٔ x با y همان رابطهٔ مختصات قطبی با مختصات متعامد است، یعنی

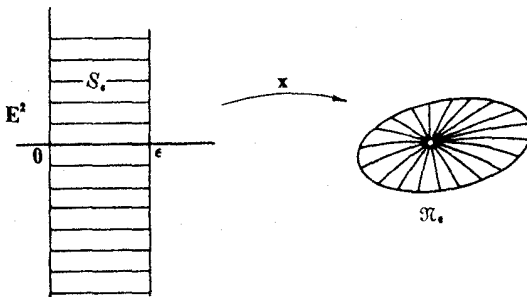
$$\begin{aligned} x(u, v) &= \gamma_{\cos ve_1 + \sin ve_2}(u) = \gamma_{u \cos ve_1 + u \sin ve_2} \quad (1) \\ &= y(u \cos v, u \sin v) \end{aligned}$$

که در آن از اتحاد $\gamma_u(u) = \gamma_{uv}(1)$ مذکور در تعریف ۲، بند ۴ استفاده کرده‌ایم. این فرمول، x را به صورت ترکیب دو نگاشت منظم زیر بیان می‌کند:

(۱) نگاشت قطبی اقلیدسی $(u, v) \rightarrow (u \cos v, u \sin v)$ که نوار S_ϵ را در گرداگرد قرص D_ϵ می‌نگارد، و

(۲) نگاشت یک به یک y از D_ϵ روی \mathcal{N}_ϵ . بنا بر این x منظم است و S_ϵ را به روش مختصات قطبی معمولی روی همسایگی \mathcal{N}_ϵ می‌برد، و تنها قطب حذف می‌شود. ■

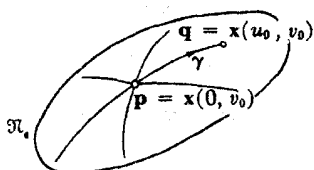
از اینجا یک نتیجهٔ اساسی به دست می‌آید: اگر $q = x(u_0, v_0)$ نقطه‌ای در یک



شکل ۱۵.۷

همسایگی عادی \mathcal{N} از p باشد، آنگاه تنها يك ژئودزیک با تندی واحد از p به q وجود داد که تماماً در \mathcal{N} واقع است، یعنی ژئودزیک شعاعی

$$\gamma(u) = x(u, v_0) \quad 0 \leq u \leq u_0$$



شکل ۱۶.۷

(برهان. هر ژئودزیک با تندی واحد که از p آغاز شود بنا بر یکتایی ژئودزیکها، يك خم پارامتر u از نمایش پارامتری قطبی می باشد. همان طور که در شکل ۱۶.۷ دیده می شود، همه بجز $2\pi n$ بی آنکه از q بگذرند از \mathcal{N} خارج می شوند، و به ازای مقادیر مختلف n همان ژئودزیک γ به دست می آید، این ابهام معمولی مختصات قطبی است).

۴.۵. ام. در مورد نمایش پارامتری قطبی ژئودزیکي داریم، $E = 1$ ، $F = 0$ ، $G > 0$

برهان. چون خمهای پارامتر u ژئودزیکهایی با تندی واحدند، داریم

$$E = x_u \cdot x_u = 1 \quad \text{و} \quad x_{uu} = 0$$

بدینسان

$$F_u = (x_u \cdot x_v)_u = x_u \cdot x_{vu} = x_u \cdot x_{uv} = \frac{1}{v} E_v = 0$$

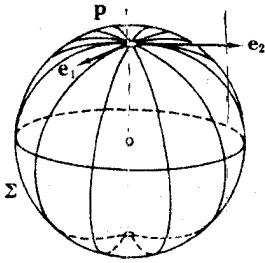
بنابراین F روی هر يك از خمهای پارامتر u ثابت است. توابع E ، F ، G حتمی هنگامی که x به نوار S_e تخصیص نیافته باشد به خوبی معین می باشند. خم پارامتر v ، همان خم ثابت در قطب p است، بنابراین

$$x_v(0, v) = 0$$

اما در این صورت به ازای هر v داریم $F(0, v) = 0$ ، و چون $F_u = 0$ ، نتیجه می شود که F متحداً صفر می باشد. چون x (که در اینجا بار دیگر به نوار S_e تخصیص نیافته است) يك نمایش پارامتری، یعنی يك نگاشت منظم است، می دانیم که $EG - F^2 = EG$ هیچ گاه صفر نیست. بنابراین $G > 0$.

۵.۵. مثال. در اینجا نمایشهای پارامتری قطبی ژئودزیکي را در دو حالت کلاسیک صریحاً به دست می آوریم.

(۱) کره Σ یکه در E^3 . برای آسانی گیریم p قطب شمال $(0, 0, 1)$ باشد. برای به دست آوردن ژئودزیکهایی که به صورت اشعه از p خارج می شوند همانند شکل ۱۷.۷، نمایش پارامتری جغرافیایی را به صورت زیر درمی آوریم



شکل ۱۷.۷

$$x(u, v) = (\sin u \cos v, \sin u \sin v, \cos u)$$

هر خم پارامتر u در واقع يك نمايش پارامتری باتندی واحد دایره عظیمه است، و بنابراین يك ژئودزیک می باشد. به ازای $u = 0$ خواهیم داشت

$$\begin{aligned} x_u(0, v) &= (\cos v, \sin v, 0) \\ &= \cos v e_1 + \sin v e_2 \end{aligned}$$

که در آن

$$e_1 = U_1(p), \quad e_2 = U_2(p)$$

بدینسان بنا بر یکتایی ژئودزیکها داریم

$$x(u, v) = \gamma \cos v e_1 + \sin v e_2(u)$$

و دیده می شود که x به همان صورتی که در بالا تعریف شده است، يك نگاهت ژئودزیک قطبی می باشد (تعریف ۲.۵). به آسانی می توان دید که بزرگترین همسایگی عادی ممکن e از p به ازای $\epsilon = \pi$ به دست می آید؛ زیرا روی نوار S_π ، x نمايش پارامتری قطبی تمام کره به استثنای قطبهای شمال و جنوب است.

(۲) صفحه هذلولوی H (مثال ۴.۲). بنا انتخاب $p = (0, 0)$ قرار می دهیم $e_2 = U_2(p)$ ، $e_1 = U_1(p)$ (چون تابع g در مبدأ برابر ۱ است، این يك سه وجهی می باشد). در مثال ۱۱.۴ دیدیم که ژئودزیکهای H که از مبدأ می گذرند در امتداد خطوط مستقیم اقلیدسی واقع اند. بنا بر این به ازای هر عدد v ، خم

$$\alpha(t) = (t \cos v, t \sin v)$$

حداقل يك پیش-ژئودزیک از نوع مطلوب می باشد. در مثال ۴.۲ برای چنین خمی تابع طول قوس را به صورت $s(t) = 2 \tanh^{-1}(t/2)$ به دست آوردیم، بدینسان

$$s \rightarrow \alpha \left(2 \tanh \frac{s}{2} \right) = \left(2 \tanh \frac{s}{2} \cos v, 2 \tanh \frac{s}{2} \sin v \right)$$

تعویض پارامتر با تندی واحد خم α است. با قرار دادن u به جای s به دست می آید

$$x(u, v) = \left(2 \tanh \frac{u}{2} \cos v, 2 \tanh \frac{u}{2} \sin v \right)$$

چون در این نگاهت خمهای پارامتر u ژئودزیکهایی باتندی واحدند، و

$$x_u(0, v) = \cos v e_1 + \sin v e_2$$

نتیجه می‌شود که مانند (۱)، x يك نگاشت قطبی ژئودزیکي است. در این حالت همسایگی عادی تمام رویه H می‌باشد.

۶.۵. قضیه. به ازای هر نقطه q واقع در همسایگی عادی \mathcal{N}_ϵ از p قطعه ژئودزیک شعاعی در \mathcal{N}_ϵ از p تا q طول قوس را به طور یکتا مینیمم می‌کند.

برهان. گیریم x نمایش پارامتری قطبی همسایگی عادی \mathcal{N}_ϵ باشد. اگر

$$q = x(u_0, v_0)$$

آنگاه قطعه ژئودزیک شعاعی عبارت خواهد بود از

$$\gamma(u) = x(u, v_0), \quad 0 \leq u \leq u_0$$

اکنون گیریم α يك قطعه خم داخله از p به q در M باشد. می‌توان ترتیبی داد که α روی همان فاصله متناظر به γ معین باشد. نخست ثابت می‌کنیم که

$$L(\gamma) \leq L(\alpha) \quad (1)$$

در اینجا دو حالت در نظر می‌گیریم یکی آنکه α از همسایگی \mathcal{N}_ϵ خارج نشود (شکل ۱۸.۷). می‌توان فرض کرد که α پس از ترك p هیچ‌گاه به p باز نمی‌گردد، در غیر این صورت با حذف حلقه مزبور طول α کوتاهتر می‌شود. بدینسان می‌توان نوشت

$$\alpha(t) = x(a_1(t), a_2(t))$$

چون $\alpha(0) = p$ و $\alpha(u_0) = q$ داریم

$$\begin{aligned} a_1(0) &= 0 & a_1(u_0) &= u_0 \\ a_2(0) &= v_0 & a_2(u_0) &= v_0 + 2\pi n \end{aligned} \quad (2)$$

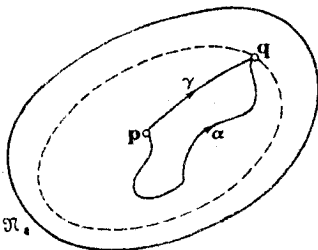
(جمله $2\pi n$ همچنان در اثر عدم یکنایی زوایا در مختصات قطبی به وجود می‌آید.) چون در مورد نگاشت x داریم $E = 1$ و $F = 0$ ، تندی α برابر خواهد بود با

$$\|\alpha'\| = \sqrt{a_1'^2 + Ga_2'^2}$$

اما

$$\sqrt{a_1'^2 + Ga_2'^2} \geq \sqrt{a_1'^2} = |a_1'| \geq a_1' \quad (3)$$

بنا بر این



شکل ۱۸.۷

$$L(\alpha) = \int_0^{u_0} \sqrt{a_1'^2 + G a_1'^2} \geq \int_0^{u_0} a_1' dt \quad (4)$$

$$= a_1(u_0) - a_1(0) = u_0.$$

در گام آخر از (۲) استفاده شده است. اما ژئودزیک شعاعی γ دارای تندی واحد است، بنابراین

$$L(\gamma) = \int_0^{u_0} dt = u_0.$$

و نتیجه می‌شود که

$$L(\gamma) \leq L(\alpha)$$

در حالت دیگر که α از همسایگی \mathcal{N} خارج شود، نامساوی بالا به صورت اکید $L(\gamma) < L(\alpha)$ درمی‌آید. زیرا α باید دایرهٔ قطبی $u = u_0$ را که در شکل ۱۸.۷ خط چین نشان داده شده است قطع کند تا بتواند از \mathcal{N} خارج شود. اما بنا بر برهان بالا طول آن هنگامی که به دایره می‌رسد حداقل برابر $L(\gamma) = u_0$ خواهد بود. اکنون به اثبات حکم یکتایی زیر می‌پردازیم:

$$(5) \quad \text{اگر } L(\alpha) = L(\gamma), \text{ آنگاه } \alpha \text{ يك تعویض نمایش پارامتری } \gamma \text{ است.}$$

استدلال بالا نشان می‌دهد که اگر $L(\alpha) = L(\gamma)$ ، آنگاه α در داخل \mathcal{N} باقی می‌ماند، و نامساوی (۴) به صورت تساوی درمی‌آید. از اینجا نتیجه می‌شود که $\sqrt{a_1'^2 + G a_1'^2} = a_1'$ چون $G > 0$ از (۳) نتیجه می‌شود که

$$a_1' \geq 0, \quad a_1' = 0 \quad (6)$$

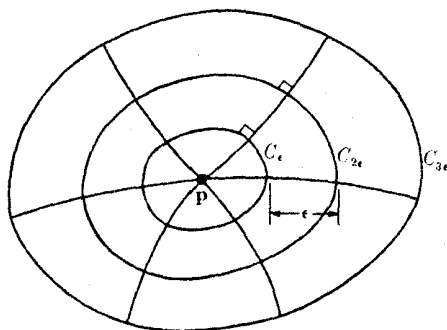
بدینسان a_1 دارای مقدار ثابت v_0 است (بنابراین در (۲) داریم $n = 0$) و

$$\alpha(t) = \mathbf{x}(a_1(t), v_0) = \gamma(a_1(t))$$

که نشان می‌دهد α در واقع يك تعویض پارامتر یکنوای γ است.

این نتیجهٔ اساسی نشان می‌دهد، همان گونه که قبلاً گفته شد، اگر نقاط \mathbf{p} و \mathbf{q} به قدر کافی به هم نزدیک باشند، آنگاه همانند فضای اقلیدسی به ازای نقاط دلخواه تنها يك قطعه ژئودزیکي یکتا از \mathbf{p} به \mathbf{q} وجود دارد به طوری که از هر خم ماربر \mathbf{p} و \mathbf{q} کوتاهتر است. (اما برخلاف حالت اقلیدسی، امکان دارد ژئودزیکهای بسیاری ماربر \mathbf{p} و \mathbf{q} وجود

۱. برهان دقیق مستلزم کاربرد اصل موضوع هائوسدورف (تمرین ۵، فصل ۴، بند ۸) است که آن را در تمام این فصل محقق می‌گیریم.



شکل ۱۹.۷

داشته باشند که دارای کوتاهترین طول نباشند.) اگر x يك نمایش پارامتری ژئودزیکي قطبی در p باشد، C_ϵ مسیر خم پارامتر $v, u = \epsilon$ ، را دایره قطبی به شعاع ϵ در p می نامیم (شکل ۱۹.۷). قضیه ۶.۵ نشان می دهد که C_ϵ در واقع از همه نقاطی که مسافت آنها از p برابر ϵ است تشکیل شده است.

در حالت های خاصی که همسایگی های عسادی وسیعی در دسترس باشند، این اطلاع موضعی می تواند دارای تأثیر قطعی باشد.

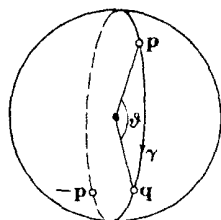
۷.۵. مثال. خواص ژئودزیکهای کره Σ به شعاع r ، به عنوان کوتاهترین مسیر، با یک تعویض مقیاس می توان از مثال ۵.۵ نتیجه گرفت که هر نقطه p از Σ دارای همسایگی عادی Ω_{pp} است که: از همه نقاط Σ به جز $-p$ ، نقطه متقاطع قطب p ، تشکیل می شود. بنابراین از قضیه ۶.۵ نتیجه می شود که:

(الف) اگر دو نقطه p و q از Σ متقاطع نباشند (یعنی، $q \neq -p$)، در این صورت يك خم یکنای γ از p به q وجود دارد که دارای کوتاهترین طول است. از طرف دیگر همه ژئودزیکهای Σ را می شناسیم: γ تنها ژئودزیکي است که مسیر آن قوس کوچکتر دایره عظیمه ماربر p و q است.

(ب) مسافت ذاتی ρ روی Σ از فرمول

$$\rho(p, q) = r\vartheta$$

به دست می آید، که در آن ϑ ($0 \leq \vartheta \leq \pi$) زاویه p با q در E^3 است (شکل ۲۰.۷). اگر p و q متقاطع نباشند، این تساوی از قسمت (الف) نتیجه می شود، زیرا



شکل ۲۰.۷

$$\rho(p, q) = L(\gamma) = r\vartheta$$

هنگامی که q به طرف p - یعنی نقطهٔ متقاطع قطب p حرکت کند، بنا بر پیوستگی نتیجه می‌شود که $\rho(p, -p) = r\pi$. بنا بر این

(ج) روی Σ بین هر دو نقطهٔ متقاطع p و p - بینهایت ژئودزیک با کوتاhtترین طول وجود دارد، یعنی (نمایشهای پارامتری با تبدی ثابت مربوط به) نیمدایره‌هایی که p را به p - می‌پیوندند. (بهران: همهٔ آنها دارای طول $L(\gamma) = r\pi$ هستند).

(د) هیچ قطعهٔ ژئودزیک γ با طول $L(\gamma) > \pi r$ نمی‌تواند مسافت بین دو نقطهٔ انتهایی خود را مینیمم کند. این نکته مستقیماً از آنجا نتیجه می‌شود که مسافت ذاتی ρ هیچ‌گاه از πr تجاوز نمی‌کند. از لحاظ هندسی روشن است، که اگر γ از p آغاز شود، به مجرد آنکه از نقطهٔ متقاطع p - فراتر رود طول آن از πr تجاوز می‌کند. اما در این صورت γ^* قوس دیگر همان دایرهٔ عظیمه از γ کوتاhtتر است.

فرض کنیم که α قطعه خمی در M از p به q ، و β قطعه خمی از q به r باشد. البته عموماً نمی‌توان α و β را به صورت یک خم (دیفرانسیلپذیر) از p به r در نظر گرفت، زیرا چنان‌که در شکل ۲۱.۷ دیده می‌شود، امکان دارد در q «گوشه» ای تشکیل دهند. با استفاده از روشهای حساب دیفرانسیل و انتگرال پیشرفته، می‌توان این گوشه را «گرد» کرده و یک قطعه خم γ از p به r به دست آورد که (برای بیان ضعیف‌ترین قضیه) طول آن فقط اندکی از α و β بیشتر باشد. توضیح آنکه، به ازای هر $\epsilon > 0$ یک خم γ وجود دارد به طوری که

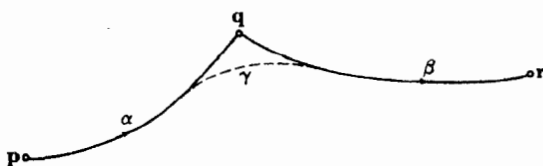
$$L(\gamma) \leq L(\alpha) + L(\beta) + \epsilon$$

از اینجا نتیجه می‌شود که مسافت ذاتی در نامسای مثلثی صدق می‌کند. در واقع، اگر نقاط p ، q و r داده شده باشند، بنا بر تعریف مسافت ذاتی، به ازای هر $\epsilon > 0$ می‌توان خمهای α و β را طوری تعیین کرد که مانند بالا داشته باشیم

$$L(\alpha) \leq \rho(p, q) + \epsilon, \quad L(\beta) \leq \rho(q, r) + \epsilon$$

گرد کردن گوشه در نقطهٔ q حداکثر به تعیین یک ϵ دیگر می‌انجامد: بدینسان یک قطعه خم γ از p به r به دست می‌آید به طوری که

$$\rho(p, r) \leq L(\gamma) \leq \rho(p, q) + \rho(q, r) + 3\epsilon$$



شکل ۲۱.۷

اما چون ϵ دلخواه است، نتیجه می شود که

$$\rho(p, r) \leq \rho(p, q) + \rho(q, r)$$

۸.۵. لم. اگر α قطعه خمی با کوتاهترین طول در M از p به q باشد، آنگاه α ژئودزیک است.

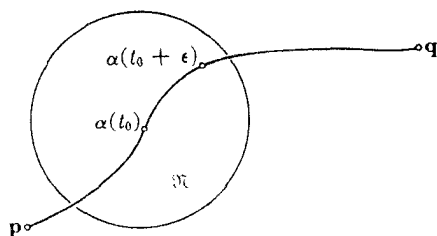
برهان. ثابت می کنیم که اگر $\alpha: [a, b] \rightarrow M$ قطعه خمی از p به q ژئودزیک نباشد، آنگاه $L(\alpha) > \rho(p, q)$. اگر α ژئودزیک نباشد، به ازای یک زمان t_0 ، شتاب $\alpha''(t_0)$ مخالف صفر است. بنابر پیوستگی، α'' در مجاورت t_0 صفر نمی شود، از این رو می توان فرض کرد که $t_0 < b$ و به ازای $\epsilon > 0$ و به قدر کافی کوچک، $\alpha(t_0 + \epsilon)$ در یک همسایگی عادی $\alpha(t_0)$ واقع است، و قطعه ای از α از t_0 تا $t_0 + \epsilon$ ژئودزیک نیست، زیرا $\alpha''(t_0) \neq 0$ (شکل ۲۲.۷). اما بنابر قضیه ۶.۵ طول $L_{t_0, t_0 + \epsilon}$ اکیداً بزرگتر از مسافت ذاتی $\alpha(t_0)$ تا $\alpha(t_0 + \epsilon)$ است. بدینسان بنابر نامساوی مثلثی خواهیم داشت

$$\begin{aligned} L(\alpha) &= L_{a, t_0} + L_{t_0, t_0 + \epsilon} + L_{t_0 + \epsilon, b} \\ &> \rho(p, \alpha(t_0)) + \rho(\alpha(t_0), \alpha(t_0 + \epsilon)) + \rho(\alpha(t_0 + \epsilon), q) \\ &\geq \rho(p, q) \end{aligned}$$

این نتیجه شگفت آور نیست: کوتاهترین راه نمی تواند دارای پیچش، یا دارای گوشه هایی باشد، زیرا استدلال پیچیده تری نشان می دهد که کوتاهترین خم (که می تواند شکسته باشد) باید در واقع یک ژئودزیک (ناشکسته) باشد. در اینجا به نتیجه اصلی این بند می رسیم.

۹.۵. قضیه. به ازای هر دو نقطه p و q در یک رویه هندسی M که به طور ژئودزیکی کامل باشد، یک قطعه ژئودزیک از p به q با کوتاهترین طول وجود دارد.

برهان. طرح اثبات بسیار زیرکانه است، و در تهیه آن چندین ریاضیدان متوالیاً کوشیده اند.



شکل ۲۲.۷

(به قضیه ۹.۱۰، صفحه ۶۲، کتاب میلنور [۷] مراجعه شود.) اثبات را با در نظر گرفتن خمی به عنوان کوتاهترین خم از p به q آغاز می‌کنیم. گیریم

$$\beta(v) = x(a, v), \quad 0 \leq v \leq 2\pi$$

نمایش پارامتری دایره قطبی C به شعاع a در یک همسایگی عادی p باشد. بنا بر تمرین ۶ تابع $\rho(\beta(v), q) \rightarrow v$ روی فاصله بسته $[0, 2\pi]$ پیوسته است؛ بنابراین به ازای یک مقداری، مثلاً v_0 مینیمم می‌شود. گیریم γ خم پارامتر $v = v_0$ باشد. چون M به‌طور ژئودزیکی کامل است، $\gamma(u)$ به ازای همه مقادیر $u \geq 0$ معین می‌باشد. ثابت خواهیم کرد که γ از q می‌گذرد، و در واقع

$$\gamma(r) = q \quad \text{که در آن } r = \rho(p, q) \quad (1)$$

(شکل ۲۳.۷ نمایشگر این وضعیت است.) چون γ دارای تندی واحد است، نتیجه خواهد شد که

$$L(\gamma) = r = \rho(p, q)$$

و بدینسان قضیه ثابت می‌شود.

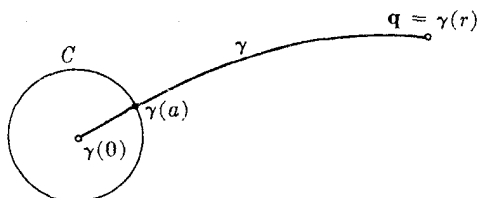
برای اثبات (۱)، از یک حالت استدلالی استقرایی معمولی که در آن به جای اعداد صحیح اعداد حقیقی جایگزین شده‌اند استفاده می‌کنیم. به ازای هر عدد $u \geq 0$ حکم زیر را در نظر می‌گیریم

$$\alpha(u): \quad \rho(\gamma(u), q) = r - u \quad (2)$$

که در آن، مانند بالا، $r = \rho(p, q)$. این بدان معنی است که γ (با تندی واحد) نافذ است؛ پس از پیمودن مسافت u ، مسافت تا q دقیقاً به اندازه u کاهش می‌یابد. اگر بتوان نشان داد که حکم $\alpha(r)$ صادق است، اثبات پایان می‌یابد، زیرا در این صورت

$$\rho(\gamma(r), q) = 0$$

و بنا بر تمرین ۵، $\gamma(r) = q$. ابتدا نشان می‌دهیم که $\alpha(a)$ به ازای a مذکور در بالا صادق است، یعنی



شکل ۲۳.۷

$$\rho(\gamma(a), q) = r - a \quad (۳)$$

طبق قضیه ۶.۵ داریم $\rho(p, \gamma(a)) = a$ و بنا بر نامساوی مثلثی

$$r = \rho(p, q) \leq a + \rho(\gamma(a), q)$$

باید عکس این نامساوی را اثبات کنیم تا (۳) به دست آید. بنا بر تعریف مسافت ذاتی، به ازای هر $\epsilon > 0$ يك قطعه خم α از p به q وجود دارد به طوری که

$$L(\alpha) \leq \rho(p, q) + \epsilon$$

اما α باید دایره قطبی C را در يك نقطه $\alpha(t_0)$ قطع کند، و مشاهده می کنیم که قسمتی از α که p را به $\alpha(t_0)$ می پیوندد دارای طول $L_1 \geq a$ می باشد، و بقیه α دارای طول

$$L_2 \geq \rho(\alpha(t_0), q) \geq \rho(\gamma(a), q)$$

است. (قسمت دوم این نامساوی از آنجا نتیجه می شود که $\gamma(a)$ نزدیکترین نقطه به q روی C است.) بدینسان

$$a + \rho(\gamma(a), q) \leq L_1 + L_2 = L(\alpha) \leq \rho(p, q) + \epsilon$$

چون ϵ دلخواه است، نامساوی

$$a + \rho(\gamma(a), q) \leq \rho(p, q)$$

که برای اثبات (۳) لازم بود به دست می آید.

اکنون مرحله استقرایی اثبات مطرح می شود. چون ρ نمی تواند منفی باشد، $\alpha(u)$ به ازای $r > u$ فاقد معنی است. بدینسان مجموعه اعداد a که به ازای آنها $\alpha(a)$ صادق است دارای يك کوچکترین کران بالای b ، با $b \leq r$ است. چون توابعی که در گزاره $\alpha(a)$ دخالت دارند پیوسته اند، بنا بر تعریف کوچکترین کران بالا، $\alpha(b)$ نیز صادق است.

طرح بقیه اثبات از این قرار است: فرض می کنیم که $b < r$ ، و از آنجا تناقضی به دست می آید. آنگاه (چون $b \leq r$) باید داشته باشیم $b = r$ ، و $\alpha(r)$ به همان گونه که می خواستیم صادق است.

گیریم C^* يك دایره قطبی به شعاع $a^* < r - b$ در يك همسایگی عادی $\gamma(b)$ باشد. با تکرار استدلال مربوط به دایره C ، يك نقطه c^* به دست می آید به طوری که

$$\rho(c^*, q) = \rho(\gamma(b), q) - a^* \quad (۳')$$

(شکل ۲۴.۷ را ببینید.) اما $\alpha(b)$ عبارت است از $\rho(\gamma(b), q) = r - b$ ، بنا بر این

$$\rho(c^*, q) = r - b - a^* \quad (۴)$$

مرحله اصلی دیگری که باقی می ماند عبارت است از اثبات

$$c^* = \gamma(b+a^*) \quad (5)$$

این نکته چندان دشوار نیست. بنا بر نامساوی مثلثی داریم

$$\rho(p, c^*) + \rho(c^*, q) \geq \rho(p, q) = r$$

و با استفاده از (۴) به دست می آید

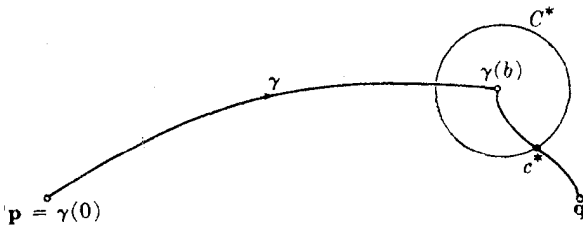
$$\rho(p, c^*) \geq b+a^*$$

اما از p به c^* يك خم شکسته وجود دارد که طول آن دقیقاً برابر $b+a^*$ است. در واقع، با توجه به شکل ۲۴.۷، می توان روی γ از p به $\gamma(b)$ با طول قوس b ، و سپس از $\gamma(b)$ به c^* روی يك شعاع ژئودزیکي به طول a^* حرکت کرد. بدینسان بنا بر توضیحی که پیش از این قضیه آمد، خم مزبور در واقع شکسته نیست. بنا براین در طول تمام مسیر خم مزبور همان γ است، و $\gamma(b+a^*)$ دقیقاً برابر c^* می باشد.

بالاخره، چون (۵) را در (۴) قرار دهیم، به دست می آید

$$\rho(\gamma(b+a^*), q) = r - (b+a^*)$$

این بدان معنی است که $\alpha(b+a^*)$ صادق است، و چون $b+a^*$ اکیداً از b که کران بالاست بزرگتر می باشد به تناقض مطلوب می رسیم.



شکل ۲۴.۷

تمرینات

۱. در صفحه هذلولوی H ، مسافت ذاتی از مبدأ o تا يك نقطه دلخواه p را بیابید. نتیجه بگیرید که همه ژئودزیکهای H دارای طول بینهایت اند، و بنا براین H کامل است. (دانهمایی: از نامساوی مثلثی استفاده کنید.)

۲. در نیمصفحه پوانکاره (تمرین ۶، بند ۴):

(الف) برای مسیرهای ژئودزیکهای نیمدایره ای ماربر نقطه $(o, 1)$ معادله ای به صورت $F(x, y, c) = 0$ بیابید.

(ب) معادله‌ای به صورت $G(x, y, a) = 0$ برای دایره‌های قطبی به مرکز $(0, 1)$ بیابید. (دانهمایی: این دایره‌ها مسیرهای قائم خمهای قسمت (الف) می‌باشند.)
 (ج) چند خم از هر خانواده را در یک طرح اجمالی رسم کنید.

۳. در نقطه $p = (r, 0, 0)$ از استوانه $M: x^2 + y^2 = r^2$ ، قرار می‌دهیم

$$e_1 = (0, 1, 0) \quad \text{و} \quad e_2 = (0, 0, 1)$$

در این حالت برای نگاشت γ (صفحه ۳۸۴) فرمول صریحی بیابید. بزرگترین همسایگی عادی نقطه p چیست؟

۴. طرحی را که در برهان قضیه ۹.۵ به کار رفت، در حالت خاص $M = \mathbb{E}^2$ بیازمایید. توضیح: با نگاشت قطبی ژئودزیکی

$$x(u, v) = (p_1 + u \cos v, p_2 + u \sin v) \quad \text{در } p$$

شروع کرده و با پیروی از بند اول برهان قضیه ۹.۵ ژئودزیک γ را بیابید.

۵. مسافت ذاتی روی M یک متریک است. نشان دهید که

(الف) همه نقاط q به طوری که $\rho(p, q) < \epsilon$ ، یک همسایگی عادی \mathcal{N}_ϵ برای p تشکیل می‌دهند.

(ب) در سه خصوصیت متریک صدق می‌کند: (i) $\rho \geq 0$ و $\rho(p, q) = 0$ اگر و فقط اگر $p = q$ ، (ii) $\rho(p, q) = \rho(q, p)$ ، و (iii) نامساوی مثلثی.

(دانهمایی: لازم است که از اصل موضوع هاوسدورف به همان منظور که در پاراگراف صفحه ۳۸۸ آمده، استفاده شود.)

۶. مسافت ذاتی پیوسته است. در یک رویه هندسی M ، هنگامی گوئیم $p_i \rightarrow p$ ، که دنباله اعداد حقیقی $\rho(p, p_i)$ به سمت ۰ میل کند. ثابت کنید که اگر $p_i \rightarrow p$ و $q_i \rightarrow q$ آنگاه $\rho(p_i, q_i) \rightarrow \rho(p, q)$.

۷. گیریم α و β دو ژئودزیک متمایز با تندی واحد باشند که هر دو از یک نقطه $\alpha(0) = \beta(0)$ آغاز می‌شوند. اگر α و β پس از پیمودن یک مسافت $r > 0$ مجدداً یکدیگر را قطع کنند، یعنی، $\alpha(r) = \beta(r)$ ، ثابت کنید که از آن به بعد α و β هیچ کدام طول قوس را مینیمم نمی‌کنند. (از این نکته استفاده کنید که ژئودزیکهای شکسته نمی‌توانند طول قوس را مینیمم کنند.)

۸. (۱۵امه). ثابت کنید که روی استوانه $M: x^2 + y^2 = r^2$:

(الف) ژئودزیکی که از نقطه (a, b, c) آغاز شود، نمی‌تواند طول قوس را پس از عبور از خط متقاطع $(-a, -b, t)$ مینیمم کند.

(ب) اگر q روی خط متقاطع نقطه p نباشد، نشان دهید که تنها یک کوتاهترین ژئودزیک

از p به q وجود دارد. از اینجا فرمولی برای مسافت ذاتی روی استوانه به دست آورید.

۹. نشان دهید که عکس قضیهٔ ۹.۵ برقرار نیست: مثالی از يك رویهٔ هندسی M بیاورید که هر دو نقطهٔ آن را بتوان به وسیلهٔ يك ژئودزیک باکو تاhterین طول به هم پیوست، و M به طور ژئودزیکی کامل نباشد.

۱۰. گیریم $M \rightarrow [a, b]$: γ نمایش پارامتری قسمتی از يك نصف النهار رویهٔ دورانی M باشد. ثابت کنید که γ به طور یکتا طول قوس را مینیمم می کند. (داهنمایی: خم دیگر α با همین خواص را با نمایش پارامتری متعارف $x(a_1, a_2)$ در نظر گرفته، و از طرح قضیهٔ ۶.۵ استفاده کنید.)

۱۱. گیریم M يك رویهٔ دورانی اضافی باشد (تمرین ۱۲، فصل ۴، بند ۱).
 (الف) اگر M فقط دارای يك نقطهٔ تقاطع p (با محور دوران) باشد، نشان دهید که روی M هر ژئودزیک γ که از p آغاز شود به طور یکتا طول قوس را مینیمم می کند.
 (ب) اگر M دارای يك نقطهٔ تقاطع دیگر q باشد، نشان دهید که گزارهٔ (الف) وقتی فقط وقتی برقرار است که γ به q نرسد.
 (داهنمایی: به هیچ محاسبه‌ای نیاز نیست.)

۶. خمیدگی و نقاط مزدوج

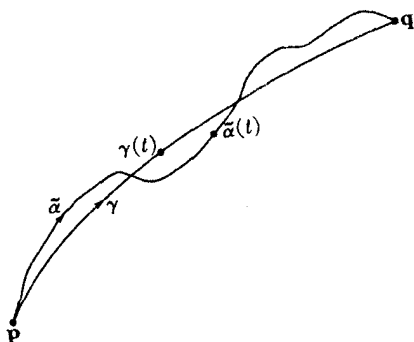
در اینجا به اختصار تأثیر K ، خمیدگی گاوسی رویهٔ هندسی M را بر ژئودزیکیهای M بررسی می کنیم.

۱۰۶. تعریف. قطعه ژئودزیک γ از p به q هنگامی طول قوس از p به q را به طود موضعی مینیمم می کند، که به ازای هر قطعهٔ خم α از p به q که به قدر کافی به γ نزدیک باشد داشته باشیم $L(\alpha) \geq L(\gamma)$.

برای توضیح اصطلاح «به قدر کافی نزدیک» باید توجه داشت که α هنگامی در ε -همسایگی γ قرار دارد که برای α يك تعویض پارامتر α روی فاصلهٔ I متناظر به γ وجود داشته باشد به طوری که به ازای هر t در I داشته باشیم $\rho(\alpha(t), \gamma(t)) < \varepsilon$ (شکل ۲۵.۷). بدینسان قسمت پایانی تعریف ۱۰۶ به صورت زیر در می آید «يك $\varepsilon > 0$ وجود داشته باشد به طوری که به ازای هر α در ε -همسایگی γ ، داشته باشیم $L(\alpha) \geq L(\gamma)$ ». این مینیمم موضعی هنگامی اکید (یا دیکتا) است که نامساوی اکید

$$L(\alpha) > L(\gamma)$$

برقرار باشد، مگر آنکه α يك تعویض پارامتر γ را نمایش دهد.



شکل ۲۵-۷

برای آنکه تصور روشنی از این تعریف به دست آید باید γ را به صورت یک نخ قابل ارتجاع، یا نوار لاستیکی در نظر گرفت، به طوری که (۱) مقید به قرار گرفتن در M ، (۲) تحت کشش، و (۳) دوسر آن در p و q تثبیت شده باشد.

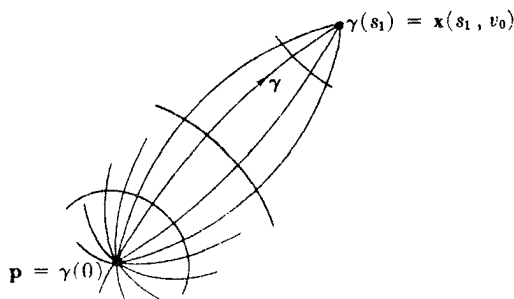
چون γ یک ژئودزیک می باشد، بنابراین حالت تعادل دارد: اگر ژئودزیک نباشد، نیروی کشش آن را به وضعیت جدید کوه تاهتری درمی آورد. اما آیا این تعادل پایدار است؟ یعنی اگر γ را اندکی بلغزانیم تا به یک خم جدید α بدل شود و آن را رها کنیم، آیا به وضعیت اولیه γ برخواهد گشت؟ روشن است که γ (اکیداً) پایدار خواهد بود اگر، و فقط اگر، به مفهوم بالا یک مینیمم موضعی (اکید) باشد، زیرا اگر α از γ دداژتر باشد، نیروی کشش آن را به روی γ برمی گرداند.

بررسی مینیمم موضعی بر اساس مفهوم نقاط مزدوج انجام می گیرد. اگر γ یک ژئودزیک با تندی واحد باشد که از p آغاز شود، آنگاه γ یک خم پارامتر u ، یعنی $v = v_0$ ، از یک نگاشت قطبی ژئودزیک x به قطب p می باشد. می دانیم که در طول خم γ تابع $G = x_0 \cdot x_0$ در $u = 0$ برابر صفر است، و از آن نقطه به بعد مخالف صفر می باشد (لم ۴.۵). نقطه $\gamma(s) = x(s, v_0)$ با $s > 0$ را هنگامی مزدوج نقطه $\gamma(0) = p$ می نامند که داشته باشیم $G(s, v_0) = 0$. (امکان دارد چنین نقاطی وجود نداشته باشند).

معنی هندسی مزدوج بودن مبتنی بر آن است که $\sqrt{G} = \|x_0\|$ را به عنوان میزان پیشرفت خمهای پارامتر u (ژئودزیکهای شعاعی) تعبیر کنیم. به بیان اجمالی، به ازای $\epsilon > 0$ ، اگر $\sqrt{G} = \|x_0\|$ بزرگ باشد، آنگاه مسافت از $x(u, v)$ تا $x(u, v + \epsilon)$ بزرگ است: ژئودزیکهای شعاعی دارای پیشرفت سریع می باشند. هنگامی که \sqrt{G} کوچک باشد، این مسافت کوچک است، و ژئودزیکهای شعاعی مجدداً به هم نزدیک می شوند. بدینسان هنگامی که G در یک نقطه مزدوج

$$\gamma(s_1) = x(s_1, v_0)$$

صفر شود، مبین آن است که به ازای v در مجاورت v_0 خمهای پارامتر u همگی پس از پیمودن همین مسافت s_1 (با تندی واحد) به این نقطه می رسند (شکل ۲۶-۷). متأسفانه



شکل ۲۶.۷

امکان دارد که عملاً این تلاقی رخ ندهد. G تنها روی مشتقهای مرتبه اول دارای تأثیر است، و با وجود صفر بودن آن ممکن است مشتقهای مرتبه بالاتر صفر نباشند. صفحه اقلیدسی E^2 ، میزان «معمول» پیشرفت ژئودزیکهای شعاعی را به دست می دهد،

و به ازای $x(u, v) = (u \cos v, u \sin v)$ داریم

$$\sqrt{G} = u$$

در این حالت خاص، نقاط مزدوج وجود ندارند. اکنون به مقایسه حالتی که در مثال ۵.۵ بحث شد، یعنی کره Σ و صفحه هذلولوی H می پردازیم. در مورد Σ داریم

$$\sqrt{G} = \sin u$$

بدینسان ژئودزیکهای شعاعی که مثلاً از p ، قطب شمال Σ ، آغاز می شوند از ژئودزیکهای E^2 دارای سرعت پیشرفت کمتری می باشند، زیرا به ازای $0 < u < \pi$ داریم $\sin u < u$. در شکل ۱۷.۷ می توان دید که ژئودزیکها پس از عبور از استوا عملاً به تدریج به هم نزدیک می شوند، و همه آنها پس از پیمودن مسافت π به نقطه مزدوج خود می رسند، زیرا $\sqrt{G}(\pi, v) = \sin \pi = 0$. روشن است که در این حالت تلاقی ژئودزیکها واقعاً تحقق می یابد، نقطه تلاقی همان قطب جنوب Σ است.

در مورد صفحه هذلولوی، می دانیم که ژئودزیکهایی که به صورت شعاع از مبدأ خارج می شوند درست خطوط مستقیم اقلیدسی می باشند، اما سرعت پیشرفت آنها از ژئودزیکهای E^2 بیشتر است، این نکته را با توجه به «انقباض متر در هنگام حرکت به طرف لبه H » می توان حدس زد. برای اثبات آن، با استفاده از اطلاعات موجود در مثال ۵.۵، قسمت (۲) به دست می آید:

$$\sqrt{G} = \sinh u$$

بدینسان به ازای $0 < u < \sqrt{G}$ ، در این حالت نیز نقاط مزدوجی وجود ندارد.

۲.۶. قضیه. اگر γ قطعه ژئودزیکی از p به q باشد، به طوری که روی γ برای $p = \gamma(0)$ نقاط مزدوجی وجود نداشته باشند، آنگاه γ به طور موضعی طول قوس از p به q را (اکیداً) مینیمم می نماید.

برهان. گیریم x يك نگاهت قطبی ژئودزیکی در p باشد، و حوزه آن را به ناحیه ای از E^2 که روی آن G مثبت است محدود کنیم. چون روی γ برای p نقاط مزدوجی وجود ندارد، می توان به ازای $0 \leq u \leq u_0$ نوشت $x(u, v) = \gamma(u)$. (بسیان در این معادله مطابق معمول می تواند u مساوی صفر باشد، حتی اگر در آنجا داشته باشیم $G = 0$). قطعه خم دیگر α از p به q را به طوری که روی فاصله $[0, u_0]$ نیز معین باشد در نظر می گیریم. برهان بر این نکته مبتنی است که اگر α به قدر کافی به γ نزدیک باشد (به طوری که قبلاً تعریف شد)، آنگاه عبارت α یعنی

$$\alpha(t) = x(a_1(t), a_2(t))$$

به قدری به عبارت γ نزدیک است که

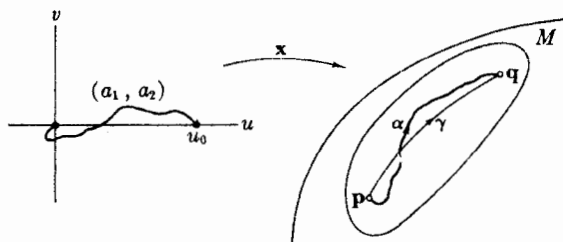
$$a_1(0) = 0, \quad a_1(u_0) = u_0.$$

(شکل ۲۷.۷).

این حکم گرچه ظاهراً موجه است، اما اثبات کامل آن چندان ساده نیست. در $u = 0$ اشکالی وجود ندارد، زیرا بدون آنکه از عمومیت کاسته شود، می توان به جای يك قطعه اولیه کوتاه از α يك ژئودزیک شعاعی را قرارداد، و این عمل طول α را افزایش نمی دهد. سپس a_1 و a_2 را با روش گام به گام و با استفاده از اینکه x يك نگاهت منظم و در نتیجه يك دینومر فیسیم موضعی است، می سازیم.

بدینسان دقیقاً مانند آنچه در برهان قضیه ۶.۵ بیان شد داریم

$$\begin{aligned} L(\alpha) &= \int_0^{u_0} \sqrt{a_1'^2 + G a_2'^2} dt \geq \int_0^{u_0} a_1' dt \\ &= a_1(u_0) - a_1(0) = u_0 = L(\gamma) \end{aligned}$$



شکل ۲۷.۷

و اگر $L(\alpha) = L(\gamma)$ ، تنها يك تعویض پارامتر γ است.

اکنون باید مفهوم نقاط مزدوج را از بستگی نگاشتهای قطبی ژئودزیکی آزاد ساخت. برای این کار «ضریب پیشرفت» یعنی \sqrt{G} را مورد بررسی دقیقتری قرار می‌دهیم.

۳.۶. قضیه. گیریم x يك نگاشت قطبی ژئودزیکی باشد که روی ناحیه‌ای با $G > 0$ معین است. آنگاه $\sqrt{G} = \|x_u\|$ در معادلهٔ دیفرانسیل اژاکوبی

$$(\sqrt{G})_{uu} + K\sqrt{G} = 0$$

با شرایط اولیهٔ

$$\sqrt{G}(0, v) = 0 \quad (\sqrt{G})_u(0, v) = 1 \quad v \text{ به‌ازای هر}$$

صدق می‌کند.

قید $G > 0$ برای دیفرانسیلپذیر بودن \sqrt{G} ضروری است. اما $\sqrt{G}(u, v)$ به‌ازای $u = 0$ کاملاً معین است، و در واقع داریم

$$\sqrt{G}(0, v) = \|x_v(0, v)\| = 0$$

البته، لزومی ندارد که \sqrt{G} در $u = 0$ دیفرانسیلپذیر باشد، از این رو $(\sqrt{G})_u(0, v)$ و $(\sqrt{G})_{uu}(0, v)$ را باید به‌عنوان حد در نظر گرفت، مثلاً

$$(\sqrt{G})_u(0, v) = \lim_{u \rightarrow 0} (\sqrt{G})_u(u, v)$$

برهان. معادلهٔ ژاکوبی مستقیماً از لم ۳.۶ فصل ۶ به‌دست می‌آید، زیرا چنان‌که در لم ۴.۵ دیده شد، برای x داریم $E = 1$ و $F = 0$. بدینسان با توجه به توضیحات بالا کافی است ثابت کنیم که

$$\lim_{u \rightarrow 0} (\sqrt{G})_u(u, v) = 1 \quad (u > 0)$$

برای این منظور کافی است تنها يك ژئودزیک شعاعی $\gamma(u) = x(u, v_0)$ را در نظر بگیریم و قرار دهیم

$$g(u) = \sqrt{G}(u, v_0) \quad u > 0 \text{ به‌ازای}$$

بعلاوه چون $E = 1$ و $F = 0$ ، يك میدان سه‌وجهی

$$E_\gamma = \gamma' = x_u, \quad E_\gamma = \frac{x_v}{g} \quad u > 0 \text{ روی } \gamma \text{ به‌ازای}$$

به‌دست می‌آید.

چون γ يك ژئودزیک است، E_1 متوازی است و بنا بر تمبرین ۳، بنسب ۴، E_2 نیز متوازی می باشد. بدینسان بنا بر توازی E_2 در $u=0$ کاملاً معین است (شکل ۲۸.۷). اما

$$E_1(0) = x_u(0, v_0) = \cos v_0 \cdot e_1 + \sin v_0 \cdot e_2$$

بنابراین

$$E_2(0) = -\sin v_0 \cdot e_1 + \cos v_0 \cdot e_2$$

علاوه بر این، چون E_2 متوازی است و روی γ داریم $x_v = gE_2$ ، به دست می آید

$$x_{uv} = x_{vu} = g' E_2 \quad \text{روی } \gamma \text{ به ازای } u > 0$$

با در نظر گرفتن حد هنگامی که $u \rightarrow 0$ ، داریم

$$x_{uv}(0, v_0) = \left(\lim_{u \rightarrow 0} g'(u) \right) E_2(0)$$

اما

$$x_{uv}(0, v) = \cos v \cdot e_1 + \sin v \cdot e_2 \quad \text{به ازای هر } v$$

بنابراین

$$x_{uv}(0, v_0) = -\sin v_0 \cdot e_1 + \cos v_0 \cdot e_2 = E_2(0)$$

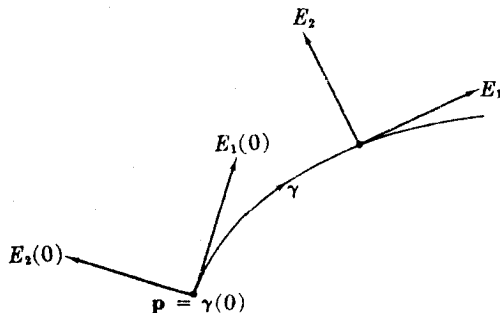
بدینسان از معادله اخیر نتیجه می شود که $\lim_{u \rightarrow 0} g'(0) = 1$ ، یعنی، به ازای هر v_0 دلخواه

داریم

$$\lim_{u \rightarrow 0} (\sqrt{G})_u(u, v_0) = 1$$

شرایط اولیه بالا نشان می دهند که در هر رویه هندسی، پیشرفت ژئودزیکهای شعاعی در هنگام ترك قطب P به همان میزان مربوط به صفحه اقلیدسی E^2 انجام می گیرد. زیرا در مورد E^2 به دست آوردیم که $\sqrt{G} = u$ ، بنا بر این

$$\sqrt{G}(0, v) = 0, \quad (\sqrt{G})_u(0, v) = 1$$



شکل ۲۸.۷

اما چون معادله ژاکوبسی به صورت $(\sqrt{G})_{,11} = -K\sqrt{G}$ نوشته شود، نشان می‌دهد که میزان پیشرفت از این نقطه به بعد به خمیدگی گاوسی بستگی دارد. به ازای $0 < K$ ، پیشرفت ژئودزیکهای شعاعی از پیشرفت متناظر به E^2 سریعتر است. (این نکته را در مورد صفحه هذلولوی قبلاً دیدیم.) به ازای $0 > K$ میزان پیشرفت از پیشرفت متناظر به E^2 کندتر است (چنان که در مورد کره دیده شد).

به ویژه، برای تعیین نقاط مزدوج، دیگر لازم نیست که مانند آنچه تا کنون انجام گرفت به ساختن صریح نگاشتهای قطبی ژئودزیکسی بپردازیم. می‌توان \sqrt{G} را روی یک ژئودزیک γ تنها با حل معادله ژاکوبسی روی γ ، و با توجه به شرایط اولیه به دست آورد. بالاخره، از قضیه ۳.۶ نتیجه زیر به دست می‌آید.

۴.۶. فرغ. گیریم γ یک ژئودزیک با تندی واحد باشد که از نقطه \mathbf{p} در M آغاز می‌شود. گیریم g جواب یکنای معادله ژاکوبسی (دی γ)، یعنی

$$g'' + K(\gamma)g = 0$$

باشد، به طوری که $g(0) = 0$ ، $g'(0) = 1$. آنگاه نخستین نقطه مزدوج $\mathbf{p} = \gamma(0)$ روی γ (در صورت وجود) نقطه $\gamma(s_1)$ است، که در آن کوچکترین عدد مثبتی است که به ازای آن داریم $g(s_1) = 0$

۵.۶. مثال. نقاط مزدوج

(۱) ژئودزیک γ با تندی واحد را که از یک نقطه \mathbf{p} روی کره Σ به شعاع r آغاز می‌شود در نظر می‌گیریم. معادله ژاکوبسی γ به صورت $g'' + g/r^2 = 0$ است که دارای جواب عمومی

$$g(s) = A \sin \frac{s}{r} + B \cos \frac{s}{r}$$

می‌باشد، و با توجه به شرایط اولیه $g(0) = 0$ و $g'(0) = 1$ داریم $g(s) = r \sin(s/r)$. نخستین صفر این تابع با قید $0 < s_1 < \pi r$ در $s_1 = \pi r$ حاصل می‌شود. بدینسان نخستین نقطه مزدوج $\mathbf{p} = \gamma(0)$ روی γ همان نقطه متقاطع \mathbf{p} است. (این مطلب با محاسبه‌ای که قبلاً با استفاده از نگاشتهای قطبی ژئودزیکسی در مورد کره یکبار انجام شد مطابقت دارد.)

(۲) گیریم γ یک نمایش پارامتری با تندی واحد استوای بیرونی چنبره دورانی T با شعاعهای $0 < r < R$ باشد. می‌دانیم که γ یک ژئودزیک است و روی آن K دارای مقدار ثابت $1/r(R+r)$ می‌باشد. بدینسان بنا بر فرغ ۴.۶، $\gamma(s_1)$ نخستین نقطه مزدوج $\mathbf{p} = \gamma(0)$ روی γ دقیقاً در مسافتی در طول γ واقع است که گویی γ روی کره‌ای با خمیدگی K قرار دارد. در نتیجه $s_1 = \pi \sqrt{r(R+r)}$.

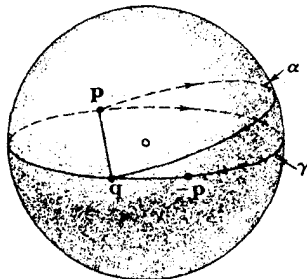
۶.۶. فرغ. روی هیچ‌یک از ژئودزیکهای رویه‌ای با خمیدگی $0 \leq K$ نقاط مزدوج

وجود ندارند. بنابراین هر قطعه ژئودزیک روی چنین رویه‌ای به‌طور موضعی تابع طول قوس را مینیمم می‌کند.

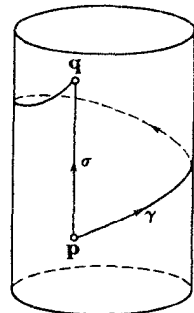
برهان. با اعمال فرع ۴.۶ در مورد ژئودزیک γ در M و با توجه به $g(0) = 0$ و $g'(0) = 1$ ، نتیجه می‌شود که به‌ازای $s \geq 0$ دست کم تا نخستین نقطه مزدوج (اگر وجود داشته باشد) خواهیم داشت $g(s) \geq 0$. اما از $0 \leq K$ نتیجه می‌شود که $g'' = -Kg \geq 0$ ، بنابراین g' تابعی صعودی است، و $g' \geq 1$. بنابراین تا نخستین نقطه مزدوج داریم $g(s) \geq s$ و بدینسان نقطه مزدوجی وجود نخواهد داشت. حکم آخر نیز از قضیه ۲.۶ نتیجه می‌شود.

به عنوان مثال، روی استوانه مستدیر C ($K = 0$) ژئودزیک مارپیچی γ از p به q که در شکل ۲۹.۷ دیده می‌شود همان‌طور که می‌توان با تجربه مستقیم تحقیق کرد، پایدار است. گرچه به‌طور موضعی مینیمم‌کننده است، اما کلاً مینیمم‌کننده نیست. روشن است که برای رفتن از p به q قطعه خط مستقیم σ مسیر بسیار کوتاهتری را به‌دست می‌دهد. برای بررسی عمیقتر نقاط مزدوج، لازم است که از حساب تغییرات استفاده شود (کتاب میلنور [۷] را ببینید). ما تنها به ذکر یک نتیجه که مکمل قضیه ۲.۶ است می‌پردازیم. ژئودزیک γ که از نقطه p آغاز می‌شود، به‌مجرد آنکه از نخستین نقطه مزدوج p دوری γ عبور کند دیگر طول قوس را به‌طور موضعی مینیمم نخواهد کرد. این نکته را به‌آسانی روی کره Σ می‌توان دید. در شکل ۳۰.۷ ژئودزیک γ از p به q فقط اندکی از نخستین مسافت مزدوج یعنی πr بزرگتر است. اگر صفحه دایره عظیمه γ را اندکی حول محور ماربر دوسر p و q بچرخانیم، کره Σ را در قطعه خم α قطع می‌کند، که می‌توان به‌طور تحلیلی تحقیق کرد که اکیداً از γ کوتاه‌تر است. (توجه شود که این تنها کوتاهترین ژئودزیک از p به q ، به γ نزدیک نیست.)

با استفاده از قضیه ۳.۶ می‌توان تعبیر روشنی برای خمیدگی گاوسی در رویه‌های هندسی دلخواه نیز به‌دست آورد.



شکل ۳۰.۷



شکل ۲۹.۷

۰۷.۶. لم. اگر x يك نگاشت قطبی ژئودزیکی با قطب p باشد، آنگاه

$$\sqrt{G}(u, v) = u - K(p) \frac{u^3}{6} + o(u^3) \quad (u \geq 0)$$

$o(u^n)$ همواره نمایشگر تابعی از u و v ($u > 0$) است به طوری که $\lim_{u \rightarrow 0} o(u^n)/u^n = 0$. بدینسان اگر u به قدر کافی کوچک باشد در این فرمول می توان از $o(u^3)$ در مقایسه با دو جملهٔ نخست صرف نظر کرد.

برهان. مانند قبل، $g(u) = \sqrt{G}(u, v)$ را روی يك ژئودزیك شعاعی $\gamma(u) = x(u, v)$ در نظر می گیریم. g به عنوان جواب معادلهٔ ژاکوبی روی γ ، در $u = 0$ دیفرانسیبل پذیر است. بدینسان دارای بسط تیلوری به صورت زیر می باشد

$$g(u) = g(0) + g'(0)u + g''(0) \frac{u^2}{2} + g'''(0) \frac{u^3}{6} + o(u^3)$$

شرایط اولیهٔ مذکور در فرع ۰۴ عبارت اند از $g(0) = 0$ ، $g'(0) = 1$ ، و بنا بر معادلهٔ ژاکوبی داریم $g''(0) = 0$. با مشتقگیری از معادلهٔ ژاکوبی مذکور به دست می آید

$$g''' + K(\gamma)'g + K(\gamma)g' = 0$$

بنابراین

$$g'''(0) = -K(\gamma(0)) = -K(p)$$

که چون به جای آن در بسط تیلور قرار دهیم، نتیجهٔ مطلوب حاصل می شود.

فرض کنیم که ساکنین يك رویهٔ هندسی M بخواهند خمیدگی گاوسی M را در يك نقطهٔ p تعیین کنند. نخست با اندازه گیری مسافت کوتاه ε در همهٔ امتدادها از p ، دایرهٔ قطبی C_ε به شعاع ε را به دست می آورند.

اکنون اگر $M = \mathbb{E}^2$ ، محیط دایرهٔ C_ε دقیقاً برابر $L(C_\varepsilon) = 2\pi\varepsilon$ است. اما به ازای $K > 0$ ژئودزیکهای شعاعی از p دارای چنین سرعت پیشرفتی نیستند، بنا بر این C_ε از $2\pi\varepsilon$ کوتاهتر خواهد بود، و به ازای $K < 0$ با سرعت بیشتری پیشرفت می نمایند، از این رو طول C_ε از $2\pi\varepsilon$ بیشتر است.

$L(C_\varepsilon)$ و K را می توان با دقت مناسبی مقایسه کرد. به ازای $\varepsilon > 0$ به قدر کافی کوچک، C_ε با $x(\varepsilon, v) \rightarrow v$ به صورت پارامتری درمی آید، که در آن x يك نمایش پارامتری قطبی ژئودزیکی در p می باشد، بدینسان

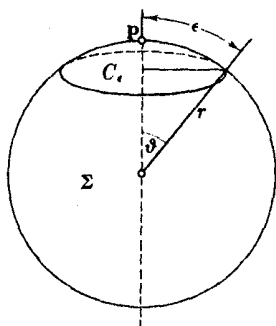
$$L(C_\varepsilon) = \int_0^{2\pi} \sqrt{G}(\varepsilon, v) dv$$

بنابراین از لم پیش حاصل می شود

$$L(C_\varepsilon) = 2\pi \left(\varepsilon - K(\mathbf{p}) \frac{\varepsilon^3}{6} + o(\varepsilon^3) \right) \quad (*)$$

بدینسان اگر در M مساحت $L(C_\varepsilon)$ را به ازای ε کوچک به دقت اندازه بگیرند، می‌توانند خمیدگی گاوسی M در \mathbf{p} را به‌طور تقریبی معین کنند. چون حد بگیریم خواهیم داشت:

$$K(\mathbf{p}) = \lim_{\varepsilon \rightarrow 0} \left(\frac{3}{\pi \varepsilon^3} \right) (2\pi \varepsilon - L(C_\varepsilon)) \quad \text{فرع ۸.۶}$$



شکل ۳۱.۷

به آسانی می‌توان فرمول (*) را در مورد یک کره Σ به شعاع r در E^3 آزمود. چنان‌که در شکل ۳۱.۷ دیده می‌شود، دایره قطبی C_ε به مرکز \mathbf{p} در واقع یک دایره اقلیدسی به شعاع اقلیدسی $r \sin \theta$ است که در آن $\theta = \varepsilon/r$. بدینسان بنا بر سری تیلور تابع سینوسی داریم

$$\begin{aligned} L(C_\varepsilon) &= 2\pi \left(r \sin \frac{\varepsilon}{r} \right) \\ &= 2\pi \left(\varepsilon - \frac{\varepsilon^3}{6r^2} + o(\varepsilon^3) \right) \end{aligned}$$

و از اینجا دلیل دیگری برای این نکته که خمیدگی گاوسی Σ برابر $K = 1/r^2$ است، به دست می‌آید.

تمرینات

۱. گیریم X نمایش پارامتری قطبی صفحه هذلولوی داده شده در مثال ۵.۵ باشد. تساوی $\sqrt{G}(u, v) = \sinh u$ را به دو روش مختلف: یکی با محاسبه $X_0 \circ X_0$ و دیگری با حل معادله ژاکوبی به دست آورید.

۲. اگر C_ε یک دایره قطبی در حول نقطه \mathbf{p} از M باشد، ناحیه محصور به C_ε را D_ε قطبی D_ε به شعاع ε می‌نامیم.

(الف) نشان دهید که مساحت قرص قطبی برابر است با

$$A(D_\varepsilon) = \pi \left[\varepsilon^2 - K(\mathbf{p}) \frac{\varepsilon^4}{12} + o(\varepsilon^4) \right]$$

بنابراین

$$K(\mathbf{p}) = \frac{12}{\pi} \lim_{\varepsilon \rightarrow 0} \frac{\pi \varepsilon^2 - A(D_\varepsilon)}{\varepsilon^4}$$

(ب) با استفاده از این فرمول، خمیدگی گاوسی کره‌ای به شعاع r را بیابید.

۳. در صفحه هذلولوی در مبدأ o طول دایره قطبی C_e و مساحت قرص قطبی D_e ($0 < \varepsilon < 2$) را بیابید. در هر مورد نتیجه بگیرید که $K(o) = -1$.

۴. گیریم M یک رویه دورانی اضافه‌دار باشد (تمرین ۱۲، فصل ۴، بند ۱).
 (الف) اگر M محور A را تنها در یک نقطه p قطع کند (مانند سهمیگون دورانی)، نشان دهید که p روی هیچ ژئودزیکی دارای نقاط مزدوج نیست.
 (ب) اگر M محور A را در دو نقطه p و q قطع کند (مانند بیضیگون دورانی)، نشان دهید که p و q روی هر ژئودزیکی که آنها را به هم پیوند مزدوج‌اند (دانه‌مایی: قضیه ۳.۶ فصل ۵ جوابی برای معادله ژاکوبی به دست می‌دهد).

در تمرینات زیر حالت مفیدی از نمایش پارامتری ژئودزیکی قطبی که در آن خم منظم دلخواهی جایگزین قطب p شده است مطرح می‌شود.

۵. گیریم $\beta: I \rightarrow M$ خم منظمی در M ، و X یک میدان برداری روی β باشد (که هیچ گاه صفر نشود) به طوری که β' و X در هر نقطه دارای استقلال خطی باشند. قرار می‌دهیم

$$x(u, v) = \gamma_{X(t)}(u)$$

بدینسان درنگاشت x خمهای پارامتر u ژئودزیکیهایی هستند که β را با سرعتهای اولیه ناشی از X قطع می‌کنند (شکل ۳۲.۷). ثابت کنید که:

(الف) x نگاشتی منظم روی یک ناحیه D است که شامل فاصله $(0, v)$ ، $v \in I$ ، می‌باشد.

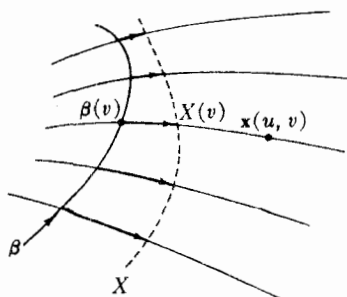
(ب) با انتخاب مناسب β و X ، می‌توان این نمایش پارامتری x را به صورتی زیر درآورد:

(۱) نگاشت همانی E^2 (مختصات طبیعی)

(۲) نمایش پارامتری متعارف رویه دورانی

(۳) نمایش پارامتری مخروط رویه‌های خط‌دار

(فصل ۵، بند ۵)



شکل ۳۲.۷

۶. (ادامه). اگر β خمی با تندی واحد، و X

قائم یکه N از β (بند ۴) باشد، نشان دهید

که برای x داریم، $E = 1$ ، $F = 0$ و \sqrt{G}

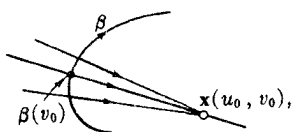
جواب معادله ژاکوبی $(\sqrt{G})_{uu} + K\sqrt{G} = 0$

است به طوری که

$$\sqrt{G}(0, v) = 1 \quad \text{و}$$

$$(\sqrt{G})_u(0, v) = -\kappa_g(v)$$

انتخاب طبیعی X در مثال پیش بدین معنی است که در این نمایش پارامتری G دارای تعبیر هندسی است. اگر $G(u_0, v_0) = 0$ ، آنگاه (نظیر نقاط مزدوج) $X(u_0, v_0)$ را یک نقطه کانونی β در طول ژئودزیک قائم $v = v_0$ می نامند. اشعه نورانی که از β به طور قائم خارج شوند در این نقطه متقارب اند. (شکل ۳۳.۷)



شکل ۳۳.۷

۷. الف) اگر β روی کره Σ یک دایره عرض جغرافیایی باشد، نشان دهید که نقاط کانونی β تنها قطبهای شمالی و جنوبی Σ می باشند. ب) اگر β خمی در صفحه اقلیدسی باشد، نشان دهید که نقاط کانونی β دقیقاً همان مراکز خمیدگی یعنی نقاط واقع بر گسترده آن می باشند. (تمرین ۱۵، فصل ۲، بند ۴ را ببینید.)

۷. نگاشتهایی که حاصل ضرب داخلی را حفظ می کنند

چنان که قبلاً دیدیم هر ایزومتري موضعی $F: M \rightarrow N$ ژئودزیکهای M را به ژئودزیکهای N تبدیل می کند. چون ژئودزیک با سرعت اولیه v را با γ_v نشان دهیم، می توان این مطلب را بدصورت واضحتری بیان کرد:

۱۰.۷. لم. اگر $F: M \rightarrow N$ یک ایزومتري موضعی و v یک بردار مماس بر M در p باشد، آنگاه

$$F(\gamma_v) = \gamma_{F_*(v)}$$

یوهان. بنابر توضیح بالا $\bar{\gamma} = F(\gamma_v)$ یک ژئودزیک N است. سرعت اولیه آن بردار مماس

$$\bar{\gamma}'(0) = F_*(\gamma_v'(0)) = F_*(v)$$

بر N در $F(p)$ می باشد. بدینسان بنابر یکتایی ژئودزیکها (قضیه ۳.۴)، $\bar{\gamma}$ دقیقاً همان $\gamma_{F_*(v)}$ خواهد بود.

از اینجا نتیجه می شود که هر ایزومتري موضعی، فقط با تأثیر آن روی یک سه وجهی کاملاً معین می گردد.

۲۰۷. قضیه. گیریم F و G دوايزومتري موضعی از M به N باشند. اگر به ازای یک سه وجهی e_1, e_2 در نقطه p از M داشته باشیم

$$F_*(e_1) = G_*(e_1), \quad F_*(e_2) = G_*(e_2)$$

آنگاه $F = G$.

برهان. اگر M به طور ژئودزیکی کامل باشد، اثبات بسیار آسان است. اگر q يك نقطه دلخواهی از M باشد، آنگاه بنا بر قضیه ۹.۵ يك بردار v در نقطه خاص p وجود دارد به طوری که $q = \gamma_r(r)$. بنا بر آنچه درباره F_* و G_* فرض شد، با توجه به خطی بودن نتیجه می شود که F_* و G_* به ازای $v = c_1 e_1 + c_2 e_2$ دارای يك مقدارند. بدینسان، بنا بر لم پیش داریم

$$F(\gamma_r) = \gamma_{F_*(v)} = \gamma_{G_*(v)} = G(\gamma_r).$$

از اینجا، به ویژه به ازای همه نقاط q از M خواهیم داشت

$$F(q) = F(\gamma_r(r)) = G(\gamma_r(r)) = G(q)$$

در مورد يك رویه دلخواه M باید روش بالا را دقیقتر ساخت. با استفاده از لم ۳.۵ می توان يك ژئودزیک شکسته β از p به q به دست آورد و تساوی $F(\beta) = G(\beta)$ را با به کار بردن برهان بالا برای هر قطعه ناشکسته β ، ثابت کرد.

اکنون از این نکته که ایزومترهای موضعی ژئودزیکیها را حفظ می کنند استفاده کرده و به ساختن چند ایزومتري موضعی می پردازیم. در اینجا هدف این است که وجود يك شباهت خانوادگی را در بین رویه های هندسی که دارای يك خمیدگی ثابت اند نشان دهیم. به ازای هر عدد مفروض K ، يك رویه هندسی بسیار ساده $M(K)$ وجود دارد که خمیدگی گاوسی آن برابر مقدار ثابت K باشد.

(۱) اگر $K > 0$ ، $M(K)$ را همان کره Σ با خمیدگی K (بنا بر این باشعاع $1/\sqrt{K}$) می گیریم.

(۲) اگر $K = 0$ ، $M(K)$ را صفحه اقلیدسی E^2 اختیار می کنیم.

(۳) اگر $K < 0$ ، $M(K)$ صفحه هذلولوی H با خمیدگی K (بنا بر این باشعاع $1/\sqrt{-K}$) تمرین ۴، بند ۲ را ببینید) خواهد بود.

$M(K)$ را رویه هندسی استاندارد با خمیدگی ثابت K می نامند. البته، رویه های بسیاری با خمیدگی ثابت وجود دارند، مشخصه آنها این است که به طور ژئودزیکی کامل و همبند ساده اند (صفحه ۱۹۹).

۳.۷. قضیه. گیریم رویه هندسی N به طور ژئودزیکی کامل و دارای خمیدگی گاوسی ثابت K باشد. آنگاه يك ایزومتري موضعی F از رویه استاندارد $M(K)$ بر روی N وجود دارد.

اولین نگاشت در مثال ۳.۴ فصل ۶ که يك ایزومتري موضعی (تمرین ۶، بند ۲) از کره بر روی صفحه تصویری است، نمونه ای از این قضیه می باشد.

برهان. حالت $K < 0$. از روش مثال ۳.۲ که در آن $K = -1$ ، استفاده می کنیم.

تنها با يك تغییر مقیاس (تمرین ۴، بند ۲) می توان آن را در مورد $K < 0$ دلخواه تعمیم داد. همانند قسمت (۲) مثال ۵.۵، گیریم \mathbf{p} مبدأ $H = M(-1)$ باشد و $e_1 = U_1(\mathbf{p})$ و $e_2 = U_2(\mathbf{p})$. گیریم e_1, e_2 يك سه وجهی در يك نقطه دلخواه N است. بعد فرض کنیم که $\bar{\mathbf{x}}$ و $\bar{\mathbf{x}}$ نگاشتهای قطبی ژئودزیکی حاصل از H و N باشند.

در مورد رویه N داریم

(۱) روی تمام نیمصفحه طرف راست $S: u > 0$ معین است (نتیجه ای از کامل بودن ژئودزیکی).

(۲) نگاره آن $\bar{\mathbf{x}}(S)$ تمام N بجز احتمالاً قطب $\bar{\mathbf{p}}$ را می پوشاند (نتیجه ای از قضیه ۹.۵ و تعریف نگاشتهای قطبی ژئودزیکی).

(۳) نگاشت $\bar{\mathbf{x}}: S \rightarrow N$ منظم است. (بنابر لم ۴.۵، $E = 1$ و $F = 0$ ، اما چنان که قبلاً دیدیم از معادله زاكسوی $K = -1$ نتیجه می شود $\sqrt{G} = \sinh u$ ، بنابراین روی S داریم $(E\bar{G} - F^2 = \sinh^2 u > 0)$.

بدینسان این نتیجه کلی در مورد $\mathbf{x}: S \rightarrow H$ نیز صادق است، اما در اینجا اطلاعات بیشتری داریم. بنابر مثال ۵.۵ کل رویه H يك همسایگی عادی قطب \mathbf{p} است، بنابراین \mathbf{x} فقط دارای همان ابهامات معمولی مختصات قطبی می باشد، معادله $\mathbf{x}(u, v) = \mathbf{q}$ را به طور یکتا معین می کند، و v نیز به طور یکتا فقط با تقریب مضارب 2π ($\mathbf{q} \neq \mathbf{p}$) معین می شود. از این اطلاع اضافی می توان نتیجه گرفت که فرمول

$$F(\mathbf{x}(u, v)) = \bar{\mathbf{x}}(u, v)$$

سازگاد است و بدینسان يك نگاشت F از H را بر روی همه N تعریف می کند. (برای اثبات دیگرانسیلپذیری F در قطب \mathbf{p} باید مانند برهان لم ۳.۵، به نگاشتهای $\bar{\mathbf{y}}$ و $\bar{\mathbf{y}}$ متناظر به $\bar{\mathbf{x}}$ و \mathbf{x} برگردیم.) با استفاده از ملاك لم ۵.۴ فصل ۶ به آسانی می توان نشان داد که F يك ایزومتري موضعی است. در واقع، بنابر قسمت (۳) بالا داریم

$$E = 1 = \bar{E}, \quad F = 0 = \bar{F}, \quad G = \sinh^2 u = \bar{G}, \quad u > 0$$

و محفوظ ماندن حاصل ضرب داخلی در قطب \mathbf{p} نتیجه مستقیم پیوستگی است.

حالت $K = 0$. در اینجا نیز استدلال پیش عیناً به کار می رود، بجز آنکه

$$M(K) = E^2 \quad \text{و} \quad G = \bar{G} = u^2$$

حالت $K > 0$. در اینجا به طرح دیگری نیازمندیم، زیرا به ازای هر نقطه \mathbf{p} از کره $M(K) = S^2$ ، بزرگترین همسایگی عادی \mathcal{N} همه S^2 نخواهد بود: نقطه متقاطر $-\mathbf{p}$ حذف شده است.

با استدلالی همانند حالت $K < 0$ ، يك ایزومتري موضعی $F: \mathcal{N} \rightarrow N$ به دست

می‌آید. اکنون با تکرار همین استدلال در مورد يك نقطه p^* از Σ که با p — متفاوت باشد، يك ایزومتري موضعی دیگر $N \rightarrow F_p: \mathcal{N}^* \rightarrow F_p$ به دست می‌آوریم، که در آن \mathcal{N}^* همهٔ Σ بجز p^* — می‌باشد. سه وجهیهای مربوط به F_p را طوری انتخاب می‌کنیم که نگاهشهای مشتق F_p و F_p در p^* سازگار باشند. بسدینسان بنا بر قضیهٔ ۲.۷، F_p و F_p روی فصل مشترك \mathcal{N}^* متحدند. اما \mathcal{N}^* و \mathcal{N}^* تمام کرهٔ Σ را می‌پوشانند، بنابراین F_p و F_p توأمًا يك ایزومتري موضعی تنهای $N \rightarrow F: \Sigma \rightarrow N$ را تشکیل می‌دهند. چون Σ فشرده و N همبند است، تمرین ۶، بند ۷، فصل ۴ نشان می‌دهد که F پوشاست و Σ را روی تمام M می‌برد. ■

هر ایزومتري $M \rightarrow F: M \rightarrow M$ از يك رویهٔ هندسی روی خودش را می‌توان به‌عنوان يك تقادان از رویهٔ M در نظر گرفت. همهٔ خواص هندسی M در نقاط p و $F(p)$ یکسان هستند، زیرا این هندسه از تغییرناپذیرهای ایزومتريک تشکیل یافته است. نتایج تمرین ۹، بند ۴، فصل ۶، بلافاصله نشان می‌دهند که مجموعهٔ $\mathcal{G}(M)$ متشکل از همهٔ ایزومتريهای $M \rightarrow F: M \rightarrow M$ ، درست مانند مجموعهٔ همهٔ ایزومتريهای فضای اقلیدسی (تمرین ۷، بند ۱، فصل ۳) تشکیل يك گروه می‌دهند. $\mathcal{G}(M)$ را گروه ایزومتري M می‌نامند.

البته این گروه $\mathcal{G}(M)$ گروه ذاتی برای M است، و هنگامی که M يك رویه در E^3 باشد نباید آن را با $\mathcal{S}(M)$ ، گروه تقارنهای اقلیدسی M ، اشتباه کرد (تمرین ۷، بند ۸، فصل ۶). هر تقارن اقلیدسی F از $M \subseteq E^3$ يك ایزومتري E^3 است به طوری که $F(M) = M$ ، این گونه تقارنها هنگامی وجود دارند که شکل M در E^3 به مفهوم معمول کلمهٔ متقارن باشد. هر تقارن اقلیدسی F از M يك ایزومتري $M \rightarrow F: M \rightarrow M$ به دست می‌دهد، اما عموماً با این روش همهٔ ایزومتريهای $M \subseteq E^3$ به دست نمی‌آید (تمرین ۹). در مورد هر رویهٔ هندسی دلخواه M ، گروه ایزومتري $\mathcal{G}(M)$ بیان جبری جدیدی برای M به دست می‌دهد. به بیان اجمالی، هر چه M متقارن‌تر باشد، $\mathcal{G}(M)$ بزرگتر است. به‌عنوان مثال، گروه ایزومتري بیضیگون

$$M: \frac{x^2}{a^2} + \frac{y^2}{b^2} + \frac{z^2}{c^2} = 1 \quad (a > b > c)$$

بی‌آنکه اثبات کنیم، دقیقاً دارای هشت عنصر است و همهٔ آنها از تقارنهای اقلیدسی که در بالا گفته شد به دست می‌آیند: سه تقارن نسبت به صفحات مختصات، سه دوران 180° (حول هریک از محورهای مختصات)، ایزومتري $p \rightarrow -p$ ، و بالآخره نگاهش همانی M .

هنگامی رویهٔ M دارای کوچکترین گروه ایزومتري ممکن خواهد بود که M بجز نگاهش همانی دارای ایزومتري دیگری نباشد. مثلاً برای به دست آوردن يك چنین رویهٔ هندسی می‌توان با وارد آوردن ضربه‌ای به بیضیگون هر هفت ایزومتري دیگر را از بین برد.

برعکس، هنگامی رویهٔ هندسی M حداکثر تقارن را داراست که همهٔ ایزومتريهایی

که بنا بر قضیه ۲.۷ مجازند، وجود داشته باشند. یعنی اگر سه وجهیهای e_1, e_2 و e_3 در هر دو نقطه M داده شده باشند، یک ایزومتري $F: M \rightarrow M$ وجود داشته باشد به طوری که

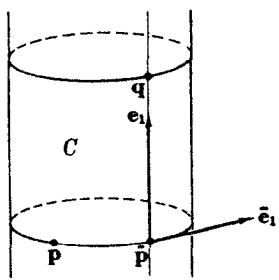
$$F_*(e_1) = \bar{e}_1, \quad F_*(e_2) = \bar{e}_2$$

در این حالت، گفته می شود که M سه وجهی همگن است، هر دو سه وجهی روی M دارای وضعیت متقارن می باشند.

بدینسان آنچه در قضیه ۳.۲ فصل ۳ اثبات شد این است که E^3 سه وجهی همگن است، و همان اثبات در مورد E^n دلخواه و به ویژه در مورد E^2 معتبر است. در تمرینات این بند، خواهیم دید که هر دو به استاندارد با خمیدگی ثابت $M(K)$ سه وجهی همگن است.

۴.۷. تعریف. روی هندسی M هنگامی همگن نقطه ای (یا به طور ساده همگن) است که به ازای هر دو نقطه p و q از M یک ایزومتري $F: M \rightarrow M$ وجود داشته باشد به طوری که $F(p) = q$.

روشن است که هر رویه سه وجهی همگن، همگن است، اما عکس این مطلب درست نیست. به عنوان مثال، استوانه مستدیر C در E^3 را در نظر می گیریم. در واقع اگر F دورانی از E^3 حول محور C ، یا انتقالی از E^3 در امتداد این محور باشد، در این صورت F ، C را بر روی C می برد، و یک ایزومتري C خواهد بود. بنابراین به ازای هر دو نقطه p و q از C ، می توان با یک دوران p را به q واقع بر مولد ماربر q آورده و با یک انتقال p را به q برد. از ترکیب این دو ایزومتري یک ایزومتري حاصل می شود که p را به q بدل می کند. از طرف دیگر، C سه وجهی همگن نیست، همه نقاط آن به طور هندسی هم ارزند، اما همه سه وجهیهای آن چنین نیستند (برهان: به ازای بردارهای یکه e_1 و \bar{e}_1 که در شکل ۳۴.۷ نشان داده شده اند هیچ ایزومتري نمی تواند e_1 را به \bar{e}_1 بدل کند.



شکل ۳۴.۷

زیرا بنا بر لم ۱.۷، F باید ژئودزیک یک به یک γ_{e_1} را به ژئودزیک متناوب $\gamma_{\bar{e}_1}$ تبدیل کند، و این امکان ندارد، زیرا F یک به یک است.)
 قید همگنی، قید بسیار قوی است.

۵.۷. قضیه. اگر رویه هندسی M همگن باشد، آنگاه M به طور ژئودزیکی کامل است و دارای خمیدگی گاوسی ثابت می باشد.

برهان. ثابت بودن خمیدگی مستقیماً از تعریف

همگنی و این نکته که ایزومترها حافظ خمیدگی می باشند نتیجه می شود. اثبات همگنی آن جالبتر است. اگر M به طور ژئودزیکی کامل نباشد، یک ژئودزیک ماکسیمال α با تندی واحد وجود خواهد داشت که فقط روی یک فاصله، مثلاً $I: t < a$ که تمام محور حقیقی نیست، معین باشد. اکنون نشان می دهیم که این غیر ممکن است. بنابر لم ۳.۵، همه ژئودزیکها که از یک نقطه دلخواه p از M خارج می شوند حداقل تا یک مسافت ثابت $\varepsilon > 0$ ادامه می یابند. t_0 را در I طوری انتخاب می کنیم که $a - t_0 < \varepsilon/2$. چون M همگن است، می توان ایزومتری $F: M \rightarrow M$ را طوری تعیین کرد که داشته باشیم $F(p) = \alpha(t_0)$. اکنون به ازای یک بردار یکه u در p خواهیم داشت $F_*(u) = \alpha'(t_0)$. بدینسان قطعه ژئودزیکی $F(\gamma_u)$ دایره ای سرعت اولیه

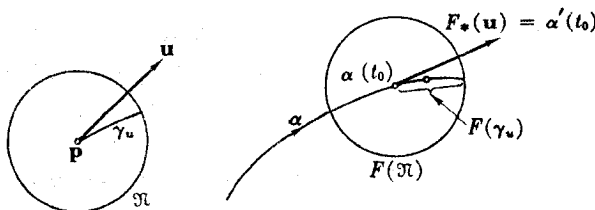
$$F_*(\gamma_u'(0)) = F_*(u) = \alpha'(t_0)$$

خواهد بود، و با تندی واحد تا مسافت ε ادامه می یابد (شکل ۳۵.۷). اما با تعویض پارامتر می توان از قضیه ۳.۴ استفاده کرد و α را روی فاصله $t_0 + \varepsilon < I$ تعریف نمود. اما $a + \varepsilon > t_0$ ، و این با فرض ماکسیمال بودن فاصله I متناقض است، بدینسان کامل بودن ژئودزیکی M ثابت می شود.

همان گونه که از عنوان این بند برمی آید، نگاهتهایی که حاصل ضرب داخلی را حفظ می کنند و در هندسه دارای اهمیت می باشند تنها از ایزومترها (موضعی) تشکیل نمی شوند. در اینجا انواع اصلی دیگر را اجمالاً از نظر می گذرانیم.

۳.۶.۷. تعریف. بگیریم $F: M \rightarrow \mathbb{E}^3$ نگاشتی از یک رویه هندسی در \mathbb{E}^3 باشد. اگر F_* نگاشت مشتق، حاصل ضرب داخلی بردارهای مماس را حفظ کند، آنگاه F یک فروری ایزومتریک است. اگر علاوه بر این F یک به یک باشد، آنگاه F را یک جادهی ایزومتریک نامند. هنگامی که جادهی ایزومتریک F دارای تابع معکوس $F^{-1}: F(M) \rightarrow M$ پیوسته باشد آن را خاص می گویند.

محدودیت این تعریف زاید است. به وضوح می توان به جای \mathbb{E}^3 و یا حتی M هر خمینه ریمانی را قرارداد (صفحه ۳۴۷).



شکل ۳۵.۷

۷.۷. لم. اگر $F: M \rightarrow E^3$ يك جادهی ایزومتریک خاص از يك رویه هندسی M در E^3 باشد، آنگاه $F(M)$ نگاره حاصل، يك رویه در E^3 است و تابع $F: M \rightarrow F(M)$ يك ایزومتري خواهد بود.

برهان. اگر $x: D \rightarrow M$ يك قطعه مختصاتی خاص در M باشد، آنگاه نگاشت مرکب $F(x): D \rightarrow E^3$ يك قطعه مختصاتی واقع در $F(M)$ است. علاوه بر این، $F(x)$ يك قطعه مختصاتی خاص است. در واقع، تابع معکوس $F(x(D)) \rightarrow D$ دقیقاً $x^{-1}F^{-1}$ است، و چون x^{-1} و F^{-1} پیوسته اند، پیوسته می باشد. بدینسان می توان به آسانی از تعریف ۲.۱ فصل ۲ استفاده کرد. اما برای $F(M)$ به عنوان يك رویه هندسی از همان ضرب نقطه ای E^3 استفاده می شود، و بنا بر تعریف $F: M \rightarrow E^3$ حافظ ضرب داخلی است. بنابراین به عنوان نگاشتی از M روی $F(M)$ نیز حاصل ضرب داخلی را حفظ می کند. ■

بدینسان مطالعه رویه های هندسی E^3 دقیقاً همان مطالعه جاده های ایزومتریک خاص از رویه های هندسی در E^3 می باشد. اهمیت این نکته نسبتاً فنی تنها در این است که موجب می شود بررسیهای فصول ۵ و ۶ به طور وسیعی تعمیم یابند. به آسانی می توان طبقه بسیار وسیعتر فرم های ایزومتریک در E^3 را با حذف قيود يك به يك بودن و خاص بودن بررسی کرد. این کار متضمن هیچ اشکال واقعی نیست، فقط نماد گذاریها پیچیده تر می شوند. همانند حالت خاصی که در صفحه ۳۴۷ بررسی شد امکان دارد $F(M)$ نگاره حاصل از فروبری ایزومتریک $F: M \rightarrow E^3$ با خود متقاطع باشد، با وجود این می توان آن را به عنوان يك رویه ناقص در E^3 تصور کرد. اگر برای چنین رویه فرم به تعریف عملگر شکلی پردازیم چگونگی تعمیم بقیه فصول ۵ و ۶ روشن می شود.

هر فروبری ایزومتریک F ، به علت حفظ ضرب داخلی، منظم است. بدینسان $F_*(T_p(M))$ يك زیر فضای دوبعدی از $T_{F(p)}(E^3)$ است و برای $F(M)$ همان نقش صفحه مماس در $F(p)$ را ایفا می کند. هر تابع قائم یکه U به هر نقطه p (در ناحیه ای از M) يك بردار یکه عمود بر $F_*(T_p(M))$ را متناظر قرار می دهد. اگر α خمی در M باشد، آنگاه U_α يك میدان برداری روی $F(\alpha)$ در E^3 خواهد بود. در این صورت اگر v سرعت اولیه α باشد، $S(v)$ را با بردار یکنمایی از $T_p(M)$ به طوری تعریف می کنیم که

$$F_*(S(v)) = -U'_\alpha(0)$$

این عملگر شکلی S همچنان يك عملگر خطی متقارن روی $T_p(M)$ است. بسیاری از نتایج پیش در این تعمیم برقرار می مانند. مثلاً، اگر K خمیدگی گاوسی M را همانند بند ۲ به طور ذاتی تعریف کنیم، آنگاه با عکس کردن استدلال موجود در بند ۲ فصل ۶ می توان نشان داد که $K = \det S$.

بدینسان اطلاعات موجود در فضایی از قبیل قضیه ۷.۳ فصل ۶، افزایش می یابد: اگر M يك رویه فشرده با خمیدگی ثابت K (مثبت)، و $F: M \rightarrow E^3$ يك فروبری

ایزومتريك باشد، آنگاه F يك ایزومتري از M بر روی کره اقلیدسی Σ به شعاع $1/\sqrt{K}$ در E^3 خواهد بود.

به عبارت دیگر، حتی اگر به $F(M)$ اجازه دهیم که با خود متقاطع گردد، امکان آن وجود نخواهد داشت: $F(M)$ تنها می تواند يك کره گرد معمولی در E^3 باشد. چنان که قبلاً دیدیم رویه‌هایی هندسی مانند M یافت می شوند که نمی توانند به طور ایزومتريك در E^3 جا داده شوند، مثل چنبره هموار (مثال ۵.۲) یا صفحه تصویری، تمرین ۶ بند ۲. در این حالت طبیعی است که سعی شود M را در يك فضای اقلیدسی E^n با بعد بیشتر جادسیم. هرچه n بزرگتر باشد، دشواری این کار کمتر است. (به بیان اجمالي، هرچه برای خماتیدن M ابعاد بیشتری در دسترس باشد امکان بیشتری وجود خواهد داشت که بتوانیم برای M شکلی سازگار با هندسه ذاتی آن به دست بیاوریم. فصل ۶ بند ۹ را ببینید.) بدینسان، گرچه در E^3 چنبره‌های هموار وجود ندارند، می توان آنها را در E^4 به دست آورد.

۸.۷. مثال. جادهی ایزومتريك چنبره هموار در E^4 . ابتدا نگاشت $\bar{x}: E^2 \rightarrow E^4$ را به طوری که

$$\bar{x}(u, v) = (\cos u, \sin u, \cos v, \sin v)$$

در نظر می گیریم. اگر x نمایش پارامتری چنبره هموار T مذکور در مثال ۵.۲ باشد، آنگاه فرمول

$$F(x(u, v)) = \bar{x}(u, v)$$

سازگار است، در واقع این رابطه يك نگاشت يك به يك $F: T \rightarrow E^4$ را تعريف می کند. برای اثبات کافی است توجه شود که

$$(u, v) = x(u_1, v_1) \iff u_1 = u + 2\pi m, v_1 = v + 2\pi n \iff \bar{x}(u, v) = \bar{x}(u_1, v_1)$$

اگر پیکانه‌های استلزام را از چپ به راست بخوانیم، همان سازگاری مطلوب به دست می آید، خواندن آنها در جهت عکس، اثبات يك به يك بودن F است.

اگر F_* حاصل ضربهای داخلی را حفظ کند F يك جادهی ایزومتريك خواهد بود. با محاسبات معمولی داریم

$$\bar{x}_u = (-\sin u, \cos u, 0, 0)$$

$$\bar{x}_v = (0, 0, -\sin v, \cos v)$$

بنابراین

$$\bar{E} = 1, \quad \bar{F} = 0, \quad \bar{G} = 1$$

این توابع با E, F, G مربوط به x مطابقت دارند، بنابراین دقیقاً با استفاده از همان

استدلالی که در اثبات لم ۵.۴، فصل ۶ به کار رفت ثابت می شود که F_* حافظ ضرب داخلی است.

وضعیت عمومی در اینجا به خوبی معلوم نیست. گرچه برای هر رویه هندسی فشرده E^N جادهی ایزومتریک در E^N وجود دارد، اما امکان دارد که به جای ۱۷، بعد کمتری مانند ۴ را بگذاریم.

تمرینات

۱. ایزومتري موضعی $F: M \rightarrow N$ را در نظر می گیریم و فرض می کنیم که M به طور ژئودزیکی کامل باشد. نشان دهید که F پوشاست اگر، و فقط اگر، N نیز به طور ژئودزیکی کامل باشد.

۲. ثابت کنید که هر رویه هندسی که به طور ژئودزیکی کامل و دارای خمیدگی مثبت ثابت باشد فشرده است. (این نتیجه در حالات کلیتر $c > 0 \geq K$ نیز برقرار است. قضیه میسر را در کتاب هیکس [۵] ببینید.)

۳. فرض کنیم که، هر دو نقطه را بتوان در M حداقل به وسیله یک ژئودزیک، و در N حداکثر به وسیله یک ژئودزیک به هم پیوست. ثابت کنید که هر ایزومتري موضعی $F: M \rightarrow N$ چنین رویه هایی یک به یک است.

۴. گیریم $F: M \rightarrow M$ یک ایزومتري متمایز از نگاشت همانی باشد. اگر یک خم با تندی واحد تحت F ثابت بماند، یعنی اگر

$$F(\alpha(s)) = \alpha(s) \quad \text{به ازای هر } s$$

نشان دهید که α یک ژئودزیک M است.

۵. گیریم X و \bar{X} نمایشهای پارامترقطبی ژئودزیکی همسایگیهای عادی \mathcal{N}_E و $\bar{\mathcal{N}}_E$ (به ازای یک ε) در دو رویه هندسی باشند. اگر روی S_ε ، حوزه مشترک X و \bar{X} ، داشته باشیم $K(X) = \bar{K}(\bar{X})$ ، ثابت کنید که \mathcal{N}_E و $\bar{\mathcal{N}}_E$ ایزومتریک می باشند.

۶. ثابت کنید که کره Σ و صفحه هذلولوی H سه وجهی همگن اند. (دانهمایی: ایزومتريهای مطلوب را در مورد Σ از تبدیلات متعامد E^3 ، و در مورد H از قضیه ۳.۷ و تمرین پیش به دست آورید.)

۷. نشان دهید که چنبره هموار (مثال ۵.۲) همگن است، اما سه وجهی همگن نیست، و چنبره معمولی دورانی در E^3 همگن نمی باشد.

۱. گرچه اثبات این مطلب مقدماتی نیست، اما می توان نشان داد که هر دو ویژگی از کامل بودن ژئودزیکی M نتیجه می شوند.

۸. ثابت کنید که:

(الف) در مورد استوانهٔ مستدیر قائم $C: x^2 + y^2 = r^2$ در E^3 ، هر ایزومتري $F: C \rightarrow C$ به صورت زیر خواهد بود

$$F(p) = (p_1 \cos \vartheta \pm p_2 \sin \vartheta, p_1 \sin \vartheta \pm p_2 \cos \vartheta, \varepsilon p_3 + a)$$

که در آن $\varepsilon = \pm 1$.

(ب) هر ایزومتري کره یا استوانهٔ مستدیر قائم در E^3 تخصیص يك ایزومتري E^3 می باشد.

۹. بگیریم M استوانه‌ای در E^3 است که خم مقطع عرضی آن بیضی $4x^2 + y^2 = 4$ می باشد. (هر خم بستهٔ غیر مستدیر دیگر را می توان در نظر گرفت.) نشان دهید که يك ایزومتري M وجود دارد که تخصیص هیچ يك از ایزومترهای E^3 نمی باشد. (داهنمایی: برای M نمایش پارامتری $x(u, v) = \alpha(u) + vU$ را به کار بگیرید، که در آن α يك نمایش پارامتری متناوب با تندي واحد بیضی مزبور است.)

۱۰. روی کرهٔ Σ به شعاع r ، مثلث T را که اضلاع آن قطعه‌های ژئودزیک به طولهای a ، b و c (همه کمتر از πr) می باشند در نظر می گیریم. بگیریم که زاویهٔ T در رأس p مقابل به ضلع a برابر ϑ باشد. (الف) قانون کسینوسها را ثابت کنید:

$$\cos \frac{a}{r} = \cos \frac{b}{r} \cos \frac{c}{r} + \sin \frac{b}{r} \sin \frac{c}{r} \cos \vartheta$$

(ب) نشان دهید که این فرمول هنگامی که r در مقایسه با a ، b ، c بزرگ باشد قانون کسینوسهای معمولی اقلیدسی را تقریب می زند. (داهنمایی: برای تعیین $\cos \vartheta$ بردارهای یکه u_a ، u_b را که در p بر اضلاع b و c مماس اند بیابید.)

۱۱. ثابت کنید که صفحهٔ تصویری (تمرین ۶، بند ۲) سه وجهی همگن است. (داهنمایی: اگر $F: \Sigma \rightarrow \Sigma$ يك ایزومتري کره E^3 باشد، آنگاه $F(-p) = -F(p)$ ، بنابراین يك نگاشت $\bar{F}: \bar{\Sigma} \rightarrow \bar{\Sigma}$ وجود دارد به طوری که $\bar{F}P = P\bar{F}$.)

۱۲. نشان دهید که گروههای ایزومتري رویه‌های ایزومتریک، ایزومرف اند.

۱۳. اگر در E^3 رویهٔ M در يك صفحه واقع نباشد، نشان دهید که تابع $F \rightarrow F|M$ يك ایزومرفیسم از گروه تقارن اقلیدسی $S(M)$ روی يك زیر گروه از گروه ایزومتري $\mathcal{I}(M)$ می باشد.

ایزومترهای صفحهٔ هذلولوی را می توان صریحاً با متناظر قراردادن هر نقطهٔ آن با عدد مختلط

$$z = u + iv = (u, v)$$

و استفاده از تمرینات بند ۱ ساخت. بدینسان اگر $|z|$ را که با

$$|z|^2 = z\bar{z} = u^2 + v^2$$

تعریف می‌شود در نظر بگیریم؛ صفحه هذلولوی را می‌توان با قرص $|z| < 2$ و ساختار هندسی همشکلی که در مثال ۳.۱ با $g(z) = 1 - |z|^2/4$ داده شده است نمایش داد.

۱۴. (تعبیر صفحه هذلولوی.) به ازای عدد حقیقی ثابت $c = (c, 0)$ در H ، نگاشت T را

$$\text{روی } H \text{ با } T(z) = \psi[(z+c)/(cz+\psi)] \text{ تعریف می‌کنیم.}$$

(الف) نشان دهید که $T(H) \subset H$ و $T: H \rightarrow H$ یک بديك و پوشاست.

اگر H' همان قرص $|z| < 2$ را با ساختار اقلیدسی معمولی نمایش دهد، آنگاه از تمرین ۷ بند ۱ نتیجه می‌شود که $T: H' \rightarrow H'$ یک نگاشت همشکلی با سازه مقیاس $\lambda(z) = |dT/dz|$ است.

(ب) نشان دهید که این سازه مقیاس برابر است با

$$\lambda(z) = \psi \frac{\psi - c^2}{|cz + \psi|^2}$$

(ج) نتیجه بگیرید که $T: H \rightarrow H$ یک ایزومتري از صفحه هذلولوی است.

(دانه‌مایی: تمرین ۹، بند ۱ فصل ۷ را به کار ببرید.)

با استفاده از این روشها می‌توان نشان داد که H سه وجهی همگن است، و حتی با طرز جالبی ژئودزیکهای H را به دست آورد.

۱۵. (نیم‌صفحه پوانکاره P با صفحه هذلولوی H ایزومتريك است.) بر حسب اعداد مختلط،

P عبارت است از نیم‌صفحه $\text{Im } z > 0$ با ساختار هندسی همشکلی $g(z) = \text{Im } z$

($\text{Im } z$) قسمت انگاری v را در $z = u + iv$ نشان می‌دهد.) گیریم F نگاشت

$$F(z) = \frac{z + 2i}{iz + 2}$$

باشد که روی H تعریف شده است. نشان دهید که

$$\text{Im } F(z) = (\psi - |z|^2) / |iz + \psi|^2 \quad (\text{الف})$$

(ب) F یک نگاشت یک بديك از H روی P است. (F^{-1} را صریحاً محاسبه کنید.)

(ج) بر حسب ساختارهای اقلیدسی، F یک همشکلی با سازه مقیاس $\lambda(z) = \psi / |iz + 2|^2$ است.

(د) $F: H \rightarrow P$ یک ایزومتري است.

طرحی اجمالی از H و P رسم کنید و تصاویر هر یک از چهار ربع H را در P معین کنید.

۸. قضیهٔ گاوس - بونه

چنان که دیدیم K ، خمیدگی گاوسی رویهٔ هندسی M ، تأثیر شدیدی بر سایر ویژگیهای هندسی، از قبیل انتقال موازی، ژئودزیکها، ایزومترها و همچنین بر شکل آن، در صورتی که M در E^3 باشد، دارد. در اینجا می خواهیم نشان دهیم که خمیدگی گاوسی حتی بر ساخت نهایی توپولوژیایی M ، یعنی بر خواصی که از ساختار هندسی ویژهٔ M کاملاً مستقل اند، اثر می کند.

کام اصلی در اثبات این مطلب قضیه ای است که خمیدگی کل هر α -قطعه ای را به مقدار کل چرخش خم مرزی مرتبط می سازد.

در مورد هر خم دلخواه α در M ، خمیدگی ژئودزیکسی مبین میزان چرخش آن نسبت به طول قوس می باشد. بدینسان برای تعیین مقدار کل چرخش α ، بر حسب طول قوس از آن انتگرال می گیریم:

۱.۸. تعریف. گیریم $M \rightarrow [a, b]: \alpha$ قطعه خمی منظم بريك رویهٔ هندسی جهتدار M

باشد. خمیدگی ژئودزیکسی کل یعنی $\int_{\alpha} \kappa_g ds$ برای خم α عبارت است از

$$\int_{s(a)}^{s(b)} \kappa_g(s) ds$$

که در آن $\kappa_g(s)$ خمیدگی ژئودزیکسی يك تعویض پارامتر دلخواه α باتندی واحد می باشد.

بدینسان خمیدگی ژئودزیکسی کل α در M نظیر همان خمیدگی گاوسی کسل رویه در E^3 می باشد. به عنوان مثال، گیریم C دایره ای به شعاع r در E^2 و E^3 دارای جهت طبیعی خود باشد. اگر α خمی باشد که در جهت مثلثاتی يك دور C را بپیماید، آنگاه α دارای خمیدگی ژئودزیکسی ثابت $\kappa_g = 1/r$ خواهد بود. بدینسان اندازهٔ دایره هر چه باشد داریم

$$\int_{\alpha} \kappa_g ds = \frac{1}{r} 2\pi r = 2\pi$$

اگر C را در خلاف جهت مثلثاتی بپیماییم خمیدگی کل برابر 2π - خواهد بود، زیرا به طور کلی: اگر جهتهای M را ثابت نگهداریم، آنگاه خمیدگی ژئودزیکسی کل هر قطعه خم α تحت تعویض پارامترهای سونگهداد تغییر نمی کند، و تحت تعویض پارامترهای سوپوگردان علامت آن تغییر می کند. (نکتهٔ اول را مستقیماً از تعریف، و نکتهٔ دوم را می توان مثلاً، از لم زیر نتیجه گرفت.)

۲.۸. لم. گیریم $M \rightarrow [a, b]: \alpha$ قطعه خمی منظم در ناحیه ای از M باشد که با میدان سه وجهی E_1, E_2 جهتدار شده است. آنگاه

$$\int_{\alpha} \kappa_g ds = \varphi(b) - \varphi(a) + \int_{\alpha} \omega_{12}$$

که در آن φ يك تابع زاویه‌ای α' با E_1 روی α ، و ω_1, ω_2 فرم همبندی E_1, E_2 است.

برهان. هیچ يك از این جمله‌ها تحت تعویض پارامتری سونگهدار تغییر نمی‌کند، بدینسان می‌توان α را خمی باتندی واحد فرض نمود. اما در این صورت نتیجه مطلوب مستقیماً از انتگرالگیری فرمول لم ۵.۴ حاصل می‌شود.

در نظریه انتگرالگیری در فصل ۶، بند ۷، از ۲- قطعه‌ای‌های $M \rightarrow R: X$ که روی ناحیه داخلی R^0 از R منظم و يك به يك بودند استفاده شد. در اینجا قید شدیدتری را در نظرمی‌گیریم و آن اینکه X روی مرز R نیز يك به يك و منظم باشد. (این مطلب هم‌ارز با آن است که بگوییم $M \rightarrow R: X$ تخصیصی است به R از يك قطعه مختصاتی که روی يك مجموعه باز شامل R تعریف شده است.)

هنگامی که X يك ۲- قطعه‌ای منظم يك به يك باشد، خمهای کناری آن $\alpha, \beta, \gamma, \delta$ (تعریف ۴.۶، فصل ۴) منظم و يك به يك خواهند بود، و مرز $\delta - \gamma - \beta + \alpha = \partial X$ را به عنوان يك خم شکسته تنها که ناحیه مستطیلی $X(R)$ را محصور می‌کند در نظرمی‌گیریم. اکنون به تعریف خمیدگی ژئودزیکی کل ∂X می‌پردازیم. از توجه به تعریف خمیدگی ژئودزیکی دیده می‌شود که خمیدگی ژئودزیکی کل هر خم برابر است با کل زاویه‌ای که T ، مماس یکه آن، چرخیده است (نسبت به طول قوس). اما برای آنکه تمام دور

$$\partial X = \alpha + \beta - \gamma - \delta$$

را بپیماییم باید علاوه بر چرخش کل روی خمهای حاشیه‌ای یعنی

$$\begin{aligned} \int_{\partial X} \kappa_g ds &= \int_{\alpha} \kappa_g ds + \int_{\beta} \kappa_g ds + \int_{-\gamma} \kappa_g ds + \int_{-\delta} \kappa_g ds \\ &= \int_{\alpha} \kappa_g ds + \int_{\beta} \kappa_g ds - \int_{\gamma} \kappa_g ds - \int_{\delta} \kappa_g ds \end{aligned}$$

ذوایایی را هم که لازم است يك بردار مماس یکه T روی ∂X در چهار گوشه ناحیه مستطیلی $X(R)$ بچرخد در نظر گرفت (شکل ۳۷.۷). در مورد

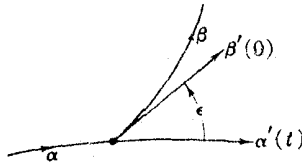
$$R: a \leq u \leq b, \quad c \leq v \leq d$$

این «گوشه‌ها»ی

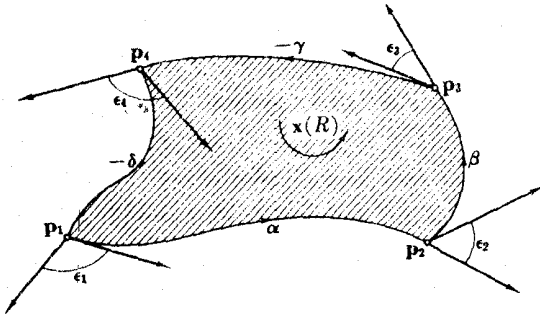
$$p_1 = X(a, c), \quad p_2 = X(b, c), \quad p_3 = X(b, d), \quad p_4 = X(a, d)$$

را دئوس $X(R)$ می‌نامند.

به طور کلی، اگر يك قطعه خم منظم α در ناحیه‌ای جهتدار به نقطه آغاز قطعه خم دیگر β ، مثلاً $\alpha(1) = \beta(0)$ ختم شود آنگاه ε ، زاویه چرخش β با α برابر است با آن زاویه جهتدار $\beta'(0)$ با $\alpha'(1)$ که دارای کوچکترین قدر مطلق باشد (شکل ۳۶.۷). در مورد هر ۲ قطعه‌ای از جهتهای که X معین می‌شود، یعنی فرم مساحتی dM به طوری که



شکل ۳۶.۷



شکل ۳۷.۷

$dM(x_u, x_v) > 0$ استفاده می‌کنیم تا اصطلاحاتی را که در مورد چند ضلعیهای مسطح متداول است تعمیم دهیم.

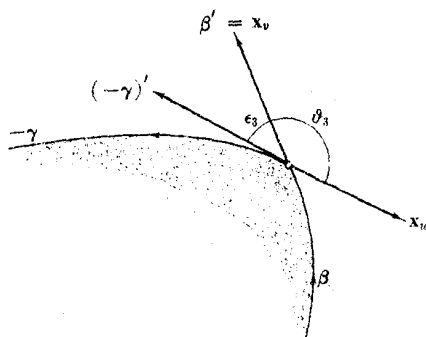
۳.۸. تعریف. گیریم $x: R \rightarrow M$ یک ۲-قطعه‌ای منظم یک به یک بسا رتوس p_1, p_2, p_3, p_4 باشد. ϵ_j زاویه خارجی x در p_j ($1 \leq j \leq 4$)، برابر است با زاویه چرخش در p_j که از خمها (یا لها) $\alpha, \beta, \gamma, \delta, \dots$ به ترتیبی که در ∂X وجود دارند حاصل می‌شود. ϵ_j زاویه داخلی x در p_j برابر است با $\pi - \epsilon_j$ (شکل ۳۷.۷).

این تعریف با در نظر گرفتن کاربردهای کلیتری بیان شده است، برای حالتی که مورد بحث است زوایای خارجی را می‌توان به آسانی بر حسب زاویه مختصاتی معمول ϑ از x_u به x_v ($0 < \vartheta < \pi$) با

$$\epsilon_1 = \pi - \vartheta_1 \quad \epsilon_2 = \vartheta_2 \quad \epsilon_3 = \pi - \vartheta_3 \quad \epsilon_4 = \vartheta_4$$

بیان کرد، که در آن ϑ_j زاویه مختصاتی در رأس p_j است. به عنوان مثال، وضعیتی را که نقطه p_3 در شکل ۳۸.۷ دارا می‌باشد در نظر می‌گیریم. بنا بر تعریف این خمها (یا لها)، β' برابر x_u و $(-\gamma)'$ برابر x_v است، زیرا $-\gamma$ یک تعویض پارامتر سوبرگردان γ است. بدینسان $\pi = \vartheta_3 + \epsilon_3$. (براهین تحلیلی را می‌توان بر اساس تعریف زاویه جهتدار در بند ۷، فصل ۶ به دست داد.)

اکنون می‌توان به اثبات نتیجه اساسی این بند پرداخت.



شکل ۳۸۰۷

۴.۸ قضیه. گیریم $x: R \rightarrow M$ یک γ -قطعه‌ای منظم یک به یک در رویه هندسی M باشد. اگر dM فرم مساحتی روی $x(R)$ باشد که بدوسیله x معین شده است، آنگاه

$$\underbrace{\iint_x K dM}_{\text{خمیدگی گاوسی کل}} + \underbrace{\int_{\partial x} \kappa_g ds + (\varepsilon_1 + \varepsilon_2 + \varepsilon_3 + \varepsilon_4)}_{\text{خمیدگی ژئودزیکی کل}} = 2\pi$$

(در خمیدگی ژئودزیکی و زوایای خارجی از جهت‌دهی $x(R)$ که با dM و $dM(x_u, x_v) > 0$ معین می‌گردد استفاده می‌شود. توجه شود که لزومی ندارد که خود M جهت‌دار شده، یا حتی جهت‌پذیر باشد.)

این نتیجه را فرمول گئوس-بونه با زوایای خارجی می‌نامند. چون به ازای $1 \leq j \leq 4$ داریم $\varepsilon_j = \pi - \theta_j$ ، فرمول مزبور را می‌توان بر حسب زوایای داخلی $x(R)$ به صورت زیر نوشت

$$\iint_x K dM + \int_{\partial x} \kappa_g ds = (\theta_1 + \theta_2 + \theta_3 + \theta_4) - 2\pi$$

برهان. گیریم $E_1 = x_u / \sqrt{E}$ و E_2 میدان برداری یکنمایی باشد به طوری که E_1, E_2 یک میدان سدوجنی با $+1$ روی ناحیه $x(R)$ تشکیل دهند. در این حالت (به صفحه ۳۲۷ رجوع شود) معادله ساختاری دوم به صورت زیر درمی‌آید

$$d\omega_{12} = -K\theta_1 \wedge \theta_2 = -K dM$$

این برهان مبتنی بر قضیه استوکس (۵.۶ فصل ۴) است و بنا بر این داریم

$$\iint_x K dM + \int_{\partial x} \omega_{12} = 0 \quad (1)$$

اکنون با استفاده از لم ۲۰۸ به محاسبه انتگرال دوم می‌پردازیم

$$\int_{\partial x} \omega_{12} = \int_{\alpha} \omega_{12} + \int_{\beta} \omega_{12} - \int_{\gamma} \omega_{12} - \int_{\delta} \omega_{12} \quad (2)$$

چون روی α داریم $\alpha' = \mathbf{x}_u = \sqrt{E} \mathbf{E}_1$ ، زاویه α' با \mathbf{E}_1 متحداً صفر است. بدینسان بنا بر لم ۲.۸ خواهیم داشت

$$\int_{\alpha} \omega_{12} = \int_{\alpha} \kappa_g ds \quad (3)$$

محاسبه انتگرال روی δ دشوارتر است، در اینجا φ ، زاویه

$$\mathbf{E}_1 = \frac{\mathbf{x}_u}{\sqrt{E}} \text{ با } \delta' = \mathbf{x}_v$$

دقیقاً همان ϑ زاویه مختصاتی $\mathbf{x}_u, \mathbf{x}_v$ می باشد (شکل ۳۹.۷ را ببینید). بدینسان بنا بر لم ۲.۸ خواهیم داشت

$$\int_{\delta} \kappa_g ds = \vartheta_{\varphi} - \vartheta_1 + \int_{\delta} \omega_{12}$$

که در آن مانند بالا $0 < \vartheta_j < \pi$ زاویه مختصاتی در رأس \mathbf{p}_j ($1 \leq j \leq 4$) -قطعه ای \mathbf{x} می باشد. اما چون

$$\vartheta_1 = \pi - \varepsilon_1 \text{ و } \vartheta_{\varphi} = \varepsilon_{\varphi}$$

بنابراین داریم

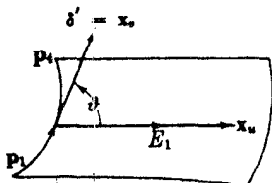
$$\int_{\delta} \omega_{12} = \pi - \varepsilon_1 - \varepsilon_{\varphi} + \int_{\delta} \kappa_g ds \quad (4)$$

به همین طریق خواهیم داشت

$$\int_{\beta} \omega_{12} = -\pi + \varepsilon_2 + \varepsilon_{\varphi} + \int_{\beta} \kappa_g ds \quad (5)$$

و

$$\int_{\gamma} \omega_{12} = \int_{\gamma} \kappa_g ds \quad (6)$$



شکل ۳۹.۷

بدینسان (۲) به صورت زیر درمی آید

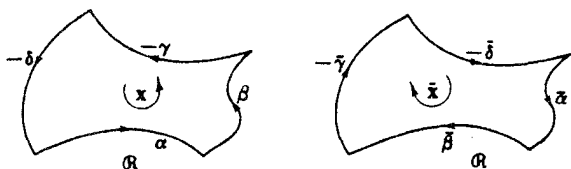
$$\int_{\partial X} \omega_{12} = \int_{\alpha} \kappa_g ds + \int_{\beta} \kappa_g ds - \int_{\gamma} \kappa_g ds - \int_{\delta} \kappa_g ds - 2\pi + (\varepsilon_1 + \varepsilon_2 + \varepsilon_3 + \varepsilon_4) \\ = \int_{\partial X} \kappa_g ds - 2\pi + (\varepsilon_1 + \varepsilon_2 + \varepsilon_3 + \varepsilon_4)$$

که با قراردادن آن در (۱) فرمول مطلوب حاصل می شود.

فرمول گاوس-بونه در واقع به نگاشت خاص $X: R \rightarrow M$ بستگی ندارد، فقط به نگاره آن $\mathcal{R} = X(R)$ وابسته است. توضیح آنکه اگر \bar{X} یک ۲-قطعه ای منظم یک به یک دیگر با همان نگاره \mathcal{R} باشد، آنگاه هر یک از شش جمله فرمول گاوس-بونه به ازای \bar{X} دقیقاً دارای همان مقدار عددی جمله متناظر به ازای X می باشد. این امر، اگر \bar{X} و X دارای یک جهت باشند، یعنی یک فرم مساحتی روی \mathcal{R} را معین کنند، تعجب آور نخواهد بود. اما فرض کنیم که جهت آنها یکی نباشد (مانند شکل ۴۰.۷) به طوری که $dM_{\bar{X}} = -dM_X$. برای بررسی پیچیده ترین حالت، خمها (یا لها)ی متناظر از قبیل α و $\bar{\beta}$ در شکل ۴۰.۷ را در نظر می گیریم. در اینجا α و $\bar{\beta}$ در دو جهت مختلف پیموده می شوند: $\bar{\beta}$ بسک تعویض پارامتر سو بر گردان α است. اما از طرف دیگر خمیدگیهای ژئودزیک α و $\bar{\beta}$ بر حسب فرمهای مساحتی مختلف dM_X و $dM_{\bar{X}}$ محاسبه می شوند. بدینسان دو تغییر علامت به وجود می آید و در نتیجه

$$\int_{\alpha} \kappa_g ds = \int_{\bar{\beta}} \kappa_g ds$$

بقیه این بند به کاربردهای فرمول گاوس-بونه اختصاص داده می شود. هدف اصلی، تعمیم این فرمول به نواحی کلیتر به ویژه به تمامی رویه های هندسی می باشد. برای این کار باید در مورد رویه ها برخی از خواص اساسی را که دارای جنبه هندسی نیستند متذکر شد. یک تجزیه مستطیلی \mathcal{D} برای رویه M عبارت است از بسک مجموعه متناهی ۲-قطعه ایهای منظم یک به یک X_1, \dots, X_f که نگاره های آنها M را طوری پوشانند که



شکل ۴۰.۷

اگر هر دو تایی از آنها همپوش باشند، یا در يك تك رأس مشترك و یا در يك تك یال مشترك نیز همپوش باشند.

روشن است که تجزیه مستطیلی حالت خاصی از پوشش فرشی (تعریف ۳.۷، فصل ۶) است، فقط نواحی $X_i(R_i)$ در اینجا واقعاً «مستطیلی» بوده (چون روی تمام R_i يك به يك و منظم است) و لازم است که با هم دارای برانزنگی دقیقی مانند شکل ۴۱.۷ (با پوشش فرشی در شکل ۱۷.۶ مقایسه شود) باشند.

۵.۸. قضیه. هر رویه فشرده M دارای يك تجزیه مستطیلی است.

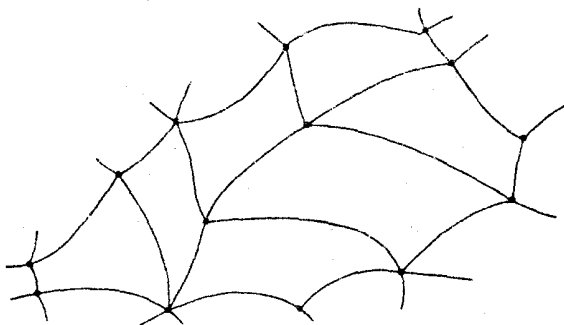
(بنابراین M به‌ویژه دارای پوشش فرشی است.) این نتیجه مسلماً موجه است، زیرا اگر M از کاغذ ساخته شده باشد، می‌توان با چپ‌چینی متوالیاً قطعه‌های مستطیلی شکلی از آن برید تا تمام شود. برهان کلی در کتاب لفتنر [۸] آمده است (از تمرین ۱۰ استفاده کنید).

روشن است که با داشتن يك تجزیه مستطیلی \mathcal{D} نه تنها نواحی مستطیلی $X_i(R_i)$ که وجوه نامیده می‌شوند، بلکه رئوس و یالهای این نواحی نیز تعیین می‌شوند.

۶.۸. قضیه. اگر \mathcal{D} يك تجزیه مستطیلی رویه فشرده M و e ، v و f به ترتیب تعداد رئوس، یالها و وجوه \mathcal{D} باشند، آنگاه عدد صحیح $f - e + v$ برای همه تجزیه‌های مستطیلی M یکی است. این عدد صحیح را مشخصه اویلر-پوانکاره M می‌نامند و آن را با $\chi(M)$ نشان می‌دهند.

برهان طبیعی این قضیه مشهور، برهان توپولوژیایی محض است، اما به آسانی می‌توان آن را از قضیه ۸.۸ نتیجه گرفت.

این نتایج را می‌توان به آسانی تعمیم داد. نخست، به جای تمامی يك رویه، می‌توان يك ناحیه چندبوی از آن را در نظر گرفت، چنین ناحیه‌ای را می‌توان (مانند بالا) به نواحی مستطیلی برانزده $X_i(R_i)$ تجزیه کرد. دیگر آنکه همواره می‌توان به جای مستطیل‌های R از



شکل ۴۱.۷

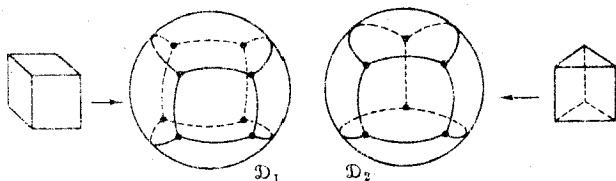
چندبرها استفاده کرد. (يك چندبر P عبارت است از ناحیه محدودی در E^2 که با يك خم چندبری ساده محصور شود، P شامل این خم نیز می باشد.) از ترکیب این دو تعمیم، مفهوم تجزیه چندبری \mathcal{D} برای هر ناحیه (چندبری) \mathcal{R} در M به دست می آید. $\chi(\mathcal{R})$ ، مشخصه اوپلر - پوانکاره، از انتخاب تجزیه چندبری \mathcal{D} نیز مستقل است.

۷۰۸. مثال. مشخصه اوپلر - پوانکاره.

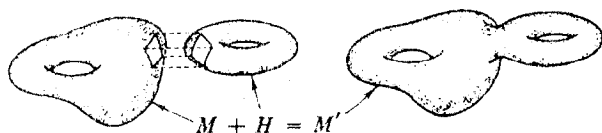
(۱) در مورد کره Σ داریم $\chi(\Sigma) = 2$. چون مکعبی را مانند شکل ۴۲۰۷ «باد کنیم» يك تجزیه مستطیلی \mathcal{D}_1 برای Σ به دست می آید. \mathcal{D}_1 دارای $v = 8$ ، $e = 12$ ، $f = 6$ می باشد و بدینسان $\chi = 2$. اگر منشوری را باد کنیم يك تجزیه چندبری \mathcal{D}_2 با $v = 9$ ، $e = 9$ ، $f = 5$ حاصل می شود و در اینجا نیز $\chi = 2$. (شکل ۴۲۰۷).

(۲) چنبره T دارای $\chi(T) = 0$ است. T را به صورت يك چنبره دورانی ترسیم کنید و آن را در طول سه نصف النهار و سه مدار دلخواه قطع کنید. بدینسان يك تجزیه مستطیلی \mathcal{D} به دست می آید که در مورد آن داریم $v = 9$ ، $e = 18$ ، $f = 9$ ، و در نتیجه $\chi = 0$. (۳) اگر به يك رویه فشرده يك دسته اضافه شود مشخصه اوپلر - پوانکاره آن ۲ واحد تقلیل می یابد.

به بیان اجمالی يك «دسته» عبارت است از چنبره ای که قسمت داخلی یکی از وجوه آن حذف شده است. (فرض می کنیم که M و چنبره قبلاً تجزیه مستطیلی شده اند.) برای افزودن يك دسته به M ، قسمت داخلی یکی از وجوه M را حذف می کنیم، و لبه حاصل را به لبه دسته به طور هموار می چسبانیم، به گونه ای که رئوس و یالهای دولبه برهم منطبق شوند (شکل ۴۳۰۷).



شکل ۴۲۰۷



شکل ۴۳۰۷

با این عمل یک رویه جدید M' به وجود می آید که به یک تجزیه مستطیلی مجهز است. مشخصه اویلر - پوانکاره M' برابر است با

$$\chi(M) - 2$$

زیرا تجزیه آن از مجموع وجوه M و چنبره، دقیقاً دو وجه کمتر دارد. (چسباندن لبه‌ها موجب حذف چهار رأس و چهار یال هم می شود، اما این تأثیری در χ ندارد.)

به آسانی می توان دید که «ویه‌های دیفئومورف دارای یک مشخصه اویلر - پوانکاره می باشند، زیرا اگر X_1, \dots, X_f یک تجزیه رویه M و $F: M \rightarrow M$ یک دیفئومورفیسم باشد، آنگاه $F(X_1), \dots, F(X_f)$ یک تجزیه M می باشد و دقیقاً دارای همان v, e و f خواهد بود.

به عنوان مثال، هر قدر در کره

$$\Sigma: x^2 + y^2 + z^2 = 1$$

اعوجاج ایجاد کنیم رویه حاصل M همچنان دارای مشخصه اویلر - پوانکاره ۲ می باشد. مادامی که ساختارهای هندسی مورد بحث نباشند، می توان از واژه «کره» به همان معنی «هر رویه دیفئومورف با Σ » استفاده کرد، اما برای اجتناب از هراشتباه احتمالی ما همان اصطلاح طولانیتر را به کار خواهیم برد.

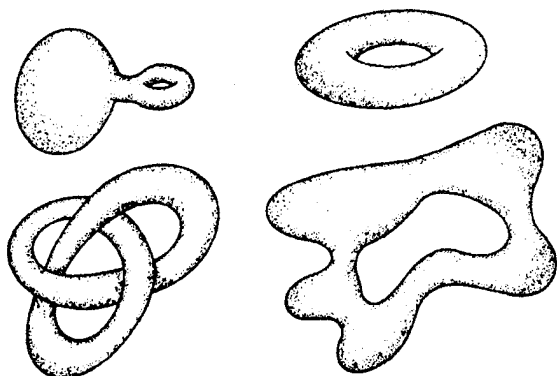
فرض می کنیم که از یک کره Σ شروع و متوالیاً h دسته ($h = 0, 1, 2, \dots$) به آن اضافه کنیم، تا رویه جدید $\Sigma(h)$ به دست آید. نکته جالب در این عمل افزودن دسته‌ها آن است که هر رویه فشرده جهتپذیر M با یکی از $\Sigma(h)$ ها دیفئومورف می باشد. در این حالت گفته می شود که خود M دارای h دسته است. بنابر (۳) مثال ۷.۸ داریم

$$\chi(M) = \chi(\Sigma(h)) = \chi(\Sigma) - 2h = 2 - 2h$$

به عنوان مثال، هر یک از چهار رویه در شکل ۴۴.۷ دارای یک دسته است، و بدینسان همه آنها دارای $\chi = 0$ می باشند.

گرچه در این بررسی مختصر درباره مشخصه اویلر - پوانکاره از مفاهیم حساب دیفرانسیل و انتگرال استفاده کردیم، اما نتایج آن در صورت قرار دادن پیوستگی به جای دیفرانسیلپذیری نیز همچنان معتبر می ماند. در واقع مشخصه اویلر - پوانکاره یک تغییرناپذیر توپولوژیایی است.^۱

۱. یک تغییرناپذیر توپولوژیایی، عبارت است از خصوصیتی که تحت هر «همومورفیسم» (یعنی، هر تابع پیوسته‌ای که دارای معکوس پیوسته باشد) محفوظ بماند. هر دیفئومورفیسم یک همومورفیسم است، اما عکس آن درست نیست. به هر حال یکی از ویژگیهای ابعاد کم آن است که دو رویه دیفئومورف اند اگر، (و فقط اگر) همومورف باشند.



شکل ۴۴.۷

اکنون به موضوع رویه‌های هندسی برمی‌گردیم، و یک نتیجه بسیار جالبی را برای قضیه ۴.۸ اثبات می‌کنیم.

۸.۸. قضیه (گاوس-بونه) اگر M یک رویه هندسی فشرده جهت‌پذیر باشد، آنگاه خمیدگی گاوسی کل M برابر است با $2\pi\chi(M)$ ، که در آن $\chi(M)$ مشخصه اویلر-پوانکاره M می‌باشد.

برهان. برای M یک جهت ثابت با فرم مساحتی dM در نظر می‌گیریم، و فرض می‌کنیم که \mathcal{D} یک تجزیه مستطیلی M ۲-قطعه‌ایهای x_1, \dots, x_r باشد که همه آنها به‌طور مثبت جهت‌دار شده‌اند. بدینسان \mathcal{D} به‌ویژه یک پوشش فرشی M به‌صورتی که در فصل ۶، بند ۷ آمده خواهد بود. بنا بر تعریف، خمیدگی کل M عبارت است از

$$\iint_M K dM = \sum_{i=1}^r \iint_{x_i} K dM \quad (1)$$

فرمول گاوس-بونه را در مورد هر یک از این عوامل جمع اعمال می‌کنیم. (این عمل مجاز است، زیرا روی هر ناحیه $x_i(R_i)$ ، فرم مساحتی dM همان است که با x_i معین می‌شود.) این فرمول بر حسب زوایای داخلی به‌صورت زیر می‌باشد

$$\iint_{x_i} K dM = - \int_{\partial x_i} \kappa_g ds - 2\pi + (i_1 + i_2 + i_3 + i_4) \quad (2)$$

اکنون به بررسی قرار دادن (۲) در (۱) می‌پردازیم. چون M یک رویه است، از لحاظ موضعی مانند E^2 می‌باشد، هر یال متعلق به تجزیه \mathcal{D} ،

دقیقاً به دو وجه مثلاً $X_j(R_j)$ و $X_i(R_i)$ تعلق خواهد داشت. گیریم α_j و α_i نمایشهای پارامتری یالی باشند که به ترتیب در ∂X_j و ∂X_i واقع اند. چون جهتدهی در این نواحی با جهتدهی در خود M یکی است، α_j و α_i همان گونه که در شکل ۴۵.۷ دیده می شود، تعویض پارامتر سو بر گردان یکدیگرند. بدینسان

$$\int_{\alpha_i} \kappa_g ds + \int_{\alpha_j} \kappa_g ds = 0$$

در نتیجه

$$\sum_{i=1}^f \int_{\partial X_i} \kappa_g ds = 0 \quad (۳)$$

زیرا چنان که دیدیم انتگرالهای روی خمهای یالها دو به دو حذف می شوند. (مطابق معمول، تعداد رئوس، یالها و وجوه موجود در تجزیه را با v ، e و f نشان می دهیم.) بدینسان از قرار دادن (۲) در (۱) خواهیم داشت

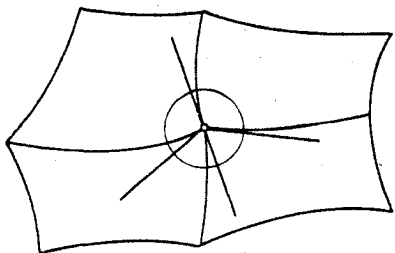
$$\iint_M K dM = -2\pi f + \mathcal{G} \quad (۴)$$

که در آن \mathcal{G} مجموع زوایای داخلی همهٔ وجوه در تجزیهٔ مزبور است. اما مجموع زوایای داخلی در هر رأس درست برابر 2π می باشد (شکل ۴۶.۷)، بنابراین $\mathcal{G} = 2\pi v$. بدینسان

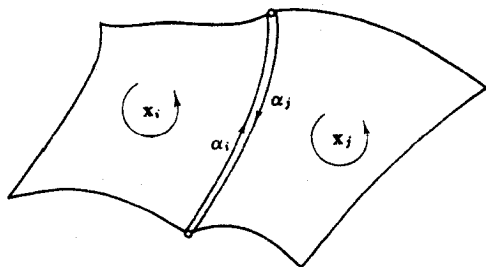
$$\iint_M K dM = -2\pi f + 2\pi v \quad (۵)$$

با بررسی ساده‌ای از آنالیز ترکیبی برهان کامل می شود. وجوه موجود در تجزیهٔ \mathcal{D} مستطیلی می باشند: هر وجه دارای چهار یال است. اما هر یال دقیقاً به دو وجه متعلق است. بدینسان $4f = 2e$ معادل دو برابر e خواهد بود، یعنی $2e = 4f$. از آنجا $e = 2f$ ، بنابراین (۵) به صورت زیر درمی آید

$$\iint_M K dM = 2\pi(v - e + f) = 2\pi X(M)$$



شکل ۴۶.۷



شکل ۴۵.۷

چون مشخصه اویلر - پوانکاره يك تغییرناپذیر توپولوژیایی است، این قضیه نشان می‌دهد که خمیدگی کل نیز يك تغییرناپذیر توپولوژیایی است.

به‌عنوان توضیح گیریم M و \bar{M} دو رویه هندسی اند که فقط دیفئومورف می‌باشند، در این صورت امکان دارد که K و \bar{K} خمیدگیهای گاوسی M و \bar{M} کاملاً متفاوت باشند، اما خمیدگی کل آنها یکی است، زیرا (چون دیفئومورف اند) M و \bar{M} دارای يك مشخصه اویلر - پوانکاره می‌باشند، و از آنجا

$$\iint_M K dM = 2\pi\chi(M) = 2\pi\chi(\bar{M}) = \iint_{\bar{M}} \bar{K} d\bar{M}$$

قبلاً مثالهایی از این قضیه را دیده‌ایم. مثلاً، در چنبره مثال ۵.۲ داریم $K = 0$ ، بنابراین خمیدگی کل صفر است. از طرف دیگر، همین رویه به‌عنوان يك چنبره دورانی دارای ساختار هندسی معمولی در E^3 می‌باشد، و خمیدگی آن متغیر است، اما چنان‌که در فصل ۶، بند ۷ دیدیم، خمیدگی کل آن نیز صفر است. (در این حالت دیفئومورفیسم همان نگاشت همانی است.)

عموماً برای تعیین خمیدگی کل کافی است دسته‌های رویه را بشماریم.

۹.۰۸. فرع. اگر M يك رویه فشرده جهت‌پذیر با h دسته ($h = 0, 1, 2, \dots$) باشد، آنگاه به‌ازای هر ساختار هندسی روی M ، خمیدگی کل برابر است با $2\pi(1-h)$.

پرهان. قبلاً دیدیم که M دارای مشخصه اویلر - پوانکاره $2 - 2h$ است.

با استفاده از قضیه گاوس - بونه (قضیه ۸.۰۸ یا ۹.۰۸) می‌توان برخی مسائل را که به‌نظر دشوار می‌آیند مورد بررسی قرار داد. به‌عنوان مثال، از قسمت (۱) مثال ۳.۲ نتیجه می‌شود که اگر از کره Σ تنها يك نقطه حذف شود، روی کسره روزنه‌دار حاصل يك ساختار هندسی با $K = 0$ وجود خواهد داشت. اما روی تمام کره Σ نمی‌توان يك ساختار هندسی با $K \leq 0$ تعریف کرد، زیرا در این صورت

$$\iint_{\Sigma} K d\Sigma \leq 0$$

با $2\pi\chi(\Sigma) = 4\pi$ در تناقض است. با معکوس کردن این استدلال دیده می‌شود که هر رویه هندسی فشرده جهت‌پذیر با $K > 0$ ، باید با کره دیفئومورف باشد. خمیدگی کل آن مثبت است، اما h در فرع ۹.۰۸ عدد صحیح نامنفی است، بنابراین باید صفر باشد. بدینسان رویه مزبور دارای دسته نیست، و با کره $\Sigma = \Sigma(0)$ دیفئومورف است. نتایج دیگری از این نوع را در تمرینات می‌آوریم.

قضیه گائوس-بونه با استفاده از برش M به نواحی مستطیلی، و اعمال فرمول گائوس-بونه بر هر یک از این نواحی اثبات شد. علت موفقیت این طرح آن است که باید جهت‌دهی رویه M همه نواحی مزبور به‌طور سازگار جهت‌دار می‌شوند، و در نتیجه روی مرزهای این نواحی انتگرالهای $\int \kappa_g ds$ دو به دو حذف می‌گردند. در این نکته اندیشه بنیادی توپولوژی جبری نهفته است، و در واقع ملاحظاتی از این قبیل، پسوانکاره را به کشف توپولوژی جبری راهنمایی کرد (کتاب لفتنز [۸] را ببینید). با اعمال این طرح در مورد نواحی مناسبی از M می‌توان قضیه گائوس-بونه را به صورتی عام‌تری بیان کرد (تمرین ۸). قضیه ۴.۸ را که مربوط به نواحی مستطیلی است می‌توان با استفاده از یک فرع (تمرین ۱۱) به نواحی چندببری دلخواه تعمیم داد. برای آنکه تعمیم مفهوم مرز در چنین وضعیتی روشن شود، اثبات مستقیم (و منطقاً غیر ضروری) تمرین ۱۱ را در حالت خاص، در مورد مثلث، یعنی درباره نگاره منظم یک به یک Δ از مثلث معمولی T در E^3 بیان می‌کنیم (شکل ۴۷.۷).

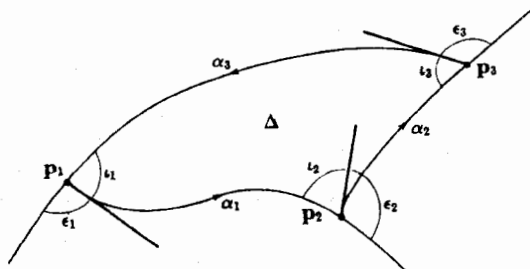
۱۰.۸. فرع. اگر Δ یک مثلث در رویه هندسی M باشد، آنگاه

$$\iint_{\Delta} K dM + \int_{\partial\Delta} \kappa_g ds = 2\pi - (\epsilon_1 + \epsilon_2 + \epsilon_3) = (\iota_1 + \iota_2 + \iota_3) - \pi$$

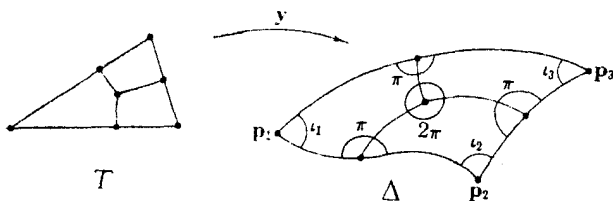
(در ضمن اثبات، این نمادگذاری را توضیح خواهیم داد.)

برهان. گیریم dM یک فرم مساحتی دلخواه روی ناحیه Δ باشد.

به طریق زیر یک تجزیه مستطیلی برای $\Delta = \gamma(T)$ بدست می‌آوریم. مثلث T را چنان که در شکل ۴۸.۷ نشان داده شده است، به سه چهار ضلعی تقسیم می‌کنیم؛ آنگاه با استفاده از تغییر متغیرهایی در γ نگاره‌های آنها را به عنوان نواحی مستطیلی $X_1(R_1)$ ، $X_2(R_2)$ ، $X_3(R_3)$ مشخص می‌کنیم، و بدینسان یک تجزیه مستطیلی برای Δ تشکیل می‌شود. مطابق معمول ترتیبی می‌دهیم که هر X_i دارای جهت مثبت باشد. بدینسان، بنا بر فرمول گائوس-بونه با زوایای داخلی، خمیدگی کل Δ برابر است با



شکل ۴۷.۷



شکل ۴۸.۷

$$\iint_{\Delta} K dM = \sum_{i=1}^r \iint_{\partial x_i} K dM = - \sum_{i=1}^r \int_{\partial x_i} \kappa_g ds - \epsilon\pi + \mathcal{G}$$

که در آن \mathcal{G} مجموع همه زوایای داخلی است.

از دوازده یال موجود در $\partial x_1, \partial x_2, \partial x_3$ ، شش یال داخلی دو به دو حذف می‌شوند (حداقل $\int \kappa_g ds$ روی آنها صفر می‌شود). شش یال باقی مانده دو به دو ترکیب شده و خمهای $\alpha_1, \alpha_2, \alpha_3$ (شکل ۴۷.۷) را ایجاد می‌کنند که مرز $\partial\Delta$ ی مثلث جهتدار Δ را تشکیل می‌دهند. بنابراین

$$\sum_{i=1}^r \int_{\partial x_i} \kappa_g ds = \int_{\partial\Delta} \kappa_g ds = \int_{\alpha_1} \kappa_g ds + \int_{\alpha_2} \kappa_g ds + \int_{\alpha_3} \kappa_g ds$$

در مجموع \mathcal{G} ، زوایای داخلی i_1, i_2, i_3 در p_1, p_2, p_3 همان زوایای مثلث Δ می‌باشند. روشن است که مجموعهای دیگر، که با دخالت در رئوس، موقتی به وجود آمده‌اند، برابر با 5π می‌باشند؛ بدینسان داریم

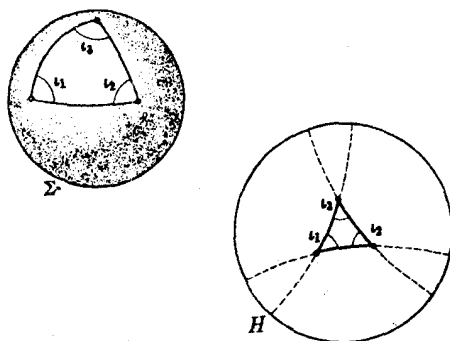
$$\iint_{\Delta} K dM + \int_{\partial\Delta} \kappa_g ds = (i_1 + i_2 + i_3) - \dots$$

در اینجا از تعاریف ۳.۸ در مورد مثلث استفاده کرده‌ایم. بدینسان فرمول $i_j + \epsilon_j = \pi$ برای زوایای خارجی به دست می‌آید.

اگر یالهای مثلث ژئودزیک باشند، آنگاه جمله خمیدگی ژئودزیکی حذف خواهد شد. به‌ویژه، در مورد هر مثلث ژئودزیکی در یک رویه با خمیدگی ثابت K داریم

$$i_1 + i_2 + i_3 = \pi + KA$$

که در آن A مساحت مثلث است. بدینسان قضیه مشهور هندسه مسطحه که براساس آن مجموع زوایای داخلی هر مثلث برابر π است، مثبتی بر این نکته است که E^2 هموار می‌باشد. بسا مثالهایی به آسانی می‌توان نشان داد که $i_1 + i_2 + i_3$ در مورد مثلث ژئودزیکی روی کسره ($K > 0$) بزرگتر از π و روی صفحه هذلولوی ($K < 0$) کوچکتر از π است (شکل ۴۹.۷).



شکل ۴۹.۷

تمرینات

۰۱. خمیدگی گاوسی کل هر يك از رويه‌های زیر را بیابید:

(الف) بیضیگون

(ب) رويه شکل ۱۰.۴

$$(ج) M: x^2 + y^4 + z^6 = 1$$

۰۲. ثابت کنید که در مورد هر رويه هندسی فشرده جهت‌پذیر M داریم:

$$K > 0 \implies M \text{ با يك کره دیفئومرف است (متن درس)}$$

$$K = 0 \implies M \text{ با يك چنبره دیفئومرف است}$$

$$K < 0 \implies M \text{ يك کره با } h \geq 2 \text{ دسته است}$$

۰۳. (الف) گیریم M يك رويه هندسی فشرده جهت‌پذیر با h دسته باشد.

ثابت کنید که روی M يك نقطه p وجود دارد به طوری که

$$h = 0 \text{ اگر } K(p) > 0$$

$$h = 1 \text{ اگر } K(p) = 0$$

$$h \geq 2 \text{ اگر } K(p) < 0$$

(ب) اگر M يك رويه فشرده جهت‌پذیر در E^3 باشد، که با کره دیفئومرف نیست، نشان دهید که روی M يك نقطه p وجود دارد که در آن $K(p) < 0$ (با قضیه ۵.۳، فصل ۶ مقایسه شود).

۰۴. (الف) در مسورد هر قطعه خم منظم $M \rightarrow \alpha: [a, b]$ ، نشان دهید که خمیدگی

ژئودزیکي کل $\int_{\alpha} \kappa_g ds$ برابر است با

$$\int_a^b \frac{\alpha'' \cdot J(\alpha')}{\alpha' \cdot \alpha'} dt$$

(راهنمایی: تمرین ۹، بند ۰۴)

(ب) گیریم X يك قطعه مختصاتی متعامد (با جهت مثبت) در M باشد. فرمولهای زیر را در مورد خمیدگیهای ژئودزیکي کل خمهای پارامتر ثابت کنید:

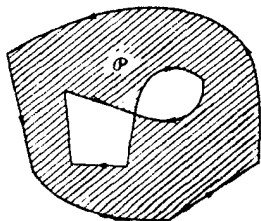
$$\int_{u_0}^{u_1} \frac{X_{uu} \cdot X_v}{\sqrt{EG}}(u, v_0) du, \quad - \int_{v_0}^{v_1} \frac{X_{vv} \cdot X_u}{\sqrt{EG}}(u_0, v) dv$$

(توجه شود که $(1/2)E_v = -X_{uv} \cdot X_v$ و $(1/2)G_u = -X_{uv} \cdot X_u$ و اگر M در E^3 باشد از مشتق اقلیدسی یا ذاتی همین نتایج حاصل می شود.)

۵. گیریم $X: R \rightarrow \Sigma$ قطعه مختصاتی جغرافیایی (مثال ۲.۲، فصل ۴) باشد که به مستطیل $R: 0 \leq u, v \leq \pi/4$ تخصیص یافته است. هر يك از جملههای فرمول گاوس-بونه را جداگانه در مورد X محاسبه کنید.

۶. اگر $F: M \rightarrow N$ يك نگاشت از رویههای فشرده جهتدار باشد، بنا بر تعریف، d_F درجه F ، عبارت است از خارج قسمت مساحت جبری $F(M)$ بر مساحت N . بدینسان d_F نمایشگر مجموع جبری تعداد دفعاتی است که F رویه M را به دور N می پیچد. اگر M يك رویه فشرده جهتدار در E^3 باشد، قضیه هوفف را ثابت کنید: d_F درجه نگاشت گاوسی، برابر است با عدد صحیح $\chi(M)/2$. (می توان نشان داد که درجه همواره يك عدد صحیح است.)

يك ناحیه چندبری جهتدار \mathcal{P} در يك رویه M ناحیه ای است جهتدار که دارای تجزیه مستطیلی X_1, \dots, X_k می باشد، و همواره آنها را با جهت مثبت در نظر می گیریم. در این صورت $\partial\mathcal{P}$ مرزی عبارت است از مجموع صوری یالهایی که در مرزهای $\partial X_1, \dots, \partial X_k$ دقیقاً يك بار پدید می آیند. وضعیتی را که در شکل ۵۰.۷ نشان داده شده است کنار می گذاریم، بدینسان $\partial\mathcal{P}$ از خمهای (شکسته) بسته ساده تشکیل می شود. این تعاریف به طوری هستند که اگر α یکی از یالهای موجود در $\partial\mathcal{P}$ باشد، آنگاه $J(\alpha')$ همواره متوجه داخل ناحیه \mathcal{P} است. (این نکته بیان دقیق قاعده اجمالی زیر است: «طوری روی مرز حرکت کنید که این ناحیه همواره در طرف چپ واقع باشد.»)



شکل ۵۰.۷

۷. الف) اگر ϕ يك ۱-فرمی روی ناحیه چندبری

جهتدار \mathcal{P} باشد، تعمیم قضیه استوکس را ثابت کنید

$$\iint_{\mathcal{P}} d\phi = \int_{\partial\mathcal{P}} \phi$$

(اگر $\partial\mathcal{P} = \sum \alpha_i$ ، آنگاه $\int_{\mathcal{P}} \phi$ به معنی $\sum \int_{\alpha_i} \phi$ خواهد بود.) (داهنمایی: لم ۶.۶،

فصل ۴ موجب می شود که برخی از زوجها را همانند آنچه که در برهان قضیه ۸.۸ دیدیم حذف کنیم.)

(ب) نتیجه بگیرید که اگر ϕ یک ۱-فرمی دلخواه روی رویه فشرده جهتدار M باشد، آنگاه $\int_M d\phi = 0$.

(ج) اگر برای یک ناحیه \mathcal{P} دو تجزیه مستطیلی متمایز (با جهت مثبت) در نظر بگیریم، عملاً مرزهای متفاوتی برای \mathcal{P} به وجود می آیند، اما مجموعه نقاط آنها یکی است.

ثابت کنید که به ازای هر ۱-فرمی روی \mathcal{P} ، در هر دو حالت یکی است.

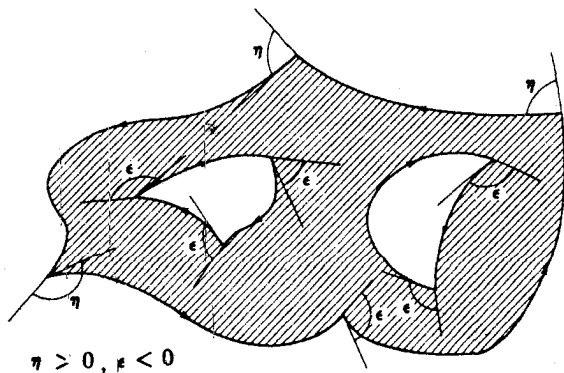
۸. تعمیم قضیه گادس-بوننه). اگر \mathcal{P} یک ناحیه چندبری جهتدار در یک رویه هندسی باشد، ثابت کنید که

$$\iint_{\mathcal{P}} K dM + \int_{\partial\mathcal{P}} \kappa_g ds + \sum \varepsilon_j = 2\pi\chi(\mathcal{P})$$

که در آن $\sum \varepsilon_j$ مجموع زوایای خارجی \mathcal{P} است که در حالت خاص، در مورد ناحیه مستطیلی، در تعریف ۳.۸ بیان شد (شکل ۵۱.۷).

(داهنمایی: با طبقه بندی یالها و رئوس برحسب تعلق آنها به $\partial\mathcal{P}$ و ناحیه داخلی \mathcal{P}

برهان قضیه ۸.۸ را دقیقتر بیان کنید. توجه شود که روی هر خم مرزی بسته ساده، تعداد یالها با تعداد رئوس یکی است.)



$$\eta > 0, \varepsilon < 0$$

شکل ۵۱.۷

۹. ثابت کنید که خواص زیر در مورد يك رویه فشرده جهتپذیر M هم ارزند:

(الف) روی M يك میدان برداری مماس وجود دارد که هیچ گاه صفر نمی شود.

(ب) $\chi(M) = 0$.

(ج) M با يك جنبره دیفرئومرف است.

(د) اهنمایی: برای اثبات (ب) \Rightarrow (الف)، يك ساختار هندسی در نظر گرفته، از تمرین

۷ استفاده کنید. خواص (الف) و (ب) در واقع برای هر خمینه فشرده هم ارزند.

۱۰. (الف) اگر ناحیه R دارای يك تجزیه مستطیلی باشد، يك تجزیه مثلثی از آن به دست

آورده، و نشان دهید که در هر دو مورد $v - e + f$ یکی است.

(ب) در قسمت (الف) جای تجزیه «مستطیلی» و «تجزیه مثلثی» را با هم تعویض کرده،

و همان نتیجه را اثبات کنید.

مفهوم ناحیه ساده (تمرین ۱۲، فصل ۶، بند ۷) را می توان بسا فراهم ساختن این

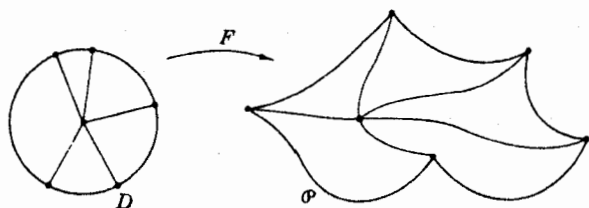
امکان که نگاشت $F: D \rightarrow M$ در n نقطه از دایره $u^2 + v^2 = 1$ دیگر انسیلیدیر نباشد

(اما همچنان پیوسته باشد) تعمیم داد. بدینسان امکان دارد که در $\partial \mathcal{P}$ مرز $\mathcal{P} = F(D)$,

n گوشه به وجود آید. در این حالت \mathcal{P} را يك n ضلعی ($n \geq 0$) می نامند، مشخصه

اولر-پوانکاره برای هر n ضلعی برابر $1 +$ است، زیرا بسا تجزیه مثلثی آن، مطابق

شکل ۵۲.۷، داریم $v - 1 = f = e/2$.



شکل ۵۲.۷

۱۱. اگر \mathcal{P} يك n ضلعی ژئودزیکی جهتدار (یا لهای آن ژئودزیک است) در يك رویه

هندسی باشد، نشان دهید که

$$\iint_{\mathcal{P}} K dM = 2\pi - \sum_{j=1}^n \varepsilon_j = (2-n)\pi + \sum_{j=1}^n \nu_j$$

که در آن ν_j و ε_j به ترتیب، زوایای خارجی و داخلی \mathcal{P} می باشند.

۱۲. (ادامه). (الف) اگر \mathcal{P} يك n ضلعی ژئودزیکی در صفحه باشد، ثابت کنید که $n \geq 3$,

و مجموع زوایای خارجی \mathcal{P} برابر 2π است.

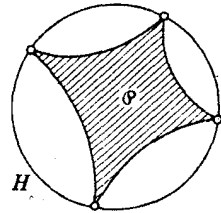
(ب) اگر M يك رویه با خمیدگی گاوسی ثابت $K \neq 0$ باشد، نشان دهید که مساحت

هر چند ضلعی ژئودزیکی به وسیله زوایای خارجی یا داخلی آن معین می گردد.

(ج) در کرة Σ به شعاع r ، يك 3 ضلعی ژئودزیک \mathcal{P} را طوری تعیین کنید که هر يك از زوایای داخلی آن برابر $\frac{3\pi}{2}$ باشد. مساحت \mathcal{P} را بیابید.

۱۳. (الف) ثابت کنید که در يك رویه M با $K \leq 0$ هیچ n ضلعی ژئودزیکی با $n \leq 2$ وجود ندارد. بدینسان، به ویژه هیچ دو ژئودزیکی در M نمی توانند طوری متقاطع باشند که مرز يك ناحیه چند ضلعی ساده را تشکیل دهند.

(ب) روی يك کرة Σ ، به ازای چه مقادیری از n ، $n \geq 0$ ، n ضلعی ژئودزیکی وجود دارد؟ («رئوس قابل حذف» یعنی رئوسی را که زاویه خارجی آنها 0 است به حساب نیاورید.)



شکل ۵۳.۷

۱۴. گیریم \mathcal{P}_n ($n \geq 3$) يك « n ضلعی ژئودزیکی» در صفحه هذلولوی باشد، که رئوس آن روی لبه $4 = v^2 + u^2$ قرار داشته، و بنا بر این در H واقع نباشند (شکل ۵۳.۷). مساحت \mathcal{P}_n را بیابید.

۱۵. (قضیه چرخش هوف). اگر β خم بسته ساده ای در E^2 باشد، آنگاه خمیدگی ژئودزیکی کل β ، برابر $\pm 2\pi$ است. بدینسان مماس یکه T در پیمودن β يك دور کامل می چرخد. این نتیجه را با فرض آنکه β خم مرزی يك ناحیه ساده \mathcal{S} باشد اثبات کنید. (دانهماچی: β يك 0 ضلعی مطابق تعریف بند قبل تمرین ۱۱ می باشد.)

فرض بالا همواره صادق است، اما اثبات آن مستلزم روشهای توپولوژیکی نسبتاً عمیق می باشد.

۹. خلاصه

رویه هندسی، یعنی خمینه ریمانی 2 بعدی، تعمیم صفحه اقلیدسی است که در آن به جای E^2 يك رویه دلخواه، و به جای حاصل ضرب نقطه ای بردارهای مماس، حاصل ضرب داخلی دلخواهی جایگزین شده است. در هندسه ریمانی حاصل، طول يك خم مانند پیش تعریف می شود، و مفهوم مسافت ذاتی را که مستقیماً تعمیم مسافت اقلیدسی معمولی در صفحه است به دست می دهد. شتاب خم نیز يك مفهوم هندسی است، اما چندان روشن نیست که چگونه از ضرب داخلی روی بردارهای مماس می توان به اندازه گیری چرخش خم رسید. این مطلب ۷۰ یا ۸۰ سال بعد از ریمان بسا فرمولهای نسبتاً پیچیده ای برحسب قطعه های مختصاتی تکمیل شد (۲.۴ يك نمونه آن است). در روش کارتان حاصل ضرب داخلی برای تعریف مفهوم میدان سه وجهی به کار می رود، و میزان چرخش میدان سه وجهی برحسب فرم همبندی آن بیان می شود. در این صورت معادله همبندی $E_2(V) = \omega_{12}$ معرف مشتق کوواریانی است و شتاب را به عنوان حالت خاص در برمی گیرد.

در هندسهٔ ریمانی، همانند هندسهٔ اقلیدسی، ژئودزیکها همان خمهای باشتاب صفرند. ژئودزیکها نه تنها مستقیمترین خمها می باشند، بلکه به مفهومی که در بندهای ۵ و ۶ مورد بحث قرار گرفت کوتاهترین خمها نیز هستند. این قاعدهٔ سادهٔ اقلیدسی که «خط مستقیم کوتاهترین مسافت بین دو نقطه است» در بررسی رفتار جدید و پیچیدهٔ ژئودزیکها روی یک رویهٔ هندسی دلخواه، و حتی در مورد رویه‌هایی به سادگی کره یا استوانه چندان مفید نیست. نظرهایی در این باب که تحلیل ژئودزیکها را تا کجا می توان پیش برد، در کتاب میلنور [۷] داده شده است.

لازم است تأکید شود که خمیدگی گاوسی K مهمترین ویژگی هندسی رویهٔ هندسی M می باشد، زیرا چنان که دیدیم تقریباً در هر بررسی هندسی، خمیدگی به هر حال دخالت دارد. در واقع K را می توان، مثلاً بر حسب میدانهای برداری متوازی (هولونومی) یا ژئودزیکهای شعاعی (معادلهٔ ژاکوبی) یا دوایر قطبی تعریف کرد. (در مورد رویه‌های متعلق به E^3 از عملگرشکل استفاده کردیم و توانستیم نگاشت گاوسی را به کار گیریم.) اما در روش کارتان خمیدگی با معادلهٔ ساختاری $d\omega_{\alpha\beta} = -K\theta_{\alpha} \wedge \theta_{\beta}$ تعریف می شود و K را (به مفهومی که قبلاً بحث شد) به عنوان «مشتق دوم» معمولی میدانهای سه وجهی روی M ارائه می کند. همین تعریف مستقیماً ما را به نتیجهٔ مهم و اساسی هندسهٔ ریمانی دوبعدی، یعنی قضیهٔ گاوس-بونه هدایت می کند. علاوه بر نتایج مثلثاتی از قبیل فرع ۱۰.۸، محتوای این قضیه این است که توپولوژی رویه‌ها حداقل در حالت فشردهٔ جهت‌پذیر با خمیدگی معین می گردد.

به طور کلی، نتایج این فصل در مورد خمینه‌های ریمانی با بعد دلخواه n معتبرند، و تعاریف و دلایل در اکثر موارد نیازی به اصلاح ندارند. در حالت ۲ بعدی اثبات برخی از سازگاریها مانند قضایای ۱۰.۲ و ۲.۳ ساده شده است، اما با روشهای پیشرفته تری می توان از آنها صرف نظر کرد. همان گونه که انتظار می رود، بیشترین دشواریها در تعمیم قضیهٔ گاوس-بونه پیش می آید (کتاب همکس [۵] را ببینید)، و در ابعاد (زوج) بالاتر خمیدگی M در آرایش توپولوژیکی M مؤثر است، اما نقش تعیین کننده ندارد.

مراجع و مأخذ

1. H. Flanders, "Differential Forms: With Applications to the Physical Sciences." Academic Press, New York, 1963.
2. G. Birkhoff and S. MacLane, "A Survey of Modern Algebra." Macmillan, New York, 1953.
3. T. J. Willmore, "An Introduction to Differential Geometry." Oxford Univ. Press, London and New York, 1959.
4. R. Courant and H. Robbins, "What is Mathematics?" Oxford Univ. Press, London and New York, 1941.
5. N. J. Hicks, "Notes on Differential Geometry." Van Nostrand, Princeton, New Jersey, 1965.
6. D. J. Struik, "Lectures on Classical Differential Geometry." Addison-Wesley, Reading, Massachusetts, 1961.
7. J. W. Milnor, "Morse Theory." Princeton Univ. Press, Princeton, New Jersey, 1963.
8. S. Lefschetz, "Introduction to Topology." Princeton Univ. Press, Princeton, New Jersey, 1949.

کتابهای ویلمور و استروک از لحاظ دشواری با همین کتاب در یک سطح اند. کتاب هیکس در سطحی مطابق فصل هفتم ما آغاز می کند و گفتار بسیار مختصری از هندسه ریمانی چند بعدی می آورد، در فهرست مأخذ آن تعدادی از بررسیهای دقیقتر درباره این موضوع مندرج است.

جوابهای تمرینات شماره فرد

(این جوابها کامل نیستند و در حالتی که مستلزم برهان بوده فقط به راهنمایی اکتفا شده است.)

فصل ۱

بند ۱

۰۱ (الف) $x^2 y^3 \sin^2 z$ (ج) $2x^2 y \cos z$

۰۳ (ب) $2xe^h \cos(e^h)$ (ج) $h = x^2 + y^2 + z^2$

بند ۲

۰۱ (الف) $-6U_x(\mathbf{p}) + U_y(\mathbf{p}) - 9U_z(\mathbf{p})$

۰۳ (الف) $V = (2z^2/7)U_x - (xy/7)U_y$

(ج) $V = xU_x + 2yU_y + xy^2U_z$

۰۵ (ب) از دستور کرامر استفاده کنید.

بند ۳

۰۱ (الف) ۵، (ب) $7 \cdot 2^7$ ، (ج) $2e^2$

۰۳ (الف) y^3 ، (ج) $yz^2(y^2z - 3x^2)$ ، (د) $2x(y^4 - 3z^5)$

۰۵ از تمرین ۴ استفاده کنید.

بند ۴

$$p = (1, 1, \sqrt{2}) \text{ در آن } \alpha'(\pi/4) = (-2, 0, \sqrt{2})_p \cdot 1$$

$$\beta(s) = (2(1-s^2), 2s\sqrt{1-s^2}, 2s) \cdot 3$$

۵. خطوط در $(11, 7, 3)$ متقاطع اند.

$$\nabla_p = (1, 0, 1)_p \cdot 7$$

$$\alpha(0): t \rightarrow (2, 2t, t) \text{ در } \cdot 9$$

بند ۵

$$-2 \text{ (ج)}, -4 \text{ (ب)}, 4 \text{ (الف)} \cdot 1$$

$$(x dy - y dx) / (x^2 + y^2) \text{ (ب)} \cdot 5$$

۷. الف) $dx - dz$ ، ب) ۱-فرمی نیست، ج) $z dx + x dy$ ، د) $2(x dx + y dy)$ ، ه) ۰، ز) ۱-فرمی نیست.

$$\pm \left(0, 1, \frac{1}{2}\right) \cdot 9$$

۱۱. الف) از تقریب تیلر برای تابع $f(p+tv) \rightarrow t$ استفاده کنید.

$$\text{(ب) دقیق: } 0.4205, \text{ تقریبی: } -\frac{1}{2}$$

بند ۶

$$\phi \wedge \psi = yz \cos z dx dy - \sin z dx dz - \cos z dy dz \text{ (الف)} \cdot 1$$

$$\text{(ب) } d\phi = -z dx dy - y dx dz \text{، توجه شود که بنا بر } 3.6.1$$

$$d(dz) = d(1 \cdot dz) = 0$$

۲. این تعریف را در باره فرمول ذیل ۳.۶.۱ به کار بندید.

$$g = x, f = y \text{ در فرمول قرار دهید.} \cdot 9$$

بند ۷

$$(1, 0), (0, 0) \text{ (ج)}, (3, -1), (-3, 1), (0, 0) \text{ (ب)}, (0, 0) \text{ (الف)} \cdot 1$$

$$(0, 2, \pi) \text{ در } (2, 2, 3) \text{ (ب)}, (0, 0, 0) \text{ در } (2, 0, 3) \text{ (الف)} \cdot 5$$

$$GF = (g_1(f_1, f_2), g_2(f_1, f_2)) \cdot 7$$

۱۱. الف) $F^{-1} = (v, ue^{-v})$ ، ب) $F^{-1} = (u^{1/3}, v + u^{1/3})$

ج) $F \cdot F^{-1} = ((9 - u - 2v)/2, 5 - u - v)$ فقط در حالت‌های الف) و ج) دیفئومرفیسم است، زیرا در ب)، F^{-1} مشتق‌پذیر نیست (به‌ازای $u = 0$).

فصل ۲

بند ۱

۱. الف) -4 ، ب) $(6, -2, 2)$ ، ج) $(1, 2, -1)/\sqrt{6}$ ، $(-1, 0, 3)/\sqrt{10}$ ، د) $2\sqrt{11}$ ، ه) $-2/\sqrt{15}$

۵. اگر $v \times w = 0$ ، آنگاه به‌ازای هر u ، $u \cdot v \times w = 0$ ؛ از تمرین ۴ استفاده کنید.

$$v_7 = v - (v \cdot u)u \cdot v$$

بند ۲

۳. $\beta(s) = (\sqrt{1+s^2}/2, s/\sqrt{2}, \sinh^{-1}(s/\sqrt{2}))$

۵. اگر β_i پایه در t_i ($i = 1, 2$) باشد، آنگاه s_0 برابر طول کمان α از t_1 تا t_2 با علامت مثبت یا منفی است.

۹. ب) لزوم شرط واضح است، برای کفایت آن نشان دهید که تعویض پارامتر با تندی واحد α دارای شتاب صفر است.

۱۱. ب) $L(\alpha) \geq \int_{\alpha}^b \alpha' \cdot u \, dt = \sum \int_a^b \frac{d\alpha_i}{dt} u_i \, dt = (q - p) \cdot u = d(p, q)$

بند ۳

۱. $\kappa = 1$ ، $\tau = 0$ ، $B = (-\frac{3}{5}, 0, -\frac{4}{5})$ ، مرکز $(0, 1, 0)$ ، شعاع ۱.

۷. الف) $|h'| = \|\alpha'(h)h'\| = \|\alpha'(h)\| = 1$ ، از این‌رو $h = \pm 1$
 ب) گیریم $\varepsilon = \pm 1$ ، آنگاه از $\alpha = \alpha(h)$ نتیجه می‌شود $T = \alpha'(h)h' = \varepsilon T(h)$ از این‌رو $\kappa \bar{N} = \kappa(h)N(h)$ ، و غیره.

۹. تصویر قائم روی صفحه B_0 ، N_0 (صفحهٔ نرمال خصم β در $\beta(0)$) عبارت است از $B_0 + \kappa_0(s^2/2)N_0 + \kappa_0 \tau_0(s^3/6)B_0$ (در $s = 0$ بازگشت دارد).

۱۱. از $B = \bar{B}$ ، $\tau N = \bar{\tau} \bar{N}$ ، از این‌رو یا $\tau = \bar{\tau}$ و $N = \bar{N}$ ، یا $\tau = -\bar{\tau}$ و $\bar{N} = -N$.

بند ۴

$$B = (t^2, -2t, 2)/f; \kappa = \tau = 2/f^2 \text{ آنگاه } f = t^2 + 2 \text{ گیریم} \quad ۰.۱$$

$$\tau(0) = \frac{3}{4}, N(0) = (0, -1, 0) \text{ (الف)} \quad ۰.۳$$

$$\gamma(t) = (t - (t^3/6), t^2, -t + (t^3/6)), \mathbf{u} = (1, 0, 1)/\sqrt{2}, \theta = \pi/4 \text{ (الف)} \quad ۰.۹$$

۰.۱۵ (ج) گسترده نیز يك سيكلوئيد است.

$$\alpha'(t) = (f(t) \sin t, f(t) \cos t, f(t)g(t)) \quad ۰.۱۷$$

بند ۵

$$U_1(\mathbf{p}) + 2U_2(\mathbf{p}) + 4U_3(\mathbf{p}) \text{ (ب)}, 2U_1(\mathbf{p}) - U_2(\mathbf{p}) \text{ (الف)} \quad ۰.۱$$

$$8U_1(\mathbf{p}) - 4U_3(\mathbf{p}) \text{ (الف)} \quad ۰.۵$$

بند ۶

۰.۱ نشان دهید که $V \cdot \tilde{W} = 0$ ، و از ۸.۱.۲ استفاده کنید.

$$E_3 = E_1 \times E_2 \text{ و } E_2 = -\sin z U_1 + \cos z U_3 \text{ به عنوان نمونه،} \quad ۰.۳$$

بند ۷

$$\omega_{12} = \omega_{23} = (df)/\sqrt{2}, \omega_{13} = 0 \quad ۰.۱$$

$$\omega_{23} = \sin f df, \omega_{13} = \cos f df, \omega_{12} = -df \quad ۰.۳$$

$$\nabla_1(\sum f_i E_i) = \sum V[f_i] E_i + \sum f_i \nabla_1 E_i, \text{ از (۳) ۴.۵.۲} \quad ۰.۵$$

۰.۷ در يك نقطه دلخواه $\alpha(t) = t\mathbf{p}$ ، \mathbf{p} خمی است با $\|\mathbf{p}\| = \alpha'$. نشان دهید که

$$\|\mathbf{p}\| F_1[\mathbf{p}] = \|\mathbf{p}\|$$

فصل ۳

بند ۱

$$F^{-1} = (T_a C)^{-1} = C^{-1} T_{-a} \text{، از این رو } C^{-1} = {}^{-1}C, (T_a)^{-1} = T_{-a} \quad ۰.۳$$

$$= T_{-C(a)} C^{-1}$$

۰.۵ با استفاده از تمرین ۳، خواهیم داشت $F^{-1}(\mathbf{p}) = (\delta\sqrt{2}, -\delta, 4\sqrt{2})$

بند ۳

۰.۱ اگر F و G دارای قسمتهای متعامد A و B باشند، آنگاه بنا بر ۲.۱.۰۳،

$$\operatorname{sgn}(FG) = \det(AB) = \det A \cdot \det B$$

۰.۵ C دورانی است بدزاویه $\pi/2$ حول محور a .

۰.۲ برای $F(s) = \varepsilon s + s_0$ ؛ $\mathbf{E}' : F = TC$ برای \mathbf{E}^2 ، که در آن

$$C = \begin{pmatrix} \cos \vartheta & -\varepsilon \sin \vartheta \\ \sin \vartheta & \varepsilon \cos \vartheta \end{pmatrix}$$

بند ۴

۰.۱ (ب) بنا بر تعریف، نقطهٔ متناظر متعارف $T(s)$ است، از این رو بنا بر ۱.۲.۰۳،

$C(\tilde{\beta})$ با $F_*(T)$ بردار یکم مماس $F(\beta)$ متناظر می‌گردد.

۰.۵ به‌ازای بردار مماس \mathbf{v} در \mathbf{p} ، $F_*(\nabla_{\mathbf{v}} W) = W(F(\mathbf{p}) + TC(\mathbf{v}))'(0) = \nabla_{F_*(\mathbf{v})} W$

بند ۵

۰.۱ $C(\mathbf{u}_i) = \mathbf{e}_i$ که در آن $\beta = T_p(C(\alpha))$

۰.۳ نتیجه‌ای است از ۷.۵.۰۳

۰.۵ اگر τ متحد صفر نباشد، فرض می‌کنیم $\tau(0) \neq 0$ و از اثبات ۳.۵ استفاده شود.

۰.۷ فرض کنیم $F = TC$ ، که در آن انتقال به‌وسیلهٔ $(0, 0, bs_0/c)$ است و

$$C = \begin{pmatrix} \cos(s_0/c) & -\varepsilon \sin(s_0/c) & 0 \\ \sin(s_0/c) & \varepsilon \cos(s_0/c) & 0 \\ 0 & 0 & \varepsilon \end{pmatrix}$$

که در آن $\varepsilon = \pm 1$. آنگاه $F(\beta) = \beta(\varepsilon s + s_0)$

۰.۹ $\alpha(s) = (\int \cos \varphi(s) ds, \int \sin \varphi(s) ds)$ ، که در آن $\varphi(s) = \int \kappa(s) ds$

۰.۱۱ از تمرین ۹ استفاده کنید.

فصل ۴

بند ۱

۰.۱ (الف) رأس، 0 ، (ب) همهٔ نقاطی که روی دایرهٔ $x^2 + y^2 = 1$ واقع‌اند، (ج) همهٔ

نقاطی که روی محور z واقع اند.

$$0.5 \quad (b) \quad c \neq -1$$

۰۹. از تمرین ۷ استفاده شود.

۰۱۱. q در $F(M)$ واقع است اگر و فقط اگر، $F^{-1}(q)$ در M باشد، یعنی $c = g(F^{-1}(q))$.
با توجه به راهنمایی از قضیه ۴.۱.۴ استفاده کنید.

بند ۲

۰۱. (ج) یکی از امکانات $\mathbf{x}(u, v) = (u, v, u^2 + v^2)$ ؛ نمایش پارامتری مبتنی بر ۵.۲.۴
یک نقطه از رویه را حذف می‌کند.

$$0.5 \quad \mathbf{x}_u \times \mathbf{x}_v = 2v\delta' \times \delta$$

۰۷. (ب) خطوط مستقیم (مولدها) و مارپیچها، (ج) $M: x \sin(z/b) = y \cos(z/b)$

$$0.9 \quad \mathbf{x}(u, v) = (\cos u - v \sin u, \sin u + v \cos u, v)$$

۰۱۳. (الف) اگر g' هیچ‌گاه ۰ نشود، با تعویض پارامتر خم نیمرخ، $u \rightarrow (u, f(u), 0)$
به‌دست آورده و از ۵.۲.۴ استفاده کنید.

بند ۳

$$0.1 \quad (الف) \quad r^2 \cos^2 v, \quad (ب) \quad r^2(1 - 2 \cos^2 v \cos u \sin u)$$

۰۳. (الف) \vec{u} و \vec{v} توابع مختصاتی اقلیدسی $\mathbf{x}^{-1}\mathbf{y}$ هستند.

(ب) $\mathbf{y} = \mathbf{x}(\vec{u}, \vec{v})$ را بر حسب مختصات اقلیدسی بیان کنید، و مشتق بگیرید.

۰۵. (الف) معادله M به صورت $z - f(x, y) = 0$ است، و $\nabla g = (-f_x, -f_y, 1)$ است، و
۷ بر M در \mathbf{p} مماس است اگر و فقط اگر، $\nabla g(\mathbf{p}) = 0$.

۰۷. $\nabla g = (-y, -x, 1)$ یک میدان برداری قائم است؛ V یک میدان برداری مماس
است اگر و فقط اگر، $\nabla g = 0$ ، به‌عنوان مثال، $V = (x, 0, z)$.

۰۹. (الف) $T_p(M)$ شامل همه نقاط \mathbf{r} است به طوری که $\mathbf{r} \cdot \mathbf{z} = 0$ ؛ بنابراین \mathbf{v}_p
در $T_p(M)$ است (یعنی، $\mathbf{v} \cdot \mathbf{z} = 0$) اگر و فقط اگر، $\mathbf{p} + \mathbf{v}$ در $T_p(M)$ باشد.

$$0.11 \quad (الف) \quad 2\pi$$

بند ۴

$$0.3 \quad d(f\phi)(\mathbf{x}_u, \mathbf{x}_v) = \frac{\partial f(\mathbf{x})}{\partial u} \phi(\mathbf{x}_v) - \frac{\partial f(\mathbf{x})}{\partial v} \phi(\mathbf{x}_u) +$$

$$f(\mathbf{x}) \left[\frac{\partial}{\partial u} \phi(\mathbf{x}_v) - \frac{\partial}{\partial v} \phi(\mathbf{x}_u) \right]$$

$$= (df \wedge \phi + f d\phi)(\mathbf{x}_u, \mathbf{x}_v)$$

۵. اگر α خمی با سرعت اولیه \mathbf{v} در \mathbf{p} باشد، آنگاه

$$\mathbf{v}_p[g(f)] = (gf\alpha)'(\circ) = g'(f\alpha)(\circ)(f\alpha)'(\circ) = g'(f(\mathbf{p}))\mathbf{v}_p[f]$$

۷. روی فصل مشترک \mathcal{U}_i و \mathcal{U}_j ، $df_i - df_j = d(f_i - f_j) = 0$

$$\tilde{du}(\mathbf{x}_u) = \mathbf{x}_u[\tilde{u}] = \frac{\partial(u(\mathbf{x}))}{\partial u} = \frac{\partial u}{\partial u} = 1 \quad (ب) \quad ۹.$$

بند ۵

۱. اگر $\mathbf{x}: D \rightarrow M$ يك قطعه مختصاتی باشد، آنگاه $F(\mathbf{x}): D \rightarrow N$ (بنا بر ۲.۳) يك نگاشت مشتقپذیر است. بنا بر این $\mathbf{y}^{-1}F\mathbf{x}$ به ازای هر قطعه مختصاتی \mathbf{y} در N مشتقپذیر است.

۳. اگر $\bar{\mathbf{x}}$ و $\bar{\mathbf{y}}$ به ترتیب قطعه‌های مختصاتی در M و N باشند، آنگاه $\bar{\mathbf{y}}^{-1}F\bar{\mathbf{x}} = (\bar{\mathbf{y}}^{-1}\mathbf{y})(\mathbf{x}^{-1}\bar{\mathbf{x}})$ است.

$$\cdot \mathbf{x}^*(v) = r^3 \sin^2 v \cos v \, du \, dv \quad (ب) \quad ۷.$$

۱۱. تنها (الف) دیفرانسیل پذیر نیست.

$$F_*(a\mathbf{x}_u + b\mathbf{x}_v) = ay_u + by_v \quad (ب) \quad ۱۳.$$

بند ۶

$$۲\pi n \quad (ب) \quad ۷, \quad ۲\pi m \quad (الف) \quad ۷.$$

$$\int_{\alpha} \phi = \int_{\mathbf{x}} d\phi, \quad (ب) \quad ۱۳.$$

۱۵. با استفاده از خاصیت همبندی ساده فرمولی را که در راهنمایی آمده است اثبات کنید. شکل ۴۶.۴ را ببینید.

بند ۷

۱. (الف) همبند، فشرده نیست، (ج) همبند و فشرده، (ه) همبند، فشرده نیست.

۳. اگر v روی N صفر نشود، نشان دهید که $v \in F^*$ روی M صفر نمی‌شود.

۵. (الف) اگر Z قائمی باشد که صفر نشود، آنگاه قرار دهید $\pm U = \pm Z / \|Z\|$.
 اگر V يك قائم يکۀ دلخواه باشد، بنویسید $V = (V \cdot U)U$ و از تمرین ۴ (ب) استفاده کنید.

(ب) نگاره $x(D)$ يك قطعه مختصاتی است، با فرض همبندی D .

۹. (ج) از تمرین ۷ استفاده کنید.

بند ۸

۱. وجه دیگری از این برهان در ۷.۴ برای نوار مویوس آمده است.

۹. $(x \times y)^{-1}(\bar{x} \times \bar{y}) = (x^{-1}\bar{x}) \times (y^{-1}\bar{y})$ ، تابعی ديفرانسیبلپذیر است.

فصل ۵

بند ۱

۱. از روش ۱ متن استفاده کنید.

۳. (الف) ۲، (ج) ۱

بند ۲

۱. (ب) اگر $e_1, e_2 = (u_1 \pm u_2) / \sqrt{2}$ ، آنگاه $S(e_1) = e_1$ و $S(e_2) = -e_2$

بند ۳

۵. (ب) يك بیضی در يك طرف، و در طرف دیگر نقطه‌ای نیست؛ دو شاخه يك هذلولی (مجانبه‌های آن همان دوخط قسمت (الف) است)؛ دوخط موازی در يك طرف، و در طرف دیگر نقطه‌ای نیست.

۷. (الف) اگر α خمی در M با سرعت اولیه v در p باشد، آنگاه در $F(p)$ ،
 $F_*(v) = F(\alpha)'(0) = (\alpha + \varepsilon U_\alpha)'(0) = v - \varepsilon S(v)$

بند ۴

۵. $K = -36r^2 / (1 + 9r^4)^2$ ؛ مینیمال نیست

۷. تندی را از $a'_1 x_u + a'_2 x_v$

۱۳. $p = x(u, v)$ نافی است اگر و فقط اگر در (u, v) ، $S(x_u) = kx_v$ و $S(x_v) = -kx_u$ در x_u و x_v ضرب نقطه‌ای کنید.

۱۵. (الف) هیچ، زیرا $0 < K$ ، (ب) مبدأ (نقطه‌ای مسطح)

$$(ج) \left(0, \pm \frac{b}{4} \sqrt{a^2 - b^2}, \frac{a^2 - b^2}{4} \right) \text{ به‌ازای } a \geq b$$

بند ۵

۳. نصف النهار α در صفحه عمود بر M در طول α واقع است، بنابراین α'' برای این صفحه مماس است، و (با نمایش پارامتری با تندی ثابت) بر α' عمود است؛ بدینسان α'' عمود بر M می‌باشد.

۷. $S(T) = -U'$ ؛ از این رو بنا بر بسط متعامد یکانی، $U' = -S(T) \cdot TT - S(T) \cdot VV$ ادامه مانند برهان فرمول فرنه است.

۱۵. روی مولد مار بر $\sigma(u)$ ، از فرمول K در تمرین ۱۴ نتیجه می‌شود که یا K متحد با صفر است، یا $0 < K$ دارای مقدار مینیم $1/p(u)$ در $\sigma(u)$ می‌باشد و هنگامی که $v \rightarrow \pm\infty$ ، K به‌طور متقارن به صفر می‌گراید.

۱۷. (الف) به‌ازای $(u, 0, 0) + v(0, 1, u)$ ؛ محور x ، با $p(u) = 1 + u^2$. (ب) از تمرین ۱۵ استفاده کنید. به‌ازای u ثابت، $K = -(1 + u^2 + v^2)^{-2}$ متناظر با $v = 0$ مینیم است.

۱۹. (ج) $x = \alpha + v\delta$ استوانه‌ای نیست، و می‌توان فرض کرد که α یک خم تنجش است (با تندی واحد). اما $\alpha' \cdot \delta \times \delta' = 0$ (زیرا $K = 0$) و $\alpha' \cdot \delta' = 0$ (تنجش)، بنا بر این $\alpha' = T$ و δ همخط‌اند.

بند ۶

$$1. K = (1 - x^2)(1 + x^2 \exp(-x^2))^{-2}$$

۳. از نتایج ۲.۵ استفاده کنید. توجه شود که نصف النهارها مقاطع قائم هستند.

۵. M دارای نمایش پارامتری $x(u, v) = (u \cos v, u \sin v, f(u))$ است.

۷. با نمایش پارامتری معمول، استدلال مشابه با ۲.۶.۵ به حالت‌های نهایی منجر می‌شود: یا g' همواره صفر است، یا g' هیچ‌گاه صفر نیست. در حالت اول، M بخشی از صفحه (حالت خاصی از مخروط) است.

۹. (ج) اگر $y = f(x)$ دارای نمایش پارامتری با تندی واحد (g, h) باشد، که در آن $h(u) = ce^{-u/c}$ ، نشان دهید که f (نه h) در معادله دیفرانسیل ۶.۶.۶ صدق می‌کند.

فصل ۶

بند ۱

۱. الف) $\alpha'' = \omega_{12}(T)E_1 + \omega_{13}(T)E_2$ ، بنابراین α'' عمود بر M است اگر، و فقط اگر، $\omega_{12}(T) = 0$ ،

۵. اگر میدان سه وجهی استوانه‌ای را به M تخصیص دهیم و اندیسهای ۱ و ۳ معکوس شوند، میدان سه وجهی (۱) از ۳.۱.۶ به دست می‌آید. با محاسبات موجود در ۷.۴،

$$\omega_{12} = \omega_{13} = 0, \quad \omega_{23} = -d\theta$$

بند ۲

$$\psi = \psi(E_1)\theta_1 + \psi(E_2)\theta_2 = -h_1\theta_1 + h_2\theta_2 \quad (الف) \quad ۳$$

$$\zeta = h_1\omega_{23} - h_2\omega_{13} \quad (ب)$$

بند ۳

۱. اگر $K = H = 0$ ، $k_1 k_2 = k_1 + k_2 = 0$ بدینسان $k_1 = k_2 = 0$ و $S = 0$.

۳. فرض کنیم $k_1 \neq k_2$ ، و با استفاده از لم هیلبرت (۶.۳) به یک تناقض می‌رسیم.

۵. در حالت $k_1 \neq k_2$ ، با استفاده از ۷.۲.۶ نشان دهید که، مثلاً $k_1 = 0$. بنا بر تمرین ۲، k_1 خمهای اصلی خطوط مستقیم هستند. نشان دهید که k_2 خمهای اصلی دایره می‌باشند، و (k_1) خطوط مستقیم موازی در E^3 هستند.

بند ۴

۱. الف) $(b) \Rightarrow (d)$: اگر u یک بردار مماس دلخواه در p باشد، آنگاه $u = av + bw$ ، بنا بر این

$$\|F_*u\|^2 = a^2\|F_*v\|^2 + 2abF_*v \cdot F_*w + b^2\|F_*w\|^2 =$$

$$a^2\|v\|^2 + 2abv \cdot w + b^2\|w\|^2 = \|u\|^2$$

۳. اگر α قطعه خمی از $(-1, 0, 0)$ به $(1, 0, 0)$ به طول ۲ باشد، آنگاه بنا بر تمرین مذکور، α نمایش پارامتری یک قطعه خط مستقیم است و این غیرممکن است، چون α باید در M باشد.

۵. الف) تعریف می‌کنیم $F(\alpha(u) + vT_\alpha(u)) = \beta(u) + vT_\beta(u)$ (ب) β را در E^2 با همان تابع خمیدگی انتخاب می‌کنیم.

۷. الف) ملاک (الف) به صورت $F_*(v) \cdot F_*(w) = \lambda^2(p)v \cdot w$ درمی‌آید؛ ملاک (ج)

به صورت $F_*(e_i) \cdot F_*(e_j) = \lambda^2(p) \delta_{ij}$ درمی آید.

۱۱. برای انتخاب پارامتر مناسب بنویسید $F(x(u, v)) = \bar{x}(a(u), b(v))$.

۱۳. برای y ، نشان دهید که شرایط $E = G$ و $F = 0$ هم ارز با $g' = \cos g$ هستند، که دارای جواب $g(v) = 2 \tan^{-1}(e^v) - (\pi/2)$ است به طوری که $g(0) = 0$. از تمرین ۷ استفاده کنید.

۱۵. $F(x(u, v)) = (f(u) \cos v, f(u) \sin v)$ ، که در آن x یک نمایش پارامتری

$$f(u) = \exp\left(\int_1^u (dt/h(t))\right) \text{ و متعارف است}$$

بند ۵

۱. اگر $E_1 = \alpha'$ در طول α ، آنگاه $E_1 = F_*(E_1) = F_*(\alpha')$ در طول $F(\alpha)$. از ۳.۵.۶ استفاده کنید.

۳. ایزومتري موضعی از رویه زیني $(-1 \leq K < 0)$ M روی یک کاتوئید بسا $-1 \leq \bar{K} < 0$ وجود ندارد، زیرا K یک نقطه مینیمم منفرد (دره) دارد اما \bar{K} همه مقادیر خود را روی تمام دواير اختیاری کند. (مثالهای بسیاری وجود دارد.)

۵. (ب) از ۵.۴.۶ نتیجه می شود، زیرا برای x_t داریم $E_t = \cos h^2 u = G_t$ ، و $F_t = 0$ (مستقل از t).

(د) برای $M_t: U_t = (s, -c, S)/C$ ، مختصات اقلیدسی U_t از t مستقل اند.

بند ۶

۱. (ب) $K = 1/(1+u^2)^2$ ، $\omega_{12} = dv/\sqrt{1+u^2}$ ، $\theta_2 = u dv$ ، $\theta_1 = \sqrt{1+u^2} du$

$$\omega_{12} = -v_u du \quad ۳$$

بند ۷

۳. (الف) $A = (2\pi/3)\{(1+c^2)^{3/2} - 1\}$ ، (ب) ∞

۵. (الف) از نمایش پارامتری متعارف استفاده کنید؛ آنگاه

$$x^*(K dM) = (-h''/h)(h du dv) = -h'' du dv$$

$$h' = \sin \varphi$$

(ج) برای رویه شیپوری، $\lim_{a \rightarrow 0} \varphi_a = -1$ ، $\lim_{b \rightarrow \infty} \varphi_b = 0$

۷. از تمرین ۵ استفاده کنید. در لبه همه این رویه ها $h' = \sin \varphi \rightarrow \pm 1$ برای $K = 1/c^2$ (۵.۶.۵): در حالت (۲)، $TC = 2\pi a/c$ ، $A = 2\pi a c$ ؛ در حالت (۳)،

دارای M_a : (تمرین ۹ از ۶.۵): $A = 4\pi c^2$, $TC = 4\pi$ برای $K = -1/c^2$
 $TC = -4\pi$ دارای M_b , $TC = 2\pi(a-c)/c$

۰۹. (الف) از تمرین ۱۴ در ۵.۵ استفاده کنید.

$$\int_{-\infty}^{\infty} \frac{p^2}{-(p^2 + v^2)^{3/2}} dv = 2$$

۰۱۱. تعریف می‌کنیم $X(u, v) = F((1-u)\cos v, (1-u)\sin v)$ روی $0 \leq v \leq 2\pi$
 $R: 0 \leq u \leq 1$,

۰۱۳. قائم برون سوی، $H = -1/r$ ، و $h = r$

۰۱۵. در صورت لزوم V و W را بر طولشان تقسیم می‌کنیم، می‌توان فرض کرد که میدانهای برداری یکه‌اند. بدینسان $V, U \times V$ یک میدان سه‌وجهی مماسی روی α است. از بسط متعامد نتیجه می‌شود که اگر $f = W \cdot V$ و $g = W \cdot U \times V$ ، آنگاه $f^2 + g^2 = 1$

۰۱۷. (الف) از $\|F \cdot v \times F \cdot w\| = |J| \|v \times w\|$ استفاده کنید.

۰۱۹. (الف) F هر تقسیم M را که دارای جهت مثبت باشد به یک تقسیم رویه N با جهت مثبت بدل می‌کند.

(ب) اگر $F: M \rightarrow \bar{M}$ یک ایزومتري باشد، M و \bar{M} را طوری جهت‌دار کنید که جهت را حفظ کند (توضیح زیر تمرین ۴ را ببینید). آنگاه

$$\iint_{\bar{M}} \bar{K} d\bar{M} = \iint_M F^*(\bar{K} d\bar{M}) = \iint_M \bar{K}(F) F^*(d\bar{M}) = \iint_M K dM$$

بند ۸

۰۱. اگر N با کره Σ به شعاع r ایزومتریک باشد، نشان دهید که N فشرده است و دارای $K = 1/r^2$. بدینسان بنا بر قضیه لیبنز، N نیز یک کره به شعاع r است، از این رو با یک انتقال ثابت می‌شود که N با Σ قابل انطباق است.

۰۳. جز در مورد ژئودزیکها، نتیجه فوراً با استفاده از عوامل شکلی به دست می‌آید. تنها خمیدگیهای گاوسی و ژئودزیکها باید به وسیله ایزومترهای دلخواه حفظ شود (تمرین ۱، ۵.۶، و قضیه فوق‌العاده).

۰۵. (ب) جهتی که با U — مشخص می‌شود.

۰۹. از قضیه فوق‌العاده نتیجه بگیرید که تقارن اقلیدسی F از M باید مبدأ را حفظ کند، بنابراین F متعامد است. اثر آن را روی سه وجهی طبیعی بررسی کنید.

فصل ۷

بند ۱

۱. (ب) $\alpha' \circ \alpha' = \alpha' \cdot \alpha' / g^\gamma(\alpha)$ مربع تندی است.

۳. (ب) فرض کنیم E_1 و E_2 میدانهای برداری روی $x(D)$ که به وسیله x_u / \sqrt{E} و $V / \|V\|$ تعیین می‌شوند باشد، که در آن $V = x_v - (F/E)x_u$ (روش گرام-اشمیت).

۵. (الف) نشان دهید که تعریف $J(E_2) = -E_1$ ، $J(E_1) = E_2$ مستقل از جهت مثبت انتخابی میدان سه‌وجهی است. (هر دو نای آنها دارای یک جهت‌اند به مفهومی که پیش از ۴.۱.۷ تعریف شد.)

(ب) به ازای $J^2 = -I$ نشان دهید که $J(J(E_i)) = -E_i$

۷. (الف) $F_u U_1 + g_u U_2$ ، $F_v U_1 + g_v U_2$ (از تمرین ۶ استفاده کنید).

(ب) مشتق تابع مختلط $F = f + ig$ برابر است با $dF/dz = f_u + ig_u$. بدینسان اندازه $|dF/dz|$ برابر است با $(f_u^2 + g_u^2)^{1/2}$ که با استفاده از معادلات کوشی-ریمان به صورت‌های مختلفی نوشته می‌شود.

بند ۲

$$\theta_1 = dv/v, \theta_2 = du/v \quad ۱$$

۳. $A(H) = \infty$ ؛ (محاسبه E ، F ، G مانند مثال ۱۱.۴ است)؛ $A = \pi r^2 / \left(1 - \frac{r^2}{\rho}\right)$

۵. $E = G = 1$ و $F = 0$ ، بنابراین $A = 4\pi^2$. می‌توان با در نظر گرفتن ساختار هندسی دیگر E و G را برابر هر عدد مثبتی گرفت.

۷. نشان دهید که نمایش پارامتری x_0 در تمرین ۵ از ۵.۶ یک ایزومتري است.

بند ۳

۱. توجه شود که تخصیص $E_i = r U_i$ به α برابر است با $r \sin t U_1$ ، بدینسان $\alpha' = -E_1 + \cot(t) E_2$. چون مقدار $\omega_{12} = du/v$ روی α' برابر ۱- است، از فرمول مشتق کوواریان نتیجه می‌شود که $\cot^2(t) E_2 - \cot(t) E_1 = \alpha''$.

۳. توجه شود که در برهان مذکور دارای $E_1 E_2 = S(V)$ ، $E_1 E_2 = \omega_{12}(V) E_2 = -\nabla_v E_2 \cdot E_1 E_2$

۵. (الف) از اثبات ۶.۳.۷ نتیجه می‌شود که زاویه هولونومی α برابر است با

$$-\int_a^b \omega_{12}(\alpha') dt = -\int_a^b \omega_{12}$$

از قضیه استوکس استفاده کنید، یادآوری می‌کنیم که $d\omega_{12} = -K dM$ (نخستین معادله ساختاری).

$$Y' = f' E_1 + f \omega_{21}(\alpha') E_2 \quad \bullet Y$$

$$\text{بنابراین } F_*(Y') = f' E_1 + f \omega_{21}(\alpha') E_2 \quad F_* Y = \bar{Y} = f E_1$$

$$\bar{Y}' = f' E_1 + f \bar{\omega}_{21}(F_* \alpha') E_2 \quad \text{از ۳.۵.۶ استفاده کنید.}$$

۱۱. روی هرنایچه جهتپذیر دارای طول ثابت c است، نشان دهید که میدان سدوجهی W روی $E_2 = J(E_1)$ ، $E_1 = W/c$ دارای فرم همبندی صفر، و در نتیجه دارای خمیدگی صفر است.

بند ۴

$$\bullet \alpha(h)'' = \alpha'(h)h'' \quad \text{چون } \alpha'' = 0 \text{ است،}$$

۳. از تمرین ۶ بند ۳ استفاده کنید.

۵. همه دوائر اقلیدسی از قطب شمال می‌گذرند، چون در تصویر منظری با خطوط مستقیم صفحه متناظرند.

۹. با استفاده از معادلات α' و α'' که در متن آمده است، داریم $J(\alpha') = J(vT) = vN$ ، از این رو $J(\alpha') = \kappa_g v^2 \alpha''$.

$$\bullet a'_1 = \frac{\sqrt{G-c^2}}{\sqrt{EG}} \geq A_c > 0, \quad u_0 \leq u \leq u_1 - \epsilon \quad \text{(الف) به ازای } \epsilon$$

(ب) اگر متقاطع باشند، آنگاه α' و β' همخطاند، از این رو بنا بر ۲.۴.۷، α و β مساوی‌اند (تنها اختلاف در نمایش پارامتری است) - و این غیرممکن است.

۱۳. (الف) بسا نمایش پارامتری معمولی رویه دورانی، $G = h^2$ (h مسافت از محور دوران)، و خمهای پارامتر u نصف النهارند، بنابراین $c = h \sin \varphi$.

(ب) از تمرینات ۱۱ و ۱۲ نتیجه می‌شود، زیرا چنین مداری يك خم مرزی است.

۱۵. آشکار است که نصف النهارات بد لبه نزدیک می‌شوند (در يك جهت). با استفاده از تمرین ۱۳ نشان دهید که هر ژئودزیک دیگر يك خم مرزی را قطع می‌کند و از هر دو جهت بد لبه نزدیک می‌شود.

$$\bullet |\sin \varphi_0| < 1/\cosh u_0 \quad \bullet 12$$

$$\bullet \kappa_2 = h'/h, \quad \kappa_1 = 0 \quad \text{(ب) استفاده کنید، ۲.۲.۶} \quad \bullet 19$$

بند ۵

$$\bullet \rho(o, p) = \tanh^{-1}(\|p\|/2) \quad \text{نرم اقلیدسی.} \quad \bullet 1$$

۷. برای اثبات آنکه يك رويه M دارای سه وجهی همگن نیست کافی است (بنابر دلیلی که در متن برای استوانه داده شد) نشان دهیم که M دارای ژئودزیکهایی است که برخی يك به يك اند و برخی نیستند. توجه شود که x در $5.2.7$ يك ایزومتري موضعی است.

۹. اگر L طول کمان بیضي باشد، نشان دهید که $F(x(u, v)) = x(u + (L/4), v)$ يك ایزومتري M است که مسافت اقلیدسی را حفظ نمی کند.

۱۱. بنابر تمرین ۸ (ب)، F تخصیص يسک تبدیل خطی (متعامد) بسه Σ است، بنابراین $F(-p) = -F(p)$. بدینسان می توان قرارداد $\{F(p), F(-p)\}$ و همگنی سه وجهی Σ را از همین خاصیت Σ نتیجه گرفت.

۱۳. این تابع يك همسانی است، بنا بر این کافی است يك به يك بودن آن را اثبات کنیم. اما در اثبات ۳.۸.۶، اگر M در صفحه واقع نباشد (بس $S \neq 0$)، آنگاه F یکناست.

بند ۸

۱. در (الف) و (ج) رويه با کره ديفنومرف است، بنا بر این $TC = 4\pi$. در (ب) چهار دسته وجود دارد، بنا بر این $TC = -12\pi$.

۳. (الف) به ازای $h = 1$: اگر K هیچ گاه صفر نباشد، آنگاه بنا بر یکی از تمرینات قبل یا $K > 0$ یا $K < 0$ ؛ که هر دو غیر ممکن است، زیرا بنا بر ۹.۸.۴، $\iint_M K dM = 0$.

(ب) بنا بر ۵.۳.۶، K در ناحیه ای مثبت است. اما M دارای حداقل يك دسته است، بنا بر این

$$\iint_M K dM \leq 0$$

از این رو K در ناحیه ای منفی است.

$$\iint_x K dM = - \int_{\partial x_{k\ell}} ds = \pi/4\sqrt{2} \quad 5$$

۷. (الف) اگر x_1, \dots, x_k يك تجزیه جهند ر مثبت باشد، آنگاه بنا بر قضیه استوکس (۵.۶.۴) داریم $\int_{\partial \mathcal{P}} d\phi = \sum \int_{x_i} d\phi = \sum \int_{\partial x_i} \phi$ اما به ازای یالهایی که در $\partial \mathcal{P}$ نیستند، از ۶.۶.۴ نتیجه می شود که دو به دو حذف می گردند.

(ج) اگر x_i و y_j دو تجزیه جهند ر مثبت باشند، آنگاه بنا بر توضیح ذیل ۵.۷.۶، داریم

$$\sum \int_{\partial y_j} \phi = \sum \int \int_{\partial y_j} d\phi = \sum \int \int_{\partial x_i} d\phi = \sum \int_{\partial x_i} \phi$$

۹. (ب) \Rightarrow (الف): هر ساختار هندسی روی M (که وجود داشته باشد) را می‌توان طوری تغییر داد که میدان برداری E_1 که هیچ‌گاه صفر نمی‌شود دارای طول واحد باشد، آنگاه E_1 ، $J(E_1)$ یک میدان سه‌وجهی است. فرم همبندی آن روی تمام

$$2\pi \chi(M) = \iint_M K dM = - \iint_M d\omega_{12} = 0$$

۱۱. نتیجه‌ای است از تمرین ۸.

۱۳. بنا بر یکتایی ژئودزیکها، زوایای داخلی چندضلعی ژئودزیکی نمی‌تواند $\pm \pi$ باشد (یعنی، نقطه بازگشت وجود ندارد). بنا بر این $-\pi < \epsilon < \pi$. از تمرین ۱۱ استفاده کنید.

(ب) به ازای هر $n \neq 1$ (به ازای $n = 0$ ، یک دایره عظیمه).

واژه‌نامه

| | |
|-----------------------|----------------------------|
| Lagrange identity | اتحاد لاگرانژ |
| parallel postulate | اصل موضوع توازی |
| pointwise principle | اصل نقطه‌ای |
| principal direction | امتداد اصلی |
| asymptotic directions | امتدادهای مجانبی |
| parallel translation | انتقال موازی |
| improper integral | انتگرال ناسره |
| congruence of curves | انطباق خمها |
| local isometry | ایزومتري موضعی |
| canonical isomorphism | ایزومرفیسم متعارف |
| unite vector | بردار یکه |
| principal vectors | بردارهای اصلی |
| orthogonal vectors | بردارهای متعامد |
| pullback | برگشت |
| orthogonal expansion | بسط متعامد |
| ellipsoid | بیضیگون |
| binormal | بی‌نرمال |
| paving | پوشش فرشی |
| pre-geodesic | پیمچس ← تاب پیش ژئودزیک |

| | |
|--------------------------------|-----------------------|
| torsion | تاب م: پیچش |
| angle function | تابع زاویه‌ای |
| orthogonal transformation | تبدیل متعامد |
| rectangular decomposition | تجزیه مستطیلی |
| stereographic projection | تصویر منظری |
| reparametrization | تعویض پارامتر |
| reflection | تغییر مکان ← حرکت صلب |
| quadratic approximation | تقارن محوری |
| Frenet approximation | تقریب درجه دوم |
| speed | تقریب فرنه |
| Euclidean coordinate functions | تندی |
| natural coordinate functions | توابع مختصاتی اقلیدسی |
| | توابع مختصاتی طبیعی |
| isometric imbedding | جاده‌ی ایزومتریک |
| orientation | جهت‌دهی |
| flat torus | چنبره هموار |
| triple scalar product | حاصلضرب اسکالرسه‌گانه |
| inner product | - داخلی |
| induced inner product | - داخلی القایی |
| cartesian product | - دکارتی |
| wedge product | - گروه‌ای |
| dot product | - نقطه‌ای |
| rigid motion | حرکت صلب |
| | م: تغییر مکان |
| principal curve | خم اصلی |
| unit speed curve | - با تندی واحد |
| spherical curve | - کروی |
| edge curve | - مرزی |
| cross-sectional curve | - مقطع عرضی |
| director curve | - هادی |

| | |
|-------------------------------|--------------------------|
| bending | خمش |
| asymptotic curves | خمهای مجانبی |
| parallel curves | خمهای موازی |
| Geodesic curvature | خمیدگی ژئودزیک |
| normal curvature | - قائم |
| total curvature | - کلی |
| Gaussian curvature | - گاوسی |
| mean curvature | - متوسط |
| principal curvatures | خمیدگیهای اصلی |
| manifold | خمینه |
| osculating circle | دایره بوسان |
| Frenet apparatus | دستگاه فرنه |
| handle | دسته |
| tangent bundle | دسته مماس |
| Kronecker delta | دلتای کرونگر |
| rotation | دوران |
| geodesically complete surface | رویه به طور ژئودزیک کامل |
| orientable surface | - جهتپذیر |
| ruled surface | - خطکشی |
| quadric surface | - درجه دوم |
| surface of revolution | - دورانی |
| saddle surface | - زینی |
| frame-homogeneous surface | - سه وجهی همگن |
| bugle surface | - شیپوری |
| pavable surface | - فرشپذیر |
| immersed surface | - فروبرده شده |
| compact surface | - فشرده |
| all umbilic surface | - کلاً نامی |
| connected surface | - همبند |
| flat surface | - هموار |
| parallel surfaces | رویههای موازی |
| oriented angle | زاویه جهتدار |

| | |
|--------------------------|----------------------|
| coordinate angle | زاویه مختصاتی |
| monkey saddle | زین میمون |
| scale factor | سازه مقیاس |
| initial velocity | سرعت اولیه |
| elliptic paraboloid | سه‌میگون بیضوی |
| orthogonal frame | سه وجهی متعامد |
| orientation - reversing | سو برگردان |
| orientation - preserving | سونگهدار |
| patchlike | شبه قطعه مختصاتی |
| pseudosphere | شبه کره |
| acceleration | شتاب |
| osculating plane | صفحه بوسان |
| projective plane | صفحه تصویری |
| hyperbolic plane | صفحه هذلولوی |
| arc length | طول ← نرم طول قوس |
| shape operation | عامل شکلی |
| winding number | عدد چرخش |
| open interval | فاصله باز |
| isometric immersion | فروبری ایزومتریک |
| connection forms | فرمهای همبند |
| differential forms | فرمهای دیفرانسیل |
| dual 1-forms | ۱-فرمیهای دوگان |
| principal normal | قائم اصلی |
| alternation rule | قاعده تناوبی |
| vector part | قسمت برداری |
| coordinate patch | قطعه مختصاتی |
| geographical patch | قطعه جغرافیایی |

| | |
|-------------------------------|----------------------|
| Monge patch | — مونژ |
| domain | قلمرو |
| evolute | گسترده |
| tube | لوله |
| attitude matrix | ماتریس ایستاری |
| Jacobian matrix | — ژاکوبی |
| orthogonal matrix | — متعامد |
| cylindrical helix | مارپیچ استوانه‌ای |
| open set | مجموعه باز |
| orthogonal coordinates | مختصات متعامد |
| boundary | مرز |
| Euclidean distance | مسافت اقلیدسی |
| intrinsic distance | مسافت ذاتی |
| directional derivative | مشتق امتدادی |
| Euler-Poincaré characteristic | مشخصه اویلر-پوانکاره |
| structural equations | معادلات ساختاری |
| connection equations | معادلات همبندی |
| normal section | مقطع قائم |
| unit tangent | مماس یکانی |
| ruling | مولد |
| slant | میل |
| vector field | میدان برداری |
| normal vector field | — قائم |
| unit normal vector field | — قائم یکه |
| parallel vector field | — موازی |
| frame field | میدان سه‌وجهی |
| principal frame field | — اصلی |
| transferred frame field | — انتقالی |
| adapted frame field | — برآزنده |
| toroidal frame field | — چنبره‌ای |
| Frenet frame field | — فرنه |
| spherical frame field | — کروی |

| | |
|---------------------------|-----------------------|
| polygonal region | ناحیه چند بری |
| norm | نرم |
| | مته: طول |
| antipodal points | نقاط متقاطع |
| conjugate points | نقاط مزدوج |
| point of application | نقطه اثر |
| umbilic point | نقطه نافه |
| planar point | نقطه هامنه |
| onto mapping | نگاشت پوشا |
| area-preserving mapping | حافظ مساحت |
| regular mapping | منظم |
| antipodal mapping | نقاط متقاطع |
| identity mapping | همانی |
| conformal mapping | همشکل |
| one-to-one mapping | یک به یک |
| Halmos symbol | نماد هالوس |
| parametrization | نمایش پارامتری |
| Clairaut parametrization | نمایش پارامتری کلرو |
| canonical parametrization | نمایش پارامتری متعارف |
| Möbius band | نوار موبیوس |
| elliptic hyperboloid | هذلولیگون بیضوی |
| neighborhood | همسایگی |
| intrinsic geometry | هندسه ذاتی |

فهرست راهنما

- | | |
|--|--|
| <p>— مشتق ۱۸</p> <p>تبدیل متعامد E^2 ۱۱۵</p> <p>تعبیر صفحه هذلولوی ۲۱۷</p> <p>تعویض پارامتر α ۲۴</p> <p>تغییرناپذیرهای ایزومتریک ۳۰۴</p> <p>تقریب فرنه ۷۱</p> <p>تقارن اقلیدسی ۳۴۰</p> <p>تندی ثابت ۶۲</p> <p>تندی واحد ۶۷</p> <p>توابع زاویه‌ای ۳۳۱، ۶۰</p> <p>توابع مختصاتی اقلیدسی ۱۳، ۲۰، ۲۹، ۶۳، ۴۰</p> <p>توابع مختصاتی طبیعی ۸</p> <p>جاده‌ی ایزومتریک ۴۱۲، ۴۱۴</p> <p>چنبه‌ی دورانی ۱۴۸، ۱۵۷، ۲۶۴</p> <p>چنبه‌ی هموار ۳۵۶</p> <p>چند جمله‌ای مشخصه عملگر خطی ۲۳۲</p> <p>حاصل ضرب</p> <p>— اسکالر ۸</p> <p>— اسکالر سه‌تایی ۵۷</p> <p>— خارجی ۵۶</p> | <p>اصل نقطه‌ای ۱۳</p> <p>امتدادهای مجانبی ۲۵۳</p> <p>انتقال متوازی ۳۶۴</p> <p>ایزومتري در E^3 ۱۱۳، ۱۱۷</p> <p>ایزومتري رویه‌ها در E^3 ۲۹۶</p> <p>ایزومتري موضعی ۲۹۷</p> <p>ایزومرفیسم متعارف ۵۲</p> <p>بخش انتقال ۱۱۷</p> <p>بخش تعامد ۱۱۷</p> <p>بردار سرعت ۲۲</p> <p>بردارهای اصلی ۲۲۵</p> <p>بسط متعامد یکانی ۵۴</p> <p>بهترین تقریب تغییرات ۴۴</p> <p>پارامتر توزیعی ۲۶۰</p> <p>پوشش فرشی ۳۱۷</p> <p>پیش-ژئودزیک ۳۷۲</p> <p>تابع</p> <p>— پیچش ۶۸</p> <p>— خمیدگی ۶۷</p> <p>— طول قوس ۶۱</p> <p>— قائم بکه ۲۳۷</p> |
|--|--|

- داخلی ۹۵
 - داخلی روی يك نضای برداری ۳۴۳
 - دکارتی ۲۱۲
 - گووه‌ای ۱۷۳، ۳۴
 - نقطه‌ای ۵۱، ۵۵
 خم
 - اصلی ۲۵۱
 - انتگرال ۲۱۱
 - تجش ۲۶۰
 - زنجیری ۲۶۵
 - ژئودزیک ۳۷۲، ۳۷۰، ۳۶۷، ۲۵۶
 - مجانبی ۲۵۴
 - مرکزی ۸۸
 - مقطع عرضی ۸۷
 - مقطع قائم ۲۲۲
 خمهای
 - با تندی ثابت ۷۹
 - دوپن ۲۳۵
 - کروی ۷۷
 - کناری ۱۹۲
 - مسطح ۷۶
 - منظم ۸۱
 خمیدگی
 - خم کروی ۷۴
 - ژئودزیک ۲۵۹
 - قائم ۲۲۲
 - کل رویه‌های درجه دوم ۳۳۰
 - کل رویه‌های دورانی ۳۲۹
 - کلی ۸۹
 - گاوسی ۲۶۴، ۲۲۹
 - متوسط ۲۲۹
 - های اصلی ۲۲۲
 خمینه ۲۰۸
 - ریمانی ۳۴۷
 دایره بوسان ۷۶
 دایره قطبی ۳۸۸
 دوره تناوب ۲۶
 دیفرانسیل ۱۸۲، ۴۶
 دیفرانسیل پذیر ۱۵۰، ۱۵۰، ۲۰، ۲۸، ۴۰، ۱۶۲
 دیفرانسیل کوواریان ۹۲
 رویه
 - جهت‌پذیر ۲۰۱
 - خط‌دار ۲۵۵
 - خط‌کشی ۱۵۸
 - دورانی ۱۴۷
 - زینی ۱۵۸، ۲۱۸، ۲۲۴، ۲۲۲
 ۲۵۵، ۳۳۹
 - سه‌وجهی‌مگن ۲۱۱
 - شیوری ۲۷۰، ۳۱۶
 - فشرده ۱۹۹
 - مماسی ۲۶۰
 - مینیمال ۲۳۳
 - مینیمال شریک ۲۵۰، ۳۳۰
 - همگن نقطه‌ای ۲۱۱
 - هموار ۲۳۳
 - هندسی ۳۴۳
 - هندسی استاندارد با خمیدگی ثابت ۲۰۸
 رویه‌های
 - خط‌دار هموار ۲۵۹
 - دورانی با خمیدگی ثابت مثبت ۲۶۹
 - دورانی با خمیدگی ثابت منفی ۲۷۳
 - قابل انطباق ۳۳۳
 - متوازی ۲۳۵
 زاویه چرخش ۴۱۹
 زاویه هولونومی ۳۶۲
 زین میمون ۲۳۱

- قضیه تابع معکوس ۲۷
 قضیه هوبف ۲۳۳
 قطعه مختصاتی ۱۴۱
 - جغرافیایی ۱۵۳
 - مجرد ۲۰۶
 - مونز ۱۴۴
 کرل ۳۹
 کلاف مماس بربك روبه ۲۰۹
 کوتاهترین قطعه خم ۳۸۲
 گروه اقلیدسی ۱۱۹
 گروه ایزومتري ۴۱۰
 ماتریس ایستاری ۵۵، ۱۰۲
 ماتریس ژاکوبی ۴۴
 ماریچ استوانه‌ای ۸۴
 ماریچ مستدیر قائم ۲۱
 ماریچهای مستدیر ۸۶
 ماکسیم موضعی ۳۳
 مؤلفه
 - قائم ۸۰
 - قائم شتاب ۲۲۲
 - مماسی ۸۰
 - های اقلیدسی ۵۴
 متناوب ۲۶
 مختصات جغرافیایی روی کره ۳۱۱
 مسافت اقلیدسی ۵۱
 مسیر ژئودزیکها ۳۷۵
 مسیرهای قابل انطباق ۱۳۹
 مشتق
 - امتدادی ۱۶، ۳۱
 - خارجی ۳۵، ۳۸
 - کوواریانی ۹۰، ۳۵۸، ۳۶۰
 - های توابع مختصاتی ۴۳
 ژئودزیک بسته ۲۶۰
 ژئودزیک یگانه ماکسیمال ۳۷۰
 سازه مقیاس ۳۰۱
 سرعتهای جزئی ۱۵۲
 سه نقطه یکه ۴۱
 سه وجهی ۵۰
 سوبرگردان ۱۲۴
 سونگهدار ۱۲۴، ۱۹۵
 شبه قطعه مختصاتی ۳۱۶
 شتاب ۶۴
 - اقلیدسی ۳۶۷
 - ذاتی ۳۶۷
 صفحه
 - با دو مدأ ۲۱۰
 - بوسان ۷۲
 - مماس ۱۶۵
 - منظری ۳۵۳
 - هذلولوی ۳۵۵، ۳۷۶، ۳۸۶
 ضرب داخلی القایی ۳۴۶
 طول قوس ۶۱
 علامت خمیدگی گاوسی ۲۷۱
 عملگر دوران ۳۴۸
 فرمول گاوس-بونه ۴۲۱
 فرمهای دیفرانسیلی ۲۳
 فرمهای همبندی ۱۰۰
 فروبری ایزومتريك ۴۱۲
 فضای دوگان ۲۸
 قاعده تناوبی ۵۶
 قسمت برداری ۱۰

- نرم ۵۲
 نقاط مزدوج ۳۹۷، ۴۰۲
 نقطه اثر ۱۰
 نقطه بحرانی ۳۲
 نقطه نافی ۲۲۵، ۲۳۳
 نگاره ۴۱
 - کروی ۸۳
 نگاشت
 - قطبی ژئودزیکی ۳۸۳
 - گاوس ۲۲۰
 - مشتق ۴۳، ۱۸۱
 - همانی ۱۱۵
 نمایش پارامتری کلرو ۳۷۲
 نمایش پارامتری لیوویل ۳۸۱
 نمایشهای پارامتری ۲۶
 نوار مویبوس ۲۰۲
 نیمصفحه پوانکاره ۳۴۸
 همپوش ۱۶۴
 همشکلی ۳۰۱
 هولونومی ۳۶۴
 هوموتوپ ۱۹۸
 ۱-فرمی ۲۸
 ۱-فرمیهای دوگان ۱۰۶
 يك ناحیه ساده S در M ۳۳۰
- مشخصه اویلر-پوانکاره ۲۲۴-۲۲۵
 معادلات همبندی ۱۰۰
 مقاطع عرضی ۱۵۶
 مقطع قائم ۲۲۲
 ملاک قطعه مختصاتی نقاط نافی ۲۲۹
 منظم ۲۶
 میدان برداری ۱۲، ۲۸، ۶۲
 - بی نرمال ۷۸
 - خمیدگی ۶۷
 - قائم ۱۶۷
 - قائم اصلی ۶۷
 - مماس یکانی ۶۷
 میدان سه وجهی
 - استوانه‌ای ۹۶
 - اصلی ۲۸۵
 - اقلیدسی ۲۷۶
 - برازنده ۲۷۶
 - چنبره‌ای ۹۸
 - طبیعی ۱۳
 - فرجه ۶۷
 - کروی ۹۶-۹۷
 - مماس ۲۸۲
 میزان انبساط مساحت ۳۱۵، ۳۲۲
 میزان دوران ۱۰
 ناحیه چندبری جهتدار ۴۳۳